



Biblioteka Politechniki Krakowskiej



10000301673



11. Fr.

12. Fr.

13. Fr.

14. Fr.

# ENCYKLOPÄDIE DER MATHEMATISCHEN WISSENSCHAFTEN MIT EINSCHLUSS IHRER ANWENDUNGEN.

HERAUSGEGEBEN

IM AUFTRAGE DER AKADEMIE DER WISSENSCHAFTEN ZU  
BERLIN, GÖTTINGEN, HEIDELBERG, LEIPZIG, MÜNCHEN UND WIEN  
SOWIE UNTER MITWIRKUNG ZAHLREICHER FACHGENOSSEN.

IN SECHS BÄNDEN.

- BAND I: ARITHMETIK UND ALGEBRA, IN 2 TEILEN . . . . . } RED. VON W. FR. MEYER IN KÖNIGSBERG.
- II: ANALYSIS, IN 3 TEILEN . . . . . } H. BURKHARDT † (1896–1914), W. WIRTINGER  
(1905–1912) IN WIEN, R. FRICKE † (1914–1930)  
UND E. HILB † (1919–1929)
- III: GEOMETRIE, IN 3 TEILEN . . . . . } W. FR. MEYER IN KÖNIGSBERG UND  
H. MOHRMANN IN DARMSTADT.
- IV: MECHANIK, IN 4 TEILBÄNDEN. } F. KLEIN † (1896–1925) UND C. H. MÜLLER  
IN HANNOVER.
- V: PHYSIK, IN 3 TEILEN . . . . . } A. SOMMERFELD IN MÜNCHEN.
- VI, 1: GEODÄSIE UND GEOPHYSIK, } PH. FURTWÄNGLER IN WIEN UND  
IN 2 TEILBÄNDEN . . . . . } E. WIECHERT † (1899–1905) IN GÖTTINGEN.
- VI, 2: ASTRONOMIE, IN 2 TEILBÄNDEN } K. SCHWARZSCHILD † (1904–1916) UND  
S. OPPENHEIM † (1919–1928).

BAND III<sub>2</sub>. HEFT 11.

W. FR. MEYER IN KÖNIGSBERG, III C 10b: SPEZIELLE ALGEBRAISCHE FLÄCHEN. II. TEIL:  
FLÄCHEN VERTER UND HÖHERER ORDNUNG . . . . . S. 1533

AUSGEGEBEN AM 27. MAI 1931.



VERLAG UND DRUCK VON B. G. TEUBNER IN LEIPZIG 1931

Bisher erschien: Bd. I (vollständig); Bd. II (vollständig); Bd. III<sub>1I</sub> (vollständig); Bd. III<sub>1II</sub> (vollständig); Bd. III<sub>2I</sub> (vollständig); Bd. III<sub>2II</sub>, Heft 7–11; Bd. III<sub>3</sub> (vollständig); Bd. IV<sub>1I</sub> (vollständig); Bd. IV<sub>1II</sub>, Heft 1–3; Bd. IV<sub>2I</sub> (vollständig); Bd. IV<sub>2II</sub> (vollständig); Bd. V (vollständig); Bd. VI<sub>1A</sub> (vollständig); Bd. VI<sub>1B</sub> (vollständig); Bd. VI<sub>2A</sub> (vollständig); Bd. VI<sub>2B</sub>, Heft 1–4.

Jeder Band ist einzeln käuflich, dagegen werden einzelne Hefte nicht abgegeben. Der Bezug der ersten Lieferung eines Bandes verpflichtet zu seiner vollständigen Abnahme.

Aufgabe der Encyclopädie ist es, in knapper, zu rascher Orientierung geeigneter Form, aber mit möglicher Vollständigkeit eine Gesamtstellung der mathematischen Wissenschaften nach ihrem gegenwärtigen Inhalt an gesicherten Resultaten zu geben und zugleich durch sorgfältige Literaturangaben die geschichtliche Entwicklung der mathematischen Methoden seit dem Beginn des 19. Jahrhunderts nachzuweisen. Sie beschränkt sich dabei nicht auf die sogenannte reine Mathematik, sondern berücksichtigt auch ausgiebig die Anwendungen auf Mechanik und Physik, Astronomie und Geodäsie, die verschiedenen Zweige der Technik und andere Gebiete, und zwar in dem Sinne, daß sie einerseits den Mathematiker orientiert, welche Fragen die Anwendungen an ihn stellen, andererseits den Astronomen, Physiker, Techniker darüber orientiert, welche Antwort die Mathematik auf diese Fragen gibt. In 6 Bänden werden die einzelnen Gebiete in einer Reihe sachlich angeordneter Artikel behandelt; jeder Band soll ein ausführliches alphabetisches Register enthalten. Auf die Ausführung von Beweisen der mitgeteilten Sätze muß natürlich verzichtet werden. — Die Ansprache an die Vorkenntnisse der Leser sollen so gehalten werden, daß das Werk auch demjenigen nützlich sein kann, der nur über ein bestimmtes Gebiet Orientierung sucht. — Eine von den beteiligten gelehrten Gesellschaften niedergesetzte Kommission, z. Z. bestehend aus den Herren

W. v. Dyck-München, O. Hölder-Leipzig, M. Planck-Berlin, W. Wirtinger-Wien,

steht der Redaktion, die aus den Herren

Ph. Furtwängler-Wien, W. Fr. Meyer-Königsberg, H. Mohrman-Darmstadt, C. H. Müller-Hannover, A. Sommerfeld-München

besteht, zur Seite. — Als Mitarbeiter an der Encyclopädie betätigen sich ferner die Herren

I. Band:

W. Ahrens (+)  
P. Bachmann (+)  
J. Bauschinger-Leipzig  
G. Bohlmann (+)  
L. v. Bortkewitsch-Berlin  
H. Burkhardt (+)  
E. Czuber (+)  
W. v. Dyck-München  
D. Hilbert-Göttingen  
O. Hölder-Leipzig  
G. Landsberg (+)  
R. Mehmke-Stuttgart  
W. Fr. Meyer-Königsberg i. P.  
E. Netto (+)  
V. Pareto-Lausanne  
A. Pringsheim-München  
C. Runge (+)  
A. Schoenflies (+)  
H. Schubert (+)  
D. Stilianoff-Prag  
E. Study (+)  
K. Th. Vahlen-Wien  
H. Weber (+)  
A. Wiman-Upsala

II. Band:

L. Eiebert-Berlin  
M. Böcher (+)  
H. A. Bohr-Kopenhagen  
E. Borel-Paris  
G. Brunel (+)  
H. Burkhardt (+)  
H. Caméré-Stockholm  
G. Faber-München  
M. Fréchet-Poitiers  
R. Fricke (+)  
H. Hahn-Wien  
J. Harkness-Montreal  
E. Hellinger-Frankfurt a. M.  
K. Hensel-Marburg  
E. Hilb (+)  
H. W. E. Jung-Halle  
A. Kneser (+)  
A. Krazer (+)  
L. Lichtenstein-Leipzig  
L. Maurer (+)  
W. Fr. Meyer-Königsberg i. P.  
P. Montel-Paris  
N. E. Nörlund-Kopenhagen  
W. F. Osgood-Cambridge  
P. Painlevé-Paris [Mass.  
S. Pincherle-Bologna  
A. Pringsheim-München  
M. Riesz-Lund  
A. Rosenthal-Heidelberg

C. Runge (+)

A. Sommerfeld-München  
O. Szász-Frankfurt a. M.  
O. Toeplitz-Bonn  
E. Vessiot-Paris  
A. Voss-München  
A. Wangerin-Halle  
E. v. Weber-Würzburg  
Fr. A. Willers-Charlottenburg  
W. Wirtinger-Wien  
E. Zermelo-Freiburg  
L. Zoratti-Caen

III. Band:

G. Berkhan (+)  
L. Berwald-Prag  
L. Berzolari-Pavia  
Chr. Betsch-Cannstatt  
G. Castelnuovo-Rom  
M. Dehn-Frankfurt a. M.  
F. Dingeldey-Darmstadt  
F. Enriques-Rom  
G. Fano-Turin  
P. Heegaard-Oslo  
G. Kohn (+)  
H. Liebmann-Heidelberg  
R. v. Lillenthal-Münster i. W.  
G. Loria-Genua  
A. Lotze-Stuttgart  
H. v. Mangoldt (+)  
W. Fr. Meyer-Königsberg i. P.  
E. Müller (+)  
E. Papperitz-Freiburg i. S.  
K. Rohn (+)  
H. Rothe (+) [burg  
E. Salkowski-Charlottenburg  
G. Scheffers-Charlottenburg  
A. Schoenflies (+)  
C. Segre (+)  
J. Sommer-Danzig  
P. Stäckel (+)  
O. Staudé (+)  
E. Steinitz (+)  
H. Tietze-München  
L. Vietoris-Innsbruck  
A. Voss-München  
R. Weitzenböck-Amsterdam  
M. Zacharias-Berlin  
H. G. Zeuthen (+)  
K. Zindler-Innsbruck

IV. Band:

M. Abraham (+)  
P. Czanz-Berlin  
C. u. T. Ehrenfest-Leiden  
S. Finsterwalder-München  
O. Fischer (+)

L. Föppel-München

Ph. Forchheimer-Wien  
Ph. Furtwängler-Wien  
M. Grübler-Dresden  
M. Grüning-Hannover  
E. Hellinger-Frankfurt a. M.  
L. Henneberg-Darmstadt  
K. Heun (+)  
G. Jung-Mailand  
Th. v. Kármán-Aachen  
F. Klein (+)  
A. Kriloff-Petersburg  
H. Lamb-Manchester  
A. E. H. Love-Oxford  
R. v. Mises-Berlin  
C. H. Müller-Hannover  
L. Prandtl-Göttingen  
G. Prange-Hannover  
H. Reißner-Charlottenburg  
A. Schoenflies (+)  
P. Stäckel (+)  
O. Tedone-Genua  
H. E. Timerding-Braunschwg.  
A. Timpe-Berlin  
A. Voss-München  
G. T. Walker-Simla (Indien)  
K. Wieghardt (+)  
G. Zemplén (+)

V. Band:

M. Abraham (+)  
L. Boltzmann (+)  
M. Born-Göttingen  
G. H. Bryan-Bangor (Wales)  
P. Debye-Leipzig  
H. Dießelhorst-Braunschwg.  
P. S. Epstein-Pasadena  
R. Gans-Königsberg  
K. F. Herzfeld-München  
F. W. Hinrichsen (+)  
E. W. Hobson-Cambridge  
H. Kamerlingh-Onnes-Leiden  
W. H. Keessom-Leiden  
Kratzer-Münster i. W.  
M. v. Laue-Berlin  
Th. Liebisch (+)  
H. A. Lorentz (+)  
L. Mamlock-Berlin  
H. Minkowski (+)  
O. Mügge-Göttingen  
J. Nabl-Wien  
W. Pauli-Hamburg  
F. Pockels (+)  
L. Prandtl-Göttingen  
R. Reiff (+)  
O. Runge (+)

A. Schoenflies (+)

M. Schröter (+)  
R. Seeliger-Greifswald  
A. Smekal-Halle  
A. Sommerfeld-München  
E. Study (+)  
A. Wangerin-Halle  
W. Wien (+)  
J. Zeneck-München

VI. I. Band:

R. Bourgeois-Paris  
V. Conrad-Wien  
G. H. Darwin (+)  
F. Exner-Wien  
S. Finsterwalder-München  
Ph. Furtwängler-Wien  
F. R. Helmert (+)  
S. Hough-Kapstadt  
H. Meldau-Bremen  
W. Moebius-Leipzig  
P. Pizzetti-Pisa  
C. Reinhardt (+)  
A. Schmidt-Potsdam  
E. v. Schwyldler-Innsbruck  
W. Trabert (+)

VI. II. Band:

E. Anding-Gotha  
J. Bauschinger-Leipzig  
A. Bemporad-Catania  
E. W. Brown-New-Haven  
C. Ed. Caspari-Paris  
F. Cohn-Berlin  
R. Emden-München  
F. K. Glanzel-Berlin  
P. Guthnik-Neubabelsberg  
F. Hayn-Leipzig  
J. v. Hoppenger-Wien  
G. Herglotz-Göttingen  
A. Hnatek-Wien  
J. Hopmann-Leipzig  
K. Hoffmeister-Sonneberg  
H. Kienle-Göttingen  
H. Kobold-Kiel  
F. Kottler-Wien  
K. Laves-Chicago  
G. v. Niessl-Wien  
S. Oppenheim (+)  
H. Samter-Berlin  
K. Schwarzschild (+)  
K. Sundman-Helsingfors  
E. T. Whittaker-Edinburgh  
A. Wilkens-München  
C. W. Wirtz-Kiel  
H. v. Zelpel-Upsala

## Sprechsaal für die Encyclopädie der Mathematischen Wissenschaften.

Unter der Abteilung Sprechsaal für die Encyclopädie der Mathematischen Wissenschaften nimmt die Redaktion des Jahresberichts der Deutschen Mathematiker-Vereinigung ihr aus dem Leserkreise zugehende Verbesserungsvorschläge und Ergänzungen (auch in literarischer Hinsicht) zu den erschienenen Heften der Encyclopädie an. Diesbezügliche Einsendungen sind an den Herausgeber des Jahresberichts Herrn Prof. Dr. L. Bieberbach, Berlin-Dahlem, Gelfertstraße 16, zu richten, der sich mit den betr. Bandredakteuren wegen der Veröffentlichung der Notizen in Verbindung setzen wird.

Die akademische Kommission zur Herausgabe der Encyclopädie der Mathematischen Wissenschaften.



11-348780

III 16677

### III C 10. SPEZIELLE ALGEBRAISCHE FLÄCHEN.

#### III C 10b. FLÄCHEN VIERTER UND HÖHERER ORDNUNG.

VON

W. FR. MEYER

IN KÖNIGSBERG IN PR.



#### Inhaltsübersicht.

**I. Einleitung und Übersicht. Reziproke Erzeugung der  $F_4, F_5, \dots$  durch Flächen niederer Ordnung nach Reye und v. Escherich. Rationale und andere Kurven, nebst ihren Invarianten, auf besonderen  $F_4$ . Die Kanonisierung der  $F_4$  und Reyes Dekaaeder. Sonderfälle. Formentheoretisches. Übertragungsprinzipien.**

1. Einleitung und Übersicht.
2. Reziproke Erzeugung der  $F_4, F_5, \dots$  durch Flächen niederer Ordnung nach Reye und v. Escherich.
3. Rationale und andere Kurven, nebst ihren Invarianten, auf besonderen  $F_4$ .
4. Die Kanonisierung der  $F_4$  und Reyes Dekaaeder. Sonderfälle.
5. Formentheoretisches. Übertragungsprinzipien.

#### II. Kummers Untersuchung über $F_4$ mit Scharen von Kegelschnitten.

6. Einleitung. Hilfssätze.
7. Erster Hauptfall (I): Die Ebenen  $H$  sind vom Typus  $T_0$ . Die  $F_4$  mit einer Doppelgeraden  $\bar{g}$ . Die Dupinsche Zyklide. Die  $F_4$  mit zwei Selbstberührungspunkten.
8. Zweiter Hauptfall (II): Die  $H$  sind vom Typus  $T_1$ . Die Steinersche Fläche  $S$ .
9. Dritter Hauptfall (III): Die  $H$  sind vom Typus  $T_2$ . Die  $F_4$  mit Doppelkegelschnitt  $C_2$ . Die fünf Kummerschen Kegel.

#### III. Die $F_4$ mit Doppelkegelschnitt.

10. Die Abbildung der  $F_4$  auf eine Ebene nach Clebsch. Die 16 Geraden auf der  $F_4$ .
11. Die Vieren und Doppelvieren.
12. Die Kegelschnitte auf der  $F_4$ .
13. Die Kurven 3. Ordnung auf der  $F_4$ .
14. Die rationalen Kurven 4. Ordnung auf der  $F_4$  und ihre Beziehung zu den Vieren zweiter Art.
15. Fall eines Knotenpunktes  $D_2$  auf der  $F_4$ .

Akc. Nr.

D-4587/59.

304-3-120/2017

16. Die zur Bestimmung der 16 Geraden  $g$  dienende Gleichung 5. Ordnung.
17. Erzeugung der  $F_4$  durch zwei projektive  $F_2$ -Büschel. Die synthetischen Untersuchungen von *Juel* und *Bobek*.
18. Die vier Kuspidalpunkte der  $F_4$ .  $F_4$  mit Kuspidalkegelschnitt.
19. Die *Zeuthensche* Tangentenprojektion der  $F_4$  von einem Punkte des Doppelkegelschnitts aus. Die Projektion der  $F_4$  von der Spitze eines *Kummerschen* Kegels aus. Erzeugung der  $F_4$ .
20. Die *Segresche* Projektion vom  $S_4$  aus. Die *Veronesesche* Konstruktion.

#### IV. Zykliden.

21. Die Zykliden als  $F_4$  mit dem Kugelkreis als Doppelkegelschnitt.
22. Die Untersuchung von *Casey*.
23. Einführung der pentaphärischen Koordinaten nach *Darboux*.
24. Konfokale Zykliden.
25. Zykliden und Fokalfächen.
26. Transzendente Darstellung der Zykliden nach *Domsch*.
27. Die *Dupinsche* Zyklide.
28. Fokalkurven und Abstandsrelationen.
29. Die Krümmungslinien auf den Zykliden.

#### V. $F_4$ mit einer Doppelgeraden.

30. Einleitung.
31. Vorstufen zu einer  $F_4$  mit  $\bar{g}$ .
32. Die 16 Geraden auf der Fläche.
33. Abbildung der Fläche auf eine Ebene.
34. Die Kegelschnitte auf der Fläche.
35. Die vier Kuspidalpunkte.  $F_4$  mit einer Kuspidalgeraden.
36. Spezielle  $F_4$  mit einer Doppelgeraden.

#### VI. $F_4$ mit dreifachem Punkt und solche mit einer dreifachen Geraden.

37.  $F_4$  mit dreifachem Punkt und ihre Abbildung auf die Ebene.
38. Erzeugung der Fläche durch zwei projektive  $F_2$ -Büschel.
39. Die Untersuchung von *Rohn*.
40.  $F_4$  mit dreifacher Geraden  $\bar{g}$  und ihre Abbildung.
41. Die  $F_4$  mit  $\bar{g}$  als Achsenfläche einer kubischen Raumkurve.

#### VII. Die Steinersche Fläche.

42. Einleitung.
43. Abbildung der Fläche auf eine Ebene.
44. Normaldarstellungen der Fläche.
45. Weiteres zur Abbildung der Fläche.
46. Die Haupttangentenkurven der Fläche.
47. Der Satz von *Lie*.
48. Die Sätze von *Darboux*, *Picard* und *Castelnuovo*.
49. Verallgemeinerungen der *Weierstraßschen* Darstellung der Fläche.
50. Metrische Beziehungen.
51. Die Krümmungslinien auf der Fläche.

## VIII. Rationale Flächen vierter und höherer Ordnung.

52. Einleitung.  
53. Die Typen rationaler  $F_4$ .

## IX. Flächen vierter und höherer Ordnung mit einer endlichen Anzahl von Geraden.

54. Flächen ohne Singularitäten mit einer endlichen Anzahl von Geraden.  
55. Flächen mit Singularitäten mit einer endlichen Anzahl von Geraden.

## X. Flächen 4. Ordnung mit weniger als 16 Doppelpunkten.

56. Einleitung.  
57. Die Untersuchungen von *Cayley*.  
58.  $F_4$  mit zwei Selbstberührungspunkten.  $F_4$  mit vier uniplanaren Doppelpunkten.  
59.  $F_4$  mit vier beliebigen Doppelpunkten.  
60. Die *Weddlesche* Fläche 4. Ordnung.  
61.  $F_4$  mit acht assoziierten Doppelpunkten.  
62. Das *Cayleysche* Symmetroid. Die desmische Fläche 4. Ordnung.  
63. Die Untersuchung von *Rohn* über  $F_4$  mit 9 bis 15 Doppelpunkten.

XI. Die *Weddlesche* und die *Kummersche* Fläche.

64. Das allgemeine  $F_2$ -Gebüsch. Die Kegelspitzenfläche und ihre Bildfläche.  
65. Das  $F_2$ -Gebüsch mit sechs Grundpunkten.  
66. Die *Weddlesche* Fläche und die *Kummersche* Fläche als ihre Bildfläche. Invariante Darstellung beider Flächen.  
67. Die *Kummersche* Fläche als Projektion vom  $S_4$  aus.  
68. Die 16  $D_2$  und 16  $\mathcal{L}_2$ , syzygetische und azygetische Tetraeder der *Kummerschen* Fläche. Normaldarstellungen. Die lineare Konstruktion von *H. Weber*. Die *Kummersche* Konfiguration.  
69. Liniengeometrische Behandlung der *Kummerschen* Fläche. Die *Kummersche* Fläche als Singularitätenfläche eines quadratischen Komplexes und als Brennfläche einer quadratischen Kongruenz.  
70. Die Haupttangentialkurven der *Kummerschen* Fläche.  
71. Transzendente Behandlung der *Kummerschen* Fläche.  
72. Konfigurationen, die der *Kummerschen* Fläche zugleich ein- und umbeschrieben sind.  
73. Das *Cayleysche* Tetraedroid und die Wellenfläche.  
74. Die Haupttangentialkurven und die Krümmungslinien auf der Wellenfläche.

## XII. Regelflächen vierter und höherer Ordnung.

75. Einleitung über Regelflächen 4. Ordnung  $R-F_4$ .  
76. Die abwickelbare  $R-F_4$ .  
77. Die  $R-F_4$  mit dreifacher Geraden  $\bar{g}$ . Unterarten.  
78. Die  $R-F_4$  mit irreduzibler kubischer Doppelkurve.  
79. Die *Mohrmannsche* Untersuchung der  $R-F_4$  mit irreduzibler kubischer Doppelkurve von  $S_3$  aus.  
80. Die  $R-F_4$  mit reduzibler kubischer Doppelkurve.  
81. Die  $R-F_4$  vom Geschlecht 1 mit zwei windschiefen Doppelgeraden.

82. Die Polaren-Methode von *Wong*.  
 83. Die Regelflächen 5. Ordnung.  
 84. Die Regelflächen sechster und höherer Ordnung.

**XIII. Metrisch bemerkenswerte Flächen vierter und höherer Ordnung.**

85. Aus Flächen 2. Ordnung abgeleitete Flächen vierter und höherer Ordnung.  
 86. Andere bemerkenswerte metrische Flächen vierter und höherer Ordnung.  
 87. Algebraische Minimalflächen.

Literatur.

**A. Die einschlägigen Abschnitte in den Lehrbüchern.**

- L. Cremona*, Preliminari di una teoria geometrica delle superficie, Bologna Mem. (2) 6 (1866), p. 91; (2) 7 (1867), p. 29. Deutsch von *M. Curtze*, Allgemeine Theorie der Oberflächen, Berlin 1870. Das Original gab in erweiterter Form heraus: *B. Guccia*, Geometria superiore, Palermo 1890.  
*G. Salmon-W. Fiedler*, Analytische Geometrie des Raumes, 2. Teil, 3. Aufl., Leipzig 1880 („*Salmon-Fiedler*“).  
*G. Salmon*, Analytic Geometry of three dimensions. Vol. II. 5. ed. by A. P. Rogers, London 1915 (vergriffen). Französische Ausgabe von *O. Chemin*, Paris 1892.  
*A. B. Basset*, Geometry of surfaces, Cambridge 1910.  
*Th. Reye*, Geometrie der Lage, 2. Abt. 1868, 3. Abt. 4. Aufl. Leipzig 1910 („*Reye*“).  
*H. E. Timerding*, Repertorium der höheren Mathematik, Bd. II, 2, Leipzig 1922. Kap. 35 „Besondere  $F_4$ “ (von *Timerding*) („*Timerding*“).  
*H. T. Baker*, Principles of geometry, Cambridge, vol. III (1923),  $F_4$ ,  $F_5$  usf., vol. IV (1925), Ausdehnungen auf den Raum  $S_n$  („*Baker*“).

**B. Monographien.**

- G. Darboux*, Sur une classe remarquable de courbes et surfaces algébriques (Zykliden), Paris 1873, 2. ed. 1896 („*Darboux*“).  
*Th. Reye*, Synthetische Theorie der Kugeln und linearen Kugelsysteme (Zykliden), Leipzig 1879.  
*G. Loria*, Ricerche intorno alla geometria della sfera e loro applicazione allo studio ed alla classificazione delle superficie di quarto ordine aventi per linea doppia il cerchio immaginario all'infinito, Torino Mem. (2) 36 (1884); Torino Atti 20 (1885), p. 505.  
*K. Rohn*, Die Flächen vierter Ordnung hinsichtlich ihrer Knotenpunkte und ihrer Gestaltung, Preisschrift der Jablonowskischen Gesellschaft, Leipzig 1886 [Auszug in Math. Ann. 29 (1887), p. 81] („*Rohn*“).  
*H. T. Hudson*, Kummer's Quartic surface, Cambridge 1905 (ohne Literaturangaben) („*Hudson*“).  
*C. M. Jessop*, On Quartics with singular points, Cambridge 1916 („*Jessop*“).  
 Der voraufgehende Artikel wird mit „ $F_3$ “ zitiert.

## Bezeichnungen.

Es gilt das in „ $F_3$ “ Angegebene, mit einigen Ergänzungen.

Ein  $\nu$ -facher Knotenpunkt einer Fläche werde jetzt genauer mit  $D_\nu$ , entsprechend eine  $\nu$ -fache Ebene mit  $\mathcal{L}_\nu$  bezeichnet, mit  $t_\nu$  eine an  $\nu$  Stellen ( $\nu = 0, 1, 2, 3, 4$ ) berührende Tangente der Fläche, mit  $T_i$  eine an  $i$  Stellen ( $i = 0, 1, 2, 3$ ) berührende Tangentialebene; also im besondern  $t_0$  eine beliebige Gerade,  $T_0$  eine beliebige Ebene.

Das Zeichen für die Normkurve im  $S_n$  ist  $N_n = N_n$ . Büschel, Netze, Gebüsche von Gebilden werden durch  $B, N, G$  angegeben. Im besonderen bedente noch  $K_n$  einen Kegel  $n^{\text{ter}}$  Ordnung,  $K^{(1)}, K^{(2)}$  einen linearen resp. quadratischen Geradenkomplex,  $\mathfrak{R}^{(2)}$  eine quadratische Geradenkongruenz (2, 2).

Eine Regelfläche  $n^{\text{ter}}$  Ordnung wird mit  $R\text{-}F_n$  bezeichnet, ihre Regelstrahlen mit  $h$ .

Unter  $\bar{C}, \bar{C}, \dots$  wurde eine doppelte, dreifache ... Kurve auf einer Fläche verstanden; im besonderen also unter  $\bar{y}, \bar{y}, \dots$  eine doppelte, dreifache ... Gerade.

Linienkoordinaten im Raume werden genauer mit  $\pi$  resp.  $p$  angegeben, je nachdem sie als Achsenkoordinaten resp. Strahlenkoordinaten aufgefaßt werden.

## I. Einleitung und Übersicht. Reziproke Erzeugung der $F_4, F_5, \dots$ durch Flächen niederer Ordnung nach Reye und v. Escherich. Rationale und andere Kurven, nebst ihren Invarianten, auf besonderen $F_4$ . Kanonisierung der $F_4$ und Reyes Dekaaeder. Sonderfälle. Formentheoretisches. Übertragungsprinzipien.

1. Einleitung und Übersicht. Das eigentümliche Gepräge der Theorie der  $F_3$  (s. Art. „ $F_3$ “) nebst ihrer Fülle geometrischer Eigenschaften beruhte auf zwei, sich selbst wieder gegenseitig bedingenden Hauptmomenten. Einmal ist es der Umstand, daß für eine  $F_3$  die *Hessesche*<sup>1a)</sup> und *Steinersche* Fläche zusammenfallen, woraus die Lehre vom Pentaeder entspringt. Andererseits die Existenz einer endlichen Anzahl von Geraden auf der  $F_3$ , sowie von dreimal berührenden Ebenen. Daran lehnten sich die Erzeugungen der  $F_3$ , sowie ihre Abbildung auf eine Ebene von selber an.

1a) Die *Hessesche* Fläche  $H$  einer  $F_n$ , deren Gleichung durch das Verschwinden der Determinante der zweiten Ableitungen von  $F_n$  geliefert wird, schneidet aus  $F_n$  die parabolische Kurve aus. Ein besonderes Verhalten weist  $H$  in den Knotenpunkten und vielfachen Kurven von  $F_n$  auf, wie *K. Rohn*, Math. Ann. 23 (1884), p. 80 näher ausführt. Sei  $D_k$  ein  $k$ -facher Knotenpunkt der  $F_n$ , so werden der Reihe nach folgende Fälle untersucht: 1. ein allgemeiner  $D_k$ ; 2. der Sonderfall, wo der Tangentenkegel des  $D_k$  eine mehrfache Kante besitzt; 3. ein biplanarer und ein uniplanarer  $D_2$ ; 4. ein einfacher Punkt der  $F_n$ , dessen Tangentenebene aus  $F_n$  eine  $c_n$  mit  $d_k$  ausschneidet; 5. die Doppel- und Rückkehrkurven.

Für eine  $F_4$  erfahren die Ergebnisse geeignete Spezialisierungen.

Bei den  $F_4(F_5, \dots)$  treten diese Momente und überhaupt die Theorie der punktallgemeinen Fläche in den Hintergrund. Die *Hesse*-sche und *Steinersche* Fläche sind jetzt verschieden. Zwar lassen sich deren allgemeine Eigenschaften sowie überhaupt die Polarentheorie der  $F_n$ , wie sie zuerst *L. Cremona* (s. Lit.) systematisch entwickelt hat, für die Einzelfälle  $n = 4, 5, \dots$  spezialisieren. Indessen gelangt man so zu wenig Ergebnissen, die von spezifisch geometrischem Interesse wären, was damit zusammenhängt, daß eine auch nur annähernde Übersicht über die Gestalten der in Betracht kommenden Gebilde unmöglich erscheint. So ist denn auch die reziproke Erzeugung einer  $F_4$  durch Flächen niederer Ordnung (s. Nr. 2) nach *Th. Reye* und *G. v. Escherich* zwar von theoretischem Interesse, erweist sich aber zur Ableitung konkreter Eigenschaften der  $F_3$  wenig geeignet. Dergleichen ist auch die von *Th. Reye* (s. Nr. 4) herrührende Ausdehnung des *Sylvesterschen* Pentaeders der  $F_3$  zu einem „Dekaeder“ der  $F_4$  usf. mehr von formalem Werte.

Was andererseits Gerade auf einer allgemeinen  $F_n$  angeht, so existieren solche für  $n > 3$  überhaupt nicht mehr, ebensowenig wie allgemeine  $R$  und gewisse andere  $C$  (s. Nr. 3), vielmehr treten sie erst auf gewissen speziellen  $F$  auf, und ihr Auftreten gestaltet sich sehr verschieden, je nachdem die  $F$  singuläre Kurven besitzt oder nicht (s. Abschn. IX).

Endlich sei auch hinsichtlich der Theorie der Transformationen, insbesondere der *Cremonaschen*, sowie der linearen  $C$ -Scharen auf der Fläche nach *Severi* u. a. auf deren allgemeine Darstellung verwiesen (s. Art. III C 6b, *G. Castelnuovo* und *F. Enriques*, Die algebraischen Flächen vom Gesichtspunkte der birationalen Transformationen aus; III C 11, *L. Berzolari*, Algebraische Transformationen). Wir beschränken uns daher im folgenden auf gewisse Typen spezieller  $F_4$  (und anhangsweise auch von  $F_5, \dots$ ), insbesondere auf solche, die zu ihrem Teile an der Weiterentwicklung der höheren Raumgeometrie beigetragen haben.

Nach einer vorläufigen Übersicht über das Auftreten gewisser  $C$  auf  $F_4$  und der damit verknüpften Invarianten (s. Nr. 3) wird auf die grundlegende *Kummersche* Abhandlung über  $F_4$  mit Scharen von  $C_2$  näher eingegangen.

Die wichtigsten dieser  $F_4$ , nämlich die  $F_4$  mit einem Doppelkegelschnitt  $\bar{C}_2$ , werden im Anschlusse an die Abbildungsmethode von *Clebsch* (s. Abschn. III) näher verfolgt, und weiter deren metrische Repräsentanten, die Zykliden  $Z$  (s. Abschn. IV). Die Methode von *Clebsch* ist dann weiterhin von ihm selbst, von *Noether* u. a. auf  $F_4$  mit einer Doppelgeraden  $\bar{g}$ ,  $F_5(F_6, \dots)$  mit singulären Kurven ausgedehnt wor-

den (s. Nr. 52). Synthetisch und systematisch hat sie, besonders hinsichtlich der endlichen Anzahl auf ihr liegender Geraden, *Sturm* (s. Nr. 52) untersucht.

In dieser Hinsicht steht ihnen gegenüber eine Reihe vereinzelter merkwürdiger  $F_4(F_5, \dots)$  mit einer endlichen Anzahl von Geraden, im übrigen aber ohne singuläre Punkte und Kurven.

Daran schließt sich, in Verallgemeinerung des Früheren, eine Übersicht über die rationalen, d. i. auf eine Ebene eindeutig abbildbaren  $F_4$  (s. Nr. 53). Ein weiterer Abschnitt ist den wichtigsten  $F_4$  mit  $< 16$  Knotenpunkten  $D_2$  gewidmet.

Den eigentlichen Kernpunkt des Ganzen bildet aber in Verbindung mit der *Weddleschen*  $F_4$  die Theorie der *Kummerschen* Fläche  $K_m$  mit der Maximalzahl von  $16D_2$  nebst ihren Unterarten, des Tetraetroides  $T_c$  und der Wellenfläche  $W_7$  (s. Abschn. XI). Von besonderem Interesse ist hier die Durchdringung mit der Liniengeometrie der quadratischen Komplexe und Kongruenzen (s. Nr. 69 ff.), sowie der Darstellung durch hyperelliptische Funktionen von zwei Variablen (s. Nr. 71).

Eine besondere Beachtung verdienen auch die  $F_4$  mit einem kubischen Knotenpunkte  $D_3$  (s. Abschn. VI), unter denen wieder die *Steiner'sche* Fläche  $S$  eine besondere Rolle spielt (s. Abschn. VII), sowie die  $F_4$  mit einer dreifachen Geraden (s. Abschn. VI). Daran schließt sich eine systematische Betrachtung der Regelflächen  $R-F_4$  (s. Abschn. XII) und anhangsweise der  $R-F_5$  und  $R-F_6$ . Den Schluß bildet die Aufzählung einer Reihe von metrisch ausgezeichneten  $F_4$ , insbesondere solcher, die der Theorie der  $F_2$  entspringen (s. Abschn. XIII).

Um auf die allgemeine  $F_4$  zurückzukommen, so diene als Definition deren Gleichung in homogenen Punktkoordinaten  $x_i, x_k, x_l, x_m$ . Denkt man sich diese Gleichung etwa nach  $x_m$  entwickelt, so nimmt sie die Gestalt an

$$(1) \quad F_4 \equiv c_0 x_m^4 + c_1 x_m^3 + c_2 x_m^2 + c_3 x_m + c_4 = 0,$$

wo  $c_\nu$  ( $\nu = 0, 1, \dots, 4$ ) eine beliebige ternäre Form der Ordnung  $\nu$  in  $x_i, x_k, x_l$  bedeutet. Die  $F_4$  führt also  $1 + 3 + 6 + 10 + 15 = 35$  Koeffizienten mit sich, oder hängt, in anderer Sprechweise, von 34 Konstanten ab.

An diese Darstellung mögen sich gleich einige vorläufige Bemerkungen über das Auftreten einfachster Singularitäten in der Koordinatenecke  $A_m$  anschließen. Geht vorab die  $F_4$  einfach durch  $A_m$ , so verschwindet  $c_0$ , und (1) beginnt mit dem Gliede  $c_1 x_m^3$ ; die Gleichung  $c_1 = 0$  ist dann die der Tangentialebene  $T$  der  $F_4$  in  $A_m$ .

Verschwindet weiter  $c_1$  identisch, so daß (1) mit dem Gliede  $c_2 x_m^2$  beginnt, so besitzt die  $F_4$  in  $A_m$  einen Knotenpunkt 2. Ordnung  $D_2$ .

Dieser ist ein eigentlicher resp. biplanarer resp. uniplanarer, je nachdem die Gleichung  $c_2 = 0$  einen irreduzibeln (ein- resp. nullteiligen Kegel 2. Ordnung, oder aber ein Paar getrennter (reeller resp. konjugiert imaginärer) Ebenen, oder endlich eine Doppelebene darstellt, wofür sich die algebraischen Kriterien leicht angeben lassen (s. Nr. 31). Verschwindet auch  $c_2$  identisch, so daß sich (1) reduziert auf  $c_3 x_m + c_4 = 0$ , so liegt in  $A_m$  ein kubischer Knotenpunkt  $D_3$  vor; die 12 gemeinsamen Kanten der beiden Kegel  $c_3 = 0$ ,  $c_4 = 0$  liegen dann auf der  $F_4$  (s. Nr. 37). Die weiteren sukzessiven Ausartungen des  $D_3$  in  $A_m$  werden wiederum durch die entsprechenden Ausartungen der kubischen Form  $c_3$  bedingt. Verschwindet endlich auch noch  $c_3$  identisch, so reduziert sich die  $F_4$  auf den Kegel 4. Ordnung  $c_4 = 0$ , ein Fall, der im folgenden ausgeschlossen werde.

**2. Reziproke Erzeugung der  $F_4, F_5, \dots$  durch Flächen niederer Ordnung nach Reye und v. Escherich.** *Th. Reye*<sup>1)</sup> hat systematisch, mit synthetischen Hilfsmitteln, die Erzeugung von  $F_n$  aus Flächen geringerer Ordnung untersucht und sie insbesondere auf  $F_4, F_5, \dots$  angewendet.

Der nächstliegende Weg, die Erzeugung einer  $F_n$  durch zwei projektiv zugeordnete Büschel  $B_p$  und  $B_q$  von  $F_p$  und  $F_q$ , für  $p + q = n$ , erwies sich für die allgemeine  $F_n$  als ungeeignet.

Bei einer  $F_4$  läge ein doppelter Ansatz vor.

Einmal die Erzeugung durch einen  $F_1$ -Büschel  $B_1$  und einen ihm projektiv zugeordneten  $F_3$ -Büschel  $B_3$ . Diese setzt aber die Existenz einer Geraden  $g$  auf der  $F_4$  voraus; eine solche  $F_4$  hängt aber nur von 33 Konstanten ab (s. Nr. 4).

Andererseits die Erzeugung der  $F_4$  durch ein  $F_2$ -Büschel  $B_2$  und ein ihm projektiv zugeordnetes  $F_2'$ -Büschel  $B_2'$ . Dies würde wiederum die Existenz mindestens einer  $C_4$  auf der  $F_4$  voraussetzen; aber auch eine solche  $F_4$  hängt nur von 33 Konstanten ab (s. Nr. 3). Aus diesen Gründen stellt sich *Reye* die verwandte Aufgabe, die klassische *Steiner*-sche Erzeugung einer  $F_2$  durch ein Strahlennetz<sup>2)</sup>  $N_1$  und ein ihm reziprok zugeordnetes  $F_1$ -Netz  $N_1'$  zu einer analogen Erzeugung von  $F_3, F_4, \dots$  auszubauen. Zu dem Behuf bedarf man vorab für die Erzeugung einer  $F_{n+1}$  einer synthetischen Definition resp. Konstruktion einer solchen reziproken Zuordnung eines  $g$ -Netzes  $N_1$  und eines  $F_n$ -Netzes  $N_1$ .

1) *Th. Reye*, Math. Ann. 1 (1869), p. 455; ib. 2 (1870), p. 475. In der ersten Abhandlung werden der Reihe nach die  $F_4, F_5, \dots$  untersucht, die zweite entwickelt die allgemeine Theorie.

2) Im Texte wurde die kürzere Bezeichnung „Netz“ der sonst üblicheren „Bündel“ vorgezogen.

Dies geschieht schrittweise mittels Polarenbildung.

Im nächsthöheren Falle  $n = 2$  adjungiere man der Figur eines  $g$ -Netzes  $N_1$  und eines  $F_2$ -Netzes  $N_2$  einen beliebig, aber fest gewählten Punkt  $P_0$  und denke sich bezügl.  $P_0$  das Netz  $N_1'$  der Polarebenen  $\Pi$  der  $F_2$  des Netzes  $N_2$  konstruiert. Bezieht man dann, wie bei Steiner, die beiden Netze  $N_1$  und  $N_1'$  reziprok aufeinander, so heißen dann auch die beiden Netze  $N_1$  und  $N_2$  „reziprok zugeordnet“ oder kurz „reziprok“, und die Eigenschaften dieser Zuordnung erweisen sich als unabhängig von der Auswahl des Punktes  $P_0$ . Im nächsten Fall eines  $g$ -Netzes  $N_1$  und eines  $F_3$ -Netzes  $N_3$  reduziere man wiederum mittels Polarenbildung das Netz  $N_3$  auf ein  $F_2$ -Netz  $N_2'$ , beziehe nach obiger Regel die beiden Netze  $N_1$  und  $N_2'$  reziprok aufeinander, so sind damit auch die beiden Netze  $N_1$  und  $N_3$  reziprok einander zugeordnet usf. So gelangt man allgemein zur reziproken Beziehung zweier Netze von  $F_p$  und  $F_q$ . Über die noch weitergehende Ausdehnung durch *G. v. Escherich* s. u.

Sind nun auf diesem Wege ein  $g$ -Netz  $N_1$  und ein  $F_n$ -Netz  $N_n$  reziprok aufeinander bezogen, so erscheint eine  $F_{n+1}$  als Ort der  $n$  Schnittpunkte je einer  $g$  in  $N_1$  mit der zugeordneten  $F_n$  in  $N_n$ .

Umgekehrt beweist dann *Reye*, daß eine solche Erzeugung einer beliebig vorgelegten  $F_{n+1}$  stets, und auf noch mannigfaltige Art, ausführbar ist; als Zentrum des  $g$ -Netzes  $N_1$  ist jeder beliebige Punkt der  $F_{n+1}$  wählbar. Insbesondere erscheint so eine  $F_4$  als überdeckt mit unendlich vielen Reihen von 27 Punkten als Grundpunkten von  $F_3$ -Netzen.

Es empfiehlt sich, die entsprechende algebraische Entwicklung an die Seite zu stellen.

Der Vollständigkeit halber werde mit dem einfachsten Falle der  $F_2$  begonnen.

Sei die Koordinatenecke  $A_m$  das Zentrum des  $g$ -Netzes  $N_1$ , während das  $F_1$ -Netz  $N_1'$  aus irgend drei partikulären, linear-unabhängigen  $F_1$ :  $y_i = 0, y_k = 0, y_l = 0$  aufgebaut sei. Die Gleichung von  $N_1'$  lautet dann in drei homogenen Parametern  $v$

$$(1) \quad N_1' \equiv v_i y_i + v_k y_k + v_l y_l \equiv (vy) = 0.$$

Irgendein Individuum  $g$  des Netzes  $N_1$  werde festgelegt durch die homogenen Koordinaten  $x_i, x_k, x_l$  seiner Spur in der Ebene  $E(x_m = 0)$  als seine Parameter; ein laufender Punkt  $P$  auf  $g$  bestimmt sich durch Angabe des Wertes der nichthomogenen Koordinate  $x_m$  nach dem Schema

$$(2) \quad N(x_i, x_k, x_l; x_m).$$

Man bestimme zunächst den Schnittpunkt  $(x_i, x_k, x_l; x_m)$  irgendeiner

$F_1$  von  $N_1$  mit irgendeiner  $g$  in  $N$ , so daß die beiden Wertsysteme der  $(v_i, v_k, v_l)$  und  $(x_i, x_k, x_l)$  als gegeben anzusehen sind. Dann liefert den noch fehlenden Wert von  $x_m$  die in  $x_m$  lineare Gleichung (1). Nunmehr seien die beiden Netze  $N$  und  $N_1$  reziprok aufeinander bezogen, so daß die  $v_i, v_k, v_l$  beliebig, aber fest gegebene Linearformen  $l$  in den  $x_i, x_k, x_l$  seien:

$$(3) \quad \varrho v_r = l_r(x_i, x_k, x_l) \quad (r = i, k, l).$$

Setzt man diese Werte der  $v$  in (1) ein, so ergibt sich unmittelbar als die Gleichung der gesuchten  $F_2$

$$(4) \quad F_2 \equiv (xy) \equiv (ly) = 0.$$

Die Substitutionen (3) lassen sich bei geeignetem Koordinatensystem so normieren, daß man einfach setzen kann

$$(3') \quad \varrho v_r = x_r \quad (r = i, k, l),$$

womit (4) übergeht in

$$(4') \quad F_2 \equiv (xy) = 0.$$

Umgekehrt ist ersichtlich, daß man die Gleichung einer vorgelegten, durch  $A_m$  gehenden  $F_2$ , und noch in mannigfaltiger Art, nach  $x_i, x_k, x_l$  so anordnen kann, daß sie die Gestalt (4') annimmt.

Die obige Entwicklung läßt sich formal vereinfachen, indem sich die drei Gleichungen (3) in eine einzige zusammenziehen lassen. Man deute zu dem Behuf die  $v$  in (1) als Linienkoordinaten in einer Hilfsebene  $H$ . Dann drücken die Beziehungen (3) aus, daß zwischen den beiden Ebenen  $E$  und  $H$  eine Korrelation  $\Gamma$  besteht; jedem Punkte  $(x_i, x_k, x_l)$  in  $E$  ist linear eine Gerade  $(v_i, v_k, v_l)$  in  $H$  zugeordnet, und vice versa. Führt man daher auch in  $E$  Linienkoordinaten  $(u_i, u_k, u_l)$  ein, so läßt sich das System (3) ersetzen durch die eine in den  $u$  und  $v$  bilineare Korrelationsgleichung

$$(5) \quad \Gamma \equiv \sum a_{rs} u_r v_s \equiv [u, v] \equiv [u, x] = 0.$$

Ordnet man hier nach den  $u$ , so lassen sich die  $x_r$  linear in den  $v_s$  ausdrücken:

$$(6) \quad \sigma x_r = a_{ri} v_i + a_{rk} v_k + a_{rl} v_l.$$

Die Umkehrung nach dem  $v$  liefert Beziehungen von der Gestalt

$$(7) \quad \varrho v_r = \alpha_{ir} x_i + \alpha_{kr} x_k + \alpha_{lr} x_l \equiv l_r(x_i, x_k, x_l),$$

das sind aber wieder die Ausgangsgleichungen (3). Aus der Korrelation  $\Gamma$  (5) geht aber rückwärts wieder die Reziprozität (3) hervor.

Dies Verfahren ist ohne weiteres auf die Erzeugung einer  $F_{n+1}$  ausdehnbar. Es genüge, den Fall  $n = 3$  als Typus zu betrachten. Während das  $g$ -Netz  $N$  (2) bleibt, ersetze man das  $F_1$ -Netz  $N_1$  (1)

durch ein Netz  $N_3$  von  $F_3$

$$(8) \quad N_3 \equiv v_i z_i + v_k z_k + v_l z_l \equiv (vz) = 0,$$

wo die  $z$  vorgegebene quaternäre kubische Formen in  $x_i, x_k, x_l, x_m$  bedeuten. Man bestimme vorab die drei Schnittpunkte  $P_1, P_2, P_3$  irgendeiner  $g(x_i, x_k, x_l)$  in  $N_1$  mit irgendeiner  $F_3(v_i, v_k, v_l)$  in  $N_3$ . Die gesuchten  $x_m$ -Werte der drei Punkte  $P$  sind die Wurzeln der in  $x_m$  kubischen Gleichung (8).

Nunmehr seien wieder die beiden Netze  $N$  und  $N_3$  reziprok aufeinander bezogen mittels dreier Beziehungen von der Gestalt (3). Die Einsetzung der  $v$  in (8) führt unmittelbar zur Gleichung einer  $F_4$

$$(9) \quad F_4 = (vz) \equiv (lz) = 0$$

als Ort der Schnittpunkte irgendeiner  $g$  in  $N$  mit der ihr vermöge (3) reziproken  $F_3$  in  $N_3$ .

Wie oben kann man sich der kanonischen Darstellung (3)  $qv_r = x_r$  bedienen, womit (4) die Normalgestalt annimmt

$$(9') \quad F_4 \equiv (xz) = 0.$$

Liegt umgekehrt eine durch  $A_m$  gehende  $F_4$  vor, so läßt sich ihre Gleichung in noch mannigfaltiger Art nach  $x_i, x_k, x_l$  so anordnen, daß sie in der Normalgestalt (9') erscheint.

Auch die Zusammenziehung der drei Beziehungen (3) in eine einzige Korrelation  $\Gamma$  (5) vollzieht sich ganz wie oben im Falle  $n=1$ .

Damit hat man die algebraische Bestätigung des *Reyeschen* Satzes: „Eine vorgelegte, durch  $A_m$  gehende, im übrigen beliebige  $F_4$  läßt sich, auf noch mannigfaltige Weise, erzeugen als Ort der Schnittpunkte eines  $g$ -Netzes  $N$  mit einem zu ihm reziproken  $F_3$ -Netze  $N_3$ .“ Dann erscheint die Gleichung der  $F_4$  in der Normalgestalt  $(xz) = 0$ . Dabei läßt sich die Reziprozität durch eine Korrelation  $\Gamma$  ersetzen. Analoges gilt für eine  $F_{n+1}$ .

Dem oben entwickelten Grundgedanken hat *G. v. Escherich*<sup>3)</sup> die weiteste Ausdehnung gegeben, die die früheren Untersuchungen über Projektivität und Korrelation, Reziprozität und Apolarität als Sonderfälle umfaßt<sup>4)</sup>, unter möglichster Vereinfachung des Rechenapparates.

3) *G. v. Escherich*, Wien Ber. 75 (1877), p. 523; ib. 85 (1882), p. 526, 893; ib. 87 (1884), p. 1036. In den ersten drei Abhandlungen wird die allgemeine Theorie entwickelt mit Anwendungen auf  $F_4, F'_5, \dots$ ; die letzte bringt die Konstruktionen.

4) Man vgl. etwa: *Th. Reye*, Math. Ann. 1 (1869), p. 455; 2 (1870), p. 475; *H. Valentiner*, Tidsskr. f. Mat. (4) 3 (1879), p. 223; *F. Schur*, Math. Ann. 18 (1881), p. 1; *W. Fiedler*, Zürich Viertelj. 24 (1882), p. 186; *E. de Jonquières*, Paris C. R. 105 (1887), p. 1203; 106 (1887), p. 526, 907; 107 (1888), p. 209; *P. W. White*, Camb. Phil. Soc. Proc. 21 (1920), p. 116 (mit Ausdehnungen auf den  $S_n$ ).

Seien in irgendeinem Raume  $S_r$  zwei lineare „Flächensysteme“ gegeben von den Ordnungen  $p, q$  und den Parameterreihen  $\lambda_r, \mu_s$  ( $r = 0, 1, \dots, i; s = 0, 1, \dots, k$ ) vermöge der Gleichungen

$$(10_\lambda) \quad \sum \lambda_r F_r^{(p)} = 0, \quad \sum \mu_s G_s^{(q)} = 0. \quad (10_\mu)$$

Diese werden als „reziprok“ definiert, wenn die Parameter  $\lambda_r, \mu_s$  an eine feste bilineare Relation

$$(11) \quad \Gamma \equiv [\lambda^{(i)}, \mu^{(1)}] = 0$$

gebunden sind.

Ist dann irgendein partikuläres Wertsystem ( $\mu'$ ) der  $\mu$  vorgegeben, so genügen vermöge (10 $_\lambda$ ) die  $\lambda$  einer linearen Bedingung. Die lineare  $\infty^i$ -Schar (10 $_\lambda$ ) reduziert sich damit auf eine  $\infty^{i-1}$ -fache, die man aus  $i$  linear unabhängigen Individuen  $F$  zusammensetzen mag, von denen nur vorausgesetzt wird, daß sie, wenn auch erst evtl. nach Erfülltsein gewisser Bedingungen, ein gewisses Gebilde  $C(\mu')$  gemein haben, dessen Dimension jenachdem gleich Null, Eins usf. sein kann. Bei variierenden Reihen ( $\mu'$ ) erzeugt  $C(\mu')$  so eine Fläche  $F_n$  der Ordnung  $n = p + q$ .

Man erkennt, wie die Beziehung (11) die Verallgemeinerung der früheren Korrelation  $\Gamma$  (8) ist. Ohne hier auf die allgemeinen Untersuchungen des Verfassers über die Möglichkeit einer reziproken Erzeugung einer vorgelegten  $F_n$  einzugehen, begnügen wir uns mit dem Falle der  $F_4$  im  $S_3$ . Man gelangt dann zu einer zweiten reziproken Erzeugung, wenn man in obigem den Indizes  $p, q, i, k$  die speziellen Werte Zwei beilegt. Einem partikulären Wertsysteme ( $\mu'$ ) der  $\mu$  entspricht dann ein  $F_2$ -Büschel  $B^{(2)}$  mit einer Basiscurve  $C_4^{(2)}$ . Variiert das System ( $\mu'$ ), so trifft jede  $G_2$  der zweiten Schar die reziproke  $C_4^{(2)}$  der ersten Schar in einer Reihe von acht assoziierten Punkten, deren Ort eine  $F_4$  ist, deren Gleichung die „Netzgestalt“ annimmt

$$(12) \quad F_4 = G_2^{(0)} H_2^{(0)} + G_2^{(1)} H_2^{(1)} + G_2^{(2)} H_2^{(2)} = (GH) = 0.$$

Umgekehrt beweist *v. Escherich*, daß sich eine vorgelegte  $F_4$  auf diese Weise, und zwar in noch mannigfaltiger Art, erzeugen läßt. Es existieren unendlich viele Kurven  $C_4$ , die die  $F_4$  in Reihen  $R_{16}$  von 16 Punkten derart treffen, daß sich die  $R_{16}$  je in zwei assoziierte Teilreihen  $R_8$  und  $R_8'$  zerlegen lassen, wo durch jede eine die  $C_4$  nicht enthaltende  $F_2$  hindurchgeht.

Es ist nützlich, die Figur auch von transzendentelem Standpunkt aus zu betrachten.

Man denke sich auf der  $C_4$  einen elliptischen Normalparameter  $u$  ausgebreitet. Sind dann  $u_i$  ( $i = 1, \dots, 16$ ) die Argumente der 16 Schnitt-

punkte  $(C_4, F_4)$ , so gilt nicht nur

$$(13) \quad \sum_{i=1}^{16} u_i = 0,$$

sondern die  $u$  lassen sich auch in zwei Reihen  $u_r (r=1, \dots, 8), u_s (s=9, \dots, 16)$  so zerlegen, daß man zugleich hat

$$(14) \quad \sum_{r=1}^8 u_r = 0, \quad \sum_{s=9}^{16} u_s = 0,$$

die wieder rückwärts (13) nach sich ziehen.

Faßt man zusammen, so erhält man den Satz von *v. Escherich*:

„Eine  $F_4$  läßt sich noch auf eine zweite Art und noch auf mannigfaltige Weise erzeugen durch zwei reziproke  $F_2$ -Netze; die Gleichung der  $F_4$  erscheint dann in der Netzgestalt (12) und die  $F_4$  als überdeckt mit unendlich vielen Reihen von assoziierten Punktoktupeln.“

Auf Grund dieser beiden reziproken Erzeugungen einer  $F_4$  ist es *v. Escherich* weiterhin gelungen, nach Analogie der  $F_3$  (s. „ $F_3$ “, Nr. 20) eine  $F_4$ , die durch 34 vorgegebene Punkte gehen soll, punktweise mit Zirkel und Lineal zu konstruieren.

Wie freilich zu erwarten, gestaltet sich die wirkliche Ausführung äußerst umständlich, so daß der erkenntnistheoretische Wert des Verfahrens mehr auf der *Möglichkeit* der Konstruktion beruht, als auf deren Realisierung im einzelnen.

**3. Rationale und andere Kurven, nebst ihren Invarianten, auf besonderen  $F_4$ .** Die  $F_2$  und  $F_3$  zeichnen sich dadurch aus, daß auf ihnen Scharen rationaler Kurven  $R_n$  einer jeden Ordnung  $n$  liegen. Eine Ausnahme bildet nur der Fall  $n=1$  bei den  $F_3$ , insofern es nur eine endliche Anzahl (= 27) von Geraden gab (s. Art. „ $F_3$ “, Nr. 2). Ähnliches gilt auch für Kurven  $C$  vom Geschlechte 1, 2, ...

Auf diesem Umstande beruht es vornehmlich, daß die allgemeinen  $F_2$  und  $F_3$  eine so umfangreiche Reihe einfacher, schöner und durchsichtiger geometrischer Eigenschaften aufweisen.

Diese Erscheinung hört nun bei allgemeinen  $F_n (n \geq 4)$  auf, woraus umgekehrt wieder folgt, daß die Ableitung spezifischer Eigenschaften solcher  $F_n$  ungemein erschwert wird.

Allgemein hat die Natur der auf einer  $F_4$  gelegenen Kurven *K. Rohn*<sup>4a)</sup> untersucht.

Man beachte vorab, daß für eine  $F_n (n > 3)$  die Anzahl der verschiedenen  $C$ -Familien mit steigender Ordnung  $n$  rasch wächst. Deren

4a) *K. Rohn*, Leipzig Ber. 49 (1897), p. 631. Vgl. auch die vorausgehende Abhandlung von *Rohn* über die  $C$  auf  $F_3$ , ib. 46 (1894), p. 84; Art. „ $F_3$ “, Nr. 15.

Untersuchung wird aber dadurch erleichtert, daß die zugehörigen Restkurven  $C^{(r)}$  niedrigster Ordnung zumeist zerfallen.

Die  $F_4$  zeichnen sich dadurch aus, daß, wenn Ordnung und Geschlecht einer  $C$  auf  $F_4$  vorgegeben sind, von solchen nur eine einzige Familie mit irreduziblen  $C^{(r)}$  existiert, daneben aber auch noch Familien mit reduziblen  $C^{(r)}$  möglich sind.

Die Teile letzterer  $C^{(r)}$  sind entweder alle rational, oder es ist ein irrationaler Teil darunter, oder auch es existieren mehrere äquivalente elliptische Teile.

Dabei übersteigt die Anzahl dieser Teile stets die Anzahl der wirklichen  $D_2$  der reduzibeln  $C^{(r)}$ .

Enthält die  $C^{(r)}$  mehrere äquivalente elliptische Teile, oder auch mehrere sich je nicht treffende rationale, und liegt die  $C^{(r)}$  mit der Ur- $C$  auf einer Fläche  $F_2$  der Ordnung  $\lambda$ , so schneidet die Gesamtheit der  $F_2$  aus der  $F_4$  nur eine Teilschar aus.

Weiter wird der Zusammenhang zwischen den  $C^{(r)}$  verschiedener Ordnung verfolgt. Sodann werden die Konstantenzahlen der  $C$  bestimmt; hierbei werden auch  $C$  mit mehrfach zählenden Teilen berücksichtigt.

Danach werden die  $C$ -Familien auf  $F_4$  in vier Kategorien eingeteilt, für die Tabellen aufgestellt werden.

Beachtenswert ist eine Tabelle, die alle  $C$  bis zur Ordnung 24 umfaßt.

Im folgenden beschränken wir uns auf einige spezielle Arten von  $C$  auf besonderen  $F_4$ .

Wir betrachten zunächst das Auftreten rationaler Kurven  $R_n$ . Eine einfache Abzählung<sup>5)</sup> lehrt, daß bereits auf einer allgemeinen — von 34 Konstanten abhängigen —  $F_4$  keine  $R_n$  ( $n = 1, 2, \dots$ ) liegen kann. Man denke sich auf einer  $R_n$  einen Parameter  $\lambda$  ausgebreitet, so daß die Koordinaten eines laufenden Punktes der  $R_n$  rationale ganze Funktionen von  $\lambda$  werden; einem Werte von  $\lambda$  entspricht nur ein Punkt der  $R_n$  und umgekehrt. Die  $4n$  Punkte, in denen eine  $R_n$  eine  $F_4$  trifft, hängen daher von einer Gleichung  $f_{4n}(\lambda) = 0$  der Ordnung  $4n$  ab, mit voneinander unabhängigen Koeffizienten. Die Forderung, daß die  $R_n$  ganz der  $F_4$  angehöre, ist somit gleichwertig mit dem identischen Verschwinden jener Gleichung. Dies involviert  $4n + 1$  unabhängige Bedingungen, während doch eine allgemeine  $R_n$  nur von  $4n$  Konstanten abhängt. Es muß also eine gewisse Invariante  $J_n$  der  $F_4$  verschwinden und umgekehrt, so daß der Satz gilt:

5) Vgl. auch die Ansätze bei *O. Tognoli*, *Giorn. di mat.* 11 (1873), p. 180.

„Damit eine  $R_n$  auf einer  $F_4$  liege, ist das Verschwinden einer gewissen Invariante  $J_n$  der  $F_4$  notwendig und hinreichend.“

Das Bildungsgesetz dieser  $J_n$  ist bisher nicht ermittelt worden; noch weniger weiß man, ob diese  $J_n$  etwa ein vollständiges resp. relativ vollständiges oder ein Fundamentalsystem bilden, und wie sich andere Invarianten der  $F_4$  durch jene ausdrücken. Für den Fall  $n=2$ , wie vorab bemerkt sei, ist ersichtlich, daß die Existenz einer  $R_2 = C_2$  auf einer  $F_4$  stets die einer zweiten nach sich zieht, nämlich der Restkurve der Ebene  $E(C_2)$  (s. auch Nr. 6). Dies tritt auch in der Gleichung einer  $F_4$  mit einer  $C_2$  hervor, die von der Form sein muß

$$(1_2) \quad F_4 \equiv F_2 G_2 - F_1 F_3 = 0.$$

Allgemein lege man durch eine auf der  $F_4$  gelegen gedachte  $R_n$  eine  $F$  niedrigster Ordnung  $g$ , so zieht die Existenz der  $R_n$  zugleich die einer Restkurve  $C_{4g-n}$  nach sich, so daß auch für das Auftreten einer solchen das Verschwinden der Invariante  $J_n$  charakteristisch ist (s. Art. III C 9, *Rohn-Berzolari*, Algebraische Raumkurven und abwickelbare Flächen).

Es ist nützlich, die Natur dieser Restkurven für die niedrigsten Werte von  $n = 1, 2, \dots, 6$  direkt zu untersuchen.

In den Fällen  $n = 1$  bis 4 geht mindestens eine  $F_2$  durch die  $R_n$  und in den beiden weiteren Fällen  $n = 5, 6$  mindestens eine  $F_3$ . Man wird daher umgekehrt von einer  $F_2$  resp.  $F_3$  ausgehen und durch eine auf ihr gelegen gedachte  $R_n$  eine im übrigen beliebige  $F_4$  legen und sodann die Restkurve mittels der Abbildung der  $F_2$  resp.  $F_3$  auf eine Ebene bestimmen (s. Art. „ $F_3$ “, Nr. 11).

*Der Fall  $n = 1$ .*

Die Gleichung der  $F_4$  hat die Gestalt

$$(1_1) \quad F_1 F_3 - F_1' F_3' = 0;$$

die  $F_4$  ist also erzeugbar durch ein Ebenenbüschel und ein ihm projektiv zugeordnetes  $F_3$ -Büschel, und umgekehrt.

Man greife auf einer  $F_2$  eine erzeugende Gerade  $g$  heraus und lege durch sie eine  $F_4$ ; die Restkurve ist eine  $C_7$ .

Bei der (stereographischen) Abbildung der  $F_2$  auf eine Ebene  $H$  mit zwei Fundamentalpunkten  $A_1, A_2$  (s. „ $F_3$ “, Nr. 16, Note 67) ist das Bild des Schnittes  $C_8$  der  $F_2$  mit einer beliebigen  $F_4$  eine  $c_8$  mit  $d_4$  in  $A_1$  und  $A_2$ , und das Bild einer  $g$  auf  $F_2$  eine Gerade  $c_1$  durch einen der beiden Fundamentalpunkte, etwa  $A_1$ . Somit ist das Bild der Restkurve  $C_7$  eine  $c_7$  mit  $d_3$  in  $A_1$  und  $d_4$  in  $A_2$ . Eine solche  $c_7$  hat aber das Geschlecht  $p = 15 - 3 - 6 = 6$ .

Mithin ist auch die fragliche  $C_7$  eine  $C_7^{(6)}$  vom Geschlecht 6, und es gilt:

„Das Verschwinden der Invariante  $J_1$  einer  $F_4$  ist zugleich charakteristisch für die Existenz einer (und damit unendlich vieler)  $C_7^{(6)}$  auf der  $F_4$ .“

Der Fall  $n = 1$  ist auch dadurch ausgezeichnet, daß man durch  $g$  ein Bündel von Ebenen legen kann, die aus der  $F_4$  noch eine  $c_3$  ausschneiden. Also ist das Verschwinden von  $J_1$  auch charakteristisch für die Existenz einer und damit unendlich vieler  $c_3$  auf der  $F_4$ .

Die Invariante  $J_1$  läßt sich in normierter Gestalt leicht bilden. Eine (nicht nullteilige)  $F_4$  läßt sich stets darstellen durch eine Gleichung von der Form  $c_1 F_3 + c_1' F_3' + c_3'' F_3'' = 0$ , wo die  $c$  ternäre Linearformen in  $x_i, x_k, x_l$  sind. Denn diese Gleichung besagt lediglich, daß die Fläche  $F_4$  die Koordinatenecke  $A_m$  enthält. Dann aber wird  $J_1$  einfach die Determinante der  $c$ . Denn deren Verschwinden ist notwendig und hinreichend dafür, daß die drei Formen  $c$  linear abhängig werden; damit reduziert sich aber die Gleichung der  $F_4$  auf die Gestalt  $(1_1)$ .

Der Fall  $n = 2$  (s. die obige Gleichung  $(1_2)$ ).

Das Bild einer  $C_2$  auf einer  $F_2$  ist eine  $c_2$  durch  $A_1$  und  $A_2$ . Legt man durch die  $C_2$  eine  $F_4$ , so ergibt sich als Restkurve eine  $C_6$ . Das Bild derselben ist eine  $c_6$  mit  $d_3$  in  $A_1$  und  $A_2$ , also eine  $c_6^{(4)}$  vom Geschlecht  $p = 10 - 2 \cdot 3 = 4$ . Eine solche  $c_6$  ist rational transformierbar in eine  $c_6$  mit  $6d_2$ . Hiervon kann man sich auch direkt überzeugen. Durch die  $C_6$  läßt sich auch eine  $F_3$  legen. Geht man wieder umgekehrt von einer allgemeinen  $F_3$  und deren Abbildung aus, so ist in der Tat das Bild des Schnittes der  $F_3$  mit einer beliebigen  $F_2$  eine  $c_6$  mit  $d_2$  in den sechs Fundamentalpunkten  $A_i$  ( $i = 1, \dots, 6$ ) (s. Art. „ $F_3$ “, Nr. 11). Projiziert man eine allgemeine  $C_6^{(4)}$  von einem beliebigen Raumpunkt aus, so ergibt sich als Projektion eben eine  $c_6$  mit  $6d_2$ ; durch die  $C_6^{(4)}$  geht eine einzige  $F_2$ , die Fläche ihrer Trisekanten. Liegt im besonderen das Projektionszentrum auf dieser  $F_2$ , so wird die Projektion eine obige  $c_6$  mit zwei  $d_3$ . Man hat also:

„Das Verschwinden der Invariante  $J_2$  einer  $F_4$  ist zugleich charakteristisch für die Existenz einer (und damit unendlich vieler)  $C_6^{(4)}$  auf der  $F_4$ .“

Dies steht in Übereinstimmung mit der Gleichung  $(1_2)$ .

Anders verhält es sich mit der Frage nach dem etwaigen Auftreten von Kurven  $C_6^{(3)}$ , vom Geschlecht Drei (s. Art. „ $F_3$ “, Nr. 1, 11) auf einer allgemeinen  $F_4$ . Eine solche  $C_6^{(3)}$  erscheint am einfachsten als Schnitt von zwei  $F_3$ , die noch eine (irreduzible)  $C_3$  gemein haben.

Wählt man bei der Abbildung einer der beiden  $F_3$  als Bild der  $C_3$  eine  $r_6$ , mit  $d_2$  in den sechs Punkten  $A$ , so wird das Bild der  $C_6^{(3)}$  eine allgemeine Normalkurve  $c_4$  (mit  $p = 3$ ) durch die  $A$ . Algebraisch läßt sich eine  $C_6^{(3)}$  darstellen durch das simultane Verschwinden der Determinanten einer Matrix von der Gestalt  $|A_i, B_i, C_i, D_i|$  ( $i = 1, 2, 3$ ) mit quaternären Linearformen als Elementen. Somit ist eine  $F_4$  durch eine  $C_6^{(3)}$  darstellbar durch eine vierreihige Determinante mit beliebigen quaternären Linearformen als Elementen

$$(1'_2) \quad F_4 = |ABCD| = 0.$$

Geometrisch sagt diese Darstellung aus, daß eine solche  $F_4$  erzeugbar ist durch quadrilineare Zuordnung von vier Ebenengebüschen.

Von diesem Gesichtspunkt aus hat eine solche  $F_4$  mit einer  $C_6^{(3)}$  zuerst *F. Schur*<sup>6)</sup> synthetisch untersucht und festgestellt, daß sie, wenn auch nur von 33 Konstanten abhängig, im übrigen mit den allgemeinen  $F_4$  die wesentlichsten Eigenschaften gemein hat. Damit ergibt sich zugleich, daß auch für die Existenz einer  $C_6^{(3)}$  auf einer  $F_4$  das Verschwinden einer gewissen Invariante, die mit  $J_2'$  bezeichnet sei, charakteristisch ist. Dann aber existieren auch unendlich viele  $C_6^{(3)}$  auf der  $F_4$ , da, wie die Abbildung der  $F_3$  zeigt, jede weitere  $F_4$  durch die  $C_6^{(3)}$  die vorgelegte  $F_4$  noch in einer solchen  $C_6^{(3)}$  als Restkurve schneidet.

*Der Fall  $n = 3$ .*

Sei jetzt  $J_3 = 0$ ; die  $F_4$  besitze eine (irreduzible, gewundene)  $C_3$ . Man lege wiederum durch die  $C_3$  irgendeine  $F_2$ , so ergibt sich eine Restkurve  $C_5$ . Um deren Natur zu erkennen, gehe man wieder umgekehrt von einer gegebenen  $F_2$  aus und lege durch eine auf ihr befindliche  $C_3$  eine im übrigen beliebige  $F_4$ . In der Bildebene  $H$  ist das Bild der  $C_3$  entweder eine  $c_2$  durch einen der beiden Punkte  $A$ , etwa  $A_1$ , oder aber eine  $r_3$  mit  $d_2$ , etwa in  $A_1$  und  $d_1$  in  $A_2$ .

Diese Bildkurve ist zu einer  $c_3$  mit  $d_4$  in  $A_1$  und  $A_2$  zu vervollständigen.

Die Ergänzungskurve ist also im ersten Falle — nach Absonderung der Geraden ( $A_1, A_2$ ) — eine  $c_5$  mit  $d_2$  in  $A_1$ ,  $d_3$  in  $A_2$ , also eine  $c_5^{(2)}$  vom Geschlecht 2, wie sich im zweiten Falle direkt ergibt.

Die Raumkurve  $C_5$  ist also ebenfalls vom Geschlecht 2, eine  $C_5^{(2)}$ ; eine solche wird von einem beliebigen Punkte aus in eine  $c_5^{(2)}$  mit  $4d_2$  projiziert, und die durch sie gehende  $F_2$  ist die Fläche der Trisekanten.

Zu einer solchen  $c_5^{(2)}$  mit  $4d_2$  gelangt man wieder direkt durch den Schnitt der  $F_2$  mit einer allgemeinen  $F_3$ , die mit  $F_2$  eine Gerade

6) *F. Schur*, Math. Ann. 18 (1881), p. 1.

$g$  gemein hat (s. Art. „ $F_3$ “, Nr. 11). Das Bild von  $g$  in  $\mathbb{H}$  ist eine  $c_1$ , etwa durch  $A_1$ , und die Restkurve wiederum eine  $c_5^{(2)}$  mit  $d_2$  in  $A_1$ ,  $d_3$  in  $A_2$ . Bedient man sich andererseits der Clebschschen Abbildung der  $F_3$  und sei das Bild von  $g$  etwa eine Gerade  $c_{ik} = (A_i, A_k)$ , so wird das Bild der Restkurve  $C_5^{(2)}$  in der Tat eine  $c_5^{(2)}$  mit  $4d_2$ , in  $A_1, \dots, A_p$  (und  $d_1$  in  $A_i, A_k$ ). Es ergibt sich somit:

„Das Verschwinden der Invariante  $J_3$  einer  $F_4$  ist zugleich charakteristisch für die Existenz einer (und damit unendlich vieler)  $C_5^{(2)}$  auf der  $F_4$ .“

Hier lassen sich weitere Folgerungen anknüpfen.

Algebraisch ist eine  $C_3$  darstellbar durch das simultane Verschwinden der drei Determinanten einer Matrix  $|A_i, B_i, C_i|$  ( $i = 1, 2$ ). Somit ist eine  $F_4$  mit  $C_3$  darstellbar als dreireihige Determinante von der Gestalt

$$(1_3) \quad \begin{vmatrix} F_2, G_2, H_2 \\ A_1, B_1, C_1 \\ A'_1, B'_1, C'_1 \end{vmatrix} = 0,$$

wo  $F_2, G_2, H_2$  quadratische Formen sind. Zu einer weiteren geometrischen Eigenschaft einer solchen  $F_4$  mit  $C_3$  gelangt man, wenn man von irgendeinem (variierenden) Punkte  $P$  der  $F_4$  an die  $C_3$  die einzige Sekante  $s$  legt, die die  $F_4$  in einem Restpunkte  $Q$  treffe. „Dadurch ist auf der  $F_4$  eine (1, 1)-deutige involutorische Punktverwandtschaft ( $P, Q$ ) hergestellt.“

Hierauf gestützt, kann man eine  $F_4$  mit  $C_3$  explizite irrational in der Weise darstellen, daß die Koordinaten eines Punktes  $P$  der  $F_4$  als ganze Formen in drei Parametern  $\alpha, \beta, \tau$  erscheinen, wo  $\tau$  eine quadratische Irrationalität der  $\alpha, \beta$  ist.

Um eine solche Gestalt in einfachster Darstellung zu gewinnen, wähle man die  $C_3$  als Normkurve  $N_3 = N_3$  (s. Art. „ $F_3$ “, Nr. 12, 19). Bezeichnet man daher jetzt die Koordinaten eines Punktes mit  $x_3, x_2, x_1, x_0$ , so wird die implizite Normaldarstellung einer  $F_4$  mit  $N_3$

$$(1'_3) \quad F_4 = \begin{vmatrix} F_2, G_2, H_2 \\ 3x_0, x_1, x_2 \\ x_1, x_2, 3x_3 \end{vmatrix} = 0.$$

Auf der  $N_3$  sei ein Parameter  $\lambda$  ausgebreitet: Eine Sekante, die zwei Kurvenpunkte  $(\alpha), (\beta)$  verbindet, sei mit  $s(\alpha, \beta)$  bezeichnet; man schneide die  $F_4$  mit einer solchen. Die Koordinaten eines laufenden Punktes von  $s$  sind

$$(2) \quad x_3 : x_2 : x_1 : x_0 = \alpha^3 + \tau\beta^3 : 3(\alpha^2 + \tau\beta^2) : 3(\alpha + \tau\beta) : 1 + \tau.$$

Zunächst ergibt eine leichte Rechnung, daß man, nach Einsetzung von (2) in die Teildeterminanten  $3x_0x_2 - x_1^2$ ,  $9x_0x_3 - x_1x_2$ ,  $3x_1x_3 - x_2^2$ , abgesehen von dem gemeinsamen Faktor  $2(\alpha - \beta)^2$ , die Werte  $1$ ,  $\alpha + \beta$ ,  $\alpha\beta$  erhält. Andererseits hat man (2) in die quadratischen Formen  $F_2$ ,  $G_2$ ,  $H_2$  einzutragen. Es genügt die Betrachtung einer der Formen, etwa von  $F_2 = F$ . Schreibt man symbolisch  $F = (ax)^2$ , so geht der symbolische Faktor  $(ax)$  vermöge (2) über in die kubische binäre Form  $(ax)^3 + \tau(\alpha\beta)^3$ , wo eine Verwechslung der binären Symbole  $a$  mit den quaternären nicht zu befürchten ist. Die Quadratur von  $(ax)$  liefert

$$(a\alpha)^6 + 2\tau(a\alpha)^3(a\beta)^3 + \tau^2(a\beta)^6.$$

Die Bedeutung der drei hier auftretenden Formen liegt auf der Hand. Die Fläche  $F_2 = F$  trifft die  $N_3$  in sechs Punkten, deren  $\lambda$ -Argumente die Wurzeln der binären Form  $f_6 = (a\lambda)^6$  sind. Durch Einsetzung von  $\lambda = \alpha$  und  $\lambda = \beta$  ergeben sich  $(a\alpha)^6$  und  $(a\beta)^6$ , während  $(a\alpha)^3(a\beta)^3$  diejenige Polarform ist, deren Verschwinden aussagt, daß das Punktepaar  $(\alpha, \beta)$  harmonisch liegt zum Paar der Schnittpunkte von  $s$  mit  $F$ . Bezeichnet man analog  $G_2$  mit  $(bx)^2$ ,  $H_2$  mit  $(cx)^2$ , so gelangt man zur Bestimmung der beiden Restschnittpunkte  $P, Q$  von  $s$  mit der  $F_4$  zu der in  $\tau$  quadratischen Gleichung

$$(3) \quad \varphi(\tau) \equiv \{\alpha\beta(a\alpha)^6 + (\alpha + \beta)(b\alpha)^6 + (c\alpha)^6\} \\ + 2\tau\{\alpha\beta(a\alpha)^3(a\beta)^3 + (\alpha + \beta)(b\alpha)^3(b\beta)^3 + (c\alpha)^3(c\beta)^3\} \\ + \tau^2\{\alpha\beta(a\beta)^6 + (\alpha + \beta)(b\beta)^6 + (c\beta)^6\} = 0,$$

die sich auch leicht in realer Gestalt schreiben ließe.

Damit ist in der Tat durch Kombinierung von (2) mit der Bedingung (3) die gesuchte Darstellung der  $F_4$  ( $1'_3$ ) erreicht. Von dieser algebraischen irrationalen Darstellung der  $F_4$  kann man zu einer korrespondierenden transzendenten durch hyperelliptische Funktionen von zwei Variablen übergehen (s. Nr. 26, 71).

*Der Fall  $n = 4$ .*

Durch eine allgemeine  $R_4$  geht eine einzige  $F_2$ . Umgekehrt gehe man wieder von einer  $F_2$  aus und einer auf ihr befindlichen  $R_4$ ; durch letztere lege man eine im übrigen beliebige  $F_4$ .

Das Bild der  $R_4$  in der Ebene  $H$  ist eine  $r_3$  mit  $d_2$  in einem der beiden Punkte  $A$ , etwa  $A_1$ , oder auch eine  $r_4$  mit  $d_1$  in  $A_1$ , und  $d_3$  in  $A_2$ . Im ersteren Falle ist die Ergänzung der  $r_3$  zu einer  $c_3$  mit  $d_4$  in  $A_1$  und  $A_2$ , nach Absonderung der Geraden  $(A_1, A_2)$ , eine  $r_4$  mit  $d_1$  in  $A_1$  und  $d_3$  in  $A_2$ . Im letzteren Falle gelangt man von einer solchen  $r_4$  zur obigen  $r_3$  zurück.

Somit ergibt sich:

„Denkt man sich die Bedingung  $J_4 = 0$  erfüllt, so zieht die Existenz einer  $R_4$  auf der  $F_4$  die einer zweiten solchen  $R_4$  nach sich; beide zusammen bilden den vollen Schnitt der  $F_4$  mit einer  $F_2$ . Über den Fall einer elliptischen  $C_4$  s. u.

*Der Fall  $n = 5$ .*

Durch eine allgemeine  $R_5$  geht als Fläche niedrigster Ordnung eine  $F_3$ . Man lege also eine  $F_3$  und irgendeine auf ihr befindliche  $R_5$  zugrunde. Das Bild einer solchen  $R_5$  ist eine  $r_3$  mit  $d_2$  in  $A_i$ ,  $d_1$  in  $A_k$  und  $A_l$ , oder auch eine  $r_4$  mit  $d_2$  in  $A_i$ ,  $A_k$ ,  $A_l$ , und  $d_1$  in  $A_m$ , oder endlich eine  $r_5$  mit  $d_3$  in  $A_i$ ,  $d_3$  in  $A_k$ ,  $A_l$ ,  $A_m$ , und  $d_1$  in  $A_n$ . Andererseits ist das Bild der Schnittkurve  $C_{12}$  der  $F_3$  mit einer beliebigen  $F_4$  eine  $c_{12}$  mit  $d_2$  in allen sechs  $A$ .

In ersterem Falle ist die Ergänzungskurve zur  $r_3$  eine  $c_9$  mit  $d_2$  in  $A_i$ ,  $d_3$  in  $A_k$ ,  $A_l$ ,  $d_4$  in  $A_m$ ,  $A_n$ ,  $A_p$ . Eine solche  $c_9$  hat das Geschlecht  $p = 28 - 1 - 2 \cdot 3 - 3 \cdot 6 = 3$ . Somit ist auch auf der  $F_4$  die Ergänzungskurve der  $R_5$  eine  $C_7^{(3)}$  vom Geschlecht 3.

Dies bestätigt sich in den beiden andern Fällen, was nicht weiter ausgeführt werde.

Damit hat man:

„Ist die Bedingung  $J_5 = 0$  erfüllt, so zieht die Existenz einer  $R_5$  auf der  $F_4$  die Existenz einer (und damit unendlich vieler)  $C_7^{(3)}$  nach sich, und umgekehrt. Zwei solche Kurven  $R_5$  und  $C_7^{(3)}$  bilden den vollen Schnitt der  $F_4$  mit einer  $F_3$ .

*Der Fall  $n = 6$ .*

Durch eine allgemeine  $R_6$  geht eine einzige  $F_3$ . Sei also umgekehrt vorgelegt eine  $F_3$  nebst irgendeiner  $R_6$  auf ihr, durch die man eine im übrigen beliebige  $F_4$  lege.

Das Bild der  $R_6$  ist eine  $r_3$  mit  $d_2$  in  $A_i$ ,  $d_1$  in  $A_k$ , oder eine  $r_4$  mit  $d_2$  in  $A_i$ ,  $A_k$ ,  $A_l$ , oder eine  $r_5$  mit  $d_3$  in  $A_i$ ,  $d_3$  in  $A_k$ ,  $A_l$ ,  $A_m$ , usf., bis zu einer  $r_9$  mit  $d_2$  in  $A_i$ ,  $d_3$  in  $A_k$ ,  $d_4$  in  $A_l$ ,  $A_m$ ,  $A_n$ ,  $A_p$ . In der Tat ist auch letztere Kurve rational, denn sie besitzt das Geschlecht  $p = 28 - 1 - 3 - 4 \cdot 6 = 0$ .

Wählt man etwa den ersten Typus der  $r_3$ , so ist die Ergänzungskurve zu einer  $c_{12}$  mit  $d_4$  in allen sechs  $A$  eben eine  $r_9$  von der oben angegebenen Art.

Mithin ist die Ergänzungskurve zur  $R_6$  im Schnitte ( $F_3$ ,  $F_4$ ) wiederum eine solche  $R_6$ , und umgekehrt.

Man hat daher:

„Für  $J_6 = 0$  zieht die Existenz einer  $R_6$  auf der  $F_4$  die Existenz

einer zweiten solchen  $R_6$  nach sich. Beide Kurven bilden zusammen den vollen Schnitt der  $F_4$  mit einer  $F_3$ ."

*Elliptische  $C_n$  auf der  $F_4$ .*

Auch hier beschränken wir uns auf die einfachsten Fälle.

Der niedrigste, aber wichtigste Fall ist  $n = 4$ .

Durch eine  $C_4$  geht noch ein Büschel von  $F_2$ : Die Existenz einer  $C_4$  auf einer  $F_4$  zieht daher die Existenz von unendlich vielen weiteren solchen nach sich. Dies geht auch unmittelbar aus der Gleichung der  $F_4$  hervor, die von der Gestalt sein muß

$$(1_4) \quad F_4 \equiv F_2 G'_2 - F'_2 G_2 = 0.$$

Diese ist übrigens gleichwertig mit der andern

$$(1'_4) \quad F_4 \equiv \sum_{i=1}^4 a_i F_2^{(i)2} = 0.$$

Denn spaltet man die linke Seite von  $(1'_4)$  in zwei Aggregate von je zwei Quadraten und zerlegt jedes der beiden Aggregate in das Produkt von zwei  $F_2$ -Faktoren, so gelangt man zu der Darstellung  $(1_4)$  zurück, und entsprechend vice versa.

Die Darstellung  $(1'_4)$  sagt geometrisch aus, daß die  $F_4$  erzeugbar ist durch projektive Zuordnung von zwei  $F_2$ -Büscheln.<sup>7)</sup>

Noch *G. Salmon* (s. „*Salmon-Fiedler*“, 3. Aufl. [1882] Nr. 340) nahm an, daß eine allgemeine  $F_4$  der Darstellungen  $(1'_4, 1''_4)$  fähig sei.

Indessen wies *G. Valentiner*<sup>8)</sup>, indem er zugleich die Fragestellung zugleich erheblich verallgemeinerte, nach, daß jene Annahme unzutreffend sei.

Schon *Th. Reye* (s. Nr. 2) hatte betont, daß eine  $F_{p+q}$  nur dann durch zwei projektiv zugeordnete Büschel von  $F_p$  und  $F_q$  erzeugbar sein kann, wenn sie unendlich viele Schnittkurven  $C_{pq} = (F_p, F_q)$  enthält. Indessen hat *Reye* nicht weiter untersucht, ob und wann die obige Bedingung für eine  $F_{p+q}$  erfüllt ist.

*Valentiner* geht so vor. Sei etwa  $p \geq q$ . Man setze zur Abkürzung

$$a_n = \binom{n+1}{3} - 1, \quad A_{pq} = a_p - a_{p-q} - 1.$$

Dann ergibt sich zunächst  $A_{pq}$  als die Anzahl der Punkte einer  $F_q$ , die eine  $C_{pq} = (F_q, F_p)$  auf ihr bestimmen.

7) Diese Erzeugung ist verschiedentlich weiter verfolgt worden, vgl. u. a. *Th. Reye*, *Math. Ann.* 1 (1869), p. 455; *H. Durrande*, *Nouv. Ann.* (2) 9 (1870), p. 440; *L. Cremona*, „*In Memoriam D. Chelini*“, 1881, p. 413; *E. de Jonquières*, *Paris C. R.* 107 (1888), p. 209.

8) *G. Valentiner*, *Tidsskr. f. Mat.* (4) 3 (1879), p. 22; *Dissert.* Kjöbenhavn 1881.

Weiter setze man

$$\begin{cases} A_{npq} = a_n - a_{n-p} - a_{n-q} - 1 & (\text{für } n < p + q), \\ a_{npq} = a_n - a_{n-p} - a_{n-q} + a_{n-p-q} & (\text{für } n \geq p + q). \end{cases}$$

Dann werden die Bedingungen aufgestellt, daß eine  $F_n$  eine  $C_{pq}$  enthält, sowie daß eine  $F_n$  durch  $A_{npq}$  resp.  $a_{npq}$  Punkte einer  $C_{pq}$  geht.

Daß diese Bedingungen notwendig und hinreichend sind, läßt sich an der Hand einer speziellen  $C_{pq}$  nachweisen, die, zusammen mit einer  $C_{q(n-p)}$ , den vollen Schnitt mit einer gewissen  $F'_q$  bildet. Wählt man dann insbesondere die  $F'_q$  als ein  $q$ -tupel von Ebenen, so läßt sich der obige Satz durch vollständige Induktion erhärten. Alsdann folgt aber, daß eine  $F_n$  ( $n \geq 4$ ) mit einer  $C_{pq}$  nicht die allgemeine Fläche ihrer Ordnung sein kann. Endlich wird auch die Anzahl der Konstanten ermittelt, von der eine  $F_n$  mit einer  $C_{pq}$  abhängt, nämlich

$$a_p + a_q + a_{n-p} + a_{n-q} - a_{p-q} - a_{n-p-q} - 1 \quad (n > p + q, p \geq q).$$

Für  $n = 4, p = q = 2$  ergibt sich die Anzahl  $33 = 34 - 1$ . Mithin muß eine gewisse (bisher noch nicht aufgestellte) Invariante  $J'_4$  der  $F_4$  verschwinden, damit letztere eine (und damit unendlich viele)  $C_4$  besitzt. Es gilt also der Satz:

„Das Verschwinden einer Invariante  $J'_4$  einer  $F_4$  ist charakteristisch für die Existenz einer (und damit unendlich vieler)  $C_4$  auf der  $F_4$ , und damit für die Darstellbarkeit ( $1'_4$ ) oder auch ( $1''_4$ ), oder, was geometrisch auf dasselbe hinauskommt, für die Erzeugbarkeit der  $F_4$  durch zwei projektiv zugeordnete  $F_3$ -Büschel.“

Im übrigen ist bei der Methode von *Valentiner* zu beachten, daß sie sich auf volle Schnittkurven  $C_{pq}$  beschränkt. Der allgemeinere Fall, wo eine  $C$  (auf einer  $F_n$ ) als Partialschnitt von drei resp. vier Flächen erscheint, ist erst durch die allgemeine Restkurventheorie von *M. Noether* und *G. Halphen* erledigt worden.

Das Ergebnis *Valentiners* für die Konstantenzahl hat *A. Cayley*<sup>9)</sup> einfacher direkt abgeleitet. Sind  $F_r, F_s, F_t, F_u$ , mit  $r + s = t + u$  vorgelegte beliebige quaternäre Formen, so läßt sich die Anzahl der Konstanten in der Form  $F_r F_s - F_t F_u$  dadurch ermitteln, daß sie in die ihr kongruente Gestalt gebracht wird

$$(F_r + \alpha F_t)(F_s + \beta F_t) - F_t(F_u + \alpha F_s + \beta F_r + \alpha \beta F_t),$$

wo die  $\alpha, \beta$  gewisse willkürliche Hilfsformen sind.

**4. Die Kanonisierung der  $F_4$  und Reyes Dekaaeder. Sonderfälle.** Die  $F_3$  (s. Art. „ $F_3$ “, Nr. 3) besaß ein „Pentaeder“, d. h. die Form  $F_3$  ließ sich (auf eine einzige Art) als Aggregat von fünf Kuben dar-

9) *A. Cayley*, *Tiddskr. f. Mat.* (4) 4 (1880), p. 145.

stellen. In Note 12 daselbst war auf einen Beweis hingewiesen, den *Th. Reye*<sup>10)</sup> mittels „höherer Momente“ geführt hatte.

Da das mechanische Prinzip des Beweises auch auf  $F_4$  (und  $F_n$ ) ausdehnbar ist, sei jetzt näher darauf eingegangen.

Schon *O. Hesse*<sup>11)</sup> hatte gezeigt, daß ein starrer Körper  $K$  hinsichtlich seiner Momente  $M$  auf  $\infty^6$  Arten durch vier Massenpunkte  $m_i$  ( $i = 1, 2, 3, 4$ ) ersetzbar ist. Der erste Punkt ist willkürlich wählbar, dann ist seine Masse  $m_1$ , und die Ebene  $E_1$  der drei andern Punkte bestimmt. In dieser Ebene  $E_1$  ist ein zweiter Punkt beliebig annehmbar, womit seine Masse  $m_2$  und die Gerade  $g_{34}$  der beiden Restpunkte bestimmt ist. Wählt man endlich noch auf dieser Geraden irgendeinen beliebigen Punkt als dritten Massenpunkt, so ist alles festgelegt.

Dabei haben die vier Massen  $m_i$  dieselbe Gesamtmasse  $M$  und denselben Schwerpunkt  $S$  wie der Körper  $K$ .

Die rein geometrische Figur der vier Punkte zeigt ganz die Eigenschaften eines Poltetraeders einer  $F_2$ . In der Tat existiert nach *Hesse* ein nullteiliges Ellipsoid  $E$  mit dem Zentrum  $S$ , für das die obigen vier Massenpunkte die Ecken eines Poltetraeders sind. Für alle Tangentialebenen von  $E$  und nur für diese verschwinden die Momente  $M$  von  $K$ .

Hieran knüpft *Reye* die Frage, ob auch hinsichtlich seiner  $n^{\text{ten}}$  Momente  $M_n$  ein Massensystem  $K$  durch eine endliche Anzahl von Massenpunkten ( $m_i$ ) ersetzbar sei? Hierbei ist  $M_n$ <sup>12)</sup> hinsichtlich einer Ebene  $E$  definiert durch das Integral  $\int r^n dm$ , unter  $r$  den Abstand eines Punktes  $P$  des Systems von  $E$  verstanden. Oder genauer: wenn man sich die Gleichung von  $E$  in der *Hesseschen* Normalform gegeben denkt, ist

$$(1) \quad M_n = \int (\alpha x + \beta y + \gamma z - p)^n dm.$$

Die Entwicklung nach Potenzprodukten der  $x, y, z$  liefert ein Aggregat von  $\nu = \binom{n+1}{3}$  Gliedern.

Hieraus folgt, daß sich  $M_n$  für jede Ebene bestimmen läßt, wenn es für  $r$  (unabhängige) Ebenen  $E_r$  bekannt ist.

Soll  $M_n$  einen vorgegebenen Wert  $M$  haben, so umhüllen die zugehörigen  $E$  eine Fläche  $P_n$  resp.  $P_{2n}$ , je nachdem  $n$  gerade oder ungerade ist; und jede beliebige  $E$  gehört zu einer solchen Fläche ( $M$ ).

10) *Th. Reye*, J. f. Math. 72 (1870), p. 293; ib. 78 (1874), p. 114, 123.

11) *O. Hesse*, Analytische Geometrie des Raumes, Leipzig 1869, 2. Aufl.; Vorles. 25.

12) Der Fall  $n = 2$  ist eingehender verfolgt worden durch *F. Ruffini*, Bol. Mem. (4) 4 (1884), p. 123.

Unter dieser Schar von Flächen ( $M$ ) ist diejenige von besonderer Bedeutung, für deren Tangentialebenen  $T$  das Moment  $M_n$  verschwindet; sie heißt die „ $n^{\text{te}}$  Nullfläche  $P_n$ “.

Hieran schließt sich die Theorie „äquivalenter“ Systeme, bei denen für jede  $E$  die  $M_n$  übereinstimmen.

Die  $n^{\text{te}}$  Nullfläche gestattet eine einfache Berechnung der  $M_n$  und  $M_2$  ( $q < n$ ).

Diese Entwicklungen lassen sich noch ausdehnen auf Momente  $M_n$  hinsichtlich einer Gruppe von  $k$  Ebenen.

Der Hauptsatz lautet, daß ein Massensystem hinsichtlich seiner  $M_n$  durch  $\nu$  Massenpunkte ersetzbar ist, in besonderen Fällen schon durch  $\binom{n}{2}$  resp.  $n$ .

Als Anwendung dienen die Fälle  $n = 3$  und  $n = 4$ ; das System ist dann (noch auf unendlich viele Weisen) durch 6 resp. 10 Massenpunkte ersetzbar.

Hierin ist bereits, wenn man zur dualistischen Figur übergeht und den algebraischen Kern herauschält, die kanonische Potenzsummandarstellung der  $F_3$  durch ein Hexaeder und die der  $F_4$  durch ein Dekaed er enthalten.

Die  $\infty^2$  Hexaeder des ersteren Falles sind keine andern als die später von *L. Cremona* und *E. Beltrami* (s. Art. „ $F_3$ “, Nr. 12, 18) genauer untersuchten „Polarhexaeder“ der  $F_3$ , die als Spezialfall das „Pentaeder“ einschließen.

In der zweiten Abhandlung wird die algebraische Entwicklung einfacher und durchsichtiger gestaltet durch Heranziehung der Apolaritätstheorie (s. „ $F_3$ “, Nr. 12, 19).

Damit ergibt sich fast unmittelbar der obige Satz über die  $F_3$ , nebst verschiedenen Ergänzungen.

Das System ließ sich hinsichtlich seiner  $M_3$  auf  $\infty^2$  Weisen durch sechs Massenpunkte ersetzen. Durch je sechs solche ist eine  $C_3$  bestimmt; diese  $\infty^2$   $C_3$  haben fünf Grundpunkte gemein, durch die allein bereits das System ersetzbar ist.

Dualistisch gelangt man so zu den  $\infty^2$ , dem Pentaeder eingeschriebenen Klassenkurven  $\Gamma_3$ ; diese  $\Gamma_3$  sind zur  $F_3$  apolar.

Nunmehr betrachten wir den Fall  $n = 4$  mit zehn Massenpunkten. Man spalte von diesen irgendeinen ab und lege durch die neun übrigen, die durch sie bestimmte  $F_2$ .

Die Polare der  $F_2$  muß sich auf den zehnten Punkt reduzieren, wenn die verlangte Ersetzbarkeit des Systems durch die zehn Punkte stattfinden soll.

Die weitere Untersuchung zeigt, daß von den zehn Punkten irgendeiner noch ganz willkürlich und ein zweiter auf der  $F_2$  beliebig wählbar ist, womit die ganze Figur (einschließlich der Massen  $m_i$ ) festgelegt ist.

Die kanonische Darstellung ist somit noch mit fünf willkürlichen Parametern behaftet.

Dies stimmt mit einer direkten Konstantenabzählung überein. Denn ein quaternäres Aggregat von zehn Biquadraten linearer Formen führt  $4 \cdot 10 = 40$  Koeffizienten mit sich. Da andererseits die Anzahl der Koeffizienten einer  $F_4$  35 beträgt, so ergibt die Differenz  $40 - 35 = 5$  die Anzahl der Darstellungsparameter.

Es gilt somit der *Reyesche Satz*:

„Eine allgemeine  $F_4$  ist, auf noch  $\infty^5$  Weisen, als Aggregat von zehn, und nicht weniger, Biquadraten darstellbar:

$$(2) \quad F_4 \equiv \sum_{i=1}^{10} c_i (\alpha_i x + \beta_i y + \gamma_i z - p_i)^4.$$

Die Figur der zehn entsprechenden Ebenen heißt das „*Reyesche Dekaaeder*“.

Die *Reyesche Methode* hat später *Ew. Bodewig*<sup>13)</sup> in rein algebraischer Form entwickelt und verschiedentlich ergänzt.

In besonderen Fällen kann die kanonische Darstellung der  $F_4$  Modifikationen erfahren.

Dies tritt z. B. ein, wenn eine irreduzible kubische Klassenkurve  $\Gamma_3$  existiert, die zur  $F_4$  apolar (konjugiert) ist, so daß jede zweite Polare  $F_2$  der  $F_4$  apolar ist zu jeder der  $\Gamma_3$  einbeschriebenen Fläche  $\varphi_2$ .

Wählt man die  $\Gamma_3$  als Normkurve  $N_3 = N_3$  (s. „ $F_3$ “, Nr. 19 und Note 14)

$$(3) \quad \begin{cases} x_3 : x_2 : x_1 : x_0 = \lambda^3 : 3\lambda^2 : 3\lambda : 1, \\ u_3 : u_2 : u_1 : u_0 = 1 : -\lambda : \lambda^2 : -\lambda^3, \end{cases}$$

so ist das algebraische Kriterium für die apolare Beziehung zwischen der  $N_3$  und einer  $F_4$  leicht angebbar. Die Form  $F_4$  sei mit Polynomkoeffizienten geschrieben, und  $x_3^{\alpha_3} x_2^{\alpha_2} x_1^{\alpha_1} x_0^{\alpha_0}$  irgendeines der auftretenden Potenzprodukte.

Dann müssen alle Produkte dieser Art mit gleicher Exponentensumme  $s = \alpha_3 + \alpha_2 + \alpha_1 + \alpha_0$  denselben literalen Koeffizienten  $a_s$  besitzen und umgekehrt, so daß sich deren Anzahl auf 13 reduziert.

Eine solche zur  $N_3$  apolare  $F_4$  trifft die Ordnungskurve  $N_3$  in 12 Punkten, deren  $\lambda$ -Argumente von einer Gleichung 12. Ordnung

$$(4) \quad f_{12}(\lambda) \equiv a_0 + 12_1 a_1 \lambda + 12_2 a_2 \lambda^2 + \dots + a_{12} \lambda^{12} = 0$$

13) *Ew. Bodewig*, Giorn. di mat. 64 (1926), p. 81.

abhängen, wo die  $12_i$  die zu 12 gehörigen Binomialkoeffizienten bezeichnen und die literalen Koeffizienten  $a_i$  genau mit den obigen von  $F_4$  übereinstimmen. Umgekehrt ist bei beliebiger Wahl von (4) auch die  $F_4$  eindeutig bestimmt.

Ist die Form  $f_{12}$  eine allgemeine ihrer Ordnung, so läßt sie sich kanonisch darstellen als Aggregat von 7  $12^{\text{ten}}$  Potenzen auf  $\infty^2$  Arten, als solches von 8 Potenzen auf  $\infty^3$  Arten, als solches von 9 auf  $\infty^5$  Arten und als solches von 10 Potenzen auf  $\infty^7$  Arten usf.

Aus einer jeden solchen kanonischen Darstellung der  $f_{12}(\lambda)$  läßt sich aber eine korrespondierende der  $F_4(x)$  durch einen einfachen Polarisationsprozeß<sup>14)</sup> herleiten.

Sei irgendeine der kanonischen Darstellungen der  $f_{12}(\lambda)$

$$(5) \quad f_{12}(\lambda) = \sum c_i (\lambda - \lambda_i)^{12},$$

so bilde man die Gleichung der  $N_3$ -Ebenen  $\Sigma_i$  im Punkte  $\lambda_i$

$$(6) \quad \Sigma_i = x_3 - x_2 \lambda_i + x_1 \lambda_i^2 - x_0 \lambda_i^3 = 0.$$

Dann lautet die zu (5) parallel laufende kanonische Darstellung der  $F_4$

$$(7) \quad F_4 \equiv \sum c_i \Sigma_i^4.$$

Andererseits kann aber auch die  $f_{12}$  von besonderer Beschaffenheit sein derart, daß sie bereits durch weniger als 7  $12^{\text{te}}$  Potenzen darstellbar ist, wofür die invarianten Bedingungen bekannt sind.

So z. B. wenn die Kanonizante von  $f_{12}$  verschwindet, ist eine eindeutige Darstellung der  $f_{12}$  durch 6 volle Potenzen möglich, usf. So kann man heruntergehen bis zu solchen  $f_{12}$ , die Aggregate von drei  $12^{\text{te}}$  Potenzen sind, und dementsprechend die korrespondierende  $F_4$ .

Faßt man zusammen, so ergibt sich:

„Ist die  $F_4$  von der besonderen Art, daß eine zu ihr apolare  $\Gamma_3$  existiert, die man als Normkurve  $N_3 = N_3$  wähle, so ist eine kanonische Darstellung der  $F_4$  als Aggregat von Biquadraten bereits in der Weise möglich, daß 10 Potenzen mit 7 Parametern, 9 mit 5, 8 mit 3, und 7 mit einem Parameter auftreten. Die bezüglichlichen darstellenden Ebenen sind stets Ebenen der  $\Gamma_3 = N_3$ .

Trifft die  $F_4$  die  $N_3$  in 12 Punkten, die von einer Gleichung 12. Ordnung  $f_{12}(\lambda) = 0$  abhängen, so entspricht jeder kanonischen Darstellung (5) der  $f_{12}$  eine solche (6) der  $F_4$ .

Genügt aber die Form  $f_{12}$  im besondern solchen Bedingungen, daß für sie bereits eine Darstellung durch 6, 5, 4, 3 volle Potenzen existiert, so findet das Entsprechende für die zugehörige  $F_4$  statt.“

Einen allgemeinen Satz über die kanonische Darstellung einer

14) *W. Fr. Meyer*, Apolarität und rationale Kurven, Tübingen 1883, Abschn. 3.

$F_{2,\eta}$  gerader Ordnung im  $S_n$ , als Aggregat von  $(2\eta)^{\text{ten}}$  Potenzen von Linearformen  $L$ , verdankt man *Sylvester*.<sup>14a)</sup>

Zu dem Behuf dehnt er den von ihm früher eingeführten Begriff der invarianten Katalektikante  $K$  einer binären  $f_{2,\eta}$  (s. Art. I B 2, *W. Fr. Meyer*, Invariantentheorie) auf den allgemeinen Fall einer  $F_{2,\eta}$  in  $n + 1$  homogenen Variablen aus.

Auch dann erscheint die Katalektikante  $K$  als Koeffizienterdeterminante der  $\eta^{\text{ten}}$  Ableitungen von  $F_{2,\eta}$ . Die Invariante  $K$  verschwindet für ein Aggregat  $(2\eta)^{\text{ter}}$  Potenzen von Formen  $L$ , solange deren Anzahl  $< \binom{\eta+n}{n}$  ist.

Hieraus läßt sich folgern, daß im allgemeinen, d. h. für  $K \neq 0$ , eine  $F_{2,\eta}$  stets als Aggregat von  $\binom{\eta+n}{n}$  vollen Potenzsummen von  $L$  darstellbar ist, dagegen als Aggregat von  $\binom{\eta+n}{n} - 1$  solcher Potenzen nur dann, wenn  $K$  verschwindet.

Im besonderen bestätigt sich so die Darstellung einer allgemeinen  $c_4$  durch 6 Potenzen, für  $K = 0$  durch 5 Potenzen; in letzterem Fall liegt die *Clebsch-Lürothsche*  $c_4$  vor (s. Art. „ $F_3$ “, Nr. 20), wo  $K$  mit der von *Clebsch* angegebenen Invariante übereinstimmt. Sodann die obige *Reyesche* Darstellung einer  $F_4$  (im  $S_3$ ) durch 10 Biquadrate, und für  $K = 0$  durch 9 solche. Endlich sei noch der Fall einer  $F_4$  im  $S_4$  erwähnt als Summe von 15 Biquadraten und für  $K = 0$  von 14 solchen.

Bei Heranziehung der Apolaritätstheorie erhält das *Sylvestersche* Verfahren eine einfache geometrische Bedeutung. Danach stellt das Verschwinden von  $K$  die notwendige und hinreichende Bedingung dafür dar, daß eine zur  $F_{2,\eta}$  apolare  $\Phi_\eta$  existiert; letztere berührt dann die durch Nullsetzen der  $L$  dargestellten  $\binom{\eta+n}{n} - 1$  Lineargebilde.

Zugleich erkennt man, wie der Prozeß fortsetzbar ist. Soll eine kanonische Darstellung einer  $F_{2,\eta}$  durch nur  $\binom{\eta+n}{n} - 2$  Potenzen von  $L$  möglich sein, so muß eine  $\infty^1$ -lineare Schar von zu  $F_{2,\eta}$  apolaren  $\Phi_\eta$  existieren oder, algebraisch, es müssen alle ersten Minoren von  $K$  verschwinden, u. s. f.

Auf Grund einer direkten, auf dem Prinzip der Koeffizientenvergleichung beruhenden Methode bestätigt *Johnson*<sup>14a)</sup> verschiedene Einzelergebnisse, insbesondere über  $F_4$  im  $S_3$  und  $S_4$ . Hierbei werden auch Fälle von  $F$  ungerader Ordnung berücksichtigt.

14a) *J. J. Sylvester*, Paris C. R. 102 (1886), p. 1552. *A. R. Johnson*, Quart. J. 22 (1887), p. 158.

Es sei darauf hingewiesen, daß sich die kanonische Darstellung von Formen  $F_{2\eta+1}$  ungerader Ordnung (abgesehen vom binären Falle) wesentlich komplizierter gestaltet. Dies zeigt sich schon im Falle der quaternären  $F_3$  (s. Art. „ $F_3$ “, Nr. 3, 19). Bei einer allgemeinen  $F_3$  existiert eine  $\infty^5$ -lineare Schar von zur  $F_3$  apolarer  $\Phi_2$ , und innerhalb dieser wieder eine  $\infty^4$ -lineare Schar solcher, die einem Pentaeder, eben dem *Sylvesterschen*, einbeschrieben sind.

Diese  $\infty^4$ -Schar von  $\Phi_2$  zerlegt sich von selbst in  $\infty^2$   $\infty^2$ -Scharen, deren Individuen je einer der dem Pentaeder einbeschriebenen  $\infty^2$   $\Gamma_3$  einbeschrieben sind; damit tritt eine Reduktion der Figur auf die  $\infty^2$ -Schar der einem Pentaeder einbeschriebenen und zur  $F_3$  apolaren  $\Gamma_3$  ein.

**5. Formentheoretisches. Übertragungsprinzipien.** Die projektive Invariantentheorie lehrt, wie man bei einer vorgelegten quaternären Urform  $F_4$ , oder allgemeiner, einer Reihe von Urformen der Ordnung  $\leq 4$ , auf symbolischem wie unsymbolischem Wege unbegrenzt viele Komitanten, das sind Invarianten, Kovarianten, Kontravarianten, Zwischenformen usf., bilden kann und diese, wenigstens für gewisse Grade, in den Koeffizienten der Urformen in vollständigen, relativ vollständigen, assoziierten und anderen Systemen anordnen kann.

Indessen hat die Geometrie aus diesen Ansätzen bisher nur wenig Nutzen gezogen.

Wir begnügen uns daher mit der Zusammenstellung einiger Übertragungsprinzipien, die man je nach Bedarf verwenden kann (s. „ $F_3$ “, Nr. 12).

Da ist in erster Linie das klassische Übertragungsprinzip für Invarianten von *A. Clebsch*, das hier zwei Formulierungen zuläßt, je nachdem man von dem binären oder ternären Gebiete als Stammgebiet herkommt. Die  $F_4$  sei in symbolischer Schreibart

$$(1) \quad F_4 \equiv (ax)^4 \equiv (a'x)^4 \equiv (a''x)^4 \equiv \dots,$$

und entsprechend die weiteren Urformen in quaternären Symbolen  $b, b', b'', \dots, c, c', c'', \dots$  usf.

Andererseits gehe man von einem korrespondierenden Systeme von binären Urformen aus:

$$(2) \quad f_4 \equiv (a\lambda)^4 \equiv (a'\lambda)^4 \equiv (a''\lambda)^4 \equiv \dots \text{ usf.}$$

mit binären Symbolen  $a, b, c, \dots$ . Irgendeine Invariante  $i$  dieser Urformen (2) läßt sich symbolisch darstellen als Aggregat von Produkten, deren  $\rho$  Faktoren „Klammerfaktoren“ der Typen  $(aa'), (ab), \dots$  sind, wo die Vielfachheit des Auftretens der einzelnen Symbole einfachen Regeln unterliegt.

Ersetzt man jetzt die einzelnen Klammerfaktoren  $(aa')$ ,  $(ab) \dots$  durch mit zwei Reihen von Ebenenkoordinaten  $u, v$  geränderte vierreihige Determinanten von den Typen  $(aa'uv)$ ,  $(abuv)$ ,  $\dots$ , so geht  $i$  über in eine quaternäre Komitante  $J$  der Urformen (1). Führt man noch die Achsenkoordinaten  $\pi_{ik} = (uv)_{ik}$  der Geraden  $g = (u, v)$  ein, so gilt der Satz von Clebsch:

„Die Gleichung  $J = 0$  stellt einen Geradenkomplex  $K$  der Ordnung  $q$  dar, dessen Individuen die Urflächen  $F, G, \dots$  in solchen Punktreihen treffen, daß für sie die binäriinvariante Bedingung  $i = 0$  erfüllt ist.“

Um die Form  $J$  in den Achsenkoordinaten  $\pi_{ik}$  von  $g$  oder auch in den komplementären (ihnen proportionalen) Strahlenkoordinaten  $p_{im} = (xy)_{im}$  auszudrücken, hat man nur jeden der Faktoren vom Typus  $(aa'uv)$  zu entwickeln, wie folgt:

$$(3) \quad (aa'uv) \equiv \sum (aa')_{ik} \pi_{im} \equiv \sum (aa')_{ik} p_{ik}.$$

Einige einfachste Beispiele mögen zur Illustration dienen. Liegt nur eine einzelne Urform  $F_4(1)$  vor, so liefert die Gleichung  $G_2 \equiv (aa'uv)^4 = 0$  den Komplex 4. Ordnung der Geraden  $g$ , die die  $F_4$  in äquianharmonischen Punkten treffen;  $G_3 \equiv (aa'uv)^2 \cdot (a'a''uv)^2 \cdot (aa''uv)^2 = 0$  den Komplex 6. Ordnung, dessen Gerade die  $F_4$  in vier harmonischen Punkten treffen, endlich die Diskriminantengleichung  $G_2^3 - 27 G_3^2 = 0$  den von  $A_m$  aus an die  $F_4$  gehenden Tangentenkegel (s. auch Nr. 19). Sind  $F_4 \equiv (ax)^4 = 0$ ,  $G_4 \equiv (bx)^4 = 0$  zwei verschiedene vorgelegte  $F_4$ , so erhält man in  $(abuv)^4 = 0$  den Komplex 4. Ordnung, dessen Gerade aus den beiden Flächen konjugierte Punktquadrupel ausschneiden usf.

Andererseits sei

$$(4) \quad c_4 \equiv (cx)^4 \equiv (c'x)^4 \equiv (c''x)^4 \equiv (c'''x)^4 \equiv \dots$$

eine ternäre Urform 4. Ordnung. Eine Invariante  $J_c$  der  $C_4$  ist darstellbar als Aggregat von  $c$ -Produkten, deren  $\sigma$  Faktoren Klammerfaktoren der Typen  $(cc'c')$ ,  $(cc'c'')$ ,  $\dots$  sind, und analog verhält es sich, wenn eine Reihe von ternären Urformen der Ordnungen  $\leq 4$  vorliegt.

Ersetzt man jene Klammerfaktoren durch mit Variablen  $u$  geränderte vierreihige Determinanten der Typen  $(cc'c'u)$ ,  $(cc'c''u)$  usf., so geht  $J_c$  über in eine Kontravariante  $J = J(u)$  der Urformen (1). Damit hat man den zweiten Satz von Clebsch: „Es liefert  $J(u) = 0$  die Gleichung einer Fläche  $\sigma^{\text{ter}}$  Klasse  $F_\sigma(u)$ , deren Tangentialebenen die quaternären Urflächen (1) in solchen Kurven  $C_4 \dots$  schneiden, für die die Bedingung  $J_c = 0$  erfüllt ist.“

Hat man z. B. drei Flächen 4. Ordnung:  $F_4 = (ax)^4 = 0$ ,  $G_4 = (bx)^4 = 0$ ,  $H_4 = (cx)^4 = 0$ , so ist  $(abcu)^4 = 0$  die Gleichung einer  $F_4$ , deren Tangentialebenen aus den drei gegebenen  $F_4$  solche  $C_4$ -Tripel ausschneiden, daß ihre trilineare Invariante verschwindet.

Dieses Übertragungsprinzip von *Clebsch* läßt sich in seiner doppelten Gestalt auf Kovarianten ausdehnen.

Es liege etwa wieder eine binäre Urform  $f_4(\lambda)$  vor, so ist eine Kovariante  $k$  darstellbar als Aggregat von Produkten, deren Faktoren teils  $\varrho$  Klammerfaktoren vom Typus  $(aa')$ , teils  $r$  Linearformen vom Typus  $(a\lambda)$  sind. Ersetzt man wieder wie oben die  $(aa')$  durch  $(aa'uv)$  usf., dagegen die  $(a\lambda)$  durch korrespondierende quaternäre Linearformen  $(ax)$  usf., so geht  $k$  über in eine Konnexform

$$(5) \quad K = K[(uv), (x)] = K[(\pi), (x)],$$

die einmal abhängt in der Ordnung  $\varrho$  von den Achsenkoordinaten  $\pi_{i,k}$  einer Geraden  $g = (uv)$ , andererseits in der Ordnung  $r$  von den Koordinaten  $x$  eines Punktes  $P$ . Das Verschwinden der Komitante  $K$  von (1) läßt sich geometrisch doppelt deuten. Entweder geht man von irgendeiner Raumgeraden  $g(\pi)$  aus und denkt sich auf ihr die  $r$  Wurzeln von  $K = 0$  als Punkte  $P, P_1, P_2, P_3, \dots$  markiert. Dann stellt die Gleichung  $K = 0$  nicht nur die Gesamtheit jener Punkt- $r$ -tupel dar, sondern sie liefert auch ein System von Flächen  $F_r$  niedrigster Ordnung  $r$ , das jene Punkt- $r$ -tupel aus den Raumgeraden  $g$  ausschneidet.

Ist andererseits ein Punkt  $P(x)$  vorgegeben, so erhält man vermöge  $K = 0$  die  $r - 1$  Geraden  $g$ , die  $P$  mit den  $r - 1$  übrigen Punkten  $P_1, P_2, P_3, \dots, P_{r-1}$  verbinden, und zugleich bei Variieren von  $P$  ein System von Komplexen niedrigster Ordnung  $\varrho$ , dessen Gerade eben jene Verbindungslinien sind.

Ähnlich verhält es sich im ternären Falle. Eine Kovariante  $k_c$  der ternären Grundformen (4) ist darstellbar als ein Aggregat von Produkten, deren Faktoren teils  $\sigma$  Klammerfaktoren der Typen  $(cc'c'')$ , ... sind, teils  $r$  Linearformen der Typen  $(cx)$ , ... Man ersetze die ersteren Faktoren durch solche der Typen  $(cc'c''u)$ , die letzteren durch quaternäre Linearformen  $(ax)$ , ... Damit geht  $k_c$  über in eine Zwischenform  $K[(u), (x)]$ , von der Ordnung  $\sigma$  in den  $u$  und von der Ordnung  $r$  in den  $x$ . Das Verschwinden von  $K$  läßt wiederum eine doppelte Deutung zu.

Eine beliebige Ebene  $(u)$  schneide die Urflächen (1) in einer Reihe von Kurven  $C, \dots$ ; man denke sich innerhalb der Ebene  $(u)$  die zu ihnen kovariante Kurve  $k_c$  verzeichnet. Variiert die Ebene  $(u)$ ,

so wird die Gesamtheit der Kurven  $k_o$  durch eine Fläche  $K_r = K[(x)] = 0$  niedrigster Ordnung  $r$  ausgeschnitten. Andererseits geht durch irgendeinen Punkt  $P(x)$  ein Kegel von Ebenen ( $u$ ), und die Gesamtheit dieser Ebenen gehört einer Fläche  $\sigma^{\text{ter}}$  Klasse  $K_\sigma = K[(u)] = 0$  an. Diese beiden Übertragungsprinzipien erweisen sich als nützlich zur kürzesten Darstellung gewisser Raumtransformationen. So z. B., wenn man einem Punkte  $P$  stets den zu ihm bezüglich aller  $F$  eines Netzes konjugierten Punkt  $Q$  zuordnet (s. Art. „ $F_3$ “ Nr. 3). Ferner, wenn man einem Punkte  $P$  die ihm bezüglich aller  $F_2$  eines Büschels zugehörige Polargerade  $p$  zuweist (s. Nr. 82).

Im allgemeinen ist aber das Gebilde  $K = 0$  zu kompliziert, um einen direkten Nutzen zu gewähren. Man wird ihm daher näherkommen, wenn man gewisse in ihm enthaltene Teilgebilde für sich studiert. Da liegt es am nächsten, wenn man im „binären“ Falle der Geraden  $g(x) = (uv)$  die Bedingung auferlegt, stets durch einen festen Punkt  $P_0$  zu laufen<sup>15)</sup>, und entsprechend im „ternären“ Falle, wenn die Ebene ( $u$ ) stets eine feste Gerade  $g_0$  enthält.

Die zugehörige Rechnung gestaltet sich im Anschluß an die obige einfach. Im binären Fall hat man nur bei der Darstellung (3) irgendeines Determinantenfaktors vom Typus  $(aa'uv)$

$$(3) \quad (aa'uv) \equiv \sum (aa')_{ik} p_{ik} \equiv \sum (aa')_{ik} (xy)_{ik}$$

den Punkt  $y$  als den festen Punkt  $P_0$  anzusehen; man gelangt dann sofort zur Gleichung  $R[(x)] = 0$  der Fläche, die erfüllt ist von den auf den durch  $P_0(y)$  variierenden Geraden  $g$  aufgetragenen Punktreihen  $k = 0$ .

Im ternären Falle greife man ebenfalls einen Determinantenfaktor vom Typus  $(cc'cu)$  heraus und betrachte die Ebene ( $u$ ) zunächst als Verbindungsebene dreier Punkte  $P(x)$ ,  $Q(y)$ ,  $R(z)$ , so daß die  $u_i$  als dreireihige Determinanten  $(xyz)_{kim}$  erscheinen. Damit nimmt  $(cc'c'u)$  die Gestalt einer dreireihigen Determinante an:

$$(5) \quad (cc'c'u) \equiv \begin{vmatrix} c(x), & c'(x), & c''(x) \\ c(y), & c'(y), & c''(y) \\ c(z), & c'(z), & c''(z) \end{vmatrix}.$$

Hier ordne man nach den Elementen der ersten Reihe und entwickle wiederum die drei Minoren nach den  $(yz)_{ik} = p_{ik}$ .

Nimmt man nunmehr die Gerade ( $p$ ) als die feste Gerade  $g_0$  und betrachtet den Punkt  $P(x)$  als variabel, so liefert die Gleichung

15) *W. Franz Meyer*, Berlin Math. Ges. 28 (1929), p. 100; *Giorn. di mat.* 67 (1929), p. 1. Man vergleiche den Ansatz bei *H. M. Jeffery*, *Brit. Ass.* 18 (1878).

$K = 0$  direkt das Aggregat der endlichvielen Ebenen durch  $g_0$ , die aus den Urflächen je eine solche Reihe von Kurven  $C$  ausschneidet, zu denen die Kurve  $k_c$  in kovarianter Beziehung steht.

So einfach diese beiden Prozesse formal verlaufen, so erweisen sie sich doch zur näheren Erkenntnis der geometrischen Eigenschaften der in Rede stehenden Flächen und Ebenenaggregate als weniger geeignet. Man schlage zu dem Behuf lieber einen unsymbolischen Weg ein. Im binären Falle normiere man den festen Punkt  $P_0$  als eine Koordinatenecke, etwa  $A_m$ , und ordne dementsprechend die Gleichungen der Urflächen (1) nach  $x_m$  wie folgt:

$$(6') \quad F_4 \equiv a_0 x_m^4 + a_1 x_m^3 + a_2 x_m^2 + a_3 x_m + a_4 = 0 \text{ usf.},$$

wo die  $a_r$  ternäre Formen der Ordnung  $r$  in den  $x_i, x_k, x_l$  bedeuten. Irgendeine Gerade  $g$  durch  $A_m$  bestimmt sich durch ihre Spur  $(x_i, x_k, x_l)$  in der Ebene  $x_m = 0$ , während ein laufender Punkt  $P$  auf  $g$  durch Angabe des Wertes der nichthomogenen Variablen (Parameters)  $x_m$  festgelegt wird.

Damit läßt sich den Gleichungen (1') eine doppelte Deutung beilegen. Einmal stellen sie wie bisher die Urflächen selbst dar und mögen dann genauer durch  $F_4(x_i, x_k, x_l, x_m) = 0$  usf. bezeichnet sein.

Faßt man andererseits die Gleichungen (1) als solche in der einen Unbekannten  $x_m$  auf, was durch die Schreibweise  $F_4(x_m) = 0$  usf. hervortrete, so liefern sie bei festgedachten  $x_i, x_k, x_l$  vermöge ihrer  $x_m$ -Wurzeln die Punktreihen, die auf der Geraden  $g(x_i, x_k, x_l)$  durch die Urflächen (1') ausgeschnitten werden.

Diese doppelte Auffassung übertrage man auf irgendeine binäre Kovariante  $k$  der Ordnung  $\nu$  der Formen  $F_4(x_m)$  usf.:

$$(6) \quad k(x_m) = k_w x_m^w + k_{w+1} x_m^{w+1} + \dots + k_{w+\nu} x_m^{w+\nu} = 0,$$

mit  $w$  als Leitgewicht. Die Gleichung  $k(x_m) = 0$  liefert wiederum auf  $g$  die Reihe der  $\nu$  Punkte  $(k)$ , die den Wurzeln von  $k(x_m) = 0$  entsprechen. Dann gilt sofort der Satz:

„Die quaternäre Gleichung  $k(x_i, x_k, x_l, x_m) = 0$  ist die der Fläche  $K$ , die bei variierender Geraden  $g$  durch die Punktreihen  $(k)$  erfüllt wird.“

Die Eigenschaften dieser kovarianten Fläche  $K$  lassen sich in jedem Einzelfalle aus ihrer quaternären Gleichung ablesen.

Analog verfähre man im ternären Falle. Die feste Gerade  $g_0$  werde als Koordinatenkante  $a_{im}$  ( $x_i = 0, x_k = 0$ ) gewählt. Entsprechend ordne man die Urformen (1') nach Formen in den beiden nichthomogenen Variablen  $x_i, x_m$  abnehmender Ordnung an usf. Dann gelangt man wiederum direkt zu einer übersichtlichen Darstellung des Ebenenaggregats  $K = 0$ .

Einige einfache Beispiele mögen zur Illustration dienen.

Es liege zunächst eine einzelne Urfläche  $F_4$  (1) mit den Koeffizienten  $a$  vor. Man bilde die Hessesche Form  $h(x_m)$  der binären Form  $F_4(x_m)$

$$(7) \quad h(x_m) \equiv (a_0 a_2 - a_1^2) x_m^4 + \dots$$

Der Ort der Wurzelpunkte von  $h = 0$  auf der Geraden  $g$  durch  $A_m$  ist eine Fläche 6. Ordnung  $H_6$ , deren Gleichung mit  $h = 0$  übereinstimmt. Die Fläche  $H_6$  hat in  $A_m$  einen  $D_2$  mit dem Tangentenkegel  $a_0 a_2 - a_1^2 = 0$  usf.

Weiter betrachte man die beiden Invarianten  $g_2$  und  $g_3$  von  $F_4(x_m)$

$$(8) \quad \begin{cases} g_2 = a_0 a_4 - 4 a_1 a_3 + 3 a_2^2, \\ g_3 = \begin{vmatrix} a_0 & a_1 & a_2 \\ a_1 & a_2 & a_3 \\ a_2 & a_3 & a_4 \end{vmatrix} \end{cases}$$

Dann liefert  $g_2 = 0$  den „äquianharmonischen“ Kegel 4. Ordnung  $K_4$  mit der Spitze  $A_m$ , dessen Kanten die  $F_4$  in äquianharmonischen Punktquadrupeln treffen. Entsprechend bestimmt  $g_3 = 0$  den „harmonischen“ Kegel 6. Ordnung  $K_6$  mit der Spitze  $A_m$ , dessen Kanten aus der  $F_4$  vier harmonische Punkte ausschneiden.

Jetzt werde der  $F_4$  eine zweite Fläche 4. Ordnung  $G_4$  mit Koeffizienten  $b$  adjungiert. Wir fassen einmal die zweite Überschiebung  $h'$  von  $F_4(x_m)$ ,  $G_4(x_m)$  ins Auge:

$$(9) \quad h' \equiv (a_0 b_1 - a_1 b_0) x_m^4 + \dots = 0.$$

Die zugehörige Fläche  $H_5$  ist von der 5. Ordnung, die durch  $A_m$  einfach hindurchgeht, mit der Tangentialebene  $a_0 b_1 - a_1 b_0 = 0$ .

Andererseits sei die Invariante  $c$  die vierte Überschiebung von  $F_4(x_m)$  und  $G_4(x_m)$ :

$$(10) \quad i = a_0 b_4 - 4 a_1 b_3 + 6 a_2 b_2 - 4 a_3 b_1 + a_4 b_0.$$

Die Gleichung  $i = 0$  ist zugleich die des Kegels 4. Ordnung  $J = 0$ , dessen Kanten beide Urflächen in konjugierten Punktquadrupeln schneiden.

Sodann adjungiere man der  $F_4$  eine  $F_3$  mit Koeffizienten  $b$ . Man bilde die lineare Kovariante  $l$  von  $F_4(x_m)$  und  $F_3(x_m)$

$$(11) \quad l \equiv x_m (a_0 b_3 - 3 a_1 b_2 + 3 a_2 b_1 - a_3 b_0) + \dots$$

Die zugehörige kovariante Fläche  $L = L_4$  der 4. Ordnung besitzt in  $A_m$  einen  $D_2$  mit dem Tangentenkegel

$$a_0 b_3 - 3 a_1 b_2 + 3 a_2 b_1 - a_3 b_0 = 0.$$

Weiter trete an die Stelle der  $F_3$  eine  $F_2$  mit Koeffizienten  $b$ . Man

bilde die quadratische Kovariante  $q$  von  $F_4(x_m)$  und  $F_2(x_m)$

$$(12) \quad q = x_m^2(a_0 b_2 - 2a_1 b_1 + a_2 b_0) + \dots$$

Die zugehörige Fläche  $Q = Q_4$  ist von der 4. Ordnung und besitzt in  $A_m$  einen  $D_2$  mit dem Tangentenkegel

$$a_0 b_2 - 2a_1 b_1 + a_2 b_0 = 0.$$

Endlich adjungiere man der  $F_4$  eine vorerst nicht durch  $A_m$  gehende Ebene  $F_1$  mit der Gleichung

$$(13) \quad F_1 = x_m \varrho_0 + \varrho_1 = 0.$$

Für die beiden Urformen  $F_4(x_m), F_1(x_m)$  bilde man die erste Überschiebung  $k$  (oder auch die erste Polare von  $F_4(x_m)$  in bezug auf das Argument  $-\frac{\varrho_1}{\varrho_0}$ )

$$(14) \quad k = \left| \begin{array}{c} a_0 x_m^3 + 3a_1 x_m^2 + 3a_2 x_m + a_3, \quad a_1 x_m^3 + 3a_2 x_m^2 + 3a_3 x_m + a_4 \\ \varrho_0, \quad \varrho_1 \end{array} \right| \\ = x_m^3(a_0 \varrho_1 - a_1 \varrho_0) + \dots$$

Die zugehörige Fläche  $K = K_4$  ist eine Fläche der 4. Ordnung, die durch  $A_m$  einfach hindurchgeht, mit der Tangentialebene  $a_0 \varrho_1 - a_1 \varrho_0 = 0$ . Diese bemerkenswerte Fläche ist als eine Verallgemeinerung der gewöhnlichen ersten Polare  $F_3'$  der  $F_4$  in bezug auf den festen Punkt  $A_m$  anzusehen. Diese Fläche  $K$  geht durch die Schnitte der  $F_4$  mit der  $F_1$ , sowie mit der ersten Polare von  $A_m$  in bezug auf die  $F_4$ . Umgekehrt ist  $K$  hierdurch und durch die Forderung,  $A_m$  zu enthalten, eindeutig bestimmt.

Ersetzt man die Koordinatenecke  $A_m$  durch einen beliebigen Punkt  $Y(y)$  und schreibt  $F_{x^3} = F$  für  $F_4$ ,  $E_x = E$  für  $F_1$ ,  $F_{x^2 y}$  für die Polare von  $Y$  in bezug auf  $F$ , so lautet die Gleichung der Fläche  $K$

$$(14a) \quad K \equiv F_{x^3} E_y - F_{x^2 y} E_x = 0.$$

Faßt man hier die Ebene  $E$  als lineare Polare eines Punktes  $Z(z)$  in bezug auf die Fläche  $F$  auf, so geht (14a) über in

$$(14b) \quad K \equiv F_{x^3} F_{x^2 y} - F_{x^2 y} F_{x^2 x} = 0.$$

Hieraus liest man ab, daß  $K$  auch den Punkt  $Z$  enthält. Da aber zu einer vorgegebenen Ebene  $E$   $3^3 = 27$  Linearpole  $Z$  (in bezug auf  $F$ ) gehören, so liegen auch diese 27 Punkte auf der Fläche  $K$ .

Die Fläche  $K$  geht im besonderen in die  $F_3'$  über, wenn man der Ebene  $F_1$  (13) die Forderung auferlegt, durch  $A_m$  selbst hindurchzugehen, so daß  $\varrho_0$  verschwindet, und die Gleichung der  $F_1$  sich reduziert auf  $\varrho_1 = 0$ , und damit als Gleichung der Polare  $F_3'$  entsteht (indem sich der Faktor  $\varrho_1$  absondert)

$$(14') \quad F_3' \equiv a_0 x_m^3 + 3a_1 x_m^2 + 3a_2 x_m + a_3 x_m = 0.$$

Somit wäre die allgemeinere Fläche  $K = K_4$  als „Polare der  $F_4$  in bezug auf den festen Punkt  $A_m$  und die feste Ebene  $F_1$ “ zu bezeichnen.

Es sei noch bemerkt, daß sich diese Entwicklung ohne weiteres auf den Fall einer  $F_m$  im  $S_n$  ausdehnen läßt.

Zum Schlusse werde noch auf einige Figuren hingewiesen, die aus einer vorgelegten  $F_4$  durch das Prinzip des Schneidens und Projizierens hervorgehen. Zu den Gleichungen dieser Figuren gelangt man mittels eines elementaren symbolischen Übertragungsprinzips<sup>16)</sup>, wobei aber die Symbolik lediglich als ein Mittel zur Abkürzung der Rechnung erscheint.

Man schreibe wieder symbolisch

$$(1) \quad F_4 \equiv (ax)^4 = 0.$$

Eine Gerade  $g = (\varepsilon, \eta)$ , als Schnitt zweier Ebenen  $\varepsilon, \eta$  gedacht, schneide die  $F_4$  in einem Punktquadrupel ( $S$ ):  $S_1, S_2, S_3, S_4$ . Es soll dies Quadrupel durch eine einzige Gleichung in Ebenenkoordinaten  $u$  dargestellt werden. Zu dem Behuf sehe man, wie schon früher, einen variabeln Punkt  $P(x)$  als Schnitt dreier Ebenen  $(u), (v), (w)$  an, so daß die  $x_i$  die dreireihigen Determinanten  $(uvw)_{kim}$  werden. Damit geht die symbolische Linearform  $(ax)$  über in die vierreihige Determinante  $(auvw)$ .

Demnach sagt die Gleichung

$$(15) \quad (auvw)^4 = 0$$

aus, daß sich drei Ebenen  $(u), (v), (w)$  auf der  $F_4$  treffen. Wählt man jetzt die beiden Ebenen  $(v), (w)$  als die beiden festen Ebenen  $(\varepsilon), (\eta)$ , so nimmt (15) die besondere Gestalt an

$$(15') \quad \sum(u) \equiv (a\varepsilon\eta u)^4 = 0.$$

Hier lassen sich wieder die Koordinaten  $\pi$  resp.  $p$  der festen Geraden  $g = (\varepsilon, \eta)$  einführen vermöge der Umformung

$$(2) \quad (a\varepsilon\eta) \equiv \sum(au)_{ik}\pi_{im} \equiv \sum(au)_{ik}p_{ik}.$$

Damit stellt aber (15') unmittelbar die gesuchte Gleichung des Punktquadrupels  $S$  dar, aufgefaßt als ausgeartete Fläche 4. Klasse  $\sum \equiv \sum_4$ .

Weiter denke man sich das Punktquadrupel  $S$  von irgendeinem festen Raumpunkte  $Q(y)$  aus durch vier Gerade  $(s) = s_1, s_2, s_3, s_4$  projiziert. Man hat dann nur das zu obigem Verfahren dualistische einzuschlagen. Die Gleichung (15') wird dadurch die des Geradenquadrupels  $(s)$ , aufgefaßt als ausgearteter Komplex 4. Ordnung.

16) *W. Franz Meyer*, Tôhoku Math. J. 32 (1930), p. 97.

So kann man fortfahren, indem man die Figur von neuem dem Prinzip des Projizierens und Schneidens unterwirft; die Gleichungen der so entstehenden Gebilde lassen sich stets mittels verhältnismäßig einfacher Determinantenbildungen konstruieren.

Die Gleichung (15) gestattet noch eine zweite Anwendung. Von den drei Ebenen  $(u)$ ,  $(v)$ ,  $(w)$  werde jetzt die eine  $(w) = (\varepsilon)$  als eine feste angesehen, während die beiden anderen  $(u)$ ,  $(v)$  und damit auch ihre Schnittgerade  $g = (uv) = (\rho) = (q)$  beweglich bleiben. Demgemäß hat man die Umformung vorzunehmen

$$(2') \quad (a\varepsilon uv) \equiv \sum (a\varepsilon)_{ik} q_{im} \equiv \sum (a\varepsilon)_{ik} q_{ik}.$$

Die feste Ebene  $\varepsilon$  schneidet die  $F_4$  in einer Kurve 4. Ordnung  $c_4$ . Faßt man diese  $c_4$  im Raume als speziellen Komplex 4. Ordnung auf, d. h. als Inbegriff der Raumgeraden  $g$ , die sie treffen, so ist die Gleichung der  $c_4$  unmittelbar gegeben durch

$$(15a) \quad c_4 \equiv (a\varepsilon uv)^4 = 0.$$

Betrachtet man wiederum in den  $p_{ik} = (xy)_{ik}$  den Punkt  $y$  als einen festen Punkt  $Q$ , so liefert (15a) auch die Gleichung des von  $Q$  an die  $c_4$  gehenden Projektionskegels. Diesen Kegel kann man von neuem schneiden, entweder mit einer festen Geraden oder aber mit einer festen Ebene; die Gleichungen der so entstehenden Gebilde lassen sich sofort hinschreiben usf.

Bezüglich der Anwendung des obigen Übertragungsprinzips auf die  $F_3$  siehe Art. „ $F_3$ “ Nr. 12.

Mögen die Ergebnisse dieser Übertragungsprinzipien, denen noch die dualistischen an die Seite zu stellen sind, im Hinblick auf die gesamte projektive Invariantentheorie der  $F_4$  nur bescheiden sein, so ist dem gegenüber zu bedenken, daß einmal die obigen Entwicklungen ohne prinzipielle Schwierigkeit beliebig weiter ausgebaut werden können, andererseits die algebraische Bildung selbst so grundlegender geometrischer Invarianten, wie sie in Nr. 3 als existierend nachgewiesen wurden, bisher noch nicht gelungen ist.

## II. Kummers Untersuchung über $F_4$ mit Scharen von Kegelschnitten.

**6. Einleitung. Hilfssätze.** Die erste systematische Untersuchung einer ausgedehnten Gattung von  $F_4$ , nämlich solcher, auf der Scharen von  $C_3$  liegen, verdankt man *E. E. Kummer*.<sup>17)</sup> Auf diese werde daher näher eingegangen.

17) *E. E. Kummer*, Berlin Ber. Juli 1863 = J. f. Math. 64 (1865), p. 66.

Es sei vorausgeschickt, daß auf einer allgemeinen, von 34 Konstanten abhängigen  $F_4$  keine  $C_2$  liegt (s. Nr. 3). Liegt aber mindestens eine  $C_2$  auf einer  $F_4$  — wofür das Verschwinden einer gewissen Invariante  $J_2$  notwendig und hinreichend war —, so auch noch eine zweite, von der Ebene der ersten ausgeschnittene.

Als Grundlage der Untersuchung dient bei *Kummer* der allgemeine, geometrisch<sup>18)</sup> evidente Hilfssatz: „Besitzt irgendein ebener Schnitt einer  $F_n$  an einer Stelle  $P_0$  einen  $d_2$ , so ist  $P_0$  entweder ein (eigentlicher) Berührungspunkt einer Tangentialebene  $T$  der  $F_n$ , oder aber ein  $D_2$  der Fläche selbst.“

Um zunächst die in ein Paar von  $F_2$  zerfallenden  $F_4$  im folgenden auszuschließen, benutzt *Kummer* den — wie er sagt, algebraisch leicht beweisbaren — Satz:<sup>19)</sup>

„Schneiden alle durch einen beliebig, aber fest gewählten Raumpunkt  $Q_0$  gehenden Ebenen aus einer  $F_4$   $C_2$ -Paare aus, so zerfällt die  $F_4$  in ein  $F_2$ -Paar, mit Ausnahme des Falles, wo die  $F_4$  ein Kegel  $K_4$  mit der Spitze  $Q_0$  ist.“

Daraufhin lassen sich die besonderen Fälle, wo eine Ebene aus einer  $F_4$  eine  $c_4$  mit  $\geq 4d_2$  ausschneidet, leicht übersehen, da die  $c_4$  dann ersichtlich zerfallen muß. Im Falle von  $4d_2$  — wenn nicht drei derselben in einer Geraden  $g$  liegen — artet die  $c_4$  in ein  $c_2$ -Paar aus. Tritt aber jener Spezialfall ein, so zerfällt die  $c_4$  in die  $g$  und eine  $r_3$ . Im Falle von  $5d_2$  zerfällt die  $c_4$  weiter in eine  $c_2$  und ein  $g$ -Paar; endlich im Falle  $6d_2$  in vier Gerade.

Man bezeichne irgendein Individuum der gedachten, die  $F_4$  in  $C_2$ -Paaren schneidenden Schar von Ebenen mit  $H$ ; ferner mit  $T_i$  ( $i=0, 1, \dots$ ) eine die  $F_4$  an  $i$  Stellen einfach berührende Tangentialebene (also im allgemeinsten Falle  $i=0$  mit  $T_0$  eine beliebige, die  $F_4$  nirgends berührende Ebene).

Damit bieten sich drei Hauptfälle (I), (II), (III) dar, je nachdem sie vom Typus  $T_0, T_1, T_2$  sind.

18) Besitzt eine  $F_n = F$  einen oder mehrere  $D_2$  und schneidet man die  $F$  mit einer Ebene ( $u$ ), deren Punkte explizite dargestellt sind durch  $ax_i = a_i\lambda + b_i\mu + c_i\nu$ , so ergibt sich für den ebenen Schnitt  $c_n$  eine in  $\lambda, \mu, \nu$  ternäre Gleichung  $c_n \equiv c = 0$ . Dann zerfällt die Diskriminante  $D_c$  der Form  $c$  in ein Produkt von Faktoren, deren erster die Klassenform  $\Phi(u)$  von  $F$  ist, während das Verschwinden eines der weiteren Faktoren besagt, daß die Ebene ( $u$ ) je einen der  $D_2$  enthält. Das ist das algebraische Äquivalent für den Satz des Textes, der auch analog für den  $S_n$  (inkl.  $n=2$ ) gilt. Es wäre wünschenswert zu untersuchen, wie weit der Satz des Textes auch für transzendente und topologische Flächen seine Gültigkeit behält.

19) Wie weit entsprechende Sätze für Flächen höherer Ordnung bestehen, scheint noch nicht in Betracht gezogen zu sein.

Der weitere Fall, wo die  $H$  vom Typus  $T_3$  sind, liefert nichts Bemerkenswertes; berühren aber die  $H$  die  $F_4$  längs einer (variierenden) Geraden  $g$ , so wird die  $F_4$  zu der abwickelbaren  $R-F_4$  (s. Nr. 76), dem Ort der Ebenen einer  $\Gamma_3$ , wo ersichtlich jede  $T$  außer der  $g$ , die dann eine Doppelgerade  $\bar{g}$  wird, noch eine  $C_2$  ausschneidet.

7. Erster Hauptfall (I): Die Ebenen  $H$  sind vom Typus  $T_0$ . Die  $F_4$  mit einer Doppelgeraden  $\bar{g}$ . Die Dupinsche Zyklide. Die  $F_4$  mit zwei Selbstberührungspunkten. Jede  $H$  der Schar enthält dann 4  $D_2$  der  $F_4$ . Man hat wiederum vier Unterfälle zu unterscheiden, je nach der Anzahl der festbleibenden  $D_2$ .

Erster Unterfall ( $I_0$ ): „Keiner der 4  $D_2$  ist für alle  $H$  derselbe.“ Dann schneidet jede Ebene  $E$  eine  $c_4$  mit 4  $d_2$  aus, und es tritt der oben ausgeschlossene Fall  $F_4 \equiv F_2 \cdot F_2'$  ein.

Zweiter Unterfall ( $I_1$ ): „Einer der 4  $D_2$  ist für alle  $H$  derselbe.“ Die drei anderen  $D_2$  erfüllen von selbst eine  $\bar{C}_3$ . Somit schneiden alle Ebenen  $H$  durch den festen  $D_2$  die  $F_4$  in  $C_2$ -Paaren, und es liegt wiederum der ausgeschlossene Typus  $F_4 \equiv F_2 \cdot F_2'$  vor.

Dritter Unterfall ( $I_2$ ): „Zwei der 4  $D_2$  sind fest.“ ( $F_4$  mit  $\bar{C}_2$  und zwei resp. vier  $D_2$ , die Dupinsche Zyklide.) Die beiden anderen  $D_2$  erfüllen dann eine  $\bar{C}_2$ . Umgekehrt, besitzt eine  $F_4$  eine  $\bar{C}_2$  und (außerhalb dieser) noch zwei  $D_2$  — deren Verbindungsgerade  $d$  sei —, so schneidet das Büschel von  $H$  durch  $d$  lauter  $C_2$ -Paare aus der Fläche  $F_4$  aus.

Ein Ausnahmefall tritt nur ein, wenn  $d$  die  $\bar{C}_2$  trifft (s. u.). Legt man zunächst eine  $F_4$  mit einer  $\bar{C}_2$  (ohne weitere  $D_2$ ) zugrunde, so sei letztere der Schnitt einer Ebene  $p = 0$  mit einer  $F_2$ :  $\varphi = 0$ , und  $\psi = 0$  eine weitere beliebige  $F_2$ . Dann hat die Gleichung einer  $F_4$  mit einer  $\bar{C}_2$  ersichtlich die Gestalt<sup>20</sup>)

$$(I) \quad F_4 \equiv \varphi^2 - 4p^2\psi = 0.$$

Sollen nun noch zwei  $D_2$  existieren, deren Verbindungsgerade  $d$  (die die  $\bar{C}_2$  nicht treffe) der Schnitt zweier Ebenen  $q = 0$ ,  $r = 0$  sei, so nimmt (I) im besonderen die Form an

$$(I_2) \quad F_4 \equiv \varphi^2 - 4p^2qr = 0,$$

und umgekehrt.

Die beiden  $D_2$  werden von  $d$  aus  $\varphi$  ausgeschnitten. Das  $H$ -Büschel

20) Hier kann auch, was Kummer nicht besonders erwähnt, der Spezialfall eintreten, daß der Doppelkegelschnitt  $\bar{C}_2$  in zwei (inzidente) Doppelgerade  $\bar{g}_1, \bar{g}_2$  zerfällt. Dies tritt offenbar dann und nur dann ein, wenn die Ebene  $p$  die Fläche  $\varphi$  berührt (s. Nr. 15). Über die Fälle, wo die — eigentliche oder auch zerfallende —  $\bar{C}_2$  zu einem Kupidalkegelschnitt wird, s. Nr. 18.

durch  $d$  schneidet die  $C_2$ -Paare aus; insbesondere die beiden Ebenen  $q, r$  zwei sich deckende  $C_2$ : diese beiden Ebenen sind also singuläre T der  $F_4$ , die sie je längs einer  $C_2$  berühren.

Noch spezieller kann die  $F_4$  ein zweites Paar von  $D_2$  besitzen, so daß dann zwei H-Büschel existieren, die  $C_2$ -Paare ausschneiden. Man kann der Gleichung einer solchen  $F_4$  die Gestalt geben

$$(I_2') \quad F_4 \equiv (p^2 + qr - st)^2 - 4p^2qr \\ \equiv (p^2 - qr - st)^2 - 4p^2st = 0,$$

oder auch irrational

$$(I_2'') \quad p + \sqrt{qr} + \sqrt{st} = 0.$$

Die beiden H-Büschel sind  $(q, r)$  und  $(s, t)$ ; die vier Ebenen  $q, r, s, t$  sind wiederum singuläre T, die die  $F_4$  je längs einer  $C_2$  berühren.

Die  $\bar{C}_2$  ist dargestellt durch  $p = 0, qr - st = 0$  und die beiden  $D_2$ -Paare durch  $q = 0, r = 0, p^2 - st = 0; s = 0, t = 0, p^2 - qr = 0$ . Nun gibt es aber sechs Verbindungsgeraden je zweier der  $D_2$ ; indessen erkennt man leicht<sup>21)</sup>, daß vier derselben die  $\bar{C}_2$  treffen, also auf der  $F_4$  liegen, so daß die beiden obigen H-Büschel die einzigen sind, die  $C_2$ -Paare ausschneiden.

Ein ausgezeichneter metrischer Repräsentant dieser Gattung von  $F_4$  ist die *Dupinsche Zyklide*  $Z_0$ <sup>22)</sup> (s. Nr. 28). *Dupin* fand sie als diejenige  $F$ , deren beide Scharen von Krümmungslinien Kreise sind. Für diese  $Z_0$  fällt die  $\bar{C}_2$  in den „Kugelkreis“ K; von den beiden  $D_2$ -Paaren ist höchstens eines reell. Die Gleichung der  $Z_0$  lautet am einfachsten in irrationaler Gestalt

$$(I_2''') \quad Z_0 \equiv \sqrt{(ax - ek)^2 + b^2y^2} + \sqrt{(ex - ak)^2 - b^2z^2} - b^2 = 0.$$

*Dritter Unterfall* ( $I_3$ ): „ $\geq 3$  der vier  $D_2$  sind fest.“ ( $F_4$  mit einer Doppelgeraden,  $F_4$  mit zwei Selbstberührungspunkten.) Dann liegen diese  $D_2$  entweder in einer Doppelgeraden  $\bar{g}$ , und umgekehrt schnei-

21) Man nehme zunächst den Fall an — den *Kummer* nicht besonders erwähnt —, daß außer den zwei  $D_2$  (die mit  $D$  und  $D'$  bezeichnet seien), deren Verbindungslinie  $d$  die  $\bar{C}_2$  nicht trifft, noch ein weiterer  $D_2 = D''$  (außerhalb  $\bar{C}_2$ ) existiere. Dann schneidet die Ebene ( $DD'D''$ ) aus der  $F_4$  eine  $c_4$  mit  $5d_2$  aus, die also in eine  $c_2$  und zwei  $c_1$  zerfallen muß. Diese beiden  $c_1$  treffen sich ersichtlich im Punkte  $D''$ . Somit treffen die beiden Geraden ( $D, D''$ ) und ( $D', D''$ ) die  $\bar{C}_2$ , liegen also auf der  $F_4$ . Wiederholt man diese Betrachtung für einen vierten  $D_2 = D'''$  — wo die Gerade ( $D', D'''$ ) die  $\bar{C}_2$  nicht treffe —, so hat man das Ergebnis des Textes.

22) Die Bezeichnung  $Z_0$  ist gewählt, um die *Dupinsche Zyklide* von der allgemeinen Zyklide  $Z$  (s. Abschn. IV) zu unterscheiden.

den bei einer  $F_4$  mit  $\bar{g}$  alle  $H$  durch  $\bar{g} C_2$  aus<sup>23)</sup> (s. Abschn. V). Ist eine solche  $\bar{g}$  der Schnitt zweier Ebenen  $p = 0$ ,  $q = 0$ , so kommt der Gleichung der  $F_4$  die Gestalt zu

$$(I_3) \quad F_4 \equiv p^2 \varphi + 2pq\varphi_1 + q^2\varphi_2 = 0.$$

Oder aber es rücken einige der vier festen  $D_2$  zusammen. Der bemerkenswerteste Fall ist hier der, wo zweimal zwei  $D_2$  in  $D$ ,  $D'$  zusammnrücken, so daß die  $H$  durch deren Verbindungslinie  $d$ , die  $C_2$ -Paare ausschneiden, sich in zwei festen Punkten ( $D$ ,  $D'$ ) berühren, also die  $F_4$  zwei Selbstberührungspunkte aufweist.

Die Gleichungsform einer solchen  $F_4$  lautet (s. auch Nr. 58)

$$(I_3) \quad F_4 \equiv \varphi^2 - f_4(p, q) = 0,$$

wo  $f_4$  eine binäre Form 4. Ordnung in  $p, q$  ist. Die beiden Punkte  $D, D'$  sind die Treffpunkte der Geraden  $(p, q)$  mit  $\varphi$ . Den vier Wurzeln von  $f_4$  entsprechen vier  $H$  als singuläre  $T$ , die einander deckende  $C_2$  ausschneiden.

Man beachte, daß eine solche  $F_4$  im allgemeinen keine  $\bar{C}_2$  besitzt, sondern nur dann, wenn zwei der singulären  $T$  koinzidieren.

**8. Zweiter Hauptfall (II):** Die  $H$  sind vom Typus  $T_1$ . Die Steiner'sche Fläche  $S$ . Irgendeine  $H$  der Schar enthält drei  $D_2$  der  $F_4$ , falls nicht der Berührungspunkt  $T$  der  $T_1$  mit zweien der  $D_2$  in einer Geraden  $g$  liegt, die dann der  $F_4$  angehören muß (s. u.).

Man hat wiederum Unterfälle zu unterscheiden je nach der Anzahl der festen, in einer  $H$  liegenden  $D_2$ .

*Erster Unterfall (II<sub>1</sub>):* „Die  $H$  gehen nicht alle durch einen festen  $D_2$ .“

Dann erfüllen die drei anderen, mit  $H$  variierenden  $D_2$  eine kubische Doppelkurve  $\bar{C}_3$  (s. Nr. 76). Liegt aber wieder der Berührungspunkt  $T$  mit zweien der  $D_2$  in einer  $g$ , so liegt eine  $R-F_4$  vor (s. Abschn. XII). Es gilt also:

„Alle  $F_4$  mit einer  $\bar{C}_3$  — exkl. die  $R-F_4$  — werden von allen  $T$  in  $C_2$ -Paaren geschnitten; im Falle der  $R-F_4$  aber schneiden die  $T$  je eine  $g$  nebst einer  $r_3$  aus.“

Man hat folgende Sonderfälle zu unterscheiden:

(II $\alpha$ ) Die  $\bar{C}_3$  ist irreduzibel;

(II $\beta$ ) die  $\bar{C}_3$  zerfällt in einen Kegelschnitt  $\bar{C}_2$  und eine ihn treffende

23) Es kann auch noch, was *Kummer* nicht erwähnt, eine zweite, zur ersten windschiefe — und ihr eventuell unendlich benachbarte — Doppelgerade existieren (s. Nr. 81). Dann gibt es zwei Büschel von  $H$ , die Scharen von  $C_2$  aus der  $F_4$  ausschneiden, die dann zu einer  $R-F_4$  wird.

Gerade  $\bar{g}$  nach dem Schema

$$\bar{C}_3 = \bar{C}_2 + \bar{g};$$

(II $\gamma$ ) die  $\bar{C}_3$  zerfällt in drei Doppelgerade  $\bar{g}, \bar{g}_1, \bar{g}_2$ :

$$\bar{C}_3 = \bar{g} + \bar{g}_1 + \bar{g}_2.$$

Die beiden ersten Fälle führen wiederum zu  $R-F_4$  (s. Abschn. XII).

Der dritte Fall spaltet sich abermals in drei Unterfälle:

- (II $\gamma_1$ ) Alle drei  $\bar{g}$  koinzidieren und bilden eine dreifache Gerade  $\bar{g}$ ;
- (II $\gamma_2$ ) Zwei der  $\bar{g}$  sind windschief und werden von der dritten getroffen;
- (II $\gamma_3$ ) Alle drei  $\bar{g}$  treffen sich in einem Punkte, der dann ein dreifacher Punkt  $D_3$  der  $F_4$  ist.

Die beiden ersten Fälle ergeben wiederum nur  $R-F_4$  (s. Abschn. XII). Im dritten Falle wird die  $F_4$  von allen  $\infty^2 T$  in  $C_2$ -Paaren getroffen; es ist das der *einzig*e Fall, wo  $\infty^2 H$  existieren (s. Abschn. VII). Der Gleichung einer solchen  $F_4$  läßt sich die Gestalt geben

$$(II\gamma) \quad F_4 \equiv Aq^2r^2 + Br^2p^2 + Cp^2q^2 + 2Dpqr s = 0.$$

Hierbei sind die drei  $\bar{g}$  die Schnittlinien der drei Ebenen  $p, q, r$ .

*Zweiter Unterfall (II<sub>2</sub>):* „Die Schar der H geht durch einen festen  $D_2$ .“

Dann erfüllen die beiden veränderlichen  $D_2$  eine  $\bar{C}_2$ ; alle  $H = T$  durch den festen  $D_2$  schneiden  $C_2$ -Paare aus.

Die zugehörige  $F_4$ -Gleichung ergibt sich, wenn man in (I):  $\varphi^2 - 4p^2\psi = 0$ , die beiden Flächen 2. Ordnung  $\varphi$  und  $\psi$  so wählt, daß  $\psi$  ein Kegel wird, dessen Spitze auf  $\varphi$  liegt, und so den festen  $D_2$  liefert, die obigen T sind zugleich die des Kegels  $\psi$ .

NB. Man könnte auch den Kegel der Flächentangenten im  $D_2$  als einen solchen ansehen, dessen T zugleich solche der  $F_4$  sind. Indessen fallen deren Berührungspunkte alle in den  $D_2$  selbst; jede der ausgeschnittenen  $c_4$  hat daselbst eine Spitze und noch zwei weitere  $d_2$ , bleibt aber irreduzibel.

*Dritter Unterfall (II<sub>2</sub>')*: „Die Schar  $H = T$  geht durch zwei feste  $D_2$ .“

Durch jeden Raumpunkt  $P$  gehen  $\infty^1 H = T$ , die einen Kegel 6. Ordnung  $K_6$  umhüllen, der auch die  $F_4$  umhüllt. Rückt der Punkt  $P$  auf die  $F_4$  selbst, so reduziert sich der  $K_6$  auf einen  $K_4$ , und liegt endlich  $P$  speziell auf einer der drei  $\bar{g}$ , so reduziert sich der  $K_4$  auf einen  $K_2$ . Diese  $F_4$  hat *J. Steiner* — in Rom, daher auch der Name „Römische Fläche“ — gefunden, aber nichts darüber veröffentlicht, sondern nur eine Konstruktion der Flächen  $K$ . *Weierstraß* mitgeteilt.

Letzterer<sup>24</sup>) hat daraufhin eine explizite Darstellung der Fläche gegeben, so daß die homogenen Koordinaten eines Flächenpunktes beliebige quadratische Formen in drei homogenen Parametern werden.

Merkwürdigerweise meint *Kummer*, dem die Methode der Abbildung von Flächen ferner lag, daß sich aus dieser Darstellung der Fläche die wesentlichen Eigenschaften nur schwer würden ableiten lassen (s. jedoch Abschn. VII).

Noch ist zu erwähnen, daß die Verbindungsgerade der beiden  $D_2$  auf der  $F_4$  liegen kann; im übrigen bietet dieser Fall nichts Beachtenswertes.

**9. Dritter Hauptfall (III):** Die  $H$  sind vom Typus  $T_2$ . Die  $F_4$  mit Doppelkegelschnitt  $\bar{C}_2$ . Die fünf *Kummerschen* Kegel. Eine solche  $T_2$  geht noch durch zwei  $D_2$  der  $F_4$ . Die Schar der  $H = T_2$  kann nicht durch einen festen Punkt gehen, also sind beide  $D_2$  veränderlich und erfüllen eine  $\bar{C}_2$ , und umgekehrt. Es gilt also:

„Eine  $F_4$  mit  $\bar{C}_2$  wird von allen  $T_2$  in  $C_2$ -Paaren geschnitten.“

Die Gleichung einer solchen  $F_4$  mit  $\bar{C}_2$  war bereits unter (I) aufgestellt:

$$(III) \quad F_4 \equiv \varphi^3 - 4p^2\psi = 0.$$

Diese läßt sich sofort auch in die Gestalt bringen

$$(III) \quad \begin{aligned} F_4 &\equiv (\varphi + 2\lambda p^2)^2 - 4p^2(\psi + \lambda\varphi + \lambda^2 p^2) \\ &\equiv \varphi_\lambda - 4p^2\psi_\lambda = 0, \end{aligned}$$

unter  $\lambda$  einen Parameter verstanden, und wo  $\varphi_\lambda$  und  $\psi_\lambda$  zur Abkürzung dienen.

Die Flächen  $\psi_\lambda$  berühren die  $F_4$  je längs einer  $C_4$ . Bestimmt man im besonderen  $\lambda$  so, daß  $\psi_\lambda$  ein Kegel  $K_2$  wird, so umhüllt ein solcher  $K_2$  die  $F_4$  doppelt, so daß jede  $T$  des  $K_2$  die  $F_4$  in zwei verschiedenen Punkten berührt, und damit ein  $C_2$ -Paar ausschneidet. Wie man leicht erkennt, ist die fragliche Bedingung  $f_5(\lambda) = 0$  für  $\lambda$  von der 5. Ordnung. Somit gilt:

„Es gibt im allgemeinen für eine  $F_4$  mit  $\bar{C}_2$  fünf Kegel  $K_2$ , deren  $T$  die  $F$  doppelt berühren und aus ihr  $C_2$ -Paare ausschneiden; man erhält damit die Gesamtheit der auf der  $F_4$  gelegenen  $C_2$ .“

Das sind die fünf, später nach *Kummer* benannten Kegel.

*Sonderfälle.* Für eine imaginäre Wurzel von  $f_5(\lambda) = 0$  wird auch die Schar der zugehörigen  $T$  imaginär. Im Falle einer Doppelwurzel treten an Stelle der zwei Scharen von  $T_2$  zwei singuläre  $T$  der  $F_4$ ,

24) *K. Weierstraß*, J. f. Math. 64 (1865), p. 77. Vgl. die synthetischen Ergänzungen von *H. Schroeter*, ib. p. 79.

die sie längs der  $\bar{C}_2$  berühren, oder aber eine Schar von  $T_2$ , die durch einen festen  $D_2$  gehen.

Hat im besonderen, wie im ersten Hauptfalle, die  $F_4$  noch ein oder zwei Paare von  $D_2$  — deren Verbindungsgeraden die  $\bar{C}_2$  je nicht treffen — so bleiben von den fünf Scharen von  $T_2$  nur drei resp. eine übrig; die anderen werden zu singulären  $T$ .

So hat bei der *Dupinschen* Zyklide  $Z_0$  ( $I_2'''$ ) die  $f_5(\lambda) = 0$  zwei Paare gleicher Wurzeln, denen die vier singulären  $T$  entsprechen; dagegen liefert die fünfte Wurzel wieder einen eigentlichen  $K_2$ , dessen  $T$   $C_2$ -Paare ausschneiden.

Diese letzteren erweisen sich nach *H. A. Schwarz*<sup>25)</sup> als Kreise, so daß die Zyklide  $Z_0$  sogar auf vier verschiedene Arten durch einen beweglichen (veränderlichen) Kreis erzeugbar ist.

Was endlich die  $R$ - $F_4$  anbelangt (s. Abschn. XII), so enthalten deren  $T_2$  zwei erzeugende Gerade, schneiden also noch eine  $C_2$  aus, die im besonderen wieder in ein  $g$ -Paar zerfallen kann.

Faßt man das Wesentliche zusammen, so führen die eigentlichen  $F_4$  mit Scharen von  $C_2$  — abgesehen von  $R$ - $F_4$  — auf folgende vier bemerkenswerte Typen:

- a)  $F_4$  mit (evtl. auch zerfallender)  $\bar{C}_2$ , die noch mit 1 bis 4  $D_2$  behaftet sein kann;
- b)  $F_4$  mit einer  $\bar{g}$ ;
- c)  $F_4$  mit zwei Selbstberührungspunkten;
- d) die *Steinersche*  $F_4$ .

### III. Die $F_4$ mit Doppelkegelschnitt.

10. Die Abbildung der  $F_4$  auf eine Ebene nach Clebsch. Die 16 Geraden auf der  $F_4$ . Unter den von *Kummer* aufgefundenen  $F_4$  haben sich die mit Doppelkegelschnitt  $\bar{C}_2$  als die bedeutsamsten erwiesen. Dieser Gattung von  $F_4$  ist daher der größte Teil der Literatur gewidmet, die sich überhaupt mit  $F_4$  beschäftigt. Es wird daher ein näheres Eingehen auf diese  $F_4$  gerechtfertigt sein. Wenn auch der metrische Sonderfall der Zykliden (s. Abschn. IV) lange vorher bekannt war, so hat auf die allgemeinen  $F_4$  mit einem Doppelkegelschnitt  $\bar{C}_2$ , nebst einigen ihrer Unterarten, doch erst *E. E. Kummer* (s. Nr. 8) hingewiesen, als solche  $F_4$ , auf denen gewisse Scharen von  $C_2$  liegen.

25) Nach einer Mitteilung von *H. A. Schwarz* an *Kummer*. Das Ergebnis folgt übrigens unmittelbar aus der Definition der Zyklide  $Z_0$ . Denn die fraglichen Paare von  $C_2$ , die durch die  $T$  des fünften  $K_2$  aus der  $F_4$  ausgeschnitten werden, treffen den Doppelkegelschnitt  $K$  je zweimal, sind also Kreise.

Die *Kummerschen* Ergebnisse werden im folgenden, bei Vergleichung mit anderen weitergehenden, unter neuen Gesichtspunkten wieder erscheinen.

Die erste systematische Untersuchung der  $F_4$  mit  $\bar{C}_2$  rührt von *A. Clebsch*<sup>26)</sup> her. Er stützt sich — im Anschluß an die von ihm früher (s. Art. „ $F_3$ “, Nr. 11) durchgeführte (1, 1)-deutige Abbildung der allgemeinen  $F_3$  auf eine Hilfsebene  $A$  — auf eine analoge Abbildung. Unter Beschränkung auf den Fall einer  $F_4$  mit einer reellen, irreduzibeln  $\bar{C}_2$  geschieht deren Abbildung dadurch, daß den ebenen Schnitten  $c_4$  der  $F_4$  — die in den beiden Schnittpunkten mit der  $\bar{C}_2$  zwei  $d_2$  besitzen, also elliptisch sind — die  $c_3$  eines Gebüsches  $G$  mit fünf Grundpunkten („Fundamentalpunkten“)  $A_r$  ( $r = i, k, l, m, n$ ) entsprechen, und umgekehrt.

Sind also  $\lambda_1, \lambda_2, \lambda_3$  drei homogene Parameter, die als Punktkoordinaten in der Ebene  $A$  gedeutet werden, und  $f_i(\lambda_1, \lambda_2, \lambda_3) = f_i(\lambda)$  ( $i = 1, 2, 3, 4$ ) vier beliebige (linear unabhängige) ternäre kubische Formen mit fünf gemeinsamen Verschwindungsstellen  $A$ , so lautet die Abbildung

$$(1) \quad \varrho x_i = f_i(\lambda_1, \lambda_2, \lambda_3) = f_i(\lambda).$$

In der Tat entspricht so der Gesamtheit der Ebenen  $(ux) = 0$  und ihren Schnitten mit der  $F_4$  ein Gebüsch  $G: (uf) = 0$  von  $c_3$  mit fünf Grundpunkten  $A$ . Da sich irgend zwei Individuen von  $G$  noch in vier variierenden Punkten treffen, so entsprechen letztere den vier Schnittpunkten der  $F_4$  mit einer Geraden, und vice versa. Umgekehrt weist *Clebsch* nach, daß sich irgendeine  $F_4$  obiger Art auf diese Weise abbilden läßt. Es ist nützlich, den Unterschied dieser Abbildung von der der  $F_3$  hervorzuheben.

Bei letzterer bildeten sich die  $\infty^3$  ebenen Schnitte ab auf das Gebüsch  $G'$  der  $c_3$  durch sechs Grundpunkte  $A_t$  ( $t = i, k, l, m, n, p$ ) die umgekehrt das Gebüsch  $G'$  eindeutig bestimmen.

Hieraus ließen sich Existenz und Eigenschaften der auf der  $F_3$  liegenden  $C_1, C_2, C_3, \dots$  nebst ihren Schnittpunkten und Konfigurationen ablesen.

Reduziert man die Figur in der Ebene  $A$ , indem man irgendeinen der sechs Fundamentalpunkte  $A$  von  $G'$ , etwa  $A_p$ , wegläßt, so daß ein Gebüsch  $G$  von  $c_3$  durch die fünf Punkte  $A_i, \dots, A_n$  übrigbleibt, so ist man in der Lage, Inzidenzsätze für  $C$  auf der  $F_3$  in entsprechende auf der  $F_4$  überzuführen. Andererseits beachte man,

26) *A. Clebsch*, J. f. Math. 69 (1867), p. 142, nebst einer Note, enthaltend den Beweis eines Hilfssatzes über Funktionaldeterminanten, ib. p. 355.

daß durch fünf Punkte  $A$  vorab eine  $\infty^4$ -lineare Schar von  $c_3$  geht. Um von dieser Schar zu einem Gebüsch  $G$  zu gelangen, hat man die Koeffizienten aller in der Schar auftretenden  $c_3$ -Formen ein und derselben linearen Relation mit konstanten Koeffizienten zu unterwerfen.

Oder auch, geometrisch gesprochen, man adjungiere der Figur der fünf Punkte  $A$  eine beliebig, aber festgewählte Kurve 3. Klasse  $\gamma_3$  und lege den  $c_3$  durch die fünf  $A$  die Bedingung auf, zu dieser  $\gamma_3$  apolar zu sein.

Ist irgendeine der  $c_3$  durch die fünf  $A$  symbolisch dargestellt durch  $(ax)^3 = 0$ , die  $\gamma_3$  durch  $(\gamma u)^3 = 0$ , so lautet die fragliche Bedingung  $(a\gamma)^3 = 0$ , d. h. die bilineare Invariante von  $c_3$  und  $\gamma_3$  verschwindet.

Vermöge dieser Apolaritätsanschauung lassen sich manche der *Clebschschen* Überlegungen einfacher und durchsichtiger gestalten und gestatten überdies, den Ergebnissen eine gewisse Abrundung zu verleihen.

In Analogie zur Theorie der  $F_3$  seien die zehn Verbindungsgeraden  $(A_r, A_s)$  mit  $c_{rs}$  und der Verbindungskegelschnitt der fünf Punkte  $A$  mit  $B_p = B$  bezeichnet.

Hieraus folgt sofort, daß auf der  $F_4$  genau 16 Gerade  $g$  liegen.

Den 5 Fundamentalpunkten  $A_r$  entsprechen 5 Gerade  $a_r$  so, daß irgendein Linienelement durch  $A_r$  sich eineindeutig abbildet auf ein solches der Geraden  $a_r$ .

Den 10 Geraden  $c_{rs}$  entsprechen 10 Gerade, die ebenfalls mit  $c_{rs}$  bezeichnet seien. Endlich ist das Bild des Kegelschnitts  $B_p = B$  eine letzte Gerade  $b_p = b$ .

Diese 16 Geraden  $g$  auf der  $F_4$  sind gleichberechtigt und werden daher von *Clebsch* durch die Ziffern 1, 2, ..., 16 unterschieden. Da aber durch die Abbildung eine der Geraden, nämlich  $b_p = b$ , bevorzugt wird, erscheint die oben gewählte Bezeichnung zweckmäßiger. In der Tat sind die Tabellen, die *Clebsch* u. a. von den Vieren und Doppelvieren (s. u. Nr. 11) aufstellt, wenig durchsichtig.

Das Kriterium windschiefer und inzidenter  $g$ -Paare läßt sich der Abbildung sofort entnehmen. Windschief sind  $g$ -Paare der Typen  $(a_i, a_k)$ ,  $(a_i, c_{kl})$ ,  $(b, c_{ik})$ ,  $(c_{ik}, c_{il})$ ; solcher „Dupel“ oder „Zweien“ gibt es 80.

Inzident sind  $g$ -Paare der Typen  $(a_i, b)$ ,  $(a_i, c_{ik})$ ,  $(c_{ik}, c_{im})$ ; solcher „Inzidenzpaare“ gibt es 40.

Als Kontrolle diene, daß sich aus den 16  $g$  im ganzen  $\binom{16}{2} = 120 = 80 + 40$  Paare bilden lassen.

Im einzelnen hat man von „Dupeln“ 10 des Typus  $(a_i, a_k)$ , 30 vom Typus  $(a_i, c_{ki})$ , 10 vom Typus  $(b, c_{ik})$  und 30 vom Typus  $(c_{ik}, c_{il})$ ; andererseits von Inzidenzpaaren 5 vom Typus  $(a_i, b)$ , 20 vom Typus  $(a_i, c_{ik})$  und 15 vom Typus  $(c_{ik}, c_{im})$ .

Weiter liest man den Satz ab: „Jede der 16  $g$  wird von genau 5 der anderen getroffen.“ So trifft

$$\begin{cases} a_i & \text{die Geraden } b, c_{ik}, c_{il}, c_{im}, c_{in}; \\ b & \text{„ „ } a_i, a_k, a_l, a_m, a_n; \\ c_{ik} & \text{„ „ } a_i, a_k, c_{im}, c_{in}, c_{mn}. \end{cases}$$

Umgekehrt sind dies die 16 einzigen „Quintupel“ oder „Fünfen“ windschiefer  $g$ , die also je eine gemeinsame, der  $F_4$  angehörige Transversale besitzen. Sie seien kurz mit „5“ bezeichnet.

**11. Die Vieren und Doppelvieren.** Für die weitere Theorie der  $F_4$  mit  $\bar{C}_2$  sind von Bedeutung die aus den 16  $g$  herstellbaren windschiefen „Quadrupel“ oder „Vieren“, die kurz mit „4“ bezeichnet seien. Diese zerlegen sich in zwei verschiedene Arten oder Gruppen; bei der ersten, den „4<sub>1</sub>“, existiert stets noch eine weitere  $g$ , die sie zu einer „5“ ergänzt, bei der zweiten, der „4<sub>2</sub>“, nicht.

Man ordne die „4“ in einer Tabelle, etwa nach der Anzahl der je auftretenden  $a$ .

In der ersten Spalte steht die Abzählnummer; in der zweiten die jeweils zu einer „5“ ergänzende  $g$  (die also bei den Typen „4<sub>2</sub>“ fehlt); in der dritten Spalte die vier Elemente der „4“; in der vierten der Typus; in der letzten die Anzahl.

Dann hat man die Tabelle (I):

I.

1	2	3	4	5
1	$a_n$	$a_i, a_k, a_l, a_m$	$4_1$	5
2	—	$a_i, a_k, a_l, c_{mn}$	$4_2$	10
3	$c_{mn}$	$a_i, a_k, c_{im}, c_{in}$	$4_1$	30
4a	—	$a_i, c_{kl}, c_{km}, c_{kn}$	$4_2$	20
4b	$c_{in}$	$a_i, c_{kl}, c_{km}, c_{kn}$	$4_1$	20
5a	$c_{in}$	$b, c_{ik}, c_{il}, c_{im}$	$4_1$	20
5b	—	$b, c_{ik}, c_{il}, c_{kl}$	$4_2$	10
6	$a_i$	$c_{ik}, c_{il}, c_{im}, c_{in}$	$4_1$	5

Diese Vieren „4<sub>1</sub>“ und „4<sub>2</sub>“ lassen sich wiederum je in Paare von Doppelvieren „4“ zusammenfassen. Bei der ersteren Gruppe ( $A_1$ ) treten immer zwei Typen von „4“ zusammen, so daß jede  $g$  der einen Vier die in derselben Spalte stehende  $g$  der zweiten Vier trifft, dagegen

zu deren drei anderen  $g$  windschief ist. Bei der zweiten Gruppe ( $A_2$ ) treten immer zwei Typen von „ $\bar{A}_2$ “ so zusammen, daß sich die obige Regel gerade umkehrt: jede  $g$  der einen Vier ist windschief zu der in derselben Spalte stehenden  $g$  der zweiten Vier, trifft aber deren drei andere  $g$ . Die Gruppe ( $A_1$ ) enthält 40 Doppelvieren und weist drei Untertypen ( $A_1'$ ), ( $A_1''$ ), ( $A_1'''$ ) auf; die Gruppe ( $A_2$ ) enthält 20 Doppelvieren mit zwei Untertypen ( $A_2'$ ), ( $A_2''$ ).

In beiden Tabellen gibt die erste Spalte den Untertypus an, die zweite das zugehörige Paar von Nummern der Tabelle (I), die dritte das Paar der Doppelvieren, die vierte die beiden je inzidenten Transversalen, endlich die fünfte die Anzahl.

Dann sind die beiden Tabellen die folgenden:

( $A_1$ )

1	2	3	4	5
$(A_1')$ {	1	$a_i \ a_k \ a_l \ a_m$	$b$	5
	6	$c_{in} \ c_{kn} \ c_{ln} \ c_{mn}$	$a_n$	
$(A_1'')$ {	3	$a_i \ a_k \ c_{lm} \ c_{ln}$	$c_{ik}$	15
	3'	$c_{li} \ c_{lk} \ a_m \ a_n$	$c_{mn}$	
$(A_1''')$ {	4b	$a_n \ c_{lm} \ c_{km} \ c_{kl}$	$a_i$	20
	5a	$b \ c_{ik} \ c_{il} \ c_{im}$	$c_{in}$	

( $A_2$ )

1	2	3	4	5
$(A_2')$ {	4a	$a_i \ c_{kl} \ c_{km} \ c_{kn}$	—	10
	4a'	$a_k \ c_{il} \ c_{im} \ c_{in}$	—	
$(A_2'')$ {	2	$a_i \ a_k \ a_l \ c_{mn}$	—	10
	5b	$c_{kl} \ c_{il} \ c_{ik} \ b$	—	

Die Gruppe ( $A_1$ ) der „ $\bar{A}_1$ “ läßt sich auch dadurch charakterisieren, daß jede „ $\bar{A}_1$ “ eines Paares eine der  $F_4$  angehörige Transversale (in der vorletzten Spalte) besitzt, so daß diese beiden Transversalen ein Inzidenzpaar bilden, von denen die eine die  $g$  der einen „ $\bar{A}_1$ “ trifft, die der anderen nicht. Gemäß dieser Regel sind die 40 „ $\bar{A}_1$ “ der Gruppe ( $A_1$ ) den 40 Inzidenzpaaren von  $g$  (1, 1)-deutig zugeordnet.

Dagegen besitzt keine der beiden „ $\bar{A}_2$ “ eines Paares der Gruppe ( $A_2$ ) eine auf der  $F_4$  gelegene Transversale.

Innerhalb der Gruppe ( $A_1$ ) lassen sich wiederum zwei „ $\bar{A}_1$ “ derart zusammenfassen, daß sie gerade alle 16  $g$  erschöpfen; zwei solche „ $\bar{A}_1$ “ heißen „komplementär“ und bilden zusammen eine „Doppelacht 8“, so daß von letzteren fünf existieren. Zu jeder „ $\bar{A}_1$ “ in ( $A_1$ ) gehören vier komplementäre.

Auch dies mag im einzelnen bestätigt werden. Zu irgendeiner „ $\overline{A}_1$ “ von  $(A_1')$ , z. B.

$$\begin{vmatrix} a_i & a_k & a_l & a_m \\ c_{in} & c_{kn} & c_{ln} & c_{mn} \end{vmatrix},$$

gehören vier komplementäre des Typus  $(A_1''')$ , die durch die Indizes  $i, k, l, m$  unterschieden seien:

$$\begin{aligned} (i) & \begin{vmatrix} b & c_{ik} & c_{il} & c_{im} \\ a_n & c_{im} & c_{km} & c_{kl} \end{vmatrix}, & (k) & \begin{vmatrix} b & c_{ki} & c_{kl} & c_{km} \\ a_n & c_{im} & c_{im} & c_{il} \end{vmatrix}, \\ (l) & \begin{vmatrix} b & c_{li} & c_{lk} & c_{lm} \\ a_n & c_{km} & c_{im} & c_{ik} \end{vmatrix}, & (m) & \begin{vmatrix} b & c_{mi} & c_{mk} & c_{ml} \\ a_n & c_{kl} & c_{il} & c_{ik} \end{vmatrix}. \end{aligned}$$

Desgleichen gehören zu jeder „ $\overline{A}_1$ “ von  $(A_1')$ , z. B.

$$\begin{vmatrix} a_i & a_k & c_{kl} & c_{km} \\ c_{ni} & c_{nk} & a_l & a_m \end{vmatrix},$$

vier komplementäre des Typus  $(A_1''')$ , nämlich eben die oben angegebenen. Endlich gehören zu irgendeiner „ $\overline{A}_1$ “ von  $(A_1')$ , z. B.

$$\begin{vmatrix} b & c_{ik} & c_{il} & c_{im} \\ a_n & c_{im} & c_{km} & c_{nl} \end{vmatrix},$$

vier komplementäre derart, daß eine vom Typus  $(A_1')$  ist, die drei anderen vom Typus  $(A_1')$ :

$$\begin{aligned} (A_1') & \begin{vmatrix} a_i & a_k & a_l & a_m \\ c_{in} & c_{kn} & c_{ln} & c_{mn} \end{vmatrix}, \\ (A_1'') & \begin{vmatrix} a_i & a_k & c_{lm} & c_{mn} \\ c_{in} & c_{kn} & a_l & a_m \end{vmatrix}, \quad \begin{vmatrix} a_i & a_l & c_{kn} & c_{mn} \\ c_{in} & c_{ln} & a_k & a_m \end{vmatrix}, \quad \begin{vmatrix} a_i & a_m & c_{kn} & c_{ln} \\ c_{in} & c_{mn} & a_k & a_l \end{vmatrix}. \end{aligned}$$

Einfacher gestaltet sich eine solche Zusammenfassung von „ $\overline{A}_2$ “ in der Gruppe  $(A_2)$ .

Zu irgendeinem Paar von  $(A_2')$ , z. B.

$$\begin{vmatrix} a_i & c_{kl} & c_{km} & c_{kn} \\ a_k & c_{il} & c_{im} & c_{in} \end{vmatrix},$$

gehört als *einzige* komplementäre eine in  $(A_2'')$  enthaltene

$$\begin{vmatrix} a_l & a_m & a_n & c_{ik} \\ c_{mn} & c_{ln} & c_{im} & b \end{vmatrix},$$

und vice versa.

Man hat also im ganzen in  $(A_2)$  zehn solcher Paare von „ $\overline{A}_2$ “.

Diese Konfigurationen der 16  $g$  nebst verwandten verfolgt weiter *J. Pereno.*<sup>27)</sup>

27) *J. Pereno*, Ann. di mat. (2) 21 (1893), p. 57.

Andererseits hat *L. Berzolari*<sup>28)</sup> — nach vorgängiger Untersuchung der Gruppierung der 16  $g$ , im Zusammenhange mit den fünf *Kummerschen* Kegeln (s. Nr. 9) — windschiefe Vierseite  $V$  aus den 16  $g$  gebildet, derart, daß vier solcher  $V$  alle  $g$  erschöpfen; sie bilden dann eine „Quaterne“  $Q$ .

Solcher  $Q$  gibt es drei Arten:

1. die 16 Ebenen  $E$  der  $V$  einer  $Q$  „erster“ Art  $Q_1$  zerlegen sich in zwei Gruppen von acht, die je durch einen „*Kummerschen* Punkt“ (d. i. Spitze eines *Kummerschen* Kegels) gehen;

2. die 16  $E$  der zweiten Art,  $Q_2$ , teilen sich in drei Gruppen von resp. 8, 4, 4; wiederum gehen die  $E$  jeder Gruppe durch einen *Kummerschen* Punkt;

3. die 16  $E$  der dritten Art,  $Q_3$ , zerlegen sich in eine Gruppe von acht durch einen *Kummerschen* Punkt, und vier Paare, deren Schnittgerade je durch einen der vier weiteren *Kummerschen* Punkte laufen.

Im ganzen gibt es 110  $Q$ : 10  $Q_1$ , 60  $Q_2$  und 40  $Q_3$ .

Die Verbindungsebene  $H$  von zwei inzidenten  $g$  ist eine dreifache Tangentialebene  $T_2$ , deren es also 40 gibt (s. auch Nr. 10). Aus ihnen lassen sich 708 Oktaeder herstellen, derart, daß die  $H$  eines jeden alle 16  $g$  enthalten. Die verschiedenen Arten dieser Oktaeder werden in Beziehung gesetzt zu den fünf *Kummerschen* Punkten. Aus den 16  $g$  werden auch noch andere Vielseite gebildet.

Hieran schließen sich zwei perspektive Erzeugungen der  $F_4$ , die beide zu einer Konstruktion der 16  $g$  führen.

**12. Die Kegelschnitte auf der  $F_4$ .** Wir kehren zurück zur Abbildung der  $F_4$  und suchen die Bilder der auf der  $F_4$  gelegenen Kegelschnitte  $C_2$ .

Der Doppelkegelschnitt  $\bar{C}_2$  selbst bildet sich ersichtlich ab als ein ausgezeichnetes, mit  $c_3'$  bezeichnetes Individuum des Gebüsches  $G$ , derart, daß jedem Punkte  $P$  der  $\bar{C}_2$  ein Punktepaar  $(Q_1', Q_2')$  auf  $c_3'$  entspricht; die Geraden  $(Q_1', Q_2')$  laufen alle durch einen ausgezeichneten Punkt  $Q_0'$  der  $c_3'$ . Weiteres s. u.

Abgesehen von der  $\bar{C}_2$  gibt es noch  $\infty^1 C_2$  auf der  $F_4$ . Da die Ebene  $E$  einer solchen  $C_2$  noch einen zweiten Kegelschnitt  $C_2'$  ausschneidet, sind stets zwei solche  $C_2$  als „komplementäre“ (oder „koplanare“) einander zugeordnet.

Der Gesamtschnitt  $(C_2, C_2')$  einer solchen Ebene  $E$  mit der  $F_4$  läßt sich als eine zerfallende  $c_4$  mit vier  $d_2$  ansehen. Von diesen fallen zwei in die Schnittpunkte von  $E$  mit der  $\bar{C}_2$ , sind also  $D_2$  der

28) *L. Berzolari*, Ann. di mat. (2) 13 (1885), p. 81.

Fläche, während die beiden anderen die Berührungspunkte einer die  $F_4$  zweimal berührenden Tangentialebene  $E = T_2$  sind; umgekehrt schneidet jede der  $\infty^1 T_2$  der  $F_4$  zwei komplementäre  $C_2$  aus (s. auch *Kummer* in Nr. 6). Somit gilt der Satz:

„Die  $\infty^1 T_2$  einer  $F_4$  mit  $\bar{C}_2$ , und nur diese, schneiden aus der Fläche  $C_2$ -Paare aus.“

Das Bild eines solchen  $C_2$ -Paares ist offenbar eine solche  $c_3^{(i)}$  im Gebüsche  $G$ , die zerfällt in irgendeine  $c_1^{(i)}$  durch je einen Fundamentalpunkt  $A_i$ , und eine, jener  $c_1^{(i)}$  (1, 1)-deutig zugeordnete  $c_2^{(i)}$  durch die übrigen  $A$ .

Man beachte, daß eine  $c_1^{(i)}$  genau acht von den Bildkurven der 16  $g$  der  $F_4$  je einmal trifft, während die übrigen acht von der zugeordneten  $c_2^{(i)}$  je einmal getroffen werden; das entsprechende gilt also von dem  $C_2$ -Paare auf  $F_4$ . Denn die  $c_1^{(i)}$  geht durch  $A_i$ , trifft den Kegelschnitt  $B_p = B$  noch in einem Restpunkte und überdies die sechs Geraden  $c_{ki}, c_{km}, c_{kn}, c_{im}, c_{in}, c_{mn}$ ; dagegen geht  $c_1^{(i)}$  nicht durch  $A_k, A_l, A_m, A_n$  und trifft die vier übrigen  $c$ -Geraden je nur in einem dieser  $A$ . Und gerade umgekehrt verhält es sich mit der  $c_2^{(i)}$ .

Vergleicht man dies mit der Gruppe  $(A_1)$  (s. Nr. 11) der Doppelvieren „ $A_1$ “, so sieht man, daß jede der beiden obigen „Achten“ gerade ein Paar komplementärer „ $A_1$ “ liefern, die alle 16  $g$  erschöpfen.

Nun war je ein Paar  $(c_1^{(i)}, c_2^{(i)}) = c_3^{(i)}$  das Bild eines in zwei  $C_2$  zerfallenden ebenen Schnittes  $c_4$  der  $F_4$ . Die Koeffizienten aller dieser  $\infty^1 c_3^{(i)}$ -Formen genügen daher (s. oben) ein und derselben linearen Relation mit konstanten Koeffizienten. Seien  $\lambda, \mu$  die Parameter der beiden Büschel  $(c_1)$  und  $(c_2)$  — der Index  $i$  werde jetzt unterdrückt —, so ist die Gleichung der  $c_3 = c_3(\lambda, \mu)$  von der Gestalt

$$(2) \quad c_3 \equiv c_3(\lambda, \mu) \equiv (c_1 + \lambda c_1')(c_2 + \mu c_2') = 0.$$

Somit sind die beiden Büschel projektiv aufeinander bezogen; man darf diese Zuordnung so normieren, daß sie die Gestalt  $\lambda - \mu = 0$  erhält. Versteht man dann unter  $c_1, c_1', c_2, c_2'$  geeignete Individuen beider Büschel, so lautet die Zuordnung einfach

$$(2') \quad c_1 + \lambda c_1' = 0, \quad c_2 + \lambda c_2' = 0.$$

Im besonderen hat man die drei zugeordneten Paare  $\lambda = 0$ ),  $c_1$  und  $c_2$ ;  $\lambda = \infty$ ),  $c_1'$  und  $c_2'$ ;  $\lambda = 1$ ),  $c_1 + c_1'$  und  $c_2 + c_2'$ .

Diesen drei Paaren zerfallender  $c_3$  in  $G$  entsprechen drei ebene Schnitte der  $F_4$ , deren Ebenen analog mit  $E_0, E_\infty, E_1$  bezeichnet seien, so daß man die Zuordnungen hat

$$c_1 c_2 \leftrightarrow E_0, \quad c_1' c_2' \leftrightarrow E_\infty, \quad (c_1 + c_1')(c_2 + c_2') \leftrightarrow E_1.$$

Hierbei beachte man noch, daß

$$(c_1 + c_1')(c_2 + c_2') \equiv c_1 c_2 + c_1' c_2' + (c_1 c_2' + c_2 c_1').$$

Damit hat man als vierte Zuordnung für eine gewisse Ebene  $E'$

$$c_1 c_2' + c_2 c_1' \leftrightarrow E',$$

wo die vier E-Formen an die Identität geknüpft sind

$$E' \equiv E_1 - E_0 - E_\infty.$$

Multipliziert man andererseits die rechte Seite von (2) aus, so gilt

$$(2) \quad c_3(\lambda, \mu) \equiv c_1 c_2 + \lambda(c_1 c_2' + c_2 c_1') + \lambda^2 c_1' c_2' = 0.$$

Mithin lautet die entsprechende Ebenenrelation

$$(2a) \quad E_0 + \lambda E' + \lambda^2 E_\infty = 0.$$

Diese  $\infty^1$  Ebenen  $E$  umhüllen daher einen Kegel  $K_2$  mit der expliziten Gleichung

$$(2a') \quad K_2 \equiv 4E_0 E_\infty - E'^2 = 0.$$

Hinterher kann man überall den Index  $i$  wieder hinzufügen, so daß zu jedem der fünf Fundamentaldpunkte  $A$  ein solcher Kegel  $K_2$  gehört. Das sind ersichtlich die fünf *Kummerschen* Kegel  $K_2$  (s. Nr. 9).

Weiter bemerke man, daß die beiden projektiv zugeordneten Büschel (2) von  $c_1$  und  $c_2$  als Ort ihrer Paare von Schnittpunkten eine  $c_3$  erzeugen mit der Gleichung

$$(3) \quad c_3 \equiv c_1 c_2' - c_2 c_1' = 0.$$

Diese  $c_3$  ist das Bild einer  $C_4$ , längs deren ein Büschel von  $F_2$  die  $F_4$  berührt. Faßt man zusammen, so hat man den Satz:

„Innerhalb des Gebüsches  $G$  ist für jeden der fünf Fundamentaldpunkte  $A$  sein Strahlbüschel ( $c_1$ ) dem  $c_2$ -Büschel ( $c_2$ ), mit den vier übrigen  $A$  als Grundpunkten, projektiv zugeordnet. Je zwei dadurch einander zugeordnete ‚komplementäre‘ Individuen  $c_1, c_2$  sind die Bilder von zwei ‚komplementären‘ (‚koplanaren‘) auf der  $F_4$  gelegenen  $C_2$ , und deren Ebenen umhüllen je einen der fünf *Kummerschen* Kegel  $K_2$ .

Diese  $\infty^1$  Ebenen sind zweimal berührende Tangentialebenen  $T_2$  der  $F_4$ , und deren  $\infty^1$  Paare von Berührungspunkten durchlaufen eine  $C_4$  — das Bild der aus der projektiven Zuordnung der ( $c_1$ )- und ( $c_2$ )-Büschel hervorgehenden  $c_3$  —, längs deren ein Büschel von  $F_2$  die  $F_4$  berührt. Damit sind zugleich alle  $C_2$  auf der  $F_4$  erschöpft.“

Durch das obige ist eine längere Entwicklung bei *Clebsch* wesentlich gekürzt.

Nunmehr betrachten wir genauer die schon oben erwähnte  $c_3'$  in  $G$ , das Bild des Doppelkegelschnitts  $\bar{C}_2$  auf der  $F_4$ . Man führe mit

*Clebsch* auf der  $c_3'$  ein geeignet normiertes elliptisches Integral<sup>29)</sup> 1. Gattung  $u$  als Argument (oder Parameter) ein. Die fünf Grundpunkte  $A_i$  mögen die Argumente  $u_i$  erhalten, mit  $\sum u_i = s$ . Weiterhin mögen die Argumente ausgezeichneter Punkte der  $c_3'$  in Klammern beigefügt werden.

Man betrachte zunächst den Kegelschnitt  $B_p = B$ , das Bild der Geraden  $b_p = b$  auf der  $F_4$ . Durch  $b$  lege man das Ebenenbüschel  $E(b)$ . Jede Ebene  $E$  desselben trifft die  $\bar{C}_2$  in zwei Punkten, von denen der eine, der Inzidenzpunkt  $P_b(\bar{C}_2, b)$  von  $\bar{C}_2$  und  $b$ , fest ist, während der andere,  $P$ , mit  $E$  variiert. Jeder dieser beiden Punkte ist das Bild eines Punktepaares  $(Q_1', Q_2')$  auf  $c_3'$ .

Das Bild der Schnitte von  $E(b)$  mit der  $F_4$  ist im  $G$  ein  $c_3$ -Büschel; dessen Individuen zerfallen aber in den festen Kegelschnitt  $B$  und eine variable  $c_1$ . Nach dem Apolaritätsprinzip bilden diese  $c_1$  selbst ein Büschel mit einem festen Zentrum  $B_0'(u_0')$  auf  $c_3'$ .

Andererseits trifft  $c_3'$  den Kegelschnitt  $B$  in einem Restpunkt  $B_0(u_0 \equiv -s)$ . Mithin ist das Bild von  $P_b$  (auf  $\bar{C}_2$ ) das Punktepaar  $(B_0, B_0')$  auf  $c_3'$ . Folglich ist das Bild des laufenden Punktes  $P$  (auf  $\bar{C}_2$ ) ein variierendes Punktepaar  $(Q_1', Q_2')$  auf  $c_3'$ , derart, daß alle Geraden  $(Q_1' Q_2') = (u, u')$  durch das feste Zentrum  $B_0'$  laufen.

Im besonderen muß, für  $P = P_b$ , die Gerade  $(B_0, B_0')$  aus der  $c_3'$  den Restpunkt  $B_0'$  ausschneiden, d. h. die Tangente  $t_0'$  von  $c_3'$  in  $B_0'$ , geht durch  $B_0$ . Man hat also  $u_0 + 2u_0' \equiv 0$ . Der reelle Punkt  $u_0'$  kann daher nur eines der beiden Argumente  $\frac{s}{2}, \frac{s}{2} + \frac{\omega}{2}$  besitzen. Die Normierung von  $u$  darf dahin getroffen werden, daß  $u_0'$  den Wert  $\frac{s}{2}$  erhält.

Überdies geht aus obigem hervor, daß jedes Individuum  $c_3$  in  $G$  die  $c_3'$  in zwei Punktepaaren  $(Q_1', Q_2')$ ,  $(Q_1'', Q_2'')$  trifft, so daß die Geraden  $(Q_1', Q_2')$  und  $(Q_1'', Q_2'')$  durch das Zentrum  $B_0'$  laufen.

Markiert man umgekehrt auf  $c_3'$  zwei beliebige Punkte  $Q_1', Q_1''$ , so ergänzen sich diese vermöge der Geraden  $(Q_1' B_0'), (Q_1'' B_0')$  durch zwei Restpunkte  $Q_2', Q_2''$ . Die neun Punkte  $A_i, (Q_1', Q_2'), (Q_1'', Q_2'')$  sind die Grundpunkte eines  $c_3$ -Büschels in  $G$ , das dem Ebenenbüschel durch die beiden Bildpunkte  $P_1, P_2$  auf  $\bar{C}_2$  entspricht.

Dies dehnt sich ohne weiteres aus auf den Schnitt der  $F_4$  mit

29) S. die systematische Untersuchung von *A. Harnack*, *Math. Ann.* 9 (1875), p. 1. Im Texte ist die Normierung von  $u$  so getroffen, daß das *Abelsche* Theorem für die  $3k$  Schnittpunkte  $u_i$  ( $i = 1, 2, \dots, 3k$ ) der  $c_3$  mit einer  $c_k$  die Gestalt annimmt  $\sum u_i \equiv 0 \pmod{\omega, \omega'}$ , unter  $\omega, \omega'$  die reelle resp. rein imaginäre Periode von  $u$  verstanden.

Flächen beliebiger Ordnung. Als Muster diene eine  $F_2$ , die aus der  $\bar{C}_2$  vier Punkte  $P_1, P_2, P_3, P_4$  ausschneide und aus der  $F_4$  eine  $C_8$ . Die Bilder der vier Punkte  $P_i$  ( $i = 1, \dots, 4$ ) sind vier Punktepaare  $(Q_i', Q_i'')$  auf  $c_3'$ , so daß die vier Geraden  $(Q_i', Q_i'')$  durch  $B_0'$  gehen. Das Bild der  $C_8$  ist eine  $c_6 = c_6^{(5)}$  vom Geschlecht Fünf mit  $d_2$  in den  $A$ , die die  $c_3'$  noch in den vier Punktepaaren  $(Q_i', Q_i'')$  trifft. Und umgekehrt.

Im besonderen kann die Bild- $c_6$  in zwei  $c_3$  durch die  $A$  zerfallen, die im allgemeinen *nicht* in  $G$  enthalten sind; die  $C_8$  auf der  $F_4$  zerfällt dann in zwei  $C_4$ . Es gilt also:

„Eine nicht in  $G$  enthaltene  $c_3$  ist das Bild einer  $C_4$  auf  $F_4$ . Zwei solche  $c_3$  zusammen sind das Bild eines  $C_4$ -Paares auf der  $F_4$ , das dann und nur dann von einer  $F_2$  ausgeschnitten wird, wenn die vier Verbindungsgeraden der je vier Restpunkte der beiden  $c_3$  auf  $c_3'$  durch  $B_0'$  gehen.“

Analog verfähre man mit den zehn Geraden  $c_{ik}$  in der Bildebene nebst ihren Bildgeraden  $c_{ik}$  auf  $F_4$ .

Sei  $P(c_{ik})$  der Treffpunkt von  $c_{ik}$  mit der  $\bar{C}_2$ , so schneidet das Ebenenbüschel  $(c_{ik})$  aus  $\bar{C}_2$  wiederum, außer dem festen Punkte  $P(c_{ik})$ , noch einen laufenden Punkt  $P$  aus. Die Bild- $c_3$  des Ebenenbüschels  $(c_{ik})$  zerfallen jetzt in die feste Gerade  $c_{ik}$  und ein  $c_2$ -Büschel mit den Grundpunkten  $A_l, A_m, A_n, C'_{ik}(u'_{ik})$ .

Andererseits trifft  $c_{ik}$  die  $c_3'$  in einem festen Restpunkte  $C_{ik}(u_{ik})$ . Somit ist  $(C_{ik}, C'_{ik})$  das Bildpunktepaar des Punktes  $P(c_{ik})$  auf  $\bar{C}_2$ .

Zur Bestimmung der beiden Argumente  $u_{ik}, u'_{ik}$  dienen die Relationen

$$u_i + u_k + u'_{ik} \equiv 0, \quad u_{ik} + u'_{ik} + u'_0 \equiv 0,$$

wo  $u'_0 \equiv \frac{s}{2}$ . Somit wird

$$(4) \quad u'_{ik} \equiv -(u_i + u_k), \quad u_{ik} \equiv u_i + u_k - \frac{s}{2}.$$

Da nach dem Apolaritätsprinzip die beiden Punkte  $C_{ik}$  und  $B_0'$  als bekannt anzusehen sind, so ergibt sich  $C'_{ik}$  als Schnittpunkt der Geraden  $(C_{ik}, B_0')$  mit  $c_{ik}$ .

Verfährt man ähnlich mit den fünf Fundamentalpunkten  $A_i$  selbst nebst ihren Bildern, den Geraden  $a_i$  auf der  $F_4$ , so erkennt man, daß dem Inzidenzpunkte  $P(a_i)$  auf  $\bar{C}_2$  dasjenige Punktepaar auf  $c_3'$  entspricht, das sich zusammensetzt aus  $A_i(u_i)$  selbst und dem Restschnittpunkte  $C'_i(u'_i)$  der Geraden  $(A_i, B_0')$  mit  $c_3'$ . Aus  $u_i + u'_i + u'_0 \equiv 0$  ( $u'_0 \equiv \frac{s}{2}$ ) ergibt sich

$$(5) \quad u'_i \equiv -u_i - \frac{s}{2}.$$

**13. Die Kurven 3. Ordnung  $C_3$  auf der  $F_4$ .** Wir kommen zur Abbildung der  $C_3$  auf  $F_4$ . Bilder solcher (irreduzibler)  $C_3$  sind:

$\alpha$ ) Das Netz der  $c_1$ . Eine solche allgemeine  $c_1$  trifft die 10 Geraden  $c_{ik}$  je einmal, die  $c_2 = B$  zweimal, während sie keinen der  $A$  enthält. Die entsprechenden Inzidenzen finden für die  $C_3$  auf der  $F_4$  statt.

$\beta$ ) Ein Netz von  $c_2$  mit irgend drei der  $A$ , etwa  $A_i, A_k, A_l$ , als Grundpunkten. Eine solche  $c_2$  sei mit  $c_2^{(m,n)}$  bezeichnet. Sie geht nicht durch  $A_m, A_n$ , trifft auch die drei Geraden  $c_{ik}, c_{il}, c_{kl}$  in keinem weiteren Restpunkte; dagegen trifft die  $c_2^{(m,n)}$  die Geraden  $c_{im}, c_{km}, c_{lm}, c_{in}, c_{kn}, c_{ln}$  je noch einmal, endlich die  $c_{mn}$  zweimal.

Solcher  $c_2$ -Netze gibt es  $\binom{5}{2} = 10$ . Das Analoge gilt wiederum auf der  $F_4$ .

$\gamma$ ) Ein Netz von  $r_3 = r_3^{(i)}$  mit  $d_2$  in  $A_i$  und  $d_1$  in  $A_k, \dots, A_n$ . Denn jede  $c_3$  in  $G$  trifft eine solche  $r_3^{(i)}$  noch in drei variablen Restpunkten.

Eine  $r_3^{(i)}$  trifft die Geraden  $c_{ik}, c_{il}, c_{im}, c_{in}$  in keinem weiteren Restpunkte, ebensowenig die  $c_2 = B$ ; dagegen trifft die  $r_3^{(i)}$  die sechs Geraden  $c_{kl}, c_{km}, c_{kn}, c_{lm}, c_{ln}, c_{mn}$  je noch in einem Restpunkt.

Solcher  $r_3^{(i)}$ -Netze gibt es fünf, entsprechend den fünf  $A$ .

Die Zusammenfassung ergibt für die  $C_3$  auf der  $F_4$  den Satz:

„Entsprechend den 16  $g$  der  $F_4$  gibt es auf der  $F_4$  16  $\infty^3$  stetige gleichberechtigte Scharen von  $C_3$ .“

Innerhalb jeder Schar trifft irgendein solches Individuum  $C_3$  eine erste der  $g$  zweimal, zehn andere einmal, die letzten fünf gar nicht.“

Im übrigen gilt das in Nr. 3 für  $F_4$  mit einer  $C_3$  angegebene hinsichtlich einer expliziten irrationalen Punktdarstellung der Fläche.

Aber auch die gegenseitigen Inzidenzen dieser  $C_3$  auf der  $F_4$  lassen sich der Abbildung leicht entnehmen. Denn aus ihr folgt:

$\alpha$ ) Eine  $c_1$  trifft jedes Individuum der zehn  $c_2$ -Typen ( $\beta$ ) zweimal und jedes Individuum der fünf  $r_3$ -Typen ( $\gamma$ ) dreimal.

$\beta$ ) Eine  $c_2^{(m,n)}$  trifft jede  $c_1$  vom Typus ( $\alpha$ ) zweimal, sechs  $c_2$  vom Typus ( $ln$ ) zweimal, drei  $c_2$  vom Typus ( $kl$ ) dreimal, drei  $r_3$  ( $\gamma$ ) vom Typus  $r_3^{(i)}, r_3^{(k)}, r_3^{(l)}$  zweimal, und zwei  $r_3$  vom Typus  $r_3^{(m)}, r_3^{(n)}$  dreimal.

$\gamma$ ) Eine  $r_3^{(i)}$  trifft eine  $c_1$  ( $\alpha$ ) dreimal, sechs  $c_2$  ( $\beta$ ) vom Typus ( $mn$ ) zweimal, vier  $c_2$  vom Typus ( $in$ ) dreimal, und vier  $r_3$  vom Typus  $r_3^{(k)}$  zweimal.

Die Zusammenfassung ergibt für die  $C_3$  auf der  $F_4$ :

„Jede  $C_3$  irgendeiner der 16 Scharen trifft jede  $C_3$  von zehn anderen Scharen zweimal, und jede  $C_3$  der fünf übrigen Scharen dreimal.“

Endlich das Verhalten der  $C_3$  einer und derselben Schar zueinander regelt sich durch den Satz:

„Innerhalb einer und derselben Schar von  $C_3$  treffen sich je zwei Individuen nur einmal.“

**14. Die rationalen Kurven 4. Ordnung  $R_4$  auf der  $F_4$  und ihre Beziehung zu den Vieren zweiter Art.** Nunmehr seien auch noch die  $R_4$  auf unseren  $F_4$  mit  $\bar{C}_2$  in Betracht gezogen. Deren Bilder sind folgende Gebüsche der drei Typen:

a)  $c_2 = c_2^{(m,n)}$ , durch irgend zwei Grundpunkte  $A_m, A_n$ ;

b)  $r_3 = r_3^{(i;n)}$ , mit  $d_2$  in  $A_i$ ,  $d_1$  in  $A_k, A_l, A_m$ ;

c)  $r_4 = r_4^{(m,n)}$ , mit  $d_2$  in  $A_i, A_k, A_l$  und  $d_1$  in  $A_m, A_n$ .

Es gibt 10 Typen (a), 20 Typen (b) und 10 Typen (c), also im ganzen 40. Somit gilt:

„Auf der  $F_4$  mit  $\bar{C}_2$  gibt es 40 gleichberechtigte  $\infty^3$ -Scharen von  $R_4$ .“

Man suche weiter die Inzidenzen dieser  $R_4$  mit den 16  $g$ . Aus der Abbildung liest man ab:

a) Eine  $R_4$ , als Bild einer  $c_2^{(m,n)}$ , trifft die 16  $g$  nach dem Schema:

0-mal	$a_i, a_k, a_l, c_{mn}$
1-mal	$a_m, a_n; c_{im}, c_{km}, c_{lm}, c_{in}, c_{kn}, c_{ln}$
2-mal	$c_{ik}, c_{il}, c_{kl}, b$ .

b) Eine  $R_4$ , als Bild einer  $r_3^{(i;n)}$ , trifft:

0-mal	$a_n; c_{ik}, c_{il}, c_{im}$
1-mal	$a_k, a_l, a_m; c_{kl}, c_{km}, c_{lm}, c_{in}; b$ ;
2-mal	$a_i; c_{kn}, c_{ln}, c_{mn}$ .

c) Eine  $R_4$ , als Bild einer  $r_4^{(m,n)}$ , trifft:

0-mal	$c_{ik}, c_{il}, c_{kl}; b$ ;
1-mal	$a_m, a_n; c_{im}, c_{in}, c_{km}, c_{kn}, c_{lm}, c_{ln}$ ;
2-mal	$a_i, a_k, a_l; c_{mn}$ .

Hieraus erkennt man leicht den Zusammenhang mit den Vieren „ $A_2$ “ und Doppelvieren „ $\bar{A}_2$ “, s. oben Nr. 11.

Man greife etwa eine  $R_4$  des Typus (a) heraus. Die 16  $g$  ordnen sich dann zu „ $A_2$ “ und „ $\bar{A}_2$ “ an wie folgt:

$$\left\{ \begin{array}{l} a_i, a_k, a_l, c_{mn} \\ c_{ik}, c_{il}, c_{kl}, b \end{array} \right\}, \quad \left\{ \begin{array}{l} c_{im}, c_{km}, c_{lm}, a_n \\ c_{in}, c_{kn}, c_{ln}, a_m \end{array} \right\},$$

Also hat man:

„Greift man aus irgendeiner der 40  $\infty^3$ -Scharen von  $R_4$  auf der  $F_4$  mit  $\bar{C}_2$  ein beliebiges Individuum heraus, so trifft dieses vier der

16  $g$  gar nicht, vier andere zweimal und die acht übrigen einmal. Dann bilden die beiden ersten Quadrupel eine „ $4_2$ “, desgleichen die letzteren acht  $g$  die komplementäre „ $4_2$ “. Auf diese Weise sind die 40 Scharen von  $R_4$  den 40 Vieren zweiter Art „ $4_2$ “ eineindeutig zugeordnet.“

Auch die gegenseitigen Inzidenzen der  $R_4$  entnimmt man sofort der Abbildung. Es genügt, etwa von einer  $c_2^{(m,n)}$  des Typus (a) auszugehen. Die Anzahlen der jeweiligen freien Schnittpunkte mit allen 40  $c$  der Typen (a), (b), (c), nach Untertypen geordnet, mögen in einer Tabelle zusammengefaßt werden:

Untertypus	Anzahl der $c$	Anzahl der freien Schnittpunkte
$\left\{ \begin{array}{l} c_2^{(m,n)} \\ c_2^{(m,\epsilon)} \\ c_2^{(i,k)} \end{array} \right.$	1	2
	6	3
	3	4
$\left\{ \begin{array}{l} r_3^{(m,n)} \\ r_3^{(i,m)} \\ r_3^{(m,\epsilon)} \end{array} \right.$	2	4
	6	5
	6	4
$\left\{ \begin{array}{l} r_3^{(i,k)} \\ r_4^{(m,n)} \\ r_4^{(i,n)} \end{array} \right.$	6	4
	1	6
	6	5
$r_4^{(i,k)}$	3	4

Faßt man das Wesentliche zusammen, so hat man:

„Eine beliebige  $R_4$  irgendeiner der 40  $\infty^3$ -Scharen auf der  $F_3$  trifft eine  $R_4$  derselben Schar zweimal, die  $R_4$  von sechs anderen Scharen dreimal, die von zwanzig weiteren Scharen viermal, die von zwölf weiteren fünfmal, endlich die der letzten Schar sechsmal.“

**15. Fall eines Knotenpunktes  $D_2$  auf der  $F_4$ .** Es werde nun auch der Fall eines  $D_2 = D$  einer  $F_4$  mit  $\bar{C}_2$  (s. *Kummer*, Nr. 7) in der Abbildungsebene untersucht.

Dann müssen irgend drei der fünf Fundamentalpunkte  $A$ , etwa  $A_i, A_k, A_l$ , auf einer Geraden, die mit  $c_{ikl}$  bezeichnet sei, liegen (und umgekehrt).

Das auf die  $c_3'$  als Bild der  $\bar{C}_2$  Bezügliche bleibt im wesentlichen erhalten.

Innerhalb  $G$  zerfalle eine  $c_3$  derart, daß sich die Gerade  $c_{ikl}$  abspaltet. Dann bilden die Ergänzungskegelschnitte  $c_2 = c_2^{(m,n)}$  ein Netz  $N$  mit zwei Grundpunkten  $A_m, A_n$ . Irgendeine  $c_3$  in  $G$  trifft eine solche  $c_2^{(m,n)}$  noch in vier variablen Punkten.

Dem Netze  $N$  muß im Raume ein Ebenenbündel mit dem Zentrum  $D$  entsprechen; in der Tat schneidet ja jede Ebene durch  $D$  die  $F_4$  in einer  $r_4$  mit drei  $d_2$ , deren einer in  $D$  liegt, während die beiden anderen,  $P_1, P_2$ , der  $\bar{C}_2$  angehören.

Die  $c_3'$  in der Bildebene schneidet die  $c_2^{(m,n)}$  ebenfalls in vier weiteren Punkten. Das sind gerade die obigen; sie zerfallen in zwei Paare  $(Q_1', Q_2'), (Q_1'', Q_2'')$ , so daß die Geraden  $(Q_1', Q_2'), (Q_1'', Q_2'')$  durch das Zentrum  $B_0'$  auf der  $c_3'$  laufen (s. oben Nr. 12).

Die Gerade  $c_{ikl}$  ist das Bild von  $D$  selbst.

Der Geraden  $c_{mn}$  entspricht auf der  $F_4$  eine Gerade  $c_{mn} = b$ ; dergleichen sind  $c_{im}, c_{km}, c_{lm}, c_{in}, c_{kn}, c_{ln}$  die Bilder der sechs gleichbezeichneten  $g$  auf  $F_4$ .

Weiter sind  $A_m, A_n$  Bilder der beiden  $g$ :  $a_m, a_n$ .

Endlich sind  $A_i, A_k, A_l$  die Bilder der drei durch  $D$  gehenden (und auf dem Tangentenkegel von  $D$  liegenden) Geraden  $a_i, a_k, a_l$ .

Wegen der weiteren Fälle des Auftretens von zwei bis vier  $D_2$ , sowie des Falles, wo die  $\bar{C}_2$  in zwei inzidente Gerade zerfällt — jedoch mit Ausnahme des Falles, wo die  $\bar{C}_2$  zu einem Kuspidalkegelschnitt (s. Nr. 17) wird —, sei auf die ausführliche, unter Anwendung und Weiterführung der Clebschschen Methode erfolgte Behandlung von G. Korndörfer<sup>30)</sup> verwiesen.

**16. Die zur Bestimmung der 16 Geraden  $g$  dienende Gleichung 5. Ordnung.** Mittels nicht ganz einfacher algebraischer Rechnungen, die auf geeigneter Kombinierung der Gleichungen zweier der fünf Kummerschen Kegel beruhen, führt Clebsch die Bestimmung der 16  $g$ , die zunächst von einer Gleichung 16. Ordnung  $f_{16} = 0$  abhängen, zurück auf die einer Gleichung 5. Ordnung  $f_5 = 0$ . Die letztere Gleichung ist also eine Resultante der ersteren. Diese  $f_5 = 0$  erweist sich zugleich als die für die fünf Kummerschen Kegel.

Denkt man sich die  $f_5$  vollständig aufgelöst, so bedarf es nur noch der Auflösung quadratischer Gleichungen, um die 16  $g$  einzeln darstellen zu können.

Es ist aber auch von Interesse, den geometrischen und gruppentheoretischen Zusammenhang zwischen den beiden obigen Gleichungen und zwei verwandten, der  $f_{28} = 0$  für die 28 Doppeltangenten  $t_2$  einer  $c_4$  und der  $f_{27} = 0$  für die 27  $g$  einer  $F_3$ , zu verfolgen (s. auch „ $F_3$ “, Nr. 22).

<sup>30)</sup> G. Korndörfer, Math. Ann. 1 (1869), p. 592; 2 (1869), p. 41; 3 (1870), p. 496; 4 (1871), p. 117

Die zugehörigen gruppentheoretischen Betrachtungen hat *C. Jordan*<sup>31)</sup> ausgeführt; im besonderen hat im Anschlusse daran *F. Geiser*<sup>31)</sup> den Zusammenhang zwischen der  $f_{16} = 0$  und der  $f_5 = 0$  synthetisch illustriert und ergänzt.

Vermöge der *Geiserschen* Tangentenprojektion (s. „ $F_3$ “, Nr. 16) der  $F_3$  von einem ihrer Punkte  $P$  aus auf eine Ebene  $\Pi$  entsprang eine  $c_4$  (vom Geschlecht  $p = 3$ ) mit 28  $t_2$ . Dabei waren 27 dieser  $t_2$  den 27  $g$  der  $F_3$  (1, 1)-deutig zugeordnet, während sich die 28<sup>te</sup>  $t_2$  als Spur der Tangentialebene der  $F_3$  in  $P$  ergab.

Algebraisch besagt dies, daß sich die Gleichung  $f_{28} = 0$  nach Adjunktion irgendeiner ihrer Wurzeln auf die Gleichung  $f_{27} = 0$  reduziert, und entsprechend die Gruppe der ersteren auf die der letzteren. Die Gleichung  $f_{27} = 0$  besitzt keine Resolvente geringerer Ordnung.

Geht man wiederum von irgendeiner der 27  $g$ ,  $g = g_0$ , der  $F_3$  als einer bekannten aus, d. h. adjungiert man irgendeine Wurzel der  $f_{27} = 0$ , so spaltet sich die verbleibende Gleichung  $f_{26} = 0$  rational in eine Gleichung 10. Ordnung  $f_{10} = 0$  und eine 16. Ordnung  $f_{16} = 0$ .

Die erstere entsprach denjenigen 10  $g$  der  $F_3$  (genauer den 5 inzidenten  $g$ -Paaren), die  $g_0$  treffen; die letztere den noch übrigen 16  $g$ , die  $g_0$  nicht treffen.

Diese Gleichung  $f_{16} = 0$  ist zugleich die, von der die Bestimmung der 16  $g$  einer  $F_4$  mit  $\bar{C}_2$  abhängt.

Die Gleichung  $f_{10} = 0$  kommt, nach Auflösung von fünf gleichberechtigten quadratischen Gleichungen — die die Spaltung der 10  $g$  in die 5 Inzidenzpaare bewirkt — zurück auf eine Gleichung 5. Ordnung  $f'_5 = 0$ .

Denkt man sich abermals von dieser  $f'_5 = 0$  irgendeine Wurzel adjungiert, die einem Inzidenzpaare  $(g_1, g_2)$  korrespondiere, so hat man auf der  $F_3$  die Figur von drei Geraden  $g_0, g_1, g_2$ , die von einer dreifachen Tangentialebene der  $F_3$  ausgeschnitten werden.

Die vier weiteren  $g$ -Paare, die  $g_0$  treffen, entsprechen den Wurzeln einer  $f_8 = 0$ , auf die sich die  $f_{10} = 0$  reduziert, während die beiden  $g_1$  und  $g_2$  treffenden 4  $g$ -Paare zusammen den Wurzeln der  $f_{16} = 0$  zugeordnet sind.

Hieraus schließt man, daß die zur Bestimmung der 10  $g_0$  treffenden  $g$  dienende Gleichung  $f'_5 = 0$  gleichberechtigt (d. i. gruppentheoretisch gleichzusammengesetzt) ist mit der *Clebschschen* Gleichung  $f_5 = 0$  für die 16  $g$  einer  $F_4$  mit  $\bar{C}_2$ .

31) *C. Jordan*, Paris C. R. 68 (1869), p. 656; J. f. Math. 70 (1869), p. 182; *Traité des substitutions*, Paris 1873. — *F. Geiser*, J. f. Math. 70 (1869), p. 249. Vgl. auch *J. Pereno*, Ann. di mat. (2) 21 (1893), p. 57.

17. Erzeugung der  $F_4$  durch zwei projektive  $F_2$ -Büschel. Die synthetischen Untersuchungen von Juel und Bobek. Clebsch gibt auch einige mit der Abbildung der  $F_4$  mit  $\bar{C}_2$  eng zusammenhängende projektive Erzeugungen der Fläche an. Merkwürdigerweise erwähnt er dabei nicht die fruchtbarste, die Erzeugung durch zwei projektiv zugeordnete  $F_2$ -Büschel.

Diese Erzeugung läßt sich an die Clebschsche Abbildung anschließen. Die  $C_2$  auf der  $F_4$  bildeten, entsprechend den fünf Kummer'schen Kegeln  $K_2$ , fünf  $\infty^1$ -Scharen (s. Nr. 12). Deren Bilder waren die Geraden  $c_1^{(i)}$  durch  $A_i$  und die Kegelschnitte  $c_2^{(i)}$  durch  $A_k, A_l, A_m, A_n$ . Zu jeder  $C_2$  auf  $F_4$  gehörte eine koplanare, die beiden Bilder waren zwei projektiv entsprechende Individuen der beiden Büschel  $c_1^{(i)}$  und  $c_2^{(i)}$ .

Das Bild der  $\bar{C}_2$  war eine ausgezeichnete  $c_3'$  im  $c_3$ -Gebüsch  $G$ . Eine durch die  $\bar{C}_2$  gehende  $F_2$  schneidet die  $F_4$  in einer Restkurve  $C_4$ ; deren Bild war eine (nicht in  $G$  enthaltene)  $c_3$  durch die fünf  $A$ . Zerfällt im besonderen die  $C_4$  in zwei  $C_2$ , so auch die Bild- $c_3$  in eine  $c_1^{(i)}$  und  $c_2^{(i)}$ . Der Index  $i$  werde jetzt wieder unterdrückt.

Hält man eine der beiden  $C_2$ , die mit  $C_2^{(0)}$  bezeichnet sei, fest, so liegt ein  $F_2$ -Büschel vor, das die  $F_4$  noch in einer beweglichen  $C_2$  schneidet.

Das Bild der  $C_2^{(0)}$  sei eine  $c_2^{(0)}$ ; dann überstreicht das Bildbüschel der  $C_2$ -Schar die ganze Ebene, wie  $C_2$  die ganze  $F_4$  überstreicht.

Das Verfahren werde wiederholt für ein zweites  $F_2$ -Büschel mit fester  $C_2^{(1)}$  und variierender  $C_2'$ .

Es ist zu zeigen, daß die Individuen beider  $C_2$ -Scharen sich decken.

Die Bilder der Gesamtschnittkurve irgendeiner  $F_2$  des einen oder andern Büschels sind dargestellt durch Gleichungen von der Gestalt

$$(1) \quad c_3' c_2^{(0)}(c_1 + \lambda c_1') = 0, \quad c_3' c_2^{(1)}(c_1 + \mu c_1') = 0.$$

Für  $\lambda = \mu$  und nur dann, wenn also die beiden  $F_2$ -Büschel projektiv aufeinander bezogen sind, fallen die entsprechenden Restkurven  $C_2, C_2'$  beider  $F_2$ -Büschel zusammen.

Zu demselben Ergebnis gelangt man auch direkt von der Kummer'schen Gleichung (s. Nr. 7) der  $F_4$  aus:

$$(2) \quad F_4 \equiv \varphi^2 - 4x_m^2 \psi = 0.$$

Die Gleichung eines  $F_2$ -Büschels durch die  $\bar{C}_2$  ( $\varphi = 0, x_m = 0$ ) und eine feste  $C_2^{(0)}$  lautet

$$(3) \quad \varphi + 2x_m r + \lambda(\varphi + 2x_m r') = 0.$$

Hier ist das Paar der Ebenen von  $\bar{C}_2$  und  $C_2^{(0)}$  dargestellt durch

$$(4) \quad x_m(r - r') = x_m d_r = 0,$$

wo  $d_r$  zur Abkürzung steht.

Somit hat man als einfachste Darstellung zweier solcher projektiver  $F_2$ -Büschel

$$(5) \quad \begin{cases} (\varphi + 2x_m r) + \lambda \cdot 2x_m d_r = 0, \\ 2x_m d_s + \lambda(\varphi + 2x_m s) = 0. \end{cases}$$

Das Ergebnis ist also eine  $F_4$  mit der Gleichung

$$(6) \quad F_4 \equiv (\varphi + 2x_m r)(\varphi + 2x_m s) - 4x_m^2 d_r d_s = 0.$$

Diese ist noch auf die Gestalt (2) zu bringen. Man hat sofort

$$(6') \quad \begin{aligned} F_4 &\equiv \{\varphi + x_m(r + s)\}^2 - x_m^2 \{(r - s)^2 - 4d_r d_s\} \\ &\equiv \varphi_m^2 - x_m^2 \psi_m = 0. \end{aligned}$$

Bei vorgegebenen  $\varphi_m, \psi_m$  hat man geeignete Linearformen  $r, s, r', s'$  zu ermitteln, die (6') genügen.

Zu dem Behuf beziehe man  $\psi_m$  auf ein Dreieck, von dem zwei Seiten Tangenten  $t_r$  und  $t_s$  sind und die dritte Seite die Polare  $p$  von deren Schnittpunkt, so daß die Gleichung von  $\psi_m$  in der Gestalt erscheint

$$(7) \quad \psi_m \equiv p^2 + t_r t_s = 0.$$

Die rechte Seite soll mit  $(r - s)^2 + d_r d_s$  zur Übereinstimmung gebracht werden. Die Vergleichung führt zu

$$(8) \quad r - s = p, \quad r - r' = t_r, \quad s - s' = t_s.$$

Bei einteiliger  $\bar{C}_2$ , wo alle auftretenden Linearformen reell sind, sind bei beliebig angenommenem  $s$  die drei übrigen Formen  $r, r', s'$  bestimmt, was sich auch durch eine einfache Konstruktion veranschaulichen läßt.

Ist aber die  $\bar{C}_2$  nullteilig, so werden  $r$  und  $-s$ , sowie  $t_r$  und  $t_s$  konjugiert imaginär, so daß (8) die Gestalt annimmt

$$(8') \quad \begin{aligned} r &= \frac{p}{2} + i\alpha, & r - r' &= \sigma + i\tau, \\ -s &= \frac{p}{2} - i\alpha, & s - s' &= \sigma - i\tau, \end{aligned}$$

woraus sich nach willkürlicher Wahl von  $\alpha$  wiederum  $r, s, r', s'$  bestimmen.

Die Erzeugung der  $F_4$  mit  $\bar{C}_2$  durch zwei projektive  $F_2$ -Büschel hat *C. Juel*<sup>32)</sup> direkt auf synthetischem Wege untersucht.

Die  $F_4$  entsteht als Ort der Schnittkurven  $C_4$  der projektiv zugeordneten Individuen zweier  $F_2$ -Büschel ( $\alpha$ ) und ( $\beta$ ), die alle einen irreduzibeln (ein- resp. nullteiligen) Kegelschnitt  $\omega$  gemein haben, der sich als der Doppelkegelschnitt  $\bar{C}_2$  der  $F_4$  erweist. Hieraus ergeben sich sofort die  $C_2$ -Scharen auf der  $F_4$ , sowie die Restschnittkurven  $C_4'$  der  $F_4$  mit einer beliebigen, durch  $\omega$  gehenden  $F_2$ .

32) *C. Juel*, Tidsskr. f. Mat. (4) 4 (1880), p. 81, 113.

Die fünf *Kummerschen* Kegel  $K_2$  entstehen als die Enveloppen der Ebenen  $E$  solcher Restkegelschnitte, in denen sich  $(\alpha)$  und  $(\beta)$  — außer in  $\omega$  — schneiden. Daraufhin lassen sich die 16 Geraden auf der  $F_4$ , die doppelt berührenden Tangentialebenen  $T_2$ , sowie die Kurven 3. und 4. Ordnung auf der  $F_4$  diskutieren. Ferner kann die  $F_4$  von  $C_2$ -Ebenen berührt werden längs solcher  $C_4^*$ , die durch die vier Rückkehrpunkte (Kuspidalpunkte s. Nr. 18) auf der  $\bar{C}_2$  gehen. Diese „einbeschriebenen“ Flächen haben verschiedene besondere Eigenschaften. Berührt z. B. eine  $F_2$  eine solche Fläche längs eines ganzen Kegelschnitts, so schneidet sie die  $F_4$  in zwei  $C_4$ . Von diesen Flächen kann man auch zu den fünf *Kummerschen* Kegeln  $K_2$  zurückgelangen.

Den Schluß bildet die Untersuchung einer Reihe von geometrischen Örtern, die zu der  $F_4$  in enger Beziehung stehen. So gibt es fünf Systeme von  $F_2$  durch die  $\bar{C}_2$ , die die  $F_4$  in je zwei Punkten berühren. Der Ort der Pole, die der Ebene der  $\bar{C}_2$  in bezug auf die  $F_2$  eines einzelnen Systemes entsprechen, ist wiederum eine  $F_2$ . Nimmt man die Pole nur in bezug auf die Flächen durch einen gegebenen Punkt, so erhält man einen einzigen Kegelschnitt. Berühren andererseits die Flächen eine feste Ebene, so erhält man eine  $C_4$ , und dies gilt auch, wenn die Flächen eine feste Gerade berühren.

Damit gewinnt der Verfasser auch die Mittel für verschiedene Anzahlbestimmungen.

So gibt es von Kegelschnittflächen, die sich in der  $\bar{C}_2$  und zwei anderen  $C_2$  schneiden, und außerdem

1. durch zwei gegebene Punkte gehen, 10;
2. durch einen Punkt gehen und eine Gerade oder Ebene berühren, 20;
3. zwei Gerade oder Ebenen berühren, 40;
4. eine Gerade und eine Ebene berühren, 40.

Unabhängig von *Juel* hat auch *K. Bobek*<sup>33)</sup> die nämliche Erzeugung der  $F_4$  mit  $\bar{C}_2$  zugrunde gelegt.

Wir beschränken uns daher, anzuführen, daß er auch die Sonderfälle der  $F_4$  mit einem bis vier  $D_2$  berücksichtigt. Die erforderlichen Konstruktionen werden im einzelnen ausgeführt; auch wird die Beschreibung eines Fadenmodells für die 16  $g$  hinzugefügt.

*J. Cardinaal*<sup>34)</sup> leitet aus der Erzeugung einer  $F_4$  mit  $\bar{C}_2$  durch zwei projektive  $F_2$ -Büschel  $B_1, B_2$  die Hauptformen dieser  $F_4$  her.

Greift man aus  $B_1$  und  $B_2$  je zwei beliebige Individuen heraus, so bestimmen diese ein  $F_2$ -Gebüsch  $G$  in einem ersten Raume  $S_3$ .

33) *K. Bobek*, Wien Ber. 90 (1884), p. 923, 1168.

34) *J. Cardinaal*, Amst. Versl. (3) 8 (1891), p. 88.

Sei weiter  $O$  ein fester Punkt, so bilden die Polarebenen  $\pi'$  in bezug auf die Individuen in  $G$  ein  $E'$ -Gebüsch  $G'$  in einem zweiten Raume  $S_3'$ , das zu  $G$  in projektiver Beziehung steht. Hieraus erwächst eine Punkttransformation 2. Grades  $T_2$  zwischen beiden Räumen  $S_3, S_3'$ . Vermöge dieser  $T_2$  korrespondiert der  $F_4$  mit  $\bar{C}_2$  in  $S_3$  eine Fläche 2. Ordnung  $F_2'$  im  $S_3'$ , und den Kegeln innerhalb  $G$ , deren Spitzen die Kernfläche  $K$  bilden, Ebenen, die eine Fläche 2. Klasse  $\Phi_2'$  berühren.

Behufs Klassifikation der  $F_4$  mit  $\bar{C}_2$  werden zunächst drei Hauptfälle unterschieden, je nachdem die (ein- resp. nullteilige)  $C_2$  irreduzibel ist, oder aber in ein Paar (reeller resp. konjugiert imaginärer) Geraden zerfällt, oder endlich in eine doppeltzählende Gerade ausartet.

Jeder dieser drei Hauptfälle zerlegt sich wieder in acht Unterfälle. Zu dem Behuf unterscheide man hinsichtlich des Gebüsches  $G$ , ob dasselbe „allgemein“ ist, d. h. keiner besonderen Bedingung genügt, oder aber, wenn die  $F_2$  in  $G$ , außer der  $C_2$ , noch einen gemeinsamen Grundpunkt besitzen. Die Zeichen für diese beiden Fälle seien  $w$  resp.  $p$ .

Bei der Regelfläche  $F_2'$ , die bei willkürlicher Gestalt und Lage durch das Zeichen  $w'$  charakterisiert sei, trenne man wieder die beiden Sonderfälle ab, wenn sie ein Kegel wird oder aber eine besondere Lage im  $S_3'$  einnimmt; die bezüglichen Zeichen seien  $k, b$ .

Man hat dann für die obigen acht Unterfälle das Schema:

Fall	I	II	III	IV	V	VI	VII	VIII
$G$	$w$	$p$	$w$	$w$	$p$	$p$	$w$	$p$
$F_2'$	$w'$	$w'$	$k$	$b$	$b$	$k$	$k, b$	$k, b$

Jeweils werden die Lage der Flächen  $K_2', F_2'$  und die Kurven auf der erzeugten  $F_4$  untersucht. Von den besonderen Lagen der Fläche  $F_2'$  werden 13 unterschieden, je nachdem  $F_2'$  die Fläche  $K$  berührt oder in speziellen Kurven schneidet.

Daran schließen sich noch Bemerkungen über die Fälle, wo die  $F_4$  eine Zyklide  $Z$  ist oder aber in eine Regelfläche  $R-F_4$  ausartet.

**18. Die vier Kuspidalpunkte der  $F_4$ .  $F_4$  mit Kuspidalkegelschnitt.** Man knüpfe wieder an die *Kummersche* Gleichung (s. Nr. 7) einer  $F_4$  mit  $\bar{C}_2$  an:

$$(1) \quad F_4 \equiv \varphi^2 - 4p^2\psi = 0,$$

deren  $\bar{C}_2$  der Schnitt  $(\varphi, p)$  war. Man unterwerfe (1), für  $p \equiv x_m$ , wiederum der *Kummerschen* Umformung (s. Nr. 9)

$$(1') \quad F_4 \equiv (\varphi + 2\mu x_m^2)^2 - 4x_m^2(\varphi\mu + x_m^2\mu^2 + \psi) \\ \equiv \varphi_m^2 - 4x_m^2\psi_m.$$

Diese läßt sich dazu verwenden, um  $\varphi_m$  zu einem Kegel zu machen.

Sei  $a_{mm}$  der Koeffizient von  $x_m^2$ ,  $A$  die Determinante  $D_\mu$  von  $\varphi$  und  $\alpha_{mm}$  der Minor von  $a_{mm}$ . Es wird dann  $D_\mu \equiv A + 2\mu\alpha_{mm}$  und verschwindet nur für  $\mu = \mu_1 = -\frac{A}{2\alpha_{mm}}$ ; hierbei ist vorausgesetzt, daß  $\varphi$  weder selbst ein Kegel ist, noch die Ebene  $x_m = 0$  berührt. Wählt man noch die Spitze dieses Kegels  $\varphi_1$  als Koordinatenecke  $A_m$  und normiert  $\varphi_1$  zu  $x_i x_i - x_k^2$ , so läßt (1') die ausgezeichnete Darstellung zu

$$(2) \quad F_4 \equiv (x_i x_i - x_k^2)^2 - 4x_m^2 \psi_m = 0,$$

und  $A_i$  genügt den Bedingungen (2).

Der Koeffizient von  $x_i^2$  wird  $x_i^2$ , d. h. der  $D_2$  in  $A_i$  wird ein uniplanarer und zugleich ist  $\psi$  ein in ein Ebenenpaar ausgearteter *Kummerscher Kegel*  $K_2$ . Ist dagegen  $A_i$  ein beliebiger, nicht der Fläche  $\psi$  angehöriger Punkt der  $\bar{C}_1$ , also  $c_0 \neq 0$ , so wird der Koeffizient von  $x_i^2$

$$(3) \quad x_i^2 - 4c_0 x_m^2.$$

Somit zerfällt der Tangentenkegel des  $D_2$  in  $A_i$  in ein Paar von Tangentialebenen  $T, T'$  der  $F_4$ , das harmonisch ist zur Ebene ( $x_m = 0$ ) der  $\bar{C}_2$  und der Tangentialebene  $x_i = 0$  (in  $A_i$ ) des über  $\bar{C}_2$  stehenden Kegels mit der Spitze  $A_m$ . Dieser Tangentialkegel ( $T, T'$ ) des  $D_2$  in  $A_i$  wird dann und nur dann ein uniplanarer, wenn  $c_0$  verschwindet; die beiden Ebenen  $T, T'$  fallen dann zusammen und zwar in die Ebene  $x_i = 0$ , und man ist zum Spezialfalle (1') zurückgelangt.

Endlich beachte man noch, das jede Ebene durch einen uniplanaren  $D_2$  der  $\bar{C}_2$  die  $F_4$  in einer  $c_4$  mit Spitze in  $D_2$  schneidet, und umgekehrt.

Daher heißt ein solcher uniplanarer  $D^2$  der  $\bar{C}_2$  ein „*Kuspidalpunkt*“ (oder „*Rückkehrpunkt*“) der  $F_4$ . Somit gilt der Satz:

„Eine  $F_4$  mit  $\bar{C}_2$  besitzt vier Kuspidalpunkte, die Schnittpunkte der  $\bar{C}_2$  mit der Fläche  $\psi$ .“

Man frage jetzt nach der Bedeutung der vier Schnittpunkte der  $\bar{C}_2$  mit  $\varphi$ , für die also zugleich

$$(4) \quad \varphi = 0, \quad p = 0, \quad \psi = 0.$$

Ordnet man noch  $\psi$  nach  $x_i$ , so nimmt damit (1) die Gestalt an

$$(1') \quad F_4 \equiv (x_i x_i - x_k^2)^2 - 4x_m^2 (c_0 x_i^2 + c_1 x_i + c_2) = 0.$$

Überdies werde jetzt die Ecke  $A_i$  (auf  $c_2$ ) so gewählt, daß sie auch auf  $\psi$  liegt. Dann verschwindet die Konstante  $c_0$  — und vice versa — und (1') reduziert sich auf

$$(1'') \quad F_4 \equiv (x_i x_i - x_k^2)^2 - 4x_m^2 (c_1 x_i + c_2) = 0.$$

Nunmehr entnimmt man auch der Gleichung (1) die Beziehung der fünf *Kummer-Kegel*  $K_2$  zu den vier Kuspidalpunkten.

Nach *Kummer* ließ sich (1) umformen wie folgt:

$$(1a) \quad F_4 \equiv (\varphi + 2\lambda p^2)^2 - 4p^2(\psi + \lambda\varphi + \lambda^2 p^2) \\ \equiv \varphi^2 - 4p^2\psi_\lambda = 0.$$

Für fünf Werte von  $\lambda$  artete  $\psi_\lambda$  in einen *Kummer-K<sub>2</sub>* aus. Diese fünf *K<sub>2</sub>* gehören also dem Netze  $N(\varphi, p^2, \psi)$  an.

Die acht Grundpunkte von  $N$  rücken viermal zu je zweien auf  $\bar{C}_2$  in die vier Kuspidalpunkte. Mithin hat man:

„Die fünf *Kummerschen* Kegel *K<sub>3</sub>* gehen alle durch die vier Kuspidalpunkte und berühren sich in ihnen.“

Man untersuche jetzt den singulären Fall, wo jeder Punkt des  $\bar{C}_2$  zu einem Kuspidalpunkt wird und damit die  $\bar{C}_2$  zu einem „*Kuspidalkegelschnitte*“ der  $F_4$ .

Zu dem Behuf wähle man wieder  $x_m = 0$  als Ebene  $p$ , während die beiden Formen  $\varphi$  und  $\psi$  beliebig seien. Dann schreibt sich (1) explizite

$$(5) \quad F_4 \equiv \varphi^2 - 4x_m^2\psi \\ \equiv (a_0x_m^2 + a_1x_m + a_2)^2 - 4x_m^2(b_0x_m^2 + b_1x_m + b_2),$$

wo  $a_2$  und  $c_2$  als irreduzibel vorausgesetzt sind.

Im allgemeinen waren die vier Kuspidalpunkte die Schnittpunkte von  $\bar{C}_2$  mit  $\psi$ , also außerhalb der Ebene  $x_m = 0$  die gemeinsamen Lösungen von

$$(6) \quad a_2 = 0, \quad c_2 = 0.$$

Dann sind  $\infty^1$  gemeinsame Lösungen von (6), wenn etwa  $a_2$  als gegeben betrachtet wird, dann und nur dann möglich, wenn entweder  $c_2$  identisch verschwindet, oder aber  $c_2$  mit  $a_2$  übereinstimmt. In ersterem Falle erhält  $\psi$  den Faktor  $x_m$ , so daß (5) die spezifische Gestalt annimmt

$$(7) \quad F_4 \equiv \varphi^2 - 4x_m^2q \equiv \varphi^2 - 4x_m^2(q_0x_m + q_1).$$

Umgekehrt ist für jede  $F_4$  vom Typus (7) ihre  $\bar{C}_2$  ein Kuspidalkegelschnitt.

In letzterem Falle müßte sein

$$(8) \quad c_2 \equiv a_2.$$

Es fragt sich, ob auch jetzt die Form  $F_4$  (5) auf die Gestalt (7) gebracht werden kann. Zu dem Behuf verfähre man vorerst umgekehrt; man versuche (7) so umzuformen, daß  $c_2$  nicht mehr identisch verschwindet, wohl aber gemäß (8) mit  $a_2$  übereinstimmt. Zu dem Behuf schreibe man an Stelle von (7)

$$(7) \quad F_4 \equiv (\varphi + 2x_m^2)^2 - 4x_m^2(\varphi + x_m^2 + q_0x_m + q_1) \equiv \varphi_m^2 - 4x_m^2\psi_m.$$

Hier ergibt die explizite Entwicklung von  $\psi_m$  nach  $x_m$

$$(9) \quad \psi_m \equiv x_m^2(a_0 + 1 + q_0) + x_m(a_1 + q_1) + a_2.$$

Da  $a_2$  auch in  $\varphi_m$  das freie Glied ist, so ist damit zunächst die Bedingung (8) erfüllt. Weiter müßte sein

$$(10) \quad b_0 \equiv a_0 + 1 + q_0, \quad b_1 \equiv a_1 + q_1,$$

oder auch umgekehrt

$$(10') \quad q_0 \equiv b_0 - a_0 - 1, \quad q_1 \equiv b_1 - a_1.$$

Geht man jetzt wieder rückwärts, nimmt für  $q_0$  und  $q_1$  die Werte (10'), so ist man in der Tat von (5) aus, mit der Bedingung (8), zu der gewünschten Darstellung (7) gelangt; man hat nur noch  $\varphi$  durch  $\varphi_m \equiv (a_0 + 2)x_m^2 + a_1x_m + a_2$  zu ersetzen.

Vereinigt man beide Ergebnisse, so gilt der Satz:

„Die Gleichung einer  $F_4$  mit Kuspidalkegelschnitt läßt sich stets auf die Gestalt bringen

$$(I) \quad F_4 \equiv \varphi^2 - 4x_m^3q = 0,$$

und umgekehrt stellt (I) stets eine solche  $F_4$  dar.“

Auf dem Kuspidalkegelschnitt  $\varphi = 0$ ,  $x_m = 0$  existieren zwei ausgezeichnete Punkte, für die auch  $q = 0$ , also innerhalb  $x_m = 0$  die Schnittpunkte von  $a_2 = 0$  mit  $q_1 = 0$ . Bedient man sich wieder der *Kummerschen* Umformung

$$(11) \quad F_4 \equiv (\varphi + 2\lambda x_m^2)^2 - 4x_m^3(\varphi\lambda + \lambda^2 x_m^2 + x_m q), \\ \equiv \varphi_\lambda^2 - 3x_m^3\psi_\lambda,$$

so gelangt man, wie im allgemeinen Falle, zu den fünf *Kummerschen* Kegeln  $K_2$ . Diese gehören dem  $F_2$ -Netze  $N(\varphi, x_m^2, x_m q)$  an, dessen acht Grundpunkte zu je vier innerhalb  $x_m = 0$  in jene beiden Punkte  $a_2 = 0$ ,  $q_1 = 0$  zusammenrücken. Zugleich ist ersichtlich, daß alle  $C_2$  der  $F_4$  den Kuspidalkegelschnitt  $a_2$  in den beiden Punkten treffen und in ihnen je eine feste Ebene berühren.

Überdies folgt aus der Darstellung (I) der  $F_4$ , daß die Tangentenebenen  $T$  der  $F_4$  in den  $\infty^1$  Kuspidalpunkten der  $\bar{C}_2$  alle durch einen festen Punkt gehen. Dieser Punkt ist die Spitze des ausgezeichneten Kegels  $\varphi_1$ , und obige  $T$  sind zugleich die Tangentenebenen dieses Kegels.

Umgekehrt hat daraufhin *C. Crone*<sup>35)</sup> die  $F_4$  mit Kuspidalkegelschnitt  $\bar{C}_2$  durch Bewegung einer veränderlichen  $C_2$  erzeugt, die zwei feste Ebenen in zwei festen Punkten berührt; sie läßt sich also vermöge einer geeigneten Kollineation in eine Rotationsfläche überführen. Es werden im besonderen Umriss- und Realitätseigenschaften solcher

35) *C. Crone*, Dissert. Kjöbenhavn 1881.

$F_4$  verfolgt. Variiert man die Stellung der erzeugenden  $C_2$ , so lassen sich die  $F_4$  in drei Arten unterscheiden:

1. die  $\bar{C}_2$  ist einteilig und trifft eine gewisse Ebene  $E_0$  in zwei reellen Punkten;
2. ditto, aber die beiden letzteren Punkte sind nicht reell;
3. die  $\bar{C}_2$  ist nullteilig.

Die Ebene  $E_0$  ist eine, die  $F_4$  längs einer erzeugenden  $C_2$  berührende. Die Gattungen 2. und 3. lassen sich auf die erste zurückführen vermöge einer speziellen, nicht reellen Transformation, bei der aber reelle  $C_2$  einander entsprechen.

Um die Verschiedenheiten in den Gestalten der  $F_4$  besser zu übersehen, ist eine Reihe von Zeichnungen der  $c_4$  mit zwei Spitzen beigegeben, die durch die Schnitte der  $F_4$  mit Ebenen entstehen.

Sodann werden die Haupttangentialflächen untersucht; durch jeden Punkt gehen vier solche, von denen zwei reell sind. Insbesondere wird die Realität gewisser Haupttangentialflächen, die in Kegel ausgeartet sind, studiert.

Es folgt die Betrachtung des Umrisses  $c_6$  der  $F_4$ , von irgendeinem Punkte aus gesehen. Die  $c_6$  ist zugleich eine  $\gamma_6$  mit acht Spitzen und acht Wendetangenten, und ist mit sich selbst kollinear mit dem charakteristischen Doppelverhältnis  $-1$ . Für jede solche  $c_6$  liegen die vier Geraden durch das Kollineationszentrum, die je zwei Spitzen enthalten, äquianharmonisch.

Im besonderen wird das Projektionszentrum in der Ebene  $\bar{C}_2$  gewählt, wobei sich schon alle Formen der  $c_6$  ergeben. Diese hat null bis drei Zweige; höchstens vier Spitzen und vier Wendetangenten sind reell.

Endlich werden noch die  $C_2$  betrachtet, in denen eine Tangentialebene eines *Kummerschen* Kegels die  $F_4$  schneidet; in dem Berührungspunkte der Ebene haben die  $C_2$  eine Berührung 2. Ordnung. Es schließt sich wieder die Realitätsuntersuchung an.

Eine Ergänzung zu dieser Arbeit von *Crone* bildet die von *J. Béla*.<sup>36)</sup> Wie oben, wird zunächst von der *Kummerschen* Gleichung einer  $F_4$  mit  $\bar{C}_2$  ausgegangen:  $\varphi^2 - 4p^2\psi = 0$ , mit  $p = 0$ ,  $\varphi = 0$  als  $\bar{C}_2$ , wo die vier Schnittpunkte der  $\bar{C}_2$  mit  $\psi$  die Kuspidalpunkte sind. Liegt aber der Kegelschnitt  $(\varphi, p)$  auf  $\psi$ , so daß man  $\psi \equiv \varphi + \mu p \nu$  setzen kann, so tritt der Fall des Kuspidalkegelschnittes  $\bar{C}_2$  ein.

Setzt man zur Abkürzung

$$U \equiv (\varphi - 2p)^2, \quad q \equiv -4(\mu\nu + p),$$

36) *O. Béla*, *Math. Ann.* 19 (1881), p. 291.

so nimmt die Gleichung der  $F_4$  die Doppelgestalt an

$$(I) \quad F_4 \equiv U^2 + p^3q = 0, \\ \equiv (U + \lambda p^2)^2 - p^2(\lambda^2 p^2 + 2\lambda U - pq).$$

Hieraus lassen sich noch andere Gleichungsformen der  $F_4$  nebst Erzeugungsweisen ableiten. Die Tangentialebenen längs der  $\bar{C}_2$  gehen durch einen festen Punkt und umhüllen einen Kegel  $K_2$ .

Es folgt die Untersuchung der ebenen Schnitte der  $F_4$ , sowie der umschriebenen Kegel, weiter der ebenen  $c_1, c_2, c_3$ , die auf der  $F_4$  liegen. Die Hessesche Fläche der  $F_4$  zerfällt in die  $F_2 = U$  und eine gewisse zweite  $F_2 = H$ . Ferner werden  $C_3$  und  $C_4$  auf der  $F_4$  studiert. Jeder der 8  $g$  der Fläche ist eine  $\infty^2$ -Schar von  $C_3$  zugeordnet, als Schnitte der  $F_4$  mit  $F_2$ , die noch die  $\bar{C}_2$  und die betreffende  $g$  enthalten. Die  $C_4$  auf der  $F_4$  bilden eine  $\infty^3$ -Schar; es sind die Schnitte der  $F_4$  mit  $F_3$  durch  $\bar{C}_2$ . Andererseits gehören der  $F_4$  noch 12  $\infty^1$ -Scharen von  $R_4$  an.

Historisch sei bemerkt, daß auf das Vorkommen eines Kuspidalkegelschnitts einer  $F_4$  zuerst *A. Cayley*<sup>37)</sup> hingewiesen hat. Bald darauf entwickelte *L. Cremona*<sup>38)</sup> eine allgemeine Methode zur Abbildung von  $F$  mit einer Kuspidualkurve, ohne indessen ein Beispiel hierfür anzugeben. Erst etwas später<sup>39)</sup> gelangte er zu zwei solchen, eben der  $F_4$  mit einer kuspidalen  $\bar{C}_2$ , und einer  $F_5$  mit einer kuspidalen  $\bar{C}_4$ . Beide Flächen werden aus der  $F_3$  mittels einer gewissen quadratischen *Cremonatransformation* abgeleitet.

Über die Behandlung der  $F_4$  mit Kuspidalkegelschnitt vom  $S_4$  aus durch *C. Segre* s. Nr. 20.

**19. Die Zeuthensche Tangentenprojektion der  $F_4$  von einem Punkte des Doppelkegelschnitts aus. Die Projektion der  $F_4$  von der Spitze eines Kummerschen Kegels aus. Erzeugung der  $F_4$ .** *F. Geiser* (s. Art. „ $F_3$ “ Nr. 16) hatte an eine  $F_3$  von einem ihrer Punkte aus den Kegel  $K_4$  der Tangenten gelegt, und ihn mit einer Projektionsebene  $\Pi$  geschnitten. Die Spur war eine allgemeine  $c_4$  (vom Geschlecht drei). Damit war eine fruchtbare Methode gewonnen, um die Geometrie auf der  $F_3$  auf Grund der bekannten Eigenschaften der  $c_4$ , insbesondere von deren Doppeltangenten  $t_2$ , zu studieren.

Daraufhin hatte *H. G. Zeuthen* seine voraufgehenden Untersuchungen über die verschiedenen Gestalten der  $c_4$  in Beziehung gesetzt zu den

37) *A. Cayley*, Lond. Math. Soc. Proc. 3 (1871), p. 181.

38) *L. Cremona*, Ist. Lomb. R. 1871, p. 140, 159; Gött. Nachr. 1871, p. 29.

39) *L. Cremona*, Math. Ann. 4 (1871), p. 213; Bologna Mem. (3) 2 (1872),

Gestalten der  $F_3$  und konnte so eine übersichtliche Klassifikation der letzteren liefern.

Auf die  $F_4$  mit  $\bar{C}_2$  hat *Zeuthen*<sup>40)</sup> die *Geisersche* Methode in zwei umfangreichen Arbeiten übertragen, und hat dadurch die Mittel gewonnen, nicht nur die Ergebnisse von *Clebsch*, (s. Nr. 10) über die Geometrie auf der Fläche auf synthetischem Wege wieder zu gewinnen, sondern auch, wesentlich weitergreifend, in die Raumverhältnisse außerhalb der Fläche Einsicht zu erhalten. Insbesondere werden Form und Zusammenhang solcher  $F_4$ , sowie die Realität ihrer 16 Geraden  $g$  und ihrer fünf *Kummerschen* Kegel  $K_2$  diskutiert.

Sei  $P$  irgendein Punkt der zunächst als einteilig vorausgesetzten  $\bar{C}_2$ , so lege man von  $P$  aus die  $\infty^1$  Tangenten  $t$  an die  $F_4$ . Diese  $t$  bilden — wie bei der  $F_3$  — einen allgemeinen Kegel  $K_4$  der Ordnung 4 und vom Geschlecht 3. Schneidet man den  $K_4$  mit irgendeiner festen Projektionsebene  $\Pi$ , so wird der Schnitt — oder auch der scheinbare Umriß der  $F_4$  von  $P$  aus — eine allgemeine  $c_4$ . Hieraus werden in der ersten Abhandlung, in der die Grundlagen entwickelt werden, verschiedene allgemeine Eigenschaften der  $F_4$ , ihrer 16  $g$  und 5  $K_2$  abgeleitet.

Die Tangentialebenen  $T$  der  $K_2$  schneiden nach *Kummer* (s. Nr. 9) die  $F_4$  in zwei  $C_2$ ; deren Projektionen sind 10 der durch *Clebsch* bekannten 63 Systeme von viermal berührenden  $c_2$  der  $c_4$ . Da solche  $c_2$  auch weiterhin eine wesentliche Rolle spielen, seien sie kurz mit  $c_2^{(4)}$  bezeichnet.

Daneben wird eine zweite Art von Berührungsprojektion der  $F_4$  mit Vorteil verwendet, indem das Projektionszentrum in die Spitze eines der 5  $K_2$  verlegt wird. Der Umriß der  $F_4$  zerfällt dann in die doppelt zählende Spur des  $K_2$  und, als „eigentliche“ Projektion, eine (elliptische)  $c_4$  mit 2  $d_2$ . Hieraus geht eine einfache Konstruktion der  $F_4$  hervor, die zugleich eine Abbildung der  $F_4$  auf eine Doppel- $F_2$  liefert.

Weiter werden die von *Zeuthen* und *C. Crone* früher (s. Art. „ $F_3$ “ Nr. 16) gewonnenen Ergebnisse über die verschiedenen Figuren der (allgemeinen)  $c_4$  und ihrer  $c_2^{(4)}$ -Systeme, speziell der Doppeltangenten  $t_2$ ,

40) *H. G. Zeuthen*, Festschr. Kjöbenhavn 1879. [Eine italienische Übersetzung von *G. Loria* befindet sich in *Ann. di mat.* (2) 14 (1887), p. 31.] Den scheinbaren Umriß einer  $F_4$  von einem  $D_2$  aus (sowie verwandter Flächen) als „Übergangskurve“, unter Heranziehung der Zweiteilung der hyperelliptischen Funktionen, untersucht *A. Clebsch*, *Math. Ann.* 3 (1870), p. 45. Die Tangentenprojektion einer  $F_4$  tritt übrigens schon bei *E. Kummer* (s. Nr. 8) auf, in besonderer Anwendung auf die *Steinersche* Fläche  $S$  (s. auch Abschn. VII).

herangezogen und für die Gestalten der  $F_4$  und ihrer Realitätsverhältnisse verwertet.

Bei einteiliger  $\bar{C}_2$  läßt sich auf diesem Wege in jedem Einzelfalle die Anzahl der reellen  $g$  und die der reellen  $K_2$  bestimmen. Man gelangt so zu einer Einteilung der  $F_4$  in 6 Gattungen, die im einzelnen untersucht werden. Auch die jeweils auftretenden reellen  $C_2$  auf der  $F_4$  sowie ihre imaginären  $g$  werden verfolgt.

Am Schluß erfolgt, unter Benutzung des Kontinuitätsprinzips, die Übertragung der Ergebnisse auf den Fall einer nullteiligen  $\bar{C}_2$ .

Diese Grundzüge wurden in der zweiten Abhandlung weiter entwickelt. Der Verfasser macht es sich geradezu zum Programm, auf Grund der obigen Projektionsmethode, die Verhältnisse auf der  $F_4$  direkt aus den verschiedenen Systemen von  $c_3^{(4)}$  der  $c_4$  und ihren gegenseitigen Beziehungen abzuleiten. Dabei wird von dem Kontinuitätsprinzip — dessen Verwendung, da es sich nur um algebraische Gleichungen und deren geometrische Deutung handelt, durchaus zulässig ist — durchgehends Gebrauch gemacht. Auf diese Weise lassen sich projektive Eigenschaften, die zunächst nur für bestimmte Realitätsverhältnisse entwickelt waren, auf den allgemeinen Fall ausdehnen.

Die von einem Punkte  $P$  der  $\bar{C}_2$  an die  $F_4$  gehenden Tangenten  $t$  bildeten einen allgemeinen Kegel  $K_4$ , der von einer festen Ebene  $\Pi$  in einer  $c_4$  geschnitten wurde. Die Projektion  $c$  irgendeiner Kurve  $C$  auf der  $F_4$  berührt die  $c_4$  in den mit  $C_2$  gemeinsamen Punkten. Umgekehrt lassen sich zu einer vorgegebenen  $c_4$  in  $\Pi$  in noch mannigfaltiger Art zugehörige  $F_4$  mit  $\bar{C}_2$  herstellen.

Die beiden Tangentialebenen  $T, T'$  der  $F_4$  in  $P$  schneiden aus  $\Pi$  zwei Doppeltangenten  $t_2$  der  $c_4$  aus; die 26 übrigen  $t_2$  rühren von den  $F_4$  zweimal berührenden und durch  $P$  gehenden Ebenen  $T_2$  her. Von diesen 26  $T_2$  schneiden 10 die  $F_4$  in  $C_2$ -Paaren und liefern so 10 weitere  $t_2$ ; endlich die 16 übrigen  $T_2$  enthalten je eine der 16  $g$  — und außerdem noch eine  $r_3$  — und führen zu den 16 übrigen  $t_2$  der  $c_4$ . Bei einteiliger  $\bar{C}_2$  und reellen  $T, T'$  der  $F_4$  in  $P$  treten die eben angegebenen Eigenschaften fast ohne weiteres in Evidenz. Dabei empfiehlt es sich, „sichtbare“ und „unsichtbare“ Punkte der  $F_4$  zu unterscheiden.

Mittels Bestimmung gewisser charakteristischer Anzahlen gelingt es, ein einfaches arithmetisches Kriterium aufzustellen, das zu entscheiden gestattet, ob zwei gegebene Punkte der  $F_4$  entweder zugleich sichtbar resp. unsichtbar sind, oder aber der eine sichtbar, der andere unsichtbar

Läßt man hinterher den Projektionspunkt  $P$  auf der  $\bar{C}_2$  variieren, so ergeben sich einzelne  $C_2$ -Scharen auf der  $F_4$ , die in Scharen von

$c_3^{(4)}$  projiziert werden. Je zwei dieser Scharen sind „konjugiert“ (oder „komplementär“), indem sie die Enveloppe ihrer Ebenen gemein haben. Dabei bestimmt ein Punkt in  $\Pi$  genau zwei  $c_3^{(4)}$  einer bestimmten Schar. Entsprechend geht durch irgendeinen Punkt der  $F_4$  eine  $C_2$  irgendeiner Schar und eine andere der konjugierten Schar. Die Ebenen solcher  $C_2$ -Paare umhüllen daher Kegel  $K_2$ , deren Anzahl fünf ist, da von jedem  $P$  der  $\bar{C}_2$  zehn  $T$  ausgehen. Diese fünf  $K_2$  sind daher die *Kummerschen*  $K_2$ , deren Kanten die  $F_4$  doppelt berühren.

Von den  $C_2$  eines Systems werden von  $P$  aus sechs in Paare von Doppeltangenten  $t_2$  der  $c_4$  derselben Schar projiziert. Zwei dieser sechs Paare enthalten zusammen die vier  $t_2$ , die von den beiden  $T$  der  $F_4$  in  $P$  und den beiden an den betreffenden  $K_2$  gehenden  $T$  in  $\Pi$  ausgeschnitten werden. Die übrigen vier Paare rühren von  $g$ -Paaren der  $F_4$  her, die den  $K_2$  berühren. Dasselbe gilt für das konjugierte System und seine Projektion. Die Anordnung der 16  $g$  ist dieselbe wie die von 16  $g$  einer  $F_3$ , die eine siebzehnte nicht treffen (s. Art. „ $F_3$ “, Nr. 16).

Weiter schneiden die  $T$  in  $P$  und die Paare der  $T$  an die fünf  $K_2$  die sechs  $t_2$ -Paare einer Schar aus. Da je zwei von ihnen ihre acht Berührungspunkte auf einer  $c_3^{(4)}$  haben, so folgt für die  $F_4$ :

„Die vier Haupttangente in  $P$ , und die vier Berührungspunkte der beiden  $T_2$  durch  $P$ , die denselben  $K_2$  berühren, liegen auf einem Kegel 2. Ordnung.“

Aus dem bekannten Satze, daß die sechs  $d_2$  der  $t_2$ -Paare einer Schar auf einer  $c_2$  liegen, folgt für die  $F_4$ :

„Der Kegel, von dem fünf Kanten einen Punkt  $P$  der  $\bar{C}_2$  mit den Spitzen der *Kummerschen*  $K_2$  verbinden, enthält auch die Tangente der  $\bar{C}_2$  in  $P$ .“

Für die Geometrie auf der  $F_4$  ist von Bedeutung, daß jede  $c$  in  $\Pi$ , die die  $c_4$  überall berührt, als Projektion von zwei verschiedenen  $C$  der  $F_4$  angesehen werden kann. Von solchen  $C$  werden insbesondere die  $C_3$  untersucht. Die durch  $P$  gehenden  $C_3$ -Systeme projizieren sich in Systeme von  $c_3^{(4)}$ ; solcher  $\infty^1$ -Systeme gibt es 32; variiert  $P$  auf der  $\bar{C}_2$ , so entstehen 16  $\infty^2$ -Scharen. Da ferner der von  $P$  ausgehende Projektionskegel die  $\bar{C}_2$  in den vier Kuspidualpunkten der  $F_4$  trifft (s. Nr. 18), so folgt, daß die fünf  $K_2$  diese Punkte enthalten.

Neben die bisherige Projektion von  $P$  aus stellt sich eine andere, von der Spitze  $T$  eines der fünf  $K_2$  aus. Sieht man von dem doppeltzählenden  $K_2$  ab, so ist der Tangentenkegel ein (elliptischer)  $K_4$ , der von  $\Pi$  in einer  $c_4$  mit zwei  $d_2$  geschnitten wird. Deren acht  $t_2$  sind die Spuren der von  $T$  aus an die vier anderen  $K_2$  gehenden  $T$ .

Nunmehr wendet sich *Zeuthen* zur Klassifikation der  $F_4$ , die reelle Punkte  $P$  auf ihrer  $\bar{C}_2$  haben. Letztere zerlegt sich in zwei Gebiete: Das eine „eigentliche“ mit reellen  $T$  in ihren  $P$ , das andere „isolierte“ mit imaginären  $T$ . Beide Gebiete grenzen in den Kuspidalpunkten aneinander.

Andererseits hatte *Zeuthen* früher für die  $c_4$  sechs Arten ermittelt; je nachdem der Projektionspunkt  $P$  dem einen oder anderen Gebiete angehört, hat man es mit verschiedenen Arten von  $c_4$  zu tun. So dann werden die verschiedenen Realitätsmöglichkeiten diskutiert.

Wieviel reelle Systeme von  $c_2^{(4)}$  für die sechs  $c_4$  Arten sich ergeben, und wieviel reelle und imaginäre  $t_2$ -Paare in jedem Systeme, entnimmt man einer von *C. Crone*<sup>41)</sup> angegebenen Tabelle. So ergeben sich sechs Arten von  $F_4$ ; für jede wird die Zahl der reellen  $g$  (16, 8, 4, 0) und die der reellen  $K_2$ , sowie die Stellung des isolierten Gebietes der  $\bar{C}_2$  gegen dieselben bestimmt. Zuletzt wird noch eine einfache Erzeugung der  $F_4$ , nach dem Muster einer von „*Darboux*“ für die Zykliden  $Z$  (s. Abschn. IV) angegebenen, aufgestellt.

Man lege durch einen festen Punkt  $T$  eine variierende Gerade  $g$ , die zwei feste  $F_2$ , die mit  $\sigma_2$  und  $\delta_2$  bezeichnet seien, in Punktepaaren  $(S, S')$  und  $(D, D')$  trifft. Sodann bestimme man die beiden Punktepaare  $(M_1, M_2)$  und  $(M_1', M_2')$ , die  $(D, D')$  und  $(T, S)$  resp.  $(T, S')$  harmonisch trennen. Diese beiden Paare  $(M_1, M_2)$  und  $(M_1', M_2')$  erfüllen eine  $F_4$ , deren  $\bar{C}_2$  die Berührkurve des von  $T$  an die  $\sigma_2$  gehenden Berührkegels ist, während der von  $\delta_2$  ein  $K_2$  der  $F_4$  wird. In dem Sonderfalle, wo  $\sigma_2$  eine Kugel mit dem Zentrum  $T$  ist, entsteht eine Zyklide.

Die Schnittkurve  $C_4(\sigma_2, \delta_2)$  trennt die Punkte von  $\sigma_2$ , denen reelle Punktepaare der  $F_4$  entsprechen, von den anderen. Berücksichtigt man die verschiedenen Gestalten der  $C_4$ , so gewinnt man ein zweites Einteilungsprinzip für die  $F_4$ , das auch die Fälle mit nullteiliger  $\bar{C}_2$  umfaßt.

Nunmehr mögen wieder einige analytische Ergänzungen hinzugefügt werden. Um die Eigenart der *Zeuthenschen* Tangentenprojektion besser zu erkennen, empfiehlt es sich, vorab einige Vorstufen in Betracht zu ziehen. Punktkoordinaten seien  $x_i, x_k, x_l, x_m$ , und die Gleichung einer beliebigen  $F_4$ , nach  $x_m$  entwickelt, mit bzw. ohne Binomialkoeffizienten geschrieben

$$(1) \quad \begin{aligned} F_4 &\equiv a_0 x_m^4 + 4 a_1 x_m^3 + 6 a_2 x_m^2 + 4 a_3 x_m + a_4 \\ &\equiv b_0 x_m^4 + b_1 x_m^3 + b_2 x_m^2 + b_3 x_m + b_4 = 0, \end{aligned}$$

41) *C. Crone*, Tidsskr. f. Mat. (3) 5 (1875), p. 161.

wo zunächst  $a_0 = b_0 \neq 0$  sei, also die Koordinatenecke  $A_m$  nicht der  $F_4$  angehöre.

Von  $A_m$  aus werde der Tangentenkegel  $K$  an die  $F_4$  gelegt und mit der Projektionsebene  $x_m = 0$  geschnitten. Die Gleichung von  $K$  ergibt sich sofort durch Nullsetzen der Diskriminante  $D$  der als in  $x_m$  biquadratischen, binären Form aufgefaßten Form  $F_4(x_m)$  (s. Nr. 5). Man kennt die invariante Darstellung von  $D$ . Sind  $g_2$  und  $g_3$  die beiden Invarianten von  $F_4(x_m)$

$$(2) \quad g_2 = a_0 a_4 - 4a_1 a_3 + 3a_2^2, \quad g_3 = \begin{vmatrix} a_0 & a_1 & a_2 \\ a_1 & a_2 & a_3 \\ a_2 & a_3 & a_4 \end{vmatrix},$$

so wird  $D$

$$(3) \quad D \equiv g_2^3 - 27g_3^2.$$

Damit erhält man als Gleichung des Kegels  $K$  und zugleich seiner Spur in der Ebene  $x_m = 0$

$$(4) \quad K \equiv D = 0.$$

Da jedes Glied in  $D$  (3) vom Gewichte 12 bez. der  $a$  ist, stellt (4) einen Kegel 12. Ordnung  $K_{12}$  dar. Die Struktur der Projektion  $c_{12}$  läßt sich aus der rechten Seite von (3) ablesen.

Beim nächsten Schritt nehme man an,  $A_m$  sei ein einfacher Punkt der  $F_4$ , so daß  $a_0 \equiv 0$  (aber nicht  $a_1 \equiv 0$ ). Dann treten für  $g_2$  und  $g_3$  die Reduktionen ein

$$(2_1) \quad g_2 \equiv 3a_2^2 - 4a_1 a_3, \quad -g_3 \equiv a_1^2 a_4 - 2a_1 a_2 a_3 + a_2^3.$$

Jetzt fällt in  $D$  (3) auch das mit der ersten Potenz von  $a_1$  als Faktor behaftete Glied  $a_1 a_2^2 a_3$  heraus, so daß aus  $D$  der Faktor  $a_1^2$  heraustritt, während der zweite Faktor mit  $D'$  bezeichnet sei:

$$(3_1) \quad D \equiv a_1^2 D'.$$

Mithin spaltet sich vom ursprünglichen Kegel  $K_{12}$  die Tangentenebene  $\tau (a_1 = 0)$  in  $A_m$  doppeltzählend ab, und der  $K_{12}$  reduziert sich auf einen  $K_{10}$

$$(4') \quad K_{10} \equiv D' = 0.$$

Hier läßt sich  $D'$  einfacher darstellen. Die Form  $F_4(x_m)$  in (1) reduziert sich wegen  $a_0 = b_0 = 0$  auf die in  $x_m$  kubische binäre Form

$$(1) \quad F_4 \equiv x_m^3 b_1 + x_m^2 b_2 + x_m b_3 + b_4.$$

Dann muß  $D'$  mit der Diskriminante dieser kubischen Form übereinstimmen, und man erhält als Gleichung des Kegels  $K_{10}$

$$(4a') \quad K_{10} \equiv D' \equiv 4(3b_1 b_3 - b_2^2)(3b_2 b_4 - b_3^2) - (9b_1 b_4 - b_2 b_3)^2 \\ = c_4 c_6 - c_5^2 = 0$$

Die Struktur der rechten Seite sagt aus, daß die Kurve  $c_4$  die Projektionskurve  $c_{10}$  20mal berührt, die Kurve  $c_6$  30mal, so daß die  $20 + 30 = 50$  Berührungspunkte von der Kurve  $c_5$  ausgeschnitten werden.

Im nächsten Falle sei  $A_m$  ein einzelner Knotenpunkt  $D_2$  der Fläche  $F_4$ . Dann verschwindet (außer  $a_0 = b_0$ )  $a_1 \equiv b_1$  identisch, und  $a_2 = b_2 = 0$  liefert den Kegel  $K_2$  der Tangenten in  $D_2$ . Damit reduziert sich  $D'(4a')$  auf

$$(4'') \quad \begin{aligned} D'' &\equiv 4b_2^2(3b_2b_4 - b_3^2) + b_2^2b_3^2 \\ &\equiv b_2^2(4b_2b_4 - b_3^2). \end{aligned}$$

Vom Tangentenkegel  $K_{10}$  ( $4a'$ ) sondert sich also der Kegel  $b_2 = 0$  doppeltzählend ab, und es verbleibt als eigentlicher Projektionskegel ein  $K_6$ :

$$(4a'') \quad K_6 \equiv 4b_2b_4 - b_3^2 = 0.$$

Hier ist, wie es sein muß, die rechte Seite die Diskriminante (bez.  $x_m$ ) der abermals reduzierten Form  $F_4$ :

$$(1'') \quad F_4 \equiv x_m^2b_2 + x_mb_3 + b_4.$$

Wiederum sind in der Projektionsebene  $b_2 = 0$  und  $b_4 = 0$  Berührungskurven der Projektionskurve  $c_6$ , deren Berührungspunkte auf der Kurve  $b_3 = 0$  liegen.

Umgekehrt läßt sich jede  $c_6$  mit einem sechsmal berührenden Kegelschnitte als Tangentenprojektion einer  $F_4$  mit  $D_2$  auffassen. Das ist auch der Ausgangspunkt in der Preisschrift von *K. Rohn* (s. Nr. 63).

Dies findet nunmehr seine Anwendung auf den Hauptfall, wo eine  $F_4$  mit  $\bar{C}_3$  vorliegt und  $A_m$  irgendein  $D_2$  der  $\bar{C}_2$  ist. Die Gleichung der  $F_4$  ist dann nach *Kummer* (s. Nr. 9) von der Gestalt

$$(5) \quad \begin{cases} F_4 \equiv \varphi^2 + x_i^2\psi = 0, \\ \varphi \equiv x_md_1 + d_2, \quad \psi = x_m^2e_0 + 2x_me_1 + e_2. \end{cases}$$

Hier seien die Koeffizienten  $d_1, d_2, e_1, e_2$  explizite entwickelt:

$$(6) \quad \begin{cases} d_1 \equiv d_ix_i + d_kx_k + d_ix_1, \\ d_2 \equiv d_{ii}x_i^2 + 2d_{ik}x_ix_k + \dots, \\ e_1 \equiv e_ix_i + e_kx_k + e_ix_1, \\ e_2 \equiv e_{ii}x_i^2 + 2e_{ik}x_ix_k + \dots. \end{cases}$$

Ordnet man jetzt  $F_4$  nach  $x_m$ , so ergibt sich

$$(5') \quad \begin{aligned} F_4 &\equiv x_m^2(d_1^2 + e_0x_i^2) + 2x_m(d_1d_2 + e_1x_i^2) + (d_2^2 + e_2x_i^2) \\ &\equiv x_m^2\alpha_2 + 2x_m\alpha_3 + \alpha_4 = 0. \end{aligned}$$

Die Diskriminante  $D$  (bez.  $x_m$ ) erhält damit den Wert

$$(7) \quad D \equiv \alpha_2\alpha_4 - \alpha_3^2 \equiv (d_1^2 + e_0x_i^2)(d_2^2 + e_2x_i^2) - (d_1d_2 + e_1x_i^2)^2.$$

Hier tritt rechts der Faktor  $x_i^2$  heraus, d. h. geometrisch, vom früheren Projektionskegel  $K_6$  (4a'') sondert sich, doppeltzählend, die durch  $x_i = 0$  dargestellte Ebene der  $\bar{C}_2$  ab, wie es sein muß. Es verbleibt also als „eigentlicher“ oder „Zeuthenscher“ Projektionskegel  $K_4$  resp. dessen Spur  $c_4$  in der Projektionsebene

$$(I) \quad K_4 \equiv c_4 \equiv (e_0 d_2^2 + e_2 d_1^2 - 2 d_1 d_2 e_1) + x_i^2 (e_0 e_2 - e_1^2) = 0.$$

Hier haben die beiden Klammerausdrücke eine einfache Bedeutung. Einmal ist  $e_0 e_2 - e_1^2$  die Diskriminante der Form  $\psi(x_m)$ ; deren Verschwinden liefert also den von  $A_m$  aus an die  $F_2$   $\psi = 0$  gehenden Berührkegel  $E$ . Andererseits ist  $e_0 d_2^2 + e_2 d_1^2 - 2 d_1 d_2 e_1$  die Resultante  $R_{\varphi, \psi} = R$  der quadratischen Formen  $\varphi(x_m)$  und  $\psi(x_m)$ ; das Verschwinden von  $R$  stellt den über der Schnittkurve  $C_4(\varphi, \psi)$  stehenden Kegel 4. Ordnung mit der Spitze  $A_m$  dar.

Die Gleichung (I) schreibt sich somit kurz

$$(I') \quad K_4 \equiv c_4 \equiv R + x_i^2 E = 0,$$

so daß die Struktur der  $c_4$  auf der Hand liegt.

Ist insbesondere  $A_m$  einer der vier Kuspidalpunkte (s. Nr. 18), für den  $\varphi, x_i, \psi$  zugleich verschwinden, so verschwindet das konstante Glied  $e_0$  in  $\psi$ . Damit nimmt (I') die Gestalt an

$$(I'') \quad K_4 \equiv c_4 \equiv d_1 (e_2 d_1 - 2 d_2 e_1) + x_i^2 e_1^2 = 0,$$

wo  $d_1 = 0, e_1 = 0$  die Spuren der Tangentialebenen von  $\varphi, \psi$  in  $A_m$  sind.

Weiter trete jetzt der Fall einer Kuspidal- $\bar{C}_2$  (s. Nr. 18) ein, so daß jeder Punkt auf  $\bar{C}_2$  ein uniplanarer  $D_2$  wird, oder auch, daß jede Ebene die  $F_4$  in einer  $c_4$  mit zwei auf  $\bar{C}_2$  gelegenen Spitzen trifft. Nach früherem (Nr. 18) läßt sich dann die Gleichung der  $F_4$  auf die Gestalt bringen

$$(8) \quad F_4 \equiv \varphi^2 + x_i^3 v = 0.$$

Die oben in (5) auftretende Form  $\psi \equiv x_m^2 e_0 + 2 x_m e_1 + e_2$  besitzt jetzt den Faktor  $x_i$ , so daß man setzen darf

$$(9) \quad e_0 = 0, \quad e_1 = c_0 x_i, \quad e_2 = c_1 x_i.$$

Damit tritt in (I'') der Faktor  $x_i$  heraus, und es verbleibt als Projektionskurve eine  $c_3$  mit der Gleichung

$$(I''') \quad c_3 \equiv d_1 (d_1 c_1 - 2 d_2 c_0) + c_0^2 x_i^3 \equiv 0.$$

Es ist dann die Gerade  $d_1$  — die Spur der  $T$  von  $\varphi$  in  $A_m$  — eine Wendetangente, und die Spur der  $C_2(\varphi, v)$ , deren Gleichung  $d_1 c_1 - 2 d_2 c_0 = 0$  ist, oskuliert die  $c_3$  dreimal, so daß die drei Oskulationspunkte auf der Geraden  $x_i = 0$ , der Spur der  $\bar{C}_2$ , liegen.

Endlich sei noch der Fall in Betracht gezogen, wo die  $F_4$  mit einer  $\bar{C}_2$  noch einen  $D_2$  außerhalb besitzt (s. *Kummer*, Nr. 7), etwa in der Koordinatenecke  $A_i$ . Es sind dann der Form  $F_4$  in (5) die vier weiteren Bedingungen aufzuerlegen, daß die Koeffizienten von  $x_i^4, x_i^3 x_k, x_i^3 x_l, x_i^3 x_m$  verschwinden. Somit muß sein gemäß (6)

$$\begin{cases} (10_i) & e_{ii} + d_{ii}^2 = 0 \\ (10_k) & e_{ik} + 2d_{ii}d_{ik} = 0, \\ (10_l) & e_{il} + 2d_{ii}d_{il} = 0, \\ (10_m) & e_{im} + d_i d_{ii} = 0. \end{cases}$$

Andererseits stelle man die Koeffizienten  $C_i, C_k, C_l$  von  $x_i^4, x_i^3 x_k, x_i^3 x_l$  in der Form  $c_4$  (I) auf.

Der Koeffizient  $C_i$  läßt sich leicht auf die Gestalt bringen

$$(11) \quad C_i \equiv (e_0 + d_i^2)(e_{ii} + d_{ii}^2) - (e_i + d_i d_{ii})^2,$$

oder auch, da  $e_{ii} + d_{ii}^2$  und  $e_i + d_i d_{ii}$  die linken Seiten von (10) und (10<sub>m</sub>) sind, kürzer

$$(11_i) \quad C_i \equiv (10_i) \cdot (b_0 + d_i^2) - (10_m)^2.$$

Ähnlich ergeben sich für  $C_k$  und  $C_l$  die Darstellungen

$$(11_k) \quad \frac{1}{2} C_k \equiv (10_i) \cdot d_i d_k + (10_k) \cdot (e_i + d_i^2) - (10_m) \cdot \{e_k + d_k d_{ii} + 2d_i d_{ik}\},$$

$$(11_l) \quad \frac{1}{2} C_l \equiv (10_i) \cdot d_i d_l + (10_l) \cdot (e_i + d_i^2) - (10_m) \cdot \{e_l + d_l d_{ii} + 2d_i d_{il}\}.$$

Aus (11<sub>i</sub>), (11<sub>k</sub>), (11<sub>l</sub>) geht hervor, daß  $C_i, C_k, C_l$  zugleich mit den Ausdrücken (10) verschwinden, d. h., daß, wie auch geometrisch ersichtlich, die Projektionskurve  $c_4$  einen  $d_2$  erhält.

Aber auch das Umgekehrte läßt sich an der Hand von (10) und (11) ohne Schwierigkeit beweisen, was dem Leser überlassen bleibe, daß die Existenz eines  $d_2$  der  $c_4$  die eines  $D_2$  der  $F_4$  nach sich zieht. Somit gilt:

„So oft die  $F_4$  mit  $\bar{C}_2$  einen weiteren  $D_2$  erhält, so oft ist auch dessen Projektion von einem Punkte der  $\bar{C}_2$  aus ein  $d_2$  der Projektionskurve  $c_4$ , und umgekehrt.“

Besitzt im besonderen die  $F_4$  mit  $\bar{C}_2$  vier  $D_2$  (s. *Kummer*, Nr. 7), also auch die  $c_4$ , so muß die letztere zerfallen, entweder in zwei  $c_2$ , oder aber (im singulären Falle) in eine  $c_1$  und eine  $r_3$ .

Wir wenden uns jetzt zur analytischen Behandlung der Zeuthenschen Erzeugung der  $F_4$  mit  $\bar{C}_2$ . Die Gleichungen zweier fester  $F_2$  seien, nach  $x_m$  geordnet,

$$(12) \quad \begin{cases} F \equiv a_0 x_m^2 + 2a_1 x_m + a_2 = 0, \\ G \equiv b_0 x_m^2 + 2b_1 x_m + b_2 = 0 \end{cases}$$

Im folgenden werde das von *W. F. Meyer* angegebene Übertragungsprinzip herangezogen (s. Nr. 5). Durch die Koordinatenecke  $A_m$  werde eine variierende Gerade  $g$  gelegt, die die Ebene  $x_m = 0$  im Punkte  $(x_i, x_k, x_l, 0)$  treffe; der laufende Punkt auf  $g$  wird durch den Parameter  $x_m$  bestimmt. Den beiden Schnittpunkten von  $g$  mit  $F$  und  $G$  mögen die Parameterwerte  $\alpha, \alpha'$  und  $\beta, \beta'$  entsprechen. Indem wir zugleich die *Zeuthensche* Erzeugung verallgemeinern, werde noch eine beliebige, vorerst nicht durch  $A_m$  gehende Ebene  $E$  adjungiert mit der Gleichung

$$(13) \quad E \equiv x_m \varrho_0 - \varrho_1 = 0.$$

Dem Schnittpunkte  $R$  von  $E$  mit  $g$  kommt dann der Wert  $x_m = \frac{\varrho_1}{\varrho_0}$  zu. Man suche zwei Punktepaare  $(M_1, M_2), (M_1', M_2')$  auf  $g$ , die zugleich harmonisch sind zu den Paaren  $(\beta, \beta')$  und  $(R, \alpha)$  resp. zu  $(\beta, \beta')$  und  $(R, \alpha')$ . Die beiden Paare  $(R, \alpha), (R, \alpha')$  bestimmen sich durch die Wurzeln der Gleichungen

$$\begin{cases} (14) & (R, \alpha) \equiv (x_m - \alpha)(x_m \varrho_0 - \varrho_1) \\ & \equiv x_m^2 \varrho_0 - x_m(\varrho_1 + \alpha \varrho_0) + \alpha \varrho_1 = 0, \\ (14') & (R, \alpha') \equiv x_m^2 \varrho_0 - x_m(\varrho_1 + \alpha' \varrho_0) + \alpha' \varrho_1 = 0. \end{cases}$$

Dann erhält man die Gleichungen der beiden Paare  $(M_1, M_2), (M_1', M_2')$  durch Nullsetzen der Funktionaldeterminanten von  $G(1)$  mit (14) resp. (14')

$$\begin{cases} (15) & (M_1, M_2) \equiv x_m^2 p_{01} + x_m p_{02} + p_{12} = 0, \\ (15') & (M_1', M_2') \equiv x_m^2 p'_{01} + x_m p'_{02} + p'_{12} = 0. \end{cases}$$

Hier sind die  $p_{ik}$  die Determinanten der Matrix

$$(16) \quad \begin{vmatrix} 2\varrho_0 & -(\varrho_1 + \alpha \varrho_0) & 2\alpha \varrho_1 \\ b_0 & b_1 & b_2 \end{vmatrix},$$

woraus die  $p'_{ik}$  durch Vertauschung von  $\alpha$  mit  $\alpha'$  hervorgehen.

Durch Multiplikation von (15) und (15') ergibt sich als Ort der Punktepaare  $(M_1, M_2), (M_1', M_2')$  eine in den Koeffizienten von  $F, G, E$  rationale Gleichung vom vierten Grade in  $x_m$

$$(17) \quad (M_1, M_2) \cdot (M_1', M_2') \equiv K \equiv x_m^4 p_{01} p'_{01} + \dots \equiv x_m^4 k_0 + \dots = 0.$$

Da die linke Seite eine in  $x_m$  binäre Kovariante des Systems  $(F, G, E)$  ist, genügt die Berechnung des Leitgliedes  $k_0$

$$\begin{aligned} (18) \quad k_0 &\equiv p_{01} p'_{01} \\ &\equiv \{(2\varrho_0 b_1 + \varrho_1 b_0) + \alpha \varrho_0 b_0\} \cdot \{(2\varrho_0 b_1 + \varrho_1 b_0) + \alpha' \varrho_0 b_0\} \\ &\equiv (2\varrho_0 b_1 + \varrho_1 b_0)^2 + (\alpha + \alpha') \varrho_0 b_0 (2\varrho_0 b_1 + \varrho_1 b_0) + \alpha \alpha' \varrho_0^2 b_0^2. \end{aligned}$$

Man setze hier für  $\alpha + \alpha'$  und  $\alpha \alpha'$  gemäß (1) ihre Werte  $\alpha + \alpha' = -\frac{2\alpha_1}{\alpha_0}$ ,

$\alpha\alpha' = \frac{\alpha_2}{\alpha_0}$ , und entwickle derart, daß in den einzelnen Gliedern nur Leitglieder von Kovarianten resp. Invarianten auftreten. Zu dem Behuf bilde man zunächst die Resultante  $R_\alpha$  von  $G$  und  $E$

$$(19) \quad R_\alpha = \alpha_0 \varrho_1^2 + 2\alpha_1 \varrho_0 \varrho_1 + \alpha_2 \varrho_0^2.$$

Dann ergibt sich als seminvariante Darstellung von  $k_0$

$$(20) \quad k_0 \equiv b_0^2 R_\alpha + 4\varrho_0 q_{01} (\varrho_0 b_1 + \varrho_1 b_0),$$

wo  $q_{ik} = (ab)_{ik}$ .

Um von hier aus zur typischen Darstellung der Kovariante  $K$  (17) selbst zu gelangen, hat man nur in (20) die einzelnen Leitglieder von (binären) Kovarianten durch letztere selbst zu ersetzen (während die Invarianten bleiben). Nun ist  $b_0$  das Leitglied von  $G$ ,  $\varrho_0$  das von  $E$ ,  $q_{01}$  das der Funktionaldeterminante  $(F, G)$ :

$$(21) \quad (F, G) \equiv q_{01} x_m^2 + q_{02} x_m + q_{12},$$

und  $\varrho_0 b_1 + \varrho_1 b_0$  das der Funktionaldeterminante  $(E, G)$ :

$$(22) \quad (E, G) = \begin{vmatrix} \varrho_0 & -\varrho_1 \\ x_m b_0 + b_1 & x_m b_1 + b_2 \end{vmatrix} \\ \equiv x_m (b_0 \varrho_1 + b_1 \varrho_0) + (b_1 \varrho_1 + b_0 \varrho_2).$$

Damit wird die *typische* Darstellung von (17)

$$(II) \quad K \equiv R_\alpha G^2 - 4E \cdot (F, G) \cdot (G, E) = 0.$$

Der gesuchte Ort der beiden Punktepaare  $(M_1, M_2)$ ,  $(M_1', M_2')$  ist also eine  $F_6$  mit  $D_2$  in  $A_m$ , deren weitere Eigenschaften sich aus (II) ablesen lassen, sobald man die geometrische Bedeutung des Verschwindens der einzelnen Faktoren kennt.

Nun stellt  $R_\alpha = 0$  den Kegel mit der Spitze  $A_m$  dar, der den Schnittkegelschnitt  $(F, E)$  projiziert. Sodann ist  $(E, G) = 0$  eine  $F_3$ , der Ort der Doppelpunkte der Involutionen, die die Gerade  $g$  aus den Individuen des Büschels  $(F, G)$  ausschneidet. Endlich entsteht die  $F_2$ :  $(G, E) = 0$  als Ort des vierten harmonischen Punktes von  $R$  in bezug auf die Schnittpunkte  $(g, F)$ .

Läßt man hinterher im besonderen die Ebene  $E$  durch  $A_m$  selbst gehen (also  $R = A_m$ ), so daß  $\varrho_0 = 0$ , so sondert sich in (II) der Faktor  $\varrho_1^2$  ab, d. h. geometrisch, von der  $F_6$  spaltet sich die Ebene  $E$  doppeltzählend ab. Damit reduziert sich die  $F_6$  auf die nach der *Zeuthenschen* Vorschrift entstehende  $F_4$ , die nunmehr leicht diskutierbar ist.

Für  $\varrho = 0$  reduziert sich  $R_\alpha$  auf  $\alpha_0 \varrho_1^2$ ,  $E$  auf  $-\varrho_1$ ,  $(E, G)$  auf  $\varrho_1(x_m b_0 + b_1) \equiv \varrho_1 G_0$ , wo  $G_0$  die Polare von  $A_m$  bez.  $G$  bedeutet.

Mithin wird die Gleichung der  $F_4$ , wenn man noch bequemer  $\alpha_0 = 1$  nimmt,

$$(IIa) \quad F_4 \equiv G^2 - 4G_0 \cdot (F, G) = 0.$$

Hier erscheint rechts die *Segresche* Form (s. Nr. 20) einer  $F_4$  mit  $\bar{C}_2$ ; letztere ist der Schnitt von  $G$  mit der Ebene  $G_0$ , also der Berührkegelschnitt des von  $A_m$  an  $G$  gehenden Berührkegels. Von (IIa) aus gelangt man aber auch zur ursprünglichen *Kummerschen* Darstellung (s. Nr. 9). Denn  $(F, G)$  gestattet die Umformungen

$$(21') \quad (F, G) \equiv \begin{vmatrix} F_0 & F_1 \\ G_0 & G_1 \end{vmatrix} = \begin{vmatrix} F_0 & F \\ G_0 & G \end{vmatrix} = GF_0 - G_0F.$$

Setzt man dies in (IIa) ein, so entsteht

$$\begin{aligned} F_4 &\equiv G^2 - 4G_0(G_2F_0 - G_0F) \\ &\equiv (G - 2F_0G_0)^2 - 4G_0^2(F_0^2 - F), \end{aligned}$$

oder auch, da  $F_0^2 - F$  mit der Diskriminante  $D_a \equiv \alpha_1^2 - \alpha_2$  von  $F$  übereinstimmt,

$$(IIa') \quad F_4 \equiv (G - 2F_0G_0)^2 - 4G_0^2D_a = 0.$$

Hieraus liest man noch ab, daß  $D_a = 0$  der Berührkegel von  $A_m$  an  $F$ , einer der fünf *Kummerschen* Kegel ist, in Übereinstimmung mit *Zeuthen*.

Endlich sei noch der *Zeuthenschen* Tangentenprojektion der  $F_4$  mit  $\bar{C}_2$  von der Spitze eines *Kummerkegels*  $K_2$  aus gedacht. Zu dem Behuf greife man zurück zum Falle (1) der allgemeinen  $F_4$ , der das Projektionszentrum  $A_m$  nicht angehörte. Die binäre Diskriminante  $D$  der Form  $F_4(x_m)$ , gleich Null gesetzt, lieferte den von  $A_m$  aus an die  $F_4$  gehenden Tangentenkegel 12. Ordnung  $K_{12}$ , resp. dessen Spur in der Ebene  $x_m = 0$ .

Jetzt sei im besonderen die  $F_4$  eine solche mit  $\bar{C}_2$ , welche letztere man in der Ebene  $x_m = 0$  annehme. Die *Kummersche* Gleichung der  $F_4$ , nach  $x_m$  geordnet, hat die Gestalt

$$(22) \quad F_4 \equiv \varphi^2 - 4x_m^2\psi \\ \equiv (\alpha_0x_m^2 + 2\alpha_1x_m + \alpha_2)^2 - 4x_m^2(c_0x_m^2 + 2c_1x_m + c_2) = 0.$$

Die rechts stehende, in  $x_m$  biquadratische binäre Form laute abgekürzt

$$(23) \quad F_4(x_m) \equiv \alpha_0x_m^4 + 4\alpha_1x_m^3 + 6\alpha_2x_m^2 + 4\alpha_3x_m + \alpha_4.$$

Dann ist bekanntlich die Diskriminante  $D$  von der Struktur

$$(24) \quad D \equiv \alpha_4(\ ) + \alpha_3^2(\ ).$$

Da aber im vorliegenden Falle  $\alpha_4 = \alpha_2^2$ ,  $\alpha_3 = \alpha_1\alpha_2$ , so tritt aus  $D$  der Faktor  $\alpha_2^2$  heraus. Geometrisch ist  $\alpha_2 = 0$  die Gleichung der  $\bar{C}_2$ ; von der Spur des Kegels  $K_{12}$  spaltet sich also die  $\bar{C}_2$  doppeltzählend ab,

wie es sein muß, da ja jeder Punkt der  $\bar{C}_2$  ein  $D_2$  der  $F_4$  ist, der vermöge der Tangentenprojektion in einen  $\bar{d}_2$  übergeht.

Nunmehr werde das Projektionszentrum  $A_m$  als Spitze eines Kummerkegels  $K_2$  gewählt und  $\psi = 0$  als Spitze des letzteren. Dann reduziert sich die Form  $\psi$  auf  $x_m^2 c_2$  und die Form  $F_4$  (22) auf

$$(22') \quad F_4(x_m) \equiv (a_0 x_m^2 + 2a_1 x_m + a_2)^2 - 4x_m^2 c_2.$$

Demnach erhalten die Koeffizienten  $\alpha$  in (23) die Werte

$$(23') \quad \begin{cases} \alpha_0 = a_0^2, & \alpha_1 = a_0 a_1, & \alpha_2 = \frac{1}{3}(a_0 a_2 + 2a_1^2 - 2c_2), \\ \alpha_4 = a_2^2, & \alpha_3 = a_1 a_2. \end{cases}$$

Die Diskriminante  $D$  von (22') ist in ihre Faktoren zu zerlegen. Einmal hat  $D$ , wie oben bemerkt, den Faktor  $a_2^2$  und analog auch den Faktor  $a_0^2$ . Sodann muß auch der Faktor  $c_2^2$  auftreten, da für  $c_2 \equiv 0$  die Form  $F_4(x_m)$  das Quadrat einer quadratischen Form ( $\varphi$ ) wird, also zwei Doppelwurzeln besitzt.

Geometrisch leuchtet das gleichfalls ein. Denn  $c_2 = 0$  liefert die Spur des Kegels  $K_2$ , und jede Kante von  $K_2$  berührt die Fläche  $F_4$  zweimal (s. Nr. 9). Mithin existiert eine Zerlegung von  $D$  von der Struktur

$$(25) \quad D \equiv a_0^2 a_2^2 c_2^2 c_4,$$

so daß  $c_4 = 0$  die „eigentliche“ Projektionskurve ergibt. Berechnet man auf Grund von (23') die beiden Invarianten  $g_2$  und  $g_3$  der Form  $F_4(x_m)$ , bildet sodann gemäß (3)  $D = g_2^3 - 27g_3^2$ , und entwickelt nach Potenzen von  $c_2$ , so stellt sich in der Tat heraus, daß die Koeffizienten von  $c_2^0, c_2^1, c_2^5, c_2^6$  verschwinden und eine Zerlegung vom Typus (25) resultiert, wo der Restfaktor  $c_4$  die Gestalt annimmt

$$(26) \quad c_4 = (c_2 - A)^2 - 4a_1^2 c_2,$$

wobei  $A \equiv a_0 a_2 - a_1^2$  die Diskriminante der Form  $\varphi(x_m)$  bedeutet. Die Kurve  $c_4$  ist also eine elliptische (mit zwei  $\bar{d}_2$ ).

**20. Die Segresche Projektion vom  $S_4$  aus. Die Veronesesche Konstruktion.** Schon *Steiner* und *Plücker* haben elliptische  $c_4$  mit zwei  $\bar{d}_2$  untersucht, indem sie die Kurve als Projektion der Schnittkurve  $C_4$  zweier  $F_2$  von irgendeinem Raumpunkt  $P_0$  aus ansahen. Als Sonderfall erscheinen die (elliptischen)  $c_3$ , wenn man den Projektionspunkt  $P_0$  auf die  $C_4$  selbst rücken läßt.

Und doch hat es längerer Zeit bedurft, bis man den  $S_4$  zu einer analogen Projektion für die  $F_4$  mit  $\bar{C}_2$  benutzte. Dies scheint zuerst durch *G. Veronese*<sup>42)</sup>, der schon vorher<sup>43)</sup> die Gesetze des Projizierens

42) *G. Veronese*, Ven. Ist. Atti (6) 2 (1884), p. 1841.

43) *G. Veronese*, Math. Ann. 24 (1884), p. 313.

und Schneidens höherer Räume systematisch untersuchte, geschehen zu sein.

Im  $S_4$  haben zwei Über- $F_2$ ,  $F_2^{(4)}$  und  $G_2^{(4)}$ , eine  $\infty^2$ -Mannigfaltigkeit  $M_4^{(3)}$  der Ordnung 4 gemein. Projiziert man letztere von irgend einem, zunächst nicht ihr selbst angehörigen Punkte  $P_0$  in einen  $S_3$ , so erscheint als Projektion eine  $F_4$  mit  $\bar{C}_2$  (s. Art. „ $F_3$ “, Nr. 16). Hieraus leitet *Veronese* folgende Konstruktion einer  $F_4$  mit  $\bar{C}_2$  her. Man markiere auf einer festen Geraden drei Punkte  $V, V', S$ . Durch  $S$  lege man eine variierende Raumgerade  $h$ . Überdies seien zwei feste  $F_2, F$  und  $F'$ , gegeben; einer der beiden Schnittpunkte von  $h$  mit  $F$  resp.  $F'$  sei  $A$  resp.  $A'$ . Die beiden Geraden  $(V, A)$  und  $(V', A')$  mögen sich in einem Punkte  $X$  treffen. Dann erzeugt  $X$  eine  $F_4$  mit  $\bar{C}_2$ .

Auch die Tangentialebene  $T$  der  $F_4$  in  $X$  läßt sich leicht bestimmen. Seien  $T_a$  und  $T_{a'}$  die Tangentialebenen von  $F$  und  $F'$  in  $A$  und  $A'$ , so ist die Verbindungsebene von  $X$  mit der Geraden  $(T_a, T_{a'})$  die gesuchte  $T$ .

Die  $\bar{C}_2$  erhält man in Analogie zu den zwei  $d_2$  einer bizirkularen  $c_4$ , indem man von  $P_0$  aus die  $\infty^1$  Sehnen an die  $M_4^{(3)}$  legt. Daraus gewinnt man noch eine Konstruktion der  $\bar{C}_2$ , die man auch unabhängig vom  $S_4$  ausführen kann.

Während sich *Veronese* auf diese Konstruktionen beschränkte, hat fast gleichzeitig *C. Segre* in einer umfangreichen Arbeit<sup>44)</sup> aus dem obigen Projektionsgrundgedanken eine systematische, fast erschöpfende Theorie der  $F_4$  mit  $\bar{C}_2$  entwickelt. Nicht nur die bekannten Eigenschaften dieser Flächengattung werden so auf einfache und natürliche Weise wiedergewonnen, sondern auch viele neue hinzugefügt. Vor allem führt den Verfasser seine Methode zu einer vollständigen Klassifikation der  $F_4$  mit  $\bar{C}_2$ ; er gelangt zu 70 verschiedenen Arten, von denen nur etwa die Hälfte vorher bekannt war.

Außer den 18 Arten bei allgemeiner (irreduzibler)  $\bar{C}_2$  ergeben sich 5 Arten, wo die  $F_4$  nur von der dritten Klasse ist; sodann mehrere Arten mit Kuspidal- $\bar{C}_2$  (s. Nr. 18), wo sich beide Schalen der Fläche in zwei Punkten der  $\bar{C}_2$ , den „clos-Punkten“, berühren. Auch die  $F_4$  mit einer in zwei inzidente Doppelgerade  $\bar{g}_1, \bar{g}_2$  zerfallenden  $\bar{C}_2$  werden eingehender als bisher untersucht. Von Interesse ist dabei der Sonderfall, wo der Punkt  $(\bar{g}_1, \bar{g}_2)$  ein  $D_3$  der  $F_4$  ist, von dem wieder die *Steinersche* Fläche  $S$  (s. Abschn. VII) ein Unterfall ist.

44) *C. Segre*, Math. Ann. 24 (1884), p. 313. Weitere Ergänzungen finden sich bei *Th. Reye*, Math. Ann. 55 (1902), p. 257; *H. F. Baker*, London Math. Soc. Proc. (2) 11 (1912), p. 285; *V. H. Rao*, ib. (2) 17 (1919), p. 272.

Auch die weiteren Fälle, wo eine der beiden Doppelgeraden, oder auch beide, kuspidal werden, werden genau berücksichtigt. Ferner wird für jede Art der  $F_4$  die Verteilung der 16  $g$ , sowie der  $\infty^1 C_2$ -Scharen auf der Fläche bestimmt, nebst der zugehörigen Abbildung niedrigster Ordnung. Weiter werden im besonderen die Arten anallagmatischer  $F_4$  — die durch Inversion in sich übergehen — ermittelt; das Auftreten singulärer Punkte wird eingehend untersucht usf. Eine fruchtbare metrische Anwendung erfährt die Methode für die Zykliden  $Z$  (s. Abschn. IV) — für die die  $\bar{C}_2$  der nullteilige Kugelskreis  $\bar{K}$  wird —, insbesondere für deren Fokaleigenschaften. Während übrigens bei *Darboux* u. a. ein Brennpunkt einer Zyklide  $Z$  eine sie doppelt berührende Nullkugel ist, erscheint hier allgemeiner ein Brennpunkt der  $Z$  als eine sie längs einer  $C$  berührende Nullkugel. Es sei noch darauf hingewiesen, wie die fünf *Kummerschen* Kegel  $K_2$  (s. Nr. 9) direkt den fünf Überkegeln  $K_3^{(4)}$  des  $F_2$ -Büschels ( $F_3^{(4)}, G_3^{(4)}$ ) im  $S_4$  entsprechen. Läßt man hinterher im besonderen den Projektionspunkt  $P_0$  auf die  $M_3^{(4)}$  selbst rücken, so geht die  $F_4$  in eine allgemeine  $F_3$  über (s. Art. „ $F_3$ “ Nr. 16).

Indem wir wegen weiterer Einzelheiten auf die Arbeit von *Segre* selbst verweisen, seien dessen synthetischen Entwicklungen einige analytische hinzugefügt.

Man bezeichne Punktkoordinaten im  $S_4$  mit  $x_i, x_k, x_l, x_m, x_n$  und wähle den Projektionspunkt als  $n^{\text{te}}$  Koordinatenecke  $A_n$ , den Projektions- $S_3$  als  $x_n = 0$ . Ordnet man dann die Gleichungen der beiden Über- $F_2$  nach  $x_n$ , so nehmen sie die Gestalt an

$$(1) \quad \begin{cases} F_3^{(4)} = F \equiv x_n^2 B_0 + 2x_n B_1 + B_2 = 0, \\ G_3^{(4)} = G \equiv x_n^2 C_0 + 2x_n C_1 + C_2 = 0, \end{cases}$$

wo die  $B_r, C_s$  quaternäre Formen in  $x_i, x_k, x_l, x_m$  der Ordnung  $r$  resp.  $s$  bedeuten. Im Büschel  $B(F, G)$  befindet sich ein durch  $A_n$  gehendes Individuum  $F'$  mit der Gleichung

$$(2) \quad F' \equiv x_n p_{01} + p_{02} = 0,$$

wo  $p_{ik} = (BC)_{ik}$ . Umgekehrt läßt sich das Büschel  $B$  auch aus  $F'$  und etwa  $F$  (mit  $B_0 \neq 0$ ) zusammensetzen. Die Gleichung der Projektion  $F_4$  der  $M_4^{(3)}(F, G)$  ergibt sich durch Nullsetzen der Resultante von  $F$  und  $G$

$$(3) \quad F_4 \equiv p_{02}^2 - 4p_{01}p_{12} = 0.$$

Die  $\bar{C}_2$  auf der  $F_4$  ergibt sich als Ort der Spuren der durch  $A_n$  gehenden Sekanten der  $M_4^{(3)}$ . Diese Sekanten sind zugleich die auf  $F'$  liegenden, durch  $A_n$  gehenden Geraden. Letztere werden gemäß (2)

durch  $p_{01} = 0, p_{02} = 0$  geliefert. Mithin sind dies auch im  $S_3(x_n = 0)$  die Bestimmungsgleichungen der  $\bar{C}_2$

$$(4) \quad \bar{C}_2) \quad p_{01} = 0, \quad p_{02} = 0.$$

Dies bestätigt sich auch sofort algebraisch an der Hand von (1) und (3). Denn  $p_{01}, p_{02}, p_{12}$  sind an zwei lineare Identitäten gebunden

$$(5) \quad \begin{cases} B_0 p_{12} \equiv B_1 p_{02} - B_2 p_{01}, \\ C_0 p_{12} \equiv C_1 p_{02} - C_2 p_{01}. \end{cases}$$

Verwendet man etwa die erstere (mit  $B_0 \neq 0$ ), so geht (3) über in eine in  $p_{01}$  und  $p_{02}$  quadratische, homogene Gleichung, woraus hervorgeht, daß die  $F_4$  eine  $\bar{C}_2$ :  $p_{02} = 0, p_{01} = 0$  besitzt.

Man wird nun die „Segresche“ Gleichungsform (3) der  $F_4$  in die ursprüngliche *Kummersche* (s. Nr. 9)

$$(6) \quad F_4 \equiv \varphi^2 - 4p^2\psi = 0$$

überführen wollen, und umgekehrt. Indem wir, wie es erlaubt ist, die Konstante  $B_0$  gleich 1 annehmen, haben wir vermöge (5) den Wert von  $p_{12}$ :

$$(5) \quad p_{12} \equiv B_1 p_{02} - B_2 p_{01}$$

in (3) einzusetzen. Dann ergibt sich durch einfache Umformungen

$$(7) \quad \begin{aligned} F_4 &\equiv p_{02}^2 - 4p_{01}(B_1 p_{02} - B_2 p_{01}) \\ &\equiv (p_{02}^2 - 4p_{02} B_1 p_{01}) + 4B_2 p_{01}^2 \\ &\equiv (p_{02} - 2B_1 p_{01})^2 - 4p_{01}^2 (B_1^2 - B_2). \end{aligned}$$

Setzt man hier

$$(8) \quad p_{02} - 2B_1 p_{01} = \varphi, \quad p_{01} = p, \quad B_1^2 - B_2 = \psi,$$

so ist man in der Tat zur *Kummerschen* Gleichungsform (6) zurückgekommen.

Ein wenig schwieriger gestaltet sich die Umkehrung. Sei also jetzt (6) vorgelegt, so bedienen wir uns einer Modifikation des *Kummerschen* Verfahrens (a. a. O.), um von (6) aus zu den fünf Kegeln  $K_2$  zu gelangen. Versteht man unter  $q$  eine beliebige Linearform, so forme man (6) um, wie folgt:

$$(9) \quad F_4 \equiv (\varphi + 2pq)^2 - 4p(pq^2 + p\psi + \varphi q).$$

Dann besitzt die rechte Seite bereits die Struktur von (3); man hat nur noch zu zeigen, daß sich die drei Bildungen  $\varphi + 2pq, p, pq^2 + p\psi + \varphi q$  als zweireihige Determinanten  $p_{01}, p_{02}, p_{12}$  einer Matrix  $(BC)$  (mit  $B_0 = C_0 = 1$ ) darstellen lassen. Zu dem Behuf stelle man eine zu (5) analoge Identität auf, suche also zwei Formen  $R_1, B_2$  so zu bestimmen, daß man hat

$$(10) \quad \varphi q + pq^2 + p\psi \equiv B_1(\varphi - 2pq) - B_2 p.$$

In der Tat ergibt sich

$$(10') \quad \varphi q + p q^2 + p \psi \equiv q(\varphi + 2 p q) - p(q^2 - \psi).$$

Wählt man demnach

$$(11) \quad B_1 = q, \quad B_2 = q^2 - \psi,$$

so ist (10) befriedigt. Nunmehr wähle man  $C_1, C_2$  so, daß

$$(12) \quad \begin{cases} p_{01} \equiv p \equiv C_1 - B_1, \\ p_{02} \equiv \varphi + 2 p q \equiv C_2 - B_2 \end{cases}$$

wird, dann ergibt sich

$$(12') \quad \begin{cases} C_1 \equiv B_1 + p \equiv p + q, \\ C_2 \equiv \varphi + 2 p q + B_2 \equiv \varphi + 2 p q + q^2 - \psi. \end{cases}$$

Als Kontrolle dient die Darstellung von  $p_{12}$ ; wie leicht zu bestätigen, kommt

$$(13) \quad p_{12} \equiv q \varphi + p q^2 + p \psi \equiv B_1 C_2 - B_2 C_1.$$

Endlich werde auch die Veronesesche Konstruktion analytisch behandelt. Ohne die Rechnung im einzelnen auszuführen, genügt es, zu zeigen, daß die Konstruktion auf eine  $F_4$  in der Segreschen Gestalt (2) führt. Man wähle auf der Koordinatenkante  $(A_i, A_m)$  noch einen festen Punkt als Einheitspunkt  $E(0, 0, 1, 1)$ .

Durch  $A_m$  lege man eine variierende Gerade  $g$ , die zwei gegebene  $F_2$ :  $F, G$  (1) in den Punktepaaren  $A, A', B, B'$  treffe, mit den  $x_m$ -Werten  $\alpha, \alpha', \beta, \beta'$ . Die Spur von  $g$  in  $x_m = 0$  sei der Punkt  $(y_i, y_k, y_l, 0)$ , so daß  $A(\alpha)$  und  $B(\beta)$  die Koordinaten  $(y_i, y_k, y_l, \alpha)$ ,  $(y_i, y_k, y_l, \beta)$  erhalten. Demnach wird  $(y_i, y_k, y_l + \varrho, \alpha)$  ein laufender Punkt auf der Geraden  $(A_i, A)$ , und  $(y_i, y_k, y_l + \sigma, \beta + \sigma)$  ein solcher auf der Geraden  $(E, B)$ .

Für den Schnittpunkt  $P(x)$  beider Geraden wird also  $\varrho = \sigma = \alpha - \beta$ , d. h.  $P$  besitzt die Koordinaten

$$(y_i, y_k, y_l + \alpha - \beta, \alpha)$$

mit den Bedingungen  $F(\alpha) = 0, G(\beta) = 0$ . Schreibt man lieber nicht-homogen  $x_i = y_i = 1$ , so folgt aus (14)

$$y_k = x_k, \quad \alpha = x_m, \quad \beta = y_l + x_m - x_l.$$

Die Einsetzung in  $F(\alpha) = 0, G(\beta) = 0$  führt zu zwei quadratischen Gleichungen in  $y_l$ . Die Elimination von  $y_l$  liefert so in der Tat die gewünschte Gleichung  $F_4 = 0$  in der Segreschen Gestalt (2).

Das Segresche Verfahren läßt noch eine andere fruchtbare Auffassung zu. Die Form  $F_4(2)$  trat als Resultante der beiden in  $x_n$  binären Formen  $F(x_n), G(x_n)$  auf. Bildet man andererseits die Funktionaldeterminante  $\Theta = (F, G)$

$$(14) \quad \Theta \equiv (F, G) \equiv p_{01} x_n^2 + p_{02} x_n + p_{12},$$

so erscheint  $F_4$  auch als Diskriminante der Form  $\Theta$ . Dies besagt geometrisch, daß sich die Fläche  $F_4$  im  $S_3$  auch erzeugen läßt durch Tangentenprojektion (von  $A_n$  aus) der durch  $\Theta = 0$  dargestellten Mannigfaltigkeit. Letztere ist ersichtlich eine  $F_3^{(4)}$ , die durch  $A_n$  einfach hindurchgeht. Es liegt somit eine Verallgemeinerung der Geiser'schen Tangentenprojektion einer  $F_3$  im  $S_3$  vor (s. Art. „ $F_3$ “, Nr. 16), und es gilt:

„Die Segresche Projektionsfläche  $F_4$  mit  $\bar{C}_2$  ist zugleich die Tangentenprojektion einer  $F_3^{(4)} = \Theta$ .“

Von dieser  $\Theta$  lassen sich auf Grund des *W. Fr. Meyerschen* Übertragungsprinzips (s. Nr. 5 und Art. „ $F_3$ “ Nr. 12) weitere Eigenschaften angeben. Legt man durch den Punkt  $A_n$  in  $S_4$  eine variierende Gerade  $g$ , so wird diese von den Individuen des Büschels  $B(F, G)$  in den Punktepaaren einer Involution getroffen. Sind  $D_1, D_2$  deren Doppelpunkte, so ist der Ort derselben eben die Fläche  $\Theta$ .

Im besonderen läßt sich  $\Theta$  auch auffassen und definieren als Ort der Berührungspunkte der von  $A_n$  aus an die Individuen von  $B$  gehenden Tangenten; es ist das eine Verallgemeinerung einer Steiner'schen Erzeugung der  $F_3$  im  $S_3$  (s. Art. „ $F_3$ “ Nr. 12).

Ferner befand sich in  $B$  ein durch  $A_n$  gehendes Individuum  $F'$  (3). Auf  $F'$  gehen  $\infty^1$  Gerade durch  $A_n$ , die durch  $p_{01} = p_{02} = p_{12} = 0$  dargestellt sind; diese Geraden gehören zugleich der Fläche  $\Theta$  an. Legt man weiter von  $A_n$  aus die Tangenten an  $\Theta$ , so ist der Ort der Berührungspunkte die obige  $M_3^{(4)}(F, G)$ .

Umgekehrt gehe man von einer beliebigen, allgemeinen, durch  $A_n$  gehenden  $F_3^{(4)}$  aus mit der Gleichung

$$(15) \quad F_3^{(4)} \equiv c_1 x_n^2 + c_2 x_n + c_3 = 0.$$

Durch einen beliebigen Punkt  $P$  einer solchen  $F_3^{(4)}$ , z. B.  $P = A_n$ , geht eine endliche Anzahl ( $= 6$ ) von Geraden, die auf der  $F_3^{(4)}$  liegen. Denn für  $P = A_n$  bestimmen sich diese sechs Geraden durch die sechs gemeinsamen Lösungen der drei Gleichungen

$$(16) \quad c_1 = 0, \quad c_2 = 0, \quad c_3 = 0.$$

Und diese liefern im  $S_3$  die sechs Schnittpunkte der  $C_2$  ( $c_1 = 0, c_2 = 0$ ) mit der  $F_3$  ( $c_3 = 0$ ), die, mit  $A_n$  verbunden, jene sechs Geraden ergeben.

Es gibt aber im besonderen eine endliche Anzahl von Punkten  $P_0$  auf der  $F_3^{(4)}$ , durch die  $\infty^1$ , der  $F_3^{(4)}$  angehörige Gerade gehen. Wählt man einen solchen Punkt  $P_0$  wieder als Ecke  $A_n$  und zugleich als Zentrum der Tangentenprojektion, so kommt man gerade zu der obigen Konstruktion zurück. Von  $P_0 = A_n$  aus gehen  $\infty^3$  Tangenten an die

$F_3^{(4)}$ , deren Berührungspunkte eine  $M_3^{(4)}$  erfüllen. Durch diese  $M_3^{(4)}$  geht ein Büschel  $B(F, G)$ , das mit dem ursprünglichen übereinstimmt. Dies bestätigt sich auch leicht algebraisch.

Sollen die drei Gleichungen (16)  $\infty^1$  gemeinsame Lösungen besitzen, d. h. soll die  $F_3(c_3 = 0)$  die  $C_2(c_1 = 0, c_2 = 0)$  enthalten, so lassen sich Formen  $a_1, a_2$  angeben, so daß  $c_3$  als lineare Kombination von  $c_1$  und  $c_2$  erscheint in der Gestalt

$$(17) \quad c_3 \equiv a_1 c_2 - a_2 c_1.$$

Man bestimme zwei weitere Formen  $b_1, b_2$ , so daß man hat

$$(18) \quad c_1 \equiv b_1 - a_1, \quad c_2 \equiv b_2 - a_2,$$

also umgekehrt

$$(18') \quad b_1 \equiv c_1 + a_1, \quad b_2 \equiv c_2 + a_2,$$

so werden in der Tat die drei Formen  $c$  die Determinanten  $p_{ik}$  der Matrix

$$(19) \quad \begin{vmatrix} a_0 = 1, & a_1, & a_2 \\ b_0 = 1, & b_1, & b_2 \end{vmatrix},$$

wie bei (1). Damit hat man ein Mittel gefunden, um die Geometrie auf einer allgemeinen  $F_3^{(4)}$  auf die Geometrie einer  $F_4$  mit  $\bar{C}_2$  zu übertragen, und vice versa.

Es sei noch darauf hingewiesen, daß *A. Weiler*<sup>44a)</sup> im Anschluß an die *Segresche* Projektion den Fall einer  $F_4$  mit Kuspidalkegelschnitt weiter verfolgt hat, unter besonderer Berücksichtigung des Sonderfalles, daß die beiden clos-Punkte koinzidieren.

Am Schlusse dieses Abschnittes seien noch einige andere Betrachtungsweisen der  $F_4$  mit  $\bar{C}_2$  erwähnt.

Mit Hilfe eines quadratischen Nullsystems vollzieht *A. Ameseder*<sup>45)</sup> die Abbildung einer  $F_4$  mit  $\bar{C}_2$  und einem  $D_2$  auf eine  $F_2$ , die früher *Korndörfer*<sup>30)</sup> direkt nach der Methode von *Clebsch* ausgeführt hatte. Dabei ist ein quadratisches Nullsystem dadurch bestimmt, daß jedem Punkte eine mit ihm inzidente Ebene, seine „Nullebene“, zugeordnet ist, und vice versa jeder Ebene ein mit ihr inzidenter Punkt, ihr „Nullpunkt“, derart, daß die Nullpunkte der Ebenen eines Netzes eine  $F_2$  erfüllen.

Sodann erscheint die  $F_4$  mit  $\bar{C}_2$  bei *A. del Re*<sup>46)</sup> als Fundamentalfläche eines speziellen Punkt-Ebenen-Konnexes (1, 2), oder auch als konjugierte Polare eines solchen Konnexes und einer  $F_2$ .

44a) *A. Weiler*, Ztschr. Math. Phys. 30 (1885), p. 17.

45) *A. Ameseder*, J. f. Math. 93 (1884), p. 62.

46) *A. del Re*, Rom Linc. Rend. (5) 2 (1893), p. 211.

Was weiter die Klassenform einer  $F_4$  mit  $\bar{C}_2$  betrifft, so begnügte man sich mit dem Hinweis, daß jene Form identisch verschwindet. Das Entsprechende findet allgemein statt für die Klassenform  $\Phi_v$  einer  $F_n$  mit einer Doppelkurve  $\bar{C}$ . Den inneren Grund für dieses identische Verschwinden von  $\Phi_v$  hat *O. Chisini*<sup>47)</sup> aufgedeckt; indem er die Ordnungsform  $F_n$  als Grenze einer singularitätenfreien Fläche ansieht, etwa eines Büschels  $F_n + \lambda F'_n$ , wo  $F'_n$  singularitätenfrei ist und der Parameter  $\lambda$  gegen Null konvergiert. Damit erscheint auch die Form  $\Phi_v$  als Grenze eines Klassegebildes.

Dann zeigt sich, daß das identische Verschwinden von  $\Phi_v$  nach erfolgtem Grenzübergange nur von einem gewissen, gegen Null konvergierenden Faktor herrührt, der noch insoweit unbestimmt ist, als er von der Art der Annäherung an die Grenzfläche  $F_n$  abhängt.

Befreit man sich, vor Vollziehung des Grenzprozesses, von diesem Faktor durch Division, so zerfällt der nunmehr nicht identisch verschwindende Restfaktor von  $\Phi_v$  seinerseits wieder in drei Faktoren, die, gleich Null gesetzt, folgende Gebilde liefern: 1. die Enveloppe der die  $F_n$  eigentlich berührenden Ebenen; 2. doppelt zählend, die Berührungsebenen der Doppelkurve  $\bar{C}$ ; 3. dreifach zählend, die Spitzen der Kurve  $\bar{C}$ .

Endlich sei im besonderen erwähnt, daß *Lackner*<sup>47a)</sup> für eine  $F_4$  mit zwei (inzidenten) Doppelgeraden und vier isolierten  $D_2$  die Haupttangentialkurven ermittelt hat. Indem er die  $F_4$  in geeigneter Weise auf eine Doppelebene abbildet, gehen die Haupttangentialkurven der Fläche über in eine Schar von Kegelschnitten und lassen sich daraufhin einfach konstruieren.

#### IV. Die Zykliden.

**21. Die Zykliden als  $F_4$  mit dem Kugelkreis als Doppelkegelschnitt.** Obschon sich nach *Darboux*<sup>48)</sup> die Zykliden, die mit  $Z$  bezeichnet seien, ohne weiteres als metrischer Sonderfall der  $F_4$  mit  $\bar{C}_2$  erklären lassen, indem für sie die (nullteilig vorausgesetzte)  $\bar{C}_2$  mit dem Kugelkreise  $K$  zusammenfällt, so hat doch die historische Entwicklung der  $Z$  einen wesentlich anderen Weg eingeschlagen, indem

47) *O. Chisini*, Rom Linc. Rend. (3) 26, (1917), p. 575.

47a) *A. Lackner*, Wien Ber. 121, IIa (1912), p. 2519.

48) *G. Darboux*, Sur une classe remarquable de courbes et de surfaces algébriques, Paris 1873, 2. Aufl. 1896. Der *Darboux'sche* Standpunkt tritt auch selbständig bei *E. Laguerre* hervor in einer Reihe seit 1868 erschienener Abhandlungen, s. Oeuvres II, Paris 1905, p. 41, 54, 164.

die elementargeometrische Durchdringung mit der Kugeltheorie in den Vordergrund gestellt wurde.

Bei dieser spezifischen Entwicklung ist es oft schwer, Eigenschaften der  $Z$  als solche von  $F_4$  mit  $\bar{C}_2$  wiederzuerkennen.

Im übrigen ist wohl keine Gattung von  $F_4$  so ausgiebig behandelt worden wie die  $Z$ , so daß eine vollständige, alle Gesichtspunkte berücksichtigende Darstellung<sup>49)</sup> derselben ein umfangreiches Werk werden würde. Es kann sich daher hier erst recht nur darum handeln, die Hauptmomente herauszugreifen.

**22. Die Untersuchung von Casey.** In einer ausführlichen Arbeit hat *J. Casey*<sup>50)</sup> die Grundzüge der Theorie der  $Z$  selbständig von der Theorie der Kugeln aus entwickelt.

Jeder ebene Schnitt der  $Z$  ist eine „bizirkulare“  $c_4$ , d. h. eine solche, die in den zwei — konjugiert imaginären — Kreispunkten  $d_2$  besitzt.

Seien  $\alpha_r = 0$  ( $r = i, k, l, m$ ) die Gleichungen von irgend vier Kugeln (die nicht einem Netze angehören), der „Grundkugeln“, so ist die  $Z$  dargestellt durch eine beliebige quadratische Gleichung in den Variablen  $\alpha$

$$(1) \quad Z \equiv \sum \sum a_{r,s} \alpha_r \alpha_s = 0. \quad (r, s = i, k, l, m)$$

Denn sie genügt ersichtlich der obigen Definition in allgemeinsten Weise. Die  $Z$  läßt sich auch auffassen als Enveloppe einer Kugel  $(\alpha x) = 0$ , wo die Parameter  $x$  an eine quadratische Bedingung geknüpft sind

$$(2) \quad F_2 \equiv \sum \sum \frac{1}{a_{r,s}} x_r x_s = 0.$$

Diese Kugel schneidet die Jacobiana der vier Grundkugeln orthogonal derart, daß ihr Zentrum die  $F_2$  (2) erfüllt.

Man hat daher auch folgende elementare Definition der  $Z$ :

„Eine  $Z$  ist die Enveloppe einer Kugel, deren Zentrum sich auf einer vorgegebenen  $F_2$  bewegt und die eine vorgegebene Kugel  $K$  orthogonal schneidet.“

Der Verfasser nennt  $K$  die „erzeugende“ Kugel und die  $F_2$  die „fokale“  $F_2$ .

Tritt im besonderen in (1) eines der  $\alpha$  garnicht auf, so reduziert sich die  $Z$ , die dann „binodal cyklide“ heiße, auf eine solche mit zwei

49) Bezüglich der Einzeldarstellungen von „Darboux“, „Reye“, „Loria“, „Salmon-Fiedler“ (Kap. 7) s. Lit. Weiter sei noch erwähnt *G. Darboux*, *J. Éc. Norm.* (2) 1 (1872), p. 273; *G. Humbert*, *J. Éc. Pol.* 55 (1885), p. 127.

50) *J. Casey*, *London Trans.* 161 (1871), p. 585; *London Math. Soc. Proc.* 19 (1871), p. 496. Zur Theorie der Fokal- $F_2$  vgl. auch *H. Hart*, *Mess.* (2) 14 (1884), p. 1.

$D_2$ ; sie ist die Enveloppe einer Kugel, deren Zentrum eine feste  $C_2$  durchläuft und die eine gegebene Kugel  $K$  orthogonal trifft.

Verfolgt man im allgemeinen Falle die Kugeln, deren Zentra einer erzeugenden Geraden der fokalen  $F_2$  angehören, so schneiden sich dieselben in einem Kreise, der auf der  $Z$  liegt. Die  $Z$  erscheint also auch als Ort eines von nur einem Parameter abhängenden Kreises. Ist im besonderen die Fokal- $F_2$  ein Kegel  $K_2$ , so entspricht jeder Kante von  $K_2$  ein Kreis. So entsteht eine Reihe von Kreisen, die auf einer gegebenen Kugel  $K$  liegen und zur Enveloppe eine sphärische  $C_4$  („sphero-quartic“) haben, den Schnitt der Kugel  $K$  mit dem Kegel  $K_2$ .

Diese  $C_4$  stellt sich dar als eine Grenzform der  $Z$  und hat Eigenschaften, die denen der  $Z$  analog sind. Die  $C_4$  ist die Enveloppe eines variablen Kreises, dessen Zentrum auf einem gegebenen Kreise der Kugel liegt, der einen gegebenen sphärischen Kegelschnitt auf der Kugel orthogonal schneidet.

Da irgendein Kreis die  $Z$  und damit den Kugelkreis  $\bar{K}$  in zwei Punkten trifft, die als  $D_2$  der  $Z$  anzusehen sind, so läßt sich die Fläche  $Z$  auch definieren als eine  $F_4$ , die von jedem Kreise in vier veränderlichen Punkten getroffen wird. Die  $Z$  erscheint so als direkte Verallgemeinerung der Kugel, als einer  $F_2$ , die von einem Kreise in zwei veränderlichen Punkten getroffen wird.

Man kann diesem Satze nach *W. Fr. Meyer*<sup>51)</sup> eine noch anschaulichere und elementarere Fassung geben. Für die Kugel gilt ersichtlich der Satz:

„Hat eine  $F_2$  die Eigenschaft, daß für irgendeinen partikulären Punkt  $P_0$  außerhalb der  $F_2$  das Produkt  $s_1 s_2$  der von  $P_0$  aus gerechneten Sekantenabschnitte  $s_1, s_2$  auf den durch  $P_0$  gehenden Geraden konstant ist, so gilt das nämliche für jeden Punkt  $P$  des Raumes und die  $F_2$  ist eine Kugel.“

Analog läßt sich aus der Gleichung (1) der  $Z$  folgern:

„Hat eine  $F_4$  die Eigenschaft, daß ein partikulärer, nicht auf  $F_4$  gelegener Punkt  $P_0$  existiert, so daß für alle durch  $P_0$  gehenden Geraden  $g$  das Produkt  $p = s_1 s_2 s_3 s_4$  der vier von  $P_0$  aus gerechneten Sekantenabschnitte  $s_1, s_2, s_3, s_4$  konstant ist, so gilt dies auch für jeden Raumpunkt  $P$ , und die  $F_4$  ist eine  $Z$ .“

Will man sich auf reelle Abschnitte  $s_1, s_2, s_3, s_4$  beschränken, so bedarf sowohl die Lage von  $P_0$ , wie die Auswahl der durch ihn gehenden Geraden  $g$  einer gewissen Einschränkung.

51) *W. Fr. Meyer*, Ber. Deutsch. Math.-Ver. 38 (1929) (Aufgabe). Eine Lösung von *Gruber*, ib. 39 (1930).

**23. Einführung der pentasphärischen Koordinaten nach Darboux.** Die analytische Behandlung der  $Z$  wird wesentlich einfacher und übersichtlicher, wenn man mit  $G. Darboux$  (l. c.) pentasphärische Koordinaten  $s_i$  ( $i = 1, \dots, 5$ ) einführt. Zunächst bilde man die mit Konstanten multiplizierten Potenzen  $p_i$  eines Punktes in bezug auf fünf beliebige Kugeln; solche  $p_i$  sind überzählige Koordinaten, die an eine quadratische Identität gebunden sind. Wählt man statt der  $p_i$  geeignete lineare Verbindungen  $s_i$ , so kann man es erreichen, daß die Identität zwischen den  $s_i$  die Normalgestalt erhält

$$(3) \quad \sum s_i^2 = 0.$$

Solche  $s_i$  heißen spezifisch „pentasphärische“ Koordinaten eines Punktes; man sollte sie auch „*Darbouzsche*“ nennen. Entsprechend hat man es in der Ebene mit „tetrazyklischen“ Koordinaten zu tun.

Die Gleichungen  $s_i = 0$  stellen fünf „Grundkugeln“ oder „Orthogonalkugeln“ dar, die sich zu je zweien orthogonal durchsetzen; vier der Grundkugeln sind (bei reellen Koeffizienten) stets einteilig, die letzte nullteilig. Man darf z. B. setzen bei rechtwinkligen Koordinaten  $x, y, z$

$$(4) \quad s_1 = 2rx, \quad s_2 = 2ry, \quad s_3 = 2rz, \quad s_4 = x^2 + y^2 + z^2 - r^2, \\ s_5 = i(x^2 + y^2 + z^2 + r^2).$$

Drei der Kugeln sind hierbei in die Koordinatenebenen  $x = 0, y = 0, z = 0$  ausgeartet; der Anfangspunkt  $O$  ist der Mittelpunkt der beiden übrigen Kugeln  $s_4 = 0, s_5 = 0$ , mit den Radien  $r, ir$ .

Jede Kugel (inkl. Ebene und Punkt) ist darstellbar durch eine lineare Gleichung zwischen den  $s$  und umgekehrt; die Orthogonalitätsbedingung für zwei Kugeln ist bilinear in den Koeffizienten usf.

Jede  $Z$  ist darstellbar durch eine homogene quadratische Gleichung in den  $s$  und umgekehrt.

Im besonderen hat man die eindeutig bestimmte Darstellung

$$(5) \quad Z \equiv \sum (a_i + \varrho) s_i^2 = 0,$$

wo, mit Rücksicht auf (3), der Parameter  $\varrho$  willkürlich bleibt. Die  $Z$  geht durch Inversion in bezug auf irgendeine der fünf Grundkugeln in sich über. Solche Flächen heißen nach *Moutard*<sup>52)</sup> „anallagmatische“. Umgekehrt ist eine anallagmatische  $F_4$  eine  $Z$ .

Zu jeder der fünf Grundkugeln sind  $\infty^2$  Kugeln orthogonal, die die  $Z$  doppelt berühren; deren Mittelpunkte erfüllen je eine  $F_2$ , eine „Leitfläche“ der  $Z$  (s. Nr. 21). Unter diesen  $\infty^2$  Kugeln befinden sich  $\infty^1$  Ebenen. Diese gehen durch das Zentrum der zugehörigen Grund-

52) *Moutard*, Nouv. Ann. (2) 3 (1864), p. 306, 536.

kugel und stehen senkrecht auf den Kanten des Asymptotenkegels der zugehörigen Leitfläche.

Die  $\infty^1$  Ebenen umhüllen daher je einen Kegel 2. Ordnung  $K_2$ ; das sind die fünf *Kummerschen* Kegel der  $Z$ .

Die  $\infty^1$  Ebenen, die die  $Z$  doppelt berühren, schneiden sie in Kreispaaen. So ergeben sich zehn Kreisscharen auf der  $Z$  (die aber nicht alle einteilig sind).

Die fünf Leitflächen der  $Z$  sind konfokal; deren Fokalkurven heißen die ebenen Fokalkurven der  $Z$ . Sie sind zugleich die Doppellinien der abwickelbaren Fläche, die der  $Z$  längs ihres Doppelkegelschnitts  $\bar{K}$  umschrieben ist.

Von den ebenen Fokalkurven der  $Z$  sind zu unterscheiden die sphärischen, in denen die Grundkugeln von den zugehörigen Leitflächen geschnitten werden. Die Punkte dieser Kurven lassen sich ansehen als Punktkugeln, die die  $Z$  doppelt berühren.

**24. Konfokale Zykliden.** Mit Hilfe der pentasphärischen Koordinaten  $s_i$  gelangt man mit *Darboux* (l. c.) auch leicht zum Begriff der konfokalen  $Z$ .

Die der Gleichung einer Schar konfokaler Mittelpunktsflächen 2. Ordnung nachgebildete Gleichung

$$(6) \quad \sum_i \frac{s_i^2}{\lambda - \alpha_i} = 0$$

mit dem Parameter  $\lambda$  liefert eine solche Schar konfokaler  $Z$ . Wie bei den  $F_2$  schneiden sich diese  $Z$  orthogonal, und von ihnen gehen drei durch jeden Raumpunkt. Sie bilden also ein „isothermes“ Flächensystem.

Es gilt auch dieses Analogon zu den  $F_2$ , daß jede  $Z$  der Schar (5) von den anderen in den Krümmungslinien — die also algebraische  $C$  sind — geschnitten werden (s. Nr. 29).

**25. Zykliden und Fokalflächen.** Die Zykliden  $Z$  haben ein doppeltes Analogon in Kurven, je nachdem letztere ebene oder aber doppelt gewundene sind. Im ersteren Falle werde das Zeichen  $\xi$ , im letzteren das Zeichen  $Z$  verwendet. Zusammen führen sie den Namen „Zykliden“; die Kenntnis ihrer Haupteigenschaften ist bei eingehender Untersuchung der  $Z$  unerlässlich. Auch hier ist *G. Darboux* (l. c.) als Hauptautor anzusehen.

Die  $Z$  sind die Schnittkurven einer Kugel mit einer  $F_2$ ; die  $\xi$  sind bizirkulare  $c_4$  mit zwei  $d_2$  in den beiden (konjugiert imaginären) Kreispunkten.

Eine  $Z$  läßt sich auf vier verschiedene Arten ansehen als Enveloppe von Kreisen, die einen festen Kreis auf einer gegebenen Kugel, den „Direktorkreis“, rechtwinklig schneiden und deren sphärische Zentra auf einem sphärischen Kegelschnitte, dem „Deferenten“, liegen. Diese Kreise werden auf der Kugel ausgeschnitten durch die Tangentialebenen je einer der vier, die  $Z$  enthaltenden Kegel 2. Ordnung.

Daher geht eine  $Z$  durch eine Inversion  $J$  wieder in eine solche über; wählt man im besonderen als  $J$ -Zentrum die Spitze eines jener Kegel und den  $J$ -Modul geeignet, so geht  $Z$  in sich über und heißt (s. oben) nach dem Vorgange von *Moutard* anallagmatisch.

Andererseits läßt sich  $Z$  auch durch passende  $J$  in einen sphärischen Kegelschnitt überführen.

Die vier Direktorkreise schneiden sich zu je zweien orthogonal, die vier Deferentenkegelschnitte sind konfokal.

Jede der vier Scharen doppelt berührender Kreise enthält vier Nullkreise (d. i. vom Radius Null); ihre Mittelpunkte sind die „Brennpunkte“ von  $Z$ , die Schnittpunkte je eines Paares von Direktorkreis und Deferent. Von diesen 16 Brennpunkten können aber nur vier reell sein. Zwischen den Abständen eines beliebigen Punktes von  $Z$  von drei Brennpunkten desselben Direktorkreises besteht eine lineare Relation.

Die Mittelpunkte der  $Z$  doppelt berührenden Nullkugeln durchlaufen die „Fokallinien“, selbst vier  $Z$ -Kurven, die auf vier Kugeln liegen, die orthogonal sind zur Urkugel.

Jede dieser Fokalkurven hat die drei anderen nebst  $Z$  zu Fokalkurven; es findet wieder eine gewisse Abstandsrelation statt.

Von den 16 Brennpunkten sind zwölf durch die vier anderen bestimmt. Durch jeden Punkt einer Kugel gehen zwei sich rechtwinklig durchsetzende  $Z$  mit gegebenen Brennpunkten.

Dies findet seine Anwendung auf die Zykliden  $Z$ . Hierbei sei bemerkt, daß die Eigenschaften der  $Z$  durch Spezialisierung aus der *Kummerschen* Fläche  $K_m$  (s. Abschn. XI), mit der sie projektiv verwandt sind, ableitbar sind. Indessen erfordert eine direkte Behandlung der  $Z$  einfachere Hilfsmittel, und man kann dann umgekehrt durch Verallgemeinerung zur  $K_m$  (wie auch zur allgemeinen  $F_3$ ) übergehen. Die Definition der  $Z$  bei *Darboux* ist die *Caseysche* (s. Nr. 22): Sie sind die Enveloppen von Kugeln  $K$ , die eine feste Grundkugel  $K_0$ , die „Direktrix“, orthogonal schneiden, während ihre Mittelpunkte auf einer festen  $F_2$ , der „Deferente“ (bei *Casey* „Fokal- $F_2$ “) liegen. Eine solche Erzeugung ist auf fünf Weisen möglich; die fünf Direktrizen bilden ein Orthogonalsystem und die fünf Deferenten ein konfokales.

Damit ergeben sich die weiteren Analogien mit den Zykliken: Die  $Z$  sind anallagmatisch und durch Inversion in  $F_2$  transformierbar; die Brennlilien sind fünf  $Z$ , in denen jede Direktrix die zugehörige Deferente schneidet, usf. Die Brennlilien führen zu den Systemen konfokaler  $Z$  (s. Nr. 24).

Bei der elementaren Behandlung der  $Z$  ist die Inversion  $J$  das Haupthilfsmittel. Eine tiefere Einsicht in die ganze Theorie der  $Z$  gewinnt man indessen durch passende projektive Verallgemeinerung der Inversion  $J$ . Man gehe von einer festen  $F_2$  aus und einem festen Punkte  $O$ . Irgendeinem Punkte  $A$  wird  $(1, 1)$ -deutig involutorisch ein anderer Punkt  $A'$  derart zugeordnet, daß sich in ihm die Gerade  $g = (A, O)$  mit der Polarebene  $\pi$  von  $A$  bzw.  $F_2$  trifft, oder auch, was auf dasselbe hinauskommt, daß  $A'$  auf  $g$  zu  $A$  harmonisch liegt in bezug auf die beiden Schnittpunkte von  $g$  mit  $F_2$ . Diese quadratische Verwandtschaft  $(A, A')$  ist die in Rede stehende verallgemeinerte Inversion  $J_0$ ; sie geht wieder in  $J$  über, wenn man im besonderen die  $F_2$  als Kugel mit dem Zentrum  $O$  wählt.

Diese  $J_0$  erweist sich als nützlich bei der Diskussion singulärer Fälle. Man beachte ferner, daß vermöge  $J_0$  jede  $K$  treffende Gerade  $k$  wieder in eine solche übergeht, wodurch sich die Betrachtung der Fokaleigenschaften der  $Z$  durchsichtiger gestaltet u. a. m. Hierbei wird der Begriff der abwickelbaren „Fokalfläche“ von Bedeutung, der sich allgemein für eine beliebige Grundfläche  $F$  aufstellen läßt.

Die Erzeugenden  $h$  dieser (nullteiligen) Fokalfläche treffen  $K$  und berühren  $F$ .

Dies gilt auch, wenn man an Stelle der Grundfläche  $F$  eine Grundkurve  $C$  setzt. Die Erzeugenden der abwickelbaren Fokalfläche treffen  $K$  und  $C$ . Die Doppelkurven dieser Fläche sind in beiden Fällen die „Fokalkurven“; jeder Punkt einer solchen ist ein „Brennpunkt“ von  $F$  resp.  $C$ .

Die Rückkehrkurve einer Fokalfläche ist eine „Minimalkurve“, für die jeder Bogen die Länge Null hat.

Die Normalen der Fokalfläche fallen mit den Erzeugenden zusammen, so daß jede Kurve auf der Fokalfläche als eine Krümmungslinie anzusehen ist. Da die Fokalfläche einer Urfläche  $F$  diese selbst längs einer Kurve berührt, so ist diese eine Krümmungslinie von  $F$ , der Schnitt von  $F$  mit der unendlich benachbarten konfokalen Fläche.

Durch Inversion geht die Fokalfläche einer Fläche in die der transformierten Fläche über. Hieran reiht sich noch eine große Reihe von Nebenbetrachtungen und Verallgemeinerungen, auf die hier nicht eingegangen werden kann.

**26. Transzendente Darstellung der Zykliden nach Domsch.** Die Zykliden gehören zu den Gattungen von Flächen, deren Punkte sich explizite durch hyperelliptische Funktionen von zwei Variablen darstellen lassen. Das nämliche gilt auch von den  $F_4$  mit  $\bar{C}_2$  überhaupt (s. oben), der *Weddleschen* Fläche und der *Kummerschen* Fläche (Abschn. XI), von dem System konfokaler  $F_2$  und anderen Gebilden. Vorab sei bemerkt, daß sich die Entwicklungen von *Domsch*<sup>53)</sup> vermöge einer geeigneten Kollineation auf die  $F_4$  mit beliebiger irreduzibler ein- oder nullteiliger  $\bar{C}_2$  direkt übertragen lassen.

Man kann auf zwei Wegen zu der gewünschten transzendenten Darstellung gelangen.

Entweder direkt, wobei man sich zweckmäßig pentasphärischer Koordinaten bedient.

Oder aber indirekt, indem man davon ausgeht, daß die  $F_2$  — wie auch die *Kummersche*  $F_4$  — vermöge gewisser Transformationen in Zykliden  $Z$  überführbar sind und dann die als bekannt angesehenen Darstellungen der ersteren Fläche auf die  $Z$  überträgt.

*Domsch* schlägt diesen zweiten Weg ein, der den Vorzug größerer Anschaulichkeit besitzt. Vorab wird die Transformation eingehend untersucht, die ein System konfokaler  $F_2$  in ein solches konfokaler  $Z$  überführt. Sei  $K$  eine feste Kugel,  $P$  ein beliebiger Punkt und  $\pi$  die Polarebene von  $P$  bez.  $K$ . Diese Ebene  $\pi$  läßt sich als Kugel mit unendlich großem Radius auffassen. Man bestimme dann in dem Kugelbüschel  $(K, \pi)$  die beiden Punktkugeln (sc. vom Radius Null) mit den Mittelpunkten  $P_1, P_2$ . Damit ist eine  $(1, 2)$ -deutige Korrespondenz  $C$  zwischen den Punkten  $P$  und den Punktepaaren  $P_1, P_2$  festgelegt, die die Grundlage des Ganzen bildet. Mit Hilfe der  $C$  lassen sich einmal die gestaltlichen Verhältnisse der  $Z$  verfolgen, andererseits die *Darboux'schen* Entwicklungen (s. Nr. 23), die auf der Anwendung der hyperelliptischen Funktionen auf ein System konfokaler  $F_2$  beruhen, auf die  $Z$  übertragen.

Hierbei entsprechen den gemeinsamen Tangenten zweier konfokaler  $F_2$  die gemeinsamen, doppelt berührenden Kreise zweier konfokaler  $Z$ . Nunmehr wird die klassische *Liesche* Transformation<sup>1)</sup>  $T_i$  des Geradenraumes in den Kugelraum herangezogen. Vermöge dieser  $T_i$  läßt sich die *Kummersche* Fläche  $K_m$  (s. Nr. 71) auf die  $Z$  abbilden. Damit geht aber auch die Verteilung hyperelliptischer Parameter auf  $K_m$  in eine entsprechende auf  $Z$  über. Hierbei spielen auch Kurven

53) *P. Domsch*, Dissert. Leipzig 1885 = Arch. Math. Phys. (2) 1, p. 193; 2, p. 225.

eine Rolle, die durch gewisse, zwischen jenen Parametern festgesetzte Beziehungen bestimmt werden.

Entsprechend den drei verschiedenen Parameterverteilungen auf  $K_m$  (s. Nr. 71) ergeben sich ebensoviele auf  $Z$ . Die Art der gewonnenen Ergebnisse sei durch ein Beispiel illustriert.

Die 16, gleich Null gesetzten  $\Theta$ -Funktionen liefern auf  $Z$  entweder 5  $C_4$ , eine  $C_8$  und 10  $C_{16}$ , oder 4  $C_8$  und 12  $C_4$ , oder endlich 16  $g$ , deren jede  $K$  trifft.

Diese drei Fälle entsprechen gerade den obigen drei Parameterverteilungen.

Es folgen noch einige weitere Anwendungen auf die  $K_m$ . Führt man die beiden oben erwähnten Transformationen hintereinander aus, so erhält man eine solche, die ein System konfokaler  $F_2$  direkt in ein gewisses System von  $K_m$  überführt. So gelangt man u. a. zu Schließungssätzen, wo an Stelle eines Polygons eine geschlossene Reihe von Hyperboloidstücken tritt.

27. Die Dupinsche Zyklide. *Ch. Dupin*<sup>54)</sup> gelangte zu dieser Fläche mit 4  $D_3$ , als er die Flächen bestimmte, deren Krümmungslinien Kreise sind (s. auch bei *Kummer*, Nr. 7). Die  $Z_0$  ist erzeugbar als umhüllt durch die Kugeln, die drei gegebene Kugeln berühren. Sie werden aber zugleich von unendlich vielen Kugeln einer zweiten Schar berührt, so daß die  $Z_0$  von zwei Kugelscharen umhüllt wird. Die Berührungskreise bilden auf  $Z_0$  zwei orthogonale Kreisscharen, eben die Krümmungslinien.

Jede der beiden Kugelscharen ist in einem Kugelnetz enthalten. Es ist jeweils die Potenzachse des einen Netzes die Ähnlichkeitsachse der anderen Kugelschar.

Diese beiden (windschiefen) Achsen stehen aufeinander senkrecht, und die beiden Ebenen, die je durch eine Achse senkrecht zur anderen gelegt werden, sind Symmetrieebenen der  $Z_0$ .

Liegen im besonderen beide auf der  $Z_0$ , so reduziert sich diese auf eine (zirkulare)  $F_3$  (s. Art. „ $F_3$ “, Nr. 16). Dann ist in jeder der beiden Kugelscharen eine einzige Ebene enthalten, die von den Kugeln der anderen Schar in den Punkten einer der beiden Achsen berührt wird.

Im allgemeinen Falle dagegen sind in der einen Kugelschar zwei reelle, in der anderen zwei imaginäre Ebenen enthalten, die sich je

54) *Ch. Dupin*, Applications de Géom. Paris 1822. Bezüglich weiterer Literatur sei einmal auf Note 48) hingewiesen, sodann auf: *A. Mannheim*, Nouv. Ann. 19 (1860), p. 67; *Moutard*, ib. (2) 3 (1864), p. 306, 536; *A. Enneper*, Ztschr. Math. Phys. 14 (1869), p. 393; *H. Lemonnier*, Nouv. Ann. (2) 9 (1870), p. 514.

in einer der beiden Achsen schneiden. Diese vier singulären Tangentialebenen, die die  $Z_0$  in Kreisen berühren, treten an die Stelle von vier der fünf *Kummerschen Kegel*. Der fünfte dagegen bleibt erhalten und liefert zwei weitere Kreisscharen auf der  $Z_0$  (s. Nr. 9).

*Cl. Maxwell*<sup>55)</sup> hat die Gestalten der  $Z_0$  verfolgt und durch stereoskopische Zeichnungen wiedergegeben. Falls die  $Z_0$  zwei reelle  $D_2$  aufweist, bieten sich zwei Typen dar:

1. die *Hornzyklide*; sie setzt sich aus zwei, in den  $D_2$  zusammenstoßenden Hörnern zusammen;

2. die *Spindelzyklide*; sie besteht aus zwei Schalen, die eine spindelförmig, die andere melonenförmig und die erstere umschließend.

Zwei Sondertypen von  $Z_0$  entstehen, wenn die beiden  $D_2$  koinzidieren.

Alle diese  $Z_0$  gehen aus einem Rotationskegel (resp. Rotationszylinder) durch Inversion hervor und sind daher einfach diskutierbar. Hat aber die  $Z_0$  keine reellen  $D_2$ , so ist sie eine *Ringzyklide*; ein Sondertypus ist der Kreisring (Torus).

Wählt man die beiden Symmetrieebenen als  $z = 0$ ,  $y = 0$ , so nimmt, für  $\rho^2 = x^2 + y^2 + z^2$  und  $a, b, c, d$  als vier Parameter, die Gleichung der  $Z_0$  die Gestalt an

$$(1) \quad Z_0 \equiv \rho^4 - \sum a \cdot x \rho^2 + \sum ab \cdot \rho^2 - (a + b)(c + d)y^2 \\ - (b + c)(a + d)z^2 - \sum abc \cdot x + abcd = 0.$$

**28. Fokalkurven und Abstandsrelationen.** Wir kommen jetzt zu den „Fokalkurven“ der  $Z_0$ ; sie sind der Ort der Zentren der beiden Kugelscharen in ihren Symmetrieebenen. Das ist, wie bei den konfokalen  $F_2$ , eine Ellipse und Hyperbel, wo jede durch die Brennpunkte der anderen geht.

Die Kegel, die von den Punkten je der einen Fokalkurve die andere projizieren, sind Rotationskegel, die die Krümmungskreise der  $Z_0$  enthalten.

Zwischen den Abständen, die von den beiden Brennpunktpaaren —  $F, F_1$  auf der Hyperbel,  $F', F'_1$  der Ellipse — der Fokalkurven, und zwei laufenden Punkten der letzteren —  $Q$  auf der Hyperbel,  $R$  auf der Ellipse — bestimmt werden, bestehen einfache Relationen. Zunächst hat man die elementarbekannten Beziehungen

$$(2) \quad FQ - F_1Q = \text{konst.}, \quad F'R + F'_1R = \text{konst.}$$

<sup>55)</sup> *Cl. Maxwell*, Quart. J. 9 (1868), p. 111. Vgl. auch die Darstellung bei *F. Klein*, Vorlesungen über höhere Geometrie, Göttingen (autographiert) 1893; 3. Aufl., herausg. von *W. Blaschke*, Berlin 1926, § 13.

Sodann gilt

$$(3) \quad QR - FQ - RF' = \text{konst.}$$

Man nehme weiter auf der Geraden ( $QR$ ) den Punkt  $P$  so an, daß stets

$$(4) \quad PQ - FQ = \text{konst.},$$

dann ist auch

$$(5) \quad PR - RF' = \text{konst.},$$

oder auch

$$(5') \quad PR + RF'_1 = \text{konst.}$$

Damit hat man eine elementare Konstruktion der  $Z_0$ , die vom Punkte  $P$  erfüllt wird, und zwar so, daß ( $PQ$ ) die Normale der  $Z_0$  in  $P$  liefert.

Läßt man also die obigen Konstanten variieren, so erhält man eine Schar paralleler  $Z_0$ . Man erhält deren Gleichung unmittelbar aus (1), wenn man die  $a, b, c, d$  ersetzt durch  $a + \lambda, b - \lambda, c + \lambda, d - \lambda$ .

**29. Die Krümmungslinien auf den Zykliden  $Z$ .** Wie in Nr. 25 betont, sind nach *G. Darboux*<sup>56)</sup> die Krümmungslinien auf einer Zyklide  $Z$  deren Schnitte mit den konfokalen Zykliden.

Da sich zwei bizirkuläre  $c_4$  — indem sie in zwei festen Punkten (den Kreispunkten)  $d_2$  besitzen — noch in acht beweglichen Punkten treffen, so haben zwei Zykliden, außer dem doppelt zählenden Kugelkreise  $K$ , noch eine  $C_8$  als Restschnittkurve gemein. Somit sind die Krümmungslinien auf einer  $Z$  gewisse  $C_8$ , die daraufhin genauer untersucht werden. Eine tiefere Einsicht in deren Eigenschaften erhält man aber mit *Darboux* (l. c.), wenn man sich, ähnlich wie bei der Inversion (s. Nr. 25), einer geeigneten projektiven Verallgemeinerung bedient.

Die gewöhnliche Normale  $n$  einer Fläche  $F$  in einem Punkte  $P$ , mit der Tangentialebene  $T$ , läßt sich im projektiven Sinne charakterisieren als diejenige durch  $P$  laufende Gerade, die zu  $T$  bezüglich des Kugelkreises  $K$  — aufgefaßt als eine ausgeartete  $\Phi_2$  — konjugiert ist.

Ersetzt man hier  $K$  durch eine beliebige aber fest gewählte „absolute“ Fläche  $\Phi_2$ , so tritt an Stelle von  $n$  die „verallgemeinerte“ Normale  $n'$ , und entsprechend an Stelle der gewöhnlichen Krümmungslinien  $C$  die „verallgemeinerten“  $C'$ ; als Ort der bei Variieren von  $P$  auf  $F$  entstehenden Treffpunkte benachbarter  $n'$ . Wählt man im besonderen im Falle einer Zyklide  $Z$  (oder auch allgemeiner einer  $F_4$

56) Vgl. weiter *G. Darboux*, Paris C. R. 92 (1881), p. 29.

mit  $\bar{C}_2$ ) die Fläche  $\Phi_2$  als eine der  $Z$  eingeschriebene, so gehen die Kurven  $C'$  über in die „Darboux'schen Krümmungslinien“  $C''$  auf  $Z$ .

Ihre Behandlung basiert auf der Diskussion ihrer Differentialgleichung, falls man als Variable die Linienkoordinaten der verallgemeinerten Normale verwendet (s. Nr. 73).

*G. Humbert*<sup>57)</sup> hat den Zusammenhang zwischen den Darboux'schen Krümmungslinien  $C''$  auf  $Z$  mit den eingeschriebenen  $\Phi_2$  genauer verfolgt und das bemerkenswerte Ergebnis abgeleitet, daß jene  $C''$  von der Auswahl der einzelnen eingeschriebenen  $\Phi_2$  ganz unabhängig sind.

### V. $F_4$ mit einer Doppelgeraden $\bar{g}$ .

**30. Einleitung.** Diese Art von  $F_4$  schließt sich an die mit  $\bar{C}_2$  an. Sie treten schon bei *Kummer* auf (Nr. 7) als solche, die von  $\infty^1$  Ebenen — nämlich den Ebenen durch die  $\bar{g}$  — in  $C_2$  geschnitten werden.

*A. Clebsch*<sup>58)</sup> hat diese  $F_4$  dann eingehender behandelt und *M. Noether*<sup>59)</sup> einige Ergänzungen dazu gegeben. *Kummer* gibt die durchsichtige Gleichungsform

$$(1) \quad F_4 \equiv x_i^2 \varphi + 2x_i x_k \psi + x_k^2 \chi = 0,$$

wo  $\varphi, \psi, \chi$  beliebige quadratische Formen sind; die  $\bar{g}$  ist: ( $x_i = 0, x_k = 0$ ).

Zunächst treten in (1)  $3 \cdot 10 = 30$  Koeffizienten auf; es ist aber leicht zu sehen, daß unter den zugehörigen Potenzprodukten der  $x$  sechs zweimal vorkommen und eines ( $x_i^2 x_k^2$ ) dreimal. Die Anzahl der untereinander verschiedenen Potenzprodukte reduziert sich somit auf 22. Man hat daher:

„Eine  $F_4$  mit vorgegebener  $\bar{g}$  erfordert 13 Bedingungen, bei unbestimmt gelassener  $\bar{g}$  nur 9.“

Jene 13 Bedingungen sagen eben aus, daß gewisse 13 Potenzpunkte der  $x$  in der Gleichung der  $F_4$  wegfallen.

Jeder Punkt  $P'$  ( $0, 0, x'_i, x'_m$ ) auf  $\bar{g}$  ist ein  $D_2$  der  $F_4$ . Es läßt sich das auch algebraisch bestätigen, indem alle vier Ableitungen der Form  $F_4$  (1) für einen solchen Punkt  $P'$ , d. i. für  $x_i = x_k = 0$ , verschwinden. Denn diese Ableitungen enthalten immer nur solche Glieder, die entweder durch  $x_i$  oder durch  $x_k$  teilbar sind.

57) *G. Humbert*, J. Éc. Pol. 55 (1885), p. 127.

58) *A. Clebsch*, Math. Ann. 1 (1868), p. 260; vgl. *G. Darboux*, Bull. math. astr. 3 (1872), p. 221, 251, 281.

59) *M. Noether*, Math. Ann. 3 (1870), p. 101, 175; 4 (1871), p. 547.

**31. Vorstufen zu einer  $F_4$  mit  $\bar{g}$ .** Es ist nützlich, die  $F_4$  (1) mit einer  $\bar{g}$  allmählich entstehen zu lassen. Man gehe aus von einer  $F_4$ , die zwei reelle  $D_2$ <sup>60</sup>), etwa in  $A_i$  und  $A_m$ , besitzt. Dann müssen die acht Potenzprodukte  $x_i^4, x_m^4, x_i^3x_i, x_i^3x_k, x_i^3x_m, x_m^3x_i, x_m^3x_k, x_m^3x_l$  wegfallen. Mithin treten umgekehrt außer den in (1) angegebenen Gliedern noch die folgenden fünf auf

$$x_i^2x_m^2, x_i^2x_ix_m, x_i^2x_kx_m, x_m^2x_ix_l, x_m^2x_kx_l,$$

so daß, wie es sein muß, eine  $F_4$  mit zwei gegebenen  $D_2$  von 26 Konstanten abhängt.

Legt man einer solchen  $F_4$  mit zwei  $D_2$  die weitere Bedingung auf, irgendeinen dritten Punkt  $P'$  der Geraden  $g$  ( $x_i = x_k = 0$ ) zu enthalten und damit diese selbst, so erfordert dies das Wegfallen des Gliedes  $x_i^2x_m^2$ , so daß noch die vier Produkte  $x_i^2x_ix_m, x_i^2x_kx_m, x_m^2x_ix_l, x_m^2x_kx_l$  verbleiben. Versteht man daher unter  $A$  ein beliebiges lineares Aggregat derselben

$$(2) \quad A = a_{im}x_i^2x_ix_m + a_{km}x_i^2x_kx_m + a_{il}x_m^2x_ix_l + a_{kl}x_m^2x_kx_l,$$

so nimmt die Gleichung der  $F_4$ , die die Gerade  $g$  enthält und auf ihr zwei  $D_2$ , in  $A_i, A_m$ , die Gestalt an

$$(3) \quad F_4 \equiv x_i^2\varphi + 2x_ix_k\psi + x_k^2\chi + A = 0.$$

Weiter verlange man, daß diese  $F_4$  in irgendeinem dritten Punkt  $P'$  ( $0, 0, x'_i, x'_m$ ) auf  $g$  einen  $D_2$  besitze.

Es müssen dann wiederum für  $P'$  alle vier Ableitungen der Form  $F_4$  (3), oder auch, was genügt, der Form  $A$  verschwinden. Sei  $A_r$  die die Ableitung von  $A$  nach  $x_r$ . Dann verschwinden  $A_i$  und  $A_m$  von selbst für  $x_i = x_k = 0$ . Es treten also die beiden Bedingungen hinzu

$$(4) \quad \begin{cases} A_i \equiv a_{im}x'_i + a_{il}x'_m = 0, \\ A_k \equiv a_{km}x'_i + a_{kl}x'_m = 0. \end{cases}$$

Somit darf man setzen, unter  $\varrho, \sigma$  willkürliche Parameter verstanden,

$$(5) \quad \begin{cases} a_{im} = \varrho x'_m, & a_{il} = -\varrho x'_i, \\ a_{km} = \sigma x'_m, & a_{kl} = -\sigma x'_i. \end{cases}$$

Damit nimmt  $A$  die spezifische Gestalt an

$$(6) \quad \begin{aligned} A &\equiv x_ix_m \{ \varrho x'_m x_ix_i + \sigma x'_m x_ix_k - \varrho x'_i x_mx_i - \sigma x'_i x_mx_k \} \\ &\equiv x_ix_m (x_ix'_m - x'_ix_m) (\varrho x_i + \sigma x_k). \end{aligned}$$

Nunmehr schneide man die  $F_4$  (3) mit irgendeiner Ebene  $E_r$  durch  $g$

$$(7) \quad x_i = \tau x_k.$$

<sup>60</sup> Über die verschiedenen Formen eines  $D_2$  und ihre gegenseitige Überführung s. *K. Rohn*, *Math. Ann.* 22 (1883), p. 124.

Solange die  $F_4$  auf  $g$  nur zwei  $D_2$  (in  $A_i, A_m$ ) besitzt, ist der Schnitt mit  $E_\tau$  eine  $c_4$  mit  $d_2$  in  $A_m$  und  $A_i$ , deren Gleichung (oder vielmehr die ihrer Projektion von  $A_i$  auf die Ebene  $x_i = 0$ ) durch Einsetzung von (7) in die Gleichung der  $F_4$  erhalten wird.

Enthält die  $F_4$  die Gerade  $g$ , wie in (3), so spaltet sich in  $c_4$  der Faktor  $x_k$  ab, d. h. die  $c_4$  zerfällt in  $g$  und eine  $c_3$ , die durch  $A_i, A_m$  geht und  $g$  noch in einem dritten, mit dem Parameter  $\tau$  in (7) variierenden Punkte  $P(\tau)$  trifft. Gemäß (6) ist die Gleichung dieser  $c_3$  von der Gestalt

$$(8) \quad c_3 \equiv x_k \varphi_2(x_k, x_i, x_m) + x_i x_m (\tau \varrho + \sigma)(x_i x'_m - x_m x'_i) = 0.$$

Dann und nur dann, wenn dieser Restpunkt  $P(\tau)$  fest ist, d. i. mit  $P'(0, 0, x'_i, x'_m)$  zusammenfällt, besitzt, wie (6) lehrt, die  $F_4$  einen dritten  $D_2$  in  $P'$ . Auf einer Geraden  $g$  einer  $F_4$  können also drei  $D_2$  liegen, ohne daß damit schon  $g$  zu einer Doppelgeraden  $\bar{g}$  würde.

Die Forderung eines vierten  $D_2$  aber auf  $g$ , oder, was auf dasselbe hinauskommt, die Forderung, daß sich von der  $c_3$  abermals die Gerade  $g$  absplattet, ist algebraisch damit gleichwertig, daß die Gleichung

$$(9) \quad \tau \varrho + \sigma = 0$$

in  $\tau$  identisch erfüllt ist. Dann aber verschwinden  $\varrho$  und  $\sigma$  einzeln, und man gelangt von (3) zu (1) zurück.

**32. Die 16 Geraden auf der Fläche.** Man schneide jetzt auch die  $F_4$  (1) mit einer beliebigen Ebene  $E_\tau = E(\tau)$  des Büschels (7). Eine solche  $E_\tau$  schneidet aus der  $F_4$  noch eine  $C_2$  aus mit der Gleichungsform

$$(10) \quad c_2(x_k, x_i, x_m) \equiv \sum \sum a_{rs} x_r x_s = 0.$$

Auf der  $F_4$  existiert also, wie schon *Kummer* (s. Nr. 7) angab, eine  $\infty^1$ -Schar von  $C_2$ , die von dem Ebenenbüschel mit der Achse  $g$  ausgeschnitten wird. Unter diesen  $C_2$  befindet sich eine endliche Anzahl solcher, die in ein Geradenpaar zerfallen. Für solche muß die Determinante  $D(\tau)$  der Form  $c_2$  (10) verschwinden. Fügt man jedem Koeffizienten  $a_{rs}$  seinen Grad in  $\tau$  in Klammer bei, so wird die Gleichung  $D(\tau) = 0$

$$(11) \quad D(\tau) \equiv \begin{vmatrix} a_{kk} (2), & a_{kl} (3), & a_{km} (3) \\ a_{kl} (3), & a_{ll} (2), & a_{lm} (2) \\ a_{km} (3), & a_{lm} (2), & a_{mm} (2) \end{vmatrix} = 0.^{61)}$$

Da die linke Seite den Grad 8 in  $\tau$  erhält, so gilt der Satz:

„Auf einer  $F_4$  mit  $\bar{g}$  befinden sich 16 Gerade  $g$ , die sich in acht,

61) Eine übersichtlichere Ableitung der Gleichung (11) findet sich bei *W. Fr. Meyer*, *Giorn. di mat.* 67 (1930), p. 1.

jeweils mit  $\bar{g}$  inzidente Paare zerlegen. Je zwei  $g$ , die verschiedenen Ebenen angehören, sind windschief.“

Ist umgekehrt  $g$  irgendeine Gerade auf der  $F_4$ , die die  $\bar{g}$  treffen muß, so schneidet die Ebene  $(g, \bar{g})$  die zugehörige Inzidenzgerade aus.

**33. Abbildung der Fläche auf eine Ebene.** Wir kommen zur Abbildung der  $F_4$  (1) mit  $\bar{g}$  auf eine Ebene.

Da jede  $E$  aus der  $F_4$  eine  $c_4$  mit einem  $d_2$  (auf  $\bar{g}$ ), also vom Geschlecht 2, ausschneidet, so müssen auch die  $c$  des Abbildungsgebüsches  $G$  solche vom Geschlecht 2 sein, und je zwei solche  $c$  müssen sich in vier variierenden Restpunkten treffen.

Diesen Bedingungen genügt nach Clebsch<sup>58</sup>) ein  $c_4$ -Gebüsch  $G$  mit neun Grundpunkten, von denen einer,  $A_0$ , ein  $d_2$  ist, während die acht übrigen  $A_i, \dots, A_r$  einfache Punkte  $d_1$  sind. Die acht Grundpunkte  $A_i, \dots, A_r$  sind die Bilder von acht windschiefen  $g$  ( $= a_i, \dots, a_r$ ) der  $F_4$ .

Andererseits liefern die acht Verbindungsgeraden von  $A_0$  mit irgendeinem der  $A$  ( $A_0, A_i$ ) ( $t = i, \dots, r$ )  $= c_{0i}$  die acht weiteren  $g$  der  $F_4$ . Je ein Paar  $(a_i, c_{0i})$  ist ein Inzidenzpaar.

Eine Gerade  $c_{0i}$  ergänzt sich mittels der durch alle 9 Fundamentalpunkte gehenden  $c_3$ , die mit  $c_3'$  bezeichnet sei, zu einer  $c_4$  in  $G$ . Andererseits bildet diese  $c_3'$  aber auch zu jeder beliebigen Geraden  $c_1^{(0)}$  durch  $A_0$  die Ergänzung zu einer  $c_4$  in  $G$ .

Somit ist die  $c_3'$  das Bild der  $\bar{g}$ , derart, daß irgendeinem Punkte  $P$  auf  $\bar{g}$  zwei mit einem  $A_0$  inzidente Punkte  $Q, Q'$  auf  $c_3'$  entsprechen und umgekehrt.

**34. Die Kegelschnitte auf der Fläche.** Die Bilder der  $c_1$  ( $A_0$ ) auf der  $F_4$  sind die  $\infty^1 C_2$ , die von den Ebenen des Büschels ( $\bar{g}$ ) ausgeschnitten werden. Es ist dies aber auch die einzige stetige Schar von  $C_2$  auf  $F_4$ , da eine stetige Schar von  $c_4$  in  $G$  nicht anders zerfallen kann als wie oben angegeben.

Im besonderen befinden sich unter diesen  $\infty^1 C_2$  die acht Inzidenzpaare von  $g$ . Indessen existiert auf der  $F_4$  noch eine endliche Anzahl von  $C_2 = C_2'$  anderen Charakters.

Man entnimmt der Abbildung, daß es drei Arten von Bildern solcher  $C_2'$  gibt. Erstens:

a) Die 28 Geraden  $c_{ik} = (A_i, A_k)$ .

Diese ergänzen sich jeweils zu einer  $c_4$  in  $G$  vermöge der „komplementären“:

α') 28  $r_3^{(i,k)}$ , mit  $d_2$  in  $A_0$ , und  $d_1$  in den 6 übrigen  $A_i, \dots, A_r$ .

Je ein solches Paar  $(c_{ik}, r_3^{(i,k)})$  ist das Bild von zwei koplanaren  $C_2'$  der  $F_4$ . Von deren vier gemeinsamen Punkten liegt einer auf  $\bar{g}$ .

In der Bildebene trifft  $c_{ik}$  die  $c_3'$  in einem Restpunkte  $C_{ik}$ , dessen Verbindungsgerade mit  $A_0$  einen weiteren Restpunkt  $C'_{ik}$  liefert.

Dann ist das Paar  $(C_{ik}, C'_{ik})$  das Bild des auf  $\bar{g}$  gelegenen Schnittpunktes der beiden  $C_2'$ .

Andererseits treffen sich  $c_{ik}$  und  $r_3^{(i,k)}$  in drei Punkten, den Bildern der drei weiteren Schnittpunkte beider  $C_2'$ .

Als weitere Bilder von  $C_2'$  auf  $F_4$  hat man:

$\beta)$  Die  $c_2 = c_2^{(i,k,l,m)}$  durch  $A_0$  und vier der Grundpunkte  $A: A_i, \dots, A_m$ .

Eine solche  $c_2^{(i,k,l,m)}$  ergänzt sich mit der „komplementären“  $c_2^{(n,p,q,r)}$  durch  $A_0$  und die vier übrigen  $A$  zu einer  $c_4$  in  $G$ .

Auch jedes solche  $c_2$ -Paar ( $\beta$ ) ist das Bild von zwei koplanaren  $C_2'$  der  $F_4$ . Die  $c_3'$  trifft die  $c_2^{(i,k,l,m)}$  in einem Restpunkte  $C^{(i,k,l,m)}$ , dessen Verbindungsgerade mit  $A_0$  einen weiteren Restpunkt  $C'^{(i,k,l,m)}$  ausschneidet. Das nämliche Paar  $C, C'$  ergibt sich für die komplementäre  $c_2^{(n,p,q,r)}$  und liefert das Bild des auf  $\bar{g}$  gelegenen Schnittpunktes der beiden  $C_2'$ , während deren drei übrige Schnittpunkte den (außer  $A_0$ ) gemeinsamen Punkten der  $c_2^{(i,k,l,m)}$  und  $c_2^{(n,p,q,r)}$  entsprechen.

Nun gibt es  $\binom{8}{4} = 70$  Arten, wie man aus 8 Elementen  $i, \dots, r$  4 herausgreifen kann, die sich in 35 Paare vom Typus  $(i, k, l, m)$ ,  $(n, p, q, r)$  zerlegen.

Damit ist man zu  $70 = 2 \cdot 35$  weiteren  $C_2'$  ( $\beta$ ) auf  $F_4$  gelangt. Hiermit sind zugleich alle Möglichkeiten erschöpft, wie eine  $c_4$  in  $G$  zerfallen kann.

Es gibt aber in  $G$  noch eine ausgezeichnete rationale  $c_4 = r_4'$  mit  $d_3$  in  $A_0$ , und  $d_1$  in den acht übrigen  $A$ .

Auch diese  $r_4'$  wird von einer beliebigen  $c_4$  in  $G$  in zwei variierenden Restpunkten getroffen, ist also das Bild einer weiteren  $C_2'$  ( $\gamma$ ) auf  $F_4$ .

Das Bild der koplanaren  $C_2'$  ist ersichtlich der Punkt  $A_0$  selbst.

Die  $c_3'$  trifft die  $r_4'$  in einem Restpunkte  $C_0$ , während der Restschnittpunkt der Geraden  $(A_0, C_0)$  mit  $c_3'$  in  $A_0$  selbst fällt, so daß  $(A_0, C_0)$  die Tangente der  $c_3'$  in  $A_0$  ist.

Eben dieses Paar  $(A_0, C_0)$  ist das Bild des auf  $\bar{g}$  gelegenen Schnittpunktes beider  $C_2'$  ( $\gamma$ ). Die drei Tangenten der  $r_4'$  in  $d_3$  ( $A_0$ ) entsprechen den drei weiteren Schnittpunkten beider  $C_2'$ .

Faßt man zusammen, so hat man den Satz:

„Auf einer  $F_4$  mit  $\bar{g}$  existieren außer der früheren stetigen  $\infty^1$ -Schar von  $C_2$  noch  $2 \cdot 28 + 2 \cdot 35 + 2 \cdot 1 = 2 \cdot 64 = 128$  einzelne Kegelschnitte  $C_2'$ , die sich in 64 Paaren koplanarer anordnen. Diese

64 Paare zerlegen sich in drei Arten gemäß den jeweils komplementären Bildern:

- $$\left\{ \begin{array}{l} \alpha) \text{ Die 28 Geraden } c_{ik} = (A_i, A_k), \\ \alpha') \text{ die komplementären 28 } r_3^{(i,k)} \text{ mit } d_2 \text{ in } A_0 \text{ und } d_1 \text{ in den} \\ \text{sechs übrigen } A_1, \dots, A_r; \\ \beta) \text{ die } c_2 = c_2^{(i,k,l,m)} \text{ durch } A_0 \text{ und irgend vier der } A, \text{ etwa} \\ A_i, \dots, A_m, \\ \beta') \text{ die komplementären } c_2^{(n,p,q,r)} \text{ durch } A_0 \text{ und die vier übrigen } A; \\ \gamma) \text{ die } c_4 = r_4' \text{ mit } d_3 \text{ in } A_0 \text{ und } d_1 \text{ in den acht übrigen } A, \\ \gamma') \text{ der Punkt } A \text{ selbst.} \end{array} \right.$$

Aus der Abbildung läßt sich aber auch entnehmen, welche der 16  $g$  von irgendeiner der 128  $C_2'$  getroffen werden, sowie die gegenseitigen Schnittverhältnisse von  $C_2'$  verschiedener Arten.

Wir begnügen uns mit der Anführung einiger Ergebnisse.

Je sieben windschiefe  $g$  der  $F_4$  werden zusammen mit  $\bar{g}$  von einer  $C_2'$  auf  $F_4$  getroffen, die noch einer achten  $g$  begegnet.

Auch so gelangt man zu den 128  $C_2'$ , die zu je zweien in 64 dreimal berührenden Ebenen  $\bar{T}$  liegen. Je zwei solche koplanare  $C_2'$  treffen zusammen alle 16  $g$ .

Jede der 128  $C_2'$  wird von 28 anderen doppelt geschnitten, mit denen zusammen sie dieselben zwei  $g$  trifft; von 70 anderen  $C_2'$  einfach, mit denen zusammen sie dieselben 4  $g$  trifft; endlich von 28  $C_2'$  gar nicht, mit denen zusammen sie dieselben 6  $g$  trifft.

**35. Die vier Kuspidalpunkte der  $F_4$  mit  $\bar{g}$ . Die  $F_4$  mit einer Kuspidalgeraden.** Unter den möglichen Spezialfällen der  $F_4$  mit  $\bar{g}$  ist bemerkenswert der, wo die  $\bar{g}$  zu einer Rückkehrkante (Kuspidalgeraden) wird. Während die  $F_4$  mit  $\bar{g}$  im allgemeinen eine  $\Phi_{20}$  ist, reduziert sie sich im vorliegenden Falle auf eine  $\Phi_{12}$ .

Vorab sei darauf hingewiesen, daß eine  $F_4$  mit  $\bar{g}$  im allgemeinen vier Kuspidalpunkte besitzt.

Um sie zu bestimmen, entwickle man in der Gleichung (1) die drei quadratischen Formen  $\varphi, \psi, \chi$  nach  $x_i$  und  $x_m$ , also etwa für  $\varphi$

$$(12) \quad \varphi \equiv a_{ii} x_i^2 + 2b_{ii} x_i x_m + c_{ii} x_m^2 + l_{ii} x_i + m_{ii} x_m + q_{ii},$$

wo die  $a, b, c$  Konstante sind, die  $l, m$  lineare Formen in  $x_i, x_k$  und die  $q$  eine quadratische in  $x_i, x_k$ .

Man bediene sich eines beweglichen Koordinatensystems derart, daß drei Ecken  $A_m, A_i, A_k$  desselben festbleiben, während die vierte Ecke  $A_l$  (des früheren festen Systems) durch einen variierenden Punkt  $A_l'$  (0, 0, 1,  $\mu$ ) auf der Kante  $(A_l, A_m)$  ersetzt wird.

Die zugehörige Koordinatentransformation lautet

$$(13) \quad x_i : x_k : x_l : x_m = x'_i : x'_k : x'_l : x'_m \mu - x_m.$$

Dies setze man in (12) ein und ordne nach  $x'_i$ , so kommt, wenn man nur auf das Glied mit  $x'_i{}^2$  achtet,

$$(12') \quad \varphi' \equiv x'_i{}^2(a_{ii} + 2b_{ii}\mu + c_{ii}\mu^2) + \dots$$

Verfährt man analog mit  $\psi$  und  $\chi$ , so geht die ursprüngliche Gleichung  $F_4(1)$  über in

$$(14) \quad \begin{aligned} F_4' &\equiv x'_i{}^2 \{ a_{ii}x_i^2 + 2a_{ik}x_ix_k + a_{kk}x_k^2 \\ &\quad + 2\mu(b_{ii}x_i^2 + 2b_{ik}x_ix_k + b_{kk}x_k^2) \\ &\quad + \mu^2(c_{ii}x_i^2 + 2c_{ik}x_ix_k + c_{kk}x_k^2) \} + \dots \\ &\equiv x'_i{}^2(a + 2\mu b + \mu^2 c) + \dots = 0, \end{aligned}$$

wo  $a, b, c$  feste quadratische Formen in  $x_i, x_k$  sind.

Soll jetzt die Ecke  $A'_i$  der Forderung genügen, ein Kuspidalpunkt der  $F_4$  zu werden, so muß der in  $A'_i$  liegende  $D_2$ , der im allgemeinen ein biplanarer ist, in einen uniplanaren ausarten, d. h. die Diskriminante  $D(\mu)$  des Faktors von  $x'_i{}^2$  in (14) muß verschwinden, und umgekehrt. Somit ergibt sich für die Kuspidalpunkte der  $F_4$  auf  $\bar{g}$  ( $x_i = x_k = 0$ ) (14) die Bestimmungsgleichung in dem Parameter  $\mu$

$$(15) \quad D(\mu) \equiv ac - b^2 = 0.$$

Den vier Wurzeln dieser Gleichung entsprechen die vier Kuspidalpunkte der  $F_4(1)$ .

Soll jetzt weiter die  $\bar{g}$  zur Kuspidalgeraden werden, so daß jeder  $D_2$  auf  $\bar{g}$  ein uniplanarer wird, so muß die Gleichung (15) in  $\mu$  identisch erfüllt sein, und umgekehrt.

Diese Forderung ist aber gleichwertig mit der anderen, daß der durch die drei quadratischen Formen  $a, b, c$  dargestellte Kegelschnitt mit dem Normkegelschnitt seiner Ebene zusammenfällt. Oder auch, man darf den Parameter  $\mu$  so normieren, daß das Koeffizientensystem der  $a_{ii}, b_{ii}, c_{ii}, \dots$  in (14) die Werte erhält:  $0, 0, \mu^2; 0, \mu, 0; 1, 0, 0$ . Geht man zurück zur ursprünglichen Gleichung (1) resp. (12), so erkennt man, daß die in  $x_i, x_m$  quadratischen Aggregate  $C_{ii}, C_{ik}, C_{kk}$  innerhalb der  $\varphi, \psi, \chi$  die Gestalt annehmen

$$(16) \quad C_{ii} \equiv x_m^2 \mu^2, \quad C_{ik} \equiv x_i x_m \mu, \quad C_{kk} \equiv x_i^2,$$

und damit das entsprechende Aggregat  $C$  in der Gleichung der  $F_4$  selbst

$$(17) \quad C \equiv x_i^2 x_m^2 \mu^2 + 2x_i x_k x_i x_m \mu + x_k^2 x_i^2 \equiv (x_i x_m \mu + x_k x_i)^2.$$

Führt man hier wieder mittels (13) statt  $x_m$  die neue Koordinate  $x'_\mu - x_m$  ein, so beginnt der nach  $x'_i$  geordnete Klammerausdruck in (17) mit

$$(18) \quad x'_i(x_i\mu + x_k) + \dots$$

Während also der Kuspidalpunkt auf  $\bar{g}$  variiert, dreht sich seine Tangentialebene um  $\bar{g}$ .

Zusammenfassend hat man den Satz:

„Soll die Doppelgerade  $\bar{g}$  ( $x_i = x_k = 0$ ) einer  $F_4$  (1) zu einer Kuspidalgeraden werden, so ist dazu notwendig und hinreichend, daß sich das Aggregat der in  $x_i, x_m$  quadratischen Glieder in  $F_4$  als volles Quadrat von der Gestalt (17) darstellen läßt.

Durchläuft dann der Kuspidalpunkt die Kuspidalgerade, so dreht sich seine Tangentialebene um die Kuspidalgerade.“

**36. Spezielle  $F_4$  mit einer Doppelgeraden.** Von der Liniengeometrie aus gelangte *J. Plücker*<sup>62)</sup> zu einer  $F_4$  mit  $\bar{g}$  und acht einzelnen  $D_2$ .

Es gibt dann vier Ebenenpaare, die die acht  $D_2$ , jede Ebene vier von ihnen, enthalten. Durch die  $\bar{g}$  gehen vier Ebenen, die die  $F_4$  längs einer Geraden berühren, die jeweils zwei der acht  $D_2$  enthält. Die  $F_4$  ist zugleich eine  $\Phi_4$ .

Eine  $F_4$  mit  $\bar{g}$  und vier weiteren (nicht in einer Ebene gelegenen)  $D_2$  hat *W. Frahm*<sup>63)</sup> durch geeignete Modifikation des *Clebschschen* Verfahrens auf eine Ebene abgebildet.

Daß auf der (gewöhnlichen)  $\bar{g}$  der Reihe nach ein, zwei, drei Punkte  $D_2$  zu  $D_3$  werden können, ohne daß die  $\bar{g}$  zu einer  $\bar{g}$  wird, daß aber das Auftreten eines vierten solchen  $D_3$  die  $\bar{g}$  zu einer  $\bar{g}$  macht, wird in Abschn. VI gezeigt.

Es sei noch hingewiesen auf eine von *M. Noether*<sup>64)</sup> entdeckte, beachtenswerte  $F_6$  mit einer  $\bar{g}$  und einer  $\bar{C}_4$ , die das Geschlecht  $-1$  besitzt.

62) *J. Plücker*, Neue Geometrie des Raumes, I, Leipzig, p. 168. Vgl. die weiteren Ausführungen bei *A. Clebsch*, Math. Ann. 1 (1868), p. 253; 2 (1869), p. 1; *F. Klein*, ib. 2 (1870), p. 371; *A. Cayley*, London Math. Soc. Proc. 3 (1871), p. 281.

63) *W. Frahm*, Math. Ann. 7 (1874), p. 512.

64) *M. Noether*, Math. Ann. 21 (1883), p. 399.

## VI. $F_4$ mit dreifachem Punkt und solche mit einer dreifachen Geraden.

### 37. $F_4$ mit dreifachem Punkt und ihre Abbildung auf die Ebene.

Unter den auf eine Ebene  $\Pi$  abbildbaren  $F_4$  sind auch bemerkenswert die mit einem  $D_3$ .<sup>65)</sup> Sei zunächst, im einfachsten Falle, der  $D_3$  ein einzelner gewöhnlicher dreifacher Knotenpunkt.

Dann geht die Abbildung unmittelbar hervor durch Projektion der  $F_4$  vom  $D_3$  aus auf eine Ebene  $\Pi$ , die man als Koordinatenebene  $x_m = 0$  wähle. Verlegt man noch den  $D_3$  in die Gegenecke  $A_m$ , so nimmt die Gleichung der  $F_4$  die Gestalt an

$$(1) \quad F_4 = x_m a_3 - a_4 = 0,$$

wo  $a_3, a_4$  ternäre Formen in  $x_i, x_k, x_l$  der Ordnung 3 resp. 4 bedeuten. Die Gleichung  $a_3 = 0$  liefert im Raume den Tangentenkegel  $K_3$  des  $D_3$  (in der Ebene  $\Pi$  dessen Spur), während  $a_4 = 0$  den Schnitt von  $\Pi$  mit der  $F_4$  darstellt, im Raume den über dieser Kurve stehenden Kegel  $K_4$ .

Die beiden Kegel  $K_3$  und  $K_4$  haben 12 Kanten gemein; das sind die 12 Geraden  $g$  der  $F_4$ . Deren Spuren in  $\Pi$  seien mit  $A_r$  ( $r = 1, 2, \dots, 12$ ) bezeichnet; diese spielen die Rolle der Fundamentalpunkte in  $\Pi$  bei der Abbildung.

Irgendein ebener Schnitt der  $F_4$  projiziert sich in eine  $c_4$  durch die 12 Punkte  $A$ , und umgekehrt. Damit hat man den Satz:

„Die Abbildung der  $F_4$  mit  $D_3$  auf eine Ebene  $\Pi$  vollzieht sich durch ein Gebüsch  $G$  von  $c_4$  (mit dem Geschlecht  $p = 3$ ) mit 12 auf einer festen  $c_3$  gelegenen Grundpunkten  $A$ , den Fundamentalpunkten der Abbildung, und umgekehrt.“

Man beachte hierbei, daß ein „allgemeines“  $c_4$ -Gebüsch bereits durch 11 beliebig angenommene Grundpunkte bestimmt ist; ein solches Gebüsch führt auf eine gewisse rationale  $F_5$  (s. Abschn. VIII und IX). Liegen aber im besonderen 11 solche Grundpunkte  $A$  auf einer vorgegebenen elliptischen  $c_3$ , so schneidet jene  $c_4$  durch diese 11 Grundpunkte  $A_s$  ( $s = 1, \dots, 11$ ) noch einen festen 12<sup>ten</sup> Grundpunkt aus der  $c_3$  aus.

Dies bestätigt sich leicht, wenn man wieder (s. Nr. 14) auf der  $c_3$  einen elliptischen, geeignet normierten Parameter  $u$  einführt. Eine  $c_4$  trifft die  $c_3$  in 12 Punkten  $A_r$ , deren Argumente  $u_r$  seien. Dann unterliegen die 12  $u_r$  der Bedingung  $\sum u_r \equiv 0$ . Man hat also für den

65) Über die verschiedenen Gestalten eines  $D_k$  und ihre Deformationen vgl. K. Rohn, Math. Ann. 24 (1884), p. 55.

*monoida*  
*str. 1640*

12<sup>ten</sup> Grundpunkt —  $u_{12} \equiv \sum_{s=1}^{11} u_s$ . Damit ist man zum obigen, bei der Abbildung der  $F_4$  mit  $D_3$  auftretenden  $c_4$ -Gebüsch zurückgelangt.

Diese Abbildung ist in einfachen Formeln festzulegen.

Irgendein Punkt  $P(x)$  der  $F_4$  liefert vermöge seines Projektionsstrahles  $p$  den Bildpunkt  $Q$ . Man gebe  $Q$  in der Ebene  $x_m = 0$  die Koordinaten  $y_i, y_k, y_l$ . Die Lage von  $P$  auf  $p$  wird durch Angabe des Parameters  $x_m$  bestimmt, wo gemäß (1)

$$(2) \quad x_m = \frac{\alpha_4(y)}{\alpha_3(y)}.$$

Damit hat man die Abbildungsformeln

$$(3) \quad x_i : x_k : x_l : x_m = y_i \alpha_3(y) : y_k \alpha_3(y) : y_l \alpha_3(y) : \alpha_4(y).$$

Einige einfache Anwendungen der Abbildung mögen folgen.

Jeder der 12 Grundpunkte  $A$  ist das Bild der entsprechenden Geraden  $g$  auf der  $F_4$ , deren Spur er ist; genauer, den Linienelementen auf  $g$  entsprechen die Linienelemente durch  $A$ .

Die  $c_3'$  ist das Bild des  $D_3$ . Legt man durch den  $D_3$  irgendeine Ebene  $E$ , so schneidet diese die  $F_4$  in einer  $r_4$  mit  $d_3$  an der Stelle  $D_3$ . Die drei Tangenten des  $d_3$  treffen die  $c_3'$  in drei Punkten, die auch auf  $E$  liegen. Somit ordnen sich die Punkte der  $c_3'$  (1, 1)-deutig den durch  $D_3$  gehenden Linienelementen auf der  $F_4$  zu. Eine beliebige Gerade  $c_1$  in  $\Pi$  ist das Bild einer  $R_4$  auf  $F_4$ , da jede  $c_4$  in  $G$  die  $c_1$  in vier variablen Punkten trifft.

Nun ergänzt sich die  $c_1$  mit der  $c_3'$  zu einer  $c_4$  in  $G$ . In der Tat ist ja nach obigem die  $c_1$  die Projektionsspur einer Ebene  $E$  durch  $D_3$ , die aus der  $F_4$  eine  $r_4$  mit  $d_3$  ausschneidet. Somit reduziert sich die gesuchte  $R_4$  auf eine ebene Kurve  $r_4$ . Den Tangenten  $c_1$  der  $c_3'$  entsprechen die Schnitte der  $F_4$  mit den Tangentialebenen des  $K_3$ .

Geht im besonderen die  $c_1$  durch einen der Punkte  $A$ , so entspricht ihr eine in die betreffende Gerade  $g$  und eine  $r_3$  (mit  $d_2$  in  $D_3$ ) zerfallende  $r_4$ .

Endlich entspricht einer Geraden  $c_{ik} = (A_i, A_k)$  die Rest- $C_2$ , die die Ebene  $(g_i, g_k)$  aus der  $F_4$  ausschneidet. Diese  $\binom{12}{2} = 66$   $C_2$  sind die einzigen auf der  $F_4$ .

Einer  $c_2$  durch 5 der  $A$  entspricht eine  $C_3$  auf  $F_4$ , die Restschnittkurve des durch die 5 Geraden  $g$  gehenden Kegels 2. Ordnung. Diese  $\binom{12}{5} = 792$   $C_3$  sind die einzigen (irreduziblen)  $C_3$  auf der  $F_4$ .

Einer  $c_2$  durch nur 4 der  $A$  entspricht eine  $R_4$  auf  $F_4$  mit  $d_2$  in  $D_3$ , die Restschnittkurve eines Kegels 2. Ordnung durch die 4 Geraden  $g$ .

**38. Erzeugung der Fläche durch zwei projektive  $F_2$ -Büschel.**  
 Die Existenz von  $R_4$ -Scharen auf der Fläche muß zu deren Erzeugung durch zwei projektiv zugeordnete  $F_2$ -Büschel führen.

Man mache demgemäß den Ansatz

$$(4) \quad F_4 \equiv \begin{vmatrix} a_1 x_m + a_2 & c_2 \\ b_1 x_m + b_2 & d_2 \end{vmatrix} \equiv x_m(a_1 d_2 - b_1 c_2) + (a_2 d_2 - b_2 c_2).$$

Soll diese Form mit der ursprünglichen (1) übereinstimmen, so müssen die dort gegebenen Formen  $a_3, a_4$  in die Gestalt zu bringen sein

$$(5) \quad \begin{cases} a_3 \equiv a_1 d_2 - b_1 c_2, \\ a_4 \equiv b_2 c_2 - a_2 d_2. \end{cases}$$

Zu dem Behuf greife man aus den 12 Schnittpunkten  $A$  der beiden Kurven  $a_3, a_4$  irgend vier heraus, entweder alle reell oder ein Paar reell, ein zweites konjugiert imaginär oder endlich beide Paare konjugiert imaginär. Durch diese vier Grundpunkte lege man ein Kegelschnittbüschel  $(c_2, d_2)$ . Dann existiert auf der Kurve  $a_3$  ein bestimmter Punkt  $(a_1, b_1)$ , so daß die  $a_3$  als erzeugt erscheint durch projektive Zuordnung der beiden Büschel  $(c_2, d_2), (a_1, b_1)$ , womit die erste Darstellung in (5) erzielt ist.

Sodann treffe irgendein Individuum des Büschels  $(c_2, d_2)$  die Kurve  $a_4$  in einem zweiten Quadrupel von Punkten, durch die man ein Kegelschnittbüschel  $(a_2, b_2)$  derart lege, daß  $a_4$  erzeugt erscheint durch projektive Zuordnung der beiden Büschel  $(c_2, d_2), (a_2, b_2)$ , womit man zur zweiten Darstellung in (5) gelangt.

Ersichtlich entsteht jetzt die  $F_4$  (1) durch die beiden projektiv zugeordneten  $F_2$ -Büschel

$$(6_\lambda) \quad \begin{cases} a_1 x_m + a_2 + \lambda c_2 = 0, \\ b_1 x_m + b_2 + \lambda d_2 = 0, \end{cases}$$

resp.

$$(6_\mu) \quad \begin{cases} a_1 x_m + a_2 + \mu(b_1 x_m + b_2) = 0, \\ c_2 + \mu d_2 = 0. \end{cases}$$

Die spezifische Eigenart dieser beiden Erzeugungen der  $F_4$  mit  $D_3$  (in  $A_m$ ) liest man unmittelbar aus ihren Darstellungen  $(6_\lambda)$  resp.  $(6_\mu)$  ab. So liegen im ersteren Falle als Grundkurven der beiden  $F_2$ -Büschel zwei  $R_4$  vor, die an derselben Stelle ( $A_m$ ) einen  $d_2$  besitzen; die projektive Zuordnung beider Büschel ist dabei so zu treffen, daß sich die beiden, je eine der beiden  $R_4$  von dem  $d_2$  aus projizierenden Kegel  $K_2$  einander entsprechen.

**39. Die Untersuchung von Rohn.** Den  $F_4$  mit  $D_3$  hat K. Rohn<sup>66</sup>) eine eingehende Untersuchung zuteil werden lassen, zugleich mit besonderer Berücksichtigung der gestaltlichen Verhältnisse. Auch er legt die Gleichung (1) zugrunde. Solche  $F_4$  mit festem  $D_3$  (in  $A_m$ ) heißen „Monöide“  $M_4$ ; die 12 auf ihr gelegenen Geraden  $g_1, \dots, g_{12}$  — die gemeinsamen Kanten der beiden Kegel  $K_3$  ( $a_2 = 0$ ) und  $K_4$  ( $a_4 = 0$ ) — heißen „Hauptgerade“.

Da die Gleichung (1) von 24 Konstanten abhängt, kann man neun der  $g$  ( $g_1, \dots, g_9$ ) beliebig annehmen; sie bestimmen den  $K_3$ .

Auf dem  $K_3$  lassen sich noch  $g_{10}$  und  $g_{11}$  beliebig wählen, womit  $g_{12}$  bestimmt ist. Es bleiben dann noch vier Konstante zur Verfügung; dementsprechend kann man die  $M_4$  noch durch vier beliebig angenommene Punkte legen.

Wie oben (Nr. 37) lege man irgendeine der 66 Ebenen  $E_{ik}$  ( $g_i, g_k$ ); sie schneidet als Restkurve eine durch  $A_m$  gehende  $C_3^{(i,k)}$  aus. Eine  $C_3^{(i,k)}$  und  $C_3^{(l,m)}$  ohne gemeinsamen Index treffen sich noch in einem weiteren Punkte.

Durch je fünf der  $g$ , z. B.  $g_i, g_k, g_l, g_m, g_n$ , geht ein Kegel  $K_2$ , der aus der  $M_4$  noch eine, durch  $A_m$  gehende  $C_3$  ausschneidet; solcher  $C_3$  gibt es 792 (l. c.). Zwei  $C_3$  mit verschiedenen Indizes treffen sich noch in fünf Punkten. Durch beide  $C_3$  läßt sich also eine  $F_2$  legen, die noch die, die beiden letzten Indizes führenden  $C_3$  ausschneidet.

Analog werden  $K_2$ -Büschel durch vier der  $g$  betrachtet, gewisse  $K_3$  u. a. m.

Wann besitzt die  $M_4$  eine weitere, nicht durch  $A_m$  gehende Gerade  $g$ ?

Dann und nur dann, wenn irgend drei der Hauptgeraden in einer Ebene liegen, die eben dann noch eine  $g$  ausschneidet. Solcher  $g$  kann es aber nicht mehr als 19 geben; in der Tat läßt sich eine  $M_4$  mit 19  $g$  konstruieren.

Nunmehr wird die Möglichkeit von Singularitäten der  $M_4$  außerhalb des  $D_3$  untersucht.

Ein  $D_2$  kann nur eintreten, wenn mindestens zwei der Hauptgeraden koinzidieren, wenn also  $K_3$  und  $K_4$  längs dieser  $g$ , auf der der  $D_2$  liegt, eine (gewöhnliche) Berührung haben.

Fallen  $k$  der Hauptgeraden zusammen, so erhält die  $M_4$  einen  $D_k$ , der die Klasse der Fläche um  $k$  erniedrigt.

Ein uniplanarer  $D_2$  kann nur eintreten, wenn die  $M_4$  eine Doppelgerade  $\bar{g}$ , also noch eine weitere Singularität in  $A_m$  besitzt.

66) K. Rohn, Leipzig Ber. 1884, p. 1.

Trotz dieser verwirrenden Mannigfaltigkeit von weiteren Singularitätsmöglichkeiten gelingt es, eine einfache Regel über das gleichzeitige Auftreten solcher Singularitäten aufzustellen. Man zerlege die Zahl 12 auf irgendeine Art in ganzzahlige Summanden, dann entspricht dieser auch eine bestimmte Art von  $M_4$ . Zu jedem Summanden 1 gehört ein  $D_2$ , zu jedem Summanden 2 ein  $D_3$ , zu jedem Summanden 3 ein biplanarer  $D_3$  usw.

Die Gestalten dieser verschiedenen Arten der Gattungen von  $M_4$  werden verfolgt; von Interesse ist eine  $M_4$  mit 6  $D_2$ , als Spezialfall des Symmetroides (s. Nr. 62).

Bei dieser gestaltlichen Diskussion erweist es sich als zweckmäßig, folgenden Begriff einzuführen.

Zwei  $F$  heißen „gestaltlich gleich“, wenn sie durch stetige Änderung der Konstanten ihrer Gleichungen ineinander überführbar sind, ohne daß inzwischen eine Singularität verschwindet oder neu auftritt.

Dann zerlegen sich alle  $M_4$  mit denselben Hauptgeraden in zwei Gruppen. Die  $M_4$  jeder Gruppe sind gestaltlich gleich, und die eine Gruppe besteht aus Spiegelbildern der anderen. Auf diese Weise lassen sich alle  $M_4$  mit gleichem Tangentenkegel  $K_3$  in  $A_m$  gestaltlich vergleichen, indem man den Hauptgeraden alle möglichen Lagen erteilt.

Weiterhin sind dann noch die  $M_4$  mit verschiedenen  $K_3$  zu vergleichen, wobei es einen wesentlichen Unterschied macht, ob der  $K_3$  einteilig oder zweiteilig ist; nebst der Lage der Hauptgeraden entscheidet dies die Gestalt.

Daraufhin lassen sich die  $M_4$  zunächst ohne weitere Singularitäten, dann aber auch mit solchen, bis ins einzelnte verfolgen.

Am Schluß finden noch die Sonderfälle der Steinerschen Fläche (s. Abschn. VII), sowie der  $F_4$  mit einer dreifachen Geraden  $\bar{g}$  (s. Nr. 40) ihre Berücksichtigung.

**40.  $F_4$  mit dreifacher Geraden  $\bar{g}$  und ihre Abbildung.** Der nächste Schritt würde sein, zu einer  $F_4$  mit zwei  $D_3$ , etwa in  $A_i$  und  $A_m$ , überzugehen. Da dann in der Gleichung der  $F_4$   $x_i$  und  $x_m$  nur linear auftreten dürfen, muß sie die Gestalt haben

$$(1) \quad F_4 \equiv x_i x_m f_2 + x_i f_3 + x_m g_3 + f_4 = 0,$$

wo die  $f, g$  binär in  $x_i, x_k$  sind.

Die Gerade  $(A_i, A_m)$  ist dann eine  $\bar{g}$ .

Erst wenn man an irgendeinen dritten Punkt auf  $(A_i, A_m)$  die Forderung stellt, ebenfalls ein  $D_3$  der  $F_4$  zu sein, existieren  $\infty^1$  solche; jeder Punkt von  $(A_i, A_m)$  ist ein  $D_3$ , und die Gerade selbst eine drei-

fache Gerade  $\bar{g}$ . Man kann dann der Gleichung der  $F_4$  die Gestalt geben

$$(2) \quad F_4 \equiv x_i^3 a + x_i^2 x_k b + x_i x_k^2 c + x_k^3 d = 0,$$

unter  $a, b, c, d$  Linearformen aller  $x$  verstanden.

Zunächst treten in (2)  $4 \cdot 4 = 16$  homogene Koeffizienten auf. Aber von diesen kommen drei (die von  $x_i^3 x_k, x_i^2 x_k^2, x_i x_k^3$ ) zweimal vor. Mithin hängt eine  $F_4$  mit gegebener  $\bar{g}$  von  $34 - 22 = 12$  Konstanten ab, oder auch, es gilt:

„Die Forderung an eine  $F_4$ , eine vorgegebene Gerade  $g$  als dreifache ( $\bar{g}$ )<sup>67)</sup> zu besitzen, involviert 22 (lineare) Relationen zwischen den Koeffizienten. Läßt man die Lage der  $\bar{g}$  unbestimmt, so vermindert sich die Zahl 22 um 4.“

Jede Ebene  $E$  durch  $\bar{g}$  schneidet eine Restgerade  $h$  aus, die  $F_4$  ist also eine Regelfläche  $R-F_4$  und die  $h$  sind deren Regelstrahlen (s. Nr. 77).

Sei die Gleichung des E-Büschels durch  $\bar{g}$

$$(3) \quad E(\tau) \equiv x_i - \tau x_k = 0,$$

so werde der zugehörige Regelstrahl entsprechend mit  $h(\tau)$  bezeichnet.

Nach Einsetzung von (3) in (2) sondert sich, wie es sein muß, der Faktor  $x_k^3$  ab, und es bleibt zur Bestimmung von  $h(\tau)$  eine in  $x_k, x_i, x_m$  lineare Gleichung von der Gestalt

$$(4) \quad x_k f_4(\tau) + x_i f_3(\tau) + x_m g_3(\tau) = 0.$$

Durch Kombinierung von (4) mit (3) erhält man für die Achsenkoordinaten  $\pi$  von  $h$  die explizite Darstellung

$$(5) \quad \pi_{ik} : \pi_{il} : \pi_{im} : \pi_{kl} : \pi_{km} : \pi_{lm} = f_4 : g_3 : h_3 : -\tau g_3 : -\tau h_3 : 0.$$

Eine beliebige Gerade  $\pi'$  trifft die  $F_4$  in vier Punkten, die von einer biquadratischen Gleichung in  $\tau$  abhängen.

Man markiere auf  $\bar{g}$  einen beliebig, aber fest gewählten Punkt  $P'$  mit der Koordinate  $x'_{im} = \frac{x'_i}{x'_m}$ .

Für die durch  $P$  gehenden Regelstrahlen  $h$  erhält man gemäß (4) — wenn man hinterher  $x_k = x'_k = 0$  setzt — die kubische Gleichung

$$(6) \quad x'_i f_3(\tau) + x'_m g_3(\tau) = 0.$$

Läßt man nunmehr  $P'$  auf  $\bar{g}$  variieren, so stellt die Gleichung (6) ein Büschel (oder auch eine Involution) kubischer Gleichungen dar mit dem Parameter  $x'_{im}$ . Durch jeden Punkt  $P'$  auf  $\bar{g}$  gehen somit drei Regelstrahlen  $h$ , deren Argumente  $\tau$  die Wurzeln der kubischen Gleichung (6) sind.

67) Vgl. „*Salmon-Fiedler*“, Kap. 6, Nr. 326 ff., und *A. Armenante*, Ann. di mat. (2) 4 (1870), p. 50.

Behufs Abbildung der  $F_4$  mit  $\bar{g}$  auf eine Hilfsebene  $\Pi$  ( $x_m = 0$ ) von irgendeinem  $D_3$  auf  $\bar{g}$  aus, etwa  $A_m$ , wende man wieder das Mittel der Projektion von  $D_3$  aus an (s. Nr. 37).

Irgendein ebener Schnitt der  $F_4$  projiziert sich in eine  $r_4$  mit  $d_3$  in  $A_1$ , der Spur von  $\bar{g}$ , die noch durch drei feste Punkte  $H_1, H_2, H_3$  — die Spuren der drei durch  $A_m$  gehenden Regelstrahlen  $h$  — einfach hindurchgeht.

Da es von  $r_4$  mit festem  $d_3$  und drei festen  $d_1$  noch eine lineare  $\infty^5$ -Schar gibt, so vollzieht sich die Abbildung der  $F_4$  mittels eines Gebüsches  $G'$  von  $r_4$  der angegebenen Art; dabei sind die Koeffizienten aller Formen  $r_4$  in  $G'$  an zwei feste lineare Bedingungen geknüpft. Indessen läßt sich diese Abbildung vereinfachen, wenn man die ganze Figur in der Ebene einer quadratischen Transformation  $T_2$  unterwirft, mit Fundamentalpunkten in  $A_1$  und zweien der  $H$ -Punkte, etwa  $H_2, H_3$ , während  $H_1$  in einen anderen Punkt  $H$  übergeht.

Damit geht das Gebüsch  $G'$  von  $r_4$  über in ein anderes Gebüsch  $G$  von  $r_3$  mit  $d_2$  in  $A_1$  und  $d_1$  in  $H$ , und man hat den Satz:

„Die einfachste Abbildung einer  $F_4$  mit  $\bar{g}$  geschieht mittels eines Gebüsches  $G$  von  $r_3$  mit einem festen  $d_2$  und einem festen  $d_1$  als Grundpunkten.“

Hieraus folgt eine explizite Darstellung der  $F_4$  in zwei nicht homogenen Parametern  $\lambda, \mu$  von der Gestalt

$$(7) \quad \rho x_i = c^{(i)}(\lambda, \mu),$$

wo die rechts stehenden ternären Formen  $c$  in  $\lambda$  quadratisch, in  $\mu$  linear sind. Macht man noch mit einer dritten Variablen  $\nu$  homogen und sind  $L, M, N$  die Koordinatenecken, so ist  $L$  der feste  $d_2$  und  $M$  der feste  $d_1$ .

Umgekehrt führt eine Darstellung vom Typus (7), wo die Formen  $c^{(i)}$  im übrigen beliebig, wenn nur linear unabhängig, gegeben seien, zu einer Abbildung einer  $F_4$  mit  $\bar{g}$ .

Ordnet man die rechten Seiten von (7), einmal nach  $\lambda$ , das andere Mal nach  $\mu$ , so erscheint die  $F_4$  ebensowohl als Ort von  $\infty^1$  Regelstrahlen  $h$ , wie als Ort von  $\infty^1$   $C_2$ . Die Bilder der  $h$  sind die Geraden  $c_1'$  des Büschels ( $A_1$ ) und die Bilder der  $C_2$  sind die Geraden  $c_1$  des Büschels ( $H$ ). Jede  $C_2$  trifft jede  $h$  einmal. Man erhält die  $C_2$  auf der  $F_4$  direkt als Restkurven der durch irgend zwei von drei zusammengehörigen  $h$  gelegten Ebenen.

Im allgemeinen sind die drei von irgendeinem Punkte von  $\bar{g}$  ausgehenden Regelstrahlen  $h_1, h_2, h_3$  nicht inzident. Man frage, wann

dieser Sonderfall, etwa zunächst für den Punkt  $A_m$ , eintritt. Dann sind auch die Spuren  $H_1, H_2, H_3$  inzident, und umgekehrt.

Vermöge der  $T_2$  geht dann das Gebüsch  $G'$  von  $c_4$  über in ein Gebüsch  $G$  mit einem  $d_2$  in  $A_l = L$ , dessen eine Tangente fest ist. Wählt man als diese feste Tangente des  $d_2$  etwa die Seite  $v = 0$ , so muß für alle Individuen  $c$  in  $G$  der Koeffizient von  $\lambda^2\mu$  verschwinden, und umgekehrt.

Aus der Invarianz dieser Eigenschaft von  $G'$  resp.  $G$  folgt, daß die Inzidenz von drei Regelstrahlen  $h_1, h_2, h_3$  unabhängig ist von der Lage des Projektionszentrums auf  $\bar{g}$ . Sind also für irgendeinen Punkt  $P'$  auf  $\bar{g}$  die drei durch ihn gehenden Regelstrahlen inzident — was nur eine einzige Bedingung erfordert —, so findet das gleiche für jeden Punkt  $P$  von  $\bar{g}$  statt.

Dies mag auch rechnerisch bestätigt werden. Man ordne die Gleichung der  $F_4$ , wie im allgemeinen Falle eines einzelnen  $D_3$  (s. Nr. 37), nach  $x_m$

$$(8) \quad F_4 \equiv c_3 x_m + c_4 = 0.$$

Hier sind jetzt, im Falle einer  $\bar{g}$  ( $x_i = x_k = 0$ ), die beiden von  $x_m$  freien Formen  $c_3, c_4$  von spezifischer Eigenart.

In  $c_3$  treten nur  $x_i$  und  $x_k$  auf;  $c_3$  ist also eine binäre kubische Form in  $x_i, x_k$  und  $c_3 = 0$  stellt drei Gerade  $h_1', h_2', h_3'$  durch  $A_l$  dar, die Spuren der drei durch  $A_m$  gehenden Regelstrahlen  $h_1, h_2, h_3$ .

Andererseits ist  $c_4$  in  $x_l$  linear, also von der Gestalt

$$(9) \quad c_4 \equiv x_l g_3 + f_4,$$

wo wiederum  $g_3, f_4$  binär in  $x_i, x_k$  sind. Die Kurve  $c_4 = 0$ , der Schnitt der  $F_4$  mit  $x_m = 0$ , ist, wie es sein muß, eine  $r_4$  mit  $d_3$  in  $A_l$ .

Die Gleichung (8) der  $F_4$  nimmt nunmehr die Gestalt an

$$(8') \quad F_4 \equiv f_4 + x_l g_3 + x_m h_3 = 0.$$

Schneidet man wiederum die  $F_4$  mit den E-Büschel (3)  $x_i - \tau x_k = 0$ , so reduziert sich (8') auf (4).

Man schneide jetzt die  $F_4$  vorab mit einer beliebigen, nicht durch  $A_m$  gehenden Ebene  $E_v$

$$(10) \quad E_v \equiv v_i x_i + v_k x_k + v_l x_l - x_m = 0.$$

Projiziert man die Schnittkurve von  $A_m$  aus auf  $x_m = 0$ , so erhält man eine  $r_4$  mit  $d_3$  in  $A_l$

$$(11) \quad r_4 \equiv h_3(v_i x_i + v_k x_k + v_l x_l) + (f_4 + x_l g_3) \\ \equiv \{h_3(v_i x_i + v_k x_k) + f_4\} + x_l(g_3 + h_3 v_l) = 0.$$

Diese  $\infty^3 r_4$  gehen noch durch drei feste Punkte  $H_1, H_2, H_3$ , die Spuren der drei durch  $A_m$  gehenden Regelstrahlen  $h_1, h_2, h_3$ . Nunmehr lege

man der Ebene  $E_v$  die Beschränkung auf, durch einen festen Punkt  $P'(0, 0, x'_i, 1) = P'(x'_i)$  der  $\bar{g}$  zu gehen, betrachte also das Büschel der Ebenen  $E'_v = E_v(P')$ . Die Gleichung einer solchen lautet gemäß (10)

$$(12) \quad E'_v \equiv v_i x_i + v_k x_k + x_l - x'_i x_m = 0.$$

Die Projektion des Schnittes hat also zur Gleichung

$$(13) \quad r'_4 \equiv g_3(v_i x_i + v_k x_k - x'_i f_4) + x_l(g_3 - x'_i f_3) = 0.$$

Hieraus geht hervor, daß, bei festem  $P'$  auf  $\bar{g}$ , das Tangententriplel der  $r'_4$  in  $d_3(A_1)$  stets das nämliche ist

$$(15) \quad g_3 - x'_i f_3 = 0.$$

Variiert dagegen  $P'$  auf  $\bar{g}$ , so liefert (15) eine kubische Involution von Tangententripleln durch  $A_1$ .

Es ist noch zu zeigen, daß die Restschnittpunkte des Tripels (15) mit der  $r'_4$  (13) bei fest gedachtem  $P'$  zusammenfallen mit den Spuren der durch  $P'$  gehenden Regelstrahlen  $h'_1, h'_2, h'_3$ .

Man schneide, wie oben, die  $F_4$  mit irgendeiner Ebene  $E_\tau$  durch  $\bar{g}$

$$(3) \quad E_\tau \equiv x_i - \tau x_k = 0.$$

Nach Einsetzung in die Gleichung (8') der  $F_4$  ergibt sich

$$(16) \quad E_i \equiv x_k f_4(\tau) + x_l f_3(\tau) + x_m g_3(\tau) = 0.$$

Die beiden Ebenen  $E_\tau$  und  $E_i$  treffen sich in einem Regelstrahl  $h'$ .

Um dessen Treffpunkt  $P'(x'_i)$  auf  $\bar{g}$  zu bestimmen, hat man in (16)  $x_i = x_k = 0$  zu setzen. Damit reduziert sich aber (16) wieder auf (15).

In der Tat gehört so zu jedem gegebenen  $\tau$  ein Punkt  $P'(x'_i)$  auf  $\bar{g}$ , umgekehrt aber zu gegebenem  $P'$  ein Tripel von  $\tau$ -Werten.

Zusammenfassend hat man:

„Die  $\infty^3$  Projektionsbilder der ebenen Schnitte einer  $F_4$  mit  $\bar{g}$  ( $x_i = x_k = 0$ ), für  $A_m$  als Projektionszentrum und  $x_m = 0$  als Projektionsebene, bilden ein Gebüsch von  $r_4$  mit  $d_3$  in  $A_1$  — der Spur von  $\bar{g}$  — und drei  $d_1$  in drei festen Punkten  $H_1, H_2, H_3$ , den Spuren der durch  $A_m$  gehenden Regelstrahlen  $h_1, h_2, h_3$ .

Dagegen bilden die Tangententriplel dieser  $\infty^3 r_4$  in  $A_1$  nur eine lineare  $\infty^1$ -Schar, die kubische Involution (15). Für jedes Bündel von Schnitteneben, dessen Zentrum auf  $\bar{g}$  liegt, ist das Tangententriplel fest.“

**41. Die  $F_4$  mit  $\bar{g}$  als Achsenfläche einer kubischen Raumkurve.**

Ein bemerkenswerter Repräsentant der  $F_4$  mit  $\bar{g}$  tritt bei den kubischen Raumkurven  $C_3$  auf. Liegt noch eine feste Raumgerade  $g$  vor, so gehen von jedem Punkte  $P$  auf  $g$  drei Achsen  $a_1, a_2, a_3$  der Kurve aus. Diese sind ersichtlich die Regelstrahlen einer  $F_4$  mit  $\bar{g} = g$ .

Es sollen die Abbildungsformeln aufgestellt werden.<sup>68)</sup> Man wähle die  $C_3$  als Normkurve  $N_3 = N_3$  (s. Art. „ $F_3$ “, Nr. 19),

$$(a) \quad x_3 : x_2 : x_1 : x_0 = \lambda^3 : 3\lambda^2 : 3\lambda : 1.$$

Von irgendeinem Raumpunkt ( $x$ ) gehen drei Ebenen  $\lambda_1, \lambda_2, \lambda_3$  an die  $N_3$ , wo die elementarsymmetrischen Verbindungen der  $\lambda$  mit den  $x$  übereinstimmen. Spaltet man die  $\lambda$  in ein festes Paar  $(\alpha, \beta)$  und ein variierendes Element  $\mu$ , so sind, für  $\sigma_2 : \sigma_1 : \sigma_0 = \alpha\beta : \alpha + \beta : 1$ , die Koordinaten eines laufenden Punktes ( $\mu$ ) auf der Achse  $a(\alpha, \beta)$

$$(b) \quad x_3 : x_2 : x_1 : x_0 = \mu\sigma_2 : \sigma_2 + \mu\sigma_1 : \sigma_1 + \mu\sigma_0 : \sigma_0.$$

Hieraus folgen als Strahlenkoordinaten  $p_{ik}$  der Achse  $a$

$$(c) \quad p_{01} : p_{02} : p_{03} : p_{12} : p_{13} : p_{23} = \sigma_0^2 : \sigma_0\sigma_1 : \sigma_0\sigma_2 : \sigma_1^2 - \sigma_0\sigma_2 : \sigma_1\sigma_2 : \sigma_2^2.$$

Nunmehr möge die Achse  $a$  variieren, doch so, daß sie stets eine feste Gerade  $g$  trifft (oder allgemeiner, einem festen linearen Komplex  $K$  angehört). Damit sind die  $\sigma$  an eine quadratische Bedingung gebunden

$$(d) \quad c_2(\sigma) = 0.$$

Diese läßt sich wiederum ersetzen durch eine explizite Darstellung in einem Parameter  $\lambda$

$$(e) \quad \sigma_2 : \sigma_1 : \sigma_0 = f_2(\lambda) : g_2(\lambda) : h_2(\lambda).$$

Setzt man dies in (b) ein, so gelangt man gerade zu den früheren Abbildungsformeln (7) einer  $F_4$  mit  $\bar{y}$  zurück.

Um von einer solchen Parameterdarstellung zu der impliziten Gleichung der zugehörigen  $F_4$  zu gelangen, hat man aus (b)  $\lambda$  und  $\mu$  zu eliminieren. Dies geschieht am einfachsten so: Man fasse einen Raumpunkt ( $x$ ) als Zentrum eines Ebenenbündels ( $r$ ), ( $s$ ), ( $t$ ) auf, so daß die  $x_i$  den Determinanten  $(rst)_{klm}$  proportional werden.

Man schneide das Gebilde (b) der Reihe nach mit den drei Ebenen ( $r$ ), ( $s$ ), ( $t$ ), so gelangt man zu drei Gleichungen der Form

$$(f) \quad C_r \equiv \begin{vmatrix} 2 & 1 & 1 \\ \lambda & \mu & r \end{vmatrix} = 0, \quad C_s \equiv \begin{vmatrix} 2 & 1 & 1 \\ \lambda & \mu & s \end{vmatrix} = 0, \quad C_t \equiv \begin{vmatrix} 2 & 1 & 1 \\ \lambda & \mu & t \end{vmatrix} = 0,$$

wo nur die Grade in den  $\lambda, \mu$ , sowie den  $r_i, s_i, t_i$  angegeben sind.

Man bilde jetzt die Resultante  $R$  (bez.  $\lambda, \mu$ ) der drei Formen (f) — was auf die Bildung von Resultanten biquadratischer binärer Formen in  $\lambda$  zurückkommt.  $R$  ist in den Determinanten der Koeffizientenmatrix (bez.  $\lambda, \mu$ ) von (f) vom Grade vier, also auch im besonderen in den Größen  $(rst)_{klm} = x_i$ , womit die gesuchte Gleichung der  $F_4$  gefunden ist.

68) *W. Fr. Meyer*, Apolarität und rationale Kurven. Tübingen 1883, Abschnitt 3.

## VII. Die Steinersche Fläche.

**42. Einleitung.** Dieser Fläche ist bereits im Art. „ $F_3$ “, Nr. 13, gedacht worden. Dort erschien sie als Reziproke zu einer  $F_3$  mit vier  $D_2$ .

Aber auch innerhalb der Theorie der  $F_4$  nimmt  $S$  eine charakteristische Stellung ein.<sup>69)</sup> Entweder, wie schon bei *Kummer* (Nr. 8), als  $F_4$  mit drei in einem Punkte — der dann von selbst ein  $D_3$  wird — zusammenstoßenden Doppelgeraden  $\bar{g}$ , mit der merkwürdigen Eigenschaft, daß auf ihr eine  $\infty^2$ -Schar von  $C_2$  liegt, in denen die Fläche von deren Tangentialebenen  $T$  geschnitten wird.<sup>70)</sup> Oder aber umgekehrt, wie im folgenden, im Anschluß an Nr. 37, läßt sich die  $S$  als  $F_4$  mit einzelner  $D_3$ , durch den drei Doppelgerade  $\bar{g}_1, \bar{g}_2, \bar{g}_3$  laufen, erklären.

Seien letztere vorerst als reell und verschieden angenommen, so verlege man sie in die drei von  $A_m$  ausgehenden Koordinatenkanten, dann hat die Gleichung von  $S$  ersichtlich die Gestalt

$$(1) \quad S \equiv a_i x_k^2 x_l^2 + a_k x_l^2 x_i^2 + a_l x_i^2 x_k^2 + b x_m x_i x_k x_l = 0.$$

Gegenüber der allgemeinen Gleichung einer  $F_4$  mit  $D_3$  (in  $A_m$ ) (s. Nr. 37) zeichnet sich die  $S$  dadurch aus, daß die Spur des Kegels  $K_3$  in der Ebene  $x_m = 0$  in drei Gerade, die Koordinatenseiten  $x_i = 0$ ,  $x_k = 0$ ,  $x_l = 0$  zerfällt, und die des Kegels  $K_4$  eine  $r_4$  mit  $d_2$  in den Koordinatenecken  $A_i, A_k, A_l$  ist.

Von den 12  $g$  der allgemeinen  $F_4$  mit  $D_3$ , den Schnittkanten der beiden Kegel  $K_3$  und  $K_4$ , fallen jetzt je vier in eine der drei  $\bar{g}$ .

**43. Abbildung der Fläche auf eine Ebene.** Behufs Abbildung der Fläche  $S$  auf eine Ebene  $\Pi$  ( $x_m = 0$ ) wende man zunächst wieder die Methode des allgemeinen Falles an, die Projektion vom  $D_3$  aus auf  $\Pi$ . Irgendein ebener Schnitt der  $S$  ist eine  $r_4$  mit drei  $d_2$  auf den drei  $\bar{g}$ . Eine solche  $r_4$  projiziert sich wiederum in eine  $r_4'$  mit drei  $d_2$  in  $A_i, A_k, A_l$ .

Die Abbildung vollzieht sich also mittels eines gewissen Gebüsches  $G'$  solcher  $r_4'$ . Von  $r_4'$  in  $\Pi$  mit drei festen  $d_2$  gibt es noch eine lineare  $\infty^5$ -Schar; soll sich diese auf ein Gebüsch  $G'$  reduzieren, so

69) Von weiterer Literatur sei erwähnt: *L. Cremona*, J. f. Math. 63 (1864), p. 315; 67 (1867), p. 1; *Ist. Lomb. Rend.* 4 (1867); *E. Lampe*, Dissert. Berlin 1864; *A. Clebsch*, J. f. Math. 67 (1867), p. 1; *R. Sturm*, Math. Ann. 3 (1871), p. 76; *E. Beltrami*, Bologna Mem. (3) 10 (1879), p. 232; *K. Rohn*, Math. Ann. 24 (1884), p. 149; *E. Laguerre*, Œuvres II, p. 275, 281, 319. Besonders sei hingewiesen auf die Monographie von *F. Gerbaldi*, La superficie di Steiner, Torino 1881.

70) *Th. Vahlen*, Acta Math. 19 (1895), p. 199, liefert einen einfachen Determinantenbeweis für den Satz des Textes.

müssen die Koeffizienten aller  $r_4'$  an zwei feste lineare Bedingungen gebunden sein.

Dieses Gebüsch  $G'$  von  $r_4'$  läßt sich in Ansehung der Abbildung von  $S$  durch ein einfacheres Gebüsch  $G$  von  $c_2$  ersetzen. Man hat zu dem Behuf, wie in Nr. 40, nur die ganze Figur einer (1, 1)-deutigen quadratischen Transformation  $T_2$  mit Fundamentalpunkten in  $A_i, A_k, A_l$  zu unterwerfen.

Damit geht das Gebüsch  $G'$  der  $r_4'$  über in ein Gebüsch  $G$  von  $c_2$  ohne gemeinsame Grundpunkte, von dem wiederum gilt, daß die Koeffizienten in allen  $c_2$  von  $G$  zwei festen linearen Bedingungen unterliegen. Oder auch, in geometrischer Sprechweise, die  $\infty^3 c_2$  in  $G$  müssen apolar (konjugiert) sein zu zwei festen Kurven zweiter Klasse  $\gamma_2$  und damit zu allen Individuen von deren linearer Schar  $\Sigma$ .

Indessen kommt diese Eigenschaft jedem beliebigen Gebüsch  $G$  von  $c_2$  zu, d. h. man kann  $G$  aus irgend vier linear unabhängigen Individuen  $c_2^{(r)}$  ( $r = 1, 2, 3, 4$ ) linear zusammensetzen.

Seien  $y_i, y_k, y_l$  wiederum die Koordinaten eines Punktes der Ebene  $\Pi$  ( $x_m = 0$ ), so hat man als einfachste Abbildung von  $S$

$$(2) \quad \varrho x_r = c_2^{(r)}(y_i, y_k, y_l) = c_2^{(r)}(y),$$

so daß sich die  $\infty^3$  ebenen Schnitte von  $S$  auf das Gebüsch  $G$  der  $c_2^{(r)}$  abbilden. Die Gleichungen (2) sind aber keine anderen, als die bereits von *Weierstraß*<sup>71)</sup> (s. auch Nr. 8) erkannten zur einfachsten expliziten rationalen (quadratischen) Darstellung von  $S$  in drei homogenen Parametern.

Die Fruchtbarkeit dieser Abbildungsdarstellung tritt aber erst hervor, wenn man das Gebüsch  $G$  der  $c_2^{(r)}$  zugleich mit der obigen apolaren Schar  $\Sigma$  in projektivem Sinne als ein Ganzes auffaßt. Umgekehrt kann man von einer beliebigen linearen Schar  $\Sigma$  von Klassenkegelschnitten  $\gamma_2$  in  $\Pi$  ausgehen; dann ist  $G$  dadurch rückwärts als die Gesamtheit der zu den  $\gamma_2$  in  $\Sigma$  apolaren  $c_2$  bestimmt.

Dieser Auffassung läßt sich eine weitere Vertiefung dadurch erteilen, daß man die Schar  $\Sigma$  als Grundlage einer seit *Steiner* (s. Art. „ $F_3$ “, Nr. 13) wohlbekannten (1, 1)-deutigen involutorischen quadratischen Klassentransformation  $T_2$  betrachtet. Jede Gerade  $g$  in der Ebene  $\Pi$  besitzt in bezug auf eine  $\gamma_2$  in  $\Sigma$  einen Pol, und der Ort dieser Pole ist eine Gerade  $g'$ , und rückwärts gelangt man so wieder von  $g'$  zu  $g$ . Die Verwandtschaft  $T_2$  ist somit die der bezüglich  $\Sigma$  „konju-

71) *K. Weierstraß*, J. f. Math. 64 (1865), p. 66; vgl. die Ergänzungen von *H. Schroeter*, ib. p. 79; *A. Cayley*, ib. p. 172; London Math. Soc. Proc. 3 (1871), p. 190; ib. 5 (1873), p. 14.

gierten“ Geradenpaare  $(g, g')$ . Umgekehrt läßt sich eine solche gegeben gedachte  $T_2$  als Grundlage des Ganzen ansehen; denn in der  $T_2$  existieren vier sich selbst entsprechende Gerade („Einheitsgerade“), die als gemeinsame Tangenten der Schar  $\Sigma$  letztere bestimmen. Diese vier Geraden bilden ein Vierseit  $\Omega$ , dessen Diagonaldreieit (Hauptdreieit)  $\mathcal{A}$  zu Seiten die Fundamentalgeraden von  $T_2$  besitzt.

Die  $T_2$  läßt sich invariantentheoretisch einfach darstellen (s. Nr. 5). Seien irgend zwei Individuen  $\varphi, \psi$  der Schar  $\Sigma$  gegeben durch

$$(3) \quad \varphi \equiv (u\alpha)^2 = 0, \quad \psi \equiv (u\beta)^2 = 0,$$

so erhält man irgendein Geradenpaar  $(g, g')$  von  $T_2$  mittels

$$(4) \quad (u\alpha)(u'\alpha) = 0, \quad (u\beta)(u'\beta) = 0.$$

Löst man hier etwa nach den  $u'_i$  auf, so kommt

$$(5) \quad \varrho u'_i = (u\alpha)(u\beta)(\alpha\beta)_{ki},$$

oder, wenn man diese drei Gleichungen durch Multiplikation mit kontragradierten Variablen  $x_i$  und Addition zu einer einzigen zusammenzieht,

$$(5') \quad K \equiv (u\alpha)(u\beta)(\alpha\beta x) = 0.$$

Diese Gleichung stellt einen Konnex  $K(u, x)$  dar, der die wesentlichsten Eigenschaften der  $T_2$  unmittelbar erkennen läßt. Irgendeiner Geraden  $g(u)$  entspricht derjenige Punkt  $(x)$ , in dem  $g$  von der Bildgeraden  $g'(u')$  getroffen wird. Umgekehrt ist einem Punkt  $(x)$  ein Paar von Geraden  $g(u), g'(u')$  zugeordnet, deren Schnittpunkt er ist.

Zugleich ist im ersteren Falle der Punkt  $(x)$  der Berührungspunkt des einen,  $g$  berührenden Individuums in  $\Sigma$ . Und im letzteren Falle sind die beiden durch den Punkt  $(x)$  gehenden Geraden  $g, g'$ , die Tangenten desjenigen Individuums in der linearen  $\infty^2$ , dem Hauptdreieit  $\mathcal{A}$  einbeschriebenen Schar von Klassenkegelschnitten, das dem Punkte  $(x)$  kollinear zugeordnet ist.

Dreht sich eine Gerade  $g$  um den Punkt  $(x)$ , so umhüllt die Bildgerade  $g'$  eben jenes Individuum, das also kürzer als  $T_2$ -Bild von  $(x)$  bezeichnet werden kann.

Deutet man in bekannter Weise den Konnex (5') als Differentialgleichung, so stellt letztere unmittelbar die Schar  $\Sigma$  dar.

Was endlich die invariantentheoretische Struktur des Ausdruckes  $K$  angeht, so liegt hier ersichtlich eine Erweiterung des Clebschschen Übertragungsprinzips (s. Nr. 5 und Art. „ $F_3$ “, Nr. 12) vor.

In der Tat, geht man zu zwei binären quadratischen Formen zurück

$$(3') \quad f \equiv (\alpha\lambda)^2, \quad g \equiv (\beta\lambda)^2$$

und bildet deren Funktionaldeterminante

$$(6) \quad \Theta = (\alpha\lambda)(\beta\lambda)(\alpha\beta),$$

so geht  $K$  aus  $\Theta$  direkt gemäß der *Clebschschen* Regel hervor. Denn damit gehen die beiden binären linearen Faktoren  $(\alpha\lambda)$ ,  $(\beta\lambda)$  über in die beiden ternären Linearfaktoren  $(u\alpha)$ ,  $(u\beta)$ , und der binäre Klammerfaktor  $(\alpha\beta)$  in die mit den  $x$  geränderte Bildung  $(\alpha\beta x)$ .

Hand in Hand damit geht die geometrische Deutung.

Das Verschwinden von  $\Theta$  liefert das zu den beiden Wurzelfaaren von  $f$  und  $g$  harmonische Paar, oder, was auf dasselbe hinauskommt, die Doppelemente der Involution  $(f, g)$ . Geht man nun wiederum in der Ebene von einem beliebigen Punkte  $(x)$  aus, so bilden die von ihm an die Schar  $\Sigma(\varphi, \psi)$  gehenden Tangenten eine Involution, deren durch  $\Theta = 0$  gelieferte Doppelemente eben die beiden sich in  $T_2$  entsprechenden Geraden  $g, g'$  sind.

Faßt man das Wesentliche zusammen, so hat man den Satz:

„Die projektive Geometrie auf der *Steinerschen* Fläche  $S$  ist das räumliche Äquivalent der projektiven Geometrie der ebenen quadratischen Verwandtschaft  $T_2$ .“

Einige Einzelheiten mögen noch zur Erläuterung dienen.

Die vier gemeinsamen Tangenten von  $\Sigma$ , die vier Einheitsgeraden  $t_i$  ( $i = 1, \dots, 4$ ) in  $T_2$ , sind die Bilder der vier Doppelebenen  $\Delta_i$  von  $S$ .

Das Hauptdreieck  $\Delta$  als Ganzes ist das Bild des  $D_3$  von  $S$ ; je drei koplanaren Linienelementen durch  $D_3$  entsprechen drei Linienelemente auf den Seiten von  $\Delta$ , deren Punkte mit den Ecken von  $\Delta$  auf einer  $c_2$  liegen.

Einzeln sind die Seiten von  $\Delta$  die Bilder der drei  $\bar{g}$ ; jedem Punkte auf einer  $\bar{g}$  entspricht ein Punktepaar  $(P, Q)$  auf der bezüglichen Seite von  $\Delta$ . Diese  $\infty^1$  Punktepaare bilden eine Involution, deren Doppelemente die beiden  $\Delta$ -Ecken der Seite sind. Greift man von den Kanten des durch die vier Doppelebenen  $\Delta_i$  gebildeten Tetraeders  $T$  je ein Paar von Gegenkanten heraus und legt an sie vom  $D_3$  aus die Leitgeraden, so sind diese drei Leitgeraden eben die drei Doppelgeraden  $\bar{g}$ .

Wählt man zugleich  $T$  als Koordinatentetraeder, so wird die Klassengleichung von  $S$  von der Gestalt

$$(7) \quad \sum_{i=1}^4 \frac{\alpha_i}{u_i} = 0.$$

Irgendeinem ebenen Schnitte von  $S$  entsprach eine  $c_2$  des Gebüsches  $G$  und umgekehrt. Eine solche  $c_2$  artet nur dann in ein Geradenpaar  $(c_1, c_1')$  aus, wenn dieses ein Paar  $(g, g')$  in  $T_2$  ist. Dann zerfällt aber auch die Bild- $r_4$  auf  $S$  in zwei  $C_2$ , so daß von deren vier Grundpunkten drei auf den  $\bar{g}$  liegen, während der letzte, das Bild des Punktes  $(c_1, c_1') = (g, g')$ , der Berührungspunkt einer Tangentialebene von  $S$

ist und umgekehrt. Damit ergibt sich der Satz (s. Art. „ $F_3$ “, Nr. 13): „Die Tangentialebenen der Fläche  $S$  schneiden die  $\infty^2$   $C_2$ -Paare aus ihr aus.“

Das obige Verfahren gestattet aber auch, den verschiedenen Sonderfällen, die hinsichtlich der drei  $\bar{g}$  eintreten können, gerecht zu werden.

So können von den Seiten von  $\Delta$  zwei konjugiert-imaginär werden, und damit auch zwei der  $\bar{g}$  und umgekehrt. Die Gleichung von  $S$  nimmt dann die Gestalt an

$$(1') \quad S \equiv x_m x_i (x_i^2 + x_k^2) + a_i (x_i^2 + x_k^2)^2 + x_i^2 (a_k x_i^2 + a_i x_k^2) = 0.$$

Weiter können irgend zwei Seiten von  $\mathcal{A}$  oder sogar alle drei koinzidieren und entsprechend wiederum zwei der  $\bar{g}$  oder alle drei.

Im ersteren Falle wähle man als  $\bar{g}_1 = \bar{g}_2$  die Kante  $(x_i = 0, x_k = 0)$  und als  $\bar{g}_3$  die Kante  $(x_k = 0, x_i = 0)$ , so gehört zu  $S$  die Gleichung

$$(8) \quad S \equiv c x_m x_i x_i^2 - (a x_i^4 + b x_i^2 x_k^2) = 0.$$

Schneidet man eine solche  $S$  mit irgendeiner Ebene  $(\alpha x) = 0$  in einer  $r_4$ , so wird die Gleichung von deren Projektion auf die Ebene  $x_m = 0$

$$(8') \quad r_4 \equiv (\alpha_i x_i + \alpha_k x_k + \alpha_i x_i) x_i x_i^2 + (a x_i^4 + b x_i^2 x_k^2) = 0.$$

Diese  $r_4$  besitzt in der Ecke  $A_k$  ( $x_i = x_i = 0$ ) einen Berührknoten (tacnode).

Fallen endlich alle drei  $\bar{g}$  zusammen, etwa in die Kante  $(x_i = x_i = 0)$ , so nimmt die Gleichung von  $S$  die Gestalt an

$$(9) \quad S \equiv c x_m x_i x_i^3 - a (x_k^2 - x_i x_i)^2 = 0.$$

Der Schnitt mit einer Ebene  $(\alpha x) = 0$  führt zu einer  $r_4$ , deren Projektion auf die Ebene  $x_m = 0$  die Gleichung hat

$$(9') \quad (\alpha_i x_i + \alpha_k x_k + \alpha_i x_i) x_i^3 + a (x_k^2 - x_i x_i)^2 = 0.$$

Eine solche  $r_4$  besitzt in der Ecke  $A_k$  ( $x_i = x_i = 0$ ) einen Schmiegeknoten (oscnode).

Läßt man in beiden Fällen die Ebene  $(\alpha)$  geeignet variieren, so gelangt man, wie Moore und Neelley ausgeführt haben<sup>72)</sup>, zur Gesamtheit aller projektiv verschiedenen Typen von  $r_4$  mit tacnode und oscnode. Zugleich lassen sich die Invarianten der  $r_4$  in übersichtlicher Weise durch die Koordinaten  $\alpha_i$  der Schnittebene ausdrücken.

**44. Normaldarstellungen der Fläche.** Wir kehren zurück zu dem „allgemeinen Falle“, wo die vier Einheitsgeraden  $t_i$  und damit auch die Seiten von  $\Delta$  reell ausfallen. Wählt man  $\Delta$  in der Hilfsebene als Koordinatendreieck ( $y_i = 0, y_k = 0, y_l = 0$ ) und irgendeine der vier

72) L. T. Moore und J. H. Neelley, Amer. J. Math. 50 (1928), p. 467.

Geraden  $t_i$ , etwa  $t_m$ , als Gerade  $y_i + y_k + y_l = 0$ , so kann man setzen

$$(10) \quad \begin{cases} -t_m = y_i + y_k + y_l, & t_i = -y_i + y_k + y_l, \\ t_k = y_i - y_k + y_l, & t_l = y_i + y_k - y_l, \end{cases}$$

so daß die  $t$  an die lineare Identität gebunden sind

$$(11) \quad \sum_i^m t_i \equiv 0.$$

Damit erhält man für  $S$  die einfachste Parameterdarstellung

$$(12) \quad \varrho x_i = t_i^2,$$

und im Anschluß daran, als einfachste implizite Gleichung von  $S$  in der irrationalen Gestalt,

$$(13) \quad S \equiv \sum_i^m \sqrt{x_i} = 0.$$

Führt man die rechten Seiten von (12) aus, wobei zur Abkürzung  $y_i^2 + y_k^2 + y_l^2 = s$  gesetzt werde, so kommt

$$(12') \quad \begin{cases} t_i^2 = s - 2y_i y_k - 2y_i y_l + 2y_k y_l, \\ t_k^2 = s - 2y_i y_k + 2y_i y_l - 2y_k y_l, \\ t_l^2 = s + 2y_i y_k - 2y_i y_l - 2y_k y_l, \\ t_m^2 = s + 2y_i y_k + 2y_i y_l + 2y_k y_l. \end{cases}$$

Durch Umkehrung ergibt sich

$$(14) \quad 4s = \sum_{r=i}^m t_r^2, \quad 8y_i y_k = -t_i^2 - t_k^2 + t_l^2 + t_m^2, \text{ usf.}$$

Führt man demgemäß neue Raumpunktkoordinaten  $z$  ein vermöge

$$(15) \quad z_m = \sum x_r, \quad z_i = x_i - x_k - x_l + x_m, \text{ usf.},$$

so lautet in ihnen die Parameterdarstellung von  $S$

$$(16) \quad \sigma z_m = y_i^2 + y_k^2 + y_l^2, \quad \sigma z_i = 2y_k y_l, \quad \sigma z_k = 2y_i y_l, \quad \sigma z_l = 2y_i y_k.$$

An die Darstellung (2) knüpfen sich weitere Bemerkungen. Zunächst fragt es sich, wie man von (2) aus durch Elimination der Größen  $\varrho, \lambda, \mu$  zur Gleichung der  $S$  zurückgelangt. Zu dem Behuf frage man, wann sich drei Ebenen  $(rx) = 0, (sx) = 0, (tx) = 0$  in einem Punkte  $(x)$  der  $S$  treffen, so daß  $x_i = (rst)_{klm}$  wird. Dies führt zu drei  $c_2$ -Gleichungen, die je in den  $r, s, t$  linear sind

$$(17) \quad c_2^{(r)}(r; \lambda, \mu) = 0, \quad c_2^{(s)}(s; \lambda, \mu) = 0, \quad c_2^{(t)}(t; \lambda, \mu) = 0.$$

Man stelle in bekannter Weise die Resultante  $R$  bez.  $\lambda, \mu$  der rechten Seiten von (17) auf, indem man die Ableitungen  $J_\lambda, J_\mu, J_\nu$  der Jacobischen Determinante  $J$  nach  $\lambda, \mu$  und einer homogenen Variablen  $\nu$  gleich Null setzt und aus ihnen und (17) die Quadrate und

Produkte der  $\lambda, \mu, \nu$  eliminiert. Die Resultante  $R$  ist vom vierten Grade in den dreireihigen Determinanten der Koeffizientenmatrix bez.  $\lambda, \mu$  von (17).

Diese dreireihigen Determinanten gehen aber von selbst über in vierreihige vom Typus  $(abcx)$ , wo die Kolonnen der  $a, b, c$  der ursprünglichen Koeffizientenmatrix von (2) angehören. Daraufhin liefert  $R = 0$  direkt die gesuchte Gleichung von  $S$ .

Sodann lassen sich die vier Darstellungsformeln (2) formal in eine einzige zusammenziehen, indem man mit kontragredienten Variablen  $u$  multipliziert und addiert

$$(18) \quad \varrho(ux) = \sum_r c_2^{(r)}(y)u_r.$$

Hier ist die rechte Seite linear in den quaternären  $u$ , quadratisch in den ternären  $y$ , also symbolisch geschrieben

$$(19) \quad S \equiv (ua)(ay)^2.$$

Diese Form  $S$  läßt sich mit *A. Goller*<sup>73)</sup> als einzige Grundform der ganzen Theorie verwenden; die projektiven Eigenschaften der Fläche  $S$  werden gleichwertig mit dem Verschwinden gewisser Komitanten der Form  $S$  (19). Auf diesem Wege untersucht *Goller* die Asymptotenkurven (s. u. Nr. 46) der Fläche, ihre *Hessesche* Fläche u. a. m. (s. Art. „ $F_3$ “, Nr. 13, Note 46).

Sodann gestatten die rechten Seiten von (2) noch eine andere Auffassung, indem man sich dieselben hervorgegangen denkt aus quaternären (quadratischen) Formen  $C_2^{(r)}(z_i, z_k, z_l, z_m)$ , wo man hinterher die  $z$  wieder durch Linearformen in ternären Variablen  $y$  ersetzt.

Deutet man diesen algebraischen Vorgang geometrisch, so gelangt man zu der synthetischen Erzeugung der  $S$  durch *Th. Reye*<sup>74)</sup>: Man hat nur die Raumpunkte eines  $S_3'$  kollinear auf ein  $F_2$ -Gebüsch eines  $S_3$  zu beziehen, so entsprechen den Ebenen Flächen  $S$ . Umgekehrt hat hierauf *Reye*<sup>74)</sup> die Abbildung der Fläche  $S$  gegründet. Einem Punkte des einen Raumes entspricht eine Gruppe von acht assoziierten Punkten im anderen, einer Geraden eine  $C_4$ , einer  $F_n$  eine  $F_{4n}$ , und im besonderen einer Ebene eine  $S$ .

Die analytische Ausführung findet sich bei *V. Snyder* und *F. R. Sharpe*<sup>75)</sup> Synthetische Ergänzungen rühren von *A. Jopke*<sup>76)</sup> her.

73) *A. Goller*, Progr. Ludwigs-Realschule München 1902.

74) *Th. Reye*, J. f. Math. 86 (1878), p. 84; Math. Ann. 48 (1896), p. 113. Vgl. auch „*Reye*“, p. 140.

75) *V. Snyder* und *F. R. Sharpe*, Amer. Math. Soc. Trans. 19 (1898), p. 275.

76) *A. Jopke*, Arch. Math. Phys. (3) 18 (1910), p. 133.

Der Formelapparat vereinfacht sich, wenn man mit *E. Timerding*<sup>77)</sup> das  $F_2$ -Gebüsch als ein solches mit gemeinsamem Poltetraeder wählt. Der mannigfachen Erweiterungen der *Weierstraßschen* Formeln (2) auf Flächen höherer Ordnung und in höheren Räumen ist in Art. „ $F_3$ “, Nr. 13, Note 48a gedacht worden.

**45. Weiteres zur Abbildung der Fläche.** Bezüglich der Abbildung der Fläche  $S$  durch das  $c_2$ -Gebüsch  $G$  seien noch einige Ergänzungen hinzugefügt.

Die vier gemeinsamen Tangenten ( $t_i = 0$ ) der zu  $G$  apolaren Schar  $\Sigma$  bildeten ein Vierseit  $\Omega$ ; auf den Seiten von dessen Hauptdreieck  $\Delta$  liegen je zwei Gegenecken von  $\Omega$ , und diese sind die Doppелеlemente der zugehörigen „ $\Omega$ -Involution“.

Jede  $c_2$  in  $G$  trifft die Seiten von  $\Delta$  in Punktepaaren der zugehörigen  $\Omega$ -Involution. Umgekehrt, trifft eine  $c_2$  irgend zwei der Seiten in Punktepaaren der  $\Omega$ -Involution, so auch die dritte und ist dann in  $G$  enthalten. Diese Regel überträgt sich ohne weiteres auf Schnitte von  $S$  mit  $F_n$ . Die Bilder sind  $c_{2n}$ , die die Seiten von  $\Delta$  in  $n$  Punktepaaren der  $\Omega$ -Involution treffen usw.

Die in Geradenpaare  $(g, g')$  zerfallenden  $c_2$  in  $G$  waren die Bilder der von den Tangentialebenen von  $S$  ausgeschnittenen  $C_2$ -Paare. Ist der Punkt  $P(g, g')$  beliebig vorgegeben, so ergeben sich  $g$  und  $g'$ , indem man die auf zwei der Seiten von  $\Delta$  befindlichen  $\Omega$ -Involutionen von  $P$  aus projiziert und dann das den beiden Geradeninvolutionen gemeinsame Paar bestimmt.

**46. Die Haupttangenteukurven der Fläche.** Das Bild irgendeiner *nicht* in  $G$  enthaltenen  $c_2$  ist eine  $R_4$  auf  $S$ ; dies gilt also im besonderen von den irreduzibeln Individuen  $\gamma_2$  der Schar  $\Sigma$  oder auch den „Inkegelschnitten“ von  $\Omega$ . Deren Bilder  $R_4$  sind aber nach *G. Darboux*<sup>78)</sup> die Haupttangenteukurven von  $S$ .

Dieser bemerkenswerte Satz geht fast unmittelbar aus den elementaren Eigenschaften der Verwandtschaft  $T_2$  hervor.

Je zwei Gerade  $g, g'$  entsprachen sich in  $T_2$ , wenn sie bez.  $\Sigma$  konjugiert waren; sie bildeten zugleich die zerfallenden  $c_2$  in  $G$ . Sei etwa die Gerade  $g$  gegeben, so wird sie von einer bestimmten  $\gamma_2$  der Schar  $\Sigma$  in einem Punkte  $P_1$  berührt; dann geht  $g'$  ebenfalls durch  $P_1$ . Andererseits sind  $g, g'$  die Bilder der beiden  $C_2$ , die auf  $S$  von der Tangentialebene im Bildpunkte  $P$  (von  $P_1$ ) ausgeschnitten werden. Die Tangenten der beiden  $C_2$  in  $P$  sind die beiden durch  $P$  laufenden

77) *H. E. Timerding*, Ann. di mat. (3) 1 (1917), p. 98.

78) *G. Darboux*, Soc. phil. B. 10 (1873), p. 37.

Haupttangentialkurven  $h$  von  $S$ . Wandert jetzt  $g$  als Tangente längs der obigen  $\gamma_2$ , so haben  $\gamma_2$  und  $g$  im jeweiligen Berührungspunkte  $P_1$  die Fortschreitungsrichtung gemein, und die  $\gamma_2$  in  $\Sigma$  sind die einzigen Kurven dieser Art. Somit sind in der Tat die  $\gamma_2$  in  $\Sigma$  die Bilder der Haupttangentialkurven auf  $S$ , die sich als Kurven  $R_4$  weiterhin diskutieren lassen.

47. Der Satz von Lie. Wir stellen noch einige Sätze allgemeineren Charakters über die  $S$  zusammen und verweisen wegen weiterer Einzelheiten wiederum auf Art. „ $F_3$ “, Nr. 13.

*S. Lie*<sup>79)</sup> hat den Satz aufgestellt:

„Der Ort der Pole irgendeiner festen Ebene  $\varepsilon$  in bezug auf alle auf einer  $S$  gelegenen  $C_2$  ist wiederum eine  $S$ . Berührt im besonderen  $\varepsilon$  die  $S$ , so reduziert sich der Ort auf eine  $F_2$ . Der Satz bleibt auch gültig, wenn die gegebene  $S$  in eine  $R-F_3$  ausartet.“

Die *Liesche* Fläche sei mit  $S_\varepsilon$  bezeichnet. *G. Koenigs*<sup>80)</sup> findet den Satz unabhängig von *Lie* und gibt einen analytischen Beweis. Er bemerkt weiter, daß die Doppelberührebenen  $\bar{T}$  von  $S$  einfache Berührebenen  $T$  von  $S_\varepsilon$  sind, und daß  $S_\varepsilon$  die Schnittkurve  $(S, \varepsilon)$  enthält.

*A. Brambilla*<sup>81)</sup> stellt eine Art von Reziprozitätsgesetz auf: „Berührt eine Ebene  $\eta$  die  $S_\varepsilon$ , so berührt auch  $\varepsilon$  die  $S_\eta$ .“ Er gibt auch Ausdehnungen des *Lieschen* Satzes auf „zweidimensionale  $S$ “ im  $S_4$  und  $S_5$ .

*D. Montesano*<sup>82)</sup> untersucht die Beziehungen zwischen den beiden Flächen  $S$  und  $S_\varepsilon$  genauer; er fragt auch nach den Örtern, die bei Variieren der Ebene  $\varepsilon$  von den  $\bar{g}$ , dem  $D_3$  und den Doppelberührebenen  $\bar{T}$  der  $S_\varepsilon$  beschrieben werden.

Sein Ausgangspunkt ist eigenartig. Es liege eine  $F_3$  zugrunde und ein fester Raumpunkt  $P$  (außerhalb der  $F_3$ ). Durch  $P$  lege man irgendeine Gerade  $g$  und denke sich auf ihr die drei vierten harmonischen Punkte  $Q$  in bezug auf je zwei der drei Schnittpunkte von  $F_3$  mit  $g$  bestimmt. Bei Variieren von  $g$  erfüllen die Punkttripel  $Q$  eine kubische Fläche  $M_3$ . Das Auftreten irgendeines  $D_2$  der  $F_3$  bewirkt auch das eines entsprechenden  $D_2'$  der  $M_3$  und vice versa.

Hat also im besonderen die  $F_3$  vier  $D_2$ , ist also die Reziproke zu einer  $S$ , so findet das nämliche für die  $M_3$  statt.

Dualistisch ist somit bei gegebener Ebene  $\varepsilon$  jeder  $S$  eine zweite, eben die  $S_\varepsilon$  zugeordnet, womit der *Liesche* Satz durchsichtig bewiesen ist.

79) *S. Lie*, Arch. Math. og Nat. 3 (1878), p. 84. Der Satz war schon 1869 der Universität zu Kristiania eingereicht, s. *M. Noether*, Math. Ann. 53 (1900), p. 3.

80) *G. Koenigs*, Soc. math. Fr. Bull. 16 (1888), p. 15.

81) *A. Brambilla*, Napoli Rend. (3) 4 (1898), p. 19.

82) *D. Montesano*, Napoli Rend. (3) 5 (1899), p. 88.

Bei Variieren von  $\varepsilon$  beschreiben die  $\bar{g}$  von  $S_\varepsilon$  singuläre lineare Komplexe, die die  $\bar{g}$  von  $S$  zu Achsen haben; der  $D_3$  beschreibt den Raum doppelt und die  $\bar{T}$  von  $S_\varepsilon$  entsprechen sich in einer (nicht involutorischen) *Cremona-Transformation*.

Erweiterungen anderer Art gibt *C. Rosati*<sup>83)</sup> Man denke sich irgend eine  $C_4$  auf  $S$  herausgegriffen. Der Ort der Pole der Sehnen von  $C_4$  in bezug auf die durch ihre Treffpunkte gehenden  $C_2$  von  $S$  ist wiederum eine  $S$ . Zerfällt im besonderen die  $C_4$  in zwei  $C_2$ , so zerfällt der in Rede stehende Ort in die Ebenen der beiden  $C_2$  und eine  $F_2$ . Ist andererseits die  $C_4$  eine Haupttangentialkurve auf  $S$ , so fällt der Ort mit  $S$  zusammen u. a. m. Artet die  $S$  in eine  $R-F_3$  aus, so erfahren diese Sätze gewisse Modifikationen.

Der Verfasser leitet seine Sätze her durch geeignete Projektion der im  $S_5$  gelegenen zweidimensionalen *Veroneseschen* Fläche

$$x_1 : x_2 : x_3 : x_4 : x_5 : x_6 = \lambda_1^2 : \lambda_2^2 : \lambda_3^2 : \lambda_2 \lambda_3 : \lambda_1 \lambda_3 : \lambda_1 \lambda_2,$$

die zuerst *G. Veronese*<sup>84)</sup> genauer untersucht hat.

Für den *Lieschen* Satz hat *W. Franz Meyer* einen invariantentheoretischen Beweis geliefert (s. „ $F_3$ “, Nr. 13). Sei  $S$  wiederum dargestellt durch

$$(a) \quad \varrho x_i = c^{(i)}(\lambda_r, \lambda_s, \lambda_t).$$

Die  $\infty^2$ , auf  $S$  gelegenen  $C_2$  ergeben sich hieraus bei Ersetzung der  $\lambda_r, \lambda_s, \lambda_t$  durch beliebige Linearformen eines Parameters  $\lambda$

$$(b) \quad \lambda_k = \alpha_k \lambda + \beta_k \quad (k = r, s, t).$$

Für  $u_r = (\alpha\beta)_{s,t}$  geht damit (a) über in

$$(c) \quad \varrho x_i = f_i(\lambda) = a_i \lambda^2 + 2b_i \lambda + c_i.$$

Für die Schnittpunkte  $\lambda_1, \lambda_2$  einer solchen  $C_2$  mit einer Ebene  $\varepsilon$  hat man die Gleichung

$$(d) \quad \lambda^2(a\varepsilon) + 2\lambda(b\varepsilon) + (c\varepsilon) = 0,$$

oder auch für  $\sigma_2 : \sigma_1 : \sigma_0 = \lambda_1 \lambda_2 : \lambda_1 + \lambda_2 : 1$

$$(d') \quad \sigma_2 : \sigma_1 : \sigma_0 = (c\varepsilon) : -2(b\varepsilon) : (a\varepsilon).$$

Nun hat der Pol  $P'(x')$  von  $\varepsilon$  bez.  $C_2$  die Koordinaten

$$(e) \quad \varrho x_i' = a_i \sigma_2 + b_i \sigma_1 + c_i \sigma_0.$$

Setzt man hier die Werte der  $\sigma$  aus (d') ein, und ordnet nach den  $\varepsilon_i$ , so ergibt sich für den gesuchten Ort der Pole  $P'(x')$

$$(f) \quad \varrho x_r' = \varepsilon_i \eta_{ir} + \varepsilon_k \eta_{kr} + \varepsilon_l \eta_{lr} + \varepsilon_m \eta_{mr} \quad (r = i, k, l, m),$$

83) *C. Rosati*, Torino Atti 35 (1900), p. 12.

84) *G. Veronese*, Rom Linc. Mem. (3) 19 (1884).

wo unter  $\eta_{rs}$  die in den Koeffizienten bilineare, in den Variablen  $u$  quadratische Kontravariante der Formen  $c^{(r)}$  und  $c^{(s)}$  zu verstehen ist, so daß im besonderen für  $r = s$   $\eta_{rr}$  die Klassenform von  $c^{(r)}$  wird.

Dann stellt ( $f$ ) die gesuchte  $S_e$  dar. Das Beweisprinzip ist ausdehnbar auf Formen  $c^{(s)}$  höheren Grades und in mehr Parametern, sowie auf den  $S_n$ .

**48. Die Sätze von Darboux, Picard und Castelnuovo.** Eine Reihe weiterer Sätze bezweckt, wenn man von den  $R$ - $F$  absieht, wie es im folgenden stets der Fall sei, die Fläche  $S$  auf Grund gewisser, auf ihr gelegener  $C$ -Scharen zu charakterisieren.

Schon *Kummer* (Nr. 8) hatte erkannt, daß die  $S$  die einzigen  $F_4$  mit einer  $\infty^2$ -Schar von  $C_2$  sind.

Diesen Satz verallgemeinert *G. Darboux*, im Anschluß an seine Untersuchung<sup>85)</sup> über  $C_2$ , die mit einer  $F_4$  einen möglichst hohen Kontakt haben, dahin, daß überhaupt eine  $F$  mit  $\infty^2$   $C_2$  eine  $S$  ist.

Eine weitere Verallgemeinerung rührt von *E. Picard*<sup>86)</sup> her („*Picardscher Satz*“). Danach ist die  $S$  auch dadurch charakterisierbar, daß sie eine  $F$  mit ebenen rationalen Schnitten ist. *Picard*s erste Mitteilung (1878) hierüber deutet den Beweis nur an; erst 1886 erfolgt eine ausführlichere Begründung.

Indessen stellte *G. B. Guccia*<sup>87)</sup> eine Lücke im *Picard*schen Beweise fest, und er ersetzt ihn daher durch einen anderen unter Ausdehnung der Methoden, die *M. Noether*<sup>88)</sup> zur Untersuchung der  $F$  mit Scharen rationaler  $C$  verwendet hatte.

Noch allgemeinere Gesichtspunkte treten bei *G. Castelnuovo*<sup>89)</sup> auf. In einer ersten Arbeit geht er aus von Eigenschaften ebener  $c$ , die bei eindeutiger Transformation erhalten bleiben. Daraufhin untersucht er solche Familien von  $F$ , deren ebene Schnitte ein vorgegebenes Geschlecht  $p$  besitzen. Für  $p \leq 2$  ergibt sich, daß solche Flächen rational sind. Für  $p = 0$  resultiert als Spezialfall der *Picard*sche Satz.

In abermaliger Erweiterung unter Benutzung eines Hilfssatzes von *L. Kronecker* beweist *Castelnuovo*, daß die irreduzibeln  $F$ , die von Ebenen in einem  $\infty^2$ -System reduzibler  $C$  geschnitten werden, Flächen  $S$  sind („*Castelnuovoscher Satz*“). Auf den  $S_4$  hat den *Picard*schen Satz *E. H. Moore*<sup>90)</sup> ausgedehnt.

85) *G. Darboux*, Bull. Math. Astr. (2) 4 (1880), p. 348.

86) *E. Picard*, Paris Soc. Phil. 1878, p. 127; J. f. Math. 100 (1886), p. 71.

87) *G. B. Guccia*, Palermo Rend. 1 (1887), p. 165.

88) *M. Noether*, Math. Ann. 3 (1871), p. 161.

89) *G. Castelnuovo*, Rom Linc. Rend. (5) 3<sub>1</sub> (1894), p. 22.

90) *E. H. Moore*, Amer. J. Math. 10 (1887), p. 27.

**49. Verallgemeinerungen der Weierstraßschen Darstellung der Fläche.** Die *Weierstraßsche* Darstellung (2) der  $S$  ist verschiedentlich verallgemeinert worden.

So hat *G. Koenigs*<sup>91)</sup> überhaupt  $F$  mit Scharen von  $C_2$  untersucht, derart, daß durch jeden Punkt der  $F$   $n$   $C_2$  gehen.

Den Fall mit doppelter  $C_2$ -Erzeugung, insbesondere Kreiserzeugung, verfolgt eingehend *E. Cosserat*.<sup>92)</sup>

Mit Hilfe dieser Methode haben *G. Veronese*, *E. Ascione*, *E. Cosserat*<sup>93)</sup> die  $S$  auch als Projektion vom  $S_4$  aus untersucht.

Andererseits hat man das Analogon der  $S$  im  $S_n$  in Betracht gezogen. *A. Tantarri*<sup>94)</sup> studiert den Fall  $n = 4$ , den allgemeinen Fall *A. Brambilla*.<sup>94)</sup>

Endlich läßt sich die *Weierstraßsche* Darstellung der  $S$  in der spezifischen Form (12) ausdehnen, indem man mit *A. Brambilla*<sup>95)</sup> die vier Quadrate linearer Ternärformen durch  $n^{\text{te}}$  Potenzen ersetzt; es ist beachtenswert, daß sich auch jetzt noch die Haupttangentialkurven als Inkegelschnitte eines Vierseits abbilden.

Ferner haben sich an die irrationale Darstellung (13) der  $S$  weitere Untersuchungen angeschlossen.

So hat *C. Segre*<sup>96)</sup> mittels der geometrischen Eigenschaften der Transformation  $\rho x_i' = x_i^2$  die Haupteigenschaften der  $S$  abgeleitet.

Die irrationale Darstellung (13) der  $S$  in der Gestalt  $\sum_{i=1}^{i=4} \sqrt{A_i} x_i = 0$  dehnt *A. Brambilla*<sup>97)</sup> auf den nächst höheren Fall aus  $\sum_{i=1}^{i=5} \sqrt{A_i} x_i = 0$  und untersucht die so entstehende  $F_3$ .

Aus der irrationalen Darstellung der  $S$  leitet *A. Roberts*<sup>98)</sup> drei orthogonale Transformationen ab, die  $S$  in sich überführen.

91) *G. Koenigs*, Paris C. R. 105 (1887), p. 407; J. Éc. Norm. (3) 5<sub>2</sub> (1887), p. 177. Vgl. *G. Jung*, Palermo Rend. 4 (1890), p. 253; *Ed. Weyr*, Monatsh. Math. Phys. 2 (1891), p. 351.

92) *E. Cosserat*, Paris C. R. 124 (1887), p. 1004; 130 (1900), p. 311, 385 (im besonderen doppelte Kreiserzeugung). Vgl. *H. Sisam*, Amer. J. Math. 30 (1908), p. 99.

93) *G. Veronese*, Rom Linc. Mem. (3) 19 (1884), p. 19; *E. Ascione*, Rom Linc. Rend. (5) 6<sub>1</sub> (1897), p. 162, 240; *E. Cosserat*, s. Note 92).

94) *A. Tantarri*, Giorn. di mat. (2) 14 (1907), p. 45, 291; *A. Brambilla*, Napoli Atti (2) 9 (1899), p. 185.

95) *A. Brambilla*, Torino Atti 20 (1885), p. 781; Lomb. Ist. Rend. (2) 21 (1888), p. 334, 541; Palermo Rend. 2 (1888), p. 176. Vgl. *G. Lazzari*, Veneto Ist. Atti (6) 6 (1888), p. 171.

96) *C. Segre*, Giorn. di mat. 21 (1883), p. 358.

97) *A. Brambilla*, Giorn. di mat. 35 (1897), p. 1.

98) *A. Roberts*, Mess. 11 (1885), p. 132.

**50. Metrische Beziehungen.** Eine metrische Spezialisierung liegt bei  $K. Merz$ <sup>99)</sup> vor, indem er bei rechtwinkligen  $x, y, z$  die Gleichung  $\sqrt{\frac{x}{\alpha}} + \sqrt{\frac{y}{\beta}} + \sqrt{\frac{z}{\gamma}} = 1$  zugrunde legt. Vermöge der Transformation  $\xi^2 = x, \eta^2 = y, \zeta^2 = z$  (s. *Segre* oben) wird die  $S$  abgebildet auf ein Oktaeder. Die Ebenen desselben erscheinen als Ort der Doppelgeraden eines gewissen Strahlensystems.

Auch sei noch hingewiesen auf eine gewisse  $F_4$  als projektive Verallgemeinerung der  $S$  bei  $P. L. Schoute$ .<sup>100)</sup> Auf einer solchen  $F_4$  liegen weder  $C_{2n+1}$  noch elliptische  $C_4$ , wie das für die  $S$  schon „*Cremona*“ und „*Sturm*“ gezeigt hatten.

Die  $F_4$  auf  $S$  studiert  $G. Armenante$ .<sup>101)</sup> Eine Konstruktion der Tangentialebene gibt  $J. Rowe$ .<sup>101a)</sup>

Noch seien einige weitere metrische Eigenschaften der  $S$  erwähnt.  $E. Amigues$ <sup>102)</sup> betrachtet die  $S$  als eine gewisse „Mittelpunktsfläche“.

Der Umriß der  $S$  von irgendeinem Punkte einer der drei  $\bar{g}$  aus ist nach *Cayley-Sharp*<sup>103)</sup> eine Ellipse.

Bei  $W. Schmidt$ <sup>104)</sup> erscheint die  $S$  als Ort der Punkte, für die die Summe der auf zwei feste windschiefe Gerade gefällten Lote gleich deren kürzestem Abstand ist. Ersetzt man diesen durch eine beliebige Konstante, so entsteht eine allgemeinere  $F_4$  (s. Nr. 86).

**51. Die Krümmungslinien auf der Fläche  $S$ .** Behufs Bestimmung der Krümmungslinien von  $S$ , deren Gleichung wieder in der irrationalen Gestalt

$$(13') \quad S \equiv \sqrt{\frac{x}{a}} + \sqrt{\frac{y}{b}} + \sqrt{\frac{z}{c}} - 1 = 0$$

angenommen sei, entwickelt  $G. Darboux$ <sup>105)</sup> eine allgemeinere Methode. Zugrunde liegt das *Dupinsche* Theorem, wonach sich die Flächen eines  $\infty^2$ -orthogonalen Systems in ihren Krümmungslinien schneiden (s. Art. III D 9, *E. Salkowski*, Dreifach orthogonale Systeme). Es liege ein  $\infty^1$ -Flächensystem mit einem Parameter  $u$  vor in der Gestalt

$$(\alpha) \quad X + Y + Z \equiv u,$$

99) *K. Merz*, Dissert. Techn. Hochsch. Zürich 1914; Schweiz. Naturf. Ges. 1914, p. 102. Siehe auch die historischen Notizen von *K. Merz*, *Ens. Math.* 19 (1917), p. 89.

100) *P. L. Schoute*, Amsterdam Ak. 4 (1896), p. 224, 272.

101) *A. Armenante*, *Giorn. di mat.* 12 (1874), p. 250.

101a) *J. Rowe*, *Amer. Math. Soc. Proc.* 12 (1911), p. 295.

102) *E. Amigues*, *Paris C. R.* 86 (1878), p. 38.

103) *A. Cayley-Sharp*, *Educ. Times* 39 (1883), p. 31.

104) *W. Schmidt*, *Progr. Realgymn. Lüdenscheid* 1889.

105) *G. Darboux*, *Paris C. R.* 84 (1877), p. 382.

wo  $X, Y, Z$  je nur von  $x, y, z$  abhängen, und überdies drei Bedingungen genügen von dem Typus

$$(\beta) \quad X'X'' \equiv 2(X'' - a)(X'' - b) \text{ usf.}$$

Eine solche Schar ( $\alpha$ ) gehört nach einem Satze von *J. A. Serret* einem  $\infty^3$ -Orthogonalsysteme an (s. Art. III D 3, *R. v. Lilienthal*, Kurven auf einer Fläche, Nr. 35).

Es wird zunächst untersucht, wie sich die beiden anderen Scharen des Systems als Enveloppen von Flächen ergeben, die sich durch eine gewisse Quadratur bestimmen lassen. Sodann wird die Erweiterung verfolgt, wenn auf den rechten Seiten der Bedingungen ( $\beta$ ) an die Stelle des Faktors 2 eine beliebige Konstante  $2k$  tritt.

Daraus läßt sich folgern, daß sich unendlichviele algebraische  $\infty^3$ -orthogonale Flächensysteme angeben lassen, deren drei Scharen der nämlichen Gleichungsform genügen und sich nur durch die Parameterwerte unterscheiden.

Dies findet im besonderen seine Anwendung auf die Fläche  $S$  (13') sowie auch auf die  $F_3$  mit  $4D_2$  (s. „ $F_3$ “, Nr. 13) mit der Gleichung  $\frac{\alpha}{x} + \frac{\beta}{y} + \frac{\gamma}{z} - 1 = 0$  und allgemeiner auf die Fläche mit der Gleichung  $\left(\frac{x}{a}\right)^m + \left(\frac{y}{b}\right)^m + \left(\frac{z}{c}\right)^m - 1 = 0$ .

### VIII. Rationale Flächen vierter und höherer Ordnung.

**52. Einleitung.** Rationale Flächen oder auch solche vom Geschlecht Null sind solche, die sich durch ein homaloides Gebüsch von Kurven in einer Ebene mit einer endlichen Anzahl von Grundpunkten  $A$  („Fundamentalpunkten“) auf die Ebene abbilden lassen (s. Art. III C 11, *L. Berzolari*, Algebraische Transformationen).

Diese Abbildung ist eine (1, 1)-deutige mit Ausnahme der Fundamentalpunkte  $A$ ; letzteren entsprechen Kurven  $C$  auf der Fläche, oder genauer, die Linienelemente durch einen Punkt  $A$  korrespondieren (1, 1)-deutig den Linienelementen auf  $C$ . Vermöge einer solchen Abbildung lassen sich die homogenen Koordinaten eines Punktes  $P$  einer rationalen Fläche  $F$  darstellen als Formen derselben Ordnung in drei homogenen Parametern und umgekehrt; diese Parameter sind die Punktkoordinaten in der Bildebene.

**53. Die Typen rationaler  $F_4$ .** Wir beschränken uns in der Hauptsache auf die rationalen  $F_4$ , da man solche höherer Ordnung nur unvollständig kennt.

In den vorausgehenden Abschnitten ist bereits eine Reihe rationaler  $F_4$  behandelt worden; diese besaßen entweder eine mehrfache Kurve oder aber einen  $D_3$ .

*M. Noether*<sup>106)</sup> bewies, daß alle  $F_4$  mit einer mehrfachen Kurve rational sind.

Zu diesen Typen rationaler  $F_4$  tritt zunächst noch der einer  $F_4$  mit Selbstberührungspunkt (s. auch Nr. 7), der durch *Noether* und *L. Cremona* erledigt wurde.<sup>107)</sup>

Die Abbildung geschieht durch ein Gebüsch  $G$  von  $c_6$  mit 7  $d_2$  und 4  $d_1$ .

Man beachte hierbei, daß  $G$  ein  $c_6$ -Gebüsch von besonderer Art ist. Durch sieben beliebige Punkte als  $d_2$  geht, da eine allgemeine  $c_6$  von 27 Konstanten abhängt, eine  $\infty^6$ -lineare Schar von  $c_6$ , also durch vier weitere einfache Punkte nur ein Netz. Die obigen 7 + 4 Punkte sind somit an die Bedingung geknüpft, daß eine  $c_6$ , die in den sieben ersteren Punkten  $d_2$  besitzt und noch durch drei weitere der vier letzteren Punkte einfach hindurchgeht, auch den vierten Punkt enthalten muß.

Irgend zwei  $c_6$  in  $G$  treffen sich in  $36 - 4 \cdot 7 - 4 = 4$  variierenden Punkten, wie es sein muß.

Die Theorie der rationalen  $F_4$  brachte *Noether*<sup>108)</sup> dadurch zum Abschluß, daß er zeigte, wie nur noch zwei weitere Typen existieren.

Die Form der  $F_4$ -Gleichung für den ersteren Typus lautet

$$(1) \quad F_4 \equiv f_1^2 x_4^2 + 2\{f_1 x_3(x_3 + g_1) + g_3\} x_4 + x_3^4 + 2x_3^3 h_1 \\ + x_3^2 h_2 + x_3 h_3 + h_4 = 0,$$

wo die  $f, g, h$  binäre Formen in  $x_1, x_2$  mit dem jeweiligen Index als Ordnung bedeuten.

Die Abbildung vollzieht sich durch ein Gebüsch  $G$  von  $c_7$  mit einem  $d_3$  und 9  $d_2$  als Grundpunkten.

Bezüglich der Grundpunkte von  $G$  tritt eine ähnliche Erscheinung ein wie soeben.

Da eine allgemeine  $c_7$  von 35 Konstanten abhängt, so gibt es nur ein Netz von  $c_7$ , die an einer beliebigen Stelle einen  $d_3$  besitzen und an neun weiteren beliebigen Stellen  $d_2$ ; denn man hat  $35 - 6 - 3 \cdot 9 = 2$ . Soll aber statt des Netzes ein Gebüsch  $G$  eintreten, so müssen die zehn Grundpunkte einer gewissen Bedingung unterliegen. Andererseits treffen sich irgend zwei Individuen von  $G$  in  $49 - 9 - 9 \cdot 4 = 4$  beweglichen Punkten, wie es sein muß.

106) *M. Noether*, Math. Ann. 3 (1871), p. 161; 4 (1871), p. 547.

107) *M. Noether*, Gött. Nachr. 1871, p. 267; *L. Cremona*, Math. Ann. 4 (1871), p. 213; „In Memoriam Chelini“, Milano 1881, p. 413.

108) *M. Noether*, Math. Ann. 33 (1889), p. 546. Vgl. *G. Jung*, Ann. di mat. (2) 15 (1887), p. 277; *D. Montesano*, Napoli Rend. (3) 6 (1900), p. 158.

Der letzte Typus ist charakterisiert durch die Gleichungsform

$$(2) \quad F_4 \equiv x_1^2 x_4^2 - 2(x_3 x_1 f_1 + g_3) x_4 - x_3^3 x_1 + x_3^2 h_2 + x_3 h_3 + h_4 = 0,$$

wo wiederum die  $f, g, h$  Binärformen in  $x_1, x_3$  sind.

Das Abbildungsgebüsch  $G$  besteht aus  $c_9$  mit 8  $d_3$ , einem  $d_2$  und einem  $d_1$ . Auch hier sind die Lagen der zehn Grundpunkte einer Beschränkung unterworfen.

Denn da eine allgemeine  $c_9$  von 54 Konstanten abhängt, so wären bei beliebiger Lage der Grundpunkte  $8 \cdot 6 + 3 + 1 = 52$  Bedingungen zu erfüllen, so daß dann nur ein Netz von  $c_9$  existierte.

Andererseits treffen sich irgend zwei  $c_9$  von  $G$  in  $81 - 8 \cdot 9 - 4 - 1 = 4$  beweglichen Punkten, wie es sein muß.

### IX. Flächen vierter und höherer Ordnung mit endlichvielen Geraden.

**54. Flächen vierter und höherer Ordnung ohne Singularitäten mit einer endlichen Anzahl von Geraden.** Mangels einer systematischen Kenntnis dieser besonderen  $F_4, F_5, \dots$  — kennt man doch nicht einmal die jeweilige Maximalanzahl von Geraden auf der Fläche — beschränken wir uns darauf, eine Reihe von beachtenswerten Typen herauszugreifen.

Zunächst die  $F_4$ .

Wie schon in Nr. 3 hervorgehoben, erfordert das Auftreten einer Geraden  $g$  auf einer  $F_4$  eine invariante Bedingung für die Konstanten der Fläche, so daß auf einer punktallgemeinen  $F_4$  keine  $g$  liegen kann.

Die Gleichung einer  $F_4$  mit einer vorgelegten  $g(x_i = 0, x_k = 0)$ , wo fünf Bedingungen zu erfüllen sind, hat die Struktur

$$(1) \quad F_4 \equiv x_i F_3 + x_k G_3 = 0.$$

Im nächst höheren Falle von zwei Geraden  $g_1, g_2$  ist zu unterscheiden, ob diese windschief oder aber inzident sind; im ersteren Falle sind zehn, im letzteren neun Bedingungen zu erfüllen.

Bei zwei windschiefen Geraden

$$g_1(x_i = 0, x_k = 0), \quad g_2(x_i = 0, x_m = 0)$$

ist die Gleichung der  $F_4$  von der Gestalt

$$(2a) \quad F_4 \equiv x_i x_i F_2 + x_i x_m G_2 + x_k x_i H_2 + x_k x_m L_2 = 0.$$

Dagegen bei zwei inzidenten Geraden

$$g_1(x_i = 0, x_k = 0), \quad g_2(x_i = 0, x_l = 0)$$

$$(2b) \quad F_4 = x_i F_3 + x_k x_l G_2 = 0.$$

Wir gehen über zu  $F_4$  mit drei Geraden  $g_1, g_2, g_3$ . Man hat wieder die drei Hauptfälle zu unterscheiden, wo entweder alle drei  $g$  windschief sind, oder aber nur zwei, oder endlich, wo je zwei der  $g$  inzident sind.

*Erster Fall.* Alle drei  $g$  sind windschief, so daß etwa

$$g_1(a=0, a'=0), \quad g_2(x_i=0, x_k=0), \quad g_3(x_l=0, x_m=0).$$

Es sind 15 Bedingungen zu befriedigen. Gemäß (2 a) muß die Gleichung der  $F_3$  von der Struktur sein

$$(3 a) \quad F_4 \equiv a(x_i x_l a_1 + x_i x_m b_1 + x_k x_l c_1 + x_k x_m d_1) \\ + a'(x_i x_l a_1' + x_i x_m b_1' + x_k x_l c_1' + x_k x_m d_1') = 0.$$

*Zweiter Fall.* Nur zwei der drei  $g$ ,  $g_1$  und  $g_2$  sind windschief. Es treten zwei Unterfälle ein, je nachdem die dritte Gerade  $g_3$  nur eine jener beiden, oder aber beide trifft; bei ersterem sind 14, bei letzterem 13 Bedingungen zu erfüllen.

Im ersteren Unterfalle seien die isolierte Gerade  $g = g_3$  ( $a = 0, a' = 0$ ), die beiden anderen  $g_1(x_i = 0, x_k = 0), g_2(x_l = 0, x_l = 0)$ . Man hat gemäß (2 b) die Gleichungsform

$$(3 b) \quad F_4 \equiv a(x_i F_2 + x_k x_l F_1) + a'(x_i F_2' + x_k x_l F_1') = 0.$$

Im zweiten Unterfalle seien die beiden windschiefen Geraden wieder  $g_1(x_i = 0, x_k = 0), g_2(x_l = 0, x_m = 0)$ , dagegen die dritte, beide treffende,  $g_3$  etwa ( $x_k = 0, x_m = 0$ ).

Es entsteht die Gleichungsform

$$(3 b') \quad F_4 \equiv x_i x_l (x_k F_1 + x_m F_1') + x_i x_m (x_k G_1 + x_m G_1') \\ + x_k x_l (x_k H_1 + x_m H_1') + x_k x_m (x_k L_1 + x_m L_1') = 0.$$

*Dritter Fall.* Je zwei der drei  $g$  sind inzident. Dann liegen entweder alle drei  $g$  in einer Ebene ( $x_m = 0$ ), also

$$g_1(x_m = 0, x_i = 0), \quad g_2(x_m = 0, x_k = 0), \quad g_3(x_m = 0, x_l = 0),$$

oder aber sie laufen durch einen Punkt ( $A_m$ ), also

$$g_1(x_i = 0, x_k = 0), \quad g_2(x_i = 0, x_l = 0), \quad g_3(x_k = 0, x_l = 0).$$

Die Gleichungsformen der  $F_4$  werden

$$(3 c) \quad F_4 \equiv x_m F_3 + x_i x_k x_l F_1 = 0,$$

resp.

$$(3 c') \quad F_4 \equiv x_k x_l F_2 + x_i x_l G_2 + x_i x_k H_2 = 0.$$

Mithin besitzen diese letzteren  $F_4$  einen  $D_2$  im Punkte  $A_m$ , in dem die drei Geraden  $g$  zusammenstoßen.

Hieran schließen sich die Fälle, wo durch einen  $D_2$  mehr als drei Gerade der  $F_4$  gehen; sie seien hier gleich mit behandelt, wenn sie auch ihrer Natur nach zu Nr. 55 gehören.

Eine vierte Gerade  $g_4$  treffe die Ebene  $x_m = 0$  in einem Punkte  $Q(y_i, y_k, y_l, 0)$ . Man ordne demgemäß in (3 c') die Formen  $F_2, G_2, H_2$  nach  $x_m$ ,

$$(4) \quad F_2 \equiv x_m^2 a_0 + x_m a_1 + a_2, \quad G_2 \equiv x_m^2 b_0 + \dots, \quad H_2 \equiv x_m^2 c_0 + \dots$$

Die Gerade  $g_4 = (A_m, Q)$  trifft die  $F_2$  in zwei Restpunkten, die von der in  $x_m$  quadratischen Gleichung abhängen

$$(5) \quad x_m^2 (a_0 y_k y_l + b_0 y_i y_j + c_0 y_i y_k) + x_m \{ a_1(y) y_k y_l + \dots \} + \{ a_2(y) y_k y_l + \dots \} = 0.$$

Soll  $g_4$  der  $F_4$  angehören, so muß (5) in  $x_m$  identisch erfüllt sein, so daß man einzeln hat

$$(6) \quad \begin{aligned} a_0 y_k y_l + b_0 y_i y_j + c_0 y_i y_k &= 0, \\ a_1(y) y_k y_l + \dots &= 0, \quad a_2(y) y_k y_l + \dots = 0. \end{aligned}$$

Bei gegebener Geraden  $g$ , d. h. bei gegebenem Punkte  $Q(y)$ , lassen sich in mannigfaltiger Weise Wertsysteme der  $a_0, b_0, c_0$ , sowie der in  $a_1, \dots, a_2, \dots$  auftretenden Koeffizienten angeben, die (6) erfüllen.

Analog verhält es sich mit einer fünften Geraden  $g_5$ , die durch den Punkt  $R(x)$  in  $x_m = 0$  festgelegt sei. Soll auch  $g_5$  der  $F_4$  angehören, so treten zu (6) drei weitere Bedingungen hinzu, die aus (6) durch Vertauschung der  $y$  mit den  $z$  hervortreten.

Die Konstanten  $a_0, b_0, c_0$  sind jetzt an zwei lineare homogene Bedingungen gebunden, sind also im allgemeinen bestimmt, und verschwinden nicht zugleich, d. h. der Punkt  $A_m$  bleibt noch ein  $D_2$ .

Dieser Fall tritt z. B. bei der *Weddleschen Fläche* ein (s. Nr. 65).

Es werde zu einer sechsten Geraden  $g_6$  durch  $A_m$  übergegangen, die durch einen Punkt  $S(s)$  in der Ebene  $x_m = 0$  bestimmt sei. Hier sind zwei Fälle zu unterscheiden. Die drei Konstanten  $a_0, b_0, c_0$  unterliegen jetzt drei Bedingungen von dem in (6) angegebenen Typus. Entweder, „im allgemeinen“, sind die drei Punkte  $Q, R, S$  beliebig, d. h. sie liegen *nicht* mit den drei Koordinatenecken  $A_i, A_k, A_l$  auf einer  $c_2$ . Dann liegen drei in  $a_0, b_0, c_0$  lineare homogene Relationen mit nichtverschwindender Koeffizientendeterminante vor. Mithin verschwinden die  $a_0, b_0, c_0$  einzeln, d. h. die  $F_4$  besitzt in  $A_m$  einen  $D_3$  (siehe Nr. 37), und ihre Gleichung nimmt die Form an

$$(7) \quad F_4 \equiv x_m a_3 + a_4 = 0.$$

Oder aber im besonderen, jene Determinante verschwindet, die  $a_0, b_0, c_0$  verschwinden nicht zugleich und sind bestimmt; der  $D_2$  in  $A_m$  bleibt ein solcher.

Ordnet man die Gleichung der  $F_4$  nach  $x_m$ , wie folgt

$$(8) \quad F_4 \equiv x_m^2 K_2 + x_m K_3 + K_4 = 0,$$

so ist die Gleichung des von  $A_m$  an die  $F_4$  gehenden Tangentenkegels  $K_2$  des  $D_2$

$$(9) \quad K_2 \equiv a_0 x_k x_i + b_0 x_i x_i + c_0 x_i x_k = 0.$$

Die sechs Geraden  $g$  sind jetzt Kanten dieses Kegels  $K_2$  und zugleich solche des kubischen Kegels  $K_3$  und des biquadratischen  $K_4$ .

Mehr als sechs Gerade durch  $A_m$  könnte die  $F_4$  nur in dem singulären Falle besitzen, wenn die Form  $K_3$  identisch verschwindet, dann würden die acht gemeinsamen Kanten der beiden Kegel  $K_2$  und  $K_4$  auf der  $F_4$  liegen.

Wir kehren zurück zu  $F_4$  mit windschiefen Geraden. Indem die Fälle mit vier, fünf, sechs solchen Geraden übergangen seien, werde der Fall von sieben solchen Geraden ins Auge gefaßt. Da die Existenz solcher, beliebig gegeben gedachter sieben Geraden auf einer  $F_4$   $7 \cdot 5 = 35$  unabhängige Bedingungen involviert, so müssen jene sieben Geraden einer gewissen Abhängigkeit unterliegen. Diese hat Cayley<sup>109)</sup> näher untersucht. Wie später E. Wakeford<sup>110)</sup> ausgeführt hat, steht eine solche  $F_4$  mit sieben windschiefen  $g$  in enger Verbindung mit einer gewissen kubischen Raumtransformation  $T_3$  (s. „ $F_3$ “, Nr. 11).

Man gehe von vier beliebigen windschiefen Geraden  $h_1, \dots, h_4$  aus. Durch diese geht ein Gebüsch  $G$  von  $F_3$ , dessen Gleichung sei

$$(10) \quad G \equiv \sum_{i=1}^4 u_i F_3^{(i)} = 0.$$

Man ordne den  $F_3$  dieses Gebüsches  $G$  das Gebüsch der Ebenen  $E(u)$  eines zweiten Raumes kollinear zu. Dadurch wird eine kubische Cremonasche Punkttransformation  $T_3$  zwischen beiden Räumen festgelegt. Umgekehrt korrespondiert dabei das Gebüsch der Ebenen  $E(u)$  des ersten Raumes einem Gebüsch  $G'$  von Flächen 3. Ordnung  $F_3'$  im zweiten Raume, wiederum mit vier gemeinsamen Geraden  $h'_1, \dots, h'_4$ .

Eine beliebige Gerade  $g$  des ersten Raumes geht vermöge der  $T_3$  über in eine  $C_3$ , die die vier Geraden  $h'$  zu Sekanten hat, und vice versa.

Von besonderem Interesse ist eine gewisse  $F_4$  mit zehn windschiefen Geraden  $g$ . Diese  $F_4$  ist der Ort der Spitzen der Kegel eines „allgemeinen“  $F_3$ -Gebüsches  $G$ , d. h. eines solchen ohne gemeinsame Grundpunkte, und steht in engster Verbindung mit der Theorie der „allgemeinen“ ebenen rationalen Kurven 6. Ordnung  $r_6$ , d. h. solcher,

109) A. Cayley, London Math. Soc. Proc. 3 (1871), p. 19, 198.

110) E. K. Wakeford, London Math. Soc. Proc. (2) 21 (1921), p. 98; vgl. dazu die Bemerkungen von H. F. Baker, ib. p. 114.

die zehn  $d_2$  besitzen. Es werde von diesen  $r_6$  ausgegangen.<sup>111)</sup> Die Parameterdarstellung einer solchen  $r_6$  lautet

$$(11) \quad \varrho x_i = f_i(\lambda) \quad (i = 1, 2, 3),$$

wo die  $f_i$  binäre Formen 6. Ordnung in  $\lambda$  sind.

Zu diesem Netz von Formen  $f$  gehört ein apolares Gebüsch von Formen  $\varphi$  derselben Ordnung, das sich zusammensetze aus

$$(12) \quad \varphi_a = (a\lambda)^6, \quad \varphi_b = (b\lambda)^6, \quad \varphi_c = (c\lambda)^6, \quad \varphi_d = (d\lambda)^6,$$

mit realen Koeffizienten  $a_0, a_1, \dots, a_6$  usf.

Bedeutet  $\lambda_1, \dots, \lambda_6$  irgend sechs Parameterwerte und  $s_k$  ( $k = 0, 1, \dots, 6$ ) deren homogene elementarsymmetrische Verbindungen, so bilde man vermöge Polarisierung nach den  $\lambda_1, \dots, \lambda_6$  aus (12) die vier Linearformen

$$(13) \quad \begin{aligned} (as) &\equiv \sum a_k s_k, & (bs) &\equiv \sum b_k s_k, \\ (cs) &\equiv \sum c_k s_k, & (ds) &\equiv \sum d_k s_k. \end{aligned}$$

Dann besagt das „Schnittpunkttheorem“, daß die sechs Punkte  $(\lambda_1), \dots, (\lambda_6)$  der  $r_6$  dann und nur dann auf einer Geraden liegen, wenn die vier Bedingungen erfüllt sind

$$(14) \quad (as) = 0, \quad (bs) = 0, \quad (cs) = 0, \quad (ds) = 0.$$

Man spalte weiter die sechs Werte  $\lambda_1, \dots, \lambda_6$  in zwei Reihen von je drei, etwa  $\lambda_1, \lambda_2, \lambda_3$  und  $\lambda_4, \lambda_5, \lambda_6$ , und bezeichne deren elementarsymmetrische Verbindungen mit  $\sigma_r$  resp.  $\tau_r$ . Setzt man dann

$$(15) \quad \begin{cases} A_0 = a_0 \sigma_0 + \dots + a_3 \sigma_3, \\ A_1 = a_1 \sigma_0 + \dots + a_4 \sigma_3, \\ A_2 = a_2 \sigma_0 + \dots + a_5 \sigma_3, \\ A_3 = a_3 \sigma_0 + \dots + a_6 \sigma_3 \text{ usf.,} \end{cases}$$

so nehmen die Gleichungen (14) die Form an

$$(14') \quad (as) \equiv \sum \tau_i A_i = 0, \quad (bs) \equiv \sum \tau_i B_i = 0 \text{ usf.} \\ (i = 0, 1, 2, 3).$$

Eliminiert man hieraus die  $\tau$ , so ergibt sich als Kriterium für die Inzidenz dreier Punkte  $(\lambda_1), (\lambda_2), (\lambda_3)$  der  $r_6$  die Bedingung

$$(16) \quad F_4 \equiv |A_i, B_i, C_i, D_i| = 0,$$

die also von derselben Struktur ist wie die Gleichung (s. Nr. 65) der Kegelspitzenfläche eines  $F_2$ -Gebüsches, nur daß hier zwischen den Koeffizienten  $A, B, C, D$  gewisse Gleichheiten bestehen. Nunmehr ziehe man die kubische Normkurve  $N_3 = N_3$  (s. Nr. 3) heran. Die Koordi-

111) *W. Fr. Meyer*, Apolarität und rat. Kurven. Tübingen 1883, Abschn. III.

naten  $x_i$  irgendeines Raumpunktes  $P(\lambda_1, \lambda_2, \lambda_3)$ , von dem die drei (Schmiegungs-)Ebenen  $\lambda_1, \lambda_2, \lambda_3$  an die  $N_3$  gehen, fallen mit den  $\sigma_i$  zusammen.

Dem Gebüsch (12) der Formen  $\varphi$ , oder auch dem der Formen (14'), ist ein  $F_2$ -Gebüsch  $G(F_a, F_b, F_c, F_d)$  (1, 1)-deutig zugeordnet. Die Gleichungen der  $F_a, \dots, F_d$  ergeben sich aus (14) für  $\sigma_i = \tau_i$ , so daß man hat

$$(17) \quad F_a \equiv \sum_{i,k} x_i x_k a_{i+k} \equiv (ax)^2 = 0 \text{ usf.}$$

Andererseits ist der Normkurve  $N_3$  eine  $\infty^3$  Schar  $\Sigma$  von Flächen 2. Klasse  $\Phi$  einbeschrieben, die sich aus drei Individuen  $\Phi_\alpha, \Phi_\beta, \Phi_\gamma$  zusammensetzen, deren Gleichungen sind

$$(18) \quad \begin{cases} \Phi_\alpha \equiv u_0 u_2 - u_1^2 \equiv (u\alpha)^2 = 0, \\ \Phi_\beta \equiv u_0 u_3 - u_1 u_2 \equiv (u\beta)^2 = 0, \\ \Phi_\gamma \equiv u_1 u_3 - u_2^2 \equiv (u\gamma)^2 = 0. \end{cases}$$

Dann bestehen die zwölf Beziehungen zwischen den Flächen  $F$  und  $\Phi$

$$(19) \quad \begin{cases} (a\alpha)^2 = 0, & (b\alpha)^2 = 0, & (c\alpha)^2 = 0, & (d\alpha)^2 = 0, \\ (a\beta)^2 = 0, & (b\beta)^2 = 0, & (c\beta)^2 = 0, & (d\beta)^2 = 0, \\ (a\gamma)^2 = 0, & (b\gamma)^2 = 0, & (c\gamma)^2 = 0, & (d\gamma)^2 = 0. \end{cases}$$

Diese sagen aus, daß jede Fläche  $F$  des Gebüsches  $G$  apolar ist zu jeder Fläche  $\Phi$  der Schar  $\Sigma$ , oder kurz, daß das Gebüsch  $G$  apolar ist zur Normkurve  $N_3$ .

Vermöge (14') ist je ein Punktepaar  $(\sigma), (\tau)$  der Fläche  $F_4$  konjugiert zu  $G$ , d. h. zu jeder Fläche in  $G$ . Man hat damit den Satz: „Beschreibt man der Normkurve  $N_3$  ein beliebiges, durch (1) dargestelltes Netz von Hexaedern um, so erfüllen deren Ecken die Kegelspitzenfläche  $F_4$  eines  $F_2$ -Gebüsches  $G$ . Je ein Paar von Gegenecken eines solchen Hexaeders ist konjugiert in bezug auf die  $F_2$  des Gebüsches  $G$ , oder auch, das Hexaeder ist ein ‚Polhexaeder‘ von  $G$ .“

Sei ferner  $d_2(\alpha_i, \beta_i)$  irgendeiner der zehn  $d_2$  der  $r_6$  (1). Da das Paar  $(\alpha_i, \beta_i)$  mit jedem Punkte  $\lambda$  der  $r_6$  ein Inzidenztripel bildet, so folgt: „Auf der Fläche  $F_4$  liegen zehn windschiefe Gerade  $g_i(\alpha_i, \beta_i)$ , die zugleich Achsen der Normkurve  $N_3$  sind.“ Weitere Gerade auf der  $F_4$  existieren nicht.

Endlich beachte man noch, daß die Fläche  $F_4$  die Normkurve  $N_3$  in zwölf Punkten trifft, die von einer Gleichung  $\Theta(\lambda) = 0$  abhängen, wo  $\Theta$  die Funktionaldeterminante der Formen  $f$  (oder auch der Formen  $\varphi$ ) bedeutet. Die Gleichung  $\Theta(\lambda) = 0$  liefert andererseits für die  $r_6$  deren zwölf Wendepunkte.

Es handelt sich nun um die Umkehrung der bisherigen Entwicklungen, indem man jetzt von einem allgemeinen  $F_2$ -Gebüsch  $G$  (ohne Grundpunkte) ausgeht. Gibt es dann eine kubische Kurve  $\Gamma_3$ , die zu  $G$  apolar ist?

Da eine  $\Gamma_3$  von zwölf Konstanten abhängt, andererseits zwölf Bedingungen vorliegen, so können nur zwei Fälle eintreten; entweder gibt es eine endliche Anzahl von  $\Gamma_3$ , oder aber im allgemeinen keine  $\Gamma_3$ , wenn jedoch im besonderen eine, so auch unendlich viele.

Der letztere Fall kann nicht eintreten. Denn nach Nr. 65 befinden sich in  $G$  zehn Ebenenpaare, und deren zehn Schnittachsen wären dann die gemeinsamen Achsen von  $\infty \Gamma_3$ , was ausgeschlossen ist. Mithin gibt es eine endliche Anzahl von zu  $G$  apolaren  $\Gamma_3$ , wo diese Anzahl nur gleich Eins oder Zwei sein kann.

Hier greift die vielseitige Untersuchung von *A. B. Coble*<sup>112</sup>) ein. Er bringt die kubischen Kurven  $C_3 = \Gamma_3$  und die  $r_6$  in einen direkten Zusammenhang. Man denke sich zwei beliebige Kurven  $C_3, C_3'$  gegeben und auf jeder einen Parameter  $\lambda$ , resp.  $\lambda'$  ausgebreitet. Man lege etwa durch  $C_3'$  das Netz  $N'$  von  $F_2$ , so schneidet dieses auf  $C_3$  ein Netz von Punktsextrupeln  $f_6(\lambda)$  von der Form (1) aus, das also durch eine  $r_6$  repräsentiert werden kann. Analog entsteht vice versa eine  $r_6'$ . Sieht man dual die beiden kubischen Kurven als Klassengebilde (Gewinde)  $\Gamma_3, \Gamma_3'$  an und operiert entsprechend mit den einbeschriebenen Flächen 2. Klasse  $\Phi_2$ , so bildet sich die Raumfigur von neuem ab auf ein Paar von  $r_6$ . Im ganzen treten also als Bilder der Raumfigur  $(C_3, C_3') = (\Gamma_3, \Gamma_3')$  vier gleichberechtigte rationale Kurven 6. Ordnung vom Typus  $r_6$  (1) auf.

Legt man nun etwa das Paar  $(\Gamma_3, \Gamma_3')$  zugrunde, so korrespondieren wie früher deren zehn gemeinsamen Achsen die zehn  $d_2$  der  $r_6$ .

Dann aber weist *Coble* nach, daß auf diese Weise, bei beliebiger Lage der  $C_3, C_3'$ , in der Tat das allgemeinste Netz (1) von binären Formen  $f_6(\lambda)$  entsteht.

Es sei noch darauf hingewiesen, daß *Coble* auch transzendente Hilfsmittel heranzieht, indem er die Figur  $(C_3, C_3')$  zu den *Abelschen* Modularfunktionen vom Geschlecht  $p = 4$  in enge Beziehung setzt.

Faßt man das obige zusammen, so ist die Umkehrfrage jetzt beantwortet, und es gilt der Satz: „Zu einem  $F_2$ -Gebüsch gehört ein einziges Paar von  $\Gamma_3$ , so daß deren zehn gemeinsame Achsen die Schnittlinien der zehn in  $G$  enthaltenen Ebenenpaare sind. Die Kegelspitzenfläche  $F_4$  von  $G$  enthält jene zehn Geraden (und keine wei-

112) *A. B. Coble*, Amer. J. Math. 41 (1919), p. 43; ib. 46 (1924), p. 143.

teren), und  $G$  ist das zu  $\Gamma_3$  wie zu  $\Gamma_3'$  apolare  $F_2$ -Gebüsch. Überdies erscheint die  $F_4$  als Ort der zehn Paare von Gegenecken von je  $\infty^2$ ,  $\Gamma_3$  resp.  $\Gamma_3'$  umbeschriebenen Hexaedern, und jedes solche Punktepaar ist konjugiert in bezug auf  $G$ .

Auf die Sonderfälle, wo sich die zehn  $d_2$  der  $r_6$  zu höheren Singularitäten vereinigen, werde nicht eingegangen und nur erwähnt, daß im Falle eines  $d_5$  die  $F_4$  sich zur Hesseschen Fläche  $H(F_3)$  einer  $F_3$  spezialisiert (s. Art. „ $F_3$ “, Nr. 19).

Der bisher behandelte Fall einer  $F_4$  mit zehn  $g$  ist, vom Standpunkte der ebenen rationalen Kurven  $r_n$  aus, nur das Anfangsglied einer Kette von  $F_4, F_5, \dots$  mit einer endlichen Anzahl von Geraden  $g$ .<sup>111)</sup> In der Tat, geht man von einer allgemeinen  $r_n$  aus, die also  $\frac{(n-1)(n-2)}{2} d_2$  besitzt und durch  $\varrho x_i = f_n^{(i)}(\lambda)$  dargestellt ist, stellt das Schnittpunkttheorem auf und leitet aus ihm, ähnlich wie bei der  $r_6$ , das Inzidenzkriterium für irgend drei Punkte der  $r_n$  ab, so gelangt man zu dem Satze:

„Eine allgemeine ebene rationale Kurve  $r_n$  ( $n \geq 6$ ) führt zu einer  $F_n$  mit  $\frac{(n-1)(n-2)}{2}$  (und nicht mehr) Geraden, die Achsen einer  $\Gamma_3$  sind. Die  $F_n$  erscheint als Ort der Ecken eines Netzes von  $n$ -flachen, die der  $\Gamma_3$  umbeschrieben sind. Die Gleichung der  $F_n$  erhält man durch Nullsetzen einer  $n$ -reihigen Determinante, mit quaternären Linearformen als Elementen, deren Koeffizienten kettenförmig aufsteigen.“

Zu einzelnen  $F_4$  mit einer besonders hohen Anzahl von  $g$  gelangt *F. Schur*<sup>113)</sup>; so zu einer „symmetrisch-tetraedralen“  $F_4$  mit 48  $g$ , und zwei weiteren  $F_4$  mit 52 resp. 64  $g$ .

Systematisch wird die Lagerung endlichvieler  $g$  auf einer  $F_n$  in zwei Arbeiten von *G. Affolter*<sup>114)</sup> untersucht, indem er sie je nach der Natur der Restkurven in zwei Hauptgruppen einteilt. Man gehe von den durch eine  $g$  auf einer  $F_n$  laufenden Ebenen aus, für die die Restkurve  $c_{n-1}$  irgendwie zerfällt. Eine Gruppe von  $g$  auf der Fläche heißt von der  $u^{\text{ten}}$  Klasse, wenn durch jede  $g$  der Gruppe  $u$  Ebenen gehen, für die die Restkurve  $c_{n-1}$  in gleicher Weise ausartet. So z. B. bilden die 27  $g$  einer  $F_3$  eine Gruppe 5. Klasse.

Bezeichnet man ferner eine nicht der  $F_n$  angehörige Schnittachse zweier Ebenen, von denen jede durch eine  $g$  der Fläche geht, als eine

113) *F. Schur*, Math. Ann. 18 (1881), p. 1; J. f. Math. 95 (1883), p. 207 (symmetrisch-tetraedrale  $F_4$  mit 48  $g$ ); Math. Ann. 20 (1882), p. 84 ( $F_4$  mit 52 resp. 64  $g$ ). Vgl. hierzu *P. Veronese*, Math. Ann. 19 (1881), p. 161.

114) *G. Affolter*, Math. Ann. 27 (1886), p. 277; 29 (1887), p. 1.

„Kante“, so enthält eine  $g$ -Gruppe „erster Art“ keine Kante, durch die mehr als zwei, eine  $g$  der Fläche enthaltende Ebenen gehen.

Dagegen heißt eine  $g$ -Gruppe von der „zweiten Art“, wenn durch eine oder mehrere Kanten mehr als zwei solcher Ebenen gehen.

In der ersten Abhandlung werden zunächst  $F_n$  mit  $g$ -Gruppen erster Art verfolgt, wo die Degeneration der Restkurven eine vollständige ist. In der zweiten Abhandlung bestimmt der Verfasser diejenigen Gruppen erster Art, wo die Degeneration der Restkurven keine vollständige ist. Es wäre wünschenswert, wenn diese allgemeinen Entwicklungen einmal abgerundet und andererseits von ihnen konkrete Anwendungen gemacht würden.

**55. Flächen vierter und höherer Ordnung mit Singularitäten und einer endlichen Anzahl von Geraden.** Die Methode, mittels deren *Clebsch* die  $F_3$ , die  $F_4$  mit einer  $\bar{C}_2$  resp.  $\bar{g}$  auf eine Ebene eindeutig abgebildet hatte, ist von ihm selbst, sowie von *M. Noether*, *A. Cayley*, *L. Cremona*, *G. Darboux* u. a. auf höhere Fälle ausgedehnt worden. (S. Art. III C 11, *L. Berzolari*, Algebraische Transformationen.)

Wir beschränken uns auf  $F_5$  mit mehrfachen  $C$ . Eine solche enthält eine endliche Anzahl von Geraden:

1. wenn sie eine dreifache Gerade  $\bar{g}$  enthält,
2. wenn zwei windschiefe doppelte Geraden  $\bar{g}_1$  und  $\bar{g}_2$  in der Fläche liegen,
3. wenn sie eine doppelte kubische Raumkurve  $\bar{C}_3$  besitzt,
4. wenn sie eine doppelte  $\bar{C}_4$  erster Spezies hat,
5. wenn sie mit einer doppelten Raumkurve 5. Ordnung  $\bar{C}_5$  behaftet ist, die einen dreifachen Punkt  $d_3$  besitzt.

Während bei der Abbildung dieser Flächen die endlichvielen Geraden gewissermaßen als Nebenprodukte auftreten, werden sie von *R. Sturm*<sup>115)</sup> mit synthetischen Mitteln direkt abgeleitet. Dabei werden ihre Anzahl und Lage, ferner die Kegelschnitte auf der Fläche und sonstige Singularitäten, die eventuell noch auftreten können, eingehend untersucht.

Auch Flächen von allgemeinerer Form werden berücksichtigt. So die  $F_n$  mit einer  $(n-2)$ -fachen Geraden, die stets eine endliche Anzahl einfacher Geraden besitzen, sowie überhaupt  $F_n$ , die eine — durch die Ordnungszahl  $n$  beschränkte — Anzahl vielfacher Geraden besitzen. Letztere Flächen sind dann ausführlicher von *J. de Vries*<sup>116)</sup> untersucht worden.

115) *R. Sturm*, *Math. Ann.* 3 (1871), p. 249.

116) *J. de Vries*, *Arch. Teyler* (2) 8 (1902), p. 235; *Amsterdam Versl.* 10 (1902), p. 742.

Was Flächen mit nur singulären Punkten und einer endlichen Anzahl von  $g$  betrifft, so sei (s. Nr. 39) an die  $F_4$  mit einem  $D_3$  erinnert, von denen *K. Rohn* nachwies, daß zu den zwölf durch den  $D_3$  selbst gehenden  $g$  eventuell noch eine, zwei bis zu 19 weiteren hinzutreten können.

### X. Flächen 4. Ordnung mit weniger als 16 Doppelpunkten.

56. Einleitung. Die Theorie dieser  $F_4$ -Typen ist so vielgestaltig, daß wir auf die eingehende Monographie von „*Jessop*“ (s. Lit.) verweisen müssen. Im folgenden seien nur einige solcher Typen hervorgehoben, deren Studium die Entwicklung der Flächen höherer Ordnung wesentlich beeinflußt hat. Vorab sei bemerkt, daß die  $F_4$  mit einem, resp. unendlichvielen  $D_2$  resp.  $D_3$  bereits in den Abschnitten V, VI, VII behandelt sind.

Eine Anzahl von bemerkenswerten  $F_4$  mit 11 bis 16  $d_2$  tritt in den verschiedenen Arbeiten von *Kummer*<sup>117)</sup> auf.

57. Die Untersuchungen von Cayley. In einer systematischen Theorie hat *A. Cayley*<sup>118)</sup> die Grundlagen entwickelt. Eines seiner Hauptergebnisse ist überraschend. Das Auftreten eines  $D_2$  an einer bestimmten Stelle involviert für eine  $F$  vier Bedingungen. Man sollte also erwarten, daß  $F_4$  mit acht  $D_2$  in acht beliebig gewählten Punkten existieren, da die Anzahl  $8 \cdot 4 = 32$  der Bedingungen noch um zwei geringer ist als die der Konstanten der  $F_3$ . *Cayley* zeigt aber, daß nicht mehr als sieben  $D_2$  einer  $F_4$  willkürlich angenommen werden können.

Es seien sieben Punkte  $P_1, \dots, P_7$  beliebig vorgegeben, so gibt es noch eine lineare  $\infty^6$  Schar von  $F_4$ , die in ihnen  $D_2$  besitzen. Die verfügbaren sechs Konstanten suche man so zu bestimmen, daß diese  $F_4$  noch weitere  $D_2$  erhält.

Hinsichtlich des Auftretens eines achten  $D_2$  in einem Punkte  $P_8$  können zwei verschiedene Fälle eintreten. Entweder sind die acht Punkte  $P_1, \dots, P_8$  assoziiert, d. h. die Grundpunkte eines  $F_2$ -Netzes, so daß  $P_8$  bereits durch die  $P_1, \dots, P_7$  mitbestimmt ist (s. u. Nr. 61), oder aber  $P_8$  muß der Bedingung unterliegen, einer gewissen  $F_6$  anzugehören, so daß eine solche  $F_4$ , nach Wahl von  $P_8$ , noch von vier Konstanten abhängt. Diese lassen sich weiter so bestimmen, daß noch ein neunter, resp. zehnter  $D_2$  hinzutritt.

117) *E. E. Kummer*, Berlin Berichte 1864, p. 216, 246; Berlin Abh. 1866 („Über algebraische Strahlensysteme“); Berlin Ber. 1872, p. 474.

118) *A. Cayley*, London Math. Soc. Proc. 3 (1871), p. 19, 198, 234, 281.

Eine größere Anzahl von  $D_2$  ist nur dann möglich, wenn die sieben Ausgangspunkte gewisse Bedingungen erfüllen. Von besonderem Interesse ist die eine  $F_4$  mit zehn  $D_2$ . Hierher gehört das „Symmetroid“ (s. unten auch Nr. 62), d. h. eine  $F_4$ , die darstellbar ist durch Nullsetzen einer symmetrischen Determinante 4. Ordnung, deren Elemente quaternäre Linearformen sind. Nebenbei sei bemerkt, daß die bei *Kummer* auftretende  $F_4$  mit elf  $D_2$  ein Sonderfall des Symmetroides ist.

Verbindet man irgendeinen der zehn  $D_2$  eines Symmetroides mit den neun weiteren durch Gerade, so sind letztere die gemeinsamen Kanten zweier kubischen Kegel  $K_3, K_3'$ , die zusammen den vom ersten  $D_2$  an die  $F_4$  gehenden Tangentenkegel  $K_6$  bilden.

Allgemein liege eine  $F_4$  mit  $k$   $D_2$  vor, so greife man irgendeinen der  $D_2$  heraus und lege von ihm aus den Tangentenkegel  $K_6$  an die  $F_4$ , der die übrigen  $k - 1$   $D_2$  enthalten muß. Dieser  $K_6$  ist in erster Linie für die Natur der  $F_4$  und insonderheit der  $k - 1$  übrigen  $D_2$  maßgebend.

Hieraus geht u. a. eine neue Eigenschaft des Symmetroides hervor. Es liege überhaupt eine  $F_4$  mit zehn  $D_2$  vor. Hat dann ein einziger derselben die Beschaffenheit, daß der von ihm ausgehende Tangentenkegel  $K_6$  in zwei kubische Kegel  $K_3, K_3'$  zerfällt, so trifft dies auch für die neun anderen  $D_2$  zu, und die  $F_4$  ist ein Symmetroid.

Weiter werden noch  $F_4$  mit 13 bis 16  $D_2$  behandelt, wobei die *Kummerschen* Ergebnisse verschiedene formale Ergänzungen erfahren. Durchweg werden die Lagenbeziehungen zwischen den  $D_2$  und den  $K_6$  durch Diagramme erläutert.

**58.  $F_4$  mit zwei Selbstberührungspunkten.  $F_4$  mit vier uniplanaren Doppelpunkten.** Die  $F_4$  mit zwei Selbstberührungspunkten (die nicht (1, 1)-deutig auf eine Ebene abbildbar ist) fand zuerst *Kummer* (s. Nr. 7) unter denen, die eine Schar von  $C_2$  besitzen. In der Tat schneidet das Büschel von Ebenen durch die beiden Selbstberührungspunkte Paare von sich berührenden  $C_2$  aus der  $F_4$  aus, die die obige Schar bilden.

Für vier singuläre Tangentialebenen des Büschels fallen die  $C_2$  eines Paares zusammen. Die Gleichungsform für die  $F_4$  lautet

$$(1) \quad F_4 \equiv F_2^2(x_1, x_2, x_3, x_4) - f_4(x_1, x_2) = 0.$$

Die Gleichung einer  $F_4$  mit vier reellen uniplanaren  $D_2$ , die man in die Koordinatenecken verlege, erhält man in der Gestalt

$$(2) \quad F_4 \equiv (a_{12}x_1x_2 + a_{13}x_1x_3 + \dots + a_{34}x_3x_4)^2 + 2ax_1x_2x_3x_4 \\ \equiv F_2^2 + 2ax_1x_2x_3x_4 = 0.$$

Die vier  $D_2$  in den Ecken  $A_r$  ( $r = i, k, l, m$ ) sind also in Doppelsebenen  $T_r$  ausgeartet; es ist z. B. die Gleichung von  $T_m$

$$(3) \quad T_m \equiv a_{im}x_i + a_{km}x_k + a_{lm}x_l = 0.$$

Diese vier Ebenen  $T$  sind aber zugleich die vier Tangentialebenen der Fläche  $F_2$  in den  $A$ , so daß sich deren Eigenschaften unmittelbar auf die  $F_4$  (2) übertragen lassen.

Es seien einige dieser Eigenschaften der vier Ebenen  $T$  angeführt. Die Spurgerade von  $T_m$  in der Ebene  $x_m = 0$  sei mit  $t_m$  bezeichnet, so daß, in dieser Ebene gedeutet, die Gleichung (3) zugleich die von  $t_m$  ist:

$$(3') \quad t_m \equiv a_{im}x_i + a_{km}x_k + a_{lm}x_l = 0.$$

Man beachte dabei, daß diese vier Spurgeraden  $t$  ungeändert bleiben, wenn man die  $F_2$  in (2) durch die  $\infty^4$ -lineare Schar ersetzt

$$(4) \quad \sum a_i x_i^2 + \sum \sum a_{ik} x_i x_k = 0 \quad (i \neq k),$$

mit willkürlichen Konstanten  $a_i$ . Man bestimme die Schnittpunkte von  $t_m$  mit den Seiten des Dreiecks  $(A_i, A_k, A_l)$ , z. B. mit  $(A_i, A_k)$ , die als Koordinatenkante im Raume durch  $x_i = 0, x_m = 0$  dargestellt ist. Für den Schnittpunkt hat die Koordinate  $x_{ik} = \frac{x_i}{x_k}$  auf der Kante gemäß (3) den Wert

$$(5) \quad x_{ik} = -\frac{a_{km}}{a_{im}}.$$

Auf der nämlichen Kante ( $x_i = 0, x_m = 0$ ) befindet sich noch ein zweiter Spurpunkt, der mit der Geraden  $t_i$  (oder auch der Ebene  $T_l$ ) Er heiße der „Nebenspurpunkt“, und  $x'_{ik}$  sei seine Koordinate. Dann folgt aus (5):  $x'_{ik} = -\frac{a_{kl}}{a_{il}}$ . Somit hat man für die drei Nebenspurpunkte auf den Seiten des Dreiecks  $(A_i, A_k, A_l)$

$$(6) \quad x'_{ik} = -\frac{a_{kl}}{a_{il}}, \quad x'_{kl} = -\frac{a_{li}}{a_{ki}}, \quad x'_{li} = -\frac{a_{ik}}{a_{li}}.$$

Hieraus geht hervor, daß die drei Nebenspurpunkte in der Ebene  $x_m = 0$  ebenfalls einer Geraden angehören; diese sei mit  $t'_m$  bezeichnet und heiße die zu  $t_m$  gehörige  $m^{\text{te}}$  „Nebengerade“.

Die Gleichung von  $t'_m$  wird

$$(7) \quad t'_m \equiv \frac{x_i}{a_{kl}} + \frac{x_k}{a_{li}} + \frac{x_l}{a_{ik}} = 0,$$

oder auch

$$(7a) \quad t'_m \equiv x_i a_{ik} a_{il} + x_k a_{ki} a_{kl} + x_l a_{li} a_{lk} = 0.$$

Bildet man jetzt durch Multiplikation von (4) und (7a) die Gleichung

des Geradenpaares  $(t_m, t'_m)$  und setzt noch zur Abkürzung

$$(8) \quad \begin{cases} p_i = a_{ik} a_{il} a_{im}, \\ p_{ik} = p_{lm} = a_{il} a_{km} + a_{im} a_{kl} \quad (i, k, l, m = 1, 2, 3, 4), \end{cases}$$

so kommt

$$(9) \quad t_m t'_m \equiv x_i^2 p_i + x_k^2 p_k + x_l^2 p_l + x_i x_k a_{ik} p_{ik} + x_k x_l a_{kl} p_{kl} \\ + x_i x_l a_{il} p_{il} = 0.$$

Hieraus folgt sofort, daß die vier Geradenpaare  $(t, t')$  auf einem Hyperboloide  $G_2$  liegen, dessen Gleichung lautet

$$(10) \quad G_2 \equiv (x_i^2 p_i + \dots + x_m^2 p_m) \\ + \{x_i x_k (a_{ik} p_{ik} + a_{lm} p_{lm}) + \dots\} = 0.$$

Somit gilt für die  $F_4$  (2) mit vier uniplanaren  $D_2$  in den Koordinatenecken  $A$  der Satz:

„Die vier Doppelebenen  $T$  der  $D_2$  in den  $A$  schneiden die Gegenebenen des Tetraeders ( $A$ ) in vier Geraden  $t$ , die auf einem Hyperboloide  $G_2$  (10) liegen. Dieses schneidet auf jeder Gegenebene noch eine zweite Gerade  $t'$  (7a) aus.“

Für dieses Hyperboloid möge auch die Klassengleichung  $\Gamma_2 = 0$  angegeben werden.

Die Fläche  $\Gamma_2$  besitzt die vier Gegenebenen als Tangentialebenen mit den Erzeugenden  $t, t'$ , also mit deren jeweiligem Schnittpunkt  $T$  als Berührungspunkt. Setzt man weiter zur Abkürzung

$$(11) \quad \begin{cases} d_{ik} = d_{lm} = a_{ik} a_{lm} - a_{il} a_{km} \\ d_{kl} = d_{im} = a_{kl} a_{im} - a_{ik} a_{lm} \\ d_{li} = d_{km} = a_{li} a_{km} - a_{kl} a_{im} \end{cases}$$

so hat man auf Grund von (4) und (7a) für die Koordinaten  $x_i^{(m)}$ ,  $x_k^{(m)}$ ,  $x_l^{(m)}$  des Punktes  $T_m$  die Werte

$$(12) \quad x_i^{(m)} : x_k^{(m)} : x_l^{(m)} = a_{kl} d_{kl} : a_{li} d_{li} : a_{ik} d_{ik}.$$

Damit ergibt sich als Gleichung der Klassenfläche  $\Gamma_2$

$$(13) \quad \Gamma_2 \equiv \sum d_{ii} (u_i u_k a_{lm} + u_l u_m a_{ik}) \\ \equiv \begin{vmatrix} u_i u_k a_{lm} + u_l u_m a_{ik} & u_i u_l a_{km} + u_k u_m a_{il} & u_k u_l a_{km} + u_i u_m a_{kl} \\ a_{ik} a_{lm} & a_{il} a_{km} & a_{im} a_{li} \\ 1 & 1 & 1 \end{vmatrix} = 0.$$

Auf die vorliegende  $F_4$  (2) sei auch die Methode der Tangentenprojektion (s. Nr. 19) von irgendeinem der vier uniplanaren  $D_2$ , etwa in  $A_m$ , auf die Gegenebene  $(x_m = 0)$  angewendet.

Zu dem Behuf ordne man die Gleichung (2) nach  $x_m$

$$(2_m) \quad F_4 \equiv (x_m t_m + k_m)^2 + 2 a x_m x_i x_k x_l \\ \equiv x_m^2 t_m^2 + 2 x_m (t_m k_m + a x_i x_k x_l) + k_m^2 + 0,$$

wo

$$(14) \quad k_m \equiv x_i x_k a_{ik} + x_k x_i a_{ki} + x_i x_i a_{ii}.$$

Hier stellt, wie oben in der Ebene  $x_m = 0$ , die Gleichung (3')  $t_m = 0$  die Spur der Doppelebene des Kegels  $K_2$  im  $D_2(A_m)$  dar, und  $k_m = 0$  den Schnittkegelschnitt der  $F_2$  mit der Ebene  $x_m = 0$ , längs dessen die letztere die  $F_4$  berührt.

Um den gesuchten Tangentenkegel  $K_6^{(m)}$ , der von  $A_m$  aus an die  $F_4$  geht, oder auch seine Spur  $k_6^{(m)}$  in der Ebene  $x_m = 0$ , zu erhalten, hat man die Diskriminante der in  $x_m$  quadratischen Gleichung (2<sub>m</sub>) gleich Null zu setzen. Dann ergibt sich als Gleichung von  $k_6^{(m)}$

$$(15) \quad k_6^{(m)} \equiv (t_m k_m + a x_i x_k x_i)^2 - t_m^2 k_m^2 \equiv x_i x_k x_i (2 t_m k_m + a x_i x_k x_i) \\ \equiv x_i x_k x_i c_3^{(m)} = 0.$$

Damit ergibt sich der Satz:

„Liegt eine  $F_4$  (2) mit vier uniplanaren  $D_2$  in den Koordinatenecken  $A$  vor, und legt man von irgendeinem der  $D_2$ , etwa  $A_m$ , die Tangenten an die  $F_4$ , so treffen diese die Gegenebene  $x_m = 0$  in den Punkten einer Übergangskurve  $k_6^{(m)}$ . Diese Kurve 6. Ordnung zerfällt aber in die Seiten des Dreiecks ( $A_i, A_k, A_l$ ) und eine Kurve 3. Ordnung  $c_3^{(m)}$ . Letztere geht einmal durch die drei Spurpunkte der Doppelebene des  $D_2(A_m)$  in den Seiten des Dreiecks und berührt andererseits den Berührungskegelschnitt  $k_m$  der Ebene  $x_m = 0$  mit der  $F_4$  in den Ecken des Dreiecks. Bei Variieren der Konstanten  $a$  in der Gleichung der  $F_4$  bilden die Kurven  $c_3^{(m)}$  das  $c_3$ -Büschel durch jene neun Grundpunkte.“

**59.  $F_4$  mit vier beliebigen Doppelpunkten.** Es ist nützlich, einer  $F_4$  mit vier uniplanaren  $D_2$  in den Ecken  $A$  eine  $F_4$  mit vier allgemeinen  $D_2$  in den  $A$  gegenüberzustellen. Die Gleichung einer solchen  $F_4$  ist von der Form

$$(1) \quad F_4 \equiv (x_i^2 x_k^2 b_{ik} + \dots + x_i^2 x_m^2 b_{im}) \\ + (x_i^2 x_k x_l b_{kil}^{(i)} + \dots + x_m^2 x_i x_k b_{ik}^{(m)} + \dots) \\ + 4b x_i x_k x_l x_m = 0.$$

Die Gleichung des Tangentenkegels  $K_m$  des  $D_2(A_m)$ , oder auch seines Spurkegelschnitts  $k_m$  in der Gegenebene  $x_m = 0$ , lautet

$$(2) \quad K_m \equiv x_i^2 b_{im} + x_k^2 b_{km} + x_l^2 b_{lm} \\ + x_k x_l b_{kil}^{(m)} + x_i x_l b_{ili}^{(m)} + x_i x_k b_{ik}^{(m)} = 0.$$

Dieser trifft die Kante ( $x_l = 0, x_m = 0$ ) in dem Punktepaar  $(ik)^{(m)}$  mit der Gleichung

$$(3) \quad (ik)^{(m)} \equiv x_i^2 b_{im} + x_k^2 b_{km} + x_i x_k b_{ik}^{(m)} = 0.$$

Dieselbe Kante wird aber auch von  $K_i$  resp.  $k_i$  in einem „Nebenpunktpaar“  $(ik)^{(l)}$  geschnitten mit der Gleichung

$$(3') \quad (ik)^{(l)} \equiv x_i^2 b_{il} + x_k^2 b_{ki} + x_i x_k b_{ik}^{(l)} = 0.$$

Man bilde jetzt durch Multiplikation von (3) und (3') die Gleichung für das Aggregat der beiden Punktpaare  $(ik)^{(l)}$ ,  $(ik)^{(m)}$  und füge noch den Faktor  $b_{ik}$  hinzu, so ergibt sich

$$(4) \quad (ik)^{(l)}(ik)^{(m)} = x_i^4 q_i + x_k^4 q_k + x_i^3 x_k q_{ik}^{(i)} + x_i^2 x_k^2 q_{ik} + x_i x_k^3 q_{ik}^{(k)},$$

wo zur Abkürzung gesetzt ist

$$(5) \quad \begin{cases} q_i \equiv b_{ik} b_{il} b_{im}, & q_k \equiv b_{ki} b_{kl} b_{km}, \\ q_{ik}^{(i)} \equiv b_{ik} (b_{im} b_{ik}^{(l)} + b_{il} b_{ik}^{(m)}), \\ q_{ik}^{(k)} \equiv b_{ik} (b_{km} b_{ik}^{(l)} + b_{kl} b_{ik}^{(m)}), \\ q_{ik} \equiv b_{ik} (b_{il} b_{km} + b_{im} b_{kl} + b_{ik}^{(l)} b_{ik}^{(m)}) \text{ usf.} \end{cases}$$

Das nämliche Verfahren sei auf die fünf übrigen Kanten angewendet. Aus der Struktur von (4) liest man den Satz ab:

„Liegt eine  $F_4$  mit vier  $D_2$  in den Ecken  $A$  eines Tetraeders  $T$  vor, so befinden sich auf jeder der sechs Kanten, z. B.  $(A_i, A_k)$ , von  $T$  zwei Punktpaare, die von den Tangentenkegeln der beiden  $D_2$  in  $A_i$  und  $A_m$  ausgeschnitten werden. Diese  $4 \cdot 6 = 24$  Punkte sind Grundpunkte einer  $\infty^{12}$ -linearen Schar von Flächen 4. Ordnung.“

In der Tat geht durch jene 24 Punkte zunächst eine Fläche 4. Ordnung  $G_4$  mit der Gleichung

$$(6) \quad G_4 \equiv (x_i^4 q_i + \dots + x_m^4 q_m) + (x_i^2 x_k^2 q_{ik} + \dots + x_i^2 x_m^2 q_{im}) \\ + (x_i^3 x_k q_{ik}^{(i)} + x_i x_k^3 q_{ik}^{(k)} + \dots + x_i^3 x_m q_{im}^{(i)} + x_i x_m^3 q_{im}^{(m)}) = 0.$$

Fügt man hier der rechten Seite noch die 13 Potenzprodukte  $x_i^2 x_k x_l$ ,  $\dots$ ,  $x_m^2 x_k x_l$ ,  $x_i x_k x_l x_m$  mit willkürlichen Koeffizienten hinzu, so entsteht die  $\infty^{12}$ -lineare Schar des obigen Satzes.

Der Schnitt der  $F_4$  (1) mit irgendeiner der vier  $T$ -Ebenen, z. B.  $x_m = 0$ , muß in zwei Kegelschnitte zerfallen, von denen der eine  $k'_m$  ist, während der zweite, der „Nebenkegelschnitt“, mit  $k'_m$  bezeichnet sei. Auch die Gleichung von  $k'_m$  ist leicht aufzustellen.

Die drei Seiten des Dreiecks  $(A_i, A_k, A_l)$  werden der Reihe nach von den Kegeln  $K_i^{(l)}$ ,  $K_i^{(i)}$ ,  $K_k^{(k)}$  in den Nebenpunktpaaren  $(ik)^{(l)}$ ,  $(kl)^{(i)}$ ,  $(li)^{(k)}$  geschnitten, deren Gleichungen nach dem Muster von  $(ik)^{(l)}$  in (3') zu bilden sind. Multipliziert man diese drei Gleichungen noch mit resp.  $b_{ik}$ ,  $b_{kl}$ ,  $b_{li}$ , so erkennt man, daß jene drei Nebenpunktpaare in der Tat auf einem Kegelschnitte  $k'_m$  liegen mit der Gleichung

$$(7) \quad k'_m \equiv x_i^2 b_{ik} b_{il} + x_k^2 b_{ki} b_{kl} + x_l^2 b_{li} b_{lk} + x_i x_k b_{ik} b_{kl}^{(i)} \\ + x_k x_l b_{kl} b_{li}^{(k)} + x_i x_l b_{il} b_{li}^{(l)} = 0.$$

Zur Kontrolle bilde man das Produkt der beiden Gleichungen (2) mit (7) für  $k_m$  und  $k'_m$ , so gelangt man zu der Gleichung für den Schnitt der Fläche  $F_4$  (1) mit der Ebene  $x_m = 0$ .

Es gilt daher auch der Satz:

„Besitzt eine  $F_4$  in den vier Ecken  $A$  eines Tetraeders  $T$  Doppelpunkte, deren Tangentenkegel die bezüglichlichen Gegenebenen von  $T$  in vier Kegelschnitten  $k_i$  ( $i = 1, 3, 3, 4$ ) schneiden, so geht durch diese noch ein Büschel von Flächen 4. Ordnung  $G_4$ . Letztere schneiden aus jeder der vier Ebenen noch einen Restkegelschnitt  $k'$  aus.“

Es ist nützlich, den beiden Sätzen Konstantenabzählungen hinzu- zufügen. Im ersteren Falle liegen  $6 \cdot 4 = 24$  gewisse Punkte auf den Kanten eines Tetraeders  $T$  vor. Soll eine Fläche 4. Ordnung durch 24 beliebige Punkte gehen, so involviert das ebenso viele (lineare) Bedingungen, so daß es solcher Flächen noch eine lineare  $\infty^{10}$ -Schar gibt.

Da aber durch obige 24 Schnittpunkte der vier Tangentenkegel  $K$  mit den Kanten von  $T$  noch eine linear  $\infty^{13}$ -Schar von  $G_4$  ging, so folgt, daß die zugehörigen 24 Bedingungen an drei Syzygien gebunden sind.

Ähnlich verhält es sich im zweiten Falle mit dem Büschel von  $G_4$  durch die vier Spurkegelschnitte  $k$  der Kegel  $K$ . Soll ein gegebener (irreduzibler) Kegelschnitt einer Fläche 4. Ordnung angehören, so involviert das neun (lineare) Bedingungen. Im Falle von vier, je zueinander windschiefen Kegelschnitten würde das zu  $4 \cdot 9 = 36$  Bedingungen führen, so daß eine solche Fläche gar nicht existierte. Vergleicht man dies mit dem für die vier Kegelschnitte  $k$  tatsächlich existierenden Büschel von  $G_4$  (6), so erkennt man, daß auch die 36 zugehörigen Bedingungen genau drei Syzygien unterliegen müssen.

Behufs weiterer Untersuchung der durch eine  $F_4$  mit vier  $D_2$  gebildeten Figur werde die kubische, (1, 1)-deutige involutorische Punktverwandtschaft  $T_3$  (s. Art. „ $F_3$ “, Nr. 11)

$$(8) \quad \rho x_i x'_i = c_i$$

herangezogen, die bequemer in der Normalgestalt

$$(8') \quad \sigma x_i x_i = 1$$

verwendet werde.

Sei wieder  $T$  das Koordinatentetraeder mit den Ecken  $A$ , so geht vermöge der  $T_3$  eine beliebige Gerade  $g$  über in eine  $C_3$  durch die  $A$  (und vice versa), eine beliebige Ebene  $E$  in eine  $F_3$  mit  $D_2$  in den  $A$ , und eine beliebige  $F_2$  durch die  $A$  wieder in eine solche. Die Ausübung der  $T_3$  auf die Gleichung (1) einer  $F_4$  mit vier  $D_2$  in den  $A$  zeigt sofort, daß die Gleichung ihre Struktur nicht ändert. Es gilt also allgemein der Satz:

„Besitzt eine  $F_4$  wenigstens vier  $D_2$ , die ein eigentliches Tetraeder  $T$  bilden, so geht die  $F_4$  vermöge einer  $T$  als Fundamentaltetraeder wieder in eine solche  $F_4$  über.“

Denn die etwaigen weiteren  $D_2$  der  $F_4$  gehen vermöge der  $T_3$  ebenfalls in solche über.

Man frage jetzt im besonderen, wann die  $F_4$  (1) vermöge der normierten  $T_3$  (8') in sich selbst übergeht. Dazu ist notwendig und hinreichend, daß je zwei „komplementäre“ Koeffizienten in (1) gleich werden, d. h. daß die Beziehungen erfüllt sind

$$(9) \quad b_{ik} = b_{im}, \text{ usf.}; \quad b_{ik}^{(i)} = b_{ik}^{(m)} = 2c_{ik}, \text{ usf.},$$

so daß sich die Anzahl von 19 Koeffizienten in (1) auf 10 reduziert, und die Gleichung der vermöge  $T_3$  automorphen  $F_4$  mit 4  $D_2$  in den  $A$  lautet

$$(10) \quad F_4 \equiv b_{ik}(x_i^2 x_k^2 + x_i^2 x_m^2) + \dots + 2c_{ik} x_i x_k (x_i^2 + x_m^2) + \dots \\ + 4b x_i x_k x_i x_m = 0.$$

Entsprechend reduzieren sich die beiden Gleichungen (2), (7) für die Kegelschnitte  $k_m, k'_m$  auf

$$(11) \quad k_m \equiv x_i^2 b_{ki} + x_k^2 b_{il} + x_i^2 b_{ik} + 2x_i x_k c_{ik} + 2x_i x_l c_{il} + 2x_k x_l c_{kl} = 0,$$

$$(11') \quad k'_m \equiv x_i^2 b_{ik} b_{il} + x_k^2 b_{ki} b_{kl} + x_i^2 b_{il} b_{ik} + 2x_i x_k b_{ik} c_{ik} + 2x_i x_l b_{il} c_{il} \\ + 2x_k x_l b_{kl} c_{kl} = 0.$$

Stellt man die weitere Forderung auf, daß irgendein Paar der vier Kegelschnitte  $k, k'$ , z. B.  $k_m, k'_m$ , zusammenfällt, so ist das ersichtlich nur so möglich, daß die drei Koeffizienten  $b_{ik}, b_{il}, b_{kl}$  einander gleich werden, also gleich Eins gesetzt werden können. Dann aber fallen auch die drei übrigen Paare  $(k, k')$  je zusammen und alle vier Kegelschnitte  $k$  liegen auf einer Fläche 2. Ordnung  $F_2$  mit der Gleichung

$$(12) \quad F_2 \equiv x_i^2 + x_k^2 + x_l^2 + x_m^2 + 2x_i x_k c_{ik} + \dots + 2x_l x_m c_{lm} = 0.$$

Die Gleichungen der vier Kegelschnitte  $k = k'$ , z. B. von  $k_m = k'_m$ , reduzieren sich jetzt auf

$$(13) \quad k_m \equiv k'_m = x_i^2 + x_k^2 + x_l^2 + 2x_i x_k c_{ik} + 2x_i x_l c_{il} + 2x_k x_l c_{kl} = 0,$$

und die der  $F_4$  auf

$$(14) \quad F_4 \equiv x_i^2 x_k^2 + \dots + x_l^2 x_m^2 + 2c_{ik} x_i x_k (x_i^2 + x_m^2) + \dots \\ + 4b x_i x_k x_l x_m = 0.$$

Endlich sei noch die weitere Forderung gestellt, daß von den sechs Koeffizienten  $c$  je zwei „komplementäre“ zusammenfallen, daß also die drei Beziehungen bestehen

$$(9') \quad c_{ik} = c_{lm} = a, \quad c_{il} = c_{km} = b, \quad c_{im} = c_{kl} = c.$$

Geometrisch bedeutet das, daß die  $F_2$  (12) apolar ist zu den drei Flächen 2. Klasse

$$u_i u_k - u_i u_m = 0, \quad u_i u_l - u_k u_m = 0, \quad u_i u_m - u_k u_l = 0.$$

Jede derselben ist in sich dual und dadurch bestimmt, daß sie zwei Paare von Gegenkanten des Tetraeders  $T$  enthält und überdies den Einheitspunkt  $E(1, 1, 1, 1)$  enthält. Diese drei Flächen seien als die „Einheitsflächen“ (2. Grades) von  $T$  bezeichnet. Letzterer Punkt  $E$  war aber einer der acht sich selbst entsprechenden Punkte der Verwandtschaft  $T_3$  (8'). Offenbar sind diese acht Punkte gleichberechtigt und man könnte an Stelle von  $E$  auch irgendeinen der sieben anderen wählen, wozu nur unwesentliche Vorzeichenänderungen der Koordinaten  $x_i$  erforderlich wären.

Damit reduziert sich endlich die Gleichung der  $F_4$  auf die Form

$$(15) \quad F_4 \equiv x_i^2 x_k^2 + \dots + x_i^2 x_m^2 + 2a \{ x_i x_k (x_i^2 + x_m^2) + x_i x_m (x_i^2 + x_k^2) \\ + \dots + 4v x_i x_k x_l x_m = 0$$

und die Form  $F_2$  auf

$$(16) \quad F_2 \equiv x_i^2 + \dots + x_m^2 + 2a(x_i x_k + x_l x_m) + \dots = 0.$$

Für die so eingeschränkte  $F_4$  (15) vereinfacht sich die Gleichung (6) des  $G$ -Büschels mit dem Parameter  $\kappa$  zu

$$(17) \quad G_4 \equiv \sum x_i^4 + 4 \sum a \{ x_i x_k (x_i^2 + x_m^2) + x_i x_m (x_i^2 + x_k^2) \} \\ + 4 \sum (1 + a^2) (x_i^2 x_k^2 + x_i^2 x_m^2) \\ + 4 \sum (a + 2bc) \{ x_i x_k (x_i^2 + x_m^2) + x_l x_m (x_i^2 + x_k^2) \} \\ + 4\kappa x_i x_k x_l x_m = 0.$$

Diese Gleichung hat eine große Ähnlichkeit mit einer der Normalgleichungen der *Kummerschen* Fläche  $K_m$  (s. Nr. 68). Bezieht man nämlich diese auf ein syzygetisches Tetraeder als Koordinatentetraeder, so lautet ihre Gleichung

$$(18) \quad K_m \equiv F_2^2 - 4k x_i x_k x_l x_m = 0,$$

wo

$$(19) \quad \begin{cases} F_2 \equiv \sum x_i^2 + 2 \sum a(x_i x_k + x_l x_m), \\ k \equiv a^2 + b^2 + c^2 - 2abc - 1. \end{cases}$$

Entwickelt man die rechte Seite von (18), so gelangt man gerade zur Gleichung (17), falls man noch dem Parameter  $\kappa$  den speziellen Wert beilegt

$$(20) \quad \kappa = a^2 + b^2 + c^2 + 2abc + 1 = 2(a^2 b^2 c^2) - k.$$

Hieraus folgt der Satz:

„Es liege eine  $F_4$  mit vier  $D_2$  in den Ecken  $A$  eines Tetraeders  $T$  vor mit folgender Eigenart. Die  $F_4$  gehe erstens in sich über ver-

möge einer kubischen Punktverwandschaft  $T_3$  mit den  $A$  als Fundamentalpunkten und  $E$  als irgendeinem (reellen) ihrer acht sich selbst entsprechenden Punkte.

Zweitens sollen die Tangentenkegel in den  $D_2$  die bezüglichen Gegenebenen von  $T$  in vier, einer  $F_2$  angehörigen Kegelschnitten  $k$  schneiden.

Drittens soll diese  $F_2$  zu den drei auf  $E$  als Einheitspunkt bezogenen Einheitsflächen 2. Klasse apolar sein. Dann befindet sich in dem Büschel von Flächen 4. Ordnung  $G_4$ , die die Ebenen von  $T$  längs der Kegelschnitte  $k$  berühren, ein Individuum, das eine *Kummersche* Fläche ist, mit  $T$  als einem syzygetischen Tetraeder.

Umgekehrt gehört zu einer *Kummerschen* Fläche mit  $T$  als einem ihrer syzygetischen Tetraeder ein Büschel von Flächen 4. Ordnung  $F_4$  mit  $D_2$  in den Ecken von  $T$ , das überdies die drei obigen Eigenschaften besitzt.“

Die beiden obigen Tetraeder sind zwei reziproke syzygetische Tetraeder der  $K_m$  (s. Nr. 68).

**60. Die Weddlesche Fläche 4. Ordnung.** Die *Weddlesche* Fläche  $W_a$  (s. auch Nr. 65) ist eine solche mit 6  $D_2$  in sechs beliebigen Punkten  $P_1, \dots, P_6$ , und zwar ist sie der Ort der Spitzen der durch die sechs Punkte gehenden Kegel 2. Ordnung. Die  $W_a$  wird daher auch kurz als „Kegelspitzenfläche“ bezeichnet. Sie tritt zuerst bei *Weddle*<sup>119)</sup> auf, der einige ihrer Eigenschaften angibt. Man kann die  $W_a$  auch auffassen als Ort der Spitzen der in Kegel ausgearteten  $F_2$  eines Gebüsches  $G$  mit sechs Grundpunkten  $P_1, \dots, P_6$ . Diese Auffassung erweist sich insbesondere als fruchtbar für die Theorie der *Kummerschen* Fläche  $K_m$  mit 16  $D_2$  (s. Nr. 66).

Deutet man nämlich die vier homogenen Parameter, die in der Gleichung irgendeines  $F_2$ -Individuums von  $G$  auftreten, als Punktkoordinaten in einem zweiten Raume, so erfüllen die Punkte, deren Koordinaten Parameter von Kegeln in  $G$  sind, eine „Bildfläche“ der  $W_a$ , so daß beide Flächen (1, 1)-deutig aufeinander bezogen sind. Diese Bildfläche ist eben die *Kummersche* Fläche  $K_m$ .

Die Fläche  $W_a$  hat *C. Hierholzer*<sup>120)</sup> eingehender untersucht. Er stellt ihre Gleichung in der Gestalt auf

$$(1) \quad W_a \equiv \sum (a_i - a_k) x_i x_k (a_i x_m^2 - a_m x_i^2) = 0 \quad (i, k = 1, 2, 3, 4; i \neq k).$$

Auf der  $W_a$  liegen 25 Gerade. Einmal die 15 Geraden  $g_{ik}$ , die je zwei

119) *Weddle*, *Cambr. Dubl. Math. J.* 5 (1850). Vgl. *A. Cayley*, *Paris C. R.* 52 (1861), p. 1216; *London Math. Soc. Proc.* 3 (1870), p. 67.

120) *C. Hierholzer*, *Math. Ann.* 4 (1871), p. 172.

Punkte  $P_i, P_k$  verbinden, andererseits die 10 Geraden  $g_{ikl} = g_{mnp}$ , die Schnittachsen je zweier Gegenebenen  $(ikl)$  und  $(mnp)$  des Sechsecks der Grundpunkte  $G_r$  ( $r = i, \dots, p$ ).

Auf der Fläche  $W_d$  liegt auch die durch die sechs Grundpunkte bestimmte kubische Kurve  $C_3$ . Hierauf beruht (s. Nr. 3) die explizite irrationale Darstellung, die *Bateman*<sup>121)</sup> für die Punkte der  $W_d$  angegeben hat.

Diese  $C_3$  liegt aber auch der von *E. Hunyady*<sup>122)</sup> herrührenden transzendenten Darstellung für die Punkte der Fläche durch Thetafunktionen von zwei Variablen zugrunde.

**61.  $F_4$  mit acht assoziierten Doppelpunkten.** Diese  $F_3$  besitzen 8  $D_2$  in acht assoziierten Punkten, d. h. den Grundpunkten eines  $F_2$ -Netzes ( $\varphi, \psi, \chi$ ); sie sind von *Cayley*<sup>123)</sup> eingehend untersucht (s. auch Nr. 57). Man erhält ihre Gleichung durch Nullsetzen einer beliebigen, in den homogenen Größen  $\varphi, \psi, \chi$  quadratischen Form oder, in *Cayleys* Bezeichnung,

$$(1) \quad F_4 \equiv (\varphi, \psi \chi)^2 = 0.$$

Schließt man nullteilige Flächen aus, so läßt sich der Gleichung (1) die kanonische Gestalt geben

$$(1') \quad F_4 \equiv \psi^2 - \varphi\chi = 0.$$

Tritt der Sonderfall ein, daß eine der beiden Flächen  $\varphi, \chi$ , etwa die erstere, in eine doppeltzählende Ebene  $u$  ausartet, so daß (1') übergeht in

$$(2) \quad F_4 \equiv \psi^2 - u^2\varphi = 0,$$

so liegt eine  $F_4$  mit  $\bar{C}_2$  und vier weiteren  $D_2$  ( $\psi = 0, \varphi = 0, u = 0$ ) vor (s. Nr. 7), von der wiederum die *Dupinsche* Zyklide (s. Nr. 27) ein metrischer Sonderfall ist.

Zerfällt noch spezieller in (2) die Form  $\varphi$  in zwei Linearformen  $u, v$ , deren eine  $u$  ist, so daß sich (2) spezialisiert zu

$$(3) \quad F_4 \equiv \psi^2 - u^3v = 0,$$

so hat man die  $F_4$  mit einem Kuspidalkegelschnitt (s. Nr. 18).

**62. Das Cayleysche Symmetroid. Die desmische Fläche 4. Ordnung.** Die Gleichung des Symmetroides  $F_4'$ , einer  $F_4$  mit 10  $D_2$ , erhält man durch Nullsetzen einer symmetrischen vierreihigen Determi-

121) *H. Bateman*, London Math. Soc. Proc. (2) 3 (1905), p. 225.

122) *E. Hunyady*, J. f. Math. 92 (1882), p. 304; vgl. *F. Caspary*, Paris C. R. 112 (1891), p. 1356; Bull. Soc. Fr. math. (2) 15 (1891), p. 388; *F. Schottky*, J. f. Math. 105 (1889), p. 238; *G. Humbert*, J. de Math. (4) 9 (1893), p. 466.

123) *A. Cayley*, Quart. J. 10 (1870), p. 34; 11 (1871), p. 111.

nante, deren Elemente quaternäre Linearformen  $a_{ik}$  sind

$$(1) \quad F_4' \equiv |a_{ik}| = 0.$$

Sie ist zuerst von *Cayley*<sup>124)</sup> genauer untersucht (s. auch Nr. 57 und Nrr. 65, 66).

Ihre Eigenschaften treten am übersichtlichsten hervor, wenn man die  $a_{ik}$  auffaßt als Koeffizienten in der Gleichung eines allgemeinen  $F_2$ -Gebüsches  $G$  mit vier homogenen Parametern  $\lambda_1, \dots, \lambda_4$

$$(2) \quad G \equiv \sum_i \sum_k x_i x_k (\lambda_1 b_{ik} + \lambda_2 b'_{ik} + \lambda_3 b''_{ik} + \lambda_4 b'''_{ik}) \\ \equiv \sum_i \sum_k x_i x_k a_{ik} = 0.$$

Man deute die  $\lambda$  als Punktkoordinaten in einem zweiten Raume  $S_2'$ . Dann erscheint die Gleichung (1) als Bedingung dafür, daß eine  $F_2$  in  $G$  in einen Kegel  $K_2$  ausartet. Die Spitzen dieser Kegel erfüllen die „Kegelspitzenfläche“ 4. Ordnung  $F_4$ , und deren Punkte  $P$  sind den Punkten  $P'$  des Symmetroides  $F_4'$  (1, 1)-deutig zugeordnet. In diesem Sinne erscheint also das Symmetroid  $F_4'$  als „Bildfläche“ der Kegelspitzenfläche  $F_4$  und kann als eine Vorstufe zur *Kummerschen* Fläche  $K_m$  (s. Nr. 66) angesehen werden.

Im  $F_2$ -Gebüsch  $G$  (2) gibt es, als ausgeartete Kegel, zehn Ebenenpaare, deren Schnittachsen — die der Kegelspitzenfläche  $F_4$  angehören — den 10  $D_2$  des Symmetroides  $F_4'$  (1) entsprechen.

Daß die  $F_4'$  (1) 10  $D_2$  besitzt, läßt sich nach *Clebsch*<sup>125)</sup> auch direkt aus der Determinante (1) entnehmen, insofern es zehn Wertsysteme der  $\lambda$  gibt, für die alle ersten Minoren zugleich verschwinden.

Nach *A. B. Coble*<sup>126)</sup> lassen sich die beiden Flächen  $F_4$  und  $F_4'$  durch eine Cremonatransformation ineinander überführen, was zu der Figur zweier kubischer Kurven  $C_3, C_3'$  in enger Beziehung steht (s. Nr. 54).

Sind im besonderen die  $a_{ik}$  in (1) die zweiten Ableitungen einer kubischen Form  $F_3$ , so geht das Symmetroid (1) über in die *Hessesche* Fläche  $H(F_3)$  der  $F_3$  (s. Art. „ $F_3$ “, Nr. 3).

Spezialisiert man andererseits die Gleichung (1) dahin, daß rechts die vier Diagonalelemente  $a_{ii}$  identisch verschwinden, so treten zu den zehn bisherigen  $D_2$  noch vier weitere hinzu, indem jeder der vier Schnitt-

124) *A. Cayley*, London Math. Soc. Proc. 3 (1871), p. 44.

125) *A. Clebsch*, J. f. Math. 59 (1861), p. 193. *Clebsch* führt den Beweis nur für den speziellen Fall, wo das Symmetroid zur *Hesseschen* Fläche einer  $F_3$  wird; sein Verfahren ist aber auf den Fall des allgemeineren Symmetroides ausdehnbar, s. *Cayley*, Note 124).

126) S. Note 112).

punkte von drei Ebenen des Typus  $a_{ik} = 0, a_{il} = 0, a_{im} = 0$  zu einem neuen  $D_2$  wird.

In diesem Falle läßt sich, wie die Entwicklung der Determinante (1) lehrt, die Fläche am einfachsten irrational darstellen vermöge der Gleichung

$$(3) \quad \sqrt{a_{ik}a_{im}} + \sqrt{a_{il}a_{km}} + \sqrt{a_{im}a_{ki}} = 0.$$

Sodann werde auf eine beachtenswerte  $F_4$  mit 12  $D_2$  hingewiesen, die „desmische“ Fläche. Ihre 12  $D_2$  sind die Ecken dreier „desmischer“ Tetraeder; solche sind nach *C. Stéphanos*<sup>127)</sup> dadurch definiert, daß sie — als ausgeartete Flächen 4. Ordnung aufgefaßt — einem  $F_4$ -Büschel angehören.

Die desmische  $F_4$  ist auch dadurch bemerkenswert, daß sie, nach *G. Veronese*<sup>128)</sup>, die Reziproke ist zu der projektiven Verallgemeinerung der Zentrafläche<sup>129)</sup> einer  $F_2$ . Letztere Verallgemeinerung ist, wie *W. Stahl*<sup>130)</sup> gezeigt hat, eine Fläche der 4. Klasse und der 12. Ordnung.

Endlich sei noch erwähnt, daß den  $F_4$  mit 13  $D_2$  *B. Levi*<sup>131)</sup> eine eingehende Untersuchung hat zu Teil werden lassen.

**63. Die Untersuchung von Rohn über  $F_4$  mit 9 bis 15 Doppelpunkten.** Einen wesentlichen Beitrag zur Theorie der  $F_4$  mit einer endlichen Anzahl von  $D_2$ , insonderheit derer mit 9 bis 15  $D_2$ , sowie der  $F_4$  überhaupt, hat *K. Rohn*<sup>132)</sup> in seiner Leipziger Preisschrift geliefert.

Seine Untersuchung zerfällt in zwei Hauptteile.

Der erste Teil ist den  $D_2$  gewidmet, die überhaupt bei einer  $F_4$  auftreten können, und den möglichen Beziehungen zwischen diesen  $D_2$ .

Das Haupthilfsmittel besteht in der ausgiebigen Betrachtung des von einem als existierend angenommenen  $D_2$  an die  $F_4$  gehenden Tangentenkegels  $K_6$  (s. auch Nr. 19 und 31) und seines Schnittes mit einer festen Projektionsebene  $\Pi$ .

Es werde, wie früher, der  $D_2$  in die Koordinatenecke  $A_m (x_i = 0, x_k = 0, x_l = 0)$  verlegt, und die Ebene  $\Pi$  in die Koordinatenebene

127) *C. Stéphanos*, Bull. Math. Astr. (2) 3 (1879), p. 424. Vgl. *H. Schroeter*, Ztschr. Math. Phys. 28 (1883), p. 178.

128) *G. Veronese*, Rom Linc. Mem. (3) 9 (1881).

129) Über diese Zentrafläche siehe *G. Salmon*, Quart. J. 2 (1858), p. 207; *A. Clebsch*, J. f. Math. 62 (1863), p. 64; *A. Cayley*, Camb. Phil. Trans. 12 (1873), p. 319; *F. Caspary*, J. f. Math. 81 (1876), p. 143; 83 (1877), p. 72; „*Salmon-Fiedler*“, p. 337 ff.

130) *W. Stahl*, J. f. Math. 101 (1887), p. 73.

131) *B. Levi*, „Sulla superficie del quarto ordine con 13 punti doppi“, Torino 1904.

132) *K. Rohn*, Leipzig Ber. 1884, p. 52; Preisschrift der *Jablonowskischen Gesellschaft*, Leipzig 1886.

$x_m = 0$ . Ordnet man demgemäß die Gleichung der  $F_4$  nach  $x_m$ , so nimmt sie die Gestalt an

$$(1) \quad F_4 \equiv u_2 x_m^2 + 2u_3 x_m + u_4 = 0,$$

wo  $u_r$  ( $r = 2, 3, 4$ ) eine ternäre Form der Ordnung  $r$  in  $x_i, x_k, x_l$  bedeutet. Die Gleichung des Tangentenkegels  $K_6$  oder auch seiner Spur  $k_6$  in der Ebene  $\Pi$  lautet dann

$$(2) \quad k_6 \equiv u_2 u_4 - u_3^2 = 0.$$

Dies ist eine ebene Kurve 6. Ordnung von der spezifischen Eigenart, daß sie von einem Kegelschnitt  $c_2$  ( $u_2 = 0$ ) überall, also in sechs Punkten berührt wird; diese lassen sich von einer  $c_3$  ( $u_3 = 0$ ) derart aus der  $k_6$  ausschneiden, daß in deren 12 Restschnittpunkten eine  $c_4$  ( $u_4 = 0$ ) die  $k_6$  berührt.

Umgekehrt läßt sich jede, im übrigen beliebig vorgegebene  $c_6$  in der Ebene  $\Pi$ , die von einer  $c_2$  in sechs Punkten berührt wird, als Spur des Tangentenkegels  $K_6$ , der von einem  $D_2$  (in  $A_m$ ) einer  $F_4$  an diese Fläche geht, auffassen. Solcher zu  $c_6 = k_6$  zugehöriger  $F_4$  gibt es noch eine lineare  $\infty^7$ -Schar, die linear ineinander transformierbar sind.

Durch Betrachtung aller Spezialisierungen dieser  $c_6$  kann man zu allen  $F_4$  mit mindestens einem  $D_2$  gelangen, und aus den Eigenschaften der jeweiligen  $c_6$  auf das eventuelle Auftreten weiterer  $D_2$  der  $F_4$  und ihrer Beziehungen zueinander schließen.

Die als endlich vorausgesetzte Anzahl der  $D_2$  kann jeden Wert von 1 bis 16 annehmen; der Maximalwert 16 führt zur *Kummerschen* Fläche  $K_m$  (s. Absch. XI).

Die verschiedenen Arten der  $c_6$  mit sechsmal berührendem Kegelschnitt werden daraufhin genau diskutiert; unter diesen  $c_6$  beanspruchen ein besonderes Interesse die mit resp. 8, 9, 10  $d_2$ , und unter diesen wiederum die letzteren mit 10  $d_2$ , wo die  $c_6$  rational wird.

Nunmehr erfolgt die systematische Übertragung der Eigenschaften der  $c_6$  auf die  $F_4$  mit  $D_2$ , die daraufhin sachgemäß klassifiziert werden. Ist die Anzahl der  $D_2$  größer als sieben, so ist deren Lage nicht mehr willkürlich, sondern gewissen Bedingungen unterworfen (s. auch *Cayley* in Nr. 57).

Der zweite Teil der Abhandlung beschäftigt sich mit den gestaltlichen Verhältnissen der in Rede stehenden  $F_4$ .

Hierbei kommt einmal der Umstand zur Geltung, daß jede Gerade, die mit einer  $F_4$  mehr als vier Punkte gemein hat, ihr ganz angehören muß (s. Nr. 3).

Sodann spielt eine wesentliche Rolle die „Methode der Grenzfälle“. Man gehe von den Grenzfällen aus, wo die  $F_4$  irgendwie ausartet, z. B.

in eine doppelt zählende  $F_2$  oder, wo sie bereits eine gewisse Anzahl von  $D_2$  besitzt; durch stetige Deformation dieser „Grenzflächen“ werden dann die „allgemeinen“, einschließlich derer ohne  $D_2$ , abgeleitet.

Drittens zieht der Verfasser auch mit Vorteil die Eigenschaften der Strahlensysteme heran, die von den Doppeltangenten  $t_2$  der  $F_4$  gebildet werden.

Wir begnügen uns hier mit der Angabe der gestaltlichen Hauptformen, deren eine  $F_4$  ohne  $D_2$  fähig ist. Es können auftreten:

1. Zwei ineinanderliegende Ovale;
2.  $F_4$  ohne reellen Punkt (nullteilige  $F_4$ );
3. 1 bis 12 auseinanderliegende Ovale;
4. Ein Ring (vom Zusammenhang  $p$ ), der evtl. noch von 1 bis 11 Ovalen begleitet sein kann;
5. Zwei Ringe mit  $p = 1$ ;
6. Zwei „halbpaare“  $F_4$ -Teile mit  $p = 1$ ;
7. Ein halbpaarer Teil vom Zusammenhang  $p$  und evtl. noch 1 bis 11 Ovale.

Hierbei ist unter einem „paaren“ Flächenteil ein solcher zu verstehen, auf dem sich nur paare  $C$ -Züge befinden; unter einem „unpaaren“ Teile ein solcher mit nur unpaaren  $C$ -Zügen; endlich unter einem „halbpaaren“ Teil ein solcher mit paaren und unpaaren  $C$ -Zügen.

Wenn auch so, wie der Verfasser hervorhebt, noch keine vollständige Einsicht in die gestaltlichen Verhältnisse der  $F_4$  gewonnen ist, so doch ein allgemeiner Überblick.

Wenn man den hier auftretenden Gestaltenreichtum bedenkt, der über 1000 charakteristisch verschiedener Typen umfaßt, so wird man in der Tat bezweifeln, ob eine völlig befriedigende Übersicht überhaupt erreichbar ist.

## XI. Die Weddlesche und die Kummersche Fläche.

### Das Tetraedroid und die Wellenfläche.

64. Das allgemeine  $F_2$ -Gebüsch. Die Kegelspitzenfläche und ihre Bildfläche. Da die Grundlage dieses Abschnitts durch ein  $F_2$ -Gebüsch mit sechs Grundpunkten gebildet wird, mögen einige Hilfsentwicklungen über ein allgemeines  $F_2$ -Gebüsch vorausgeschickt werden (s. auch Nrr. 54, 57).

Seien  $F, H, L, M$  vier beliebige, linear unabhängige  $F_2$ , so bilde man aus ihnen mittels vier Parameter  $\lambda, \mu, \nu, \rho$  ein Gebüsch  $G$  mit der Gleichung

$$(1) \quad G \equiv \lambda F + \mu H + \nu L + \rho M = 0.$$

Soll im besonderen ein Individuum  $(\lambda, \mu, \nu, \rho)$  von  $G$  ein Kegel  $K$  mit der Spitze  $(x)$  sein, so ist dazu notwendig und hinreichend, daß alle ersten Ableitungen  $G_i$  der Form  $G$  für ein Wertesystem  $(x)$  zugleich verschwinden

$$(2) \quad G_i \equiv \lambda F_i + \mu H_i + \nu L_i + \rho M_i = 0.$$

Von hier aus kann man in zwei Richtungen vorgehen.

Einmal eliminiere man aus (2) die Parameter, so ergibt sich die Gleichung einer  $F_4 = F_4'$

$$(3) \quad F_4' \equiv |F_i, H_i, L_i, M_i| = 0.$$

Diese  $F_4'$  ist der Ort der Spitzen  $(x)$  aller in  $G$  enthaltenen Kegel  $K$  und wird daher als „Kegelspitzenfläche  $G''$  bezeichnet.

Die Gleichung (3) läßt sich auch symbolisch in einfacher Gestalt schreiben. Setzt man

$$(4) \quad F \equiv (ax)^2, \quad H \equiv (bx)^2, \quad L \equiv (cx)^2, \quad M \equiv (dx)^2,$$

so erhält man sofort

$$(3') \quad F_4' \equiv (ax)(bx)(cx)(dx)(abcd) = 0.$$

Die Gleichung (3) läßt aber noch eine andere Auffassung zu. Man stelle die Bedingungen dafür auf, daß ein Punkt  $(x')$  zum Punkte  $(x)$  in bezug auf alle Individuen  $(\lambda, \mu, \nu, \rho)$  in  $G$  konjugiert sei, so hat man das System der in  $(x')$  und  $(x)$  symmetrischen Polargleichungen

$$(5) \quad G_{xx'} \equiv \lambda F_{xx'} + \mu H_{xx'} + \nu L_{xx'} + \rho M_{xx'} = 0.$$

Da diese Gleichung in den Parametern identisch zu erfüllen ist, löst sie sich in die vier Einzelgleichungen auf

$$(5') \quad F_{xx'} = 0, \quad H_{xx'} = 0, \quad L_{xx'} = 0, \quad M_{xx'} = 0.$$

Je nachdem man hier die  $x'$  oder die  $x$  eliminiert, erhält man die nämliche Gleichung (3), nur einmal in den  $x$ , das andere Mal in den  $x'$  geschrieben. Hieraus folgt:

„Jedem Punkte  $(x)$  der  $F_4'$  als Spitze eines Kegels  $K$  im Gebüsch  $G$  ist ein anderer Punkt  $(x')$  der  $F_4'$  (1, 1)-deutig involutorisch zugeordnet. Je zwei solche Punkte  $(x)$  und  $(x')$  sind konjugiert in bezug auf alle  $F_2$  des Gebüsches  $G$ . Zu jedem Kegel  $K$  mit der Spitze  $(x)$  gehört (1, 1)-deutig involutorisch ein Kegel  $K'$ , mit der Spitze  $(x')$ .“

Nunmehr greife die zweite, an (2) anknüpfende Betrachtung Platz. Schreibt man real

$$(6) \quad \begin{cases} F \equiv \sum \sum a_{ik} x_i x_k, & H \equiv \sum \sum b_{ik} x_i x_k, \\ L \equiv \sum \sum c_{ik} x_i x_k, & M \equiv \sum \sum d_{ik} x_i x_k, \end{cases}$$

und setzt, für  $r, s = i, k, l, m$ ,

$$(7) \quad G_{rs} \equiv \lambda a_{rs} + \mu b_{rs} + \nu c_{rs} + \rho d_{rs},$$

so lautet das Eliminationsresultat

$$(8) \quad F_4''(\lambda, \mu, \nu, \rho) \equiv |G_{rs}| = 0,$$

wo  $|G_{rs}|$  eine symmetrische vierreihige Determinante ist.<sup>132a)</sup>

Deutet man die Gleichung (8) in einem zweiten Raume  $(\lambda, \mu, \nu, \rho)$ , so stellt sie wiederum eine Fläche 4. Ordnung  $F_4''$  dar. Beide Flächen

132a) Man kann auch, was für manche Zwecke vorteilhaft ist, die Parameter  $\lambda, \mu, \nu, \rho$  als Koordinaten einer Ebene deuten. Es liegt dann der duale Standpunkt vor, den *Th. Reye* vertritt, *J. f. Math.* 86 (1878), p. 84, s. auch „*Reye*“, Vortrag 28. Vgl. auch *Darboux*<sup>173)</sup>.

Da *Reye* den Gebrauch von Koordinaten verschmäht, adjungiert er der Figur des  $F_2$ -Gebüsches  $G$  einen beliebig, aber fest angenommenen Punkt, und ordnet dann die Polarebenen  $\Pi'$  dieses Punktes in bezug auf die  $F_2$  in  $G$  diesen in einem zweiten Raume  $S_3'$  projektiv zu. An die Stelle der Bildfläche  $F_4''$  von  $F_4'$  tritt jetzt eine Fläche 4. Klasse  $\Phi_4'$ .

Einem  $F_2$ -Büschel  $B$  in  $G$ , mit einer  $C_4$  als Basis, entspricht eine Gerade  $g'$ , einem  $F_2$ -Netze  $N$  in  $G$ , mit einer Basis von 8 assoziierten Punkten, ein Punkt  $P'$ .

Das Bild einer beliebigen Ebene  $E$  ist eine *Steinersche* Fläche  $S'$ , die daraufhin genauer untersucht wird (s. auch Nr. 44).

Das Bild einer beliebigen Geraden  $g$  ist eine  $C_2'$ ; liegt aber im besonderen ein „Hauptstrahl“  $s$  vor, d. i. die Verbindungsgerade irgend zweier assoziierter Punkte, so reduziert sich ihr Bild auf eine Gerade  $s'$ .

Die Spitzen der Kegel in  $G$  erfüllen die Kernfläche  $K_4$ ; deren Punkte bilden sich (1, 1)-deutig ab auf die Tangentialebenen  $T'$  der  $\Phi_4'$  und damit zugleich auf deren Berührungspunkte  $P'$ .

Die Bilder der 10 Ebenenpaare in  $G$ , deren Achsen der  $K_4$  angehören, sind singuläre  $T'$  der  $\Phi_4'$ .

Die Geraden  $s'$  sind die Doppeltangenten  $t_2'$  der  $\Phi_4'$ ; sie bilden eine Kongruenz  $\mathfrak{R}(28, 12)$  der Ordnung 28 und der Klasse 12.

Hierauf werden der Reihe nach die Sonderfälle diskutiert, wo das Gebüsch  $G$  1, 2, . . . , 6 Grundpunkte  $G_i$  besitzt. Hierbei ist zu beachten, daß jede durch einen Grundpunkt  $G_i$  gehende Gerade  $g_i$  ein Hauptstrahl ist.

Das Bild von  $G_i$  selbst ist eine Ebene  $\alpha_i'$ , das des Kegels in  $G$  mit der Spitze in  $G_i$  eine  $C_2'$  in  $\alpha_i'$ .

Das Bild des Geradenbündels ( $G_i$ ) ist eine Kongruenz, die stets von der zweiten Klasse ist, während ihre Ordnung bei einem einzigen Grundpunkt gleich 7 ist und mit jedem weiteren Grundpunkte um Eins sinkt.

Man gelangt so, wenn man wieder die dualen Gebilde heranzieht, zu sechs von *Kummer*<sup>117)</sup> untersuchten Kongruenzen 2. Ordnung.

Jeder Verbindungsgeraden von zwei Grundpunkten entspricht ein  $D_2'$  auf  $\Phi_4'$ .

Im Falle von sechs Grundpunkten, wo die  $\Phi_4'$  wieder in die *Kummersche* Fläche  $K_m$  übergeht, entstehen so 15  $D_2'$ . Ein 16<sup>ter</sup>  $D_2'$  ist das Bild der durch die Grundpunkte gehenden und auf der  $K_4$  — als Haupttangente — gelegenen  $C_3$ .

In allen Fällen ist die  $\Phi_4'$  zugleich die Brennfläche je einer der zugehörigen Kongruenzen; im besonderen erscheint so die  $K_m$  als Brennfläche von sechs Kongruenzen (2, 2). (S. auch Nr. 69.)

$F_4'$  und  $F_4''$  sind (1, 1)-deutig aufeinander bezogen: Einem Punkte ( $x$ ) der  $F_4'$  als Spitze eines Kegels  $K$  im Gebüsch  $G$  entspricht ein Bildpunkt ( $\lambda, \mu, \nu, \rho$ ) der  $F_4''$ , wo  $\lambda, \mu, \nu, \rho$  die zum Kegel  $K$  in  $G$  gehörigen Parameterwerte bedeuten.

Auch auf der Fläche  $F_4''$  findet zwischen deren Punkten eine (1, 1)-deutige involutorische Beziehung statt; jedem Punkte ( $\lambda, \mu, \nu, \rho$ ) als Bild eines Kegels  $K$  in  $G$  entspricht ein Punkt ( $\lambda', \mu', \nu', \rho'$ ) als Bild des Kegels  $K'$  in  $G$ .

Die Fläche „ $F_4$ “ heiße daher die „Bildfläche“ von  $F_4'$ .

Nun sind die Koeffizienten  $a_{rs}, b_{rs}, c_{rs}, d_{rs}$  der Linearformen  $G_{rs}$  völlig beliebig angenommen, d. h. die symmetrische Determinante  $|G_{rs}|$  enthält im übrigen ganz beliebige quaternäre Linearformen der  $\lambda, \mu, \nu, \rho$  als Elemente. Dies liefert den Satz:

„Eine symmetrische vierreihige Determinante mit quaternären Linearformen in vier Punktvariablen  $\lambda, \mu, \nu, \rho$  als Elementen läßt sich, gleich Null gesetzt, als Bildfläche  $F_4''$  der Kegelspitzenfläche  $F_4'$  eines  $F_2$ -Gebüsches auffassen.“

Diese Fläche  $F_4''$  hat zuerst *A. Cayley* von anderen Gesichtspunkten ausgehend (s. Nr. 62) eingehend untersucht und mit dem Namen „Symmetroid“ belegt. Er stellt vor allem fest, daß sie 10  $D_2$  besitzt.

*Reye*<sup>133</sup>) hat den Zusammenhang dieses Satzes mit dem  $F_2$ -Gebüsch hergestellt, indem er ihn auf den Satz zurückführt, daß sich in einem  $F_2$ -Gebüsch  $G$  zehn Ebenenpaare als zerfallende Kegel  $K$  befinden.

Sei ein solches etwa  $F \equiv x_i x_k = 0$ , so entspricht ihm das Parametersystem  $\lambda = 1, \mu = \nu = \rho = 0$ .

Für letzteres verschwinden aber alle ersten Minoren der Determinante  $|G_{rs}|$ .

Andererseits zeigt *Reye* direkt, daß alle ersten Minoren einer symmetrischen Determinante vom Typus  $|G_{rs}|$  für zehn Wertsysteme der Variablen  $\lambda, \mu, \nu, \rho$  zugleich verschwinden. Nunmehr werde noch ein Hilfssatz herangezogen, der gleich allgemein ausgesprochen werde:

„Liegt eine  $n$ -reihige Determinante  $D$  vor mit  $n$ -ären Linearformen in Variablen  $x_i$  als Elementen, und verschwinden für ein gewisses Wertsystem der Variablen  $x_i$  alle ersten Minoren zugleich, so ist der entsprechende Punkt der durch  $D = 0$  im  $S_{n-1}$  dargestellten Mannigfaltigkeit  $F_n$  ein  $D_2$ .“

In der Tat, bildet man die Ableitung  $D_i = \frac{\partial D}{\partial x_i}$ , indem man in bekannter Weise der Reihe nach die Elemente jeder Reihe nach  $x_i$  differenziert und dann mit den zugehörigen ersten Minoren multipliziert,

133) *Th. Reye*, J. f. Math. 77 (1874), p. 269; 82 (1877), p. 54.



Um diese aufzustellen, gehe man aus von der identisch verschwindenden Determinante

$$(2) \quad (xyxz) \equiv 0.$$

Entwickelt man die Determinante nach den Elementen der ersten Reihe, so ergibt sich als erste Identität

$$(I) \quad \sum_i^m F_i \equiv 0.$$

Entwickelt man andererseits die Determinante (2) nach dem *Laplace*-schen Satze, so gelangt man zur zweiten Identität

$$(II) \quad \sum_i \sum_k F_{ik} \equiv 0.$$

Weiter betrachte man irgendeine der drei gleichberechtigten Differenzen

$$(3) \quad D_{ik} \equiv F_{ik} - F_{im}, \quad D_{il} \equiv F_{il} - F_{mk}, \quad D_{im} \equiv F_{im} - F_k,$$

etwa die erste. Gemäß (1<sub>m</sub>) und (1<sub>ik</sub>), (1<sub>im</sub>) wird explizite

$$(4) \quad D_{ik} \equiv F_{ik} - F_{im} \equiv x_i x_l p_{km} + x_k x_m p_{li} - x_i x_m p_{kl} - x_k x_l p_{im} \\ \equiv x_i(x_k p_{mi} + x_l p_{km} + x_m p_{ik}) + x_k(x_i p_{lm} + x_l p_{mi} + x_m p_{li}).$$

Gemäß (1<sub>m</sub>) und (I) folgt hieraus eine dritte Art von Identitäten

$$(III) \quad \begin{cases} D_{ik} \equiv F_{ik} - F_{im} \equiv F_i + F_k \equiv -(F_l + F_m), \\ D_{il} \equiv F_{il} - F_{mk} \equiv F_i + F_l \equiv -(F_k + F_m), \\ D_{im} \equiv F_{im} - F_{kl} \equiv F_i + F_m \equiv -(F_k + F_l). \end{cases}$$

Daraufhin lassen sich sofort die  $F_i, \dots, F_m$  durch die  $F_{ik}, \dots$  linear ausdrücken.

Denn durch geeignete Addition ergibt sich

$$(III') \quad \begin{cases} 2F_i \equiv D_{ik} + D_{il} + D_{im}, \\ 2F_k \equiv D_{ik} - D_{il} - D_{im}, \\ 2F_l \equiv -D_{ik} + D_{il} - D_{im}, \\ 2F_m \equiv -D_{ik} - D_{il} + D_{im}. \end{cases}$$

Durch Addition dieser Darstellungen gelangt man wieder zu (I) zurück. Somit gilt zunächst:

„Zwischen den zehn quadratischen Formen  $F_i, \dots, F_{ik}, \dots$  bestehen fünf unabhängige lineare Identitäten mit numerischen Koeffizienten, die durch (III') und (II) angegeben sind.“

Indessen läßt sich die Darstellung (III') noch vereinfachen. Denn die Kombinierung mit (II) führt (III') über in

$$(III'') \quad F_i \equiv F_{ik} + F_{il} + F_{im} \equiv -(F_{kl} + F_{mk} + F_{lm}) \text{ usf.}$$

Daß hiermit alle linearen Identitäten mit numerischen Koeffizienten zwischen den  $F_i, \dots, F_{ik}, \dots$  erschöpft sind, erkennt man, wenn man

irgend vier lineare unabhängige Formen herausgreift, etwa  $F_{ik}$ ,  $F_{lm}$ ,  $F_{im}$ ,  $F_{kl}$ , und durch sie etwa  $F_m$  linear ausdrückt, wie es möglich sein muß, da ja alle zehn Formen einem  $F_2$ -Gebüsch angehören. Man bilde also den Ansatz

$$(5) \quad \nu_m F_m \equiv \lambda_{ik} F_{ik} + \lambda_{lm} F_{lm} + \lambda_{im} F_{im} + \lambda_{kl} F_{kl},$$

und ermittle die Verhältnisse der Koeffizienten  $\nu_m$ ,  $\lambda_{ik}$ ,  $\dots$

Da links die Koeffizienten von  $x_k x_l$ ,  $x_i x_k$ ,  $x_i x_l$  verschwinden, muß es auch rechts sein, und man hat die drei Bedingungen

$$\begin{cases} (6_{kl}) & \lambda_{ik} y_i z_m + \lambda_{lm} y_m z_i = 0, \\ (6_{ik}) & \lambda_{im} y_m z_l + \lambda_{kl} y_l z_m = 0, \\ (6_{il}) & (\lambda_{ik} - \lambda_{kl}) y_k z_m - (\lambda_{im} - \lambda_{lm}) y_m z_k = 0. \end{cases}$$

Die beiden ersten liefern, unter  $\varrho$ ,  $\sigma$  zwei Proportionalitätsfaktoren verstanden,

$$\begin{cases} (6'_{kl}) & \lambda_{ik} = \varrho y_m z_i, \quad \lambda_{lm} = -\varrho y_i z_m, \\ (6'_{ik}) & \lambda_{im} = \sigma y_l z_m, \quad \lambda_{kl} = -\sigma y_m z_l, \end{cases}$$

und nach Einsetzung in (6<sub>il</sub>)

$$(6'_{il}) \quad \varrho = p_{kl}, \quad \sigma = p_{ik}.$$

Damit erhalten die vier Größen  $\lambda_{ik}$ ,  $\dots$  die endgültige Form

$$(7) \quad \begin{cases} \lambda_{ik} = p_{kl} y_m z_i, & \lambda_{lm} = -p_{kl} y_i z_m, \\ \lambda_{im} = p_{ik} y_l z_m, & \lambda_{kl} = -p_{ik} y_m z_l. \end{cases}$$

Durch Eintragung in (5) bestimmt sich der letzte Faktor  $\nu_m$ , indem die Koeffizienten von  $x_i x_m$ ,  $x_k x_m$ ,  $x_l x_m$  rechts mit den entsprechenden in  $F_m$  proportional werden müssen.

Die Vergleichung führt in der Tat jedesmal zu demselben Werte von  $\nu_m$

$$(8) \quad \nu_m = y_i y_l z_k z_m - y_k y_m z_i z_l.$$

Trägt man die Werte von  $\lambda$  und von  $\nu_m$  aus (7) und (8) in (5) ein, so wird die gewünschte Identität

$$(9) \quad (y_i y_l z_k z_m - y_k y_m z_i z_l) F_m \equiv p_{kl} (y_m z_i F_{ik} - y_i z_m F_{lm}) + p_{ik} (y_l z_m F_{im} - y_m z_l F_{kl}),$$

und analog für  $F_i$ ,  $F_k$ ,  $F_l$ .

Nummehr läßt sich auch  $F_{mk}$  (oder auch  $F_{il}$ ) in  $F_{ik}$ ,  $F_{lm}$ ,  $F_{im}$ ,  $F_{kl}$  ausdrücken.

Aus (1<sub>im</sub>) ergibt sich, nach Multiplikation mit  $\nu_m$ ,

$$\nu_m F_{mk} \equiv \nu_m F_m - \nu_m F_{im} - \nu_m F_{lm}.$$

Nach Eintragung von  $\nu_m F_m$  aus (9) ergibt sich

$$\nu_m F_{mk} \equiv \lambda_{ik} F_{ik} + F_{im} (\lambda_{lm} - \nu_m) + F_{lm} (\lambda_{im} - \nu_m) + \lambda_{kl} F_{kl}.$$

Hier ist

$$\begin{cases} \lambda_{lm} - \nu_m \equiv -p_{lm}y_kz_l, \\ \lambda_{im} - \nu_m \equiv -p_{im}y_kz_i. \end{cases}$$

Nach Einsetzung dieser Werte, sowie derer von  $\lambda_{ik}$  und  $\lambda_{kl}$  wird die gewünschte Identität

$$(10) (y_i y_l z_k z_m - y_k y_m z_i z_l) F_{mk} \equiv p_{kl} y_m z_i F_{ik} - p_{im} y_k z_l F_{lm} \\ - p_{lm} y_k z_i F_{im} - p_{ik} y_m z_l F_{kl}.$$

Hinterher lassen sich die bisherigen Darstellungen formal vereinfachen, wenn man den Punkt  $Z$  als Einheitspunkt  $E(1, 1, 1, 1)$  normiert.

Es genüge die Darstellung des Gebüsches  $G$  in  $F_{ik}, F_{lm}, F_{im}, F_{kl}$ . Diese lautet explizite

$$(IV) G \equiv x_i x_l \{ y_k (\lambda_{ik} - \lambda_{kl}) - y_m (\lambda_{im} - \lambda_{lm}) \} \\ + x_k x_m \{ y_i (\lambda_{ik} - \lambda_{im}) - y_l (\lambda_{kl} - \lambda_{lm}) \} - x_i x_m (\lambda_{ik} y_k + \lambda_{lm} y_l) \\ - x_k x_l (\lambda_{ik} y_i + \lambda_{lm} y_m) + x_i x_k (\lambda_{im} y_m + \lambda_{kl} y_l) \\ + x_i x_m (\lambda_{im} y_i + \lambda_{kl} y_k).$$

**66. Die Weddlesche Fläche und die Kummersche Fläche als ihre Bildfläche. Invariante Darstellung beider Flächen.** Von dem allgemeinen  $F_2$ -Gebüsch  $G$  der Nr. 64 ausgehend, könnte man nun der Reihe nach die Sonderfälle diskutieren, wo  $G$   $k$  ( $k = 1, 2, \dots, 6$ ) Grundpunkte besitzt (die allen  $F_2$  in  $G$  gemeinsam sind). Ohne auf die Zwischenfälle näher einzugehen, begnügen wir uns mit folgendem Hinweis. In  $G$  mögen einer oder mehrere (bis zu sechs) Grundpunkte auftreten.

Man wähle einen solchen als Koordinatenecke  $A_i$ , so daß die vier Bedingungen  $a_{ii} = b_{ii} = c_{ii} = d_{ii} = 0$  erfüllt sind (und umgekehrt). Dann verschwinden in der Determinante  $F'_4 \equiv |F_i, H_i, L_i, M_i|$  für  $A_i$  die Elemente der  $i^{\text{ten}}$  Reihe, d. h.  $A_i$  gehört der  $F'_4$  an (wie auch geometrisch ersichtlich ist). In der Tat ergeben sich die Parameterwerte  $\lambda_i, \mu_i, \nu_i, \rho_i$  des Kegels  $K_i$  in  $G$  mit der Spitze  $A_i$  aus den drei linearen Gleichungen

$$G_{ir} \equiv \lambda a_{ir} + \mu b_{ir} + \nu c_{ir} + \rho d_{ir} = 0 \quad (r = k, l, m).$$

Andererseits verschwindet in der Bilddeterminante  $F''_4 \equiv |G_{rs}|$  nach Voraussetzung das Element  $G_{ii}$  identisch. Entwickelt man daher die Determinante  $|G_{rs}|$  nach den Elementen der  $i^{\text{ten}}$  Reihe und Kolonne, so erscheint  $|G_{rs}|$  als eine quadratische Form in  $G_{ik}, G_{il}, G_{im}$ .

Mithin verschwindet  $|G_{rs}|$  für die Parameterwerte  $\lambda_i, \mu_i, \nu_i, \rho_i$  von  $K_i$  in der 2<sup>ten</sup> Ordnung, d. i., der Bildpunkt von  $A_i$  ist ein  $D_2$  der Bildfläche  $F''_4$ . Somit gilt:

„Jeder Grundpunkt des Gebüsches  $G$  gehört der Kegelspitzenfläche  $F'_4$  einfach an, und sein Bildpunkt auf der Bildfläche  $F''_4$  als ein  $D_2$ .“

Läßt man daher im  $F_2$ -Gebüsch  $G$  der Reihe nach 1, 2, ..., 6 Grundpunkte zu, so besitzt die Bildfläche  $F_4''$  der Reihe nach 11, 12, ..., 16  $D_2$ .

Der letzte Fall ist der wichtigste, da er zur *Kummerschen Fläche*<sup>134)</sup> (s. Nr. 68) mit 16  $D_2$  führt. Umgekehrt läßt sich also letztere stets als Bildfläche der zu einem  $F_2$ -Gebüsch  $G$  mit sechs Grundpunkten gehörigen Kegelspitzenfläche auffassen.

Nummehr gehen wir gleich zum letzten und wichtigsten Fall über, einem  $F_2$ -Gebüsch  $G$  mit sechs beliebigen Grundpunkten (von denen keine vier inzident sind) und knüpfen zu dem Behuf wieder an Nr. 65 an. Umgekehrt ist dann, nach Annahme der sechs Grundpunkte, das Gebüsch  $G$  völlig bestimmt. Auf die zugehörige Kegelspitzenfläche  $F_4'$  hat zuerst *Th. Weddle* (s. Nr. 61) hingewiesen und ihre einfachsten Eigenschaften abgeleitet. Diese Fläche wird daher „*Weddlesche Fläche*“ genannt; sie sei mit  $W_a$  bezeichnet.

Eingehender ist diese Fläche später von *C. Hierholzer* (Nr. 60) untersucht. Wie in Nr. 65 seien vier der sechs (als reell angenommenen) Grundpunkte als die Koordinatenecken  $A_i, A_k, A_l, A_m$  gewählt, und die beiden übrigen mit  $Y(y)$  und  $Z(z)$  bezeichnet.

Man erkennt sofort, daß auf der  $W_a$   $10 + 15 = 25$  Gerade  $g$  liegen; einmal die 15 Verbindungsgeraden je zweier der sechs Grenzpunkte, andererseits die Achsen der zehn in  $G$  enthaltenen Ebenenpaare. Aus der ersteren Eigenschaft folgt zugleich, daß die sechs Grundpunkte  $D_2$  auf  $W_a$  sind; jeder von ihnen ist die Spitze eines Kegels  $K$ , der durch die fünf von dem Grundpunkte nach den fünf anderen laufenden Geraden als Kanten bestimmt ist.

Durch die sechs Grundpunkte geht eine kubische Raumkurve  $C_3$ , die ebenfalls ganz auf der Fläche  $W_a$  liegt. Denn von jedem Punkte der  $C_3$  aus projiziert sich letztere durch einen Kegel  $K$ , der durch die sechs Grundpunkte geht.

Um die Gleichung der Fläche  $W_a$  aufzustellen, könnte man von dem in Nr. 64 durch die vier Individuen  $F \equiv F_{ik}, H \equiv F_{lm}, L \equiv F_{im}, M \equiv F_{kl}$  bestimmten Gebüsch  $G$  ausgehen, und von hier aus die Gleichung  $W_a \equiv |F_i, H_i, L_i, M_i| = 0$  bilden. Indessen würde die so erhaltene Gleichung einmal in ihrer Struktur unsymmetrisch ausfallen und überdies mit einem fremden, von den  $y_i, z_i$  abhängigen (und in diesen quadratischen) Faktor behaftet sein.

134) Diesen Standpunkt haben wohl zuerst *Darboux*<sup>173)</sup>, *Th. Reye*<sup>182a)</sup> und *R. de Paolis* betont, Rom Linc Rend. (4) 6<sub>2</sub> (1890), p. 3. Die (1, 1)-deutige Beziehung zwischen den Punkten der  $W_a$  und  $K_m$  hat *F. Schottky* eingehend verfolgt, besonders in transzendenter Hinsicht, J. f. Math. 105 (1899), p. 269.

*Hierholzer* umgeht diese Schwierigkeit vermöge einer einfachen Abzählung.

Konstruiert man eine  $F_4$  so, daß sie in den sechs Grundpunkten  $D_2$  besitzt (was 24 Bedingungen involviert) und weiter die zehn Verbindungsgeraden je zweier von fünf der  $D_2$  enthält (was zehn weitere Bedingungen erfordert), so ist eine solche  $F_4$  bereits eindeutig festgelegt, muß also mit der  $W_d$  übereinstimmen und daher auch die fünf Geraden, die den sechsten Grundpunkt mit den übrigen verbinden, enthalten.

Daraufhin wird die Gleichung der  $W_d$  direkt aufgestellt in der Gestalt

$$(I) \quad W_d \equiv \begin{vmatrix} y_i z_i & x_i, y_i, z_i \\ x_i & \end{vmatrix} = 0,$$

oder auch, unter Vermeidung der Nenner,

$$(I) \quad W_d \equiv |y_i z_i x_k x_i x_m, x_i, y_i, z_i| = 0.$$

Aus dieser Darstellung lassen sich die oben angegebenen Eigenschaften unmittelbar ablesen.

Entwickelt man rechts nach dem *Laplaceschen* Satze, so hat man, wenn man noch zur Abkürzung setzt

$$(1) \quad y_i z_i = p_i, \quad (y z)_{ik} = p_{ik},$$

die ausgeführte Darstellung

$$(1a) \quad W_d \equiv \sum_i \sum_k x_i x_k p_{ik} (p_i x_m^2 - p_m x_i^2) = 0.$$

Man unterwerfe jetzt die  $W_d$  der (1, 1)-deutigen involutorischen kubischen Punkttransformation  $T_3$  (s. Nr. 59 und Art. „ $F_3$ “, Nr. 13)

$$(2) \quad \sigma x_i x_i' = 1.$$

Einem Punkte  $P(x)$  entspricht dabei ein Punkt  $P'(x')$ , so daß  $P$  und  $P'$  konjugiert sind in bezug auf das  $F_2$ -Netz durch die acht Einheitspunkte  $E(x_i = e_i = \pm 1)$ .

Die Koordinatenecken  $A_i$  sind die vier Fundamentalpunkte der  $T_3$ . Einer Geraden durch  $A_i$  entspricht wieder eine solche, einer beliebigen Geraden  $g$  eine  $C_3$  durch die vier  $A$  und vice versa, einer  $F_2$  durch die vier  $A$  wieder eine solche.

Somit geht das  $F_2$ -Gebüsch  $G$  vermöge der  $T_3$  in ein ebensolches Gebüsch  $G$  über, nur daß an Stelle der zwei letzten Grundpunkte  $Y(y_i)$ ,  $Z(z_i)$  die transformierten  $Y'(\frac{1}{y_i})$ ,  $Z'(\frac{1}{z_i})$  treten.

Ferner geht jeder Kegel  $K$  in  $G$  mit der Spitze  $P$  über in einen Kegel  $K'$  mit der Spitze  $P'$ .

Hieraus folgt:

„Vermöge einer (1, 1)-deutigen involutorischen kubischen Punkttransformation  $T_3$  mit den Koordinatenecken als Fundamentalpunkten geht die *Weddlesche* Fläche  $W_a$  (I) über in eine ebensolche, nur daß an Stelle der beiden letzten Grundpunkte  $Y, Z$  die transformierten  $Y', Z'$  treten.“

Dies muß sich auch an der Gleichung (I) direkt bestätigen lassen. Vermöge der  $T_3$  (2) entsteht aus (I) die transformierte Gleichung

$$(I') \quad W'_a \equiv \left| p_i x_i, \frac{1}{x_i}, y_i, z_i \right| = 0.$$

Andererseits ersetze man in (I) direkt die Punkte  $Y, Z$  durch  $Y', Z'$ , so entsteht die Gleichung

$$(I'') \quad W''_a \equiv \left| \frac{1}{p_i x_i}, x_i, \frac{1}{y_i}, \frac{1}{z_i} \right| = 0$$

Beide Gleichungen (I') und (I'') müßten übereinstimmen, also ineinander überführbar sein.

Nun liefert die *Laplacesche* Entwicklung von (I') explizite

$$(I') \quad \sum_i \sum_k x_i x_k p_{ik} (p_i x'_m - p_m x_i) = 0.$$

Andererseits multipliziere man die  $i^{\text{te}}$  Reihe ( $i = 1, 2, 3, 4$ ) in (I'') mit  $p_i$  und entwickle dann wieder nach dem *Laplaceschen* Satze, so entsteht in der Tat die nämliche Gleichung (I').

Noch sei bemerkt, daß die Grundkurve  $C_3$  der  $W_a$  vermöge der  $T_3$  übergeht in die Gerade ( $Y', Z'$ ), und vice versa die Gerade ( $Y, Z$ ) in die Grundkurve  $C'_3$  der  $W'_a$ .

Weiter gelten für die  $W_a$  als eine  $F_4$  mit einer  $C_3$  die in Nr. 3 gemachten Angaben hinsichtlich der Restkurven  $C_5$ , sowie der irrationalen expliziten Parameterdarstellung der Fläche.

Letztere gestattet hier für die  $W_a$  eine spezifische Vereinfachung. Durch die Grundkurve  $C_3$  geht ein  $F_2$ -Netz  $N$ . Sei  $N$  etwa linear zusammengesetzt aus den drei Flächen  $H, L, M$ , und sei  $F$  irgendeine weitere, nicht in  $N$  enthaltene  $F_2$  innerhalb  $G$ , deren geeignete Auswahl noch vorbehalten bleibe. Nun bildeten je zwei Punkte  $P, Q$ , die bezüglich aller Individuen in  $G$  konjugiert waren, ein zusammengehöriges Punktepaar auf der Kegelspitzenfläche  $F'_4$  eines Gebüsches  $G$ .

Im vorliegenden Falle der  $W_a$  sind also zwei solche Punkte  $P, Q$  einmal konjugiert bez.  $N$  (d. h. aller Individuen in  $N$ ), andererseits bez.  $F$ .

Aber (s. Art. „ $F_3$ “, Nr. 11) zwei, bez.  $N$  konjugierte Punkte liegen stets auf einer Sehne  $s$  der  $C_3$ , und zugleich harmonisch zu den beiden Treffpunkten von  $s$  mit der  $C_3$ , und umgekehrt.

Hieraus folgt:

„Auf irgendeiner Sehne  $s$  der  $C_3$  betrachte man einmal die Involution  $J_1$  der zu den beiden Treffpunkten von  $s$  mit der  $C_3$  harmonischen Punktepaare, andererseits die Involution  $J_2$  der bez.  $F$  konjugierten (also zu den beiden Schnittpunkten von  $s$  mit  $F$  harmonischen) Punktepaare. Das diesen beiden Involutionen gemeinsame Paar  $P, Q$  liefert die beiden Restschnittpunkte von  $s$  mit der *Weddleschen* Fläche  $W_d$ , und umgekehrt.“

Daraufhin läßt sich die gewünschte irrationale Darstellung der  $W_d$  auf Grund der *Hierholzerschen* Gleichung (I) der  $W_d$ , sowie der expliziten Darstellung der  $C_3$  unschwer ableiten.

Die Parameterdarstellung der  $C_3$  lautet

$$(3) \quad \varrho x_i = \frac{p_i}{\lambda y_i + \mu z_i} = \frac{p_i}{f_i} \quad (p_i = y_i z_i),$$

wo  $f_i$  zur Abkürzung steht. Der nichthomogene Parameter  $\frac{\lambda}{\mu}$  sei mit  $\nu$  bezeichnet. Die Sekante  $s$  verbinde zwei  $C_3$ -Punkte ( $\nu'$ ), ( $\nu''$ ), und die Einsetzung von deren Koordinaten in irgendeine Form werde entsprechend durch einen resp. zwei Akzente angegeben.

Die vier Grundpunkte  $A_i$  haben die Parameterwerte  $\nu_i = -\frac{z_i}{y_i}$ , und zu den beiden weiteren  $Y, Z$  gehören die Werte  $\infty, 0$ . Diese sechs Werte sind also die Wurzeln der Form 6. Ordnung

$$(4) \quad f(\lambda, \mu) \equiv \lambda \mu f_i f_i' f_i'' f_i''' f_i'''' f_i''''''.$$

Ein laufender Punkt auf der Sekante  $s$  hat, unter  $\tau$  einen Parameter verstanden, die Koordinaten

$$(5) \quad \varrho x_i = p_i \left( \frac{1}{f_i'} + \frac{\tau}{f_i''} \right).$$

Den beiden Restschnittpunkten  $P, Q$  von  $s$  mit  $W_d$  entsprechen dann zwei, nur durch das Vorzeichen verschiedene Werte von  $\tau$ , Wurzeln der Gleichung

$$(6) \quad \tau^2 f'' - f' = 0.$$

Damit wird die gesuchte irrationale Darstellung der *Weddleschen* Fläche  $W_d$

$$(7) \quad \varrho x_i = p_i \left( \frac{\sqrt{f''}}{f_i'} + \frac{\sqrt{f'}}{f_i''} \right).$$

Die Bedeutung der Grundkurve  $C_3$  für die *Weddlesche* Fläche  $W_d$  tritt noch mehr hervor, wenn man die  $C_3$  als Normalkurve  $N_3 = N_3$  wählt (s. Nr. 3 und Art. „ $F_3$ “, Nr. 19). Indem die Koordinaten jetzt zweckmäßiger mit den Indizes 3, 2, 1, 0 versehen werden, lautet die explizite Darstellung der  $N_3$  resp.  $N_3$

$$(8) \quad \begin{cases} x_3 : x_2 : x_1 : x_0 = \lambda^3 : 3\lambda^2 : 3\lambda : 1, \\ u_3 : u_2 : u_1 : u_0 = -1 : \lambda : -\lambda^2 : \lambda^3. \end{cases}$$

Das  $F_2$ -Netz  $N$  durch  $N_3$  setzt sich linear aus drei Individuen  $H, L, M$  zusammen

$$(9) \quad \begin{cases} H \equiv 3x_0x_2 - x_1^2 = 0, & L \equiv 9x_0x_3 - x_1x_2 = 0, \\ M \equiv 3x_1x_3 - x_2^2 = 0, \end{cases}$$

wo die linken Seiten die Determinanten der Matrix  $\begin{vmatrix} 3x_0 & x_1 & x_2 \\ x_1 & x_2 & 3x_3 \end{vmatrix}$  sind.

Die sechs Grundpunkte des  $F_2$ -Gebüsches  $G$  werden durch sechs Werte des Parameters  $\lambda$  bestimmt, die man sich als Wurzeln einer beliebigen Gleichung 6. Grades

$$(10) \quad f(\lambda) = a_0 + 6a_1\lambda + 15a_2\lambda^2 + \dots + 6a_5\lambda^5 + a_6\lambda^6 \equiv (a\lambda)^6 = 0$$

gegeben denke.

Es wird sich zeigen, daß diese Gleichung (10) das Fundament in der invariantentheoretischen Behandlung der *Weddleschen* — und weiterhin der *Kummerschen* — Fläche bildet. Vorab sei bereits bemerkt, daß diese Behandlung der früheren erheblich überlegen ist, insofern sie von irgendwelchen Realitätsbeschränkungen unabhängig ist und auch irgendwelche Koinzidenzen der Grundpunkte, d. i. der Wurzeln von  $f(\lambda)$ , gestattet.

Das  $F_2$ -Gebüsch  $G$  durch die sechs Grundpunkte setze man wiederum linear zusammen aus dem Netze  $N(H, L, M)$  in (9) und einer geeigneten, nicht in  $N$  enthaltenen  $F_2$ , die mit  $F$  bezeichnet sei. Als eine solche empfiehlt sich die zu  $N_3$  apolare (konjugierte) Fläche  $F$  durch die Grundpunkte mit der Gleichung

$$(11) \quad F(x) \equiv a_0x_0^2 + 2a_1x_0x_1 + (2a_2x_0x_2 + a_2x_1^2) \\ + (2a_3x_0x_3 + 2a_3x_1x_2) + (2a_4x_1x_3 + a_4x_2^2) \\ + 2a_5x_2x_3 + a_6x_3^2 \equiv (ax)^2 = 0.$$

Der laufende Punkt einer Sekante  $s(\alpha, \beta)$  der  $N_3$  hat die Koordinaten

$$(12) \quad x_3 : x_2 : x_1 : x_0 = \alpha^3 + \tau\beta^3 : 3(\alpha^2 + \tau\beta^2) : 3(\alpha + \tau\beta) : 1 + \tau.$$

Den beiden Schnittpunkten von  $s$  mit  $F$  entsprechen zwei Parameterwerte  $\tau', \tau''$ , die die Wurzeln der Gleichung werden

$$(13) \quad f(\alpha) + \tau(\ ) + \tau^2f(\beta) = 0,$$

wo der Koeffizient von  $\tau$  nur angedeutet ist. Andererseits sind  $0, \infty$  die  $\tau$ -Parameter der beiden Treffpunkte  $(\alpha)$  und  $(\beta)$  von  $s$  mit  $N_3$ . Nun waren die beiden Restschnittpunkte  $P, Q$  von  $s$  mit der Fläche  $W_d$  zu jenen beiden Punktepaaren harmonisch; ihre Parameterwerte  $\tau_1, \tau_2$  sind also die Wurzeln der Gleichung

$$(14) \quad \tau^2f(\beta) - f(\alpha) = 0.$$

Mithin lautet die gesuchte irrational-explicite Darstellung der *Weddle*-schen Fläche  $W_d$

$$(II) \quad x_3 : x_2 : x_1 : x_0 = \alpha^3 \sqrt{f(\beta)} + \beta^3 \sqrt{f(\alpha)} : 3(\alpha^2 \sqrt{f(\beta)} + \beta^2 \sqrt{f(\alpha)}) : 3(\alpha \sqrt{f(\beta)} + \beta \sqrt{f(\alpha)}) : \sqrt{f(\beta)} + \sqrt{f(\alpha)}.$$

Die Vergleichung mit der früheren Darstellung (7) zeigt die formale Ähnlichkeit, wie es nicht anders sein kann; während aber dort eine künstliche und nicht einfache Rechnung erforderlich war, ergibt sich (II) fast ohne Rechnung.

Man wird nun auch die rationale implizite Gleichung der  $W_d$  auf Grund der  $C_3 = N_3$  in invarianter Gestalt zu haben wünschen.

Zu dem Behuf normiere man die drei Formen (9) mit dem Faktor 2 und schreibe  $F = A$ , sowie

$$(9') \quad \begin{cases} B \equiv 2(3x_0x_2 - x_1^2) & = 2\varphi, \\ C \equiv 2(9x_0x_3 - x_1x_2) & = 2\psi, \\ D \equiv 2(3x_1x_3 - x_2^2) & = 2\chi. \end{cases}$$

Auch mögen vorübergehend die Indizes  $i, k, l, m$  statt 0, 1, 2, 3 verwendet werden.

Nun war die Gleichung der  $W_d$

$$(I) \quad W_d \equiv |A_i B_i C_i D_i| = 0.$$

Aus (9') entnimmt man die Werte der  $B_r, C_r, D_r$  ( $r = i, k, l, m$ )

$$(15) \quad \begin{cases} B_i = 3x_i, & B_k = -2x_k, & B_l = 3x_l, & B_m = 0, \\ C_i = 9x_m, & C_k = -x_l, & C_l = -x_k, & C_m = 9x_i, \\ D_i = 0, & D_k = 3x_m, & D_l = -2x_l, & D_m = 3x_k. \end{cases}$$

Entwickelt man die Determinante (I) nach den  $A_r$  ( $r = i, k, l, m$ ), so ergibt sich

$$(16) \quad |A_i, B_i, C_i, D_i| \equiv \sum_r A_r A_r,$$

wo die  $A_r$  die Determinanten der Matrix (15) sind.

Damit ergibt sich die Gleichung der  $W_d$  in der Gestalt

$$(Ib) \quad W_d \equiv A_i(2x_k\varphi - 3x_l\psi) + 3A_k(x_l\varphi - 3x_i\chi) + 3A_l(-x_k\chi + 3x_m\varphi) + A_m(3x_m\psi - 2x_l\chi) = 0.$$

Diese ist noch einiger Modifikationen fähig auf Grund der beiden Identitäten

$$(17) \quad \begin{cases} 3x_i\chi - x_k\psi + x_l\varphi \equiv 0, \\ x_k\chi - x_l\psi + 3x_m\varphi \equiv 0. \end{cases}$$

Ordnet man dagegen (Ib) nach den  $\varphi, \psi, \chi$ , so kommt die andere Darstellung

$$(Ic) \quad W_d \equiv -\chi(9x_iA_k + 3x_kA_l + 2x_lA_m) + \varphi(2x_kA_i + 3x_kA_l + 9x_lA_m) - 3\psi(x_iA_l - x_mA_m) = 0.$$

Hieraus ist ohne weiteres ersichtlich, daß die Fläche  $W_d$  die Grundkurve  $C_3 = N_3$  enthält, da die rechte Seite von (Ic) mit  $\varphi, \psi, \chi$  zugleich verschwindet.

Wir kommen zur invarianten Darstellung der *Kummerschen* Fläche. Gemäß Nr. 64 war die *Kummersche* Fläche, die mit  $K_m$  bezeichnet sei, die Bildfläche der *Weddleschen* Fläche  $W_d$  mit der Gleichung

$$(I) \quad K_m \equiv |G_{rs}| = 0.$$

Im Anschluß an Nr. 66 werde auch  $K_m$  in invarianter Form aufgestellt. Schreibt man die Indizes  $i, k, l, m$  wieder als 0, 1, 2, 3, so hat man zunächst, wenn die Parameter des  $F_2$ -Netzes  $N$  mit  $\nu_1, \nu_2, \nu_3$  bezeichnet werden, die Darstellung

$$(I') \quad K_m \equiv \begin{vmatrix} a_0 & a_1 & a_2 + 3\nu_1 & a_3 + 9\nu_2 \\ a_1 & a_2 + 2\nu_1 & a_3 - \nu_2 & a_4 + 3\nu_3 \\ a_2 + 3\nu_1 & a_3 - \nu_2 & a_4 - 2\nu_3 & a_5 \\ a_3 + 9\nu_2 & a_4 + 3\nu_3 & a_5 & a_6 \end{vmatrix} = 0.$$

Diese Determinante wird man, etwa mittels des *Laplaceschen* Satzes, nach den Potenzprodukten der  $\nu$  entwickeln.

Macht man noch mit einer vierten Variablen  $\nu_0$  homogen und ordnet nach Potenzen von  $\nu_0$ , so ergibt sich eine Darstellung von der Struktur

$$(Ia) \quad K_m = C_0 \nu_0^4 + C_1 \nu_0^3 + C_2 \nu_0^2 + C_3 \nu_0 + C_4 = 0,$$

wo die  $C$  ternäre Formen in  $\nu_1, \nu_2, \nu_3$  von der durch den Index angegebenen Ordnung sind.

Diese Koeffizienten müssen sich darstellen lassen als invariante Komitanten der binären Grundform  $f_6(\lambda)$ , deren Wurzeln die sechs Grundpunkte (auf der  $N_3$ ) des  $F_2$ -Gebüsches lieferten (s. Nr. 66). Zunächst ist ersichtlich, daß  $C_0$  mit der Determinante  $|A|$  der zur  $N_3$  apolaren Fläche  $F = A$  übereinstimmt

$$(1_0) \quad C_0 \equiv \begin{vmatrix} a_0 & a_1 & a_2 & a_3 \\ a_1 & a_2 & a_3 & a_4 \\ a_2 & a_3 & a_4 & a_5 \\ a_3 & a_4 & a_5 & a_6 \end{vmatrix},$$

die zugleich die *Sylvestersche* Katalektikante der Grundform  $f_6$  ist.

Das Verschwinden von  $C_0$  bedeutet, daß die Fläche  $F = A$  ein Kegel  $K$  des Gebüsches  $G$  wird.

Im folgenden empfiehlt es sich, die Größen  $\nu_1, \nu_2, \nu_3$  als Punktkoordinaten in der Ebene  $\nu_0 = 0$  anzusehen, bezogen auf einen Normkegelschnitt  $N_2 (= N_2)$

$$(2) \quad N_2 \equiv \nu_1 \nu_3 - \nu_2^2 = 0.$$

Führt man neben  $v_2$  noch die Variable  $v_2'$  ein, so daß

$$(3) \quad -2v_2 = v_2',$$

so geht (2) über in die übliche Gleichung von  $N_2$

$$(2) \quad N_2 \equiv 4v_1v_3 - v_2'^2 = 0,$$

oder auch explizite

$$(2a') \quad v_3 : v_2' : v_1 = \lambda^2 : 2\lambda : 1.$$

In der Ebene  $v_0 = 0$  existiert eine zum Klassennormkegelschnitt  $N_2$  apolare und durch die sechs Punkte, die den Wurzeln von  $f_6(\lambda) = 0$  auf  $N_2$  entsprechen, gehende  $c_3 = c_3'$  mit der Gleichung

$$(4) \quad c_3' \equiv v_1^3 a_0 + v_2'^3 a_3 + v_3^3 a_6 + 3v_1^2 v_2' a_1 + 3v_1^2 v_3 a_2 + 3v_3^2 v_2' a_5 + 3v_3^2 v_1 a_4 + 6v_1 v_2' v_3 a_3 = 0.$$

Verschwundet wie oben im besonderen  $C_0 = |A|$ , so läßt die Form  $f_6(\lambda)$  die kanonische Darstellung als Summe von drei sechsten Potenzen zu. Entsprechend erscheint dann, wie durch Polarisierung der  $f_6$  hervorgeht, die Form  $c_3'$  als Summe von drei Kuben. Das Letztere bedeutet aber geometrisch, daß die Kurve 3. Ordnung  $c_3'$  eine äquianharmonische ist.

Nunmehr entwickle man behufs Ermittlung der weiteren Koeffizienten  $C_1, \dots, C_4$  in (Ia) die Determinante  $K_m$  in (I) nach dem *Laplaceschen* Satze, so erhält man zunächst für

$$(5) \quad p_{ik} = \begin{vmatrix} a_i & a_k \\ a_{i+1} & a_{k+1} \end{vmatrix},$$

ein Aggregat von der Struktur

$$(6) \quad K_m \equiv A_1 + A_2 + B_1 + B_2 - C_1 - C_2,$$

wo einzeln

$$(7) \quad \begin{cases} A_1 \equiv (p_{01} - 2a_0v_1)(p_{45} - 2a_6v_3), \\ A_2 \equiv \{p_{23} + 3a_2v_3 - 8a_3v_2 + 3a_4v_1 + 9(v_1v_3 + v_2^2)\}^2; \\ B_1 \equiv (p_{03} - 3a_0v_3 - 9a_1v_2)(p_{34} - a_4v_5 - a_5v_2 + 6v_3), \\ B_2 \equiv (p_{12} - a_1v_2 - a_2v_1 + 6v_1^2)(p_{25} + 3a_6v_1 - 9a_5v_1); \\ C_1 \equiv (p_{02} - a_0v_2 - 3a_1v_1)(p_{35} - a_6v_2 - 3a_5v_3), \\ C_2 \equiv (p_{13} + 3a_1v_3 - 9a_2v^2 + 2a_3v_1 + 18v_1v_2) \\ \quad \cdot (p_{24} + 2a_3v_3 - 9a_4v_2 + 3a_5v_1 + 18v_2v_3) \end{cases}$$

Man berechne jetzt hieraus den Koeffizienten  $C_1$  von  $v_0^3$  in (Ia), eine Linearform in  $v_1, v_2, v_3$ ,

$$(8) \quad C_1 \equiv \gamma_1 v_1 + \gamma_2 v_2 + \gamma_3 v_3.$$

Die Ausdrücke für die Koeffizienten  $\gamma$  lassen sich linear in den ersten Minoren von  $|A|$  bilden. Bedient man sich für die Koeffizienten von

$A$  und  $f_6$  der zweiten Bezeichnung  $a_{ik} = a_{i+k}$ , und ist entsprechend  $\alpha_{rs}$  der Minor von  $a_{rs}$  in  $|A|$ , so erhält man einfach

$$(9) \quad \gamma_1 = 2(\alpha_{22} - 3\alpha_{13}), \quad \gamma_2 = 2(\alpha_{03} - \alpha_{12}), \quad \gamma_3 = 2(\alpha_{11} - 3\alpha_{02}),$$

wo die im folgenden nicht in Betracht kommenden numerischen Faktoren in  $\gamma_2$  nur angedeutet sind. Nun geht aus der Herleitung der Form  $K_m$  hervor, daß die Darstellung (Ia) eine typische sein muß, d. h. die Koeffizienten  $C_0, C_1, \dots, C_4$  sind (in  $\nu_1, \nu_2, \nu_3$ ) ternäre Invarianten von  $f_6$  und  $N_2$ .

Demnach repräsentiert die Gleichung  $C_1 = 0$  eine invariante Gerade, und deren Schnittpunkte mit  $N_2$  müssen sich bestimmen lassen durch die Wurzeln derjenigen quadratischen Kovariante  $f_2(\lambda)$  von  $f_6(\lambda)$ , die in den Koeffizienten der letzteren kubisch ist.

Um  $f_2(\lambda)$  zu bilden, gehe man aus von der Polarform

$$(10) \quad (a\mu)^4(a\lambda)^2 \equiv \mu^4 A_0(\lambda) + 4\mu^3 A_1(\lambda) + \dots,$$

wo

$$(11) \quad A_i(\lambda) \equiv a_i \lambda^2 + 2a_{i+1} \lambda + a_{i+2} \quad (i = 0, \dots, 4).$$

Dann wird die Invariante  $g_2$  der in  $\mu$  biquadratischen binären Form (10) diejenige biquadratische Kovariante  $f_4(\lambda)$  von  $f_6(\lambda)$ , die in den  $a$  quadratisch ist

$$(12) \quad f_4(\lambda) \equiv A_0 A_4 - 4A_1 A_3 + 3A_2^2 \equiv (p_{12} - 3p_{03}) + 2\lambda(p_{04} - 2p_{13}) \\ + \lambda^2(p_{05} + p_{14} - 8p_{23}) + 2\lambda^3(p_{15} - 2p_{24}) + \lambda^4(p_{25} - 3p_{34}) \\ \equiv b_0 + 4b_1 \lambda + \dots + b_4 \lambda^4.$$

Schreibt man hier  $\mu$  für  $\lambda$  und bildet die bilineare Invariante der beiden in  $\mu$  biquadratischen Formen (10) und (12), so gelangt man zu der gesuchten Kovariante  $f_2(\lambda)$

$$(13) \quad f_2(\lambda) \equiv (b_0 A_4 + b_4 A_0) - 4(b_1 A_3 + b_3 A_1) + 6b_2 A_2.$$

Entwickelt man die rechte Seite nach Potenzen von  $\lambda$ , so ergibt sich in der Tat

$$(14) \quad f_2(\lambda) \equiv \gamma_1 - \gamma_2 \lambda + \gamma_3 \lambda^2$$

und diese geht aus  $C_1$  vermöge (2a') hervor.

Ähnlich läßt sich der Koeffizient  $C_2$  von  $\nu_0^2$  in (Ia) behandeln. Da  $C_2 = 0$  ein bez.  $N_2$  invarianter Kegelschnitt  $c_2'$  sein muß, trifft er  $N_2$  in vier Punkten, deren Argumente die Wurzeln der in den  $a$  kubischen biquadratischen Kovariante sind. Diese Kovariante muß also mit  $f_4(\lambda)$  in (12) übereinstimmen. Daraufhin lassen sich die Koeffizienten  $c_{ik}$  in  $C_2$

$$(15) \quad C_2 \equiv \nu_1^2 c_{11} + 2\nu_1 \nu_2 c_{12} + \dots$$

leicht berechnen. Für das Leitglied  $c_{11}$  ergibt sich

$$(16_{11}) \quad c_{11} \equiv 3(p_{03} - 3p_{12}).$$

Schneidet man  $C_2$  mit  $N_2$ , d. h. wendet (2a') an, so stellt sich in der Tat heraus, daß die „Schnittpunktform“ bis auf den Faktor 3 mit der Kovariante  $f_4$  zusammenfällt. Weiter notiere man noch den Wert von  $c_{12}$

$$(16_{12}) \quad c_{12} \equiv 6(2p_{13} - p_{04}).$$

Der Kegelschnitt  $C_2 = 0$  läßt sich nun noch genauer bestimmen. Er gehört dem Büschel  $B$  von  $c_2$  an, das durch die vier Grundpunkte  $f_4(\lambda) = 0$  geht. Denkt man sich den in  $B$  enthaltenen, zu  $N_2$  apolaren Kegelschnitt  $c_2'$  (mit denselben Koeffizienten wie  $f_4(\lambda)$ ) herausgegriffen, so muß sich  $C_2$  als lineare Kombination von  $c_2'$  und dem Produkt  $g_2 N_2$  darstellen lassen, wo  $g_2$  die quadratische Invariante von  $f_6$  ist

$$(17) \quad g_2 \equiv a_0 a_6 - 5a_1 a_5 + 15a_2 a_4 - 10a_3^2 \equiv p_{05} - 5p_{14} + 10p_{23}.$$

Stellt man andererseits  $C_2$  explizite auf, so ergibt sich die gewünschte Darstellung

$$(18) \quad C_2 \equiv c_2' + \frac{1}{4} g_2 N_2.$$

Weiter ergibt sich als Koeffizient  $C_3$  von  $\nu_0^3$  in (Ia) durch explizite Entwicklung in homogenen Koordinaten  $s_0, s_1, s_2$

$$(19) \quad \frac{1}{2 \cdot 9} C_3 \equiv a_0 s_0^3 + a_3 s_1^3 + a_6 s_2^3 + 3a_1 s_0^2 s_1 + 3a_2 s_0 s_1^2 + 3a_2 s_0^2 s_2 + 3a_5 s_2^2 s_1 + 3a_4 s_2 s_1^2 + 3a_4 s_2^2 s_0 + 6a_3 s_0 s_1 s_2.$$

Die Gleichung  $C_3 = 0$  liefert also gerade die oben schon erwähnte, zu  $N_2$  apolare  $c_3$ , die durch die den Wurzeln von  $f_6 = 0$  entsprechenden sechs Grundpunkte auf  $N_2$  geht.

Endlich erhält man für das freie Glied  $C_4$  in (Ia) ohne weiteres

$$(20) \quad C_4 \equiv 4 \cdot 9 \cdot 9 \cdot N_2^2.$$

Damit ist die typische Darstellung der Form  $K_m$  in der Gestalt (Ia) im einzelnen durchgeführt. Aus (Ia) bestätigt man noch, daß den sechs Kegeln  $K$  des Gebüsches  $G$  — durch die sechs Grundpunkte  $f_6(\lambda) = 0$  auf  $N_2$  — sechs  $D_2$  auf der Fläche  $K_m$  entsprechen. Man bilde zu dem Behuf die ersten Ableitungen der Form  $K_m$  nach den  $\nu$ .

Man erkennt sofort, daß  $\frac{\partial K_m}{\partial \nu_0}$  verschwindet für  $\nu_0 = 0$ ,  $C_3 = 0$  und die drei weiteren Ableitungen für  $\nu_0 = 0$ ,  $N_2 = 0$ . Die sechs gemeinsamen Lösungssysteme von  $\nu_0 = 0$ ,  $C_3 = 0$ ,  $N_2 = 0$  sind aber gerade die Wurzeln von  $f_6(\lambda) = 0$ .

Überdies geht aus dem Faktor  $N_2^2$  von  $C_4$  (20) hervor, daß die Ebene  $\nu_0 = 0$  eine Doppelebene  $\Delta_2$  der Fläche  $K_m$  ist (s. Nr. 68).

67. Die Kummersche Fläche als Projektion vom  $S_4$  aus. Der bisherigen Erklärung der Kummerschen Fläche  $K_m$  als Bildfläche der Weddleschen Fläche  $W_d$  werde jetzt eine solche von ganz anderem Charakter gegenübergestellt.

Nach dem Vorgange von *F. Geiser* (s. Art. „ $F_3$ “, Nr. 16) und *Zeuthen* (s. Nr. 19), die an eine  $F_3$  (von einem ihrer Punkte aus) resp. an eine  $F_4$  mit  $\bar{C}_2$  (von einem Punkte der  $\bar{C}_2$  aus) den Tangentenkegel legten, hat *C. Segre*<sup>135)</sup> auch die dreidimensionale kubische „Fläche“  $F_3^{(4)}$  im  $S_4$  behandelt.

Sei die Gleichung einer durch die Koordinatenecke  $A_n$  gehenden  $F_3^{(4)}$

$$(1) \quad F_3^{(4)} \equiv F_1 x_n^2 + 2F_2 x_n + F_3 = 0,$$

wo  $F_r$  ( $r = 1, 2, 3$ ) eine quaternäre Form der Ordnung  $r$  sei.

Legt man von  $A_n$  aus die Tangenten an die  $F_3^{(4)}$ , so erfüllen diese einen „Kegel“  $K_6^{(3)}$  der Ordnung 6 mit der Gleichung

$$(2) \quad K_6^{(3)} \equiv F_1 F_3 - F_2^2 = 0.$$

Im  $S_3$  ( $x_i, x_k, x_l, x_m$ ) gedeutet, stellt (2) auch die Spur des Kegels im

135) *C. Segre*, Torino Atti 22 (1887), p. 791; Torino Mem. (2) 39 (1888). Vgl. *G. Castelnuovo*, Ven. Ist. A. (6) 5 (1889), p. 1249; (6) 6 (1889), p. 525; (7) 2 (1891), p. 855. In den beiden ersten Arbeiten wird die *Graßmannsche* Erzeugung der  $F_3$  (s. Art. „ $F_3$ “, Nr. 7) auf den  $S_4$  (und weiterhin auch auf den  $S_n$ ) ausgedehnt.

Danach entsteht eine gewisse spezielle  $F_3$  im  $S_4$  durch drei kollinear aufeinander bezogene Netze von  $S_3$ , ist also durch eine Gleichung von der Gestalt  $|ABC| = 0$ , mit Linearformen als Elementen, darstellbar. Eine solche  $F_3$  besitzt sechs  $D_2$  und es gibt drei verschiedene  $\infty^2$ -Systeme von Geraden, die der  $F_3$  angehören. Im besonderen läßt sich die kollineare Zuordnung so wählen, daß noch vier weitere  $D_2$  hinzutreten, womit die  $F_3$  in die *Segresche*  $V_3$  übergeht.

Die dritte Arbeit enthält eine systematische Untersuchung der Liniengeometrie des  $S_4$ . Eine Gerade wird durch zehn homogene Koordinaten  $p_{ik} = (xy)_{ik}$  festgelegt, die an drei unabhängige Relationen gebunden sind.

Vor allem handelt es sich um die linearen Geradenkomplexe  $K_1$ , sowie um Büschel, Netze, Gebüsche derselben und die damit verknüpften singulären Erscheinungen.

Ein spezieller  $K_1$  besteht aus den  $\infty^5$  Geraden, die eine Ebene  $S_2$  treffen.

Von besonderem Interesse ist die Theorie der Gebüsche von  $K_1$ . In einem solchen Gebüsche sind fünf spezielle  $K_1$  enthalten, von denen vier den letzten mitbestimmen; das ist eine Verallgemeinerung des *Segreschen* Satzes (im Texte) über die fünf Ebenen  $\alpha$ . Die allen Individuen des Gebüsches gemeinsamen  $\infty^2$  Geraden erfüllen die *Segresche*  $V_3$ , die so eine neue Beleuchtung erfährt.

Es wird auch festgestellt, daß die  $V_3$  rational ist, indem deren  $S_3$ -Schnitten die lineare  $\infty^4$ -Schar von  $F_2$  mit fünf Grundpunkten in einem Bild- $S_3$  zugeordnet wird.

Umgekehrt legt diese Abbildung behufs Ableitung der Eigenschaften der  $V_3$  zugrunde *E. Dragoni*, Giorn. di mat. 40 (1902), p. 255.

$S_3$  dar, also eine Fläche 4. Ordnung  $F_4$

$$(2') \quad F_4 \equiv F_1 F_3 - F_2^2 = 0.$$

Auf der  $F_3^{(4)}$  liegen  $\infty^2$  Gerade  $g$  (s. Nr. 20); durch einen „allgemeinen“ Punkt der  $F_3^{(4)}$ , z. B.  $A_n$ , gehen sechs solcher  $g$ , die sich durch die gemeinsamen Lösungen der drei Gleichungen

$$(3) \quad F_1 = 0, \quad F_2 = 0, \quad F_3 = 0$$

bestimmen.

Im  $S_3$  bedeuten diese Gleichungen der Reihe nach eine Ebene  $E$ , eine  $F_2$  und eine  $F_3$ ; die gemeinsamen Lösungen sind also die sechs Punkte  $P_i$  ( $i = 1, \dots, 6$ ), in denen der Schnittkegelschnitt  $C_2$  von  $E$  und  $F_2$  die  $F_3$  trifft, und somit die sechs obigen, von  $A_n$  auf der  $F_3^{(4)}$  ausgehenden Geraden  $g_i$  die Geraden  $(A_n, P_i)$ . Da für die Koordinaten eines Punktes  $P_i$  die linke Seite von (2') in der zweiten Ordnung verschwindet, so sind die sechs Punkte  $P_i$  sechs Knotenpunkte  $D_2$  der  $F_4$ , die auf  $C_2$  liegen.

Umgekehrt läßt sich ersichtlich die Gleichung einer  $F_4$  (im  $S_3$ ) mit sechs auf einem Kegelschnitte  $C_2$  liegenden  $D_2$  auf die Form (2') bringen. Es gilt also zunächst der Satz:

„Legt man an eine kubische dreidimensionale Mannigfaltigkeit  $F_3^{(4)}$  im  $S_4$  von einem beliebigen Punkte der  $F_3^{(4)}$  aus den dreidimensionalen Tangentenkegel und schneidet diesen mit einem  $S_3$ , so ergibt sich eine Fläche 4. Ordnung  $F_4$  mit sechs auf einem Kegelschnitt gelegenen  $D_2$ . Umgekehrt läßt sich eine solche  $F_4$  auf noch mannigfaltige Art als Tangentenprojektion einer  $F_3^{(4)}$  im  $S_4$  von einem ihrer Punkte aus auffassen.“

Auch die *Kummersche* Fläche  $K_m$  mit 16  $D_2$  besitzt solche Sextupel von  $D_2$  und zwar 16 (s. Nr. 66).

Andererseits beachte man, daß, wenn im besonderen die  $F_3^{(4)}$  Knotenpunkte  $D_2$  besitzt, jeder solche  $D_2$  bei der obigen Tangentenprojektion in einen  $D_2$  der  $F_4$  übergeht.

Soll also im besonderen die  $F_4$  zu einer  $K_m$  werden, so müßte entsprechend eine  $F_3^{(4)}$  im  $S_4$  hergestellt werden, die 10  $D_2$  besäße; diese würden sich dann in der Tat in zehn weitere  $D_2$  der  $F_4$  projizieren.

Hier setzt die Untersuchung von *C. Segre* ein.

Er stellt zunächst fest, daß die Maximalanzahl der einer  $F_3^{(4)}$  angehörigen  $D_2$  eben gleich zehn ist, und daß solche  $F_3^{(4)}$ , und zwar im wesentlichen in nur einer Art, existieren. Damit ist bereits der Satz bewiesen:

„Die *Kummersche* Fläche  $K_m$  läßt sich auffassen als scheinbarer Umriß einer  $F_3^{(4)}$  im  $S_4$  mit 10  $D_2$  von einem ihrer Punkte aus.“

Zu einer solchen  $F_3^{(4)}$  kann man auf verschiedene Weise gelangen. Die einfachste legt die  $\infty^2$  Geraden  $g$  einer  $F_3^{(4)}$  zugrunde.

Man denke sich vier allgemein gehaltene „Ebenen“  $F_1^{(4)}$  im  $S_4$  gegeben, die mit  $\alpha_i$  ( $i = 1, \dots, 4$ ) bezeichnet seien. Damit im  $S_4$  eine Gerade  $g$  eine Ebene (in einem Punkte) trifft, ist eine Bedingung notwendig und hinreichend. Es gibt also  $\infty^2 g$ , die die vier Ebenen  $\alpha_i$  treffen. Segre beweist nun den eigenartigen Satz:

„Die  $\infty^2$  Geraden  $g$  im  $S_4$ , die vier gegebene Ebenen  $\alpha_i$  ( $i = 1, \dots, 4$ ) treffen, treffen auch noch eine fünfte Ebene  $\alpha_5$ , und die zehn Punkte, von denen je einer zweien der fünf Ebenen gemeinsam ist, sind zehn  $D_2$  einer  $F_3^{(4)}$ , die durch die  $\infty^2 g$  erzeugt wird.“

Diese 10  $D_2$  der  $F_3^{(4)}$  bilden eine an sich bemerkenswerte Konfiguration. Nach obigem liegen auf jeder der fünf Ebenen  $\alpha$ , die offenbar ganz der  $F_3^{(4)}$  angehören, vier der  $D_2$ . Solcher Gruppen von fünf Ebenen gibt es aber nicht nur eine, sondern sechs, zu denen im ganzen 15 Ebenen gehören.

Dementsprechend enthält die  $F_3^{(4)}$  sechs  $\infty^2$ -Systeme von Geraden  $g$  derart, daß durch jeden Punkt der  $F_3^{(4)}$  eine Gerade jedes Systems geht — das sind die eingangs betrachteten sechs Geraden — und in jedem  $S_3$  zwei Gerade jedes Systems liegen. Die  $F_3^{(4)}$  läßt sich daraufhin auch erzeugen durch drei „Netze“  $(r_1), (r_2), (r_3)$  von  $S_3$ , je mit einer der Geraden  $r$  als Träger, die derart projektiv verbunden sind, daß sich immer drei Tripel entsprechender  $S_3$  in einer Ebene schneiden, die die Geraden  $r_1, r_2, r_3$  trifft.

Die  $F_3^{(4)}$  geht durch 15 involutorische Kollineationen, deren jede eine Ebene der  $F_3^{(4)}$  als Achsenebene besitzt, in sich über.

Die als Umriß der  $F_3^{(4)}$  erscheinende Kummersche Fläche  $K_m$  tritt aber bei dieser Methode zugleich als Brennfläche von Strahlensystemen auf (s. Nr. 69). Es gilt nämlich der Satz:

„Die Projektionen der sechs  $\infty^2$ -Geradensysteme der  $F_3^{(4)}$  sind die sechs Strahlensysteme, von denen  $K_m$  die Brennfläche ist.“

Wie bei der  $F_3$  und  $F_4$  mit  $\bar{C}_2$ , stehen die  $F_3^{(4)}$  und ihre Tangentenprojektion, die  $K_m$ , derart in gegenseitiger Beziehung, daß man aus den Eigenschaften je eines der beiden Gebilde die korrespondierenden des anderen ableiten kann.

Verlegt man allgemeiner das Projektionszentrum außerhalb der  $F_3^{(4)}$ , so ist der Umriß die allgemeinste  $F_6 = \Phi_4$ , die den Schnitt einer  $F_2$  und  $F_3$  zur Kuspidualkurve hat, und 10  $D_2$  besitzt, die sich zu je vier auf 15 doppelberührende Ebenen verteilen. Die Fläche ist Brennfläche für sechs Strahlensysteme (3, 2).

Man projiziere die  $F_3^{(4)}$  wiederum von einem ihrer Punkte aus auf einen  $S_3$ , andererseits aus einem ihrer  $D_2$  in einen  $S_3'$ . So gelangt man zu einer ein-zweideutigen Punktverwandtschaft zwischen  $S_3$  und  $S_3'$ .

Dann ist die Übergangsfläche eine Fläche 4. Ordnung, aber auch die Doppelfläche; letztere besitzt 9  $D_2$ , die Schnittpunkte je dreier Erzeugenden einer  $F_2$ .

Diese Entwicklungen finden einen gewissen Abschluß, wenn man eine  $F_3^{(4)}$ , sofern sie nur mindestens eine Ebene besitzt, selbst wieder als Projektion einer Mannigfaltigkeit  $M_4^{(4)}$  (von einem ihrer Punkte aus) ansieht, die die Basis eines Büschels von  $F_2^{(5)}$  im  $S_5$  ist, analog Nr. 16 im Art. „ $F_3$ “.

Andererseits lassen sich aber die  $M_4^{(4)}$  als quadratische Komplexe  $K_2$  des  $S_3$  deuten.

Somit entsteht eine neue Beziehung zwischen den obigen  $F_4$ , insbesondere der *Kummerschen* Fläche  $K_m$  und den Komplexen  $K_2$ .

Insbesondere läßt sich nach dieser Methode ein tetraedraler  $K_2$ <sup>135a)</sup>

135 a) Sind  $p_{ik} = (xy)_{ik}$  die sechs Koordinaten einer Geraden, zwischen denen also die Relation  $P \equiv p_{ik}p_{lm} + p_{il}p_{mk} + p_{im}p_{kl} = 0$  besteht, so ist ein tetraedraler Komplex  $K_t$  — die Gesamtheit der Geraden, die die Ebenen eines festen Tetraeders, etwa des Koordinatentetraeders, nach konstantem Doppelverhältnis schneiden — durch eine Gleichung von der Form

$$K_t \equiv p_{ik}p_{lm} + k p_{im}p_{kl} = 0$$

dargestellt. Man deute die  $p_{ik}$  als Punktkoordinaten  $x_r$  ( $r = i, k, l, m, n, p$ ) in einem  $S_5$ . Dann stellen die beiden Gleichungen  $P = 0$ ,  $K_t = 0$  zwei Über- $F_2$  dar, die eine dreifach ausgedehnte Mannigfaltigkeit  $M$  4. Ordnung gemein haben.

Projiziert man diese  $M$  von einem partikulären ihrer Punkte aus auf einen  $S_4$  ( $x_p = 0$ ) und läßt in dessen Punktkoordinaten  $x_i, x_k, x_l, x_m, x_n$  noch gewisse konstante Faktoren eingehen, so läßt sich die Gleichung der Projektion in der Normalgestalt schreiben

$$V_3 \equiv x_i x_k x_n - x_l x_m s = 0, \text{ wo } s = \sum x.$$

Dies ist in der Tat die *Segresche*  $V_3$ . Einmal erhält man neun  $D_2$ , indem man von den beiden Produkten  $x_i x_k x_n$  und  $x_l x_m s$  je zwei Faktoren einzeln gleich Null setzt. Der zehnte  $D_2$  berechnet sich, indem man diejenige gemeinsame Lösung der fünf, gleich Null gesetzten, ersten Ableitungen von  $V_3$  nach den  $x$  bestimmt, für die keiner jener sechs Faktoren verschwindet. Demgemäß erhält der zehnte  $D_2 = E_1$  die Koordinaten  $(1, 1, -1, -1, 1)$ .

Es ist nützlich, die Koordinaten der zehn  $D_2$  in einer Tabelle zusammenzustellen:

	$x_i$	$x_k$	$x_l$	$x_m$	$x_n$
$(1_{ik})$	0	0	0	0	1
$(2_{ik})$	0	0	0	-1	1
$(3_{ik})$	0	0	-1	0	1
$(1_{in})$	0	1	0	0	0
$(2_{in})$	0	1	0	-1	0
$(3_{in})$	0	1	-1	0	0
$(1_{kn})$	1	0	0	0	0
$(2_{kn})$	1	0	0	-1	0
$(3_{kn})$	1	0	-1	0	0
$(E_1)$	1	1	-1	-1	1

so auf einen Doppelraum abbilden, daß dessen Übergangsfläche die  $K_m$  wird.

Durch Tangentenprojektion der  $V_3$  von einem ihrer Punkte aus geht, wie im Texte, eine  $K_m$  als Grenzfläche hervor. Dieser entspricht rückwärts innerhalb des  $K_i$  eine Grenzkongruenz, die daraufhin (s. Nr. 71) *E. A. Weiß*, Berlin Math. Ges. 27 (1928), p. 48 durch  $\mathfrak{D}$ -Funktionen  $\mathfrak{D}(u, v)$  ( $p = 2$ ) dargestellt hat.

Der Gleichförmigkeit halber führe man  $s$  als sechste überzählige Koordinate  $x_p$  ein, so daß man das Matrixschema hat

$$\begin{vmatrix} x_i & x_k & x_n \\ x_l & x_m & x_p \end{vmatrix}.$$

Von den 15 Ebenen, die je sechs  $D_2$  tragen, erhält man zunächst neun durch gleichzeitiges Nullsetzen je eines  $x$  der ersten und zweiten Reihe; eine solche Ebene läßt sich also durch zwei Indizes festlegen, z. B.  $x_i = 0, x_l = 0$  durch  $[il]$ . Die sechs übrigen Ebenen sind gerade die durch den zehnten  $D_2 = E_1$  gehenden. Deren Gleichungen sind, bei Abkürzungen mittels dreier Indizes, die folgenden:

$$\begin{array}{l|l} [i, kl] = [i, nm] & x_k + x_l = 0, \quad x_n + x_m = 0, \\ [i, nl] = [i, km] & x_n + x_l = 0, \quad x_k + x_m = 0; \\ [k, il] = [k, nm] & x_i + x_l = 0, \quad x_n + x_m = 0, \\ [k, nl] = [k, im] & x_n + x_l = 0, \quad x_i + x_m = 0; \\ [n, il] = [n, km] & x_i + x_l = 0, \quad x_k + x_m = 0, \\ [n, kl] = [n, im] & x_k + x_l = 0, \quad x_i + x_m = 0 \end{array}$$

Auch die 10  $D_2$  lassen sich durch zwei Indizes angeben. Zunächst erhält man die Gleichungen von neun der  $D_2$  durch gleichzeitiges Nullsetzen je zweier  $x$  beider Reihen der Matrix. Somit bestimmen die beiden übrigen Indizes den  $D_2$ , z. B.  $(np)$ :  $x_i = 0, x_k = 0, x_l = 0, x_m = 0$ . Dem zehnten  $D_2 = E_1$  ist das Zeichen  $(lm)$  beizulegen. Zur Vergleichung mit den Bezeichnungen der 15 Ebenen und 10  $D_2$  in Nr. 67 dienen die beiden folgenden Schemata:

I. Die 15 Ebenen.

$$\begin{array}{ccc|ccc|ccc} S_i & S_k & S_n & S_{il} & S_{kl} & S_{nl} & S_{im} & S_{km} & S_{nm} \\ [il] & [km] & [np] & [nm] & [ip] & [kl] & [kp] & [nl] & [im] \\ & S_m & S_l & S_{lm} & & S_{in} & S_{kn} & S_{ik} & \\ [i, nm] & [k, nl] & [n, km] & & [i, nl] & [k, nm] & [n, kl] & & \end{array}$$

II. Die 10  $D_2$ .

$$\begin{array}{ccc|ccc|ccc|c} D_{in} & D_{kn} & D_{il} & D_{nl} & D_{il} & D_{kl} & D_{km} & D_{nm} & D_{im} & D_{lm} \\ (il) & (km) & (np) & (im) & (kp) & (nl) & (ip) & (kl) & (nm) & (lm) \end{array}$$

Sodann sollen noch in der neuen Bezeichnung die Sextupel der Ebenen angegeben werden, die durch je einen der neun  $D_2$  (exkl.  $E_1 = (lm)$ ) gehen. Es sind nur zwei Typen zu unterscheiden, je nachdem der Index  $p$  auftritt oder nicht. Als Repräsentanten mögen  $(np)$  und  $(il)$  dienen:

$$\begin{array}{l|l} (np) & [il], [km]; \quad [im], [kl]; \quad [n, il], [n, im]; \\ (il) & [km], [np]; \quad [kp], [nm]; \quad [k, il], [n, il]. \end{array}$$

Bei den 15 Ebenen, insofern sie je ein Quadrupel von  $D_2$  tragen, sind wiederum nur zwei Typen zu unterscheiden, je nachdem die Ebene durch

**68. Die 16  $D_2$  und 16  $\Delta_2$ , syzygetische und azygetische Tetraeder der Kummerschen Fläche. Normaldarstellungen. Die lineare Konstruktion von H. Weber. Die Kummersche Konfiguration.** Nach Untersuchung einer Reihe von  $F_4$  mit  $< 16 D_2$  (s. Abschn. X) stieß *E. E. Kummer*<sup>136</sup>) bis zu der nach ihm benannten Fläche mit der Maximalzahl von 16  $D_2$  vor. Sie sei wieder mit  $K_m$  bezeichnet. Unter Benutzung verschiedener Gleichungsformen der Fläche leitet er die Grundeigenschaften ihrer Singularitäten ab.

Es kommt 16 mal vor, daß 6  $D_2$  auf einer  $C_2$  liegen, deren Ebene dann eine Doppelebene  $\Delta_2$  der Fläche ist. Umgekehrt kommt es 16 mal vor, daß 6  $\Delta_2$  Tangentenebenen eines Kegels  $K_2$  sind, dessen Spitze ein  $D_2$  der Fläche ist. Die Fläche  $K_m$  ist also in sich dual.

Bei der verwirrenden Mannigfaltigkeit von Auffassungen und Ergänzungen, deren die  $K_m$  fähig ist, erscheint es zweckmäßig, eine der einfachsten, als Bildfläche der *Weddleschen* Fläche (s. Nr. 66), in den Vordergrund zu stellen.

Die sechs Grundpunkte des  $F_2$ -Gebüsches  $G$  seien wieder die Koordinatenecken  $A_i$ , ein Punkt  $A(a_i)$ , während der letzte Punkt  $B$  als Einheitspunkt  $E(1)$  gewählt werde. Bedient man sich noch der Abkürzungen  $a_{rs} = a_r - a_s$ ,  $\lambda_{rs} = \lambda_r - \lambda_s$  ( $r, s = i, k, l$ ) und zeichnet einen der vier Indizes, etwa  $m$ , aus, so lautet die Gleichung des Gebüsches  $G$  mit den Parametern  $\lambda_i, \lambda_k, \lambda_l, \lambda_m$

$$(1) \quad G \equiv \lambda_i F_2^{(i)} + \lambda_k F_2^{(k)} + \lambda_l F_2^{(l)} + \lambda_m F_2^{(m)} = 0,$$

wo

$$(2) \quad \begin{cases} F_2^{(i)} \equiv x_i a_m (x_k a_{lm} + x_l a_{mk} + x_m a_{kl}), & \text{usf.,} \\ F_2^{(m)} \equiv x_i x_k a_l a_{ik} + x_k x_l a_i a_{kl} + x_l x_i a_k a_{li}. \end{cases}$$

Setzt man dies in (1) ein und ordnet nach den Potenzprodukten der  $x$ , so geht (1) über in

$$(3) \quad G \equiv \sum x_i x_u x_v x_w = 0,$$

$E_1 = (lm)$  geht oder nicht. Als Repräsentanten mögen  $[n, il]$  und  $[i l]$  dienen:

$$\begin{array}{c|c} [n, il] = [n, km] & (i l), (k m); (n p), (l m) \\ [i l] & (k m), (n p); (k p), (n m) \end{array}.$$

Endlich seien noch die sechs *Segreschen* Pentaeder (s. Nr. 67), deren fünf Ebenen sich zu je zweien in den zehn  $D_2$  treffen, kurz charakterisiert. Diese lassen sich am übersichtlichsten durch fünfzeihige symmetrische Matrizes, mit Lücken in der Hauptdiagonale, darstellen. Auch sie zerlegen sich in zwei Typen von je drei Pentaedern, je nachdem die beiden, durch  $E_1 = (lm)$  gehenden Ebenen eines solchen dem einen oder dem anderen der beiden Tripel  $(S_i, S_m, S_l)$ ,  $(S_i, S_k, S_l)$  angehören. Ihre explizite Aufstellung darf dem Leser überlassen bleiben.

Es braucht kaum bemerkt zu werden, daß die obigen Typenunterschiede nur darauf beruhen, daß das Indizespaar  $l, m$  formal ausgezeichnet worden ist.

<sup>136</sup>) *E. E. Kummer*, Berlin Ber. 1864, p. 246, 495.

wo

$$(4) \quad \begin{cases} f_{ik} \equiv \lambda_m a_i a_{ik} + \lambda_{ik} a_m a_{im}, \\ f_{ki} \equiv \lambda_m a_i a_{ki} + \lambda_{ki} a_m a_{im}, \\ f_{ii} \equiv \lambda_m a_k a_{ii} + \lambda_{ii} a_m a_{km}, \\ f_{im} \equiv \lambda_i a_m a_{ki}, \quad f_{km} \equiv \lambda_k a_m a_{ii}, \quad f_{im} \equiv \lambda_i a_m a_{ik}. \end{cases}$$

Die Gleichung der  $K_m$  ergibt sich durch Nullsetzen der Determinante der quadratischen Form  $G$  (3), lautet also <sup>136a)</sup>

$$(I) \quad K_m \equiv |f_{iu}| = 0 \quad (f_{ii} = 0),$$

wo man noch in der letzten Kolonne und Reihe den gemeinsamen Faktor  $a_m$  unterdrücken kann. Entwickelt man die Determinante in (I) und setzt zur Abkürzung

$$(5) \quad r_i \equiv f_{im} f_{ki}, \quad r_k \equiv f_{km} f_{ii}, \quad r_l \equiv f_{lm} f_{ik},$$

so lautet die explizite rationale Gleichung der  $K_m$

$$(Ia) \quad K_m \equiv r_i^2 + r_k^2 + r_l^2 - 2r_i r_k - 2r_i r_l - 2r_k r_l = 0.$$

Formal noch übersichtlicher lautet die irrationale Gleichung

$$(Ib) \quad K_m \equiv \sqrt{r_i} + \sqrt{r_k} + \sqrt{r_l} = 0.$$

Schreibt man hinterher wieder den Buchstaben  $x$  statt  $\lambda$ , so zeigt die Ausführung der Produkte  $r$  in (5), daß man erhält

$$(5') \quad \begin{aligned} r_i &\equiv x_i a_{ki} \{ x_m a_i a_{ki} + (x_k - x_l) a_m a_{im} \} \\ &\equiv x_i \{ x_m a_i a_{ki}^2 + (x_k - x_l) a_m a_{im} a_{ki} \} \text{ usf.} \end{aligned}$$

Man führe demgemäß zur Abkürzung die Ausdrücke ein

$$(6) \quad \begin{cases} A_i \equiv a_i a_{ki}^2, & A_k \equiv a_k a_{ii}^2, & A_l \equiv a_l a_{ik}^2, \\ B_i \equiv a_m a_{im} a_{ki}, & B_k \equiv a_m a_{km} a_{ii}, & B_l \equiv a_m a_{lm} a_{ik}, \end{cases}$$

so daß die  $B$  an die Identität gebunden sind

$$(7) \quad B_i + B_k + B_l \equiv 0,$$

so lautet die irrationale Gleichung (Ib) der  $K$  explizite

$$(Ib) \quad \sum_{r=i}^{r=l} \sqrt{x_r (x_m A_r + (x_s - x_t) B_r)} = 0.$$

Hierbei ist die  $K_m$  auf ein „azygetisches“ Tetraeder bezogen (s. u.).

136 a) Zu einer derartigen irrationalen Darstellung der  $K_m$  gelangt *A. Cayley*, J. f. Math. 78 (1871), p. 292, auf Grund der *Riemannschen* Theorie der Doppeltangenten einer  $c_4$ . Daraufhin werden sechs — den zweiten Ableitungen von  $f$  entsprechende — in zwei Tripel zerlegte überzählige Koordinaten eines Raumpunktes eingeführt, zwischen denen zwei geeignet normierte Identitäten bestehen. Aus der so sich ergebenden irrationalen Darstellung der  $K_m$  lassen sich die Gleichungen der 16  $\Delta_2$  ablesen. Eine modifizierte Darstellung gibt *Cayley*, ib. 94 (1883), p. 270.

Nach *Cayley*<sup>137)</sup> läßt sich die Gleichung (Ib) so umformen, daß man die Gleichungen der 16  $\Delta_2$  ohne weiteres ablesen kann. Führt man neue Variable  $y$  derart ein, daß man hat

$$(8) \quad y_i : y_k : y_l : y_m = C_i x_i : C_k x_k : C_l x_l : - C_i C_k C_l x_m,$$

so geht (Ib) über in

$$(Ib') \quad \sum_{r=i}^l \sqrt{y_r B_r (y_r C_i - y_i C_r) - \frac{y_m}{B_r}} = 0.$$

Es werden dann die Gleichungen von 8  $\Delta_2$

$$(9) \quad \begin{cases} y_i = 0, & y_k = 0, & y_l = 0, & y_m = 0; \\ \frac{y_i}{B_i} + \frac{y_k}{B_k} + \frac{y_l}{B_l} = 0, \\ y_k C_l - y_l C_k - \frac{y_m}{B_i} = 0, & \text{usf.} \end{cases}$$

Die übrigen 8  $\Delta_2$  ergeben sich hieraus gemäß einer gewissen Vertauschungsregel.

Man führe nämlich noch Größen  $C_r', C_r''$  ein gemäß

$$(10) \quad C_r \equiv C_r' C_r'' \quad (r = i, k, l),$$

mit den Identitäten

$$(10') \quad \sum C_r' \equiv 0, \quad \sum C_r'' \equiv 0,$$

so hat man nur in den obigen Gleichungen (9) die  $C_r$  mit den  $C_r'$  resp.  $C_r''$  zu vertauschen, um die weiteren 8  $\Delta_2$  zu erhalten.

Wir kommen zu den Beziehungen der 16  $D_2$  und 16  $\Delta_2$  der  $K_m$  zu den Grundpunkten und Geraden der  $W_d$ . Die Punkte der  $K_m$  und  $W_d$  waren nach Nr. 66 (1, 1)-deutig aufeinander bezogen.

Läßt man die beiden Räume der  $W_d$  und  $K_m$  zusammenfallen und bezeichnet die sechs Grundpunkte des  $F_2$ -Gebüsches  $G$  mit 1, 2, ..., 6, so entsprechen diesen auf der  $K_m$  6  $D_2$ : (1), (2), ..., (6), dagegen die zehn übrigen den zehn Ebenenpaaren  $(ikl), (mnp)$ , usf. Man kann daher diese 10  $D_2$  der  $K_m$  entsprechend bezeichnen mit  $\binom{i \ k \ l}{m \ n \ p}$  oder noch kürzer mit  $(ikl)$  resp.  $(mnp)$ , usf. Hält man hier etwa den ersten Index  $i = 1$  fest, so entsprechen den zehn Kombinationen zu je zweien der fünf übrigen gerade die 10  $D_2$ .

Durch die sechs Grundpunkte  $i, \dots, p$  ging eine bestimmte  $C_3$ .

Ist  $(i, k)$  irgendeine der 15 Verbindungsgeraden je zweier der sechs Grundpunkte, so geht durch  $C_3$  ein  $F_2$ -Netz  $N$ , und durch  $(i, k)$  ein ein Netz  $N_{ik}$  von  $F_2$  innerhalb des Gebüsches  $G$ .

Diesen 16 Netzen entsprechen die 16  $\Delta_2$  von  $K_m$ , jeweils als Ort der Punkte, die den  $F_2$  eines Netzes entsprechen.

137) *A. Cayley*, J. f. Math. 73 (1871), p. 292.

Diese 16  $\Delta_2$  berühren die  $K_m$  je längs einer  $C_2$  und enthalten je sechs  $D_2$  auf einer solchen.

So gehen durch die  $C_2$  die sechs Kegel  $K_2$ , die aus je einem der sechs Grundpunkte die übrigen projizieren; die Ebene  $\Delta_2(0)$ , die dem  $F_2$ -Netz  $N$  entspricht, enthält die den sechs  $K_2$  entsprechenden  $D_2$ . Ferner ist die Gerade  $(i, k)$  in vier der zehn Ebenenpaare enthalten und liegt auf zweien der sechs  $K_2$ ; die  $\Delta_2(i, k)$  enthält also die sechs jenen besonderen  $F_2$  entsprechenden  $D_2$ . Dual ist jeder  $D_2$  in sechs der  $\Delta_2$  enthalten.

Durch jede der 15 Verbindungslinien der sechs  $D_2$ , die einer  $\Delta_2$  angehören, geht immer noch eine weitere  $\Delta_2$  hindurch. Die 120 Verbindungsgeraden von je zwei der  $D_2$  fallen zusammen mit den 120 Schnittlinien je zweier der  $\Delta_2$ .

Damit lassen sich die gegenseitigen Inzidenzen der 16  $D_2$  und 16  $\Delta_2$  in einem einfachen Schema festlegen.

In der Ebene  $\Delta_2(0)$  liegen die  $D_2$

$$(0) \mid (i), (k), (l), (m), (n), (p);$$

und in irgendeiner der 15  $\Delta_2(ik)$  die  $D_2$

$$(ik) \mid (i), (k); (ikl) = (mnp), (ikm) = (lnp), (ikn) = (lmp), \\ (ikp) = (lmn).$$

Umgekehrt gehen durch einen  $D_2(i)$  die 6  $\Delta_2$

$$(i) \mid (0), (ik), (il), (im), (in), (ip)$$

und durch einen  $D_2(ikl) = D_2(mnp)$  die 6  $\Delta_2$

$$(ikl) = (mnp) \mid (ik), (il), (kl); (mn), (mp), (np).$$

Beim ersten Schema gehören die 6  $D_2$  je einer  $C_2$  an, beim zweiten die 6  $\Delta_2$  als Berührungsebenen einem Kegel  $K_2$ .

Hieraus geht hervor, daß die Schnittachse irgend zweier  $\Delta_2$  zwei  $D_2$  trägt, und daß dual durch den Verbindungsstrahl irgend zweier  $D_2$  zwei  $\Delta_2$  gehen.

Es zeigt sich das deutlich an den beiden folgenden Schemata wo bei jedem drei Typen zu unterscheiden sind.

$$\begin{array}{l} \text{Die Achse } [(0), (ik)] \text{ trägt die beiden } D_2 (i), (k); \\ \text{'' '' } [(ik), (lm)] \text{ '' '' '' '' } (ikn), (ikp); \\ \text{'' '' } [(ik), (il)] \text{ '' '' '' '' } (i), (ikl). \end{array}$$

$$\begin{array}{l} \text{Durch den Strahl } [(i), (k)] \text{ gehen die beiden } \Delta_2 (0), (ik); \\ \text{'' '' '' } [(i), (ikl)] \text{ '' '' '' '' } (ik), (il); \\ \text{'' '' '' } [(ikl), (ikm)] \text{ '' '' '' '' } (ik), (np). \end{array}$$

Nummehr seien die syzygetischen und azygetischen Tetraeder betrachtet.

Nach *H. Weber*<sup>138</sup>) existieren zwei ausgezeichnete Arten von Tetraedern, die sich aus  $D_2$  und  $\Delta_2$  herstellen lassen. So bilden die vier Punkte  $(i), (k), (l), (ikl)$  ein Tetraeder  $T_1$ , dessen Ecken  $D_2$  und dessen Seiten  $\Delta_2$  sind; diese  $\Delta_2$  sind  $(0), (ik), (il), (kl)$ . Solcher „azygetischer“ oder „*Rosenhainscher*“ Tetraeder  $T_1$  gibt es 80. Auf ein solches Tetraeder  $T_1$  als Koordinatentetraeder war oben in (Ib) die Gleichung der  $K_m$  bezogen.

Andererseits betrachte man ein Tetraeder  $T_2$  vom Seitentypus  $[(0), (ik), (lm), (np)]$ . Hier sind die Seiten  $\Delta_2$ , die Ecken aber *keine*  $D_2$ . Jede der sechs Kanten trägt zwei  $D_2$  nach der Tabelle

$$\left\{ \begin{array}{l|l} (0), (ik) & (i), (k), \\ (0), (lm) & (l), (m), \\ (0), (np) & (n), (p) \\ (ik), (lm) & (ikp) = (lmn), (ikn) = (lmp), \\ (ik), (np) & (ikl) = (npm), (ikm) = (npl), \\ (lm), (np) & (lmi) = (npk), (lmk) = (npi). \end{array} \right.$$

Es verbleiben also noch als die vier letzten  $D_2$

$$(iln) = (kmp), \quad (ilp) = (kmn), \quad (lmn) = (klp), \quad (imp) = (kln).$$

Diese vier  $D_2$  bilden die Ecken des zu  $T_2$  „reziproken“ Tetraeders  $T_2'$ . Dessen Ecken sind  $D_2$ , während seine Seiten keine  $\Delta_2$  sind. Durch dessen Kanten gehen dual je zwei  $\Delta_2$ , daß sind eben die, die nach Ausschluß der Seiten- $\Delta_2$  von  $T_2$  noch übrig bleiben.

Diese Tetraeder  $T_2, T_2'$  heißen „syzygetische“ oder „*Göpelsche*“ Tetraeder. Im ganzen gibt es 60 solcher Tetraeder, oder auch 30 Paare ( $T_2, T_2'$ ).

Zwei reziproke syzygetische Tetraeder umfassen zusammen alle 16  $D_2$  und 16  $\Delta_2$ .

Andererseits lassen sich die azygetischen Tetraeder  $T_1$  in Gruppen von vieren anordnen, deren Ecken und Seiten alle 16  $D_2$  und 16  $\Delta_2$  erschöpfen. Eine solche Anordnung ist z. B.

$$\begin{array}{cccc} (0) & (kl) & (li) & (ik) \\ (np) & (im) & (km) & (lm) \\ (mp) & (in) & (kn) & (ln) \\ (mn) & (ip) & (kp) & (lp). \end{array}$$

Ihr entspricht die analoge Anordnung der  $D_2$

$$\begin{array}{cccc} (ikl) & (i) & (k) & (l) \\ (m) & (inp) & (ilm) & (ikm) \\ (n) & (imp) & (iln) & (ikn) \\ (p) & (imn) & (ilp) & (ikp). \end{array}$$

138) *H. Weber*, J. f. Math. 84 (1878), p. 332.

Durch irgendeinen der 16  $D_2$  des ersten Schemas gehen je die sechs  $\Delta_2$ , deren Symbole eine Zeile und eine Spalte bilden, ausgenommen das der Zeile und Spalte gemeinsame Element. Analog liest man aus dem zweiten Schema die in einer  $\Delta_2$  liegenden sechs  $D_2$  ab.

Jede Zeile und jede Spalte des ersten Schemas ergibt die Seiten, und die analoge Zeile oder Spalte des zweiten Schemas die Ecken eines azygetischen Tetraeders. Eine solche Anordnung der 16  $D_2$  und  $\Delta_2$  heißt eine „Viervier“.

Wählt man ein syzygetisches Tetraeder als Koordinatentetraeder, so erhält die Gleichung der  $K_m$  nach *Kummer*<sup>139)</sup> die Gestalt (s. auch Nr. 71)

$$(11) \quad \varphi^2 - 16 k x_i x_k x_l x_m = 0,$$

wo

$$(12) \quad \begin{cases} \varphi \equiv \sum x_i^2 + 2 \sum_k^m a_k (x_i x_k + x_l x_m), \\ k \equiv \sum_k^m a_k^2 - 1 - 2 a_k a_l a_m. \end{cases}$$

Aus der *Kummerschen* Gleichung (11) der  $K_m$  lassen sich die Inzidenzeigenschaften der aus den 16  $D_2$  und 16  $\Delta_2$  bestehenden Figur direkt ableiten. Es zeigt sich, daß diese Eigenschaften lediglich von der relativen Lage einer Fläche 2. Ordnung  $\varphi$  zu einem Tetraeder (Vierflach)  $T_2$ , das als Koordinatentetraeder gewählt werde, oder auch, was auf dasselbe hinauskommt, von den zwölf Punkten, die  $\varphi$  aus den Kanten von  $T_2$  ausschneidet. Dabei lassen sich diese zwölf Punkte auch ohne Bezugnahme auf eine Fläche  $\varphi$  direkt und elementar konstruieren.

Da die Indizes  $i, k, l, \dots$  bereits für die  $D_2$  und  $\Delta_2$  Verwendung finden, seien Punktkoordinaten mit  $x_r, x_s, x_t, x_u$  bezeichnet, also die Ecken von  $T_2$  mit  $A_r, A_s, A_t, A_u$ , und die entsprechenden Ebenenkoordinaten mit  $v_r, v_s, v_t, v_u$ .

Unter der Koordinate irgendeines Punktes auf einer Kante von  $T_2$ , z. B.  $(x_t = 0, x_u = 0)$ , sei das Verhältnis  $x_{rs} = \frac{x_r}{x_s}$  verstanden, wo die Indizes stets in natürlicher Folge genommen seien. Wählt man einen beliebigen Raumpunkt als Einheitspunkt  $E(1, 1, 1, 1)$ , und projiziert diesen mittels einer Ebene durch irgendeine Kante auf deren Gegenkante, so heiße die Projektion auf letzterer deren (positiver) Einheitspunkt; der zugehörige negative Einheitspunkt bestimmt sich dadurch, daß das Paar der beiden Einheitspunkte harmonisch liegt zum Eckenpaar der Kante.

139) *E. E. Kummer*, Berlin Ber. 1864, p. 253.

Bezieht man die Punktreihen irgend zweier Gegenkanten, z. B.  $(x_t = 0, x_u = 0)$  und  $(x_r = 0, x_s = 0)$  derart projektiv aufeinander, daß sich die in natürlicher Folge genommenen Ecken  $A_r$  und  $A_s$ ,  $A_t$  und  $A_u$  entsprechen, sowie die beiden positiven (und damit von selbst auch die beiden negativen) Einheitspunkte, so besitzen irgend zwei zugeordnete Punkte gleiche Koordinatenwerte  $x_{rs} = x_{tu}$ , und umgekehrt.

Die Fläche  $\varphi$  werde zunächst mit den drei in irgendeiner Ebene von  $T_2$ , etwa  $x_u = 0$ , gelegenen Kanten geschnitten. Nimmt man als Muster die Kante  $(x_t = 0, x_u = 0)$ , so sind die Koordinaten der beiden Schnittpunkte die Wurzeln  $\alpha, \alpha'$  der Gleichung

$$x_r^2 + 2ax_r x_t + x_s^2 = 0,$$

so daß  $\alpha, \alpha'$  die Werte  $-a \pm \sqrt{a^2 - 1}$  erhalten, wo  $\alpha\alpha' = 1$ ,  $\alpha + \alpha' = -2a$  ist. Dabei entspreche der Wert  $\alpha$  einem beliebig, aber fest gewählten Vorzeichen der Quadratwurzel.

Analoges gelte von den Punktepaaren  $\beta, \beta'$ , resp.  $\gamma, \gamma'$  der beiden anderen Kanten. Die Relation  $\alpha\alpha' = 1$  besagt geometrisch, daß das Paar  $(\alpha, \alpha')$  harmonisch liegt zum Paare der Einheitspunkte auf der Kante usf. Vermöge der obigen Projektivitäten entstehen dann als Schnittpunkte von  $\varphi$  mit den drei Gegenkanten die gleich zu bezeichnenden Paare  $(\alpha, \alpha')$  usf.

Umgekehrt lassen sich diese sechs Punktepaare auf den Kanten von  $T_2$  direkt und unabhängig von der Fläche  $\varphi$  bilden.

Man markiere auf den drei Kanten irgendeiner Ebene von  $T_2$ , z. B.  $x_u = 0$ , beliebig drei Punkte  $\alpha, \beta, \gamma$  (sc. außerhalb der Ecken). Nach Wahl des Einheitspunktes  $E$  sind dann die weiteren neun Punkte auf Grund der obigen harmonischen Konstruktionen festgelegt. Bei gegebenem  $T_2$  hängt somit die ganze Figur von sechs Konstanten ab. Nunmehr werden die zwölf Kantenpunkte zu gewissen zwölf  $D_2$  einer  $K_m$  gemacht.

Die Indizes  $r, s, t, u$  seien so gewählt, daß der Reihe nach die Ebenen  $x_u = 0, x_t = 0, x_s = 0, x_r = 0$  mit den  $\Delta_2$ -Ebenen  $(0), (ik), (lm), (np)$  zusammenfallen, d. h. mit den Ebenen irgendeines syzygetischen Tetraeders.

Auf Grund der früheren Inzidenzschemata lassen sich dann die Koordinaten der zwölf auf den Kanten von  $T_2$  gelegenen  $D_2$ , sowie der zwölf, sie je zu vier verbindenden  $\Delta_2$ -Ebenen („Inzidenzebenen“) angeben. Dies zeigen die beiden folgenden Tabellen, wo der Einfachheit halber nur die Argumente  $\alpha, \beta, \gamma$  verwendet sind.

(A) Tabelle der Raumkoordinaten der zwölf  $D_2$  auf den Kanten von  $T_2$ .

	$x_r$	$x_s$	$x_t$	$x_u$
{ (i)	$\alpha$	1	0	0
{ (k)	1	$\alpha$	0	0
{ (l)	$\beta$	0	1	0
{ (m)	1	0	$\beta$	0
{ (n)	0	$\gamma$	1	0
{ (p)	0	1	$\gamma$	0
{ (ikl)	0	$\beta$	0	1
{ (imn)	0	1	0	$\beta$
{ (ikn)	$\gamma$	0	0	1
{ (ikp)	1	0	0	$\gamma$
{ (ilm)	0	0	$\alpha$	1
{ (inp)	0	0	1	$\alpha$

(B) Tabelle der Koordinaten der zwölf Inzidenzebenen.

	$v_r$	$v_s$	$v_t$	$v_u$
{ (il)	1	$-\alpha$	$-\beta$	$\alpha\beta$
{ (km)	$\alpha\beta$	$-\beta$	$-\alpha$	1
{ (in)	1	$-\alpha$	$\alpha\gamma$	$-\gamma$
{ (kp)	$\alpha\gamma$	$-\gamma$	1	$-\alpha$
{ (ln)	$-\gamma$	$-\beta$	$\beta\gamma$	1
{ (mp)	$-\beta$	$-\gamma$	1	$\beta\gamma$
{ (kl)	$-\alpha$	1	$\alpha\beta$	$-\beta$
{ (im)	$-\beta$	$\alpha\beta$	1	$-\alpha$
{ (kn)	$-\alpha$	1	$-\gamma$	$\alpha\gamma$
{ (ip)	$-\gamma$	$\alpha\gamma$	$-\alpha$	1
{ (nm)	$\beta\gamma$	1	$-\gamma$	$-\beta$
{ (lp)	1	$\beta\gamma$	$-\beta$	$-\gamma$

Die vier noch fehlenden  $D_2$ :  $(imp)$ ,  $(iln)$ ,  $(ilp)$ ,  $(imn)$  bilden die Ecken  $A_r', A_s', A_t', A_u'$  des zu  $T_2$  reziproken Tetraeders (Vierecks)  $T_2$ .

Auf Grund der Tabellen (A) und (B) lassen sich die Koordinaten der vier  $D_2$  berechnen. Setzt man zur Abkürzung

$$A = \alpha + \beta\gamma, \quad B = \beta + \alpha\gamma, \quad \Gamma = \gamma + \alpha\beta, \quad \Delta = \alpha\beta\gamma + 1,$$

so sind die Koordinaten der  $D_2$  in der folgenden Tabelle enthalten.

(C) Tabelle der Koordinaten für die Ecken des reziproken Tetraeders  $T_2'$ .

	$x_r$	$x_s$	$x_t$	$x_u$
$(imp) = A_r'$	$\Delta$	A	B	$\Gamma$
$(iln) = A_s'$	A	$\Delta$	$\Gamma$	B
$(ilp) = A_t'$	B	$\Gamma$	$\Delta$	A
$(imn) = A_u'$	$\Gamma$	B	A	$\Delta$

Die Matrix der Koordinaten ist symmetrisch und hat vier gleiche Diagonalelemente  $\Delta$ . Faßt man das bisherige zusammen, so hat man den Satz:

„Man wähle einen beliebigen Raumpunkt  $E$  als Einheitspunkt eines Koordinatentetraeders  $T_2$  mit den Ecken  $A_r, A_s, A_t, A_u$ , und bestimme durch Projektion die sechs positiven Einheitspunkte auf den Kanten und damit auch die sechs negativen.

Sodann markiere man auf den drei Kanten in irgendeiner Ebene von  $T_2$ , z. B.  $x_u = 0$ , drei beliebige Punkte  $\alpha, \beta, \gamma$  nebst den drei zugehörigen  $\alpha', \beta', \gamma'$  derart, daß je ein Paar  $(\alpha, \alpha')$  usf. harmonisch liegt zum Paar der Einheitspunkte auf der Kante. Vermöge geeigneter projektiver Zuordnung der Punkte je zweier Gegenkanten von  $T_2$  ergeben sich auf den drei Gegenkanten der obigen drei weitere Punktepaare mit denselben Koordinaten  $(\alpha, \alpha')$  usf. In jeder Ebene von  $T_2$  liegen die drei Punktepaare auf einem Kegelschnitt  $C_2$ , und diese vier  $C_2$  gehören einer bestimmten Fläche zweiter Ordnung  $\varphi$  an.

Es existieren dann zwölf Inzidenzebenen derart, daß immer vier der obigen zwölf Punkte, auf zwei Paaren von Gegenkanten, einer solchen Ebene angehören. Diese zwölf Inzidenzebenen gehen sechsmal zu zweien durch die Kanten eines zweiten Tetraeders  $T_2'$  mit den Ecken  $A_r', A_s', A_t', A_u'$ . Die zwölf Punkte, zusammen mit den vier Ecken von  $T_2'$ , bilden die 16  $D_2$ , und die zwölf Ebenen, zusammen mit den vier Ebenen von  $T_2$ , die 16  $\Delta_2$  einer bestimmten *Kummer*-schen Fläche  $K_m$ , für die  $T_2$  und  $T_2'$  reziproke syzygetische Tetraeder sind.“

Zur Bestimmung dieser  $K_m$  dient folgende Regel. Es gibt ein Büschel  $B$  von  $F_4$ , die die Ebenen von  $T_2$  längs der Kegelschnitte  $C_2$  berühren. Greift man in  $B$  dasjenige Individuum heraus, das irgendeine Ecke von  $T_2'$  enthält und damit von selbst die vier Ecken von  $T_2'$  als  $D_2$  besitzt, so ist dieses Individuum die *Kummersche Fläche*  $K_m$  mit den obigen 16 Punkten und 16 Ebenen als  $D_2$  und  $\Delta_2$ .

Mit Rücksicht auf die Reziprozität der beiden Tetraeder  $T_2$  und  $T_2'$  wird man  $T_2'$  als ein neues Koordinatentetraeder  $(x_r', x_s', x_t', x_u')$  einführen, wo die Wahl des neuen Einheitspunktes  $E'$  noch vorbehalten bleibe.

Die einfachste aller Koordinatentransformationen, die  $T_2'$  in  $T_2$  überführen, lautet auf Grund der Tabelle (C)

$$(D) \quad \begin{cases} \varrho x_r = \Delta x_r' + A x_s' + B x_t' + \Gamma x_u' \\ \varrho x_s = A x_r' + \Delta x_s' + \Gamma x_t' + B x_u' \\ \varrho x_t = B x_r' + \Gamma x_s' + \Delta x_t' + A x_u' \\ \varrho x_u = \Gamma x_r' + B x_s' + A x_t' + \Delta x_u'. \end{cases}$$

Behufs Umkehrung hat man die vier verschiedenen Minoren der Koeffizientendeterminante von (D) zu berechnen. Man führe die zu den  $\Delta, A, B, \Gamma$  „konjugierten“ Werte  $\Delta', A', B', \Gamma'$  ein gemäß

$$(E) \quad \Delta' = \alpha\beta\gamma - 1, \quad A' = \alpha - \beta\gamma, \quad B' = \beta - \alpha\gamma, \quad \Gamma' = \gamma - \alpha\beta,$$

so daß umgekehrt die zu den letzteren konjugierten Werte wieder die  $\Delta, A, B, \Gamma$  werden.

Dann ergibt sich, daß die Minoren von  $\Delta, A, B, \Gamma$  in (D) eben den konjugierten Größen (E) proportional sind.

Damit erhält man als Umkehrung der Koordinatentransformation (D)

$$(D') \quad \begin{cases} \varrho' x_r' = \Delta' x_r + A' x_s + B' x_t + \Gamma' x_u \\ \varrho' x_s' = A' x_r + \Delta' x_s + \Gamma' x_t + B' x_u \\ \varrho' x_t' = B' x_r + \Gamma' x_s + \Delta' x_t + A' x_u \\ \varrho' x_u' = \Gamma' x_r + B' x_s + A' x_t + \Delta' x_u. \end{cases}$$

Die Reziprozität der beiden Tetraeder  $T_2, T_2'$  tritt in der Struktur von (D) und (D') deutlich hervor; die alten Koordinaten der Ecken von  $T_1'$  sind konjugiert zu den neuen Koordinaten der Ecken von  $T_2$ . Man sollte daher lieber die beiden Tetraeder als „konjugierte“ statt als „reziproke“ bezeichnen.

Überdies liest man aus (D) und (D') ab, daß die Einheitspunkte  $E, E'$  der beiden Tetraeder  $T_2, T_2'$  zusammenfallen.

Man bestimme jetzt die neuen Koordinaten der zwölf  $D_2$  auf den Kanten von  $T_2$ . Es genügt, als Muster etwa den Punkt ( $i$ ) auf der

Kante  $x_t = 0$ ,  $x_u = 0$  mit der Koordinate  $x_{r,s} = \alpha$  zu betrachten. Aus (D') folgt für die neuen Koordinaten von (i)

$$(F) \quad (i) \mid \begin{array}{cccc} x_r' & : & x_s' & : & x_t' & : & x_u' \\ & = & \alpha \Delta' + A' & : & \alpha A' + \Delta' & : & \alpha B' + \Gamma' & : & \alpha \Gamma' + B'. \end{array}$$

Nach Einsetzung der Werte von  $\Delta'$ ,  $A'$ ,  $B'$ ,  $\Gamma'$  aus (E) vereinfachen sich die rechten Seiten von (F), so daß (F) übergeht in

$$(F_1) \quad (i) \mid \begin{array}{cccc} x_r' & : & x_s' & : & x_t' & : & x_u' \\ & = & \beta \gamma & : & 1 & : & -\gamma & : & -\beta. \end{array}$$

Vergleicht man dies mit der Tabelle (B), so erkennt man, daß die neuen Koordinaten von (i) übereinstimmen mit den alten Koordinaten der Inzidenzebene (*im*). Fährt man so fort, so ergibt sich, daß vermöge der Korrelation

$$(G) \quad \sigma' v_\lambda' = x_\lambda, \quad \text{oder auch} \quad \sigma v_\lambda = x_\lambda' \quad (\lambda = r, s, t, u)$$

die neuen resp. alten Koordinaten der 16  $D_2$  übereinstimmen mit den alten resp. neuen Koordinaten der 16  $\Delta_2$ .

Dies läßt sich noch genauer verfolgen. Die Tabellen (A) und (B) zeigen, daß sich die zwölf Punkte  $D_2$  auf den Kanten von  $T_2$  in drei syzygetische Tetraeder vom Typus  $T_2$  zerlegen, derart, daß bei jedem immer nur eines der drei Argumente  $\alpha$ ,  $\beta$ ,  $\gamma$  auftritt, und entsprechend die zwölf Inzidenzebenen  $\Delta_2$  in drei syzygetische Tetraeder vom Typus  $T_2'$ , derart, daß immer gerade die beiden anderen Argumente auftreten. Je eines der ersteren Tetraeder ist reziprok zu dem entsprechenden letzterem, und jedes dieser drei Tetraederpaare geht ineinander über vermöge der Korrelation (G).

Verbindet man dies mit dem früher eingeführten Begriff einer „Viervier“ und seiner Reziproken, so ergibt sich durch Zusammenfassung der Satz:

„Zerlegt man die Figur der 16  $D_2$  und 16  $\Delta_2$  einer *Kummerschen* Fläche  $K_m$  auf irgendeine der 20 gleichberechtigten Arten in eine Viervier syzygetischer Tetraeder und ihre reziproke, so existiert eine bestimmte Korrelation, die jedes der vier Paare reziproker Tetraeder ineinander überführt. Wählt man irgend eines dieser vier Paare als ein Paar von Koordinatentetraedern mit demselben Einheitspunkt, so läßt sich die Korrelation in der Normalform (G) darstellen.“

Die auf ein Tetraeder  $T_2'$  bezogene Klassengleichung<sup>139a)</sup> der  $K_m$  ist also genau von derselben Form, wie die auf ein Tetraeder  $T_2$  bezogene Ordnungsgleichung.

<sup>139a)</sup> Eine direkte Ableitung der Klassengleichung findet sich bei *A. Cayley* und *J. C. Sharp*, Ed. Times 11 (1884), p. 110.

Man vergleiche die obigen, auf dem ursprünglichen Tetraeder  $T_2$  als Koordinatentetraeder beruhenden Rechnungen mit den ergänzenden der Nr. 59, die an das Koordinatentetraeder  $T_2'$  als ursprüngliches anknüpfen.

Wir gelangen zur *Weber-Schroeterschen* linearen Konstruktion der 16  $D_2$  aus sechs derselben. Nach *H. Weber*<sup>138)</sup> lassen sich aus gewissen sechs der 16  $D_2$  die übrigen linear konstruieren, was *H. Schroeter*<sup>140)</sup> näher ausgeführt hat.

Diese Konstruktion, unter Verwendung einiger Vereinfachungen, ist folgende. Aus den 16  $D_2$  lassen sich sechs solche herausgreifen, die ein eigentliches Sechsek bilden (von dem keine vier Ecken inzident sind), z. B.:

$$(13) \quad (i), (k), (l), (ikm) = (lnp), (ilm) = (knp), (klm) = (inp).$$

Jeder weitere  $D_2$  aber ist mit dreien in (13) inzident.

Aus den sechs  $D_2$  in (13) leitet man zunächst durch Verbindung acht  $\Delta_2$  ab, nach dem Schema

$$(14) \quad \left\{ \begin{array}{l} (0) = [(i), (k), (l)], \\ (ik) = [(i), (k), (ikn)], \\ (il) = [(i), (l), (ilm)], \\ (kl) = [(k), (l), (klm)], \\ (im) = [(i), (imk), (iml)], \\ (km) = [(k), (kml), (kmi)], \\ (lm) = [(l), (lmk), (lmi)], \\ (np) = [(np\dot{i}), (npk), (npl)]. \end{array} \right.$$

Hieraus gewinnt man wieder zwei weitere  $D_2$ , ( $m$ ) und ( $ikl$ ), als Schnittpunkte dreier Ebenen

$$(15) \quad \left\{ \begin{array}{l} (ikl) = [(ik), (il), (kl)], \\ (m) = [(im), (km), (lm)]. \end{array} \right.$$

Damit sind jetzt acht  $D_2$  und acht  $\Delta_2$  bekannt.

Um zu den beiden weiteren  $D_2$ , ( $n$ ) und ( $p$ ), zu gelangen, betrachte man in der Ebene (0) die vier bekannten  $D_2$  ( $i$ ), ( $k$ ), ( $l$ ), ( $m$ ). Auch die Verbindungsgerade  $e_{np}$  der beiden gesuchten  $D_2$ , ( $n$ ) und ( $p$ ), kennt man als Schnittlinie der  $\Delta_2$ -Ebenen (0) und ( $np$ ).

140) *H. Schröter*, J. f. Math. 100 (1887), p. 231. Eine einfache lineare Konstruktion gibt auch *Th. Reye*, J. f. Math. 86 (1878), p. 209. Ausgehend von einem (räumlichen) Sechseck legt er den Satz zugrunde, daß durch ein Fünfeck ein Polarsystem bestimmt wird. Von den Eigenschaften der *Kummerschen* Konfiguration wird hierbei nichts vorausgesetzt, vielmehr werden jene aus der Konstruktion selbst hergeleitet.

Nun sollen die sechs  $D_2$  in der Ebene (0) einer  $c_2 = c_2^{(n,p)}$  angehören.

Das Kegelschnittbüschel mit den vier Grundpunkten  $(i)$ ,  $(k)$ ,  $(l)$ ,  $(m)$  schneidet daher auf der Geraden  $c_{np}$  eine Involution  $J$  aus, der das gesuchte Paar  $(n)$ ,  $(p)$  als Elementenpaar angehören muß. Diese Überlegung wiederhole man entsprechend für die Ebene  $(np)$ . In dieser liegen die vier bekannten  $D_2$

$$(16) \quad (npi) = (klm), \quad (npk) = (ilm), \quad (npl) = (ikm), \quad (npm) = (ikl).$$

Wiederum sollen diese vier Punkte mit den beiden Restpunkten  $(n)$ ,  $(p)$  einer  $c_2' = c_2'^{(np)}$  angehören. Legt man daher ein zweites Kegelschnittbüschel in der Ebene  $(np)$  mit den vier Punkten (16) als Grundpunkten, so schneidet dieses aus der Geraden  $c_{np}$  ebenfalls eine Involution  $J'$  aus, der das gesuchte Paar  $(n)$ ,  $(p)$  als Elementenpaar angehören muß. Damit ergibt sich aber das gesuchte  $D_2$ -Paar  $(n)$ ,  $(p)$  auf der Geraden  $c_{np}$  als das den beiden Involutionen  $J$  und  $J'$  gemeinsame Punktepaar, das sich in diesem Falle linear konstruieren läßt.

Die noch fehlenden  $D_2$  und  $\Delta_2$  erhält man nunmehr ohne weiteres je als Schnittpunkte von drei bekannten  $\Delta_2$ -Ebenen, resp. als Verbindungsebenen von drei bekannten  $D_2$ .

Hiermit ist die gewünschte lineare Konstruktion geleistet. Man beachte noch, wie sich bei Entwicklung dieser Konstruktion die der Reihe nach auftretenden 16  $D_2$  und 16  $\Delta_2$  von selbst zu einer Viervier aufbauen. Es genüge die Betrachtung der  $D_2$ . Vermöge (14) und (15) war man zu acht bekannten  $D_2$  gelangt

$$(17) \quad (i), (k), (l), (ikl); \quad (m), (ikm), (ilm), (klm).$$

Diese beiden Quadrupel bilden bereits zwei azygetische Tetraeder. Ordnet man die acht übrigen, nunmehr ebenfalls bekannten  $D_2$  in zwei Quadrupeln wie folgt

$$(17') \quad \begin{cases} (ikn), & (iln), & (imn), & (p), \\ (ikp), & (ilp), & (imp), & (n), \end{cases}$$

so bilden diese wiederum zwei azygetische Tetraeder, und in (17) und (17') zusammen hat man die in Rede stehende Viervier.

Die Figur der 16  $D_2$  und 16  $\Delta_2$  wird als „Kummersche Konfiguration“ bezeichnet. Diese ist weiterhin, unter den mannigfaltigsten Gesichtspunkten, auch ganz unabhängig von der Kummerschen Fläche  $K_m$ , weiter verfolgt worden.<sup>141)</sup>

141) *F. Klein*, Math. Ann. 2 (1869), p. 198; 5 (1872), p. 295; 27 (1886), p. 106. *E. Caporali*, Rom Linc. Mem. (2) 1878. *Th. Reye*, J. f. Math. 86 (1878),

## 69. Liniengeometrische Behandlung der Kummerschen Fläche.

Die Kummersche Fläche als Singularitätenfläche eines quadratischen Komplexes und als Brennfäche einer quadratischen Kongruenz. Die Fläche  $K_m$  tritt unter zwei Gesichtspunkten in der Liniengeometrie auf, einmal als Singularitätenfläche quadratischer Komplexe  $K_2$ , andererseits als Brennfäche gewisser quadratischer Kongruenzen  $\mathfrak{K}_2$ .

Ein quadratischer Komplex  $K_2$  wird nach *J. Plücker*<sup>142)</sup> durch eine quadratische Gleichung zwischen Linienkoordinaten geliefert. Hieraus geht hervor, daß die durch irgendeinen Punkt  $P$  laufenden Geraden von  $K_2$  die Kanten eines quadratischen Ordnungskegels sind, und dual die in irgendeiner festen Ebene  $E$  gelegenen Geraden von  $K_2$  die Tangenten eines Klassenkegelschnitts sind.

Legt man jetzt dem Kegel resp. Kegelschnitt die Bedingung auf, zu zerfallen — in ein Paar von Ebenen resp. Punkten —, so ist der Ort der Punkte  $P$  eine Fläche 4. Ordnung  $F_4$ , und die Enveloppe der Ebenen  $E$  eine Fläche 4. Klasse  $P_4$ .

Aber diese beiden Flächen fallen nach *F. Klein*<sup>143)</sup> zusammen, und zwar in eine in sich duale, allgemeine Kummersche Fläche  $K_m$ , und diese heißt daher die „Singularitätenfläche“ des Komplexes  $K_2$ . Die  $K_m$  erscheint zugleich als Singularitätenfläche von  $\infty^1 K_2$  (siehe Nrr. 70, 71).

Die Gleichung der  $K_m$  geht direkt aus irgendeiner der 15 gleichberechtigten Normalgleichungen des  $K_2$  hervor. Die  $K_m$  ist gemäß der Definition der Singularitätenfläche der Ort der Punkte, deren Komplexkegel in ein Ebenenpaar degeneriert. Für  $p_{ik} = (xy)_{ik}$  lautet eine Normalgleichung des  $K_2$

$$(1) \quad K_2 = a_{12}p_{12}^2 + \dots + a_{34}p_{34}^2 + 2ap_{12}p_{34} + 2bp_{23}p_{14} + 2cp_{31}p_{24} = 0.$$

Man denke sich nach den  $y$  geordnet und dann die Diskriminante  $\Delta(y) = \Delta$  gleich Null gesetzt. Es ist  $\Delta$  eine dreireihige Determinante

p. 84, 209. *R. de Paolis*, Rom Linc. Rend. (4) 6<sub>2</sub> (1890), p. 3. *E. Ciani*, Giorn. di mat. 34 (1896), p. 177; Ist. Lomb. Rend. 35 (1897), p. 235; Giorn. di mat. (36) (1898), p. 68; Ann. di mat. (3) 2 (1898), p. 53. *V. Martinetti*, Giorn. di mat. 34 (1896), p. 192; 35 (1897), p. 235; Palermo Rend. 16 (1902), p. 196. *H. E. Timmerding*, Math. Ann. 54 (1901), p. 498. *L. Berzolari*, Rom. Linc. Rend. 16<sub>1</sub> (1907), p. 726; Palermo Rend. 24 (1907), p. 1.

142) *J. Plücker*, Neue Geometrie des Raumes 1 (1868); 2 (1869), hrsg. von *F. Klein*, Leipzig. Bezüglich der im folgenden zur Verwendung kommenden liniengeometrischen Hilfsmittel sei auf den Art. III C 8, *K. Zindler*, Algebraische Liniengeometrie, verwiesen.

143) *F. Klein*, Math. Ann. 2 (1870), p. 218.



Scharen von Kegelschnittstangenten oder von Erzeugenden quadratischer Kegel ordnen kann, so umhüllen<sup>145)</sup> diese Treffgeraden eine „zu  $g$  gehörige Plücker'sche Komplexfläche“. Es soll deren Gleichung gebildet werden.

Für  $p_{ik} = y_i z_k - y_k z_i$  sei die Gleichung des Komplexes  $K_2$

$$(7) \quad K_2 \equiv \varphi(p_{ik}) = 0.$$

Ist weiter  $(w)$  irgendein Raumpunkt, so betrachte man einen laufenden Punkt  $(z + \lambda w) = (\lambda)$  auf der Geraden  $\{(z), (w)\}$ . Der Komplexkegel dieses Punktes  $(\lambda)$  ist dargestellt durch

$$(8) \quad \varphi\{y_i(z_k + \lambda w_k) - y_k(z_i + \lambda w_i)\} \equiv \varphi_{zz} + 2\lambda\varphi_{zw} + \lambda^2\varphi_{ww} = 0,$$

eine in den  $y$  quadratische Gleichung, die durch das Wertsystem  $(z + \lambda w)$  doppelt erfüllt wird; andererseits läßt sich (8) auch als eine in  $\lambda$  quadratische Gleichung ansehen.

Bildet man in letzterem Sinne die Diskriminante  $D_2$  bez.  $\lambda$  und setzt sie gleich Null

$$(9) \quad D \equiv \varphi_{zz}\varphi_{ww} - (\varphi_{zw})^2 = 0,$$

so hat man die Komplexfläche; sie ist von der Ordnung 4 und gemäß der dualen Natur der Linienkoordinaten auch von der Klasse 4.

Die acht Grundpunkte des  $F_2$ -Netzes  $\varphi_{zz} = 0$ ,  $\varphi_{zw} = 0$ ,  $\varphi_{ww} = 0$  sind  $D_2$  der Fläche; durch sie gehen die Komplexkegel der Punkte von  $g$ . Es ist also  $g$  eine Doppelgerade der Fläche, die Punkte in ihr sind Doppelpunkte ihrer ebenen Schnitte, und die Ebenen durch sie Doppелеbenen ihrer Berührkegel.

Den acht  $D_2$  entsprechen dual acht Doppeltangentialebenen  $\Delta_2$ , die längs Kegelschnitten berühren und von den Komplexkegelschnitten in den Ebenen der Geraden berührt werden. Für eine Ebene durch  $g$  und einen der  $D_2$  reduziert sich der Komplexkegelschnitt auf den Punkt  $D_2$  und einen weiteren Punkt, d. h. die acht  $D_2$  liegen viermal zu zweien in Ebenen durch  $g$ . Entsprechend gehen die acht  $\Delta_2$  viermal zu je zweien durch Punkte auf  $g$ . Jene sind die singulären Ebenen  $E_1, \dots, E_4$ , diese die singulären Punkte  $E_1, \dots, E_4$  von  $g$ .

Die Verbindungslinien  $s_i$  der den  $E_i$  angehörigen Paare  $(i, i')$  von  $D_2$  treffen  $g$  in vier Punkten  $P_i$ ; der zu  $P_i$  bez. der beiden  $D_2$  vierte harmonische Punkt sei  $P_i'$ . Dualistisch seien  $\sigma_i$  die Schnittlinien der durch die  $E_i$  gehenden Paare der  $\Delta_2$ :  $[i, i']$ .

Die  $\Delta_2$  enthalten je vier  $D_2$ , und durch die  $D_2$  gehen je vier  $\Delta_2$ . Dann lassen sich die acht  $D_2$  den acht  $\Delta_2$  mittels linearer Komplexe

145) *J. Plücker*<sup>142)</sup>, 1, p. 168f. Als eine spezielle  $F_4$  mit einer  $\bar{g}$  (s. Nrr. 33, 36) wird die Komplexfläche auf eine Ebene abgebildet von *F. Klein*, *Math. Ann.* 2 (1869), p. 371; vgl. *A. Cayley*, *London Math. Soc. Proc.* 3 (1871), p. 281.

so zuordnen, daß jedem  $D_2$  die vier  $\Delta_2$  entsprechen, in denen er liegt. Dabei sind die singulären  $E_i$  den singulären  $E_i$ , und die singulären  $s_i$  den singulären  $\sigma_i$  durch denselben Komplex zugeordnet. Mithin ist in bezug auf ihn das ganze Singularitätensystem, und überhaupt die ganze Komplexfläche sich selbst konjugiert. So sind das Bündel der singulären Ebenen und die Reihe der singulären Punkte einander projektiv (s. auch Nr. 36).

Wir kommen jetzt zur Auffassung der  $K_m$  als Brennfläche. Ein (algebraisches) quadratisches Strahlensystem (Kongruenz)  $\mathfrak{R}_2$  ist definiert als Gesamtheit von  $\infty^2$  Geraden  $g$  derart, daß durch jeden Punkt zwei der  $g$  gehen und in jeder Ebene zwei der  $g$  liegen. Jede Gerade  $g$  der  $\mathfrak{R}_2$  wird von zwei benachbarten „getroffen“, d. h. genauer, der kürzeste Abstand ist von der dritten Ordnung unendlich klein; der Fußpunkt dieses Abstandes auf  $g$  ist dann der obige „Treffpunkt“ und heißt „Brennpunkt“.

Es gibt also auf jeder Geraden der  $\mathfrak{R}_2$  zwei Brennpunkte; deren Ort ist die zweimantlige „Brennfläche“. Diese Brennfläche einer  $\mathfrak{R}_2$  erweist sich als identisch mit der  $K_m$ <sup>146</sup>; die Geraden der  $\mathfrak{R}_2$  sind die Doppeltangenten der  $K_m$ . Umgekehrt läßt sich eine vorgelegte  $K_m$  noch auf sechs verschiedene Arten als Brennfläche einer  $\mathfrak{R}_2$  ansehen. Die sechs zugehörigen linearen Komplexe (s. Nr. 70) sind paarweise in Involution.

Aus der Auffassung der  $K_m$  als Singularitätenfläche eines  $K_2$  ergibt sich eine Reihe bemerkenswerter Folgerungen. Die schon oben betonte Dualität der Fläche in sich äußert sich einmal in den Eigenschaften der *Kummerschen* Konfiguration der 16  $D_2$  und 16  $\Delta_2$  (s. Nr. 68).

Sodann ist nach *F. Klein*<sup>147</sup> für irgendeine Gerade  $g$  das Doppelverhältnis ihrer vier Schnittpunkte  $A_i$  ( $i = 1, 2, 3, 4$ ) mit der  $K_m$  gleich dem Doppelverhältnis der vier an die Fläche gehenden Tangentialebenen  $B_i$ . *Klein*<sup>147</sup> gibt für diesen Satz auch einen direkten Beweis.

Im allgemeinen Falle, wo  $g$  dem  $K_2$  nicht angehört und die vier Punkte  $A_i$  getrennt sind, zerfällt für jeden  $A_i$  der Komplexkegel in ein Ebenenpaar  $(\alpha_i, \alpha'_i)$  und für jede Ebene  $B_i$  die Komplexkurve in ein Punktepaar  $(B_i, B'_i)$ . Die acht Punkte  $B_i, B'_i$ , und die acht Ebenen  $\alpha_i, \alpha'_i$  bilden eine Konfiguration  $8_4$ . Die ersteren sind die acht  $D_2$  der Komplexfläche; die Verbindungslinien  $(B_i, B'_i)$  und die Schnittachsen  $(\alpha_i, \alpha'_i)$  gehören der Komplexfläche an. Modifikationen treten ein, wenn z. B.  $g$  dem  $K_2$  angehört, wo dann vier der acht  $D_2$  in die Punkte  $A_i$  fallen.

146) *F. Klein* und *S. Lie*, Berlin Ber. 1870, p. 891 = Math. Ann. 23 (1884), p. 579. Vgl. auch Nrr. 67, 70.

147) *F. Klein*, Math. Ann. 7 (1874), p. 208.

Weitere Besonderheiten finden statt, wenn  $g$  die  $K_m$  berührt, wo  $F. Klein^{148}$ ) sieben Fälle unterscheidet.

Ferner führte die Auffassung der  $K_m$  als Singularitätenfläche  $F. Klein^{149}$ ) zu dem Satze, daß es 16 Kollineationen und 16 Korrelationen gibt, die die  $K_m$  in sich überführen.

Im Zusammenhange mit gewissen, der  $K_m$  zugleich ein- und umbeschriebenen Konfigurationen (s. Nr. 72) gelangte  $F. Klein^{150}$ ) zu 32 weiteren solchen „automorphen“ Transformationen der  $K_m$ .

$G. Fano^{151}$ ) legte sich die Frage vor, ob damit alle automorphen Transformationen der  $K_m$  erschöpft seien. Dies ist nicht der Fall; er fand vielmehr, daß noch unendlich viele weitere solcher Transformationen existieren. Er geht dabei von allgemeineren Gesichtspunkten aus. Die Grundlage wird durch den Satz gebildet, daß, wenn auf einer  $F_4$  vom Geschlechte 1 eine Kurve  $C_n$  vom Geschlechte 2 liegt, so auch ein ganzes Netz solcher (s. auch Nr. 3). Die Kurven dieses Netzes schneiden sich je in den Punktepaaren einer rationalen Involution  $J$ , die eine Abbildung der  $F_4$  auf eine Doppelebene mit einer Verzweigungskurve  $c_6$  gestattet (vgl. Nr. 19). Die Geraden, die die Punktepaare von  $J$  verbinden, bilden eine rationale Kongruenz. Dies findet seine Anwendung auf den besonderen Fall  $n = 6$ , der u. a. durch eine  $K_m$  realisiert wird. Dann ergibt sich, daß die  $K_m \infty^1$  birationale automorphe Transformationen gestattet, die eine diskrete Gruppe bilden. Hiermit wird die Auffassung als Brennfläche einer quadratischen Kongruenz  $\mathfrak{R}_2$  verknüpft (s. oben). Im besonderen erzeugen dann die sechs zugehörigen  $J$  eine Gruppe  $G_{32}$  von 32 birationalen automorphen Transformationen, von denen 16 mit den 16 *Kleinschen* Kollineationen zusammenfallen. Diese  $G_{32}$  führt auch jede Haupttangentialkurve der  $K_m$  in sich über (s. Nr. 70).

**70. Die Haupttangentialkurven der Kumperschen Fläche.** Von liniengeometrischen Gesichtspunkten ausgehend haben  $F. Klein$  und  $S. Lie^{152}$ ) die Haupttangentialkurven der  $K_m$  untersucht. Als Grundlage diente die  $\infty^1$ -Schar (s. Nr. 69) der quadratischen Komplexe  $K_2$ , deren jeder dieselbe  $K_m$  zur Singularitätenfläche besitzt.

148)  $F. Klein$  bei  $J. Plücker^{142}$ ) im letzten Abschnitt von Bd. 2.

149)  $G. Klein$ , Math. Ann. 2 (1870), p. 218. Die 16 Kollineationen bilden eine Gruppe  $G_{16}$ , deren vollständiges Invariantensystem  $E. Study$  aufgestellt hat, Leipzig Ber. 44 (1892), p. 122.

150)  $F. Klein$ , Math. Ann. 27 (1887), p. 142.

151)  $G. Fano$ , Lomb. Ist. Rend. (2) 39 (1906), p. 1071.

152)  $F. Klein$  und  $S. Lie$ , Berlin Ber. 1870, p. 891 = Math. Ann. 23 (1884), p. 579. Vgl. weiter  $S. Lie$ , Math. Ann. 5 (1871), p. 145;  $F. Klein$ , ib. p. 257, 278.

Für irgendeinen der  $K_2$  liegen die beiden Punkte, die in einer Tangentialebene  $T$  der  $K_m$  die ausgeartete Komplexkurve repräsentieren, auf der Schnittkurve  $(T, K_m)$  und liegen zugleich mit dem Berührungspunkte der  $T$  auf einer Geraden, der zugehörigen „singulären“ Geraden.

Durchlaufen diejenigen Punkte der  $K_m$ , deren singuläre Gerade eine Haupttangente ist, eine Haupttangentenkurve, die sich als eine  $C_{16} = \Gamma_{16}$  erweist, so gehört zu jedem der  $\infty^1$  erzeugenden  $K_2$  eine Haupttangentenkurve der  $K_m$ , womit ihre Gesamtheit erhalten wird.

Jede dieser Kurven hat 16 Spitzen in den 16  $D_2$ , und 16 stationäre Ebenen in den 16  $\Delta_2$  der  $K_m$ , sowie  $6 \cdot 16 = 96$  stationäre Tangenten. Entsprechend den in der  $\infty^1$ -Schar der  $K_2$  enthaltenen sechs doppelt zählenden linearen Komplexen  $K_1$  gibt es sechs ausgezeichnete Haupttangentenkurven  $C_8 = \Gamma_8$ , ohne Spitzen und stationäre Ebenen.

Andererseits erscheint die  $K_m$  auch als Brennfläche (s. Nr. 69) eines je einem der sechs  $K_1$  angehörigen Geradensystems des einen Systems seiner Doppeltangenten.

*F. Klein*<sup>153</sup>) vollzieht auf Grund seiner vier Parameter einer Geraden (s. Nr. 71) eine direkte Integration der Differentialgleichung der Haupttangentenkurven.

*S. Lie*<sup>154</sup>) legt seine später so bekannt gewordene „Geraden-Kugel-Transformation“ zugrunde, eine Berührungstransformation, die inzidente Gerade in sich berührende Kugeln überführt, und die Krümmungslinien einer Fläche in die Haupttangentenkurven einer anderen. Auf diesem Wege werden von neuem die wesentlichsten Eigenschaften der Haupttangentenkurven der  $K_m$  gewonnen.

Unter Benutzung der *Kleinschen* Linienkoordinaten liefert *Th. Reye*<sup>155</sup>) einen neuen, rechnerischen Beweis für den Hauptsatz von *Klein* und *Lie*. Überdies gelangt er so zu weiteren Angaben für die charakteristischen Anzahlen der Haupttangentenkurven. Eine solche ist vom Geschlechte 17, vom Range 48 und besitzt 72 scheinbare Doppelpunkte.

Für die sechs ausgezeichneten Kurven reduzieren sich diese Anzahlen auf resp. 5, 24, 16. Ferner wird festgestellt, daß sich die Berührungspunkte der 96 stationären Tangenten gleichmäßig auf die

153) *F. Klein*, Göttinger Nachr. 1871, p. 44.

154) *S. Lie*, Kristiania Verh. S. 1871, p. 57, 182. Bezüglich der Geraden-Kugeltransformation vgl. etwa die elementare Darstellung bei *F. Klein*, Vorlesungen über höhere Geometrie. 3. Aufl., Berlin, hrsg. von *W. Blaschke*, § 71.

155) *Th. Reye*, J. f. Math. 97 (1884), p. 242. Über die eingeschlagene Methode vgl. auch die voraufgehende Arbeit, ib. 95 (1883), p. 330.

sechs ausgezeichneten Haupttangentialkurven verteilen. Überdies wird eine vollständige Ableitung der verschiedenen Gleichungsformen gegeben.

Das Hauptergebnis ist aber der Satz, daß sich die Haupttangentialkurven der  $K_m$  durch  $F_4$  ausschneiden lassen. Genauer ist jede dieser Kurven die Grundkurve eines  $F_4$ -Büschels, und diese  $\infty^1$ -Büschel gehören einem Netze an.

Die verwickelte Rechnung, die zu diesem Satze führt, hat *C. Segre*<sup>156)</sup> durch einfache synthetische Betrachtungen ersetzt.

Daß die Haupttangentialkurven der  $K_m$  nach *G. Fano* durch die 32 linearen *Kleinschen* automorphen Transformationen in sich übergehen, ist schon in Nr. 69 betont worden.

**71. Transzendente Behandlung der Kummerschen Fläche.** *C. W. Borchardt*<sup>157)</sup> hat die  $K_m$  durch die *Göpelsche* biquadratische Relation zwischen vier  $\vartheta$ -Funktionen mit zwei Variablen dargestellt. *Göpel*<sup>158)</sup> hatte gewisse 16  $\vartheta$ -Funktionen aufgestellt, die durch einfache Substitutionen in die 16 entsprechenden *Weierstraßschen*  $\vartheta(v_1, v_2)$  in zwei Argumenten  $v_1, v_2$  übergehen. Diese zerlegen sich in sechs „gerade“  $\vartheta_i$  ( $i = 0, \dots, 5$ ), und zehn „ungerade“  $\vartheta_{r,s}$  ( $r \neq s, r, s = 0, \dots, 4$ ). „Nullwerte“ heißen die 16 hieraus für  $v_1 = v_2 = 0$  hervorgehenden Funktionswerte.

Vermehrt man die  $v_1, v_2$  um „Perioden“, so bleiben die  $\vartheta$ -Verhältnisse, bis auf das Vorzeichen, ungeändert. Vermehrt man um halbe Perioden, so gehen aus irgendeinem der  $\vartheta$  die 15 übrigen, jeweils bis auf einen gewissen Exponentialfaktor, hervor.

*Göpel* hat gewisse 60 Systeme von je vier der  $\vartheta$  herausgehoben, die durch eine homogene biquadratische Relation verbunden sind. Je vier dieser „*Göpelschen*“ Relationen gehen aus einander durch Vermehrung der Argumente um halbe Perioden hervor; eine von solchen vier Relationen enthält nur gerade  $\vartheta$ , die anderen zwei gerade und zwei ungerade, und in den vier Relationen treten alle 16  $\vartheta$  auf.

Als Repräsentanten kann man die erste Relation wählen; solcher Repräsentanten gibt es also 15. Bezeichnet man die vier in einer solchen Relation auftretenden  $\vartheta$  mit  $x, y, z, w$ , deren Nullwerte mit  $x_0, y_0, z_0, w_0$ , so schreibe man die Relation kurz

$$(I) \quad \Phi(x, y, z, w; x_0, y_0, z_0, w_0) = 0.$$

156) *C. Segre*, J. f. Math. 98 (1885), p. 301.

157) *C. W. Borchardt*, J. f. Math. 83 (1877), p. 234. Bezüglich der im folgenden zur Verwendung gelangenden Hilfsmittel aus der Theorie der  $\vartheta$ -Funktionen sei auf die Artikel II B 6, 7 von *A. Krazer* und *W. Wirtinger* verwiesen.

158) *A. Göpel*, J. f. Math. 35 (1847), p. 277.

Dann verschwindet nicht nur die Form  $\Phi$  für  $x = x_0, y = y_0, z = z_0, w = w_0$ , sondern auch ihre ersten partiellen Ableitungen  $\Phi_x, \Phi_y, \Phi_z, \Phi_w$ . Deutet man jetzt  $x, y, z, w$  als homogene Koordinaten eines Raumpunktes  $P$ , so stellt  $\Phi = 0$  eine  $F_4$  dar, die in  $P_0(x_0, y_0, z_0, w_0)$  einen  $D_2$  besitzt. Da die Form  $\Phi$  aber bei gewissen Vertauschungen der Variablen ungeändert bleibt, so gehen aus  $P_0$  noch 15 weitere  $D_2$  der  $F_4$  hervor. Diese  $F_4$  erweist sich daher als die *Kummersche* Fläche  $K_m$ . Führt man Linearverbindungen der  $x, y, z, w$  als neue Koordinaten  $p, q, r, s$  ein und setzt, unter  $a, b, c$  Konstante verstanden,

$$(1) \quad \begin{cases} \varphi \equiv \sum r^2 + 2 \sum a(ps + qr), \\ K \equiv \sum a^2 - 2abc - 1, \end{cases}$$

so geht (I) über in die *Kummersche* Gleichung der  $K_m$  (s. Nr. 68)

$$(I) \quad F_4 \equiv \varphi^3 - 16Kpqrst = 0.$$

Somit lassen sich die nichthomogenen Koordinaten eines Punktes der Fläche darstellen als  $\vartheta$ -Quotienten.

Es sei noch bemerkt, daß sich diese  $\vartheta$ -Quotienten nach Formeln, die *Rosenhain*<sup>159)</sup> aufgestellt hat, ersetzen lassen durch algebraische Funktionen zweier Parameter  $\xi, \eta$ , die nur Quadratwurzeln aus ganzen Funktionen je eines dieser Parameter von einer Ordnung  $\leq 6$  enthalten.

Im wesentlichen zu denselben Ergebnissen gelangt *A. Cayley*<sup>160)</sup> auf einem anderen Wege. Auch er legt die 16 Gleichungen zugrunde, die *Göpel* für die Quadrate der 16  $\vartheta(u, u')$  gegeben hat. Aus ihnen hatte *Göpel* zunächst zwischen je fünf der  $\vartheta^2$  lineare Relationen hergeleitet, die sich aber nach *Rosenhain* auf solche zwischen nur vier  $\vartheta^2$  reduzieren lassen.

*Cayley* stellt letztere Relationen direkt auf, und zeigt ihren Zusammenhang mit der *Kummerschen* Fläche  $K_m$ . Hierbei entsprechen die 16  $\vartheta^2$  den 16  $D_2$  der Fläche; linear verbundene  $\vartheta^2$  entsprechen solchen  $D_2$ , die in derselben singulären Tangentialebene (Doppelebene)  $\Delta_2$  liegen.

Ferner lassen sich nach *Göpel* und *Rosenhain* die Verhältnisse je zweier der 16  $\vartheta^2$  rational ausdrücken durch  $x, x'$  und eine quadratische Irrationalität  $\sqrt{X}$  resp.  $\sqrt{X'}$ , wo  $X$  von der Form ist

$$X \equiv x(1-x)(1-lx)(1-mx)(1-nx).$$

*Cayley* legt statt dessen die allgemeine Form 6. Ordnung  $X$  zugrunde vom Typus

$$(2) \quad \begin{cases} X \equiv f_3(x)g_3(x), \\ f_3(x) \equiv (a-x)(b-x)(c-x), \quad g_3(x) \equiv (d-x)(e-x)(f-x). \end{cases}$$

159) *G. Rosenhain*, J. f. Math. 28 (1844), p. 249; 29 (1845), p. 1.

160) *A. Cayley*, J. f. Math. 83 (1877), p. 210, 220; 84 (1877), p. 235.

Dann wurden die 16  $\vartheta^2$  proportional einmal sechs Formen vom Typus  $[a] \equiv (a - x)(a - x')$ , andererseits zehn Irrationalitäten vom Typus

$$(3) \quad [fg] \equiv \left(\frac{1}{x-x'}\right)^2 \{ \sqrt{f_3(x)g_3(x')} - \sqrt{f_3(x')g_3(x)} \}.$$

Cayley fügt eine Tabelle dieser Funktionen  $[a]$ ,  $[fg]$  hinzu für die besonderen Werte von  $x, x' = 0, \infty, ab, ac$  usf. Auf dieser Grundlage wird dann Borchardts Darstellung der Kummerschen Fläche  $K_m$  mittels der Göpelschen biquadratischen Relationen zwischen vier gewissen  $\vartheta^2$  in modifizierter Form von neuem abgeleitet.

Diese Untersuchungen von Borchardt und Cayley setzt H. Weber<sup>161)</sup> in Beziehung zu den Charakteristiken der  $\vartheta(v_1, v_2)$  in zwei Argumenten  $v_1, v_2$ . Diese Untersuchung ist zunächst analog mit den von ihm früher<sup>162)</sup> für die Abelschen Funktionen vom Geschlecht 3 durchgeführten Entwicklungen.

Die  $\vartheta(v_1, v_2)$  mit der Charakteristik  $\begin{Bmatrix} g_1, g_2 \\ h_1, h_2 \end{Bmatrix} = [gh]$  werden mittels bekannter Doppelsummen definiert. Eine Charakteristik  $[g, h]$  heißt gerade oder ungerade, je nachdem  $g_1h_1 + g_2h_2$  gerade oder ungerade ist; je nachdem sind die  $\vartheta(v_1, v_2)$  gerade oder ungerade Funktionen der  $v_1, v_2$ . Es gibt sechs gerade und zehn ungerade Charakteristiken; die ersteren seien bezeichnet mit  $(\beta_i)$  ( $i = 1, \dots, 6$ ).

Unter der Summe  $(\omega + \omega')$  zweier Charakteristiken  $(\omega) = (g, h)$  und  $(\omega') = (g', h')$  werde die neue

$$(\omega + \omega') = \begin{Bmatrix} g_1 + g_1', & h_1 + h_1' \\ g_2 + g_2', & h_2 + h_2' \end{Bmatrix},$$

bei Reduktion der Elemente mod. 2 verstanden.

Für diese Summen werden fünf einfache Verbindungs- und Zerlegungsgesetze aufgestellt. Mit Hilfe dieser Gesetze wird gezeigt, daß sich 16 Systeme von je sechs  $\vartheta^2$  finden lassen derart, daß zwischen je vier  $\vartheta^2$  eines Systems eine homogene lineare Gleichung besteht.

Ferner besteht zwischen drei Produkten von je zwei  $\vartheta$  mit derselben Charakteristikensumme eine homogene lineare Relation; solcher gibt es 120. Hieraus lassen sich die Göpelschen Relationen 4. Ordnung ableiten.

Die Beziehung zu den hyperelliptischen Integralen wird gewonnen, indem man zwei solche für  $v_1$  und  $v_2$  einsetzt

$$(4) \quad v_1 = \int_{z_1}^{z_2} \frac{f_1(z) dz}{\sqrt{f_6(z)}}, \quad v_2 = \int_{z_1}^{z_2} \frac{g_1(z) dz}{\sqrt{f_6(z)}},$$

161) H. Weber, J. f. Math. 84 (1878), p. 332.

162) H. Weber, Preisschrift Berlin 1876.

wo  $f_1, g_1$  binäre Formen in  $z$  der 1. Ordnung sind,  $f_6(z)$  eine solche der 6. Ordnung. Dann lassen sich die Quotienten zweier  $\vartheta$  algebraisch durch  $z_1$  und  $z_2$  darstellen.

Setzt man jetzt irgend vier der  $\vartheta^2$  proportional Punktkoordinaten  $p, q, r, s$ , so erhält man eine  $F_4$  mit  $v_1, v_2$  als Parametern. Das Nullsetzen irgendeiner  $\vartheta$  liefert einen ebenen Schnitt der  $F_4$ . Für die  $F_4$  ergeben sich 120 gleichberechtigte Darstellungen. Die  $F_4$  ist die allgemeinste mit 16  $D_2$ , also die *Kummersche Fläche*  $K_m$ . Die obigen 16 ebenen Schnitte sind Doppel- $C_2$ , die je sechs  $D_2$  tragen.

Von diesen 16 Doppelebenen  $\Delta_2$  gehen 16 mal je sechs durch einen  $D_2$ ; mittels der Charakteristiken läßt sich entscheiden, ob eine bestimmte  $\Delta_2$  durch einen bestimmten  $D_2$  geht, oder nicht.

Bezüglich der Lagenverhältnisse der  $\Delta_2$  und  $D_2$  (s. Nr. 68) ergibt sich weiter:

1. Durch irgend zwei  $D_2$  gehen zwei  $\Delta_2$ ;
2. die Tripel von  $D_2$  zerfallen in zwei Klassen von 320 resp. 240, je nachdem ihre Ebene eine  $\Delta_2$  ist, oder nicht;
3. die Quadrupel (Tetraeder  $T$ ) von vier  $D_2$  zerfallen in drei Klassen;
  - a) 80 „ $T_1$  erster Art“ mit vier  $D_2$ , die zusammen alle 16  $D_2$  enthalten;
  - b) 60 „ $T_2$  zweiter Art“, ohne  $\Delta_2$ ;
  - c) 1440 „ $T_3$  dritter Art“ mit genau zwei  $\Delta_2$ .

Die 16  $D_2$  lassen sich auf 15 Arten in vier  $T_2$  zusammenfassen, deren jedes die drei anderen bestimmt. Zwischen gewissen Systemen von sechs  $D_2$  bestehen gewisse projektive Beziehungen; stehen sechs  $D_2$  nicht in einer solchen Beziehung, so bilden je vier derselben ein  $T_2$ .

Das Hauptergebnis ist dann: „Aus sechs  $D_2$  der letzteren Art lassen sich die übrigen linear konstruieren.“ Diese Konstruktion hat *H. Schroeter*<sup>163</sup>) im einzelnen ausgeführt (s. Nr. 68). Das der  $K_m$  polar entsprechende Gebilde ist wieder eine  $K_m$ .

Am Schlusse wird der Sonderfall der Wellenfläche  $W_i$  (s. Nr. 73) und ihrer projektiven Umformungen behandelt, wo viermal vier  $D_2$  in einer Ebene liegen. Die entsprechenden  $\vartheta$  gehen vermöge einer quadratischen Transformation in elliptische über.

Die vielseitigste hierher gehörige Untersuchung verdankt man *K. Rohn*.<sup>164</sup>) Sie nimmt ihren Ausgang von der Liniengeometrie (s. Nr. 69). Sind  $x_i = 0$  ( $i = 1, \dots, 6$ ) sechs lineare, je in Involution

163) *H. Schroeter*, J. f. Math. 100 (1887), p. 231.

164) *K. Rohn*, Dissert. München 1878. *Rohn* hat auch im math. Seminar der techn. Hochschule München drei Gipsmodelle der  $K_m$  gefertigt. Verlag A. Brill, Darmstadt 1877.

stehende Komplexe  $K_1$  mit der Identität  $\sum x_i^2 \equiv 0$ , also die  $x_i$  die *Kleinschen*<sup>165)</sup> Linienkoordinaten, so läßt sich die allgemeinste Gleichung eines quadratischen Komplexes  $K_2$  auf die Form bringen

$$(5) \quad K_2 \equiv \sum \frac{x_i^2}{k_i} = 0.$$

Dann ist durch

$$(6) \quad K_2^{(\lambda)} \equiv \sum \frac{x_i^2}{k_i - \lambda} = 0$$

eine Schar konfokaler  $K_2$  dargestellt. Die Wurzeln von (6) sind die „elliptischen“ Linienkoordinaten eines Punktes. Sieht man in (6) die  $x_i$  als gegeben an, so ergeben sich vier  $\lambda$ -Werte; umgekehrt, sind letztere gegeben, so haben die vier entsprechenden konfokalen  $K_2$  32 Gerade gemein, die sich aber nur durch die Vorzeichen ihrer Koordinaten unterscheiden.

Die  $K_2$  der konfokalen Schar (6) haben dieselbe Singularitätenfläche  $F_4$ , die von den Geraden berührt wird, für die je zwei der vier  $\lambda$  koinzidieren.

Diese  $F_4$  ist die *Kummersche* Fläche  $K_m$ . Alle Tangenten in einem Punkte  $P$  der  $K_m$  gehören zwei konfokalen Komplexen  $K_2(\lambda_1)$  und  $K_2(\lambda_2)$  an. Durch  $\lambda_1$  und  $\lambda_2$  werden also je 32 Punkte der  $K_m$  bestimmt. Die Kurven  $\lambda_1 = \text{konst}$ ,  $\lambda_2 = \text{konst}$  sind die beiden Scharen der Haupttangentenkurven. Aus dem Studium der  $\lambda$  folgt eine große Reihe weiterer Beziehungen.

Vor allem werden die Lagenbeziehungen und gestaltlichen Verhältnisse der  $K_m$  untersucht; es empfiehlt sich zu dem Behuf die Ableitung der  $K_m$  aus einer doppeltzählenden, einem Tetraeder einbeschriebenen  $F_2$  mittels Variieren der Konstanten. So gelangt man zu den Lagegesetzen der 16  $D_2$  und 16  $\Delta_2$ , usf., unter besonderer Berücksichtigung der Realität.

Auf dieser geometrischen Grundlage erwächst nun in naturgemäßer Weise die transzendente Behandlung der  $K_m$ .

Die 32 Punkte  $(\lambda_1, \lambda_2)$  werden durch Einführung hyperelliptischer Funktionen derart getrennt, daß die Vieldeutigkeit auf Unterschiede in den Perioden zurückkommt. Sodann wird die Verteilung der  $\lambda_1, \lambda_2$  auf die 16 Felder mit hyperbolischer Krümmung und die 16 Felder mit elliptischer Krümmung genauer untersucht.

Nunmehr läßt sich der Zusammenhang des bisherigen mit der *Borchardt-Cayleyschen* Darstellung einsehen.

165) *F. Klein*, Math. Ann. 5 (1872), p. 261. Vgl. auch die weiteren Ausführungen in zwei Abhandlungen von *C. Segre*, Torino Mem. (2) 36 (1884).

Der von *Rohn* erzielte Fortschritt kennzeichnet sich vor allem darin, das die Darstellung der  $K_m$  eine eindeutige wird, gegenüber der dortigen 16-Deutigkeit. Umgekehrt läßt sich diese Vieldeutigkeit vermöge einer gewissen quadratischen Transformation beseitigen, womit der Zusammenhang zwischen jenen 16 Darstellungen aufgedeckt wird.

In einer zweiten Arbeit von *Rohn*<sup>166)</sup> wird die quadratische Transformation der hyperelliptischen Funktionen für sich behandelt; hierbei werden alle Transformationen, die dieselben Bedingungen zwischen den  $\vartheta$  liefern, als gleichwertig angesehen. Die Zuordnungen der  $\vartheta$ , sowie der Perioden, werden sodann an der *Kummerschen* Fläche  $K_m$  interpretiert, und führen so zu manchen Ergänzungen der früheren Darstellung. Hingewiesen sei noch auf die Eigenschaften der Parameter gewisser Punktgruppen auf der  $K_m$ , sowie auf die der Kurven, längs deren die  $K_m$  von anderen Flächen berührt wird.

Dadurch erscheinen die identischen Relationen zwischen den  $\vartheta$  unter allgemeinerem Gesichtspunkte.

In einer dritten Arbeit<sup>167)</sup> geht *Rohn* auf die verschiedenen Gestalten der  $K_m$  — und im Anschluß daran der  $R-F_4$  mit zwei Doppelgeraden — näher ein, unter besonderer Berücksichtigung der Realitätsverhältnisse. Das Hauptergebnis ist, daß es acht verschiedene  $K_m$ , und sieben verschiedene  $R-F_4$  gibt. Zunächst werden wieder die sechs *Kleinschen* Linienkoordinaten  $x_i$  zugrunde gelegt. Sodann setzt die topologische Behandlung ein. Diese führt auch zu den Gleichungen der acht  $K_m$ -Arten in Punktkoordinaten; aus einer der Gleichungen lassen sich die übrigen durch imaginäre lineare Transformationen herleiten. Hierbei ist zu beachten, daß die übliche quadratische Relation zwischen Linienkoordinaten durch reelle lineare Transformation auf die Gestalt

$$(7) \quad z_1^2 - z_2^2 + z_3^2 - z_4^2 + z_5^2 - z_6^2 = 0$$

gebracht werden kann. Um die linke Seite in eine Summe von sechs Quadraten überzuführen, bedarf man einer imaginären Substitution  $S$ . Solcher  $S$  hat man nach *Klein*<sup>165)</sup> vier zu unterscheiden, die zu ebensoviel Typen von Koordinatensystemen führen.

Die Fläche  $K_m$  wird wieder als gemeinsame Singularitätenfläche einer konfokalen Schar von quadratischen Komplexen  $\sum \frac{x_i^2}{k_i - \lambda} = 0$  eingeführt. Vermöge der vier obigen Typen von Koordinatensystemen werden die verschiedenen Gattungen von  $K_m$  bestimmt. Die  $K_m$  wird

166) *K. Rohn*, Math. Ann. 15 (1879), p. 315.

167) *K. Rohn*, Math. Ann. 18 (1881), p. 96.

dann und nur dann reell, wenn die imaginären Komplexe des konfokalen Systems paarweise konjugiert sind. Beim ersten Typus (I) sind die sechs Konstanten  $k$  reell, beim zweiten (II) vier, beim dritten (III) zwei, beim vierten (IV) keine; die nicht reellen sind stets paarweise konjugiert. Die einzelnen Typen ergeben wieder Unterabteilungen: Ia, Ib, Ic, IIa, IIb, III, IVa, IVb. So sind bei der ersten (Ia) alle  $16 D_2$  und  $16 \Delta_2$  reell; die Fläche besteht aus acht Teilen von tetraedrischer Form. Bei der zweiten (Ib) ist weder ein  $D_2$  noch eine  $\Delta_2$  reell; die Fläche besteht aus zwei Teilen, deren jeder mit einem einschaligen Hyperboloid Ähnlichkeit hat. Bei einer dritten Gattung (IIa) sind acht  $D_2$  und acht  $\Delta_2$  reell; die Fläche besteht aus vier tetraedrischen Teilen. Bei einer vierten Gattung (IIb) verhält es sich wie bei (Ib), nur daß die Fläche jetzt aus einem einzigen Teile besteht.

Bei einer fünften und sechsten Gattung (III), (IV a) hat man vier reelle  $D_2$  und vier reelle  $\Delta_2$ ; bei der ersteren sind die beiden Teile tetraedrisch, bei der letzteren ähnlich einem Ellipsoide resp. zweischaligem Hyperboloide (wie bei der Wellenfläche). Endlich weisen die beiden letzten Gattungen (Ic), (IV b) nur imaginäre Flächen auf.

Bei der topologischen Behandlung dienen die Grenzfälle, wo die Fläche zerfällt, als Ausgangsflächen, aus denen dann durch Deformation (Variation der Konstanten) die einzelnen Gestalten hervorgehen.

Von besonderer Bedeutung ist der Grenzfall einer doppelt zählenden  $F_2$ . Auf ihr greife man acht Erzeugende, je vier aus einer Schar, heraus; die 16 Schnittpunkte vertreten dann die  $D_2$  und die 16 zugehörigen Berührungsebenen die  $\Delta_2$ , und die Erzeugenden selbst die Berührungskegelschnitte in den  $D_2$ . Die Erzeugenden teilen (je nach ihrer Realität) die  $F_2$  in Felder, die denen der  $K_m$  entsprechen.

Als Sonderfälle der  $K_m$  treten die obigen  $R-F_4$  auf; fünf Arten gehen aus dem Typus (I) hervor, und zwei weitere aus dem Typus (II).

Damit darf die Frage nach den Gestaltsverhältnissen der  $K_m$  als vollständig beantwortet gelten.

Unabhängig von Rohn entwickelt auch *G. Darboux*<sup>168)</sup> den Zusammenhang der  $K_m$  mit den  $\vartheta(v_1, v_2)$  von den Kleinschen Linienkoordinaten aus. Wie bei *Weber* (s. oben) wird auch der Sonderfall der Wellenfläche berücksichtigt.

*Darboux* fügt aber noch eine einfache geometrische Interpretation des obigen Zusammenhanges hinzu.

Die Methode gilt zunächst allgemein für  $F_4$ , die wenigstens einen  $D_2$  besitzen.

168) *G. Darboux*, Paris C. R. 92 (1881), p. 685, 1193.

Projiziert man die Punkte  $(x, y, z, t)$  der  $F_4$  von einem solchen  $D_2$  aus auf eine Bildebene  $E$ , etwa  $t = 0$ , so wird dadurch, wie bei *Clebsch* (s. Nr. 19) die  $F_4$  auf die doppelt gedachte  $E$  abgebildet. Die Übergangskurve, in der beide Blätter von  $E$  zusammenhängen, ist eine  $c_6$  (s. Nr. 63).

Damit gelangt man bereits zu einer irrationalen Darstellung der  $F_4$ , bei der nur eine einzige quadratische Irrationalität auftritt.

In dem besonderen Falle der  $K_m$  zerfällt aber die  $c_6$  in sechs Gerade, die einen Kegelschnitt  $k$  berühren. Bei passender Wahl des Koordinatentetraeders wird  $k$  zum Normkegelschnitt  $y^2 - xz = 0$ . Eine Tangente desselben hat zur Gleichung  $xm^2 + 2ym + z = 0$  mit dem Parameter  $m$ .

Zwei Tangenten ( $m = \varrho$ , und  $m = \varrho_1$ ) bestimmen einen Schnittpunkt  $(\varrho, \varrho_1)$  mit den „Normkoordinaten“  $\varrho, \varrho_1$ . Seien jetzt  $a, b, \dots, f$  die Parameter der obigen sechs Tangenten und setzt man wie früher

$$f_3(x) \equiv (a - x)(b - x)(c - x),$$

$$g_3(x) \equiv (d - x)(e - x)(f - x),$$

so hat man als irrationale Darstellung der  $K_m$

$$(8) \quad x : y : z : t = (a - \varrho)(a - \varrho_1) : (b - \varrho)(b - \varrho_1) : (c - \varrho)(c - \varrho_1) : R,$$

wo

$$(9) \quad R \equiv \frac{\sqrt{f_3(\varrho)g_3(\varrho_1)} \pm \sqrt{f_3(\varrho_1)g_3(\varrho)}}{\varrho - \varrho_1},$$

ähnlich wie bei *Borchardt* und *Cayley*.

An *Darboux* schließt sich noch eine modifizierte Darstellung für die Koordinaten der Punkte der  $K_m$  durch irrationale Funktionen zweier Parameter durch *F. Brioschi*.<sup>169)</sup> Er geht hierbei aus von den 15 algebraischen Funktionen, die sich durch die Beziehung zwischen zwei  $\vartheta$  ausdrücken lassen, und verwendet dann Eigenschaften dieser algebraischen Funktionen, die von *C. Weierstraß* aufgestellt waren.

Faßt man zusammen, so hat man drei Arten von Parameterdarstellungen der  $K_m$  zu unterscheiden (s. auch Nr. 26).

Einmal hat man nach *Cayley* und *Weber* vier geeignet ausgewählte  $\vartheta_i^2 (v_1, v_2)$ , die den Koordinaten  $y_i$  der  $K_m$  proportional sind.

Diese  $\vartheta_i^2$  ersetzt sodann *Borchardt* durch vier linear unabhängige  $\Theta_i$  2. Ordnung, mit der Charakteristik  $\begin{pmatrix} 0 & 0 \\ 0 & 0 \end{pmatrix}$ , die in den  $\vartheta^2$  linear sind. Vermöge quadratischer Transformation der  $\Theta$  geht hieraus die *Borchardtsche* Darstellung der  $K_m$  durch hyperelliptische Funktionen hervor.

169) *F. Brioschi*, Paris C. R. 92 (1881), p. 944.

Drittens hat man die, der Liniengeometrie entstammende *Klein-Rohnsche* Darstellung

$$x_i = \frac{\lambda - u_i}{\sqrt{f'(u_i)}} \frac{\Theta_i(u_1, u_2)}{c_i},$$

von der aus man durch Einführung der doppelten Argumente wiederum zur Darstellung durch hyperelliptische Funktionen gelangt.

Eine vollständige Übersicht findet man bei *W. Reichardt*.<sup>169a)</sup>

Auf den inneren Zusammenhang der transzendenten Darstellungen der  $F_4$  mit  $\bar{C}_2$ , insonderheit der Zykliden  $Z$  (s. Nr. 26), der *Weddleschen* Fläche  $W_d$  (s. Nr. 66) und der *Kummerschen* Fläche  $K_m$  ist schon früher hingewiesen. Diese Zusammenhänge, die sich auch auf einige verwandte Gebilde, so auf eine  $F_2$ , und die gemeinsamen Tangenten zweier  $F_2$  erstrecken, hat neuerdings *E. A. Weiß*<sup>170)</sup> einheitlich zusammengefaßt. Man kann diese Gebilde entweder unabhängig voneinander untersuchen und mit den entsprechenden  $\mathfrak{S}$ -Relationen in Verbindung setzen, oder aber von der Parameterdarstellung eines dieser Gebilde ausgehen und die der übrigen durch geeignete Transformationen daraus gewinnen.

Die Abbildung von *P. Domsch*<sup>53)</sup> (Nr. 26) führt eine Schar von  $F_2$  in eine Schar konfokaler  $Z$  über. Die  $Z$  ihrerseits hängt vermöge der *Lieschen*<sup>154)</sup> Geraden-Kugel-Transformation mit der  $K_m$  zusammen. Von der  $K_m$ , die man als  $F_4$  oder  $\Phi_4$  ansehen kann, führt eine von *Th. Reye*<sup>171)</sup> und *R. de Paolis*<sup>171)</sup> herrührende, und unabhängig von diesen durch *F. Schottky*<sup>172)</sup> mit der  $\mathfrak{S}$ -Theorie verknüpfte Abbildung — oder auch eine von *G. Darboux*<sup>173)</sup> behandelte Verwandtschaft zur  $W_d$ .

169a) *W. Reichardt*, Nova Acta Leop. 50 (1887), p. 1887.

170) *E. A. Weiß*, J. f. Math. 159 (1928), p. 191.

171) *Th. Reye*, J. f. Math. 86 (1879), p. 84, 209; *R. de Paolis*, Rom Linc. Rend. (4) 6<sub>2</sub> (1890), p. 3.

172) *F. Schottky*, J. f. Math. 105 (1889), p. 233. Die 16  $\mathfrak{S}$  zerlegen sich in 6 gerade  $\mathfrak{S}_r$  ( $r = i, \dots, p$ ) und 10 ungerade  $\mathfrak{S}_{ikl} = \mathfrak{S}_{mnp}$ . Man bilde die 20 Produkte vom Typus  $F_{ikl} = \mathfrak{S}_i \mathfrak{S}_k \mathfrak{S}_l \mathfrak{S}_{ikl}$ . Diese lassen sich durch vier geeignete lineare Verbindungen  $x, y, z, w$  linear ausdrücken, die dann Koordinaten einer  $W_d$  sind.

Die 20 Verbindungsebenen ( $ikl$ ) je dreier der sechs Grundpunkte  $G_i$  des zugehörigen  $F_2$ -Gebüsches entsprechen den 20 Gleichungen  $F_{ikl} = 0$ . Die mit dem Produkte  $\Pi$  der geraden  $\mathfrak{S}$  multiplizierten 16  $\mathfrak{S}^2$  verschwinden in allen  $G_i$ . Aus diesen 16 Ausdrücken lassen sich vier linear unabhängige  $X, Y, Z, W$  auswählen, durch die die anderen linear ausdrückbar sind.

Das Quadrat der Funktionaldeterminante der  $X, Y, Z, W$  ist in letzteren rational und liefert, gleich Null gesetzt, die Gleichung der  $K_m$ .

173) *G. Darboux*, Bull. Math. Astr. 1 (1870), p. 348 (Sur les systèmes de coniques et de surfaces du second ordre). Hier finden sich bereits bemerkens-

Weiter hat *F. Caspary*<sup>174)</sup> aus den Relationen zwischen den Elementen orthogonaler Matrizen die *Göpelsche*<sup>158)</sup> biquadratische Relation hergeleitet, und so den Zusammenhang zwischen solchen Matrizen und der  $K_m$  hergestellt.

Es sei noch bemerkt, daß *E. A. Weiß*<sup>175)</sup> unter Deutung der Elemente orthogonaler Matrizen als Koordinaten von Ebenen resp. Geraden die  $K_m$  und  $Z$  liniengeometrisch auf den  $S_4$  abgebildet hat.

Unabhängig von den bisher skizzierten Überlegungen hat *O. Staude*<sup>176)</sup> die Parameterdarstellung der gemeinsamen Tangenten zweier  $F_2$  abgeleitet.

Diese Kette gegenseitiger Zusammenhänge schließt *Weiß*<sup>170)</sup>, indem er die *Staudesche* Parameterdarstellung durch eine gewisse quadratische Transformation aus den beiden Parameterdarstellungen der  $W_a$  gewinnt.

Unter Zugrundelegung der *Schottkyschen* Darstellung der  $W_a$  wird zunächst in Anlehnung an *G. Humbert*<sup>177)</sup> die *Casparysche*<sup>178)</sup> Para-

---

werte Hinweise auf die gegenseitigen Beziehungen zwischen der Kegelspitzenfläche  $F'$  eines  $F_2$ -Gebüsches  $G$  und ihrer Bildfläche  $F''$ , im Sinne von Nr. 66. Hierbei erscheint  $F'$  als Ort der bezüglich aller  $F_2$  in  $G$  konjugierten Punktepaare.

Die 10 Achsen der 10 Ebenenpaare in  $G$  gehören der Fläche  $F'$  an, andererseits entsprechen den 10 Achsen 10  $D_2$  der Bildfläche  $F''$ . Mit jedem Grundpunkte  $G_i$  von  $G$  wächst diese Anzahl der  $D_2$  um Eins; bei sechs Grundpunkten  $G_i$  wird  $F''$  zur *Kummerschen* Fläche  $K_m$  mit 16  $D_2$ . Auch die gegenseitige Beziehung zwischen den Räumen von  $F'$  und  $F''$  wird studiert; so entsprechen den Ebenen des ersteren Raumes  $F'_3$  mit 4  $D_2$  im letzteren Raume, u. s. f.

Die Methode ist rein synthetisch.

174) *F. Caspary*, J. f. Math. 94 (1883), p. 74. Vgl. Note 178).

175) *E. A. Weiß*, Zusatz zu einer Abhandlung von *E. Study* über *Lies* Kugelgeometrie, Berlin Ber. 1926, p. 381.

176) *O. Staude*, Habilitationsschrift Leipzig 1883 = Math. Ann. 22 (1884), p. 1, 145.

177) *G. Humbert*, J. de math. (4) 9 (1893), p. 468. Die  $K_m$  erscheint hier als Sonderfall der „hyperelliptischen“ Flächen  $F$ , deren Punktkoordinaten  $x, y, z$  sich als eindeutige, vierfach-periodische Funktionen von zwei Parametern  $u, v$  darstellen lassen.

Diese Darstellung läßt sich überführen in eine solche durch Quotienten von  $\wp$ 's  $q^{\text{ter}}$  Ordnung, die geeignet normiert werden.

Die Kurven auf  $F$  erhält man durch Nullsetzen von  $\wp$ -Funktionen.

Im Falle der  $K_m$  ( $q = 2$ ) werden die homogenen Koordinaten  $x_i, \dots, x_m$  proportional vier ( $= 2^2$ ) linear unabhängigen geraden  $\wp(u, v)$  2. Ordnung mit der Charakteristik Null. Jedem Punkte  $P$  der  $K_m$  entsprechen, wie bei *Cayley* und *Weber*, zwei Paare  $(u, v)$ ,  $(-u, -v)$ .

Daraufhin werden die Kurven  $C$  auf der  $K_m$  eingehend untersucht, indem  $\wp$  beliebiger Ordnung gleich Null gesetzt werden.

Es gibt nur  $C_{2n}$  gerader Ordnung auf  $K_m$ . Längs einer  $C_{2n}$  läßt sich eine

meterdarstellung abgeleitet. Sodann führt eine Abbildung von der  $W_d$  zu den gemeinsamen Tangenten zweier  $F_2$ . Diese Abbildung vermittelt endlich den Übergang von den *Schottkyschen* Ausgangsformeln zur Parameterdarstellung jener gemeinsamen Tangenten.

**72. Konfigurationen, die der Kummerschen Fläche zugleich ein- und umgeschrieben sind.** Als eine Anwendung der transzendenten Darstellung der  $K_m$  hatte *Rohn* (s. Nr. 71) verschiedene mit ihr verbundene Konfigurationen untersucht. Diese Sätze werden von *F. Klein*<sup>179)</sup> im Zusammenhange dargelegt und weitergeführt.

Wie bei *Rohn* ist die Grundlage die konfokale Schar von quadratischen Komplexen  $K_3$

$$(1) \quad A(\lambda) \equiv \sum \frac{x_i^2}{x_i - \lambda} = 0$$

mit  $K_m$  als Singularitätenfläche. Denkt man sich eine Gerade  $g$  durch ihre Koordinaten  $x_i$  gegeben, so trifft  $g$  die  $K_m$  in vier Punkten 1, 2, 3, 4, und zugleich gehen durch  $g$  vier Ebenen I, II, III, IV. Zu ihrer Bestimmung dient die Gleichung (1) mit ihren Wurzeln als elliptischen Koordinaten von  $g$ .

Jeder Zerlegung der vier Punkte in zwei Paare entspricht rational eine solche der vier Ebenen. Entsprechen sich z. B. die Paare (1, 2), (3, 4) und (I, II), (III, IV), so heißen sie bez.  $K_m$  „konjugiert“.

Ein der  $K_m$  zugleich ein- und umschriebenes Tetraeder  $T$ , für das je zwei seiner Ebenen und die zwei Ecken ihrer Kante konjugiert sind, heißt „ausgezeichnet“. Ein solches Tetraeder  $T$ , deren es  $\infty^5$  gibt, steht zu den vier Wurzeln von (1) in enger Beziehung.

Nimmt man für ein  $T$  eine Ebene  $E$  (als Ebene von  $K_m$ ) beliebig an, ferner auf der Schnittkurve von  $E$  mit  $K_m$  drei Ecken von  $T$ , so

$F_n$  umbeschreiben. Sodann werden die  $C_{2n}$  bei vorgegebenem  $n$  hinsichtlich ihrer Scharen und Familien verfolgt. Adjungiert man noch evtl. ein bis vier  $C_2$ , so läßt sich eine  $C_{2n}$  als voller Schnitt der  $K_m$  mit einer Fläche  $F$  erhalten. So gelangt man zu 216 Scharen von  $C_6$ , zu 32 Familien von  $C_8$ , usf.

Es sei noch auf eine andere Arbeit von *Humbert*, Paris C. R. 120 (1895), p. 863, hingewiesen, wo eine gewisse, durch *Abelsche* Funktionen ( $p = 3$ ) definierte  $F_6$  in Zusammenhang mit der  $K_m$  und der Theorie der ebenen Kurven 4. Klasse  $\gamma_4$  gebracht wird.

178) *F. Caspary*, Paris C. R. 112 (1891), p. 1356. Hier tritt, gegenüber *Schottky*<sup>178)</sup>, die Vereinfachung ein, daß die Koordinaten einer  $W_d$  Produkte von nur drei  $\wp$  (darunter einer ungeraden) werden.

In einer anschließenden Arbeit, Bull. Math. Astr. (2) 15 (1891), p. 308, werden statt der  $\wp$  hyperelliptische Funktionen 1. Gattung eingeführt, die zu einfacher, expliziter wie impliziter Darstellung der  $W_d$  führen. Hier findet man auch ausführliche Literaturangaben über die  $W_d$ .

179) *F. Klein*, Math. Ann. 27 (1886), p. 106.

ist  $T$  bestimmt, und mittels konjugierter Paare einfach konstruierbar. Aus solchen  $T$  setzen sich weitere Konfigurationen zusammen, die wiederum der  $K_m$  ein- und umbeschrieben sind.

So entsteht u. a. eine gewisse Konfiguration  $(16)_6$ , die von  $D_2$  und  $\Delta_2$  einer neuen *Kummerschen* Fläche  $K'_m$  gebildet wird. Jedes  $T$ , daß sich aus Ebenen und Ecken der Konfiguration bilden läßt, ist bez.  $K_m$  ausgezeichnet. Zwischen  $K_m$  und  $K'_m$  besteht volle Gegenseitigkeit. Setzt man

$$(2) \quad f(\lambda) \equiv (\lambda - \alpha_1) \dots (\lambda - \alpha_6),$$

so seien die beiden zu  $K_m$  gehörigen hyperelliptischen Integrale  $v_1, v_2$

$$(3) \quad v_1 = \int \frac{d\lambda}{\sqrt{f(\lambda)}}, \quad v_2 = \int \frac{\lambda d\lambda}{\sqrt{f(\lambda)}}.$$

Diese werden auf der zu  $\sqrt{f(\lambda)}$  gehörigen zweiblättrigen *Riemannschen* Fläche  $F$  hinerstreckt, wobei als untere Grenze etwa der Verzweigungspunkt  $\alpha_6$  genommen werde. Man hat dann für  $v_1$  und  $v_2$  je die fünf Perioden

$$(4) \quad P_i = 2 \int_{\alpha_6}^{\alpha_i} dv \quad \text{mit} \quad \sum P_i = 0.$$

Man führe noch eine zweite, 32-blättrige Fläche  $F_1$  ein, die zu der Proportion  $\sqrt{\lambda - \alpha_1} : \sqrt{\lambda - \alpha_2} : \dots : \sqrt{\lambda - \alpha_6}$  gehört. Die  $v$  werden

hierbei von der Form  $\int \frac{d\lambda}{\sqrt{\lambda - \alpha_i}}$ , bei geeigneter Normierung der Wurzelvorzeichen.

Jeder  $g(\lambda_1, \lambda_2, \lambda_3, \lambda_4)$  entspricht ein Punktquadrupel auf  $F_1$ . Für  $\lambda_3 = \lambda_4$  erhält man eine Tangente der  $K_m$ , für  $\lambda_2 = \lambda_3 = \lambda_4$  eine Haupttangente, für  $\lambda_1 = \lambda_2, \lambda_3 = \lambda_4$  eine Gerade durch einen  $D_2$  oder in einer  $\Delta_2$ , usf.

Im Falle einer Tangente seien  $u', u''$  die beiden ungleichen  $v$ -Parameterpaare, dem Berührungspunkte gebe man die Parameter  $U = u'_1 - u''_1$ ,  $U_2 = u'_2 - u''_2$  und der Berührungsebene die Parameter  $(U_1) = u'_1 + u''_1$ ,  $(U_2) = u'_2 + u''_2$ .

Umgekehrt gehört zu jedem Paare  $U_1, U_2$  resp.  $(U_1), (U_2)$  stets nur ein Punkt resp. eine Ebene der  $K_m$ .

Mit Hilfe dieser neuen Parameter werden zunächst die hyperelliptischen  $c_4$  untersucht, die die Ebenen von  $K_m$  aus ihr ausschneiden; diese  $c_4$  lassen sich auf die Fläche  $F$  eindeutig beziehen.

An einer solchen  $c_4$  werden die Integrale  $v$  hinerstreckt und das *Abelsche* Theorem für Schnitte mit Geraden (und Kegelschnitten) aufgestellt. Hieraus erwächst das entsprechende Theorem für den Schnitt von  $K_m$  mit einer Geraden. Ferner lassen sich so die Kongruenzen

angeben, denen die Parameter einer Geraden zu genügen haben, damit sie durch einen gegebenen Punkt von  $K_m$  geht, usf.

Konjugierte Punkte und Ebenen sind jetzt dargestellt durch

$$(U), (U) + 2v_1 + 2v_2; (U) + 2v_1, (U) + 2v_2.$$

Mit diesen transzendenten Mitteln lassen sich die obigen Konfigurationen einfach und übersichtlich behandeln, wobei sich eine Reihe von Verallgemeinerungen von selbst anschließt.

Zugleich ergeben sich damit 32 weitere Transformationen, die die  $K_m$  in sich überführen (s. Nr. 69).

**73. Das Cayleysche Tetraedroid und die Wellenfläche.** Das Tetraedroid  $T_c$  ist ein besonderer Fall der  $K_m$ ; die 16  $D_2$  liegen zu je vier auf den Seiten eines Tetraeders und bilden in ihnen vollständige Vierecke, deren Diagonalepunkte in den bezüglichen Ecken liegen. Diese Fläche hat Cayley<sup>180</sup>) gefunden und in zwei weiteren Abhandlungen<sup>181</sup>) eingehend untersucht, in der letzteren als Spezialfall der  $K_m$ . Aus einer einfachen Raumtransformation leitet die Fläche *Timerding*<sup>182</sup>) her.

Die vier Tangentialkegel in den einer Tetraederseite angehörigen  $D_2$  sind zugleich Tangentialkegel einer  $F_2$ , von der das Tetraeder ein Poltetraeder ist. Die Koordinaten der 16  $D_2$  bilden eine Matrix von der Form

$$(1) \quad |0, \pm a_{ik}, \pm a_{il}, \pm a_{im}|,$$

wo  $a_{rs} = a_{sr}$ .

Legt man also durch zwei Paare von  $D_2$ , die mit einer bestimmten Tetraederecke inzident sind, die Verbindungsebene, so enthält diese noch ein drittes Paar von  $D_2$ .

Die so erhaltenen Ebenen bilden dual vier vollständige Vierfläche, deren Scheitel die vier Tetraederecken sind, während ihre Dia-

180) *A. Cayley*, *J. de math.* 11 (1846), p. 291 (Sur la surface des ondes).

181) *A. Cayley*, *J. f. Math.* 65 (1866), p. 284; ib. 87 (1879), p. 161. — Ein einfaches Kriterium dafür, daß sich eine  $K_m$  auf eine  $T_c$  reduziert, hat *J. J. Hutchinson* angegeben, *Annals Math.* 11 (1897), p. 198; *Amer. Math. Soc. Bull.* (2) 4 (1898), p. 327.

Die Punkte der  $K_m$ , wie auch der zugehörigen  $W_d$ , waren darstellbar durch hyperelliptische Funktionen ( $p=2$ ) von zwei hyperelliptischen Integralen  $v_1, v_2$  (s. Nr. 71).

Das fragliche Kriterium lautet dann, daß die sechs, den  $u, v$  gemeinsamen Verzweigungspunkte in Involution liegen, wobei sich beide Integrale auf elliptische 1. Gattung reduzieren.

Auch die sechs Grundpunkte  $G_i$  des zugehörigen  $F_2$ -Gebüsches liegen dann auf ihrer  $C_3$  in Involution. Überdies gehören dann der  $W_d$  (außer den bereits vorhandenen 25  $g$ ) noch zwei weitere  $g$  an.

182) *H. E. Timerding*, *Ann. di mat.* (3) 1 (1898), p. 95.

gonalebene mit den Seiten des Tetraeders zusammenfallen. Die Gleichungen dieser Ebenen lauten

$$(2) \quad \pm a_{im}x_k \pm a_{mk}x_i \pm a_{ki}x_m = 0, \text{ usf.};$$

sie stellen die 16, je sechs  $D_2$  enthaltenden Doppalebene  $\Delta_2$  dar, entsprechend der allgemeinen Theorie der  $K_m$ . Die Gleichung der Fläche  $T_c$  lautet mittels einer fünfreihigen Determinante

$$(3) \quad T_c \equiv \begin{vmatrix} 0 & x_i^2 & x_k^2 & x_l^2 & x_m^2 \\ x_i^2 & 0 & a_{ik}^2 & a_{il}^2 & a_{im}^2 \\ \vdots & \vdots & \vdots & \vdots & \vdots \end{vmatrix} = 0,$$

ist also in den  $x^2$  quadratisch. Auf  $T_c$  liegen zwei Scharen von  $C_4$ , die das Grundtetraeder zum Poltetraeder haben.

Es gibt eine transzendente explizite Darstellung der  $T_c$  in elliptischen Funktionen  $su, cu, du$ , mit den Argumenten  $u, v$  und den Moduln  $\lambda, \lambda$

$$(4) \quad x_1 : x_2 : x_3 : x_4 = su(\lambda, u) du(\lambda, v) : cu(\lambda, u) cu(\lambda, v) : du(\lambda, u) su(\lambda, v) : 1.$$

Die beiden obigen Scharen von  $C_4$  fallen mit den Parameterkurven  $u = \text{konst.}, v = \text{konst.}$  zusammen.

Gewisse  $F_4$  lassen sich nach *K. Rohn*<sup>183)</sup> auf mehrere Arten als Tetraedroid  $T_c$  ansehen.

Wir kommen zur Wellenfläche  $W_i$ . Die *Fresnelsche* Wellenfläche  $W_i$ <sup>184)</sup> ist wiederum ein (metrischer) Spezialfall des Tetraedroids  $T_c$ . Es sind für sie nur vier der  $D_2$  reell. Bei der ungemessenen Ausdehnung der Literatur beschränken wir uns auf das Wesentlichste.

*Fresnel* gelangte zu ihr (1827) bei der Untersuchung der Fortpflanzung des Lichtes in doppelt brechenden Medien. Geometrisch erzeugt er die Fläche, indem er im Mittelpunkte eines Ellipsoides auf dessen Zentralschnitten Lote gleich den Achsenlängen der Schnittellipse abträgt. Damit erhält er die Gleichung der  $W_i$ , wenn  $\varrho^2 = x^2 + y^2 + z^2$  gesetzt wird, in der übersichtlichen Gestalt

$$(5) \quad W_i \equiv \frac{x^2}{\varrho^2 - a^2} + \frac{y^2}{\varrho^2 - b^2} + \frac{z^2}{\varrho^2 - c^2} - 1 = 0.$$

183) *K. Rohn*, Leipzig Ber. 1884, p. 10. *C. Segre*, ib. p. 132, fügt den Fall hinzu, wo sich eine  $F_4$  auf sechs Arten als  $T_c$  ansehen läßt. Vgl. auch *E. Bertini*, Lomb. Ist. Rend. (2) 29 (1896), p. 566.

184) *J. Fresnel*, Paris Mém. 7 (1827), p. 126. Von weiterer Literatur sei erwähnt: *M. Ampère*, Ann. Chim. Phys. 39 (1828), p. 113; *A. Cauchy*, Exerc. de math. Bd. 5 (1830); Paris C. R. 13 (1841), p. 319; *J. Plücker*, J. f. Math. 19 (1839), p. 1, 91. Ein Literaturverzeichnis (bis 1896) gibt *G. Loria*, Il passato e il presente delle principali teorie geometriche, Torino 1896, p. 114 ff. — Bezüglich der Einzeleigenschaften der  $W_i$  sei auf „*Salmon-Fiedler*“, p. 323 ff., verwiesen.

Die Hauptebenen  $x = 0, y = 0, z = 0$  schneiden die  $W_i$  je in einer Ellipse und einem Kreise; in der  $E_\infty$  wird der Kreis der Kugelkreis  $K$ .

Sei, wie üblich,  $a^2 > b^2 > c^2$ , so ergeben sich in

$$(6) \quad x = \pm c \sqrt{\frac{a^2 - b^2}{a^2 - c^2}}, \quad y = 0, \quad z = \pm a \sqrt{\frac{b^2 - c^2}{a^2 - c^2}}$$

die Koordinaten der vier reellen  $D_2$ . Hieraus geht die von *H. Weber*<sup>185)</sup> gegebene Darstellung durch elliptische Funktionen hervor.

Bezüglich der Krümmungslinien der  $W_i$  s. Nr. 74.

Auch die Klassengleichung der  $W_i = \Omega_i$  nimmt eine einfache Gestalt an. Setzt man  $\sigma^2 = u^2 + v^2 + w^2$ , so hat man

$$(7) \quad \Omega_i \equiv \frac{u^2}{a^2\sigma^2 - 1} + \frac{v^2}{b^2\sigma^2 - 1} + \frac{w^2}{c^2\sigma^2 - 1} = 0;$$

die  $\Omega_i$  ist also eine  $\Phi_4$ , wie es sein muß.

**74. Die Haupttangentenkurven und die Krümmungslinien auf der Wellenfläche.** Die Differentialgleichungen dieser Kurven lassen sich zwar durch Spezialisierung aus denen der entsprechenden Kurven auf der *Kummerschen* Fläche  $K_m$  (s. Nr. 70) herleiten, und so im besonderen auch die geometrischen Eigenschaften der ersteren Gattung für die  $W_i$  gewinnen.

Es empfiehlt sich aber auch, nach dem Vorgange von *G. Darboux*<sup>186)</sup>, ein direktes Verfahren, das überdies manche neuen Gesichtspunkte eröffnet.

Seien  $P(x, y, z)$  irgendein Punkt einer zunächst beliebigen Fläche  $F$ ,  $n$  die orientierte Normale mit den Richtungskosinus  $p, q, r$ , und  $p', q', r'$  die Determinanten der Matrix  $\begin{vmatrix} p & q & r \\ x & y & z \end{vmatrix}$ , so daß  $\sum pp' = 0$ , so lassen sich die sechs Größen  $p, \dots, p', \dots$  als homogene Strahlenkoordinaten von  $n$  ansehen. Dann nehmen die Differentialgleichungen der Haupttangentenkurven (a), resp. der Krümmungslinien (b), die elegante Gestalt an

$$\begin{cases} (a) & \sum dp dx = 0, \\ (b) & \sum dp dp' = 0. \end{cases}$$

Dies finde seine Anwendung auf die Wellenfläche  $W_i$  mit dem Mittelpunkt  $O$ .

Die Gerade  $OP$  treffe  $W_i$  auf derselben Seite in einem zweiten

185) *H. Weber*, J. f. Math. 84 (1878), p. 332. Vgl. *A. Cayley*, Quart. J. 3 (1860); Ann. di mat. (2) 20 (1892), p. 1; *O. Böcklen*, Ztschr. Math. Phys. 24 (1879), p. 400; 25 (1880), p. 346; 27 (1882), p. 160; *G. Darboux*, Paris C. R. 97 (1882), p. 1133; *E. Lacour*, Nouv. Ann. (3) 17 (1898), p. 266.

186) *G. Darboux*, Paris C. R. 97 (1883), p. 1039, 1133.

Punkte  $P_1$ ; die parallelen Tangentialebenen in  $P, P_1$  seien  $T, T_1$ , und  $\alpha, \beta'$  die Quadrate der Abstände von  $O$  und  $T$  resp.  $T_1$ . Endlich seien  $\beta, \alpha'$  die Quadrate der Radienvektoren  $(OP)$  resp.  $(OP_1)$ . Bedeuten  $a, b, c$  gewisse Konstanten, so besteht die Identität

$$(c) \quad x(x - \beta)(x - \beta') - (x - a)(x - b)(x - c) \equiv \frac{abc}{\alpha\alpha'}(x - \alpha)(x - \alpha'),$$

die zwei Relationen zwischen den  $\alpha, \beta, \alpha', \beta'$  liefert.

Setzt man dann

$$(d) \quad x = C \left( \frac{a - \alpha}{\alpha} \right)^{m_1} \left( \frac{a - \alpha'}{\alpha'} \right)^{m_2} (a - \beta)^{n_1} (a - \beta')^{n_2}, \text{ usf.},$$

wo  $y, z$  aus  $x$  hervorgehen, indem man die Konstante  $C$  durch  $C', C''$  und entsprechend  $a$  durch  $b, c$  ersetzt, so liegt in (d) die explizite Darstellung einer Fläche vor, die die Wellenfläche  $W_1$  als Sonderfall ( $m_1 = n_2 = 0, m_2 = n_1 = \frac{1}{2}$ ) enthält.

Aus (d) ergeben sich die Größen  $p, q, r$  durch

$$(e) \quad p = \frac{1}{C(a-b)(a-c)} \left( \frac{a - \alpha}{\alpha} \right)^{m_1} \left( \frac{a - \alpha'}{\alpha'} \right)^{1 - m_2} (a - \beta)^{1 - n_1} (a - \beta')^{1 - n_2}, \text{ usf.}$$

Genügen dann noch die Exponenten in (d) der Bedingung

$$(f) \quad m_1 + n_1 + m_2 + n_2 = 0,$$

wie es bei der  $W_1$  der Fall ist, und setzt man zur Abkürzung

$$(g) \quad f(x) \equiv (x - a)(x - b)(x - c),$$

so lautet die „elliptische“ Differentialgleichung der Haupttangentialkurven

$$(a') \quad \frac{(d\beta)^2}{f(\beta)} = \frac{(d\beta')^2}{f(\beta')},$$

wo die Variablen  $\beta, \beta'$  bereits separiert sind.

Vermöge des Additionstheorems der elliptischen Integrale erster Gattung ergibt sich aus (a') die algebraische Beziehung zwischen  $\beta$  und  $\beta'$ .

Diesem Ergebnis gibt *Darboux* eine einfache geometrische Deutung. Die Geraden, die die Seiten eines Tetraeders  $T$  nach konstantem Doppelverhältnis  $K$  treffen, erfüllen bekanntlich einen quadratischen Komplex, den sogenannten „tetraedralen“.

Mithin sind die durch einen festen Raumpunkt  $Q$  gehenden Geraden des Komplexes die Kanten eines Kegels 2. Ordnung  $K_2$  mit der Spitze  $Q$ .

Unter Anwendung auf die Wellenfläche  $W_1$  seien die Seiten von  $T$  die drei Hauptebenen  $x = 0, y = 0, z = 0$  nebst  $E_\infty$ , und  $Q$  gehöre der  $W_1$  an. Legt man endlich noch dem Kegel  $K_2$  die Bedingung auf, die  $W_1$  zu berühren, so beschreibt die Spitze  $Q$  eine Haupttan-

gentenkurve der  $W_i$ ; läßt man hinterher die Konstante  $\alpha$  variieren, so hat man die ganze Schar der Haupttangentialkurven.

Es werden auch noch gewisse weitere Flächengattungen mit derselben Eigenschaft angegeben.

Weniger einfach verhält es sich mit den Krümmungslinien der  $W_i$ .

Ein Versuch von *P. Zech*<sup>187)</sup>, deren Differentialgleichungen direkt zu integrieren, mißlang, wie<sup>188)</sup> *E. Combescure* und *F. Brioschi* feststellten. Durch geeignete Wahl von Parameterkurven brachten beide Autoren die Gleichung der Krümmungslinien auf gewisse kanonische Formen.

*Darboux* (l. c.) untersucht zuvörderst die Krümmungslinien einer beliebigen Fläche oder auch ihrer Projektionen auf eine Tangentialebene in der Nähe eines Nabelpunktes. Diese Kurven sind im allgemeinen nicht algebraisch, sondern nur dann, wenn drei gewisse, in der Gleichung auftretende Konstante  $A, B, C$  rationale Zahlwerte besitzen. Diese Bedingung ist aber bei der  $W_i$  erfüllt.

Somit sind die Krümmungslinien der  $W_i$  in der Nähe eines Nabelpunktes algebraisch und haben die Gestalt gewisser  $C_{10}$ . Hieraus läßt sich aber noch kein Schluß auf den Gesamtcharakter der Kurven ziehen.

Die Differentialgleichung der Krümmungslinien der  $W_i$  läßt sich auf die einfache Form bringen

$$(b') \quad f(\alpha)(d\beta)^2 + f(\beta)(d\alpha)^2 \\ - d\alpha d\beta \left[ 2f(\alpha) + (\beta - \alpha) \left\{ f'(\alpha) - \frac{f(\alpha)}{\alpha} \right\} \right] = 0.$$

Sie hat die bemerkenswerte Eigenschaft, daß ihre Gestalt bei Vertauschung von  $\beta$  mit  $\beta'$  ungeändert bleibt.

In dem besonderen Falle, wo sich die kubische Form  $f(x)$  auf eine quadratische reduziert, läßt sich die Gleichung (b') integrieren. Setzt man

$$(h) \quad xf(x) \equiv \varphi(x), \quad v \equiv \alpha(\beta - \alpha), \quad w \equiv \frac{\varphi(\alpha)}{v},$$

und führt neue Variable  $y, p$  derart ein, daß

$$(i) \quad \alpha - w \frac{d\alpha}{dw} \equiv y, \quad -w \equiv \frac{dy}{dp}, \quad \frac{d\alpha}{dw} \equiv p, \quad \alpha \equiv y - p \frac{dy}{dp},$$

so geht (b') über in

$$(b'') \quad \int \frac{dp}{p^{\frac{2}{3}}(1+p)^{\frac{1}{3}}} = \int \frac{dy}{\varphi(y)^{\frac{1}{3}}}.$$

Es fragt sich nun, wann tritt bei der  $W_i$  der obige Spezialfall ein?

187) *P. Zech*, J. f. Math. 54 (1857), p. 72; 55 (1858), p. 94.

188) *E. Combescure*, Ann. di mat. 2 (1859), p. 278; *F. Brioschi*, ib. p. 285.

S. auch Art. „ $F_3$ “, Nr. 23, Note 117.

Dies ist erstens der Fall, wenn, gemäß der Konstruktion der  $W_i$ , aus einem Ellipsoide, an die Stelle des letzteren ein Zylinder tritt.

Oder aber, wenn sich das Ellipsoid, und damit auch die  $W_i$  selbst, nur wenig von einer Kugel unterscheidet, wie das bei den in der Optik vorkommenden Wellenflächen  $W_i$  in der Tat der Fall ist.

Hier lassen sich also die Krümmungslinien der  $W_i$  als bekannt ansehen.

Dagegen können, wie *Darboux* aus seinen Entwicklungen folgert, die Krümmungslinien der  $W_i$  im allgemeinen keine algebraischen Kurven bestimmter Ordnung sein.

Eine vollständige Lösung der Aufgabe wäre wünschenswert.

## XII. Regelflächen vierter und höherer Ordnung.

**75. Einleitung über Regelflächen 4. Ordnung  $R-F_4$ .** Der erste, der sich mit  $R-F_4$  und ihrer Erzeugung beschäftigte, scheint *M. Chasles*<sup>189</sup>) gewesen zu sein; er studiert auch Kurven auf der Fläche. So dann hat sie *A. Cayley*<sup>190</sup>) in einer Reihe von Arbeiten nach verschiedenen Richtungen hin untersucht.

Eine vollständige Klassifikation ihrer 13 Arten gelang aber erst auf rein geometrischem Wege *L. Cremona*<sup>191</sup>), dessen Abhandlung von 1868 immer noch als grundlegend anzusehen ist. Bei der Einteilung wird das Verhältnis der  $R-F_4$  zur jeweiligen Reziprokalfläche, sowie die Natur der Doppelkurve berücksichtigt. Liniengeometrisch hat *A. Voss*<sup>192</sup>) die  $R-F_4$  untersucht und insbesondere das Auftreten singulärer Torsalgeraden verfolgt. Eine übersichtliche Ableitung der *Cremonaschen* Er-

189) *M. Chasles*, Paris C. R. 53 (1861), p. 888.

190) *A. Cayley*, London Trans. 153 (1863), p. 453. In einer zweiten Arbeit, ib. 154 (1864), p. 559, werden bei der Klassifikation acht Arten von  $R-F_4$  unterschieden und ihre Gleichungen diskutiert. — In einer dritten Arbeit, ib. 189 (1869), p. 111, werden vier weitere Arten hinzugefügt.

191) *L. Cremona*, Bologna Mem. (2) 8 (1868), p. 235.

192) *A. Voss*, Math. Ann. 8 (1874), p. 54. Bezüglich der Torsalgeraden vgl. auch *R. Sturm*, Math. Ann. 6 (1873), p. 255; *H. Schubert*, Math. Ann. 17 (1880), p. 574; *F. E. Björling*, Stockholm Öfs. 15 (1888), p. 587; Stockholm Vet. Bih. XV. *Sturm* und *Schubert* bestimmen die Anzahl der Torsalgeraden  $h_i$  einer  $R-F_n$ , vom Range  $r$ , als  $2(r-n)$ , ersterer direkt, letzterer mittels einer Formel aus der abzählenden Geometrie.

Man beachte noch den charakteristischen Unterschied zwischen einer Torsalgeraden  $h_i$  und einer beliebigen Erzeugenden  $h$  einer  $R-F$ . Bei einer beliebigen  $h$  sind deren Punkten  $P$  ihre Tangentialebenen  $T$  projektiv zugeordnet. Für eine  $h_i$  artet aber diese Projektivität aus; es gibt einen ausgezeichneten Punkt  $P'$  auf  $h_i$ , dem alle  $T$  entsprechen, und vice versa eine ausgezeichnete Ebene  $T'$ , der alle  $P$  entsprechen.

gebnisse von einem einzigen Transformations-Gesichtspunkte aus (s. u. Nr. 82) hat neuerdings Wong gegeben.

**76. Die abwickelbare  $R-F_4$ .** Sie hat zur Rückkehrkante eine (irreduzible) kubische Raumkurve  $C_3 = \Gamma_3$ , deren Tangenten  $t$  die  $R-F_4$  erzeugen, während die Tangentialebenen  $T$  der  $R-F_4$  längs der  $\Gamma_3$  zugleich deren (Schmiegungs-)Ebenen  $\Sigma$  sind und ein „kubisches Ebenengewinde“ bilden. Die Ebene  $\Sigma$  schneidet jeweils aus der  $R-F_4$  noch eine  $C_2$  aus, den Ort der Spuren der  $t$  in  $\Sigma$ . Das sind die  $\infty^1 C_2$  auf der  $R-F_4$  (s. Kummer, Nr. 6).

Wählt man die  $C_3 = \Gamma_3$  als Normkurve  $N_3 = N_3$  (s. Nr. 3)

$$(1) \quad \begin{array}{l} N_3 \} x_3 : x_2 : x_1 : x_0 = \lambda^3 : 3\lambda^2 : 3\lambda : 1, \\ N_3 \} u_3 : u_2 : u_1 : u_0 = 1 : -\lambda : \lambda^2 : -\lambda^3, \end{array}$$

und bezeichnet die Determinanten der Matrix

$$(2) \quad \begin{vmatrix} 3x_3 & x_2 & x_1 \\ & x_2 & x_1 \\ & & 3x_0 \end{vmatrix}$$

mit  $\varphi, \psi, \chi$ , so daß

$$(3) \quad \varphi \equiv 3x_1x_3 - x_2^2, \quad \psi \equiv x_1x_2 - 9x_0x_3, \quad \chi \equiv 3x_0x_2 - x_1^2,$$

so erhält man als Gleichung der  $R-F_4$

$$(4) \quad \psi^2 + 4\varphi\chi = 0.$$

Diese  $R-F_4$  ist vom Geschlecht Null.

**77. Die  $R-F_4$  mit dreifacher Geraden  $\bar{g}$ . Unterarten.** Diese Flächen sind als  $F_4$  mit  $\infty^1 D_3$  bereits in Nr. 40 berücksichtigt worden, insbesondere hinsichtlich ihrer Abbildung auf eine Ebene, so daß wir uns hier auf einige Ergänzungen beschränken können.

Die Fläche läßt sich geometrisch am einfachsten erzeugen als Ort der Schnittlinien der Ebenen  $E$  eines Büschels  $B$  mit den Ebenen  $\Sigma$  eines auf  $B$  projektiv bezogenen kubischen Gewindes  $\Gamma_3$ ; die Achse von  $B$  wird zur  $\bar{g}$  der Fläche. Stellt man das Gewinde  $\Gamma_3$  allgemein dar durch eine Gleichung von der Form

$$(5) \quad \Gamma \equiv u_0\lambda^3 + 3u_1\lambda^2 + 3u_2\lambda + u_3 = 0,$$

wo die  $u$  beliebige Linearformen der  $x$  bedeuten, und das Büschel  $B$  mit der Achse ( $x_i = x_k = 0$ ) durch

$$(5') \quad B \equiv x_i - \lambda x_k = 0,$$

so liefert die Elimination von  $\lambda$  als Gleichung der  $R-F_4$  mit der  $\bar{g}$  ( $x_i = x_k = 0$ )

$$(6) \quad u_0x_i^3 + 3u_1x_i^2x_k + 3u_2x_ix_k^2 + u_3x_k^3 = 0.$$

Dies war aber gerade die frühere (Nr. 40) zugrunde gelegte Darstel-

lung einer  $F_4$  mit  $\bar{g}$ ; man gelangt also umgekehrt von (6) aus sofort wieder zu den beiden projektiv bezogenen Gebilden  $B$  und  $\Gamma_3$  zurück.

Fallen im besonderen zwei von den drei  $\lambda$ -Wurzeln der Gleichung (5) zusammen, so gelangt man zu einem „Torsalpunkt“ der  $F_4$  auf  $\bar{g}$ . Ist also  $D(\lambda)$  die Diskriminante von (5) bez.  $\lambda$ , so liefert  $D = 0$  die vier Torsalpunkte, die Schnittpunkte von  $\bar{g}$  mit der abwickelbaren  $R-F_4$  von  $\Gamma_3$  (s. oben Nr. 76). Von jedem der Torsalpunkte gehen zwei benachbarte Regelstrahlen  $h$  der Fläche aus; deren Verbindungsebene ist eine „Torsalebene“ der Fläche, die sie längs der ganzen Geraden  $h$  berührt.

*Unterarten der  $R-F_4$  mit  $\bar{g}$ .* Im allgemeinen (s. Nr. 40) liegen die drei von irgendeinem Punkte der  $\bar{g}$  ausgehenden Regelstrahlen  $h_1, h_2, h_3$  nicht in einer Ebene.

Die Gleichung der Fläche läßt sich dann, vermöge geeigneter Wahl des Koordinatentetraeders, auf die Normalgestalt bringen

$$(6_\alpha) \quad x_i^2 x_l + x_k^2 x_m - \rho x_i^2 x_k^2 = 0 \quad (\rho \neq 0),$$

wo  $l \equiv ax_i + bx_k$  und  $m \equiv cx_i + dx_k$  Linearformen in  $x_i$  und  $x_k$  bedeuten.

Liegen dagegen im besonderen die drei Regelstrahlen  $h_1, h_2, h_3$  einmal, und da dann die Konstante  $\rho$  den Wert Null annehmen muß, stets in einer Ebene, so reduziert sich die Gleichung (6<sub>α</sub>) auf

$$(6_\beta) \quad x_i^3 x_l + x_k^2 x_m = 0,$$

und die Gerade  $x_l = x_m = 0$  gehört als einfache Leitlinie  $e$  der Fläche an. Umgekehrt führt die Forderung einer solchen Leitlinie  $e$  für die Fläche (6<sub>α</sub>) eben zur vorliegenden Fläche (6<sub>β</sub>).

Führt man in (6<sub>β</sub>) die Parameter  $\frac{x_i}{x_k} = \lambda, \frac{x_l}{x_m} = \mu$  ein, so stellt (6<sub>β</sub>) eine (3, 1)-deutige Korrespondenz zwischen  $\lambda$  und  $\mu$  dar, und umgekehrt läßt sich eine beliebige solche Korrespondenz vermöge geeigneter linearer Umformung von  $\mu$  in die Gestalt (6<sub>β</sub>) setzen. Damit hat man:

„Der Typus (6<sub>β</sub>) von  $R-F_4$  mit einer dreifachen Geraden  $\bar{g}$  und einer einfachen Leitgeraden  $e$  läßt sich erzeugen durch die Schnittgeraden entsprechender Ebenen in einer (3, 1)-Korrespondenz der beiden Büschel ( $\bar{g}$ ) und ( $e$ ), oder auch dualistisch, durch die Verbindungsgeraden entsprechender Punkte in einer (3, 1)-Korrespondenz der beiden Punktreihen ( $\bar{g}$ ) und ( $e$ ). Und umgekehrt.“ Diese Fläche ist also ihre eigene Reziproke..

Andererseits verlange man, daß in (6<sub>α</sub>) die beiden Linearformen  $l, m$  einander proportional werden, so daß die Resultante  $R \equiv ad - bc$

von  $l$  und  $m$  verschwindet. Dann verwandelt sich  $(6_\alpha)$ , für  $l \equiv ax_i + bx_k$ , in

$$(6_\gamma) \quad l(x_i^2 x_i + x_k^2 x_m) - \rho x_i^2 x_k^2 = 0.$$

Die  $\bar{g}$  berührt jetzt die abwickelbare Fläche des Gewindes  $\Gamma_3$ , und von den drei durch einen beliebigen Punkt von  $\bar{g}$  gehenden Regelstrahlen  $h_1, h_2, h_3$  fällt immer einer, etwa  $h_1$ , in die  $\bar{g}$ .

Diese Fläche ist erzeugbar als Ort aller Geraden, die entsprechende Punkte einer festen Geraden  $g$  und eines zu dieser in einer (1, 2)-Korrespondenz stehenden Kegelschnittes  $k$  verbinden; hierbei ist angenommen, daß sich  $k$  und  $g$  in einem Punkte treffen, der als Punkt von  $g$  nicht mit einem der beiden ihm auf  $k$  entsprechenden Punkte zusammenfällt.

Ein noch speziellerer Fall bietet sich dar, wenn sich die Gleichung der  $R-F_4$  in die Gestalt bringen läßt

$$(6_\delta) \quad x_k(x_i^2 x_i + x_k^2 x_m) - x_i^4 = 0.$$

Die Ebene  $x_k = 0$  enthält nur die  $\bar{g}$  und berührt die  $R-F_4$  längs ihr, ist also eine „Torsalebene“.

Es folgt weiter der Typus

$$(6_\epsilon) \quad f_2(x_i, x_k)(x_i x_i + x_k x_m) - \rho x_i^2 x_k^2 = 0 \quad (\rho \neq 0).$$

Durch jeden Punkt der  $\bar{g}$  geht (außer dieser) nur ein Regelstrahl  $h$ . Für zwei Punkte von  $\bar{g}$  fällt  $h$  mit  $\bar{g}$  zusammen, entsprechend den Wurzeln von  $f_2 = 0$ . Diese beiden Punkte koinzidieren in dem Sonderfalle

$$(6_\zeta) \quad f_1^2(x_i, x_k)(x_i x_i + x_k x_m) - \rho x_i^2 x_k^2 = 0 \quad (\rho \neq 0).$$

Von den drei durch die  $\bar{g}$  gehenden Mänteln der Fläche koinzidieren zwei zu einem „Kuspidalmantel“.

Eine beliebige Ebene schneidet die Fläche in einer  $r_4$ , deren  $d_3$  auf  $\bar{g}$  aus einer Spitze besteht, durch die ein weiterer Kurvenzweig geht.<sup>193)</sup>

Damit sind die  $R-F_4$  mit einer  $\bar{g}$  erschöpft.

Bei den weiteren Fällen tritt stets die Erscheinung ein, daß die Punkte der — irreduziblen oder auch reduziblen — Doppelkurve  $\bar{C}$  (2, 2)-deutig aufeinander bezogen sind. Dies läßt sich nach *K. Rohn*<sup>194)</sup> bei Berücksichtigung der Realitätsunterabteilungen mit Vorteil verwerten.

Vermöge linearer Umformung läßt sich die obige (2, 2)-Korrespondenz auf eine symmetrische Gestalt bringen, die sich dann weiterhin spezialisieren läßt.

193) *K. Rohn*, Math. Ann. 24 (1884), p. 147.

194) *K. Rohn*, Math. Ann. 28 (1887), p. 284.

Auf diese Weise gelingt die Einteilung und die Aufstellung der Gleichungen für die verschiedenen  $R-F_4$  in ungezwungener Weise.

Die Doppelkurve  $\bar{C}$  kann der Reihe nach bestehen aus einer  $\bar{C}_3$ , einer  $\bar{C}_2$  und  $\bar{g}$ , einer  $\bar{g}$ , aus zwei  $\bar{g}$ , endlich aus einer Selbstberührungsgereaden. Für zehn dieser Flächenarten hat *K. Rohn* Fadenmodelle anfertigen lassen.

**78.  $R-F_4$  mit irreduzibler kubischer Doppelkurve.** Es kommen zunächst die  $F_4$  mit einer — irreduziblen oder reduziblen —  $\bar{C}_3$  in Betracht. Die grundlegende Arbeit verdankt man *Clebsch*.<sup>195)</sup> Mit Ausnahme der *Steinerschen* Fläche  $S$ , wo die  $\bar{C}_3$  in drei durch einen Punkt laufende  $\bar{g}$  zerfällt (s. Abschn. VII), liegt stets eine  $R-F_4$  vor. Allgemein gilt, daß die Regelstrahlen  $h$  der  $R-F_4$  Sekanten der  $\bar{C}_3$  sind und einem linearen Geradenkomplex  $K_1$  angehören.

*Hauptfall. Die  $\bar{C}_3$  ist irreduzibel.*

Man hat zwei Unterfälle zu unterscheiden, je nachdem der Komplex  $K_1$  allgemein oder speziell ist; die beiden Flächenarten seien kurz mit  $R$  resp.  $R'$  bezeichnet. Zunächst kommen die  $R$  in Betracht. Wie in Nr. 76 (s. auch Art. „ $F_3$ “, Nr. 11) wähle man die  $C_3$  wieder als Normalkurve  $N_3$

(a) 
$$x_3 : x_2 : x_1 : x_0 = \lambda^3 : 3\lambda^2 : 3\lambda : 1,$$

und setze

(b) 
$$\varphi_3 \equiv 3x_1x_3 - x_2^2, \quad \varphi_2 \equiv x_1x_2 - 9x_0x_3, \quad \varphi_1 \equiv 3x_0x_2 - x_1^2.$$

Das durch die  $N_3$  gehende  $F_2$ -Netz  $N$  ist demgemäß dargestellt durch

(c) 
$$N \equiv \varrho_3\varphi_3 + \varrho_2\varphi_2 + \varrho_1\varphi_1 \equiv \begin{vmatrix} 3x_3 & x_2 & x_1 \\ x_2 & x_1 & 3x_0 \\ \varrho_1 & \varrho_2 & \varrho_3 \end{vmatrix} = 0.$$

Eine  $F_4$  mit  $N_3$  als Doppelkurve ist somit durch eine allgemeine quadratische Gleichung in den  $\varphi$  dargestellt

(7) 
$$\sum \sum a_{rs} \varphi_r \varphi_s = 0 \quad (r, s = 1, 2, 3).$$

Trifft ein Regelstrahl  $h$  der  $R-F_4$  die  $N_3$  in zwei Punkten  $\lambda_1, \lambda_2$ , und setzt man  $\sigma_2 : \sigma_1 : \sigma_0 = \lambda_1\lambda_2 : \lambda_1 + \lambda_2 : 1$ , so genügen die  $\sigma$  der quadratischen Gleichung

(7') 
$$a_{22}\sigma_2^2 + a_{11}\sigma_1^2 + a_{00}\sigma_0^2 + 2a_{21}\sigma_2\sigma_1 + \dots = 0.$$

Die beiden von einem Punkte der  $N_3$  ausgehenden Regelstrahlen  $h_1, h_2$  koinzidieren, wenn der Parameter  $\lambda$  der Bedingung genügt

(8) 
$$(a_{00}\lambda^2 + 2a_{01}\lambda + a_{11})(a_{11}\lambda^2 + 2a_{12}\lambda + a_{22}) - \{a_{01}\lambda^2 + (a_{11} + a_{02})\lambda + a_{12}\}^2 = 0.$$

Dies liefert die vier Kuspidualpunkte auf der  $N_3$ .

195) *A. Clebsch*, *Math. Ann.* 2 (1870), p. 445.

Der lineare Komplex  $K_1$ , dem die  $h$  von  $R$  angehören, hat in Strahlenkoordinaten  $p_{ik} = (xy)_{ik}$  die Gleichung

$$(9) \quad a_{00}p_{01} + a_{11}p_{03} + a_{22}p_{23} + 2a_{12}p_{13} + (a_{11} + 2a_{02})p_{12} + 2a_{01}p_{02} = 0.$$

Die Ebene, die zwei von irgendeinem Punkte  $P$  der  $\bar{N}_3$  ausgehende Regelstrahlen  $h_1, h_2$  verbindet, schneidet aus der  $R$  noch eine  $C_2$  aus. Analog schneidet eine Ebene, die zwei von einem zweiten Punkte  $P'$  der  $\bar{N}_3$  ausgehende  $h'_1, h'_2$  verbindet, eine  $C'_2$  aus. Diese beiden  $C'_2$  sind projektiv aufeinander bezogen und die Verbindungsgeraden entsprechender Punkte sind die Regelstrahlen  $h$  der  $R$ .

Umgekehrt ist die Fläche  $R$ , wie schon *Clebsch*<sup>195)</sup> erkannte, erzeugbar durch die Verbindungslinien  $h$  entsprechender Punkte von zwei projektiv aufeinander bezogenen, sich nicht treffenden Raumkegelschnitten  $C_2, C'_2$ .

Hinterher läßt sich hieraus die  $\bar{C}_3$  von  $R$  bestimmen. Man ermittle einmal die zwei Punktepaare, die auf jedem Kegelschnitt den Schnittpunkten seiner Ebene mit dem anderen entsprechen; andererseits die zwei Schnittpunkte der Verbindungslinien dieser Paare entsprechender Punkte.

Die durch diese sechs Punkte festgelegte  $C_3$  ist die gesuchte Doppelkurve von  $R$ .

Der Sonderfall der Fläche  $R'$  tritt ein, wenn der Komplex  $K_1$  in einen speziellen ausartet, also die Bedingung erfüllt ist

$$(7_a) \quad S \equiv a_{00}a_{22} + a_{11}(a_{11} + 2a_{02}) - 4a_{01}a_{12} = 0.$$

Die von allen Geraden von  $K_1$  getroffene feste Gerade  $e$  wird eine einfache Leitlinie der Fläche  $R'$ . Man hat also:

„Die Fläche  $R'$  entsteht als Ort der eine gegebene Gerade  $e$  treffenden Sekanten einer gegebenen  $C_3$ .“

Jede Ebene durch  $e$  trifft die  $C_3$  in drei Punkten, deren Verbindungsgeraden die drei in der Ebene liegenden Regelstrahlen der  $R'$  sind. Für vier Ebenen fallen zwei dieser drei Regelstrahlen zusammen.

Es ist auch vorteilhaft, sich nach dem Vorgange von *W. Fr. Meyer* (s. Art. „ $F_3$ “, Nr. 11, 12) einer Abbildung auf eine  $(\sigma)$ -Ebene zu bedienen, in der ein Punkt  $(\sigma) = (\lambda_1, \lambda_2)$  auf einen Normkegelschnitt  $N_2 = N_2$  bezogen ist.

Diese Abbildung erscheint in zweifacher Gestalt.

Einmal entsprechen durch Kombinierung von (7') und (9) den  $\infty^5$  linearen Komplexen  $K_1$  (1, 1)-deutig die  $\infty^5$  Kegelschnitte  $c_2$  der  $(\sigma)$ -Ebene. Artet im besonderen der Komplex  $K_1$  in einen speziellen aus, als Ort der eine feste Gerade  $e$  treffenden Geraden, so daß die

Bedingung (7<sub>a</sub>) erfüllt ist, so sagt das in der ( $\sigma$ )-Ebene aus, daß die dem  $K_1$  entsprechende  $c_2$  ein „Schließungskegelschnitt“ des Normkegelschnitts  $N_2$  wird, d. h. daß es ein und damit  $\infty^1$  eigentliche „Schließungsdreiecke“  $\Delta$  gibt, die  $N_2$  um- und  $c_2$  einbeschrieben sind. Sind  $\lambda_1, \lambda_2, \lambda_3$  die Argumente (auf  $N_2$ ) der Seiten eines solchen Dreiecks  $\Delta$ , so treffen sich die drei Ebenen  $\lambda_1, \lambda_2, \lambda_3$  der  $N_3$  in einem Punkte  $P$  auf der Leitgeraden  $e$ ; gleitet  $\Delta$  längs  $N_2$ , so durchläuft  $P$  die Gerade  $e$ .

Somit sind im besonderen die  $\infty^4$  speziellen linearen Komplexe  $K_1$  (1, 1)-deutig auf die  $\infty^4$  Schließungskegelschnitte  $c_2$  von  $N_2$  bezogen.

Bei der zweiten Auffassung der Abbildung erscheinen die  $c_2$  der ( $\sigma$ )-Ebene als Bilder der Regelflächen  $R$  resp.  $R'$  selbst, insofern die Fläche definiert wird als Ort der Sekanten der  $N_3$ , die einem gegebenen, allgemeinen resp. speziellen linearen Komplexe  $K_1$  angehören.

Der laufende Punkt ( $x$ ) einer Sekante  $s(\lambda_1, \lambda_2)$  hat die Koordinaten

$$x_0 : x_1 : x_2 : x_3 = 1 + \tau : 3(\lambda_1 + \tau\lambda_2) : 3(\lambda_1^2 + \tau\lambda_2^2) : \lambda_1^3 + \tau\lambda_2^3.$$

Damit hat man als Linienkoordinaten  $p_{ik}$  der Sekante  $s(\lambda_1, \lambda_2)$

$$(10) \quad p_{01} : p_{02} : p_{03} : p_{12} : p_{13} : p_{23} = \sigma_0^2 : \sigma_0\sigma_1 : \frac{1}{3}(\sigma_0\sigma_2 - \sigma_1^2) : 3\sigma_0\sigma_2 : \sigma_1\sigma_2 : \sigma_2^2.$$

Sollen diese Sekanten  $s$  einem gegebenen linearen Komplexe  $K_1$  (9) angehören, so gelangt man unmittelbar zur  $c_2$ -Gleichung (7') und vice versa. Die Regelstrahlen  $h$  der Fläche  $R$  resp.  $R'$  bilden sich so (1, 1)-deutig auf die Punkte der  $c_2$  ab.

Dies läßt sich noch genauer verfolgen. Die bisher nur schematische ( $\sigma$ )-Ebene werde als eine Raumebene  $E$  gewählt, die die  $N_3$  in drei reellen getrennten Punkten  $E_1, E_2, E_3$  treffe.

Die abwickelbare  $R-F_4$  der  $N_3$  (s. Nr. 76) schneidet  $E$  in einer  $r_4$  mit drei Spitzen in  $E_1, E_2, E_3$ , deren Tangenten sich in einem Punkte  $E$  treffen. Auf die Ebene  $E$  werde die quadratische Punkttransformation  $T_2$  angewendet mit Fundamentalpunkten in  $E_1, E_2, E_3$ , und  $E$  als einem sich selbst entsprechenden Punkte.

Vermöge dieser  $T_2$  geht die  $r_4$  über in einen dem Dreieck  $\Delta(E_i)$  einbeschriebenen Kegelschnitt („Inkegelschnitt“), der als Normkegelschnitt  $N_2 = N_2$  von  $E$  zugrunde gelegt werde. Jeder Tangente  $\lambda$  der  $r_4$  als Spur einer Ebene  $\lambda$  der  $N_3$  entspricht (1, 1)-deutig eine Tangente  $\lambda$  von  $N_2$ .

Eine beliebige Sekante  $(\lambda_1, \lambda_2)$  treffe  $E$  in einem Punkte  $P'$ . Dann ist das  $T_2$ -Bild von  $P'$  gerade derjenige Punkt  $P$ , von dem die Tangenten  $\lambda_1, \lambda_2$  an  $N_2$  gehen, der also mit  $P(\lambda_1, \lambda_2) = P(\sigma)$  zu bezeichnen ist.

Nunmehr ist der Übergang von der Fläche  $R$  resp.  $R'$  zum Kegelschnitte  $c_2(\sigma)$  in  $E$ , und umgekehrt, einfach zu vollziehen.

Die Fläche  $R$  resp.  $R'$  schneidet die Ebene  $E$  in einer  $r_4'$  mit drei  $d_2$  in  $E_1, E_2, E_3$ . Vermöge der  $T_2$  geht die  $r_4'$  direkt in die  $c_2(\sigma)$  über. Umgekehrt, liegt eine  $c_2(\sigma)$  in  $E$  vor, so ist ihr  $T_2$ -Bild eine  $r_4'$  mit drei  $d_2$  in  $E_1, E_2, E_3$ . Durch diese geht eine einzige  $F_4$  mit  $N_3$  als Doppelkurve, und diese ist die in Rede stehende  $R$  resp.  $R'$ .

**79. Die Mohrmannsche Untersuchung der  $R-F_4$  mit irreduzibler kubischer Doppelkurve.** Die Theorie der beiden Flächenarten  $R, R'$  hat *H. Mohrmann*<sup>196</sup>) zu einem gewissen Abschlusse gebracht, indem er zugleich die Arbeiten seiner Vorgänger einer Kritik unterzieht.

So ist die *Clebschsche*<sup>195</sup>) Erzeugung der  $R$  durch zwei projektiv bezogene  $C_2$  auf die  $R$  beschränkt, da die  $R'$  überhaupt keine (irreduzibeln)  $C_2$  enthalten.

In der Tat sind die  $R$  und  $R'$  als Punktgebilde wesentlich verschieden. Zu dem Behuf werden die  $R$  und  $R'$  als Projektionen gewisser Normalflächen  $F_4, F_4'$  im  $S_5$  aufgefaßt.

Die  $F_4$  tragen doppelbinäre Gebiete, sind eindeutig abbildbar auf eine eigentliche  $F_2$  im  $S_3$ , und gestatten eine mit der Gruppe der Kreisverwandtschaften holoeidrisch-isomorphe Kollineationsgruppe.

Dagegen tragen die  $F_4'$  *Jonquière'sche* Gebiete 2. Ordnung und 2. Art, und gestatten eine, mit der automorphen Kollineationsgruppe eines Kegels 2. Ordnung holoeidrisch-isomorphe Kollineationsgruppe.

*Rohn*<sup>194</sup>) hatte die symmetrische doppeltquadratische Korrespondenz  $J$  zugrunde gelegt, die die Erzeugenden  $h$  der  $R$  unter den Punkten der  $\bar{C}_3$  hervorrufen. Aber es fehlt der Spezialfall der kubisch-zyklischen  $J$  mit verschwindender Invariante  $S$ , und eben dieser führt zur  $R'$ .

*Sturm*<sup>192</sup>) hat die  $R$  synthetisch untersucht. Er beachtet aber nicht, daß zwei Spezialfälle der  $J$ , der obige und das Zerfallen in zwei bilineare, nicht-involutorische Korrespondenzen, einander teilweise überdecken, also nicht ausschließen.

**80. Die  $R-F_4$  mit reduzibler kubischer Doppelkurve.** Nunmehr sind die Fälle zu erörtern, wo die  $\bar{C}_3$  reduzibel wird.

*Der Fall* ( $\alpha$ ): Die  $\bar{C}_3$  zerfällt in einen Kegelschnitt  $\bar{k}$  und eine ihn treffende Gerade  $\bar{g}$ . Man ordne die Punkte von  $\bar{k}$  und  $\bar{g}$  in einer (2, 2)-deutigen Korrespondenz derart zu, daß der Inzidenzpunkt sich selbst entspricht. Die Verbindungsgeraden zugeordneter Punkte sind die Regelstrahlen der  $R-F_4$ . Man normiere die Punkte ( $z$ ) von  $\bar{k}$  durch  $z_1 : z_2 : z_3 : z_4 = \lambda^2 : \lambda : 1 : 0$  und die Punkte  $y$  von  $\bar{g}$  durch  $y_1 : y_2 : y_3 : y_4 = 0 : 0 : \lambda' : 1$ , so wird die Verbindungslinie von ( $z$ ) und ( $y$ ) ein Regel-

196) *H. Mohrmann*, Math. Ann. 89 (1923), p. 1.

strahl  $h$  der  $R-F_4$ , wenn die Bedingung erfüllt ist

$$(10) \quad \lambda^2 \lambda'^2 + a \lambda \lambda' + b \lambda + c = 0.$$

Die Gleichung der  $R-F_4$  wird dann

$$(11) \quad (x_1 x_3 - x_2^2)^2 + a(x_1 x_3 - x_2^2)x_2 x_4 + (b x_1 + c x_2)x_2 x_4^2 = 0.$$

Man kann die Fläche auch erzeugen durch die Verbindungslinien entsprechender Punkte eines Kegelschnitts  $k'$  und einer Geraden  $g$ , wenn diese in einer (2, 1)-Korrespondenz stehen, und sich nicht treffen.

*Der Fall* ( $\beta$ ): Haben dagegen  $k'$  und  $g$  einen Punkt entsprechend gemein, so fällt  $k'$  mit dem Doppelkegelschnitt  $\bar{k}$  zusammen; in (10) und (11) erhält dann die Konstante  $c$  den Wert Null. Auf  $\bar{k}$  gibt es einen, auf  $\bar{g}$  zwei Kuspidualpunkte.

*Der Fall* ( $\gamma$ ): Die  $C_3$  zerfällt in drei Doppelgerade<sup>197</sup>, von denen die eine  $\bar{g}_1$ , die beiden andern  $\bar{g}_2, \bar{g}_3$  trifft (die selbst windschief sind). Man wähle die drei Geraden als Koordinatenkanten

$$g_1(x_1 = x_2 = 0), \quad g_2(x_1 = x_4 = 0), \quad g_3(x_3 = x_4 = 0).$$

Dann wird die Gleichung der  $R-F_4$

$$(12) \quad x_1^2 x_3^2 + a x_1 x_2 x_3 x_4 + (b x_1 + c x_2)x_2 x_4^2 = 0.$$

Es ist  $\bar{g}_1$  ein doppelter Regelstrahl, während  $\bar{g}_2, \bar{g}_3$  doppelte Leitlinien der Fläche werden.

Die Fläche ist erzeugbar als Ort der Geraden, die zwei windschiefe Geraden  $g_2, g_3$  und einen Kegelschnitt  $k$ , der weder mit  $g_2$  noch mit  $g_3$  einen Punkt gemein hat, treffen.

Oder auch als Ort der Geraden, die zwei feste Gerade  $g_2, g_3$ , und eine  $C_3$ , die mit jeder dieser Geraden einen Punkt gemein hat, schneiden.

Oder auch als Ort der Verbindungslinien entsprechender Punkte von zwei projektiv bezogenen  $C_2$ , falls die Punkte, in denen jede dieser  $C_2$  die Ebene der andern trifft, paarweise einander zugeordnet sind. Die Schnittlinie beider Ebenen ist der doppelte Regelstrahl  $\bar{g}_1$ .

Oder endlich als Ort der Verbindungslinien entsprechender Punkte einer Geraden  $g$  und eines Kegelschnitts  $k$ , die in einer Korrespondenz (1, 2) stehen, derart, daß die beiden Punkte, die der Spur  $P$  von  $g$  in der Ebene von  $k$  auf  $k$  entsprechen, mit  $P$  in einer Geraden  $g_2$  liegen. Diese beiden Geraden  $g_1, g_2$  sind Doppelgeraden; die dritte,  $g_3$ , geht durch denjenigen Punkt  $O$  von  $g_2$ , in dem sich die Verbindungslinien der Punktepaare schneiden, die auf  $k$  den einzelnen Punkten von  $g_1$  entsprechen, und geht ferner durch den Schnittpunkt der Ge-

197) D. Segen, J. f. Math. 112 (1893), p. 39.

raden, die die Schnittpunkte von  $k$  und irgendeiner Ebene durch  $g_1$  mit den entsprechenden Punkten auf  $g_2$  verbinden.

Auf  $g_2$  und  $g_3$  liegen zwei Kuspidualpunkte.

*Der Fall* ( $\delta$ ). Fallen im vorigen Falle im besonderen  $P$  und  $O$  zusammen, so auch  $g_2$  und  $g_3$ .

Die Gleichung der Fläche wird

$$(13) \quad x_1^2(ax_1^2 + 2bx_1x_2 + cx_2^2) + x_1(x_1x_4 - x_2x_3)(dx_1 + ex_2) + (x_1x_4 - x_2x_3)^2 = 0.$$

Hierbei ist  $x_1 = x_3 = 0$  der Doppelstrahl  $\bar{g}_1$ , und  $x_1 = x_2 = 0$  die doppelt zu zählende Leitlinie  $g_2 = g_3$ .

**81. Die  $R-F_4$  vom Geschlecht 1 mit zwei windschiefen Doppelgeraden.** Während die obigen  $R-F_4$  alle vom Geschlecht 0 waren, gibt es noch einen Typus vom Geschlecht 1 mit zwei windschiefen — evtl. auch koinzidierenden — Doppelgeraden.

Man wähle sie als Koordinatenkanten

$$\bar{g}_1(x_1 = x_2 = 0), \quad \bar{g}_2(x_3 = x_4 = 0).$$

Die Gleichung der Fläche lautet, je nachdem man nach  $x_1, x_2$  oder nach  $x_3, x_4$  ordnet,

$$(14) \quad x_1^2(ax_3^2 + 2bx_3x_4 + cx_4^2) + 2x_1x_2(a'x_3^2 + 2b'x_3x_4 + c'x_4^2) + x_2^2(a''x_3^2 + 2b''x_3x_4 + c''x_4^2) \\ \equiv x_3^2(ax_1^2 + 2a'x_1x_2 + a''x_2^2) + 2x_3x_4(bx_1^2 + 2b'x_1x_2 + b''x_2^2) + x_4^2(cx_1^2 + 2c'x_1x_2 + c''x_2^2) = 0.$$

Betrachtet man die beiden Verhältnisse  $\frac{x_1}{x_2} = \lambda$  und  $\frac{x_3}{x_4} = \mu$  als Parameter der Punktreihen auf  $\bar{g}_2$  resp.  $\bar{g}_1$ , so erscheint (14) als doppelt-quadratische Gleichung in  $\lambda$  und  $\mu$ .

Somit erscheint die Fläche als Ort der Verbindungslinien entsprechender Punkte von zwei in einer (2, 2)-Korrespondenz stehenden Geraden  $g_1, g_2$ . Durch jeden Punkt von  $g_1$  gehen zwei Regelstrahlen, die mit  $g_2$  in einer Ebene liegen und vice versa.

Auf jeder der beiden Doppelgeraden  $\bar{g}_1, \bar{g}_2$  liegen vier Kuspidualpunkte.

Die Fläche ist auch erzeugbar als Ort der Strahlen, die zwei gegebene Gerade  $g_1, g_2$  und eine ebene  $c_3$ , die  $g_1$  wie  $g_2$  einmal schneidet, treffen.

Dieser letzteren Erzeugung kann man sich auch in dem Sonderfalle bedienen, wo  $g_1$  und  $g_2$  in eine Gerade  $g$  koinzidieren.

Es treffe  $g$  die  $c_3$  in  $O$ . Die  $c_3$  steht zu  $g$  in einer (2, 1)-Korrespondenz derart, daß die Punktepaare von  $c_3$ , die den einzelnen Punkten

von  $g$  entsprechen, mit  $O$  stets in einer Geraden liegen, wodurch das Strahlenbüschel ( $O$ ) auf die Punktreihe ( $g$ ) projektiv bezogen wird.

Die Fläche ist der Ort der Verbindungslinien entsprechender Punkte von  $c_3$  und  $g$ .

Wählt man  $g$  als Kante ( $x_1 = x_2 = 0$ ), so nimmt die Gleichung der Fläche die Gestalt an

$$(15) \quad f_4(x_1, x_2) + f_2(x_1, x_2) \cdot (x_1 x_4 - x_2 x_3) + (x_1 x_4 - x_2 x_3)^2 = 0,$$

wo  $f_4$  und  $f_2$  binär in  $x_1, x_2$  sind.

**§2. Die Polaren-Methode von Wong.** Von einem einheitlichen und natürlichen Prinzip aus hat *Wong*<sup>198</sup>) die  $R-F_4$  hergeleitet.

Es handelt sich um die liniengeometrische Ausdehnung der schon öfter benutzten quadratischen Punkttransformation  $T_2$  der Ebene auf den Raum. Es liege ein  $F_2$ -Büschel  $B(F, G)$  vor. Man ordne jedem Punkte  $P$  als seine „Polare“  $p$  die gemeinsame Schnittlinie seiner Polarebenen in bezug auf die Individuen in  $B$  zu. Durchläuft  $P$  irgendeine Raumkurve  $C$ , so beschreibt seine Polare  $p$  eine gewisse  $R-F$ .

Dies werde im besonderen auf die  $R-F_4$  angewendet. Seien die Gleichungen von  $F$  und  $G$

$$(16) \quad \begin{cases} F \equiv \sum \sum a_{ik} x_i x_k \equiv (ax)^2 = 0, \\ G \equiv \sum \sum b_{ik} x_i x_k \equiv (bx)^2 = 0; \end{cases}$$

der Punkt  $P$  habe die Koordinaten ( $y$ ). Versteht man unter  $F_r, G_r$  ( $r = i, k, l, m$ ) die ersten Ableitungen von  $F, G$ , so bestehen zwischen den  $x$  und  $y$  die beiden Beziehungen

$$(17) \quad \begin{cases} \sum x_i F_i(y) \equiv \sum y_i F_i(x) \equiv (ax)(ay) = 0, \\ \sum x_i G_i(y) \equiv \sum y_i G_i(x) \equiv (bx)(by) = 0. \end{cases}$$

Sind  $\pi_{ik}$  die Achsenkoordinaten der Geraden  $p$ , so folgt aus (17):

$$(18) \quad \varrho \pi_{ik} = (ay)(by)(ab)_{ik} \equiv \begin{vmatrix} F_i(y), F_k(y) \\ G_i(y), G_k(y) \end{vmatrix}.$$

Diese Darstellungen (18) lassen sich auch in eine einzige zusammenziehen. Bedeutet  $r$  irgendeine  $p$  treffende Gerade mit den Achsenkoordinaten  $r_{im} = (uv)_{im}$ , so läßt sich (18) ersetzen durch die Gleichung des linearen Komplexes, dessen Geraden  $p$  treffen,

$$(19) \quad (\pi r) \equiv (ay)(by)(abuv) \equiv |F_i(y), G_i(y), u_i, v_i| = 0.$$

Analog zur  $T_2$  liegt in (19) eine Erweiterung des *Clebsch'schen* Übertragungsprinzips auf Komitanten vor (s. Nr. 5).

198) *B. C. Wong*, California Univ. Publ. 1 (1924), p. 371.

Eine Gerade  $g$ , deren Punktreihe von einem Parameter  $\lambda$  abhängt, trifft die beiden Flächen  $F, G$  in zwei Punktepaaren  $f \equiv (a\lambda)^2 = 0$ ,  $g \equiv (b\lambda)^2 = 0$ , und das Büschel  $B$  in der Involution  $J: f + \rho g = 0$ . Die Doppelpunkte  $D_1, D_2$  von  $J$  bestimmen sich durch die Wurzeln der Funktionaldeterminante  $\Theta$  von  $f, g$ :  $\Theta \equiv (a\lambda)(b\lambda)(ab) = 0$ .

Vermöge des Übertragungsprinzips gehen  $(a\lambda), (b\lambda)$  über in die quaternären Linearformen  $(ay), (by)$ , und der binäre Klammerfaktor  $(ab)$  in die geränderte Determinante  $(abuv)$ , so daß  $\Theta = 0$  übergeht in (19).

Läßt man jetzt die Gerade  $g$  variieren, so wird die Gesamtheit der Punktepaare  $D_1, D_2$  direkt durch (21) dargestellt.

Es durchlaufe zunächst der Punkt  $P(y)$  eine feste Gerade  $g(y)$ , die als Schnitt zweier Ebenen  $(\alpha y) = 0, (\beta y) = 0$  gedacht sei. Kombiniert man diese beiden Gleichungen mit (17) und eliminiert die  $y$ , so ergibt sich

$$(20) \quad |F_i(x), G_i(x), \alpha_i, \beta_i| = 0,$$

d. i. die Gleichung einer  $F_2$ . Beschreibt also ein Punkt  $P$  eine Gerade  $g$ , so durchläuft die Polare  $p$  die Erzeugenden (der einen Schar) einer  $R-F_2$  (20).

Aber auch explizite läßt sich diese Schar der  $p$  leicht darstellen.

Man bestimme die Punkte  $P(y)$  auf  $g$  durch einen Parameter  $\tau$ , gemäß

$$(21) \quad \rho y_r = f_r(\tau) = c_r \tau + d_r \quad (r = i, k, l, m),$$

so hat man für die Schar der  $p$  als Erzeugende der  $R-F_2$  (20)

$$(22) \quad \sigma \pi_{ik} = \begin{vmatrix} F_i[f_r(\tau)], F_k[f_r(\tau)] \\ G_i[f_r(\tau)], G_k[f_r(\tau)] \end{vmatrix},$$

wo die rechten Seiten quadratische binäre Formen in  $\tau$  sind.

Nunmehr durchlaufe der Punkt  $P(y)$  einen Raumkegelschnitt  $C_2$ , der gedacht sei als Schnitt einer festen Ebene  $(\alpha y) = 0$  mit einer festen  $F_2$ :  $F_2(y) = 0$ . Man löse dann zunächst die drei Gleichungen

$$(23) \quad \sum y_i F_i(x) = 0, \quad \sum y_i G_i(x) = 0, \quad (\alpha y) = 0$$

nach den  $y$  auf

$$(24) \quad \omega y_i = \begin{vmatrix} F_k(x), F_l(x), F_m(x) \\ G_k(x), G_l(x), G_m(x) \\ \alpha_k, \alpha_l, \alpha_m \end{vmatrix} \equiv (FG\alpha)_{klm}.$$

Die Einsetzung dieser Werte der  $y$  in  $F_2(y) = 0$  liefert als Ort der Geraden  $p$  eine  $R-F_4$

$$(25) \quad R-F_4 \equiv F_2[(FG)] = 0.$$

Deren explizite Darstellung vollzieht sich wie oben die der  $R-F_2$ .

Man stelle die  $C_2$  explizite dar mittels eines Parameters  $\tau$

$$(26) \quad \varrho y_r = g_r(\tau) = a_r \tau^2 + 2b_r \tau + c_r \quad (r = i, k, l, m).$$

Die Einsetzung in (22) liefert die Regelstrahlen  $p$  der  $R-F_4$

$$(27) \quad \sigma \pi_{ik} = \begin{vmatrix} F_i[g_r(\tau)], F_k[g_r(\tau)] \\ G_i[g_r(\tau)], G_k[g_r(\tau)] \end{vmatrix},$$

wo die rechten Seiten biquadratische binäre Formen in  $\tau$  sind.

Durchläuft also ein Punkt  $P$  eine  $C_2$ , so beschreibt seine Polare  $p$  eine  $R-F_4$ , die durch (23) resp. (27) dargestellt ist.

Überdies läßt sich aus obigem eine einheitliche direkte Erzeugung der  $R-F_4$  durch zwei projektiv zugeordnete  $F_2$ -Büschel entnehmen. Zu dem Behuf hat man nur die Erzeugung der  $C_2$  durch zwei projektiv bezogene Geradenbüschel zugrunde zu legen. Dies überträgt sich auf die Erzeugung der  $R-F_4$  wie folgt.

Es liegen zwei  $F_2$ -Büschel  $B_1$  und  $B_2$  vor, deren Basiskurve je in eine Gerade und eine  $C_3$  zerfällt. Die beiden Büschel  $B_1, B_2$  lassen sich projektiv so aufeinander beziehen, daß sich je zwei zugeordnete Individuen in einer  $C_4$  schneiden, die wiederum in eine Gerade  $p$  und eine  $C_3$  zerfällt. Dann ist die  $R-F_4$  der Ort der Geraden  $p$ .

Die Geraden  $p$  bilden einen tetraedralen Komplex, indem sie die Ebenen des gemeinsamen Poltetraeders des Büschels  $B$  nach konstantem Doppelverhältnis treffen. Wählt man dieses Tetraeder als Koordinatentetraeder („allgemeiner Fall“), so vereinfacht sich die Rechnung erheblich. Es ist hierbei vorteilhaft, die  $C_2$  innerhalb ihrer Ebene auf ein Dreieck von Geraden  $g$  zu beziehen und entsprechend die  $R-F_4$  auf deren drei Bild- $F_2$ .

Den  $\infty^2$  Punkten  $Y$  einer Ebene  $u$  entspricht eine Kongruenz von Geraden  $p$ , die Sekanten einer bestimmten  $C_3$  sind; jede  $C$  in  $u$  geht über in eine  $R-F$  durch die  $C_3$ .

Nach diesem Verfahren hat *Wong*<sup>198)</sup> sämtliche 12 *Cremonaschen* Typen von  $R-F_4$  hergeleitet. Läßt man zunächst das  $F_2$ -Büschel  $B$  ein allgemeines sein und variiert in geeigneter Weise die Lage der  $C_2$ , so gelangt man bereits zu neun Typen der  $R-F_4$ .

Behufs der drei noch übrigen Typen hat man das Büschel  $B$  geeignet zu spezialisieren, etwa so, daß sich die Individuen von  $B$  längs einer festen Geraden berühren. Man legt dann wieder der Gleichung von  $B$  eine spezifische Normalform zugrunde.

Es sei noch darauf hingewiesen, daß die  $R-F_4$  als ausgeartete *Kummersche* Flächen auch als Singularitätenflächen spezieller quadratischer Komplexe  $K_2$  studiert werden können. Unter den 58 projektiv

verschiedenen Gattungen von  $K_2$  befinden sich nach *A. Weiler*<sup>198a)</sup> 38 solche, die eine  $R-F_4$  zur Singularitätenfläche haben.

Läßt sich im besonderen ein  $K_2$  durch lineare Kongruenzen  $\mathfrak{R}_1$  erzeugen, so bilden deren Direktrizen die Erzeugenden  $h$  einer  $R-F_4$ , die der Singularitätenfläche angehört. Umgekehrt, falls die Singularitätenfläche eine  $R-F_4$  ist, muß jede ihrer  $h$  Direktrix einer  $\mathfrak{R}_1$  des  $K_2$  sein.

Daraufhin lassen sich diese  $\mathfrak{R}_1$  bestimmen und konstruieren.

**83. Die Regelflächen 5. Ordnung.** Diese hat in einer vielzitierten Abhandlung *H. A. Schwarz*<sup>199)</sup> behandelt, und vollständig klassifiziert. Je nach der Natur der Doppelkurve gelangt er zu 15 verschiedenen Arten; für zehn derselben ist das Geschlecht gleich Null, für vier weitere ist  $p = 1$ , und für die letztere  $p = 2$ .

Die Doppelkurve ist der Reihe nach:

1. eine vierfache Gerade;
2. eine  $C_6$  mit  $D_3$ ;
3. eine dreifache Gerade und eine  $C_3$ ;
4. eine dreifache Gerade, ein Kegelschnitt und eine Doppelerzeugende;
5. eine dreifache und eine zweifache Gerade nebst zwei Doppelerzeugenden; hierbei können im besonderen die beiden ersteren Geraden koinzidieren;
6. eine zweifache Gerade und eine  $C_5$  mit  $D_3$ ;
7. eine zweifache Gerade, eine  $R_4$  mit  $d_2$  und eine Doppelerzeugende;
8. ein Kegelschnitt und eine  $R_4$  mit  $D_2$ ;
9. drei Kegelschnitte, die je zwei Punkte gemein haben, von denen einer allen drei Kegelschnitten angehört;
10. eine Doppelerzeugende und eine  $C_5$  mit  $D_2$ ;
11. eine  $C_5$ ;
12. eine dreifache Gerade und ein zweifacher Kegelschnitt;
13. eine dreifache und eine zweifache Gerade nebst einer Doppelerzeugenden;
14. eine zweifache Gerade und eine  $C_4$ ;
15. eine dreifache und eine zweifache Gerade, die evtl. auch koinzidieren können.

198a) *A. Weiler*, Ztschr. Math. Phys. 27 (1882), p. 257; J. f. Math. 95 (1883), p. 140. In einer früheren Arbeit, Math. Ann. 7 (1873), p. 145, hatte *Weiler* die 58 Gattungen quadratischer Komplexe aufgestellt.

199) *H. A. Schwarz*, J. f. Math. 67 (1866), p. 23.

**84. Die Regelflächen sechster und höherer Ordnung.** Einen ersten Versuch in der Klassifikation dieser Flächen  $R-F_6$  macht *J. Bergstedt*.<sup>200)</sup> Indem er sich im wesentlichen der *Schwarzschen* Methode bedient, gelangt er, ohne Anspruch auf Vollständigkeit zu erheben, zu neun verschiedenen Arten.

Weiter dringt *K. Fink*<sup>201)</sup> vor. Die Haupteinteilungsgesichtspunkte bleiben das Geschlecht  $p$  der Fläche  $R-F_6$ , und die Natur ihrer Doppelkurve.

Vorab wird allgemein das Maximum von  $p$  einer  $R-F_n$  durch Ermittlung der Anzahl der  $D_2$  derjenigen Restkurve  $C$  bestimmt, die durch eine zwei erzeugende Gerade enthaltende Ebene ausgeschnitten wird.

Im Falle  $n = 6$  werden sodann für jede mögliche Beschaffenheit des irreduzibeln Bestandteils von  $C$  das Geschlecht und die Ordnung der Doppelkurve  $\bar{C}$  angegeben, sowie die Erzeugung der  $R-F_6$  als Ort der Verbindungsgeraden entsprechender Punkte zweier aufeinander bezogenen Kurven.

Insbesondere werden im Falle  $p = 0$  Ordnung und Geschlecht der  $\bar{C}$  nebst der Anzahl ihrer  $D_3$  ermittelt. Für  $p = 1$  beschränkt sich *Fink* auf Spezialfälle.

Behufs einer vollständigen Klassifikation der  $R-F_6$  verwendet *A. Wiman*<sup>202)</sup> neue Methoden. Zugrunde wird gelegt der Komplex  $K$  niedrigster Ordnung, dem die Regelstrahlen der Fläche  $R-F_6$  angehören; dieser Komplex wird in geeigneter Weise auf den Punktraum abgebildet, so daß sich die Fläche in eine Kurve  $C$  transformiert (vgl. auch hinsichtlich der  $R-F_4$  Nr. 82).

Die Abbildung wird so gewählt, daß die Komplexkegel stets in Gerade übergeführt werden, die selbst einen gewissen, leicht bestimm- baren Komplex bilden. Hierbei wird die Doppelkurve  $\bar{C}$  der  $R-F_6$  abgebildet auf die Sekantenregelfläche der Bildkurve, die diesem Komplex angehört. Die Vereinfachung der gestellten Aufgabe besteht darin, daß erst die Eigenschaften jener Sekantenregelflächen für sich untersucht, und dann auf die Doppelkurve  $\bar{C}$  übertragen werden.

Die Fundamentalgebilde der Abbildung werden naturgemäß so bestimmt, daß die Ordnung der Bildkurve einen kleinsten Wert erhält; es treten dann nur die drei Fälle ein, wo diese Ordnung gleich resp. 3, 4, 5 wird. Als Hilfskomplex läßt sich ein tetraedra- ler  $K$  benutzen, der sich mittels eines  $F_2$ -Büschels  $B$  einfach auf den Punktraum abbilden läßt, in dem  $K$  von den Polargeraden der Punkte bez.  $B$  gebildet wird (s. Nr. 82).

200) *J. Bergstedt*, Lund Akad. Afh. 1886.

201) *K. Fink*, Dissert. Tübingen 1887.

202) *A. Wiman*, Dissert. Lund 1892.

In dem Sonderfalle, wo die  $R-F_6$  Leitgerade besitzt, geht  $K$  in einen speziellen linearen Komplex über; eine der  $F_2$  in  $B$  artet in ein Ebenenpaar aus.

Enthält ein allgemeiner linearer Komplex die Erzeugenden  $h$  der  $R-F_6$ , so hat die Sekantenregelfläche eine  $C_2$  als Leitkurve, und umgekehrt.

Es werden daraufhin für die verschiedenen Arten der  $R-F_6$  folgende Anzahlen ermittelt:

	$p = 0$	$p = 1$	$p = 2$
Mit einer Leitgeraden	32	18	7
Ohne Leitgerade	36	11	2

Eine  $R-F_6$  ohne zwei Leitgerade hat also höchstens das Geschlecht 2.

Überdies werden allgemein für eine  $R-F_n$  ohne dreifache Kurve und Leitgerade die Anzahl  $t$  der  $D_3$  und die des Geschlechtes  $P$  der  $\bar{C}$  ausgedrückt durch die Ordnung  $n$  der Fläche, das Geschlecht  $p$  und die Zahl  $f$  der  $D_2$

$$\begin{cases} t = \frac{1}{6}(n-4)\{(n-2)(n-3) - 6p\}, \\ P = \frac{1}{2}(n-3)(n-4) + p(n-5) - f. \end{cases}$$

Mithin muß  $p \leq \frac{1}{6}(n-2)(n-3)$  sein.

Entsprechende Formeln gelten für  $R-F$  mit einer Leitgeraden.

### XIII. Metrisch bemerkenswerte Flächen vierter und höherer Ordnung.

85. Aus Flächen 2. Ordnung abgeleitete Flächen vierter und höherer Ordnung. Vorab mögen zwei Arbeiten von *E. E. Kummer* besprochen werden, da sie allgemeinere Gesichtspunkte enthalten. Beidemal wird die Einhüllende einer Schar von  $F_2$  betrachtet.

Sei zunächst<sup>203)</sup> eine quadratische Schar von  $F_2$  vorgelegt mit dem Parameter  $\lambda$

$$(1) \quad \lambda^2 \varphi + 2\lambda\psi + \chi = 0.$$

Dann ist die Einhüllende die  $F_4$

$$(2) \quad F_4 \equiv \psi^2 - \varphi\chi = 0.$$

Diese Gattung von  $F_4$  umfaßt eine Reihe bekannterer, so die  $F_4$  mit  $\bar{C}_2$  (Abschn. III), die *Kummersche* Fläche  $K_m$  (Abschn. XII), die  $F_4$  mit acht assoziierten  $D_2$  (Nr. 61), die *Steinersche* Fläche  $S$  (Abschn. VII), die  $R-F_4$  mit kubischer Doppelkurve (Nr. 78 ff.) u. a.

Während im allgemeinen die Doppeltangenten  $t_2$  einer  $F_4$  ein

203) *E. E. Kummer*, Berlin Ber. 1872, p. 474.

Strahlensystem (12, 28) bilden, so ist es für die  $F_4$  (2) charakteristisch, daß das System in zwei zerfällt: ( $\alpha$ ) (4, 12), und ( $\beta$ ) (8, 16).

Das System ( $\alpha$ ) besteht aus den Erzeugenden aller einhüllenden  $F_2$ , enthält also im besonderen die Kanten der acht, in der  $F_2$ -Schar (1) existierenden Kegel.

Adjungiert man der  $F_4$  (2) noch die Scheitel jener acht Kegel, so erhält man die vollständige Brennfläche des Strahlensystems ( $\alpha$ ).

Dies ist der Spezialfall eines allgemeinen Gesetzes. Man betrachte das System der Doppeltangenten  $t_2$  einer  $F_n$ . Dann zerfällt die Brennfläche dieses Systems in die  $F_n$  selbst, und die abwickelbare Fläche der doppelt berührenden Ebenen  $T_2$  der  $F_n$ .

Kehren wir zur  $F_4$  (2) zurück, so enthält das System ( $\alpha$ ) auch die Kanten der acht Kegel, die gebildet werden von den durch die acht Grundpunkte des Netzes ( $\varphi, \psi, \chi$ ) gehenden Strahlen; diese acht Grundpunkte sind  $D_2$  der  $F_4$ . Diese acht Kegel sind die Orte der durch die  $D_2$  gehenden Tangenten der  $F_4$ .

Die von den  $T_2$  der  $F_2$  (2) eingehüllte abwickelbare Fläche ist eine  $F_{96}$ , die aber zerfällt in jene acht doppelzählenden Kegel 6. Ordnung und eine  $F_{48}$ .

In gewissen Fällen kann das System ( $\alpha$ ) der Ordnung 4 in zwei Systeme 2. Ordnung zerfallen. Man kann auf diese Weise alle Strahlensysteme 2. Ordnung erhalten, die Brennflächen, aber keine Brennkurven haben, exkl. die der Klasse 7.

Das Obige findet dann noch seine Anwendung auf die *Kummersche* Fläche  $K_m$

$$(3) \quad K_m \equiv \varphi^2 - p q r s = 0,$$

wobei verschiedene Modifikationen eintreten.

Als Spezialfall der  $K_m$  erscheint die *Steinersche* Fläche  $S$ . Es werden am Schlusse einige Gipsmodelle der  $K_m$  beschrieben.

Beim nächsten Schritt<sup>204)</sup> liegt eine kubische Schar von  $F_2$  vor

$$(4) \quad \lambda^3 \varphi + 3 \lambda^2 \psi + 3 \lambda \chi + \omega = 0.$$

Die einhüllende Fläche  $F$  dieser Schar erhält man durch Nullsetzen der Diskriminante der in  $\lambda$  kubischen Form (4)

$$(5) \quad F \equiv 4(\psi^2 - \varphi \chi)(\chi^2 - \varphi \omega) - (\varphi \omega - \psi \chi)^2 = 0.$$

Diese Fläche  $F$  ist eine  $F_8$ , die insofern ein bemerkenswertes Seitenstück zur *Kummerschen* Fläche  $K_m$  bildet, als auch sie zu sich selbst dual (reziprok) ist. Diese  $F_8$  erscheint auch als Brennfläche eines Strahlensystems (3, 3), falls die drei durch irgendeinen Punkt gehenden Strahlen des Systems nicht inzident sind.

204) *E. E. Kummer*, Berlin Ber. 1878, p. 25.

Die  $F_8$  hat eine Wendekurve  $C_8$ , zwölf singuläre, längs  $C_2$  berührende Tangentenebenen  $T$ , sowie zwölf  $D_2$ , die auf sechs Schnittachsen der zwölf  $T$  liegen. Jede dieser  $T$  ist in vier Punkten Schmiegungebene der  $C_8$ , die zugleich auf den Berührungs- $C_2$  der  $T$  liegen.

In einem Zusatze bemerkt *Cayley*<sup>205</sup>), daß die obige  $F_8$  zu einer Gattung von Flächen gehört, die er<sup>206</sup>) als Schnitte von drei gewissen, projektiv bezogenen Komplexen erhalten hat.

Das *Kummersche* Verfahren ließe sich fortsetzen, indem man einhüllende Flächen von biquadratischen, . . .  $F_2$ -Scharen betrachtet. Diese Flächen scheinen aber zu kompliziert zu sein, um noch Interesse zu erwecken. Vgl. indessen (weiter unten) eine spezielle biquadratische  $F_2$ -Schar als Enveloppe der Parallelfächen des Ellipsoides.

Ist im besonderen in der Gleichung (2) eine der beiden quadratischen Formen  $\varphi, \chi$  das Quadrat einer Linearform  $p$ , so spezialisiert sich die  $F_4$  (2) zu einer  $F_4$  mit  $\bar{C}_2$ ; für  $p = 0$  als  $E_\infty$ , und  $\psi$  als einen Minimalkegel tritt die Reduktion auf eine Zyklide  $Z$  ein. Als ein bemerkenswerter Unterfall der letzteren bietet sich die Inverse einer zentrischen  $F_2$  in bezug auf deren Mittelpunkt als Pol dar. Macht man  $x, y, z$  noch mit  $q$  homogen, so sei die  $F_2$ , mit dem Anfangspunkt als Mittelpunkt, dargestellt durch

$$(6) \quad F_2 \equiv G_2 - q^2 = 0,$$

wo  $G_2$  eine quadratische Form in  $x, y, z$  ist. Vermöge der Inversion bez.  $O$  geht (6) über in die  $F_4$

$$(7) \quad F_4 \equiv q^2 G_2 - (x^2 + y^2 + z^2)^2 = 0,$$

also in eine leicht zu diskutierende  $Z$ . Ist im besonderen (6) ein Ellipsoid mit den Halbachsen  $a, b, c$ , so geht (7) über in

$$(7') \quad F_4 = q^2 \left( \frac{x^2}{a^2} + \frac{y^2}{b^2} + \frac{z^2}{c^2} - 1 \right) - (x^2 + y^2 + z^2)^2 = 0.$$

Diese  $F_4$  tritt in der Mathematik deformierbarer Körper als „Elastizitätsoberfläche“ auf.

*Cayley*<sup>207</sup>) untersucht die Zentralinverse einer zentrischen  $F_2$ , indem er deren Gleichung auf verschiedene Formen bringt.

Im Falle eines Ellipsoides studiert *Cayley*<sup>208</sup>) die parabolische Kurve der in Rede stehenden Fläche, d. i. den Schnitt mit ihrer *Hesseschen* Fläche. Nach Abspaltung von vier doppelt zu zählenden Geraden, den

205) *A. Cayley*, ib. p. 309.

206) *A. Cayley*, London Math. Soc. Proc. 2 (1870).

207) *A. Cayley*, Quart. J. 11 (1871), p. 283.

208) *A. Cayley*, Quart. J. 15 (1877), p. 141.

K treffenden Kanten des Asymptotenkegels des Ellipsoides, bleibt als „eigentliche“ parabolische Kurve eine  $C_3$ .

Das Problem der Quadratur der Elastizitätsoberfläche hat, nach dem Vorgange von *K. G. J. Jacobi*, *Ed. Hutt*<sup>209)</sup> eingehend behandelt.

Indem er innerhalb des Doppelintegrals der Quadratur zwei geeignete neue Variable einführt, läßt sich die Integration nach der einen algebraisch ausführen; die Integration nach der zweiten Variablen führt auf ein elliptisches Integral.

Dies Ergebnis dehnt *Hutt* weiterhin auf irgendeine Parallellfläche zur Elastizitätsoberfläche aus. Weiter bietet sich als ein eigenartiger metrischer Unterfall von (4) dar in der Schar konfokaler Mittelpunkts- $F_2$

$$(8) \quad \frac{x^2}{a^2 - \lambda} + \frac{y^2}{b^2 - \lambda} + \frac{z^2}{c^2 - \lambda} - q^2 = 0.$$

Nach Heraufmultiplikation der Nenner und Verwendung von Summenabkürzungen, wie  $\sum x^2 = x^2 + y^2 + z^2$  u. a., nimmt (8) die Gestalt an

$$(8') \quad \lambda^3 q^2 + \lambda^2 \{ \sum x^2 - q^2 \sum a^2 \} - \lambda \{ \sum x^2 (b^2 + c^2) - q^2 \sum b^2 c^2 \} \\ + \{ q^2 a^2 b^2 c^2 + \sum x^2 b^2 c^2 \} = 0.$$

Die zugehörige  $F_3$  (5) besitzt nur  $\infty^1$  reelle Punkte, nämlich die der beiden einteiligen Fokalkegelschnitte der Schar (8).

Diese beiden Fokalkegelschnitte nebst dem dritten (nullteiligen), sowie dem Kugelkreise K sind Doppelkegelschnitte  $C_2$  der  $F_3$ . Daraufhin läßt sich die Form  $F_3$  als Summe von (7 resp. 10) Quadraten darstellen.

Die  $F_3$  ist auch insofern bemerkenswert, als sie nach *F. Geiser*<sup>210)</sup> zusammenfällt mit dem Ort der Spitzen  $(x, y, z, q)$  der an das Ellipsoid  $(a, b, c)$  gehenden Rotationskegel. Dies setzt *Geiser* in Beziehung zum Hauptachsenproblem des Ellipsoides (oder allgemeiner, einer zentrischen  $F_2$ ).

Diese drei Hauptachsen hängen von einer gewissen kubischen Gleichung  $f_3(\lambda) = 0$  ab. *E. E. Kummer*<sup>210)</sup> hatte gezeigt, daß die Diskriminante von  $f_3$  als Summe von Quadraten darstellbar ist.

Auf Grund der Quadratsummandarstellung der Form  $F_3$  liefert *Geiser* einen neuen Beweis des *Kummerschen* Satzes, wobei zugleich dessen innerer Grund anschaulich hervortritt.

Es werde noch auf einige weitere, den zentrischen  $F_2$  und im be-

209) *Ed. Hutt*, Progr. Tilsit 1868. Die *Jacobische* Quadratur findet sich in *J. f. Math.* 39 (1850), p. 299.

210) *F. Geiser*, *J. f. Math.* 77 (1876), p. 47. Bezüglich des *Kummerschen* Satzes s. *J. f. Math.* 26 (1843), p. 268.

sonderen dem Ellipsoide entspringende Flächen höherer Ordnung eingegangen.

Da kommt vor allem die vielfach (s. „*Salmon-Fiedler*“, Nr. 273) untersuchte Parallelfäche des Ellipsoides in Betracht. Hierbei sei bemerkt, daß *S. Roberts*<sup>211)</sup> für die Parallelfäche einer zentrischen  $F_2$  Ordnung, Klasse und einige Singularitäten bestimmt hat.

Weiter zeigt *Cayley*<sup>211a)</sup>, daß sich diese Fläche als Enveloppe einer biquadratischen Schar von  $F_2$  ansehen läßt. Ist die Gleichung des Ellipsoides

$$(9) \quad E \equiv \frac{x^2}{a^2} + \frac{y^2}{b^2} + \frac{z^2}{c^2} - 1 \equiv \sum \frac{x^2}{a^2} - 1 = 0,$$

und  $h$  der Abstand zwischen Ellipsoid und Parallelfäche, so lautet die Gleichung der Schar mit dem Parameter  $\varrho$

$$(10) \quad \sum \frac{x^2}{a^2 + \varrho} - \left(1 + \frac{h^2}{\varrho}\right) = 0.$$

Bringt man die Nenner herauf, so ergibt sich links eine biquadratische Form  $f_4(\varrho)$ . Durch Nullsetzen von deren Diskriminante erhält man die Gleichung der Parallelfäche; diese erweist sich also als eine  $F_{12}$ . Sind  $g_2$  und  $g_3$  die Invarianten von  $f_4(\varrho)$ , so wird die Gleichung

$$(11) \quad F_{12} \equiv g_2^3 - 27g_3^2 = 0.$$

Hier stellt  $g_2 = 0$  eine  $F_4$ , und  $g_3 = 0$  eine  $F_6$  dar; deren Schnittkurve, eine  $C_{24}$ , ist die Kuspidualkurve der  $F_{12}$ .

Eine eingehende Untersuchung der Parallelfäche verdankt man *Th. Craig*<sup>212)</sup>. Die Fläche ist eine  $F_{12}$  (s. oben bei *Cayley*) mit einer  $C_{24}$  als Kuspidualkurve.

Nach Aufstellung der Gleichung der  $F_{12}$  werden die Krümmungsparameter  $u, v$  des Ellipsoides als unabhängige Variable eingeführt. Es ergibt sich dann für  $\alpha = b - c$ ,  $\beta = c - a$ ,  $\gamma = a - b$  die einfache explizite irrationale Darstellung der  $F_{12}$

$$(12) \quad x = \sqrt{\frac{a(a+u)+v}{-\beta\gamma}} \left(1 + \frac{h}{a} \sqrt{\frac{abc}{uv}}\right), \text{ usf.}$$

Nach Diskussion der Hauptschnitte der Fläche wird dann ihre Kuspidualkurve  $C_{24}$  untersucht. Diese zerfällt in die drei Fokalkegelschnitte des Ellipsoides, den Kugelkreis  $K$  und 16 Tangenten des letzteren.

Sodann hat *J. C. Malet*<sup>212a)</sup> die negative Fußpunktfläche  $F''$  einer

211) *S. Roberts*, London Math. Soc. Proc. 4 (1872), p. 57.

211a) *A. Cayley*, Mess. 5 (1870), p. 191.

212) *Th. Craig*, J. f. Math. 93 (1889), p. 251.

212a) *J. C. Malet*, Dublin Trans. 1878 (zwei Abhandlungen).

zentriscen  $F_2$  untersucht. Vorab wird als Vorbereitung der Fall der Ebene, also einer zentriscen  $c_2$  behandelt.

Die gesuchte Kurve erweist sich als eine  $r_6$  mit vier  $d_2$  und sechs Spitzen. Die Spitzen liegen auf einer  $c_2$ , ihre Tangenten berühren eine  $\gamma_2$ ; die acht Tangenten in den vier  $d_2$  berühren eine  $\gamma_2'$ , und die sechs Berührungspunkte der drei Doppeltangenten  $t_2$  liegen auf einer  $c_2'$ .

Rechnung und geometrische Deutung verlaufen analog bei dem Raumproblem, nur daß hier naturgemäß die Singularitäten der fraglichen  $F_6$  komplizierter sind.

Das in Rede stehende Problem läßt sich verallgemeinern. In der Ebene suche man den Ort der Mittelpunkte eines veränderlichen Kreises, der einen gegebenen Kreis orthogonal schneidet und eine gegebene Kurve  $c$  berührt. Andere Unterfälle dieser Verallgemeinerung sind die Parallelkurve von  $c$  nebst ihrer negativen Fußpunktkurve, sowie der Ort des Mittelpunktes eines Kreises, der die  $c$  und einen festen Kreis berührt.

Entsprechende Ansätze werden für den Fall des Raumes gemacht.

Weiter sei die „Gegenfußpunktsfläche“  $F'$  des Ellipsoides erwähnt. Allgemein, bei beliebiger Urfläche  $F$ , versteht *Th. Craig*<sup>213)</sup> unter der Fläche  $F'$  den Ort der Fußpunkte der Ebenen, die man durch einen festen Punkt  $P_0$ , den Pol, senkrecht zu den Normalen von  $F$  legen kann.

Für das Ellipsoid (9) als Urfläche und dessen Mittelpunkt als Pol erweist sich die fragliche Fläche  $F'$  als eine  $F_{10}$ .

Die Ableitung ihrer Gleichung erfolgt durch eine umständliche Elimination. Aus der Gleichung lassen sich einige Gestaltsverhältnisse der Fläche ableiten.

Eine einfachere explizite Darstellung ergibt sich, wenn man, wie oben, die Krümmungsparameter  $u, v$  des Ellipsoides als Parameter einführt. Damit gewinnt man die Fundamentalgrößen 1. Ordnung der Fläche  $F'$ , aus denen man weitere Eigenschaften derselben ableiten kann.

Die Fläche  $F'$  hängt mit der Urfläche  $F$  und deren Fußpunktsfläche  $F''$  nach einem einfachen Gesetze zusammen:

Die beiden Normalen in entsprechenden Punkten der beiden letzteren Flächen treffen sich in dem entsprechenden Punkte der ersteren Fläche.

Zu einer eigentümlichen Fläche gelangt *L. Glaisher*<sup>213)</sup>, indem er nach dem Ort der Mittelpunkte der Sehnen konstanter Länge eines Ellipsoides fragt.

213) *L. Glaisher*, Quart. J. 16 (1879), p. 283.

Vorab wird die analoge Frage in der Ebene für eine Ellipse erörtert. Es ergibt sich als Ort eine  $c_4$ , die eingehend diskutiert wird. Für das Ellipsoid ergibt sich als Ort ein räumliches Gebiet, das von Teilen einer gewissen  $F_6$  begrenzt wird. Ist die Gleichung des Ellipsoids  $E$ , wie in (9), gegeben, und  $k$  die konstante Sehnenlänge, so lautet die Gleichung der  $F_6$

$$(13) \quad F_6 \equiv \sum \frac{x^2}{a^2(a^2E^2 + k^2)} = 0.$$

Irgendeiner der drei Hauptschnitte der  $F_6$  zerfällt in eine  $c_4$  der obigen Art und eine Ellipse, die zu dem zugehörigen Hauptschnitt des Ellipsoids ähnlich und ähnlich gelegen ist.

Zwischen diesen beiden Kurven verläuft jeweils der Streifen des Ortsraumes.

Es wird noch auf gewisse Analogien zwischen der  $F_6$  und der Wellenfläche hinsichtlich Gleichungsform und Gestalt hingewiesen.

Im Falle eines Rotationsellipsoids treten gewisse Vereinfachungen ein. Bezüglich mehr elementarer Eigenschaften von, aus einer  $F_2$  (resp.  $C_2$ ) abgeleiteten metrischen Flächen höherer Ordnung (positive und negative Fußpunktfläche, Parallellfläche, Torusfläche u. a.) sei auf „*Salmon-Fiedler*“, Kap. IV verwiesen.

**86. Andere bemerkenswerte metrische Flächen vierter und höherer Ordnung.** Ohne Anspruch auf Vollständigkeit sollen hier nur einige beachtenswerte Typen metrischer  $F_4$  herausgehoben werden. Bei *W. Marx*<sup>214)</sup> liegt die stereometrische Aufgabe zugrunde, drei gegebene Raumgerade  $a, b, c$  durch eine Ebene nach einem Dreieck  $\Delta$  mit vorgeschriebenen Winkeln  $\alpha, \beta, \gamma$  zu schneiden. Man verbinde einen beliebig, aber fest gewählten Punkt  $A$  auf  $a$  mit einem auf  $b$  variierenden Punkte  $B$  durch eine Strecke  $s$ . Über  $s$  konstruiere man ein Dreieck  $\Delta$  der gesuchten Art. Dann beschreibe die dritte Ecke von  $\Delta$  einen Kreis, und dieser Kreis beschreibe bei (auf  $b$ ) variierendem Punkte  $B$  eine  $F_4$  mit einem Doppelkegelschnitt, der selbst ein gewisser Kreis durch  $A$  ist. Diese  $F_4$  wird diskutiert; ihre vier Schnittpunkte mit der Geraden  $c$  führen zu den vier Lösungen der obigen Aufgabe.

*A. Sucharda*<sup>215)</sup> untersucht eingehend „Rückungsflächen“, die entstehen durch Parallelverschiebung eines (unveränderlichen) Kegelschnitts  $C$  längs eines festen Kegelschnitts  $C_0$ . Diese Flächen gehören zur Gattung der  $F_4$  mit  $\bar{C}_2$ .

214) *W. Marx*, Dissert. München 1880.

215) *A. Sucharda*, *Casopis* 13 (1884), p. 1, 161; ib. 15 (1886), p. 149; *Wien Ber.* 97 (1888), p. 1083; ib. 99 (1890), p. 549; ib. 101 (1892), p. 585.

In einer ersten Arbeit (1884) sind im besonderen  $C$  und  $C_0$  Kreise, deren Ebenen orthogonal sind. Es werden für eine solche „Kreisrückungsfläche“ ihre Symmetrieverhältnisse, ihre  $\bar{C}_2$ , ihre Kurve der parabolischen Punkte und ihre Kuspidalpunkte diskutiert, sodann ihre Polarflächen, ihre *Steinersche* Fläche u. a. m. In einer zweiten Arbeit (1886) werden  $C$  und  $C_0$  als beliebige Kegelschnitte angenommen. Es handelt sich vor allem um die Ermittlung der 16 Geraden  $g$  der  $F_4$ , und deren Anordnung. Als Hilfsmittel dient die *Geisersche* Verallgemeinerung<sup>215a)</sup> der Inversion (s. Nr. 25): Jedem Punkte  $X$  entspreche ein Punkt  $Y$  derart, daß ihre Verbindungsgerade  $p$  durch einen festen Punkt  $P_0$  geht, und das Paar  $(X, Y)$  durch die Schnittpunkte von  $h$  mit einer festen  $F_2$  harmonisch getrennt wird. Als zu transformierende Rückungs- $F_4$  wird im besonderen eine durch zwei gleichseitige Hyperbeln  $C, C_0$  bestimmte gewählt, und als  $F_2$  ein die  $\bar{C}_2$  enthaltendes Rotationshyperboloid.

Die Transformierte der  $F_4$  ist eine  $F_8$ , die sich aber nach Absonderung einer Ebene und eines Doppelkegels auf eine spezielle  $F_3$  reduziert, in deren 27 Geraden die 16 der  $F_4$  enthalten sind. Je vier dieser 16  $g$  fallen in eine Gerade zusammen.

Die Methode ist auf den allgemeinen Fall übertragbar.

In drei weiteren Arbeiten<sup>215)</sup> werden Rückungs- $F_4$  mit einem Mittelpunkt untersucht; diese entstehen, wenn  $C$  und  $C_0$  zentrische Kegelschnitte sind. Es werden (1889) wiederum die Singularitäten der  $F_4$  ermittelt u. a. m. Die  $F_4$  enthält zwei Systeme unter sich und mit  $C$  resp.  $C_0$  kongruenter und homothetischer Kegelschnitte. Im besonderen wird (1888) die Normalenfläche  $F$  längs eines solchen verfolgt. Der Richtungskegel von  $F$  ist ein Kegel 2. Ordnung. Alle hierher gehörigen Berührungsaufgaben sind mit Zirkel und Lineal lösbar. Die Fläche  $F$  ist erzeugbar aus zwei ebenen  $c$  in (1, 2)-Korrespondenz. Die Fläche ist eine  $F_6$  vom Geschlecht 0 und vom Range 10. Als Doppelkurve tritt eine  $C_{10}$  auf, die aber in eine  $C_2$  (in  $E_\infty$ ) und eine  $C_8$  zerfällt.

Beachtenswert ist, wie in einer letzten Arbeit (1892) genauer ausgeführt wird, daß sich die ziemlich verwickelten Singularitäten der Fläche in Paaren von reziproken anordnen lassen.

Zu einem metrischen Repräsentanten einer  $F_4$  mit zerfallender  $\bar{C}_2$  und vier isolierten  $D_2$  führt eine stereometrische Aufgabe bei *W. Schmidt*.<sup>216)</sup> Die  $F_4$  ist der Ort der Punkte, deren Entfernungen

215 a) *F. Geiser*, J. f. Math. 70 (1869), p. 249.

216) *W. Schmidt*, Progr. Realgymn. Lüdenscheid 1889. Den Sonderfall, wo die beiden Geraden  $g_1, g_2$  inzident sind, hatten bereits *A. Luchterhandt*, Progr.

$l_1, l_2$  von zwei gegebenen windschiefen Geraden  $g_1, g_2$  eine konstante Summe  $k$  besitzen. Die vier  $D_2$  bestimmen ein windschiefes Rechteck, dessen Diagonalen  $g_1$  und  $g_2$  sind, während die Seiten der  $F_4$  angehören, womit alle  $g$  der Fläche erschöpft sind. Die  $F_4$  besteht aus zwei, in den  $D_2$  zusammenhängenden Mänteln, von denen aber nur der endliche (mit elliptischer Krümmung) der Aufgabe entspricht; für die Punkte des unendlichen Mantels (mit hyperbolischer Krümmung) ist  $l_1 - l_2 = k$ .

Für  $k < \delta$ , wo  $\delta$  den kürzesten Abstand zwischen  $g_1$  und  $g_2$  bedeutet, verschwindet der endliche Mantel. Für den Grenzfall  $k = \delta$  resultiert die *Steinersche* Fläche  $S$  (s. Art. „ $F_3$ “, Nr. 13).

Zu einer speziellen  $F_4$  mit  $\bar{C}_2$  führt eine instructive Aufgabe aus der Differentialgeometrie. Man suche mit *F. Rudio*<sup>217)</sup> eine Fläche  $F$ , deren Krümmungsmittelpunktsfläche aus zwei konfokalen (Mittelpunkts-)  $F_2$  besteht. Sei  $a^2 > b^2 > c^2$ , so stellt

$$(1) \quad \sum_x \frac{x^2}{a^2 - \lambda} = 1$$

ein konfokales  $F_2$ -System dar. Durch irgendeinen Punkt  $P(x, y, z) = P(\lambda, u, v)$  gehen drei solcher  $F_2$ , wo  $\lambda, u, v$ , die Wurzeln von (1), die elliptischen Koordinaten von  $P$  sind. Vom Punkte  $P$ , der auf der  $F_2(\lambda)$  liegt, gehen zwei Gerade  $t_1, t_2$  aus, die  $F_2(\lambda)$  und eine weitere  $F_2(\mu)$  des Systems (1) berühren.

Setzt man zur Abkürzung

$$(2) \quad U = \frac{\sqrt{f(u)}}{(\lambda - u)(\mu - u)}, \quad V = \frac{\sqrt{f(v)}}{(\lambda - v)(\mu - v)},$$

wo  $f(v) = (a^2 - v)(b^2 - v)(c^2 - v)$ , so erhält man für die Richtungskosinus  $\xi, \eta, \zeta$  von  $t_1$ , resp.  $t_2$  die Werte

$$(3) \quad \xi = x \left[ \frac{U}{a^2 - u} \cdot \frac{\mu - u}{v - u} + \frac{V}{a^2 - v} \cdot \frac{\mu - v}{u - v} \right] \text{ usf.}$$

Das Strahlensystem

$$(4) \quad x' = x + \varrho \xi$$

wird zum Normalensystem einer Fläche  $F$ , sobald man  $\varrho$  den Wert beilegt

$$(5) \quad \varrho = \frac{1}{2} \left\{ \int \frac{du}{U} + \int \frac{dv}{V} \right\}.$$

Diese Fläche  $F$  ist die in Rede stehende  $F_4$  mit  $\bar{C}_2$ .

Friedrich-Wilhelm-Gymn. Berlin 1861, und ausführlicher *R. Gantzer*, Progr. Stendal 1876, untersucht. Die Gestaltsverhältnisse der Fläche sind im wesentlichen dieselben, wie im allgemeinen Falle.

217) *F. Rudio*, J. f. Math. 94 (1883), p. 240; ib. 105 (1888), p. 85. Vgl. auch *F. Klein*, Höhere Geom., 3. Aufl., hrsg. von *E. Blaschke*, Berlin 1926, § 6.

Die Methode und ihr Ergebnis lassen sich, wie in einer weiteren Arbeit<sup>217)</sup> gezeigt wird, ausdehnen auf die Mittelpunktsfläche  $F$  eines Strahlensystems 4. Ordnung und 4. Klasse, dessen Brennfläche aus zwei konfokalen  $F_2$  besteht.

Eine einfache stereometrische Aufgabe führt *L. Heffter*<sup>218)</sup> zu „Isogonalfächen“ 4. Ordnung. Sind in der Ebene zwei Punkte  $P_1$  und  $P_2$  gegeben, so ist bekanntlich der Ort der Punkte  $P$ , deren Verbindungslinien mit  $P_1, P_2$  einen konstanten Winkel  $\varphi$  einschließen, ein System von zwei Kreisen, daß man auch als eine zerfallende  $c_4$  („Isogonalkurve“) auffassen kann.

Für den Raum bieten sich, wenn wiederum zwei Punkte  $P_1, P_2$  gegeben sind, drei verschiedene Ausdehnungen dar.

Erstens, die „Isogonalfäche  $J_\varphi(P_1, P_2)$ “, als Ort der Punkte  $P$ , deren Verbindungslinien mit  $P_1, P_2$  einen konstanten Winkel  $\varphi$  bilden. Zweitens, die „Isogonalfäche  $J_\varphi(g, A)$ “, als Ort der Punkte  $P$ , für die die Ebene  $(P, g)$  mit dem Strahle  $(P, A)$  einen konstanten Winkel  $\varphi$  bildet. Drittens, die „Isogonalfäche  $J_\varphi(g_1, g_2)$ “, als Ort der Punkte  $P$ , für die die beiden Ebenen  $(P, g_1)$  und  $(P, g_2)$  einen konstanten Winkel  $\varphi$  einschließen.

Diese drei Arten von Flächen, die stets von der 4<sup>ten</sup> Ordnung sind, werden geometrisch wie analytisch eingehend untersucht.

Im ersten Falle ergibt sich offenbar die Rotationsfläche der in zwei Kreise zerfallenden  $c_4$ . Im zweiten Falle gelangt man zu einer  $F_4$ , die die Gerade  $g$  als Doppelgerade und den Punkt  $A$  als  $D_2$  besitzt. Im dritten Falle resultiert eine  $R-F_4$ . Daß die Fläche eine  $R-F$  sein muß, erkennt man, wenn man sie so entstehen läßt, daß eine variierende Ebene  $E_1$  des Büschels  $(g_1)$  stets mit einer, ihr projektiv zugeordneten Ebene  $E_2$  des Büschels  $(g_2)$ , die mit  $E_1$  den Winkel  $\varphi$  bildet, geschnitten wird. Die Fläche besteht aus allen Tangentenpaaren, die von  $g_2$  an die, aus der Fläche  $J_\varphi(g_1, A_2)$  vom Büschel  $E_1(g_1)$  — oder auch, die von  $g_1$  an die, aus der Fläche  $J_\varphi(g_2, A_1)$  vom Büschel  $E_2(g_2)$  — ausgeschnittenen Kreise gehen.

Hierbei bedeuten  $A_1$  und  $A_2$  die Endpunkte der kürzesten Entfernung  $\delta$  zwischen  $g_1$  und  $g_2$ . Die Gestalt dieser  $R-F_4$  variiert, je nachdem der Winkel  $\alpha(g_1, g_2) \leq \varphi$  ist.

Für  $\alpha < \varphi$  besteht die  $R-F_4$  aus zwei in sich geschlossenen Mänteln, die sich in  $g_1$  und  $g_2$  durchsetzen. Für  $\alpha > \varphi$  existiert nur ein einziger Mantel, der sich längs der Geraden  $g_1$  und  $g_2$  durchsetzt, die aber nicht ihrer ganzen Ausdehnung nach der Fläche reell angehören.

218) *L. Heffter*, *J. f. Math.* 105 (1895), p. 1; *Ztschr. Math. Phys.* 41 (1896), p. 163.

Im Grenzfalle  $\alpha = \varphi$  wird die Gerade  $\delta = (A_1, A_2)$  zu einer Doppelerzeugenden der  $R-F_4$ . Man hat wiederum einen einzigen Mantel, der sich in den drei Geraden  $\delta, g_1, g_2$  durchsetzt, wo  $g_1$  und  $g_2$  ihrer ganzen Ausdehnung nach der Fläche angehören. Es wird auch der andere Grenzfall berücksichtigt, wo  $g_1$  und  $g_2$  inzident sind; die  $R-F_4$  artet dann in einen „Isogonalkegel“ aus.

In einem Nachtrage<sup>218)</sup> setzt der Verfasser auseinander, wie man von den verschiedenen  $F_4$ -Formen ein anschauliches Bild gewinnen kann, und beschreibt Modelle und Apparate, die von *W. Schmidt* in Gießen ausgeführt sind.

Von größerer Bedeutung als diese speziellen Untersuchungen sind die über Flächen mit Symmetrieebenen  $E^{(s)}$ , die sich mit denen regulärer Körper  $K^{(s)}$  decken. Solche Flächen mögen kurz „symmetrische“ heißen und mit  $F^{(s)}$  bezeichnet werden. Es sei von vornherein betont, daß durch das Studium dieser Flächengattungen auch die Theorie der  $K^{(s)}$  wesentlich gefördert wird.

Die beiden grundlegenden Abhandlungen sind die von *E. Lecornu* und *E. Goursat*.<sup>219)</sup>

In der ersten wird, zunächst unabhängig von der Zahl und Anordnung der  $E^{(s)}$ , die Gleichungsform der  $F^{(s)}$  bestimmt. Als Grundlage dient der Satz:

„Haben drei (algebraische) Flächen  $L = \text{konst.}$ ,  $M = \text{konst.}$ ,  $N = \text{konst.}$  gerade so viel gemeinsame Punkte, als zur Herstellung der Symmetrie erforderlich ist, so ist jede  $F^{(s)}$  als ganze Funktion von  $L, M, N$  darstellbar.“

$L, M, N$  heißen „symmetrische Elemente“. Für die weiteren Rechnungen werden vorab solche drei Elemente möglichst einfach ausgewählt:  $L = x^2 + y^2 + z^2$ ,  $M$  und  $N$  je als Produkt der Abstände eines Punktes von den  $E^{(s)}$  eines auf die beiden einfachsten Arten zu wählenden symmetrischen Systems.

Für  $m, n$  als die Ordnungen von  $M, N$  erweist sich die Zahl der  $E^{(s)}$  des zugehörigen  $K^{(s)}$  gleich  $m + n - 1$ . Nunmehr werden, im Anschluß an die fünf regulären  $K^{(s)}$ , drei Typen solcher symmetrischen Systeme unterschieden: Der „tetraedrische“ Typus (I), der „kubo-oktaedrische“ (II), und der „ikosi-dodekaedrische“ (III).

Beim Typus (I) mit sechs  $E^{(s)}$  ist zu setzen

$$(I) \begin{cases} M = xyz, \\ N = -(x + y + z)(x + y - z)(x - y + z)(-x + y + z). \end{cases}$$

219) *E. Lecornu*, Acta math. 10 (1887), p. 201; *E. Goursat*, Ann. Éc. Norm. (3) 4 (1887), p. 159, 241, 316.

Die Gleichung der zugehörigen  $F^{(s)}$  lautet

$$(I) \quad F^{(s)} \equiv \varphi \{x^2 + y^2 + z^2, x^2 y^2 + y^2 z^2 + z^2 x^2, xyz\} = 0.$$

Für besondere Fälle bestehen verschiedene Beziehungen zu anderen Zweigen der Geometrie.

Beim Typus (II) mit neun  $E^{(s)}$  hat man

$$(II) \quad M = x^2 y^2 z^2, \quad N = x^4 + y^4 + z^4 - 2x^2 y^2 - 2y^2 z^2 - 2z^2 x^2.$$

Die Gleichung der zugehörigen  $F^{(s)}$  läßt sich auf die einfache Form bringen

$$(II') \quad F^{(s)} \equiv \varphi(x^2, y^2, z^2) = 0.$$

Im besonderen ergibt sich so eine biquadratische  $F_4^{(s)}$ . Vermöge der Substitution  $x^2 = X, y^2 = Y, z^2 = Z$  geht sie in eine Rotations- $F_2$  über. Die Lage der  $D_2$  der  $F_4$ , sowie ihrer 24 reellen Geraden, wird diskutiert.

In diese Klasse von  $F^{(s)}$  gehört auch die „pseudosphärische“  $F_4$ ,  $x^4 + y^4 + z^4 = 1$ , und die  $F_6$ :  $\frac{1}{x^2} + \frac{1}{y^2} + \frac{1}{z^2} = \frac{1}{a^2}$ .

Beim Typus III mit 15  $E^{(s)}$  setze man, unter  $\lambda$  den Wert  $\frac{1}{2}(\sqrt{5} - 1)$  verstanden,

$$(III) \quad \begin{cases} M = (z^2 - \lambda^2 y^2)(y^2 - \lambda^2 x^2)(x^2 - \lambda^2 z^2), \\ N = (y^2 - \lambda^4 z^2)(z^2 - \lambda^4 x^2)(x^2 - \lambda^4 y^2)(x^4 + y^4 + z^4 \\ \quad - 2x^2 y^2 - 2y^2 z^2 - 2z^2 x^2). \end{cases}$$

Die zugehörige  $F^{(s)}$ -Gleichung ist wiederum

$$(III') \quad \varphi(L, M, N) = 0.$$

Es braucht kaum erwähnt zu werden, daß algebraischen  $F^{(s)}$  bei allen drei Typen stets algebraische Gleichungen  $\varphi = 0$  entsprechen, und vice versa.

Wir kommen zur *Goursatschen* weitgreifenden Untersuchung.<sup>219)</sup> Diese zerlegt sich in drei Teile. Der erste deckt sich im wesentlichen, abgesehen von der Auswahl der speziellen Probleme, mit den Methoden und Ergebnissen von *Lecornu*.

Außer den obigen drei  $K^{(s)}$ -Typen werden aber auch noch die der regelmäßigen Pyramide und Doppelpyramide berücksichtigt.

Ferner werden mit Vorteil Minimalkoordinaten  $s = x + iy, \bar{s} = x - iy$  verwendet, und mit deren Hilfe die Klassengleichung der  $F^{(s)}$  aufgestellt. Instruktive Beispiele werden durch gewisse  $F_3, F_4, F_6$  geliefert.

Der zweite Teil ist den symmetrischen Minimalflächen  $M^{(s)}$  gewidmet. (Bezüglich der allgemeinen Theorie der Minimalflächen siehe Art. III D 5, *R. v. Lilienthal*, Besondere Flächen, Kap. 6.) Ist  $P$  irgend-

ein Punkt einer zunächst beliebigen Minimalfläche  $M$ ,  $p(s, \bar{s})$  sein sphärisches Bild, so entspricht jeder Kurve auf  $M$  als Ort von Punkten  $P$  seine sphärische Bildkurve als Ort der Punkte  $p$ .

Dadurch läßt sich jede Minimalkurve  $\Gamma$  vermöge der „charakteristischen Variabeln“  $\sigma = -\frac{dx}{dz} - i\frac{dy}{dz}$  durch eine „charakteristische Funktion  $F(\sigma)$ “ darstellen.

Aus der Kurve  $\Gamma$  wird gemäß der Lieschen Theorie (s. Nr. 87) durch Translation einer zweiten solchen Kurve  $\Gamma'$  jede  $M$  erzeugt; aus der charakteristischen Funktion von  $\Gamma$  läßt sich die von  $\Gamma'$  ableiten. Nunmehr trete die Bedingung ein, daß die  $M$  zu einer  $M^{(s)}$  wird. Hierbei sind zwei Arten von Symmetrie zu unterscheiden. Entweder entsprechen zwei symmetrisch zu einer  $E^{(s)}$  gelegenen Kugelpunkten zwei symmetrisch gelegene Flächenpunkte, oder aber zwei symmetrisch zur  $Y$ -Achse gelegenen Kugelpunkten entsprechen zwei symmetrisch zur  $Y$ -Ebene gelegene Punkte der Fläche. Die Minimalkurve  $\Gamma$  muß dann derart sein, daß ihr symmetrisches Gegenbild entweder mit  $\Gamma$  selbst, oder aber mit deren konjugierter Kurve  $\bar{\Gamma}$  zusammenfällt.

Für jeden der Körper  $K^{(s)}$  werden  $\Gamma, \Gamma'$  nebst den zugehörigen charakteristischen Funktionen  $F(\sigma)$  bestimmt.

Den beiden obigen Arten von Symmetrie korrespondieren dann die Bedingungen  $\bar{F}(\sigma) = F(\sigma)$  resp.  $-\sigma^2 F\left(-\frac{1}{\sigma}\right) = F(\sigma)$ .

Diese beiden Bedingungen erweisen sich für algebraische  $M^{(s)}$  je als hinreichend (für transzendente aber nicht).

Im dritten Teile werden die Gleichungen der  $F^{(s)}$  funktionentheoretisch behandelt. Weiter wird die Symmetrie der Typen (I) und (II) auf den  $S_n$ , insbesondere den  $S_4$ , ausgedehnt.

Endlich wird noch auf eine Verallgemeinerung der Theorie hingewiesen. Es handelt sich dann um Flächen, die, ohne die Symmetrie eines  $K^{(s)}$  zu besitzen, durch alle einen  $K^{(s)}$  in sich überführenden Rotationen ebenfalls in sich übergehen.

*E. Ciani*<sup>220</sup>) macht auf eine Lücke bei *Goursat* aufmerksam. Es handelt sich für die  $E^{(s)}$  eines Büschels  $B$  um die Maximalzahl von  $E^{(s)}$ , die eine  $F^{(s)}$  haben kann, ohne eine Rotationsfläche zu sein, deren Achse die Achse von  $B$  ist. Für den Fall der Ebene hatte *Ciani* das analoge Problem bereits in einer vorausgehenden Arbeit behandelt.

Die beiden Hauptergebnisse sind:

1. Eine  $F_n$  kann  $\nu$  ( $< n$ )  $E$  eines  $B$  zu  $E^{(s)}$  haben, aber nicht mehr als  $n$ ;

220) *E. Ciani*, Rom Linc. Rend. (4) 6<sub>1</sub> (1890), p. 399.

2. Alle  $F$  einer ungeraden Ordnung, mit einer geraden Anzahl von  $E^{(s)}$  in  $B$ , enthalten eine  $g_\infty$ , durch die alle zur  $B$ -Achse senkrechten Geraden gehen.

Hiervon wird im besonderen eine Anwendung auf die symmetrischen  $F_3$  gemacht (s. auch Art. „ $F_3$ “, Nr. 23).

Den drei von *Goursat* angegebenen Typen, von denen der erste zur Doppelpyramide gehört, der zweite tetraedrisch ist, und der dritte eine einzige  $E^{(s)}$  besitzt, fügt *Ciani* noch zwei weitere Typen hinzu:

4. die  $F_3$  mit zwei orthogonalen  $E^{(s)}$ ;  
 5. die  $F_3$  mit drei unter dem Winkel  $\frac{\pi}{3}$  gegeneinander geneigten  $E^{(s)}$ .

Außer diesen fünf Typen symmetrischer  $F_3$  existieren keine weiteren.

Im Falle der Doppelpyramide wird die  $F_3$  nebst ihrer *Hesseschen* Fläche  $H$  genauer untersucht. Dabei tritt ein Spezialfall auf, wo das Problem der 27  $g$  der  $F_3$  nur von der Lösung einer kubischen Gleichung abhängt.

Nach *Juhel Rénoy*<sup>221)</sup> wird eine  $F_4^{(s)}$  mit drei je zueinander senkrechten  $E^{(s)}$  und doppeltem Asymptotenkegel von jeder doppelt berührenden Ebene sowie von jeder doppelt berührenden  $F_2$  mit demselben Asymptotenkegel in zwei Kegelschnitten geschnitten. Indessen hat diese Doppelleigenschaft mit der Symmetrie nichts zu tun, denn jede  $F_4$  mit  $\bar{C}_2$  wird von einer doppelt berührenden Ebene, sowie von einer doppelt berührenden, durch die  $C_2$  gehenden  $F_2$  in zwei Kegelschnitten geschnitten. Der Schnitt ist beidemal eine  $r_4$  mit vier  $d_2$ , zerfällt also in zwei  $c_2$  (s. Nr. 9).

Eine große Reihe spezieller  $F^{(s)}$ , insbesondere hexaedrischer  $F_4^{(s)}$  mit neun  $E^{(s)}$ , unter Berücksichtigung ihrer reellen Geraden, wird von *E. Lebon*<sup>222)</sup> diskutiert. Als Sonderfälle seien etwa die „Kuboiden“ und „Oktaedroide“ erwähnt, die die Kanten eines Würfels resp. Oktaeders enthalten.

Mehrere Arbeiten hat auch *S. Mangeot*<sup>223)</sup> den  $F^{(s)}$  und gewissen Verallgemeinerungen gewidmet. Es sei hier nur auf letztere eingegangen, da die Betrachtungen über die  $F^{(s)}$  nicht über die von *Lecornu* und *Goursat* hinausgehen.

221) *Juhel Rénoy*, *Nouv. Ann.* (3) 7 (1888), p. 282.

222) *E. Lebon*, *J. de math. spec.* (3) 3 (1889), p. 103, 134, 159, 193, 219, 241, 282.

223) *S. Mangeot*, *Paris C. R.* 112 (1891), p. 1497; *Nouv. Ann.* (3) 10 (1891), p. 235; *Ass. Fr.* 20 (1891), p. 221; *Paris C. R.* 114 (1892), p. 1463; *Soc. Math. Fr. Bull.* 20 (1892), p. 84.

Es liege eine feste zentrische  $F_2$  vor; auf der Normalen  $n$  in irgendeinem Flächenpunkte  $P$  denke man sich zwei gleiche (variierende) Längen von  $P$  aus abgetragen. Der Ort der Endpunkte heißt eine bez.  $F_2$  symmetrische Fläche. Ist die Gleichung der  $F_2$

$$(6) \quad F_2 \equiv \frac{x^2}{a} + \frac{y^2}{b} + \frac{z^2}{c} - 1 = 0,$$

so ist die Gleichung der symmetrischen Fläche von  $F$  von der Form

$$(7) \quad F \equiv \varphi(x^a, y^b, z^c) = 0.$$

Daraufhin werden die algebraischen  $F$  weiter verfolgt.

Das Verfahren ist auf eine beliebige Urfläche, die dann selbst eine  $F^{(6)}$  sein mag, ausgedehnt.

Bezüglich der zahlreichen speziellen metrischen algebraischen Flächen, die der Theorie der Komplexe und Kongruenzen entspringen, sei auf den Art. III C 8, *K. Zindler*, Algebraische Liniengeometrie, verwiesen.

**87. Algebraische Minimalflächen.** (Über die allgemeine Theorie der Minimalflächen s. Art. III D 5, *R. v. Lilienthal*, Besondere Flächen, Kap. 6.) *L. Henneberg*<sup>224</sup>) fragt nach dem Minimalwert der Klassenanzahl  $\nu$  für eine reelle algebraische Minimalfläche. Zu dem Behuf beweist er vorab das Kriterium: Je nachdem irgendein eine Minimalfläche berührender Zylinder als Orthogonalschnitt die Evolute einer algebraischen oder aber transzendenten Kurve besitzt, ist die Fläche selbst algebraisch oder aber transzendent.

Daraufhin läßt sich zeigen, daß der gesuchte Minimalwert von  $\nu$  gleich Fünf ist.

In der Tat existiert eine solche Minimal- $\Phi_5$ , deren Ordnung (irritümlich, s. u.) als 17 angegeben wird.

Diese  $\Phi_5$  erfährt eine eingehende Behandlung durch *C. Schilling*.<sup>225</sup>) Zugrunde liegt die allgemeine *Liesche* Theorie der Minimalflächen; danach wird eine solche unter geometrischer Deutung einer *Weierstraßschen* Integraldarstellung erklärt als Ort der Mittelpunkte der Strecken, die irgend zwei Punkte zweier gegebener Minimalkurven verbinden.

Indessen läßt die *Liesche* Theorie hier, wo es sich im besonderen um die Bestimmung charakteristischer Anzahlen algebraischer Minimalflächen handelt, verschiedene vereinfachende Modifikationen zu.

Die algebraischen Minimal- $\Phi_5$  sind alle einander ähnlich und lassen

224) *L. Henneberg*, Ann. di mat. (2) 9 (1879), p. 54.

225) *C. Schilling*, Dissert. Göttingen 1880.

sich durch zwei (komplexe) Parameter  $s, s_1$  rational explizite darstellen vermöge

$$(1) \quad \begin{cases} x = \left(\frac{1}{s^3} + \frac{1}{s_1^3}\right) - \left(\frac{1}{s} + \frac{1}{s_1}\right) + 3(s - s_1) - (s^3 + s_1^3), \\ y = i \left[ \left(\frac{1}{s^3} - \frac{1}{s_1^3}\right) + 3\left(\frac{1}{s} - \frac{1}{s_1}\right) + 3(s - s_1) + (s^3 - s_1^3) \right], \\ z = 3\left(\frac{1}{s^2} + \frac{1}{s_1^2}\right) + 3(s^2 + s_1^2). \end{cases}$$

Die reellen Punkte entsprechen konjugierten Werten von  $s$  und  $s_1$ . Setzt man daher  $s = re^{iq}$ ,  $s_1 = re^{-iq}$ , so wird die reelle  $\Phi_5$  dargestellt durch

$$(1') \quad \begin{cases} x = 2(r^{-3} - r^3) \cos 3q - 6(r^{-1} - r) \cos q, \\ y = 2(r^{-3} - r^3) \sin 3q + 6(r^{-1} - r) \sin q, \\ z = 6(r^{-2} + r^2) \cos 2q. \end{cases}$$

Im einzelnen werden diskutiert die Schnitte der Fläche mit den Koordinatenebenen und  $E_\infty$ , eine Schar von einhüllenden Zylindern 6. Ordnung, und ihre Singularitäten.

Die Fläche besitzt eine Doppelgerade (die  $z$ -Achse), fünf dreifache Gerade, zwei Doppelkurven  $\bar{c}_5$  in den beiden Symmetrieebenen, und vier Rückkehrkurven  $C_6$ .

Die Ordnung der  $\Phi_5$  ist gleich 10 (nicht 17, wie *Henneberg* angegeben hatte).

Ein stereoskopisches Bild eines Modelles ist beigelegt.

Nunmehr gehen wir noch kurz auf einige allgemeinere Untersuchungen über algebraische Minimalflächen ein. Zur Abkürzung sei eine Minimalfläche mit  $M$ , eine algebraische mit  $M_a$  bezeichnet; eine abwickelbare Fläche mit  $A$ , eine algebraische mit  $A_a$ ; endlich der Kugelkreis, wie früher, mit  $K$ .

Es handelt sich nach *S. Lie*<sup>226</sup> vor allem um Kriterien dafür, ob eine vorgelegte  $M$  eine  $M_a$  ist oder nicht, und im ersteren Falle darum, deren charakteristische Anzahlen (Ordnung, Klasse, Rang usw.) zu ermitteln.

Für die algebraischen Zwecke empfiehlt es sich, mit *Lie*<sup>227</sup> die oben angegebene Erklärung einer  $M$  durch folgende, im wesentlichen gleichartige, zu ersetzen: Sind zwei Minimalkurven  $C_0, K_0$  gegeben, die einen Punkt  $P_0$  gemein haben, so entsteht die allgemeinste  $M$  durch Translation von  $C_0$  längs  $K_0$ , indem  $P_0$  die  $K_0$  durchläuft, oder auch vice versa.

Die  $M$  ist dann und nur dann reell, wenn  $C_0$  und  $K_0$  konjugiert-komplex sind, und algebraisch dann und nur dann, wenn  $C_0$  und  $K_0$

226) *S. Lie*, Arch. for Math. og Nat. 2 (1877), p. 295.

227) *S. Lie*, ib. 3 (1878), p. 166.

beide algebraisch sind. Kann  $C_0$  durch Translation in  $K_0$  übergeführt werden, so überdecken die Minimalkurven der Fläche diese doppelt; letztere heißen „Doppelflächen“.

Der Kegel von Tangenten, die von einem Punkte auf  $K$  an eine  $M$  gehen, zerfällt im allgemeinen in mehrere Kegel, deren jeder die  $M$  längs einer Minimalkurve berührt. Dies führt zu einer einfachen Formel für die Klasse einer  $M_a$ .

Ebenso wird eine allgemeine Methode zur Bestimmung der Ordnung einer  $M_a$  entwickelt.

In einer zweiten Arbeit werden weitere Kriterien für die  $M_a$  entwickelt. Es sei etwa das folgende angeführt. Enthält eine  $M$  eine ebene Krümmungslinie  $c$ , so ist die  $M$  dann und nur dann eine  $M_a$ , wenn die  $c$  die Evolute einer algebraischen Kurve ist.

Umgekehrt berührt jede  $M_a$   $\infty^3$  Evoluten algebraischer Kurven längs des Ortes der Krümmungsmittelpunkte.

Weiter<sup>228)</sup> wird gezeigt, daß die Tangentenkegel einer  $M_a$  diese nach  $\infty^3$  algebraischen Kurven berühren.

Insbesondere lassen sich in jedem algebraischen Kegel  $\infty^\infty M_a$  einbeschreiben und bestimmen.

Eine vierte Arbeit<sup>229)</sup> knüpft an den oben<sup>224)</sup> erwähnten Satz von *Henneberg* an, daß der orthogonale Querschnitt eines jeden, einer  $M_a$  umschriebenen Zylinders, die Evolute einer algebraischen Kurve ist.

*Lie* stellt das allgemeine Problem („*Liesches Problem*“), alle  $A_a$  zu bestimmen, denen sich  $M_a$  einbeschreiben lassen. Sieht man eine erste solche  $A_a$  als bekannt an, so lassen sich in der Tat alle übrigen ( $\infty^\infty$ )  $A_a$  dieser Art bestimmen.

Für besondere Fälle werden einfache Konstruktionen der  $A_a$  angegeben.

In zwei umfangreichen Abhandlungen<sup>230)</sup> werden die bisherigen Entwicklungen von *Lie* zusammengefaßt und weitergeführt. In der ersten sind die verschiedenen Methoden zur Bestimmung der Klasse und Ordnung einer  $M_a$  zusammengestellt. In der zweiten Abhandlung wird der Zusammenhang zwischen der Krümmungstheorie algebraischer Kurven und der Theorie der einer  $A_a$  einbeschriebenen  $M_a$  systematisch entwickelt.

Eine allgemeine Erledigung des *Lieschen Problems* verdankt man *G. Darboux*<sup>231)</sup>, und zwar gleich in drei Arten von Lösungen.

228) *S. Lie*, ib. 4 (1878), p. 224.

229) *S. Lie*, ib. 4 (1878), p. 340.

230) *S. Lie*, *Math. Ann.* 14 (1879), p. 341; 15 (1879), p. 465.

231) *G. Darboux*, *Paris C. R.* 102 (1886), p. 1513.

Die erste Lösung ist analytisch und beruht auf der *Weierstraß*-schen Integraldarstellung der  $M$ .

Die zweite Lösung verfährt geometrisch und dringt bis zur Konstruktion der Berührungskurven ( $A_a, M_a$ ) vor.

Am eigenartigsten ist die dritte<sup>232)</sup> Lösung, sie sich geometrischer wie analytischer Hilfsmittel bedient. Geometrisch geht sie von einer, von *A. Ribaucour*<sup>233)</sup> herrührenden Entstehung der  $M$  aus, die sich durch besondere Einfachheit und Anschaulichkeit auszeichnet.

Gegeben seien zwei durch den Kugelkreis  $K$  gehende abwickelbare Flächen. Sei  $t$  eine gemeinsame Tangente, und  $\beta$  der Mittelpunkt von deren Strecke zwischen den beiden Berührungspunkten. Man errichte in  $\beta$  die zu  $t$  senkrechte Ebene  $E$ , dann ist die Einhüllende der  $E$  die allgemeinste  $M$ .

Indem *Darboux* noch einen weiteren Hilfssatz über Regelflächen heranzieht, leitet er durch Rechnung folgende Lösung des Problems ab. Um alle  $M_a$  zu erhalten, die einer vorgelegten  $A_a$  einbeschrieben sind, bestimme man vorab alle  $R-F$ , deren Erzeugende  $h$  senkrecht auf den Ebenen von  $A_a$  stehen, und für die der Schnittpunkt jeder  $h$  in der entsprechenden Ebene von  $A_a$  liegt.

Die Rückkehrkanten der beiden  $A_a$ , die jeder der  $R-F$  und  $K$  umbeschrieben sind, sind die Minimalkurven  $\Gamma, \Gamma_1$ , durch deren Translation (gemäß *Lie*) die gesuchten  $M_a$  entstehen.

Von der *Weierstraß*-schen Integraldarstellung der  $M$  geht auch *O. Vivanti*<sup>234)</sup> aus. In jener treten zwei willkürliche Funktionen  $F(u), F_1(v)$  auf; die  $M$  ist nur reell, wenn  $F$  und  $F_1$  konjugiert komplex sind, und den reellen Punkten der  $M$  entsprechen dann konjugiert-komplexe Werte der Variablen  $u, v$ .

Es wird zunächst gezeigt, daß für die von *Henneberg*<sup>224)</sup> und *Schilling*<sup>225)</sup> studierte Minimal- $\Phi_5$  die Funktion  $F(u)$  den Wert besitzt

$$(2) \quad F(u) = \left(u - \frac{1}{u}\right) \left(u + \frac{1}{u}\right) \frac{1}{u^2}.$$

Es wird nunmehr der allgemeinere Fall betrachtet

$$(3) \quad F(u) = \left(\frac{1}{u} - u\right)^\alpha \left(u + \frac{1}{u}\right)^\beta \frac{1}{u^2},$$

wo die Exponenten  $\alpha, \beta (\geq 1)$  ganzzahlig sind, und  $\beta$  ungerade ist. Behufs Untersuchung der zugehörigen  $M_a$  wird das Integral  $H$  gebildet

$$(4) \quad H(m, n; u) = \int \left(\frac{1}{u} - u\right)^m \left(u + \frac{1}{u}\right)^n \frac{du}{u},$$

232) *G. Darboux*, ib. 104 (1887), p. 728.

233) *A. Ribaucour*, Brux. Mém. cour. 44 (1882).

234) *O. Vivanti*, Ztschr. Math. Phys. 33 (1888), p. 137.

wo die Exponenten  $m, n (\geq 0)$  ganzzahlig sind, aber nicht zugleich verschwinden.

$H$  ist nur dann algebraisch, wenn wenigstens eine der Zahlen  $m, n$  ungerade ist. Hieraus wird abgeleitet, daß die zu (3) gehörige  $M$  nur dann algebraisch (und zwar rational) wird, wenn  $\alpha$  und  $\beta$  ungerade sind.

Für die so entstehenden  $M_\alpha$  werden Ordnung, Klasse und Singularitäten ermittelt.

Die einzige, rein geometrisch vorgehende Untersuchung der  $M_\alpha$  rührt von *R. Sturm*<sup>235)</sup> her. Es empfiehlt sich, vorab die *Liesche* Mittelpunktserzeugung der  $M$  zu verallgemeinern. Gegeben seien zwei beliebige Kurven  $\Gamma, \Gamma_1$ , und eine Fläche  $F$  werde definiert als Ort der Mittelpunkte  $P$  der irgend zwei Punkte von  $\Gamma, \Gamma_1$  verbindenden Strecken. Es wird dann direkt untersucht, wieviele solcher Punkte  $P$  auf einer beliebigen Geraden  $g$  liegen, und wieviel Berührungsebenen durch  $g$  an die Fläche  $F$  gehen. Damit bestimmt sich Ordnung und Klasse der  $F$ .

Der besondere Fall der Flächen  $M$  tritt ein, wenn die Tangenten von  $\Gamma$  und  $\Gamma_1$  den Kugelkreis  $K$  treffen, und die  $M$  wird zu einer  $M_\alpha$ , wenn  $\Gamma$  und  $\Gamma_1$  algebraisch sind.

Auf diesem Wege werden auch die Eigenschaften der *Henneberg-Schillingschen* Minimal- $\Phi_s$  abgeleitet.

Endlich sei noch auf eine Untersuchung der  $M_\alpha$  durch *R. Glaser*<sup>236)</sup> hingewiesen.

Handelt es sich nur um die spezifischen Eigenschaften der  $M_\alpha$ , so läßt sich die allgemeine *Liesche* Translationstheorie der  $M$  nach verschiedenen Richtungen vereinfachen. Man gehe wieder aus von zwei Minimalkurven  $\Gamma, \Gamma_1$ . Eine solche  $\Gamma$  läßt sich wiederum bestimmen durch eine gewisse ebene Kurve  $\gamma$ . Letztere wird vermöge einer Inversion in sich transformiert, womit eine entsprechende Transformation der  $M$  resp.  $M_\alpha$  verknüpft ist. Damit ergibt sich eine eigenartige Entstehung der  $M_\alpha$ , die es gestattet, Ordnung, Klasse, Rang und Singularitäten direkt zu diskutieren.

Dies findet seine Anwendung u. a. auf eine von *A. Enneper*<sup>237)</sup> gefundene Minimal- $F_g$ .

Symmetrische algebraische Minimalflächen sind bereits in Nr. 86 berücksichtigt worden.

235) *R. Sturm*, J. f. Math. 105 (1889), p. 101.

236) *R. Glaser*, Dissert. Tübingen 1891.

237) *A. Enneper*, Gött. Nachr. 1867, p. 297; Gött. Abh. 29 (1882), p. 41, 68.



## Literatur-Nachträge.

## Zu Abschnitt VIII.

Einige spezielle rationale Flächen:

- $F_5$  mit  $\bar{C}_3$ : *A. Clebsch*, Math. Ann. 1 (1869), p. 284.  
 $F_5$  mit zwei windschiefen  $\bar{g}$ : *A. Clebsch*, ib. p. 307.  
 $F_5$  mit  $\bar{C}_4$ : *A. Clebsch*, Gött. Abh. 15 (1870), Math. Ann. 3 (1871), p. 71; *M. Noether*, ib. 3 (1871), p. 198, 568; *L. Cremona*, ib. 4 (1871), p. 215, 218.  
 $F_{m+n+1}$  mit zwei windschiefen Geraden der Vielfachheiten  $m, n$ : *G. B. Guccia*, Assoc. Fr. 9 (1880), p. 191.  
 Eine Reihe rationaler  $F_5$ , die außer isolierten vielfachen Punkten evtl. noch eine  $\bar{g}$  oder eine  $\bar{C}_2$  besitzen: *S. E. Hill*, Math. Rev. 1 (1896), p. 1; *D. Montesano*, Napoli Rend. (3) 6 (1900), p. 158; (3) 7 (1901), p. 67; (3) 13 (1907), p. 66; *A. Pensa*, Dissert. Torino 1899, Ann. di mat. (3) 6 (1901), p. 249.  
 Rationale  $F$  mit  $C_2$ -Scharen, nebst ihrer Abbildung: *P. del Pezzo*, Palermo Rend. 1 (1887), p. 241; *G. Castelnuovo*, ib. 4 (1890), p. 73, durch Projektion aus dem  $S_n$  ( $n > 3$ ); *Th. Reye*, Math. Ann. 48 (1897), p. 113, durch Abbildung bekannter Flächen mittels eines  $F_2$ -Gebüsches.  
 Einige dieser Flächen auch bei: *G. Koenigs*, Ann. Éc. Norm. (3) 5 (1888), p. 177; Paris C. R. 105 (1887), p. 407; 109 (1889), p. 364; *E. Cosserat*, Paris C. R. 124 (1887), p. 1004; 130 (1900), p. 311, 385; *L. Godeaux*, Ens. math. 15 (1913), p. 310; *C. H. Sisam*, Amer. Math. Soc. Bull. (2) 22 (1916), p. 381; Amer. J. Math. 38 (1916), p. 373.  
 Eine Reihe obiger  $F$  mit  $\infty C_2$  wird auch erhalten bei der Lösung des Problems, alle  $F$  gegebener Ordnung mit  $\infty C_2$  zu bestimmen:  
 $F_5$ : *M. de Franchis*, Rom Linc. Rend. (5) 15<sub>2</sub> (1906), p. 217, 284; Palermo Rend. 35 (1913), p. 47; *C. H. Sisam*, Amer. J. Math. 30 (1908), p. 99; *E. G. Togliatti*, Rom Linc. Rend. (5) 21<sub>2</sub> (1912), p. 35; Ist. Lomb. Mem. (3) 12 (1916), p. 243; *G. Marletta*, Catania Acc. Gioenia A. (5) 8 (1915), Nr. 14.  
 $F_6$ : *G. Marletta*, Rom Linc. Rend. (5) 24<sub>2</sub> (1915), p. 109, 359; Palermo Rend. 40 (1915), p. 217; *E. G. Togliatti*, Rom Linc. Rend. (5) 24<sub>2</sub> (1915), p. 307, 329, 388; Ist. Lomb. Mem. (s. oben).  
 $F_7$ : *Gels. Grimaldi*, Giorn. di mat. (3) 7 (1916), p. 341.  
 $F_7$  mit elliptischen Büscheln von  $C_2$  (deren Ebenen kein Büschel bilden): *Gels. Grimaldi*, Palermo Rend. 42 (1917), p. 80.  
 $F_8$  mit  $\infty C_2$ , deren Ebenen kein Büschel bilden: *M. Bartolo*, Catania Acc. Gioenia A. (5) 12 (1918), Nr. 11; *Gels. Grimaldi*, ib. (5) 11 (1918), Nr. 9.  
 $F_9$  desgleichen: *S. Ragonesi*, Acireale Acc. Dafnica A. (2) 4 (1914—15), Nr. 5.  
 $F_8$  mit einem elliptischen Büschel von  $C_2$ : *Concettina Lango*, Catania Acc. Gioenia A. (5) 15 (1925), Nr. 2<sup>bis</sup>.  
 $F_6$  und  $F_7$  mit einem Büschel von  $c_3$  (deren Ebenen kein Büschel bilden): *G. Marletta*, Palermo Rend. 41 (1916), p. 180.  
 $F_6$  mit einem Büschel von  $c_3$  in Ebenen eines Büschels: *G. Marletta*, Palermo Rend. 42 (1917), p. 116.  
 $F_6$  und  $F_7$  mit einem Büschel von  $r_3$ , deren Ebenen kein Büschel bilden: *A. Cattolotti*, Catania Acc. Gioenia A. (5) 11 (1918), Nr. 8.

## Zu Abschnitt XII.

Rationale Regelflächen  $R-F$  und ihre ebene Abbildung: *A. Armenante*, Ann. di mat. (2) 4 (1869), p. 50; vollständig bei *A. Clebsch*, Math. Ann. 5 (1872), p. 1. Durch Reduktion der Abbildung auf eine Minimalordnung vermöge quadratischer Transformationen gibt *Clebsch* eine Klassifikation der rationalen  $R-F_n$  gemäß der Ordnung  $m$  der Leitkurve niedrigster Ordnung. Leitkurve einer  $R-F$  ist eine einfache Kurve, die jede Erzeugende in einem Punkte trifft. Dabei kann die Zahl  $m$  variieren von 1 bis  $\frac{n}{2}$  resp.  $\frac{n-1}{2}$ , je nachdem  $n$  gerade oder ungerade ist.

Diese analytisch bewiesenen Ergebnisse von *Clebsch* leitet synthetisch ab *C. Segre*, Torino A. 19 (1884), p. 355, durch Projektion einer  $R-F_n$  im  $S_{n+1}$ .

Im besonderen untersuchen die rationalen  $R-F_{m+n}$  mit zwei geradlinigen Leitkurven der Ordnungen  $m, n$ : *L. Cremona*, Ann. di mat. (2) 1 (1867—68), p. 248; *G. Pittarelli*, Rom Linc. Rend. (4) 7<sub>1</sub> (1891), p. 391, 452; (5) 3<sub>2</sub> (1894), p. 264.

(Herrn *L. Berzolari*, der auch die Nachträge geliefert hat, und Herrn *E. A. Weiß* bin ich wegen verschiedener Ratschläge zu Dank verpflichtet.)

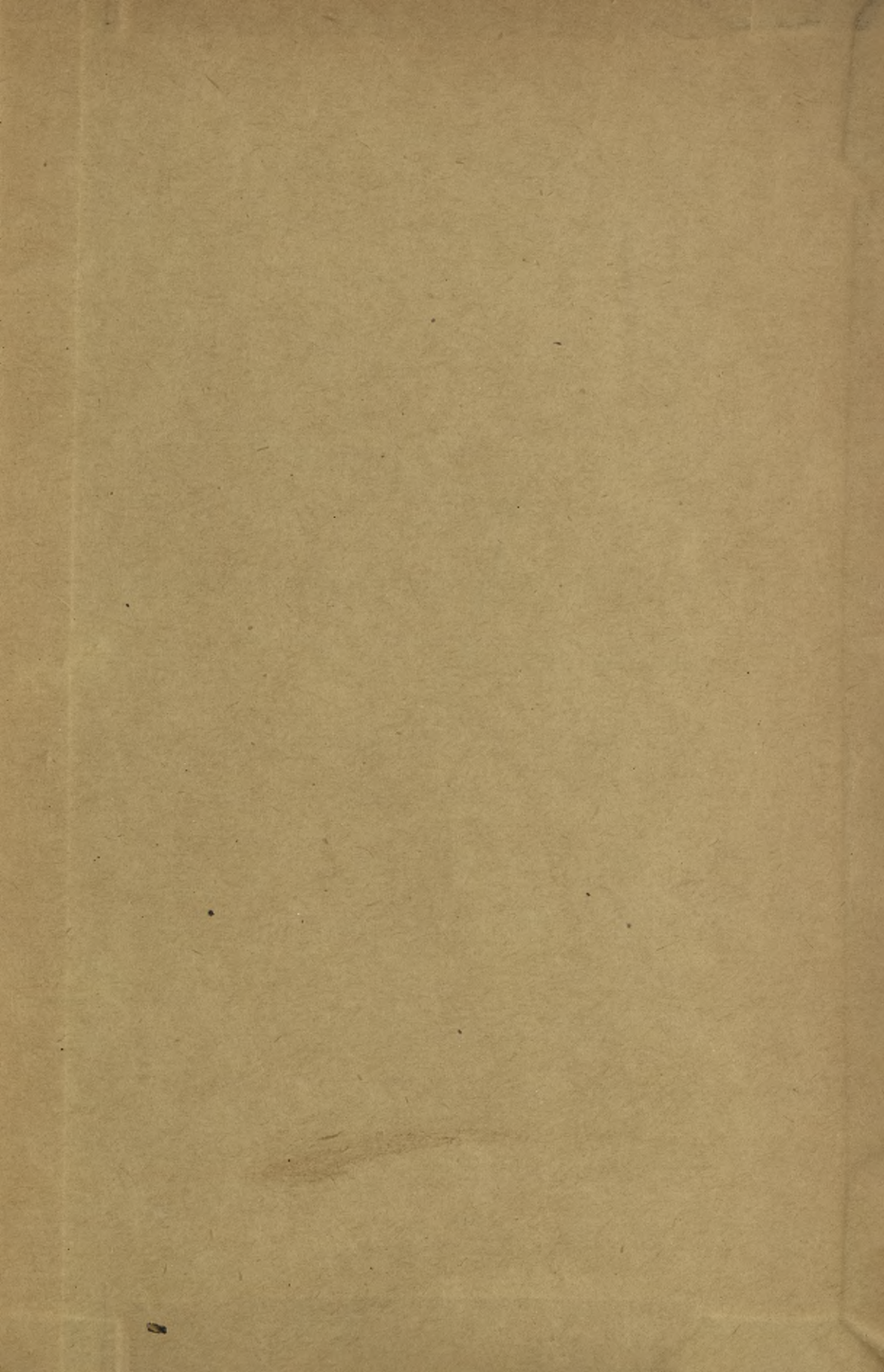
---

(Abgeschlossen im August 1930.)









POLITECHNIKA KRAKOWSKA  
BIBLIOTEKA GŁÓWNA

Biblioteka Politechniki Krakowskiej



**II-348780**

Kon. 529. 15. IX. 54

Biblioteka Politechniki Krakowskiej



10000301673